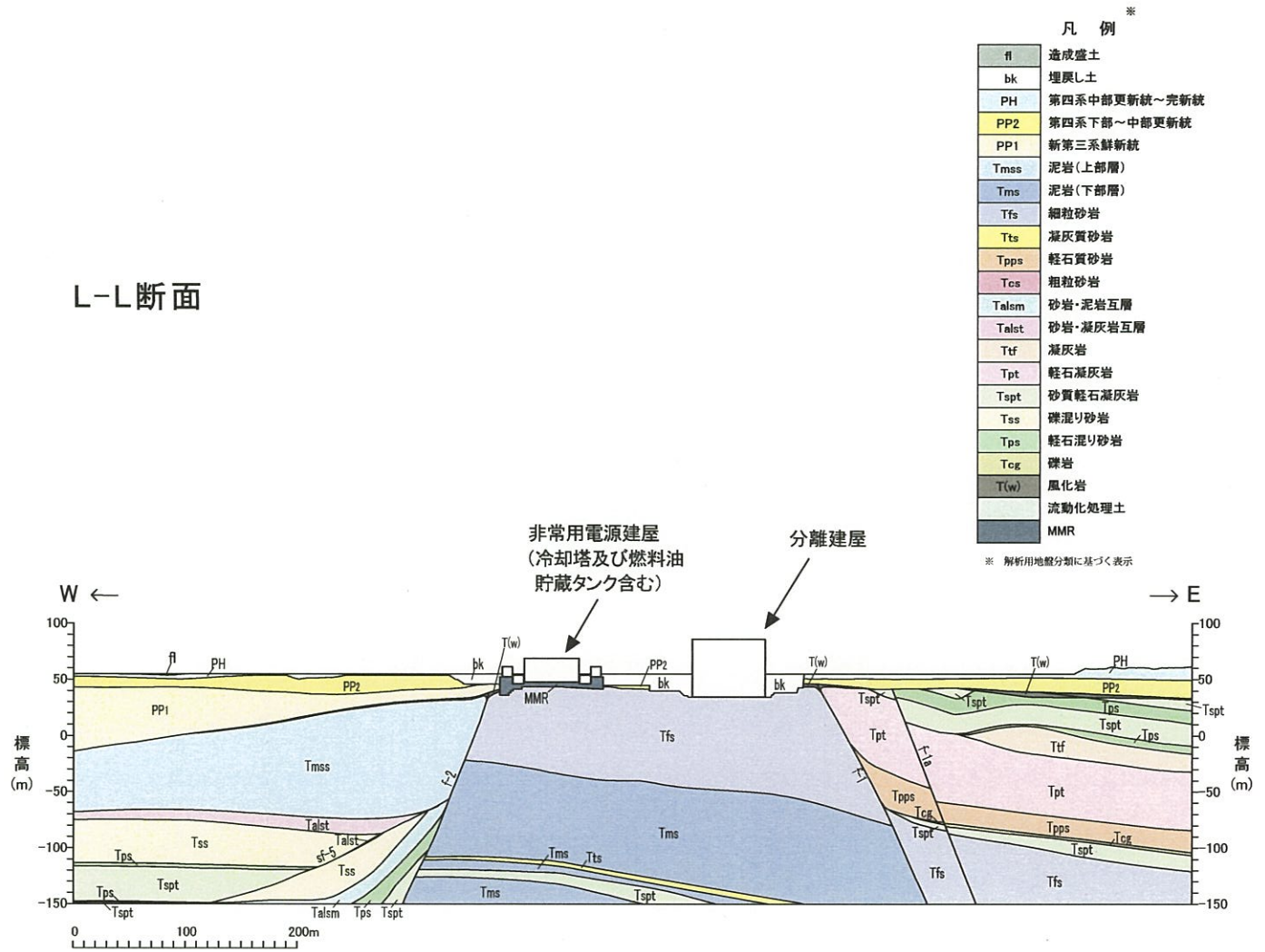


L-L断面



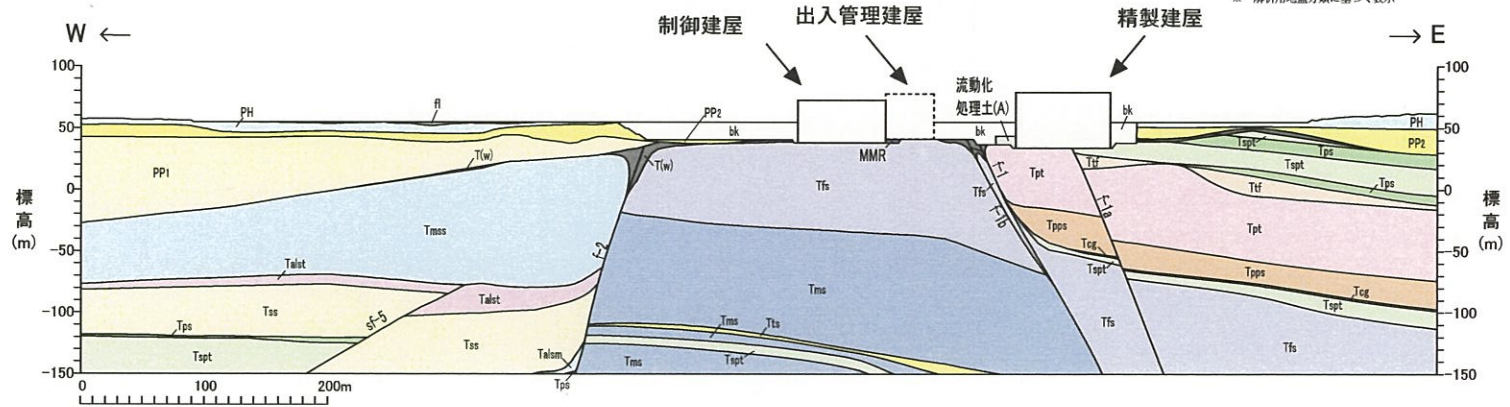
第4.5-6図(15) 耐震重要施設等及び常設重大事故等対処施設設置位置付近の岩盤分類図 (鉛直断面図：L測線)

M-M断面

凡例*

fl	造成盛土
bk	埋戻し土
PH	第四系中部更新統~完新統
PP2	第四系下部~中部更新統
PP1	新第三系新統
Tmsa	泥岩(上部層)
Tms	泥岩(下部層)
Tfs	細粒砂岩
Tts	凝灰質砂岩
Tpps	軽石質砂岩
Tcs	粗粒砂岩
Talsm	砂岩・泥岩互層
Talst	砂岩・凝灰岩互層
Ttf	凝灰岩
Tpt	軽石凝灰岩
Tspt	砂質軽石凝灰岩
Tss	礫混り砂岩
Tps	軽石混り砂岩
Tcg	礫岩
T(w)	風化岩
	流動化処理土
MMR	MMR

* 解析用地盤分類に基づく表示



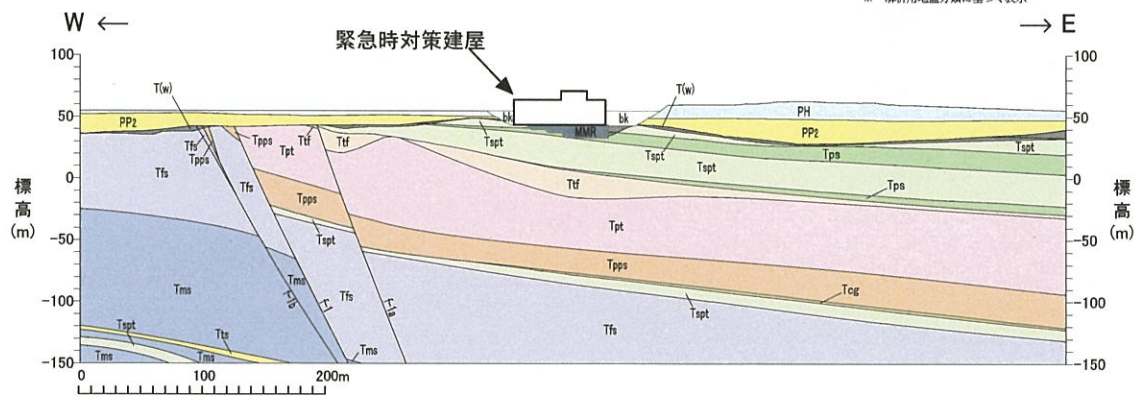
第4.5-6図(16) 耐震重要施設等及び常設重大事故等対処施設設置位置付近の岩盤分類図 (鉛直断面図：M測線)

M2-M2断面

※
凡例

fl	造成盛土
bk	埋戻し土
PH	第四系中部更新統～完新統
PP2	第四系下部～中部更新統
PP1	新第三系鮮新統
Tmsu	泥岩(上部層)
Tms	泥岩(下部層)
Tfs	細粒砂岩
Tts	凝灰質砂岩
Tpps	軽石質砂岩
Tcs	粗粒砂岩
Talsm	砂岩・泥岩互層
Talst	砂岩・凝灰岩互層
Ttf	凝灰岩
Tpt	軽石凝灰岩
Tspt	砂質軽石凝灰岩
Tss	礫混り砂岩
Tps	軽石混り砂岩
Tcg	礫岩
T(w)	風化岩
	流動化処理土
MMR	

※ 解析用地盤分類に基づく表示



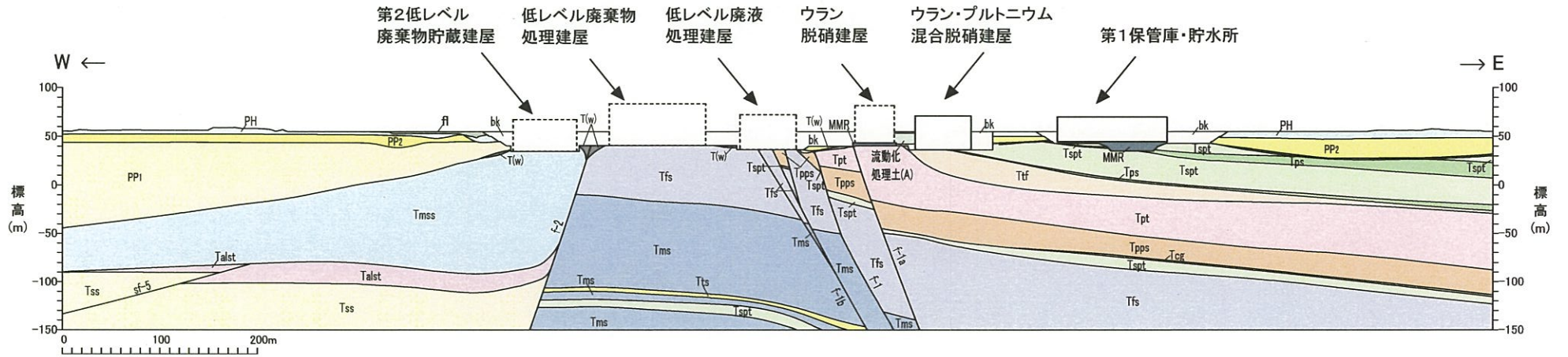
第4.5-6図(17) 耐震重要施設等及び常設重大事故等対処施設設置位置付近の岩盤分類図
(鉛直断面図：M2測線)

N-N断面

凡例*

fl	造成盛土
bk	埋戻し土
PH	第四系中部更新統～完新統
PP2	第四系下部～中部更新統
PP1	新第三系鮮新統
Tmss	泥岩(上部層)
Tms	泥岩(下部層)
Tfs	細粒砂岩
Tts	凝灰質砂岩
Tpps	軽石質砂岩
Tcs	粗粒砂岩
Talsm	砂岩・泥岩互層
Talst	砂岩・凝灰岩互層
Ttf	凝灰岩
Tpt	軽石凝灰岩
Tspt	砂質軽石凝灰岩
Tss	礫混り砂岩
Tps	軽石混り砂岩
Tcg	礫岩
T(w)	風化岩
MMR	流動化処理土
MMR	MMR

* 解析用地盤分類に基づく表示



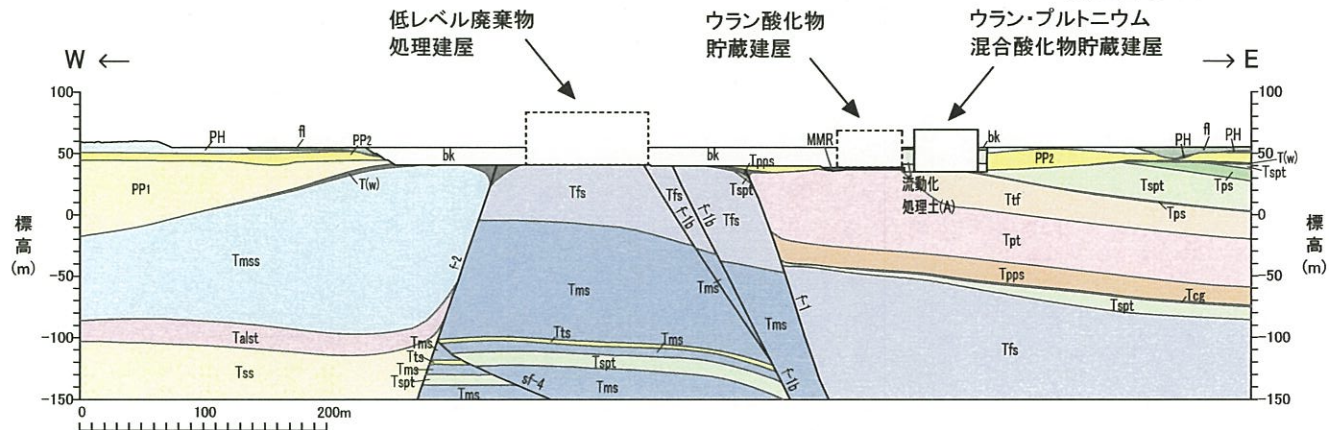
第4.5-6図(18) 耐震重要施設等及び常設重大事故等対処施設設置位置付近の岩盤分類図 (鉛直断面図：N測線)

O-O断面

凡例*

fl	造成盛土
bk	埋戻し土
PH	第四系中部更新統～完新統
PP2	第四系下部～中部更新統
PP1	新第三系鮮新統
Tmss	泥岩(上部層)
Tms	泥岩(下部層)
Tfs	細粒砂岩
Tts	凝灰質砂岩
Tpps	軽石質砂岩
Tcs	粗粒砂岩
Talcm	砂岩・泥岩互層
Talst	砂岩・凝灰岩互層
Ttf	凝灰岩
Tpt	軽石凝灰岩
Tspt	砂質軽石凝灰岩
Tss	礫混り砂岩
Tps	軽石混り砂岩
Tcg	礫岩
T(w)	風化岩
	流動化処理土
MMR	

* 解析用地盤分類に基づく表示



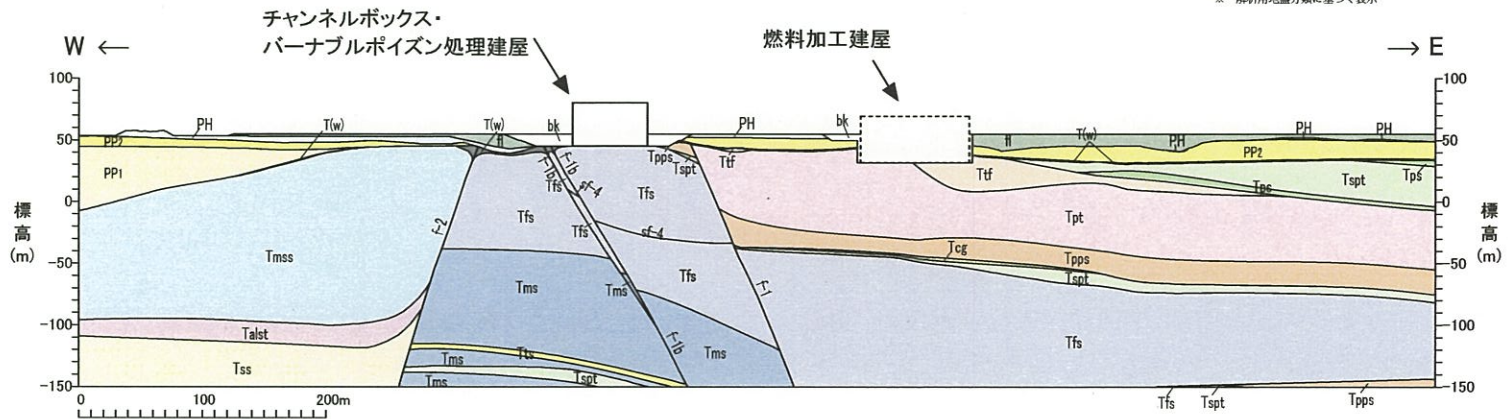
第4.5-6図(19) 耐震重要施設等及び常設重大事故等対処施設設置位置付近の岩盤分類図 (鉛直断面図：O測線)

P-P断面

凡例*

fl	造成盛土
bk	埋戻し土
PH	第四系中部更新統~完新統
PP2	第四系下部~中部更新統
PP1	新第三系鮮新統
Tmss	泥岩(上部層)
Tms	泥岩(下部層)
Tfs	細粒砂岩
Tts	凝灰質砂岩
Tpps	軽石質砂岩
Tcs	粗粒砂岩
Talsm	砂岩・泥岩互層
Talst	砂岩・凝灰岩互層
Ttf	凝灰岩
Tpt	軽石凝灰岩
Tspt	砂質軽石凝灰岩
Tss	礫混り砂岩
Tps	軽石混り砂岩
Tcg	礫岩
T(w)	風化岩
流動化処理土	流動化処理土
MMR	MMR

* 解析用地盤分類に基づく表示



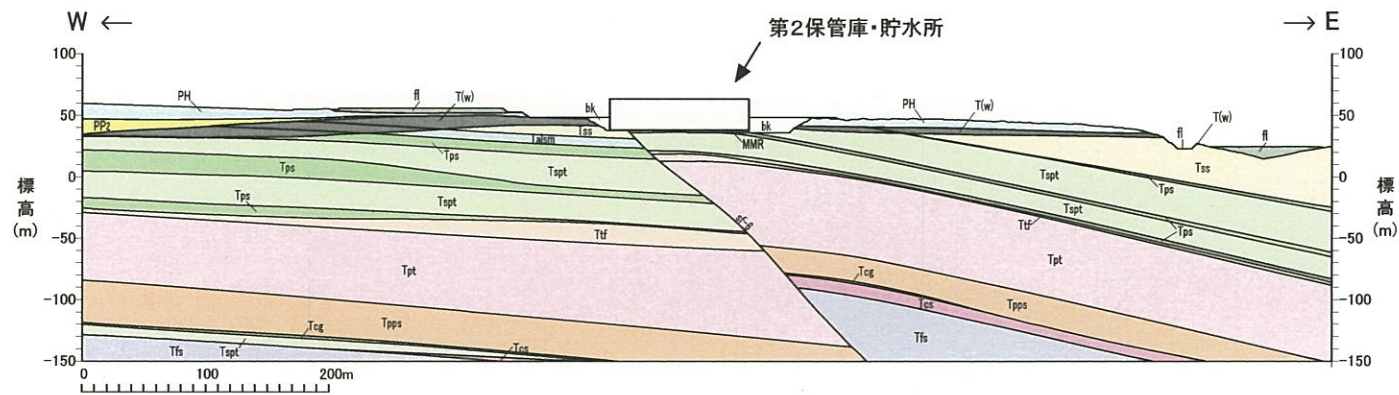
第4.5-6図(20) 耐震重要施設等及び常設重大事故等対処施設設置位置付近の岩盤分類図
(鉛直断面図：P測線)

Q-Q断面

凡例*

fl	造成盛土
bk	埋戻し土
PH	第四系中部更新統～完新統
PP2	第四系下部～中部更新統
PP1	新第三系鮮新統
Tmss	泥岩(上部層)
Tms	泥岩(下部層)
Tfs	細粒砂岩
Tts	凝灰質砂岩
Tpps	軽石質砂岩
Tcs	粗粒砂岩
Talsm	砂岩・泥岩互層
Talat	砂岩・凝灰岩互層
Ttf	凝灰岩
Tpt	軽石凝灰岩
Tspt	砂質軽石凝灰岩
Tss	礫混り砂岩
Tps	軽石混り砂岩
Tcg	礫岩
T(w)	風化岩
	流動化処理土
MMR	MMR

* 解析用地盤分類に基づく表示



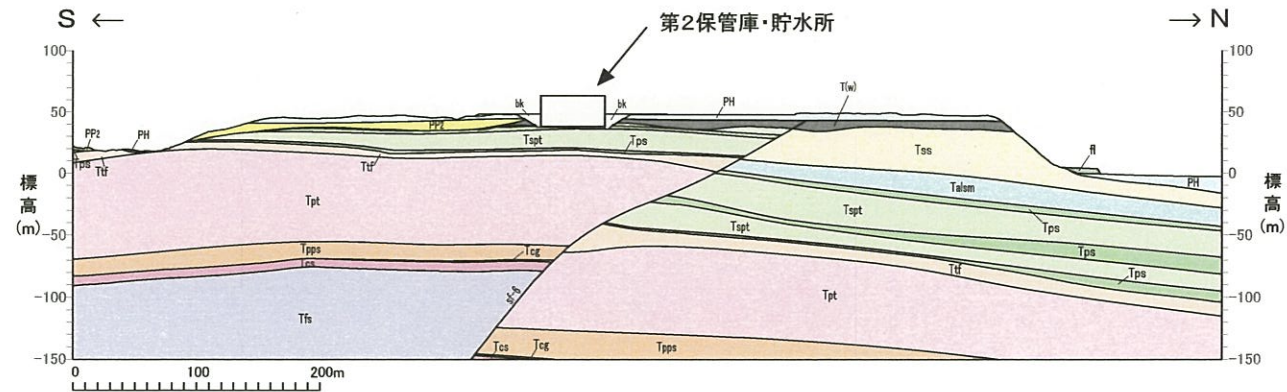
第4.5-6 図(21) 耐震重要施設等及び常設重大事故等対処施設設置位置付近の岩盤分類図
(鉛直断面図：Q測線)

R-R断面

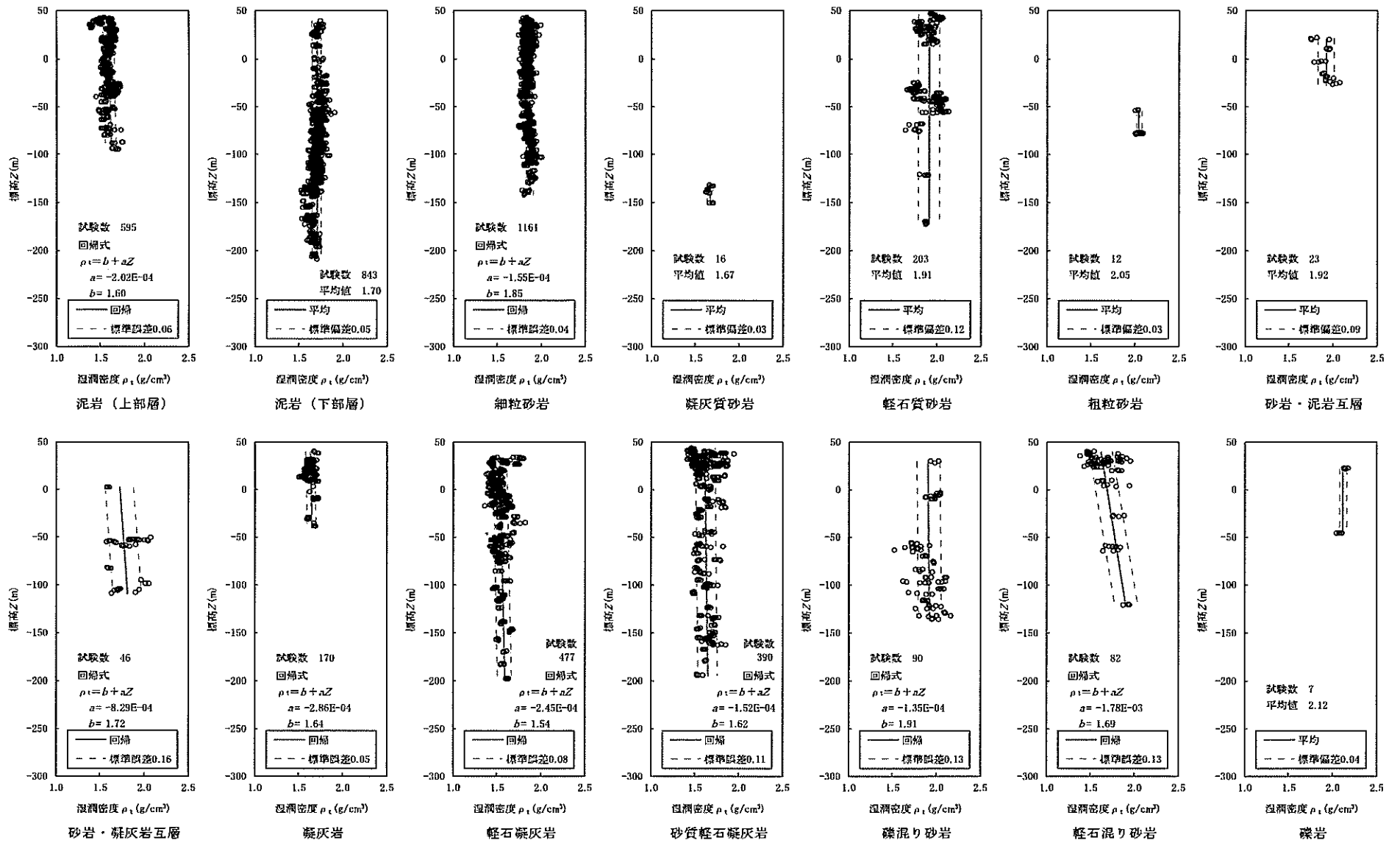
凡例[※]

fl	造成盛土
bk	埋戻し土
PH	第四系中部更新統～完新統
PP2	第四系下部～中部更新統
PP1	新第三系鮮新統
Tmss	泥岩(上部層)
Tms	泥岩(下部層)
Tfs	細粒砂岩
Tts	凝灰質砂岩
Tpps	軽石質砂岩
Tcs	粗粒砂岩
Talsm	砂岩・泥岩互層
Talst	砂岩・凝灰岩互層
Ttf	凝灰岩
Tpt	軽石凝灰岩
Tspt	砂質軽石凝灰岩
Tss	礫混り砂岩
Tps	軽石混り砂岩
Tcg	礫岩
T(w)	風化岩
	流動化処理土
MMR	MMR

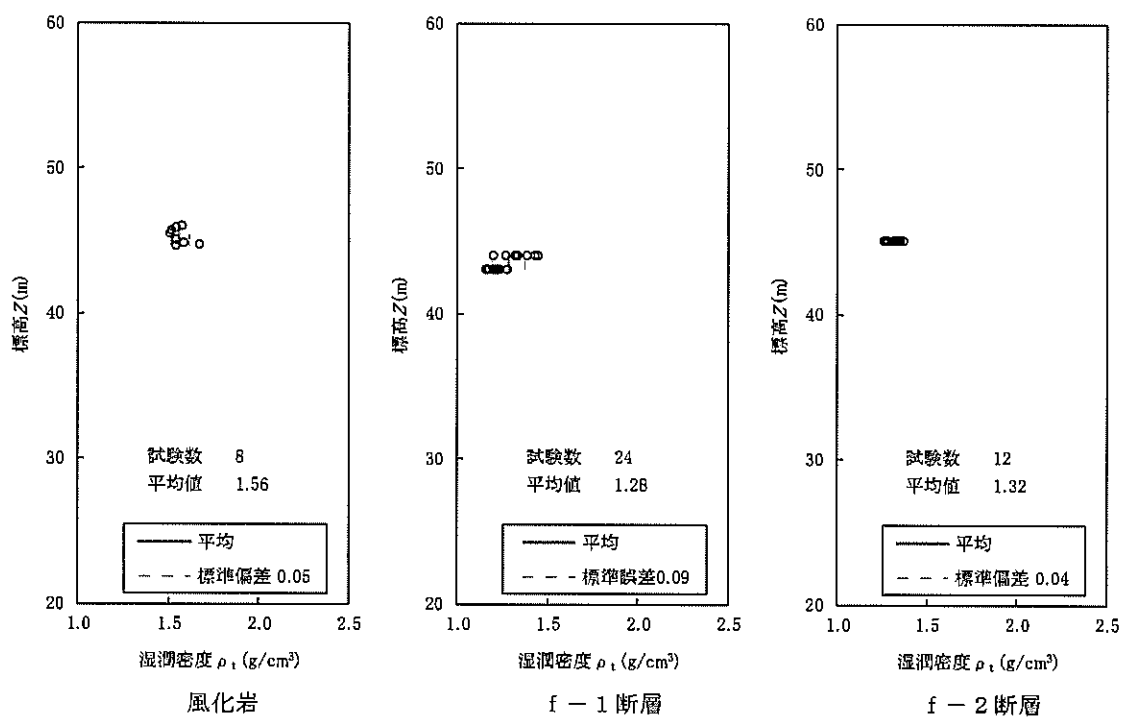
※ 解析用地盤分類に基づく表示



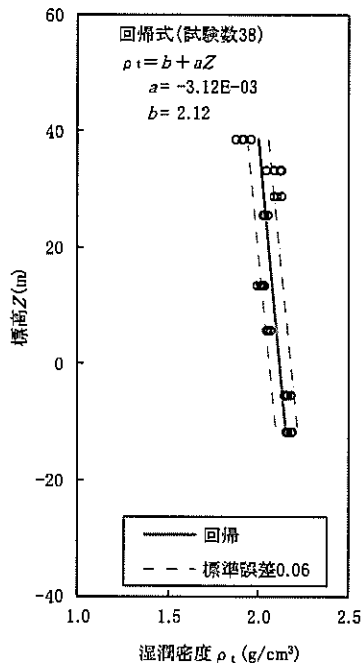
第4.5-6図(22) 耐震重要施設等及び常設重大事故等対処施設設置位置付近の岩盤分類図
(鉛直断面図：R測線)



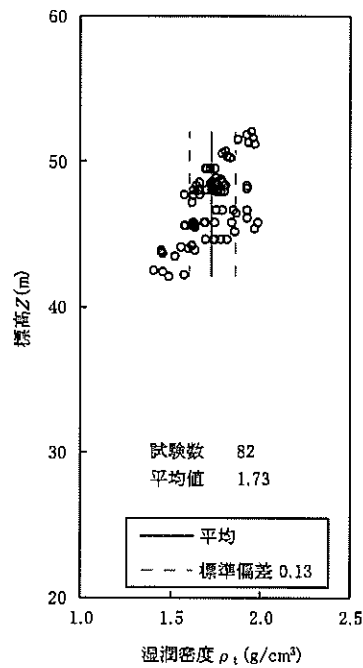
第4.5-7図(1) 湿潤密度と標高の関係



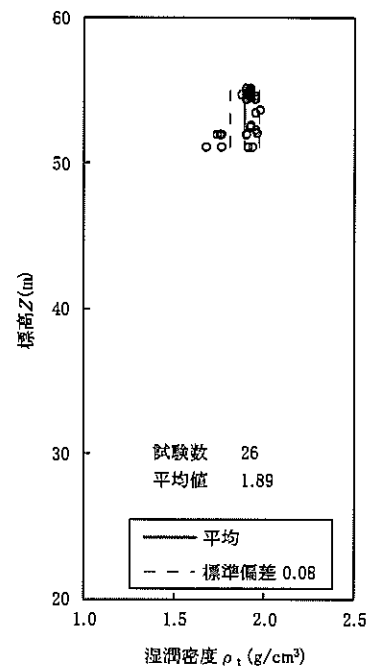
第 4.5-7 図(2) 湿潤密度と標高の関係



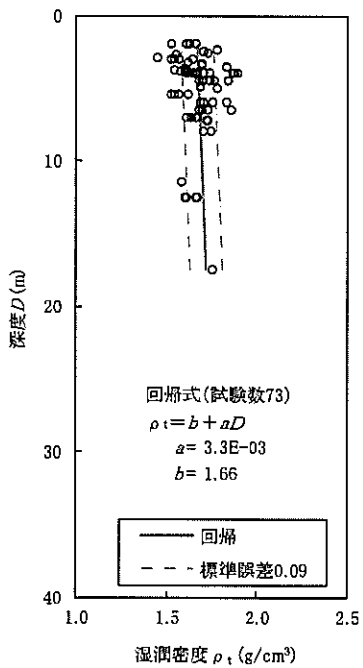
PP1



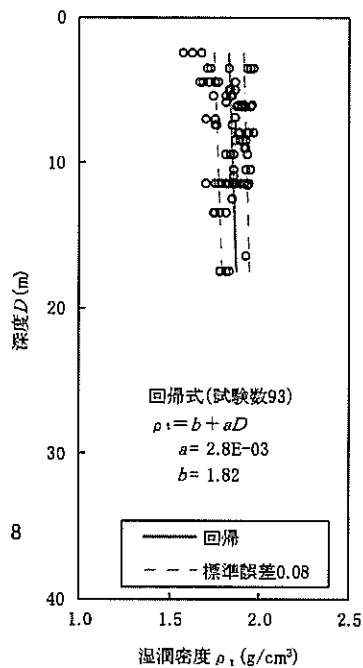
PP2



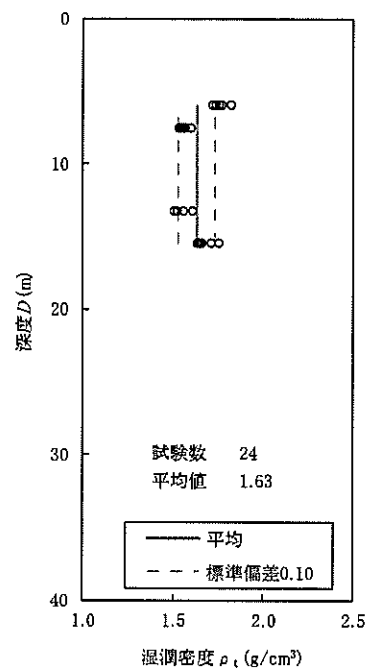
PH



造成盛土

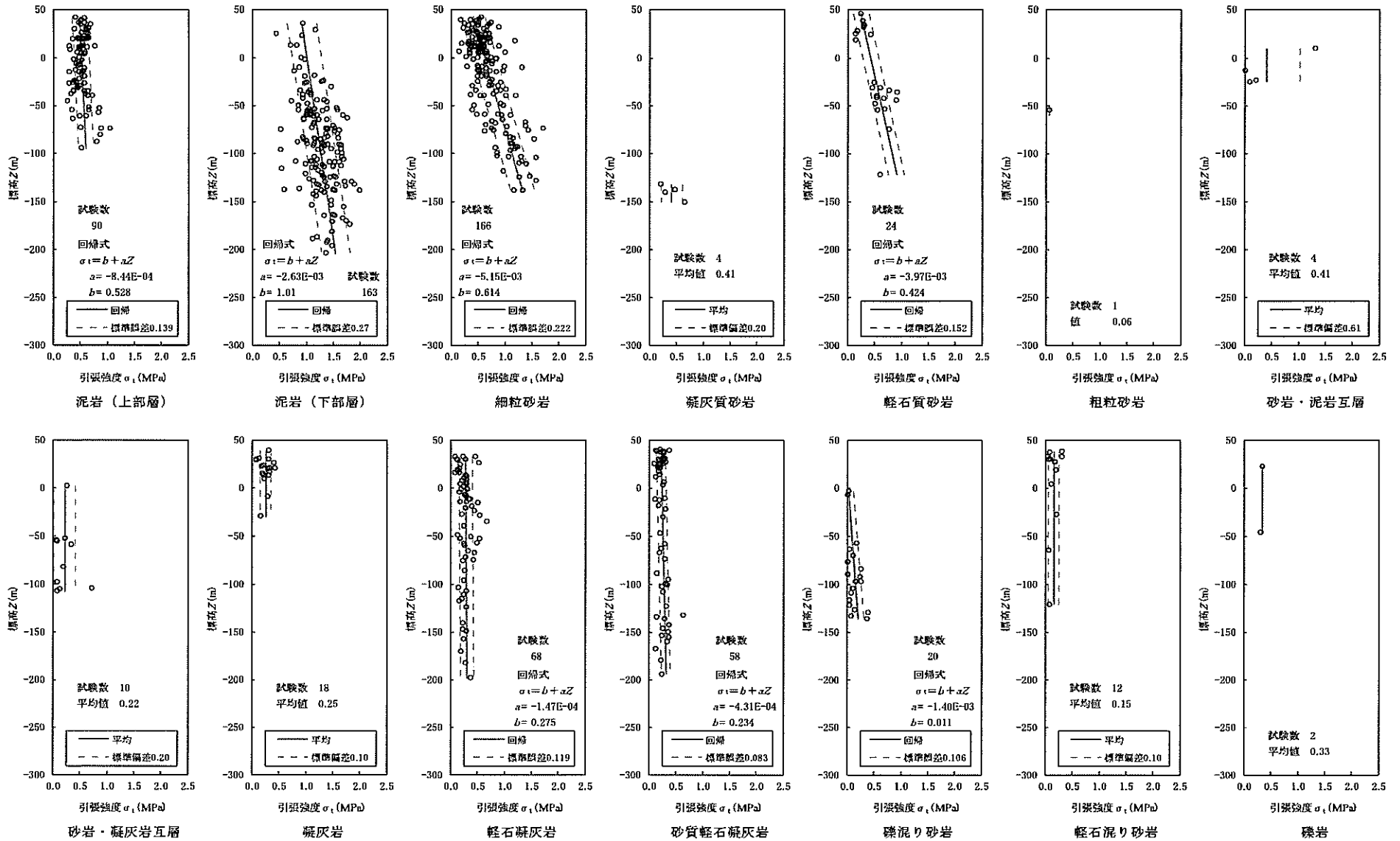


埋戻し土

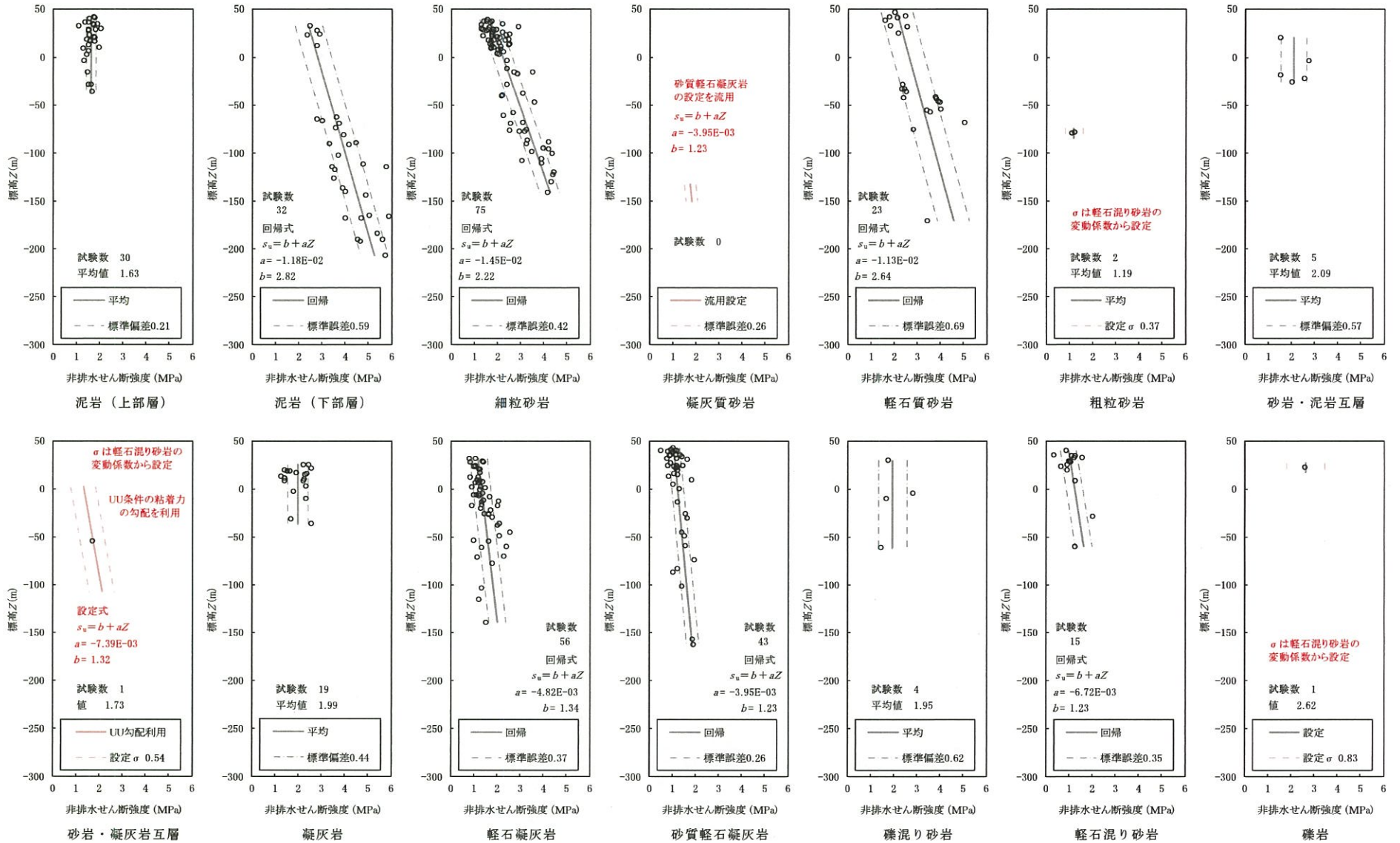


流動化処理土(A)

第 4.5-7 図(3) 湿潤密度と標高または地表からの深度の関係

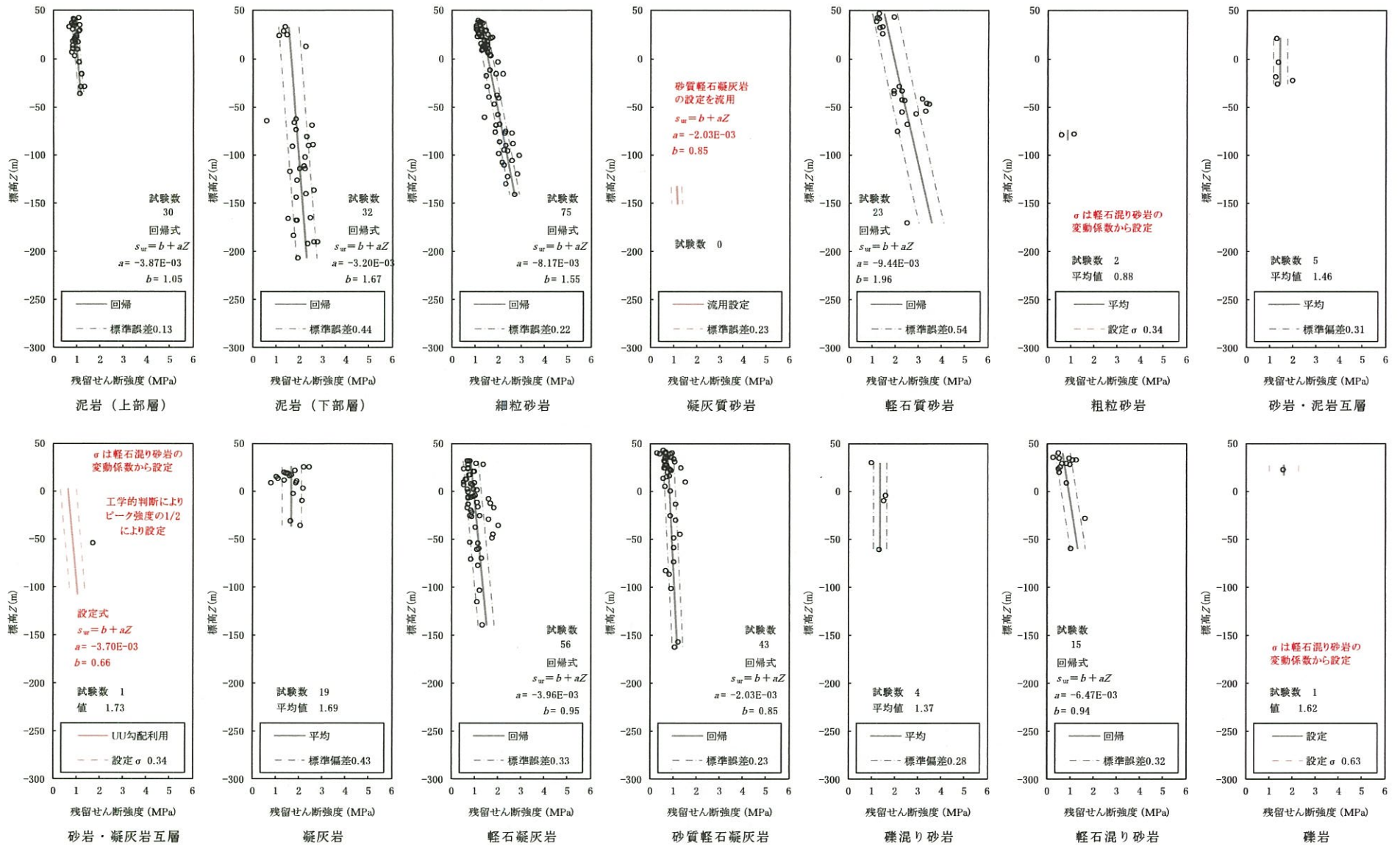


第4.5-8図 引張強度と標高の関係



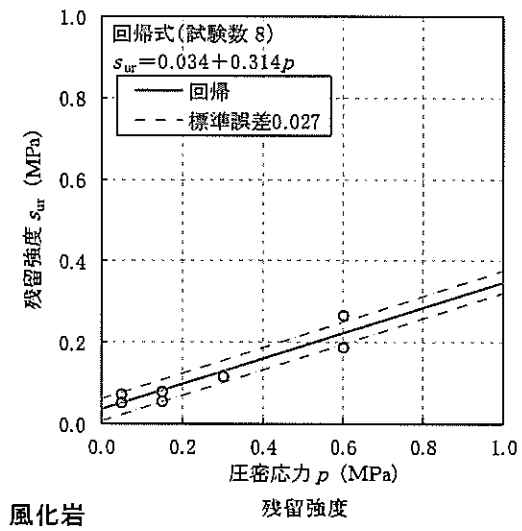
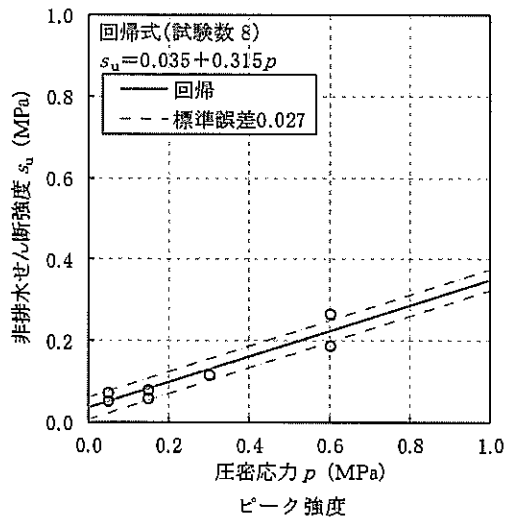
赤色: 他岩種流用または UU 条件で設定した物性値

第4.5-9 図(1) 強度特性 (非排水せん断強度と標高の関係)

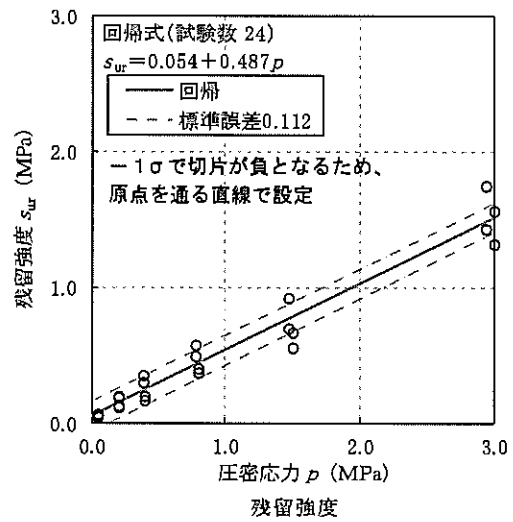
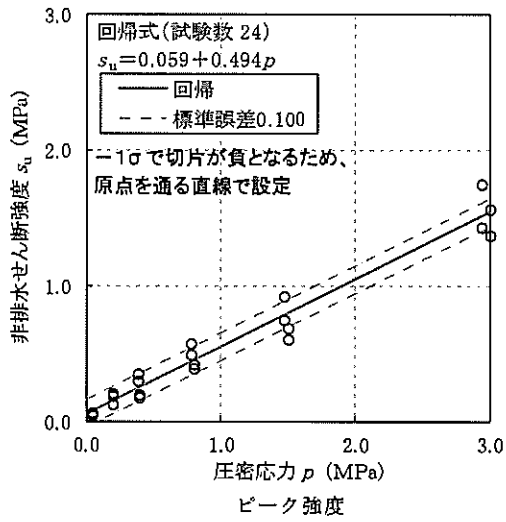


赤色: 他岩種流用またはUU条件で設定した物性値

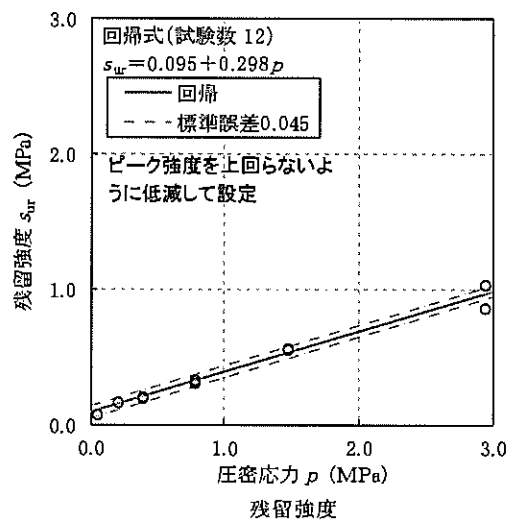
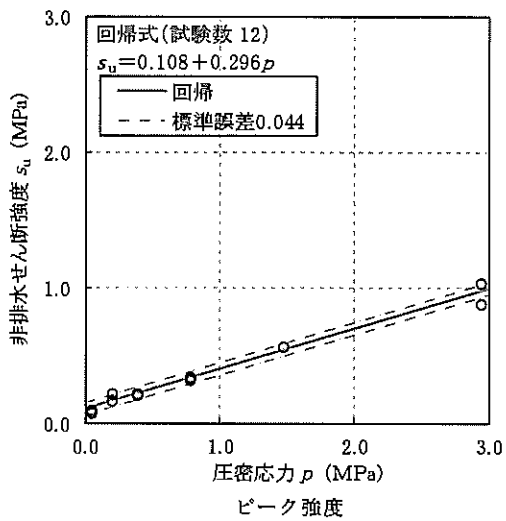
第4.5-9図(2) 強度特性 (残留強度と標高の関係)



第 4.5-9 図(3) 強度特性 (非排水せん断強度及び残留強度と圧密応力の関係)

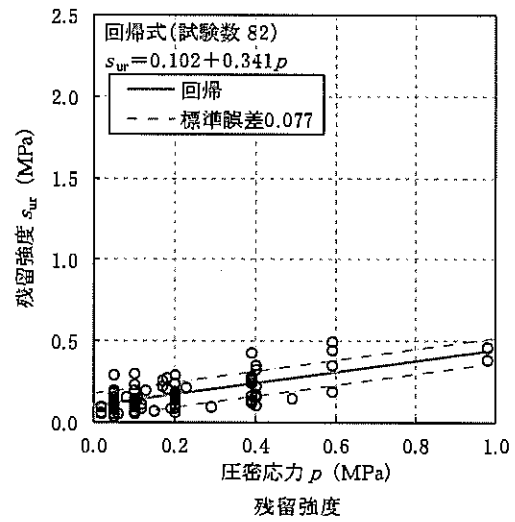
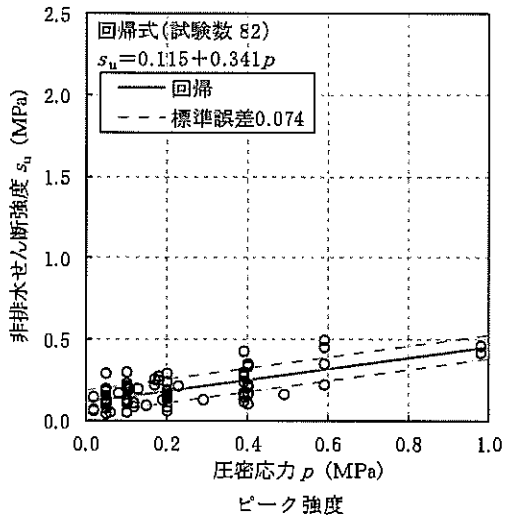


f-1 断層

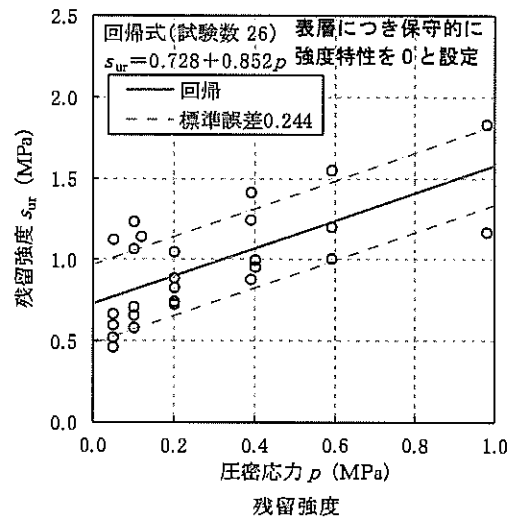
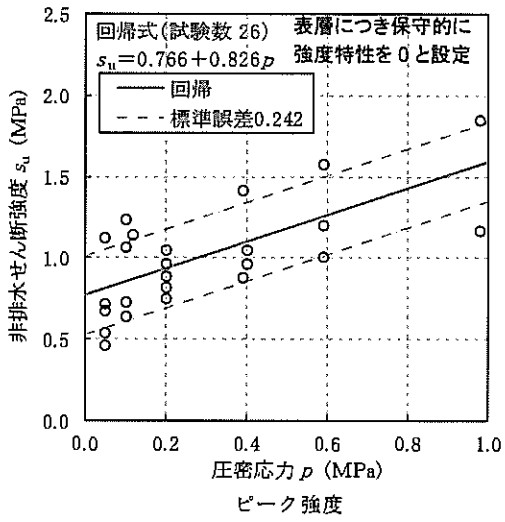


f-2 断層

第 4.5-9 図(4) 強度特性 (非排水せん断強度と圧密応力の関係)

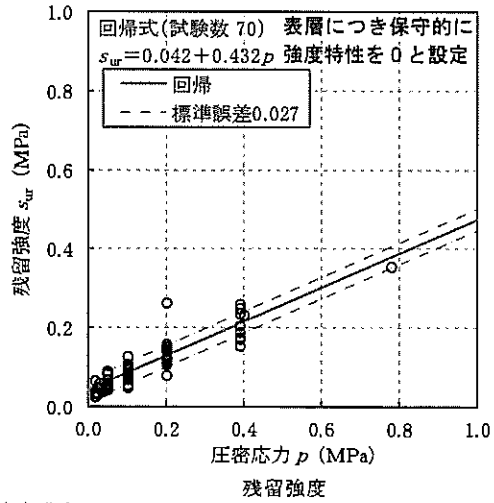
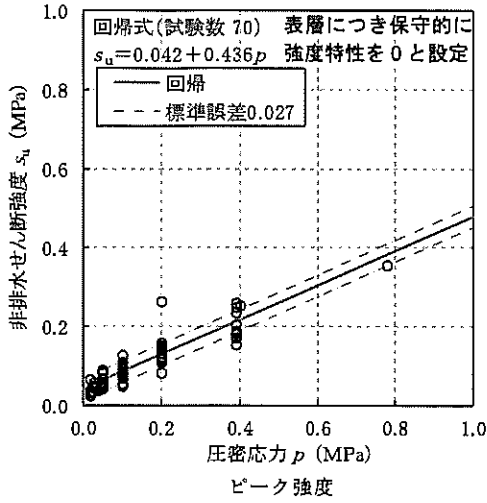


PP 2

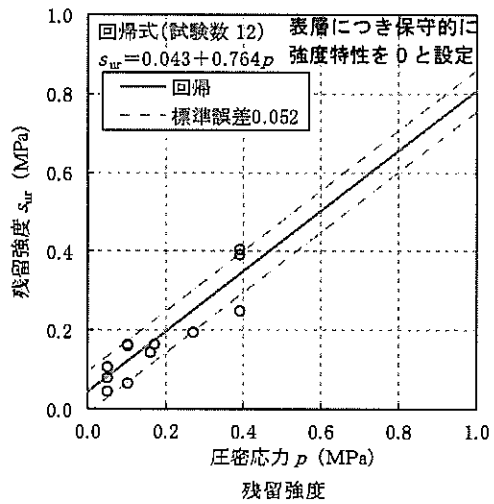
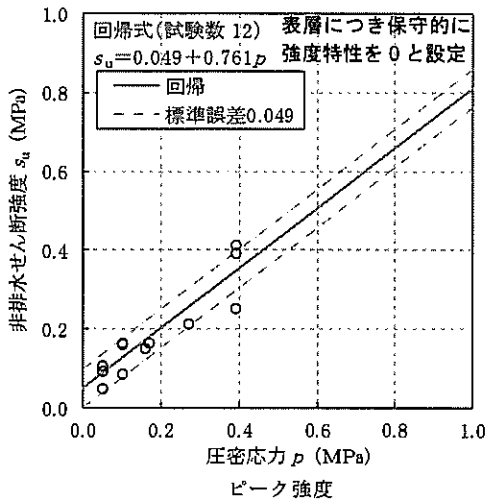


PH

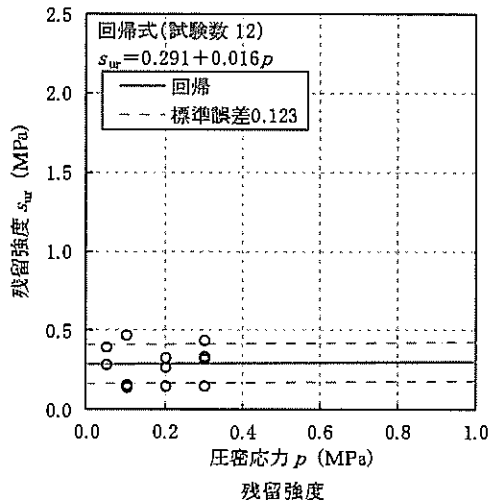
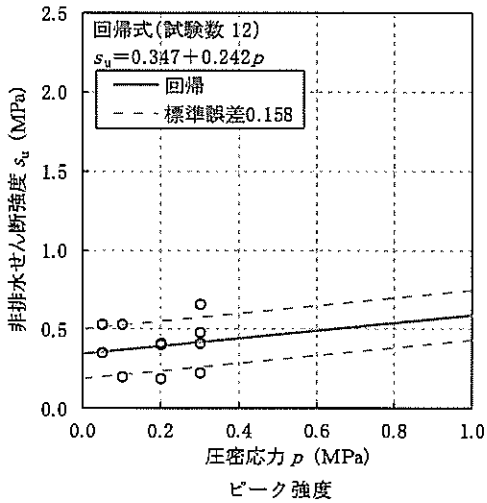
第 4.5-9 図(5) 強度特性 (非排水せん断強度と圧密応力の関係)



造粒盛土

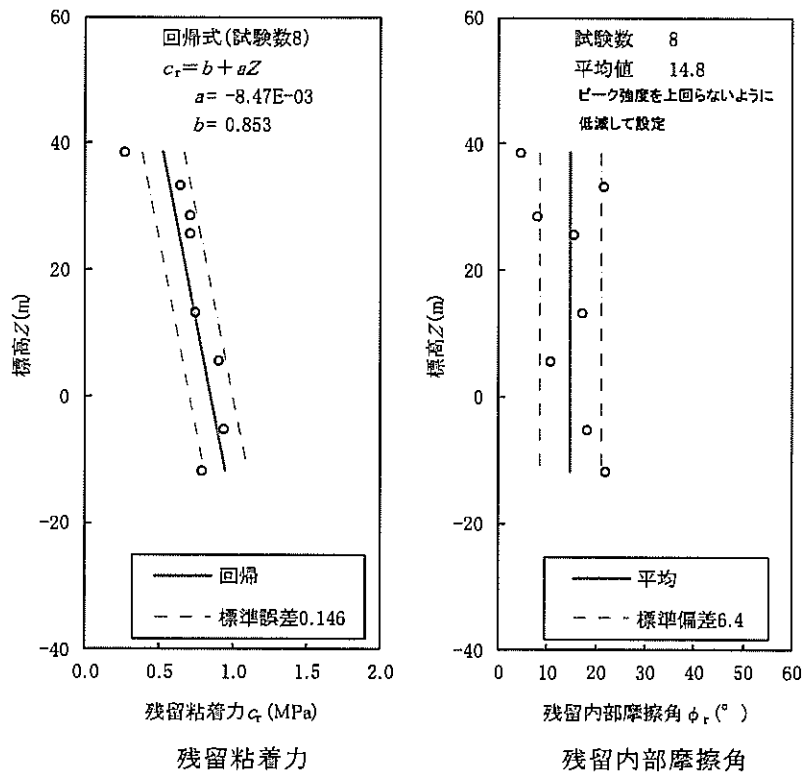
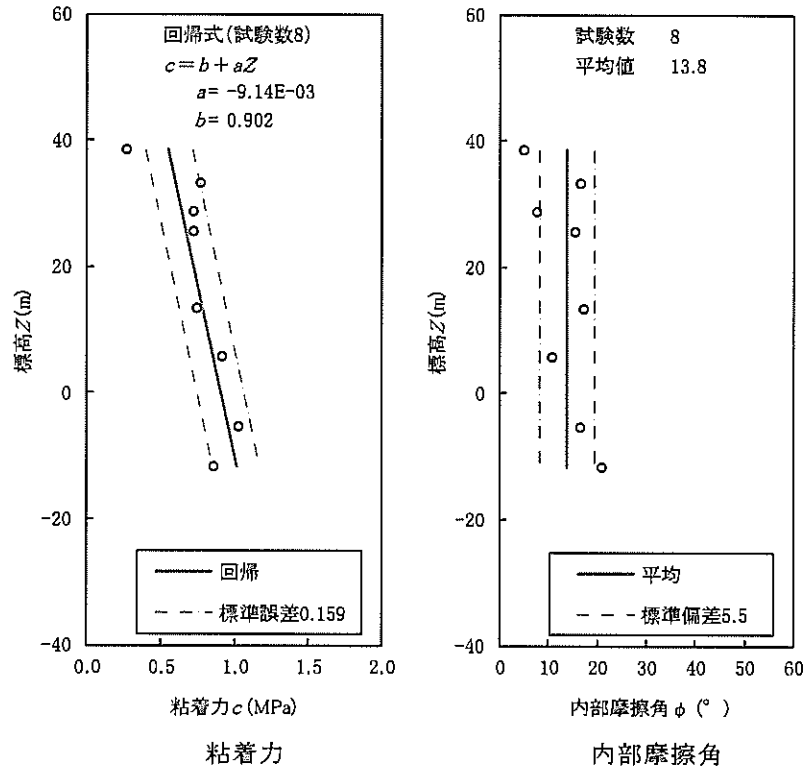


埋戻し土



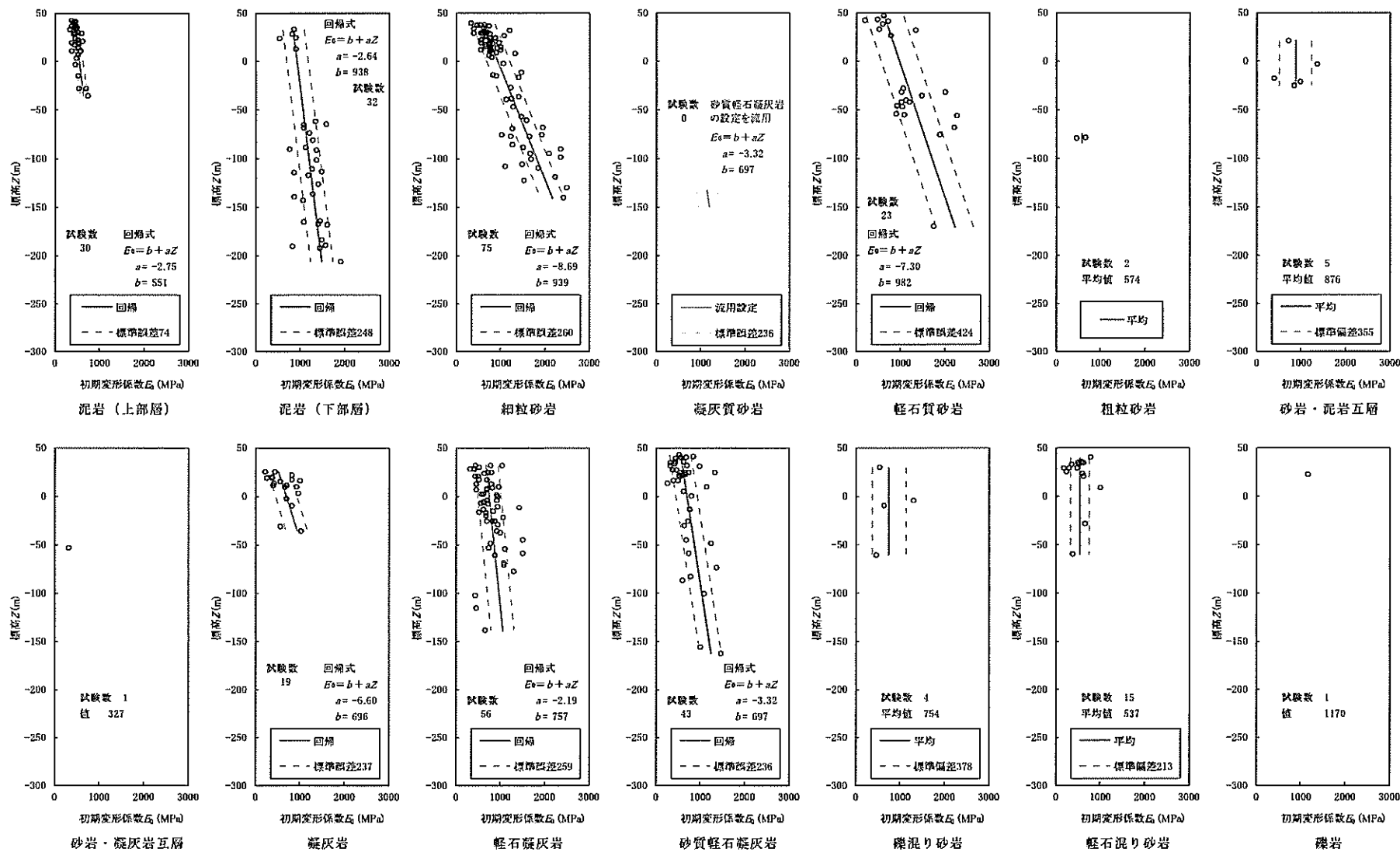
流動化处理土 (A)

第 4.5-9 図(6) 強度特性 (非排水せん断強度と圧密応力の関係)



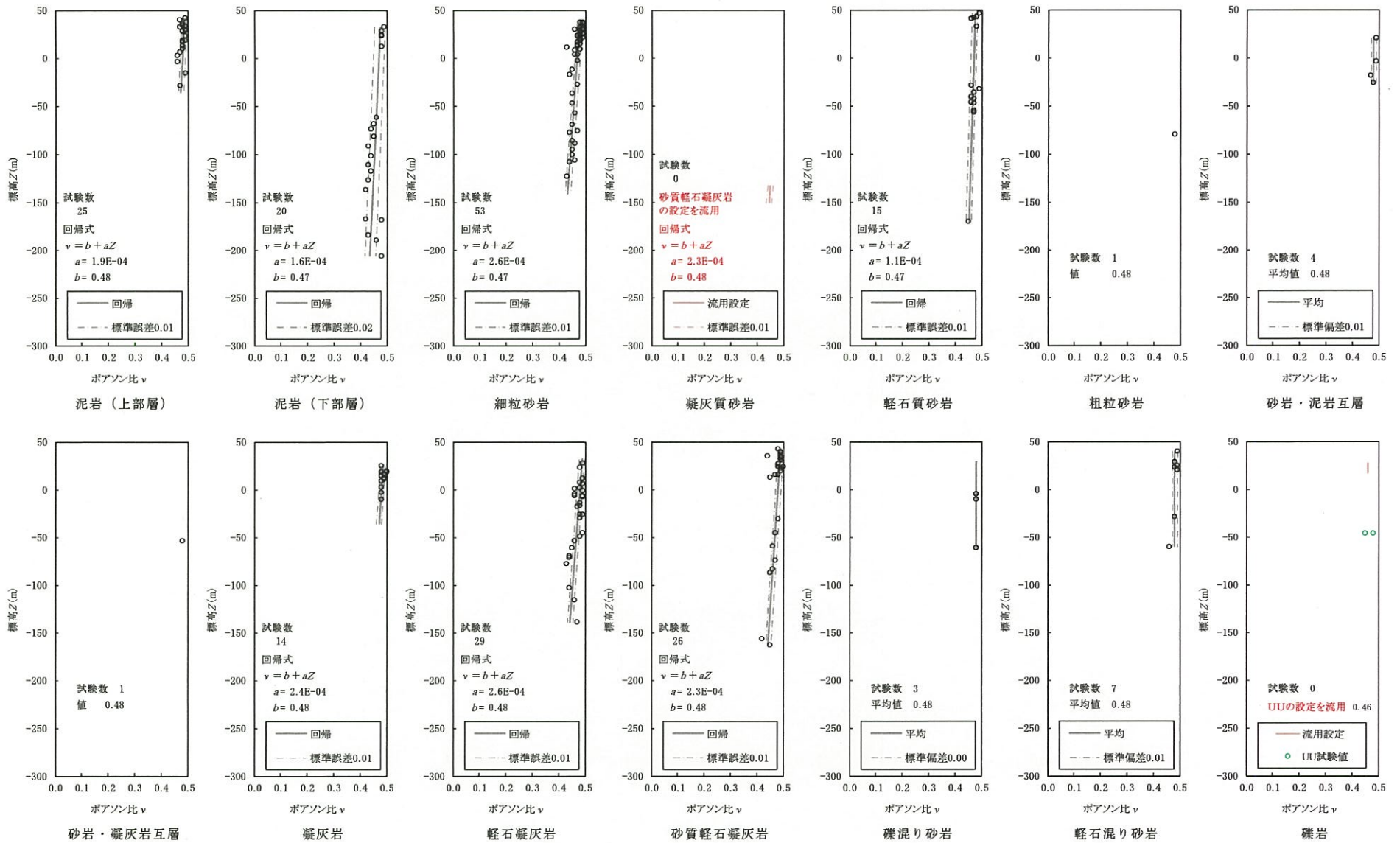
PP1

第 4.5-9 図(7) 強度特性 (三軸圧縮試験による強度定数と標高の関係)



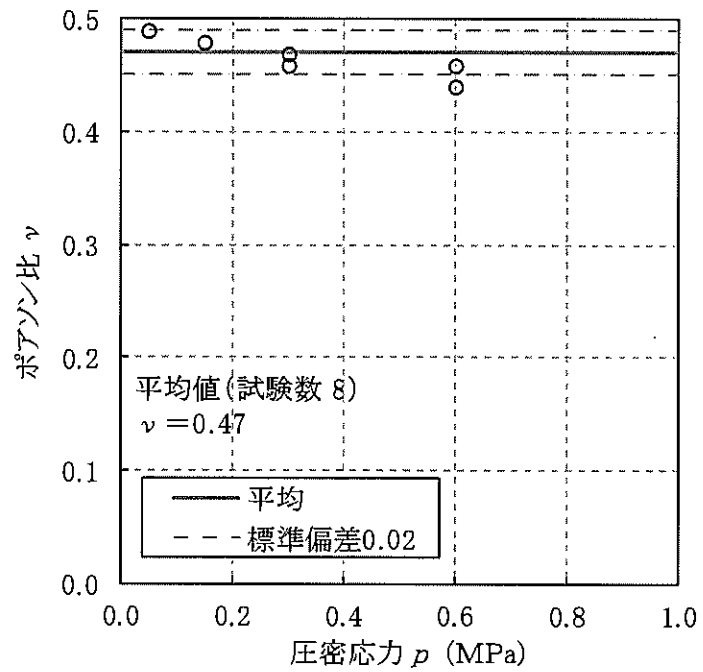
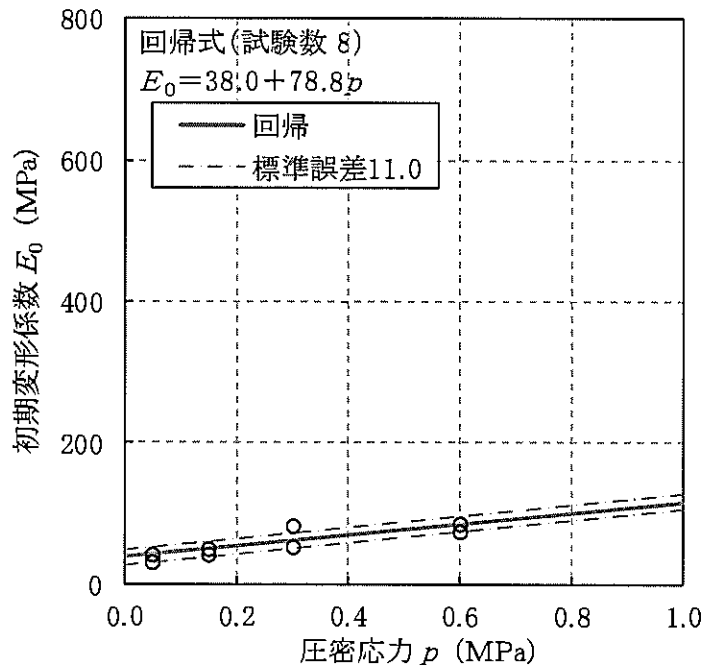
赤色:他岩種流用またはUU条件で設定した物性値

第 4.5-10 図(1) 静的変形特性 (初期変形係数と標高の関係)



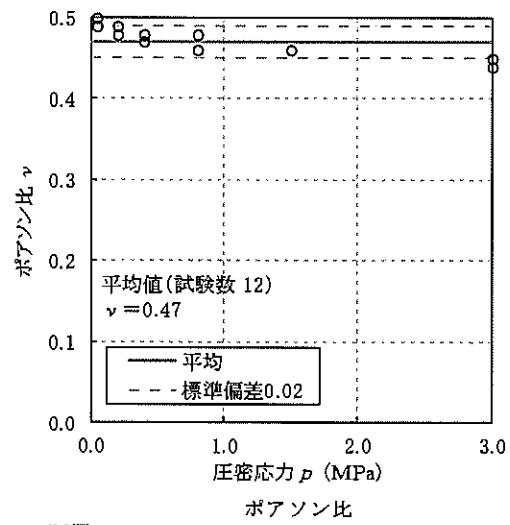
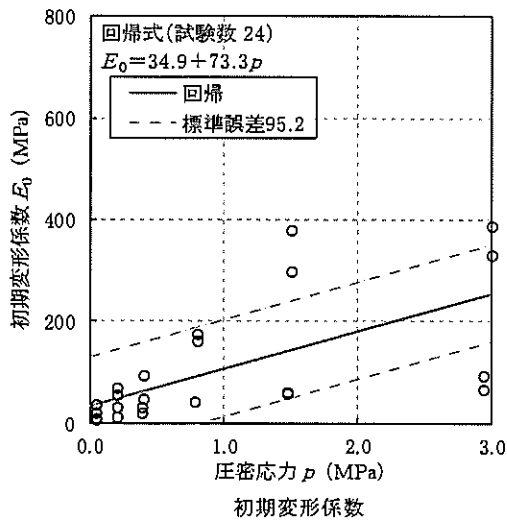
赤色:他岩種流用またはUU条件で設定した物性値

第 4.5-10 図(2) 静的変形特性 (ポアソン比と標高の関係)

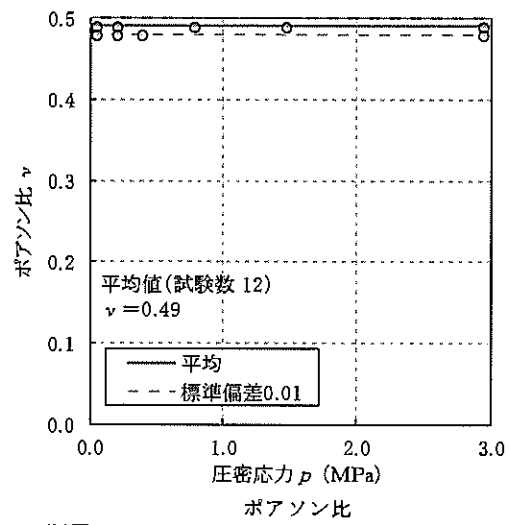
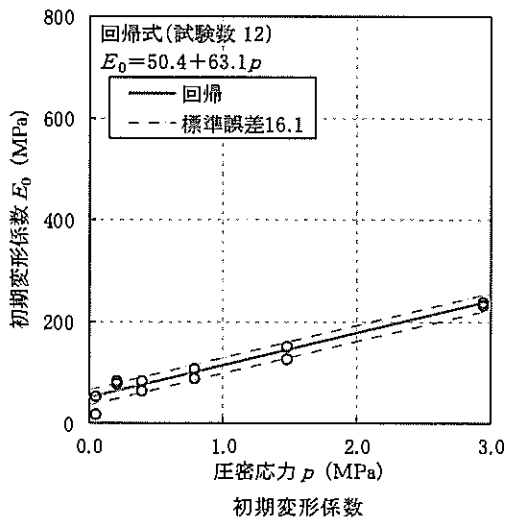


風化岩

第 4.5-10 図(3) 静的変形特性
 (初期変形係数及びポアソン比と圧密応力の関係)

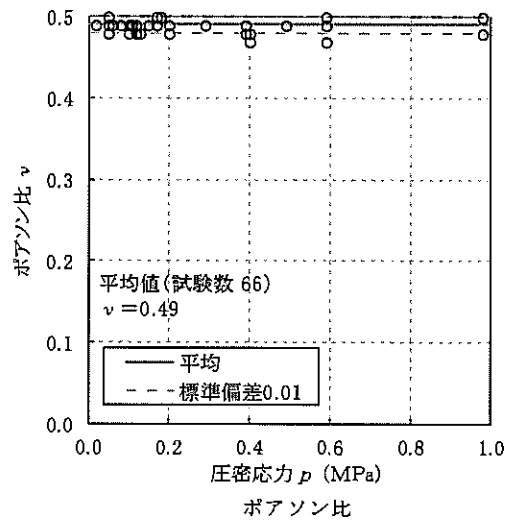
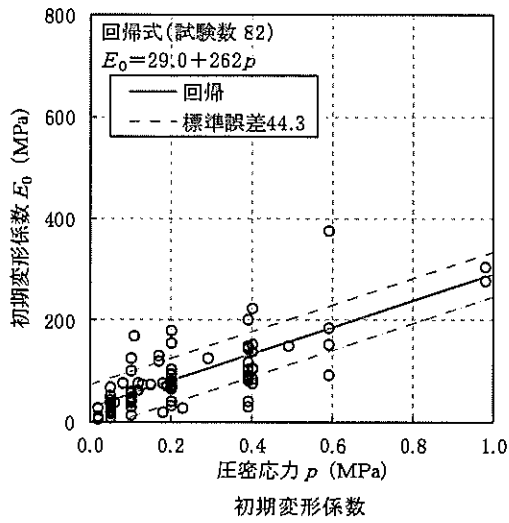


f-1 断層

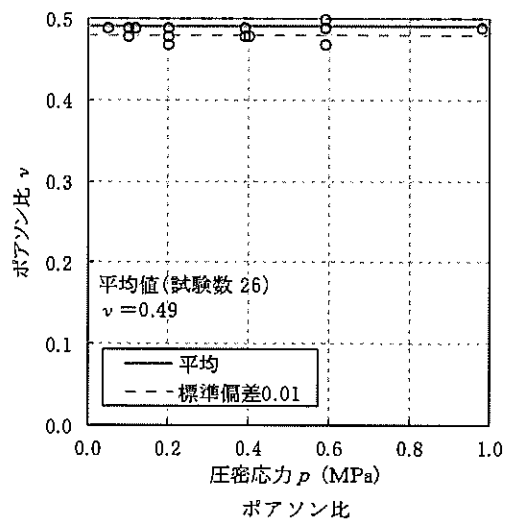
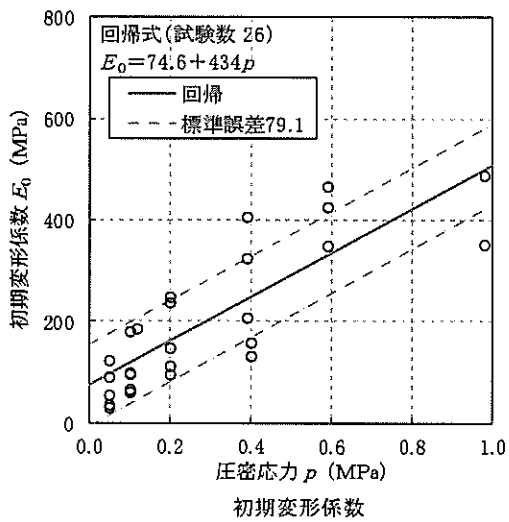


f-2 断層

第 4.5-10 図(4) 静的変形特性
 (初期変形係数及びポアソン比と圧密応力の関係)

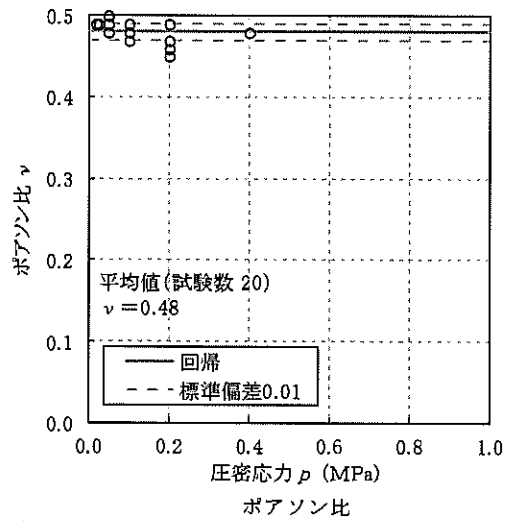
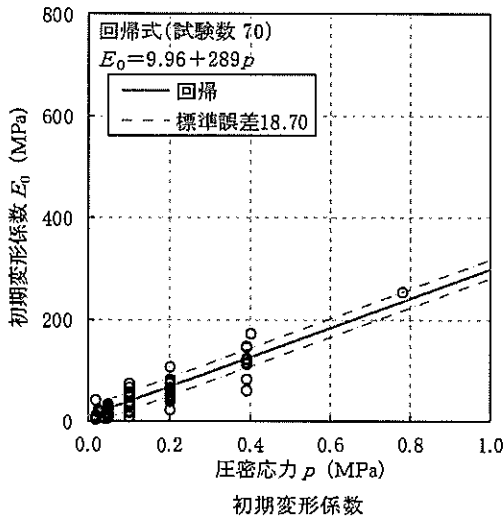


PP 2

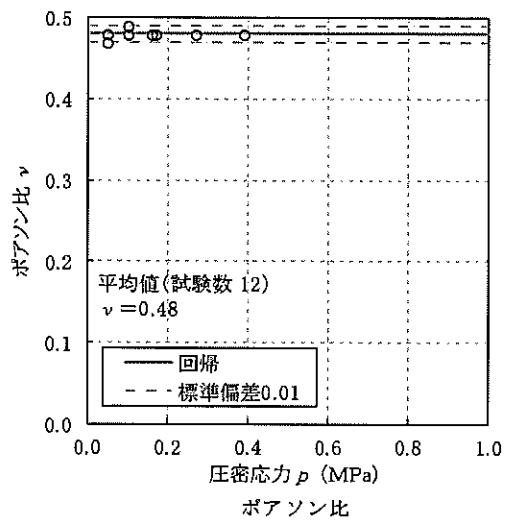
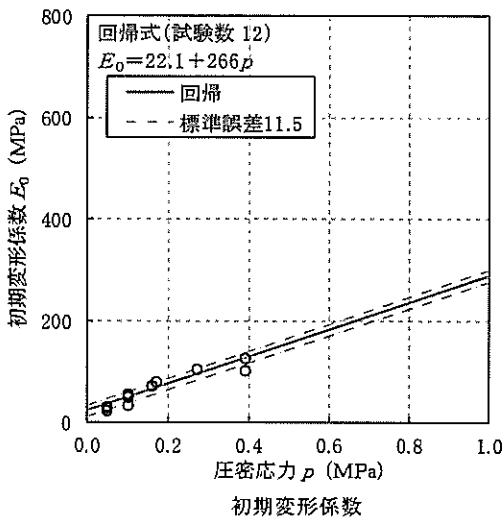


PH

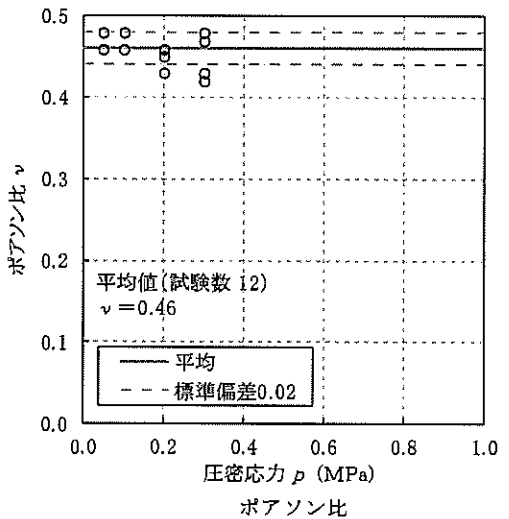
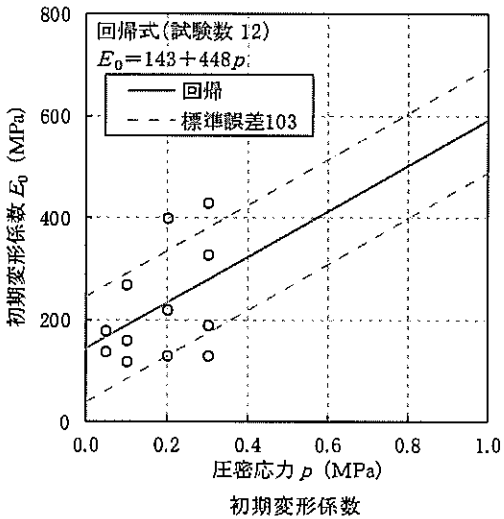
第 4.5-10 図(5) 静的変形特性
 (初期変形係数及びポアソン比と圧密応力の関係)



造成盛土

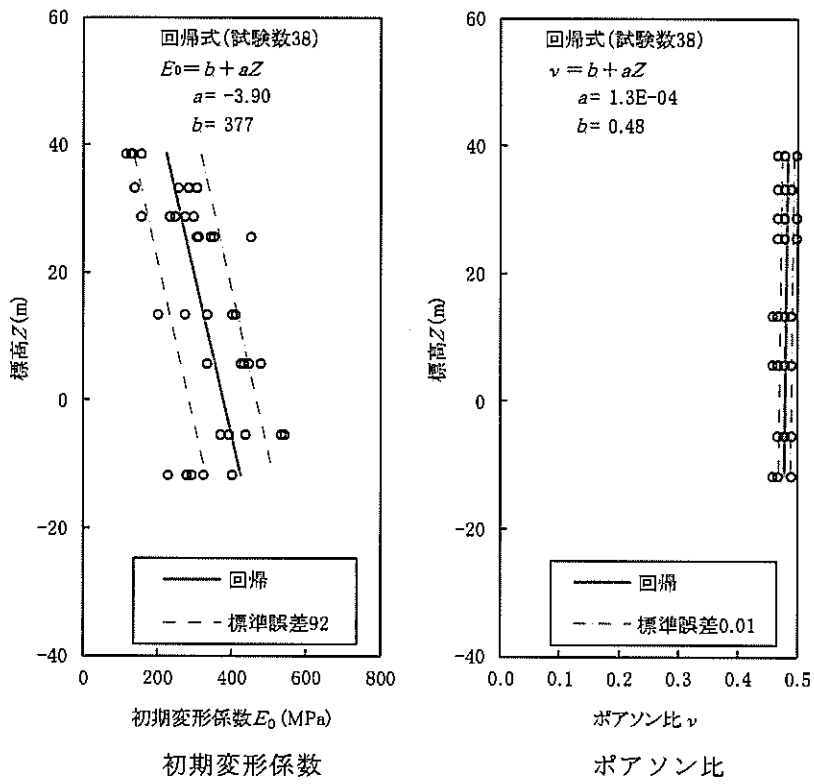


埋戻し土



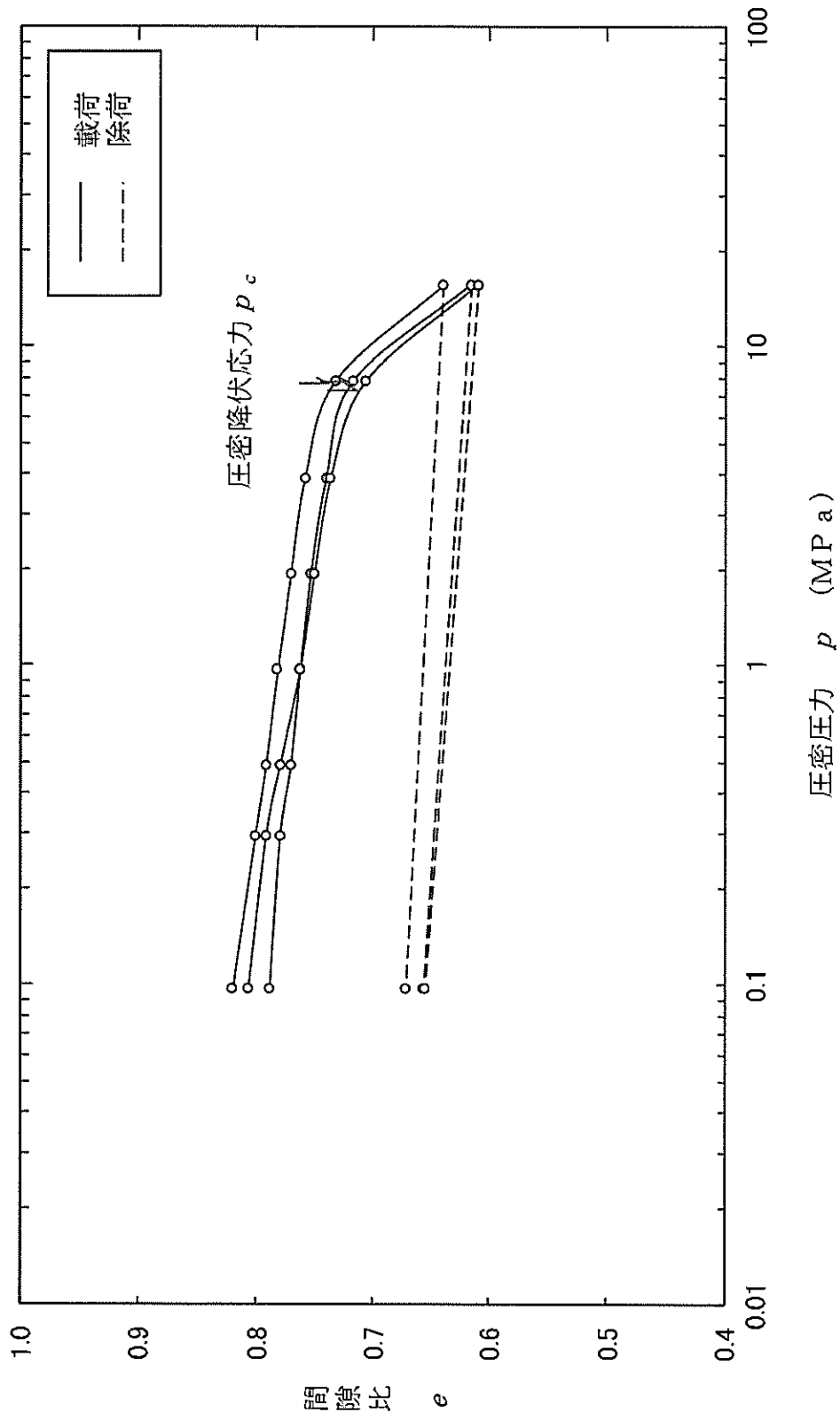
流動化处理土(A)

第 4.5-10 図(6) 静的変形特性
 (初期変形係数及びポアソン比と圧密応力の関係)

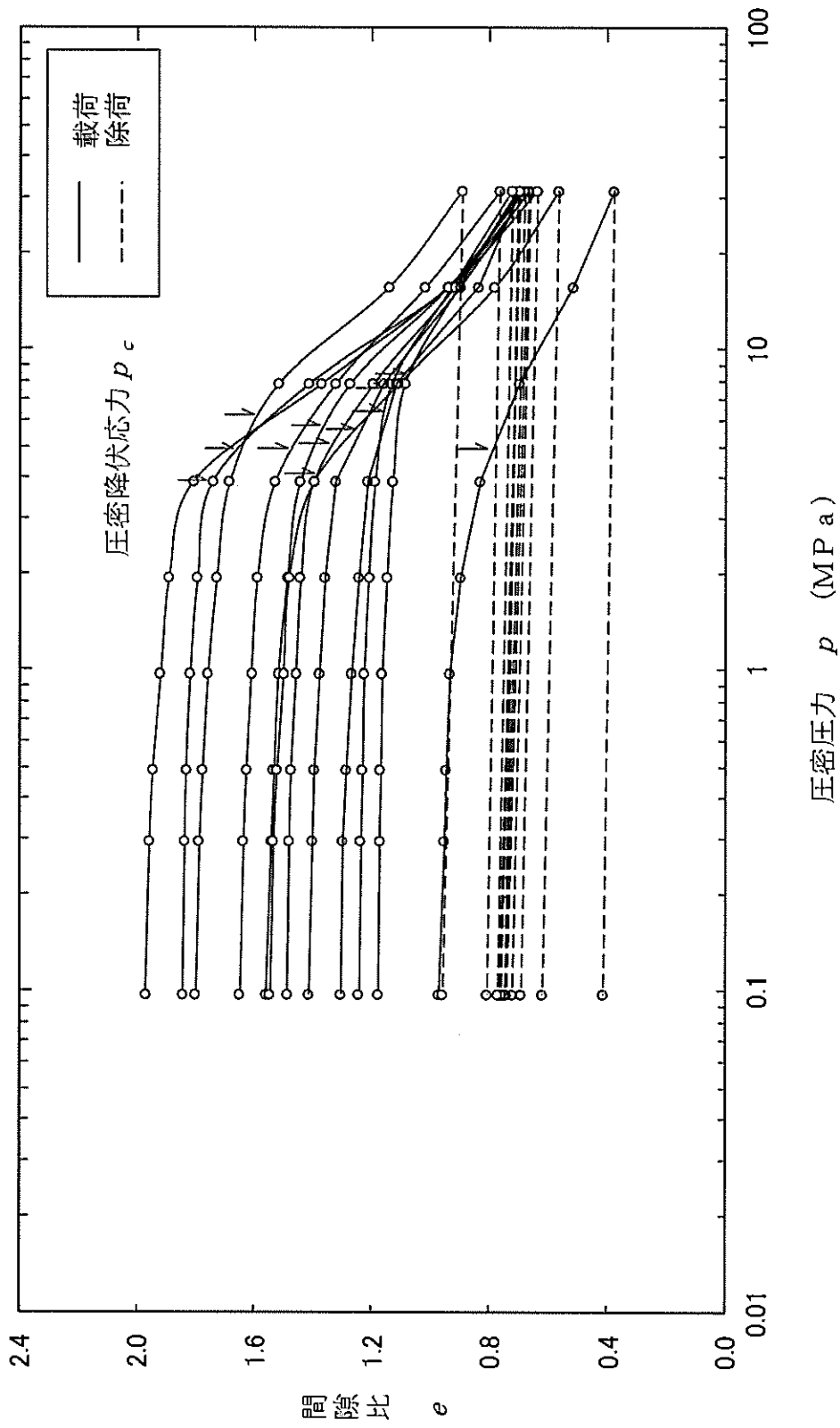


PP1

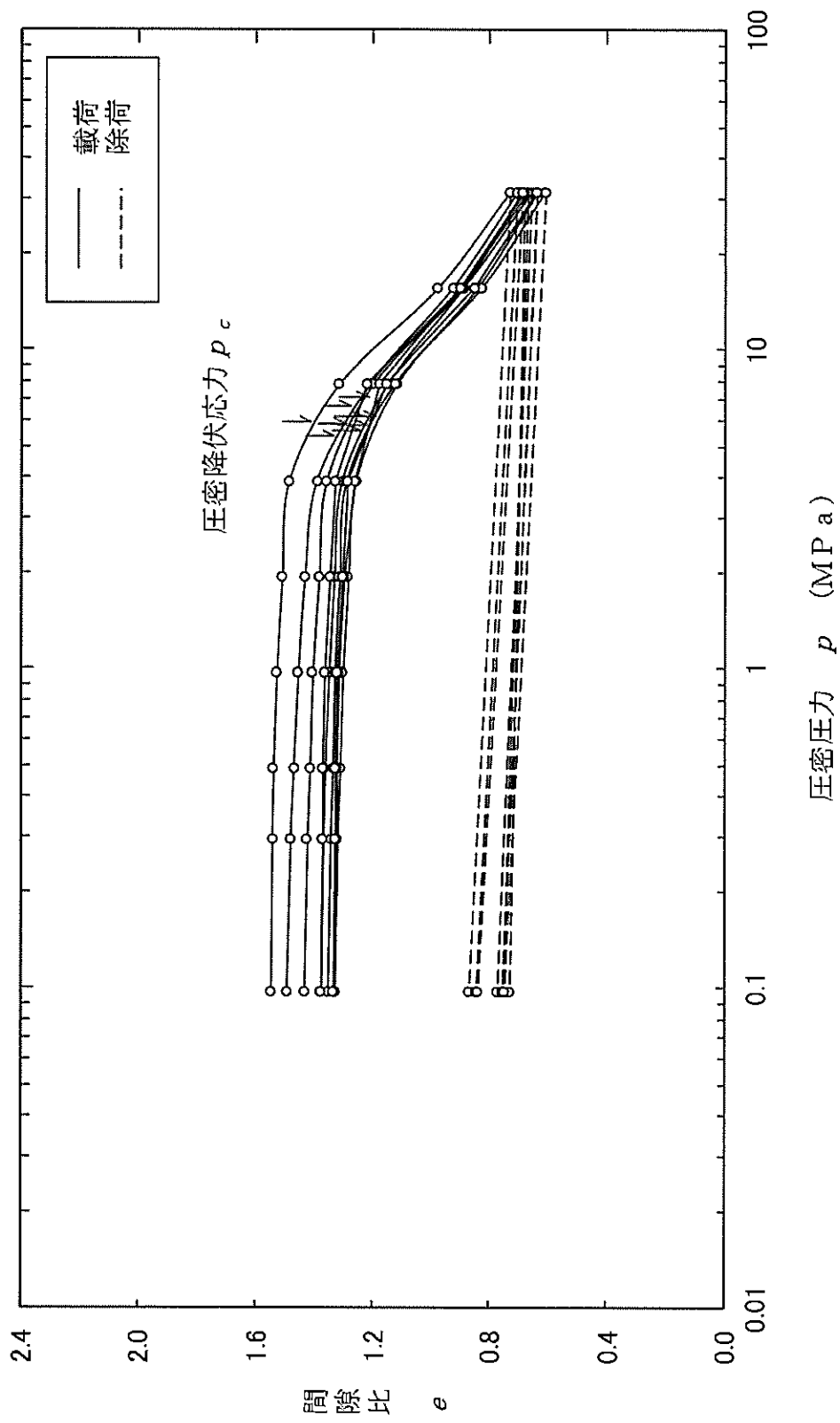
第 4.5-10 図(7) 静的変形特性
(初期変形係数及びポアソン比と標高の関係)



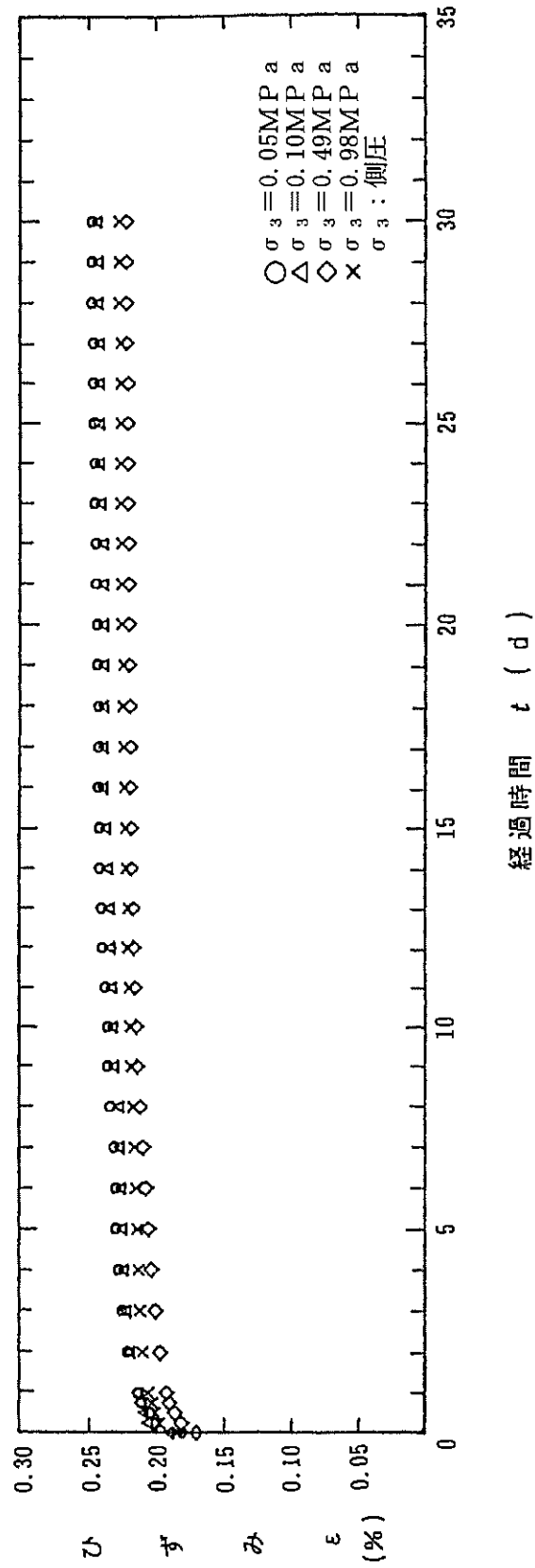
第 4.5-11 図(1) 圧密試験による間隙比-圧密圧力曲線 (鷹架層下部層)



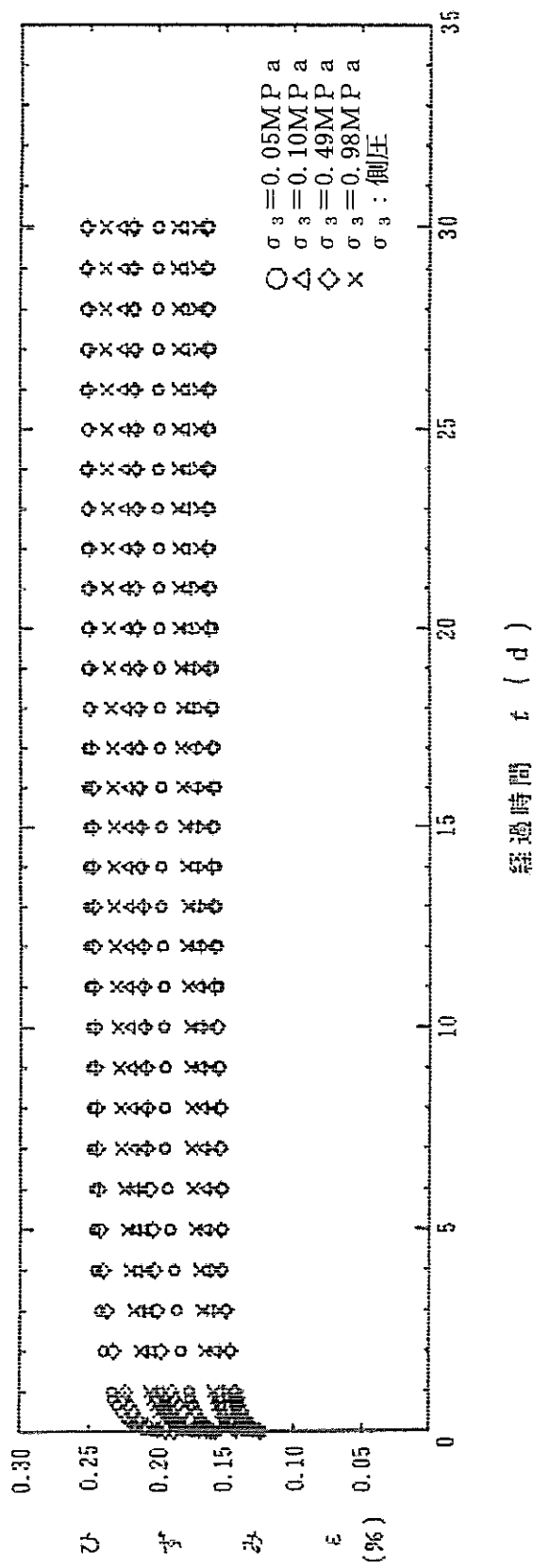
第 4.5-11 図(2) 圧密試験による空隙比一圧密圧力曲線 (鷹架層中部層)



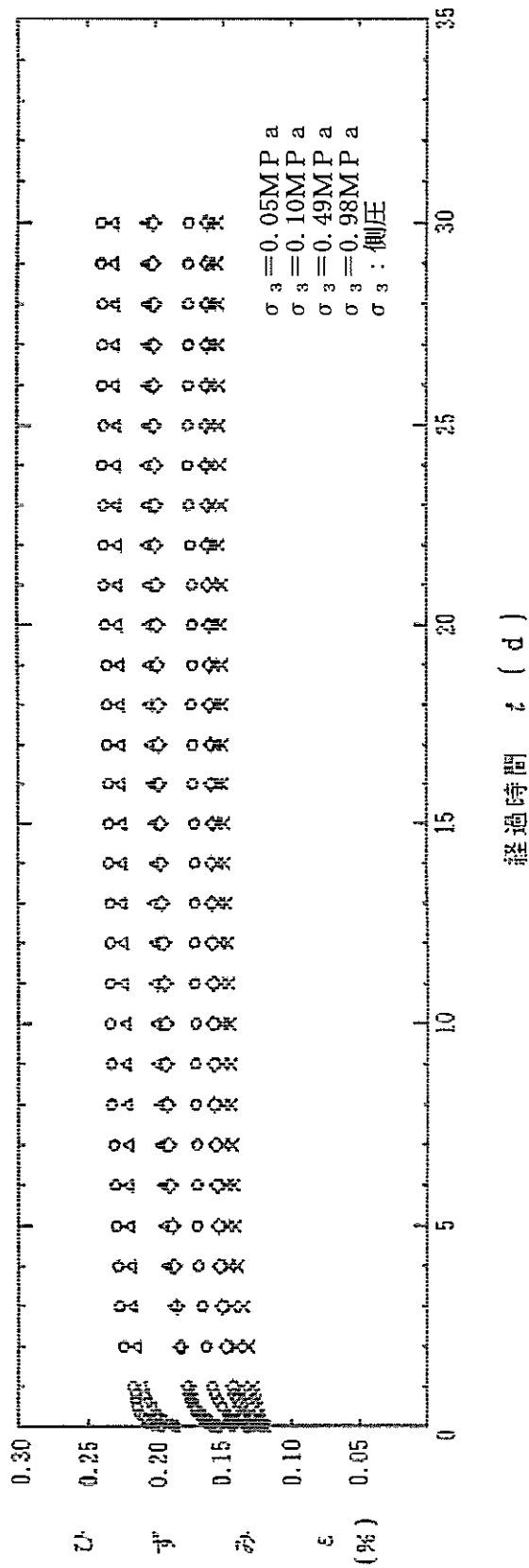
第 4.5-11 図(3) 圧密試験による間隙比—圧密圧力曲線 (鷹架層上部層)



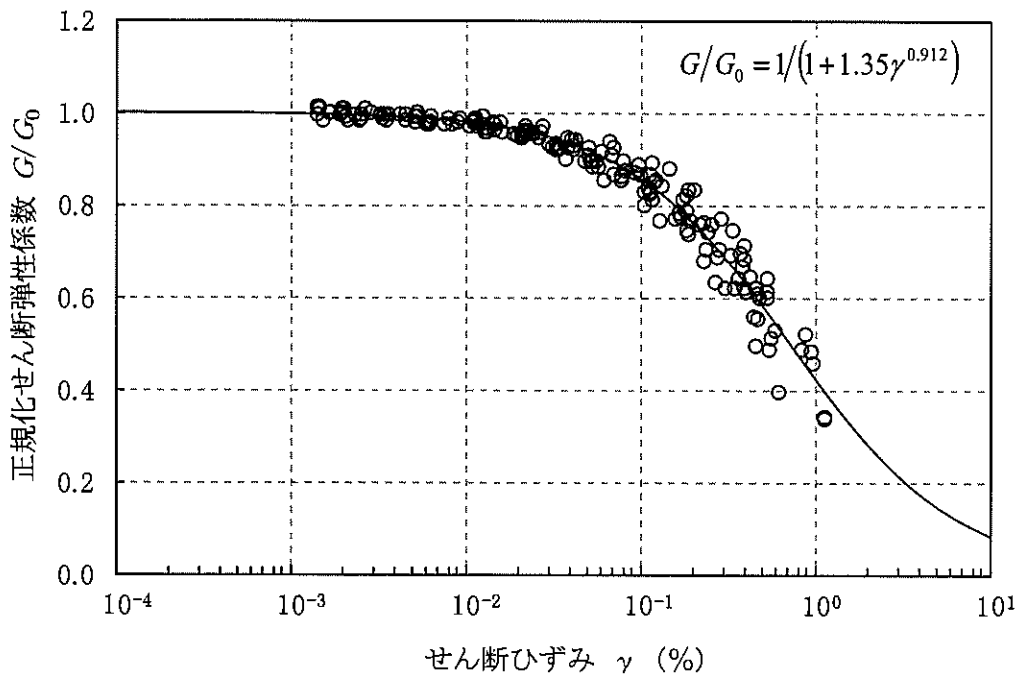
第 4.5-12 図(1) 三軸クリープ試験によるひずみ-時間曲線 (鷹架層下部層)



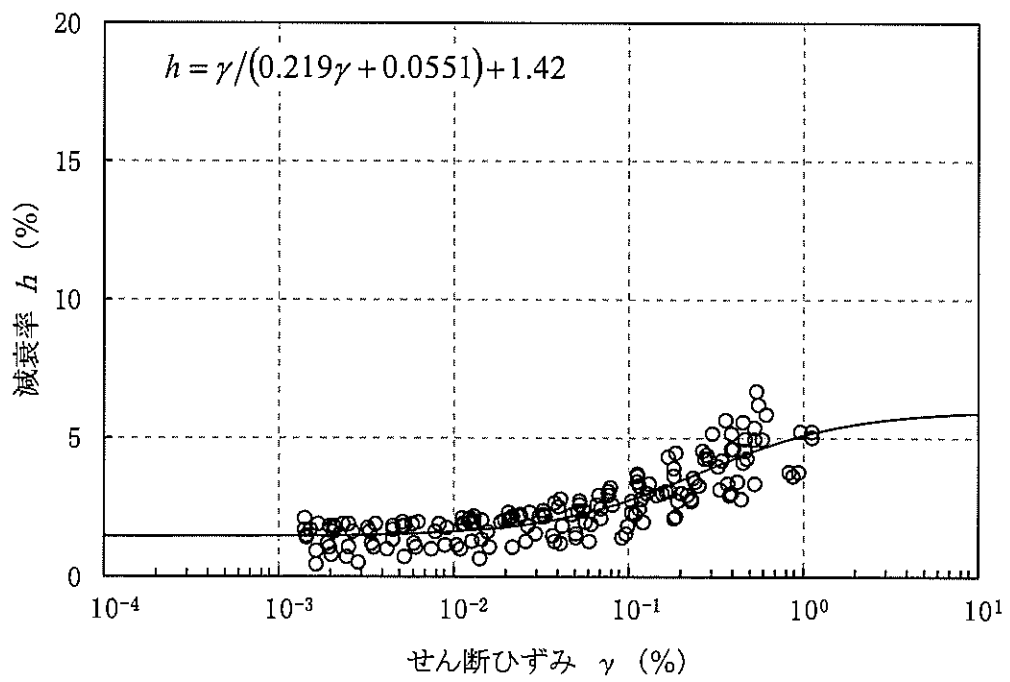
第4.5-12図(2) 三軸クリーブ試験によるひずみ-時間曲線 (鷹架層中部層)



第 4.5-12 図(3) 三軸クリープ試験によるひずみ-時間曲線 (鷹架層上部層)

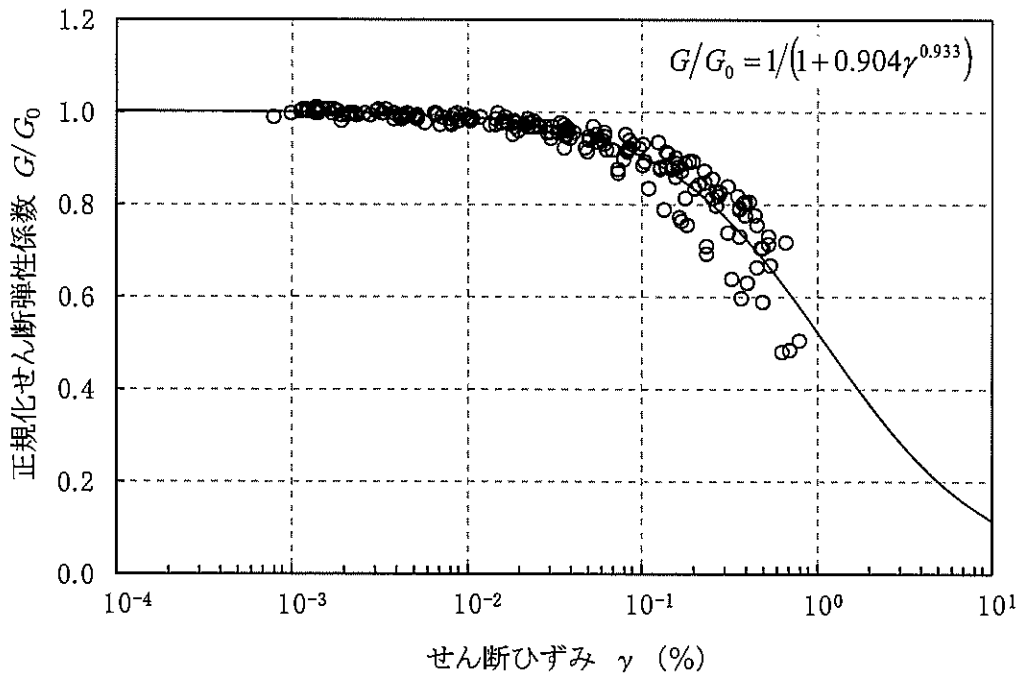


(a) 動的変形特性

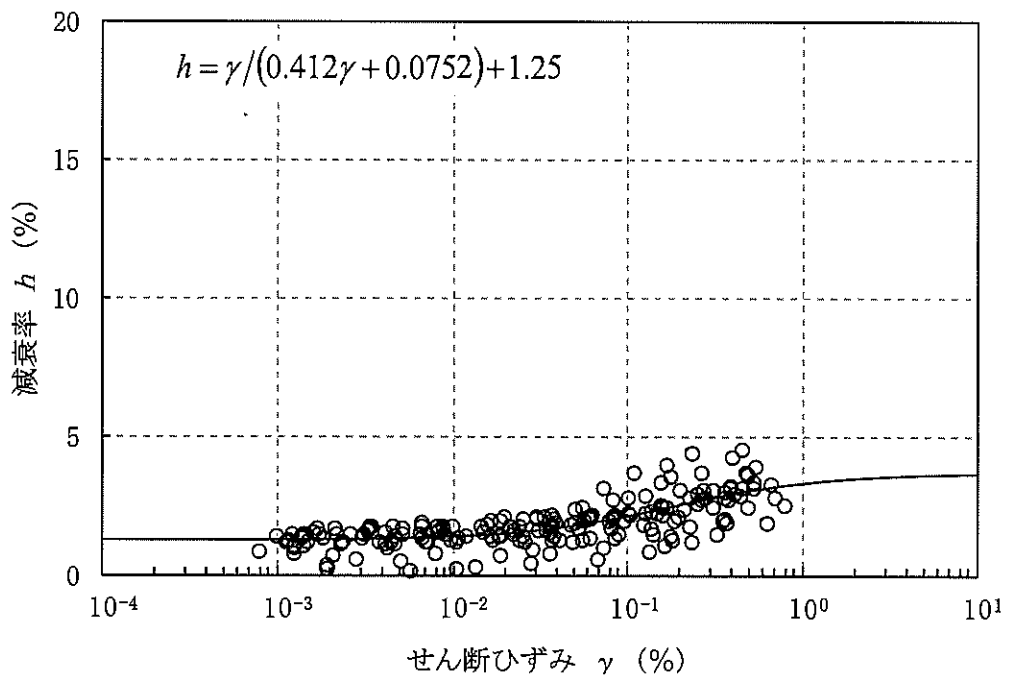


(b) 減衰特性

第 4.5-13 図(1) 変形特性のひずみ依存性 (泥岩 (上部層))

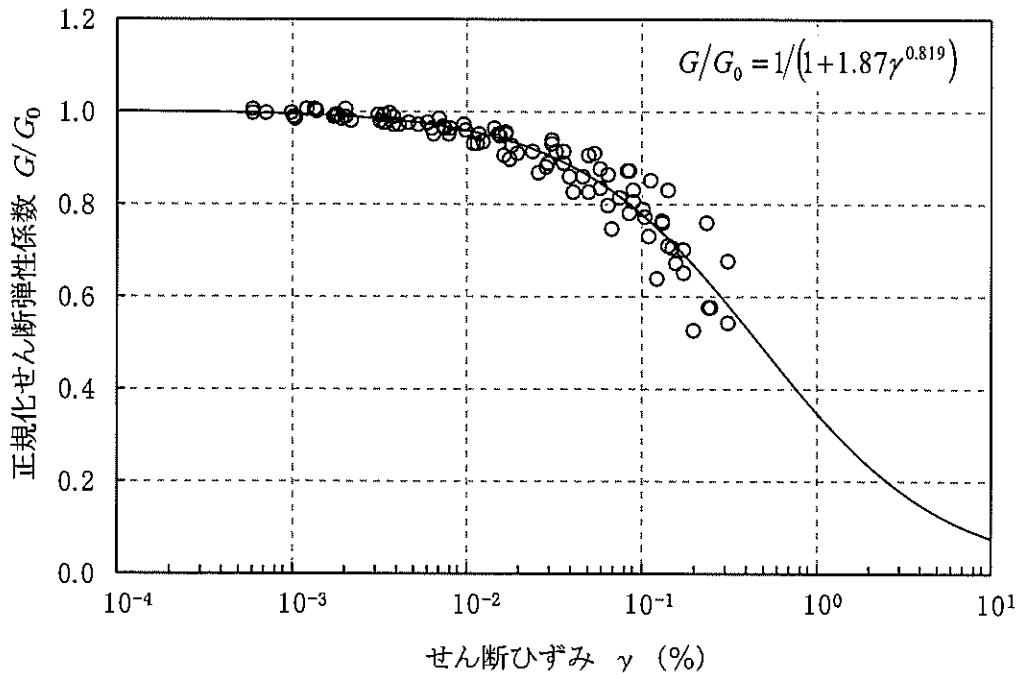


(a) 動的変形特性

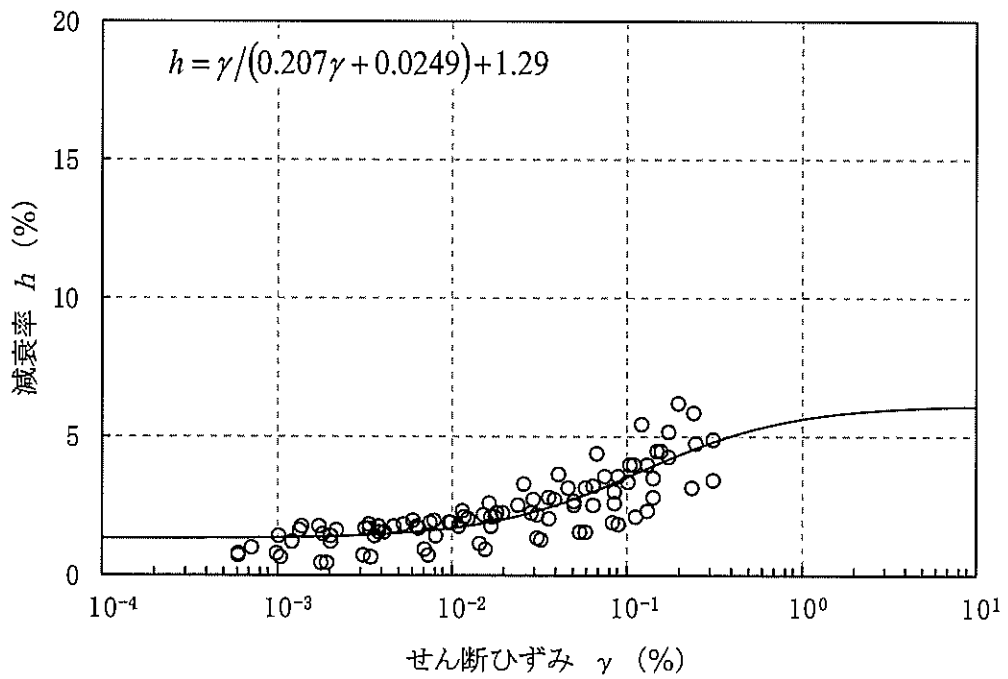


(b) 減衰特性

第 4.5-13 図(2) 変形特性のひずみ依存性 (泥岩 (下部層))

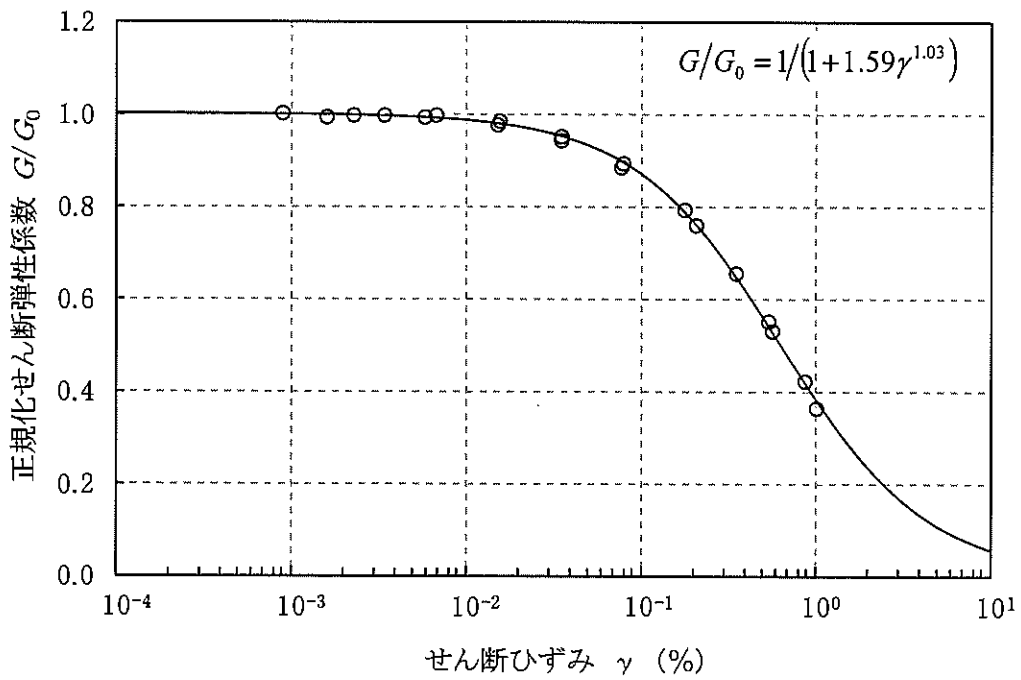


(a) 動的変形特性

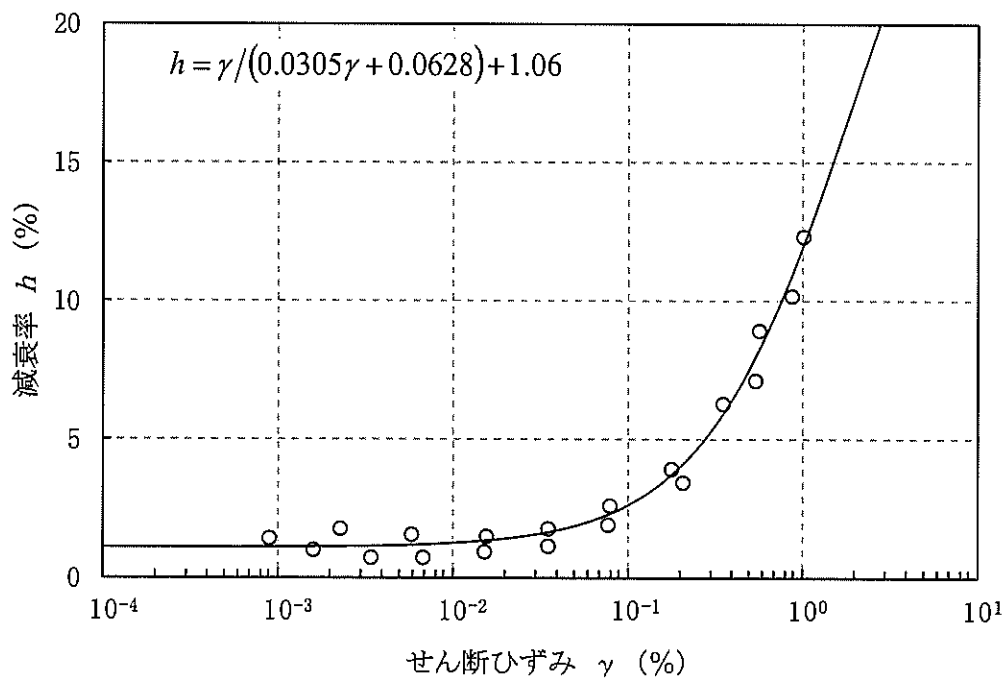


(b) 減衰特性

第 4.5-13 図(3) 変形特性のひずみ依存性 (細粒砂岩)

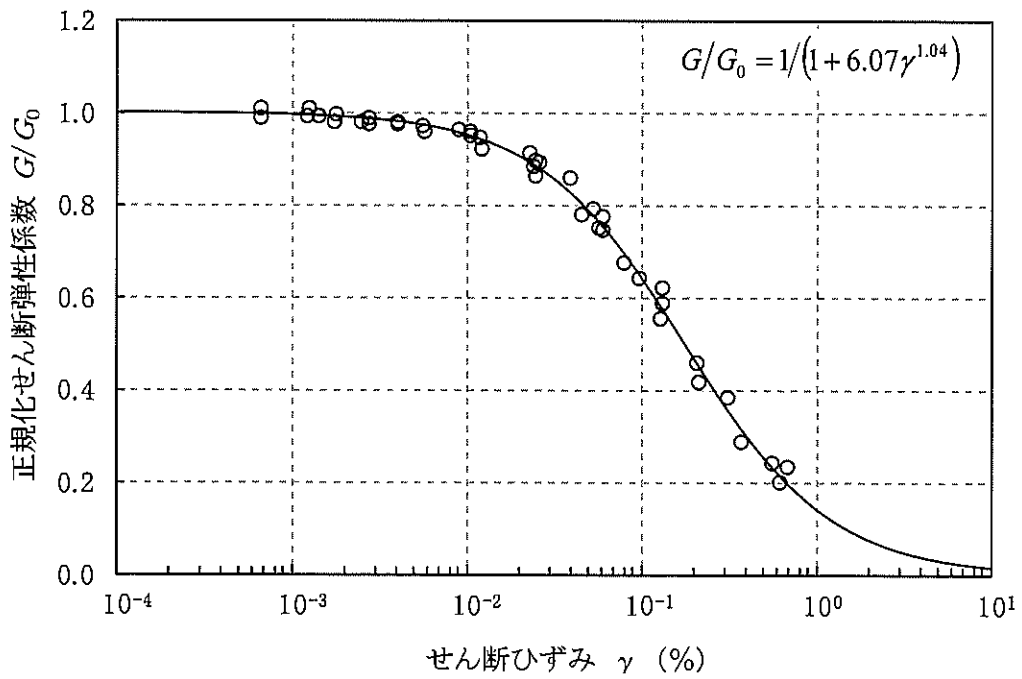


(a) 動的変形特性

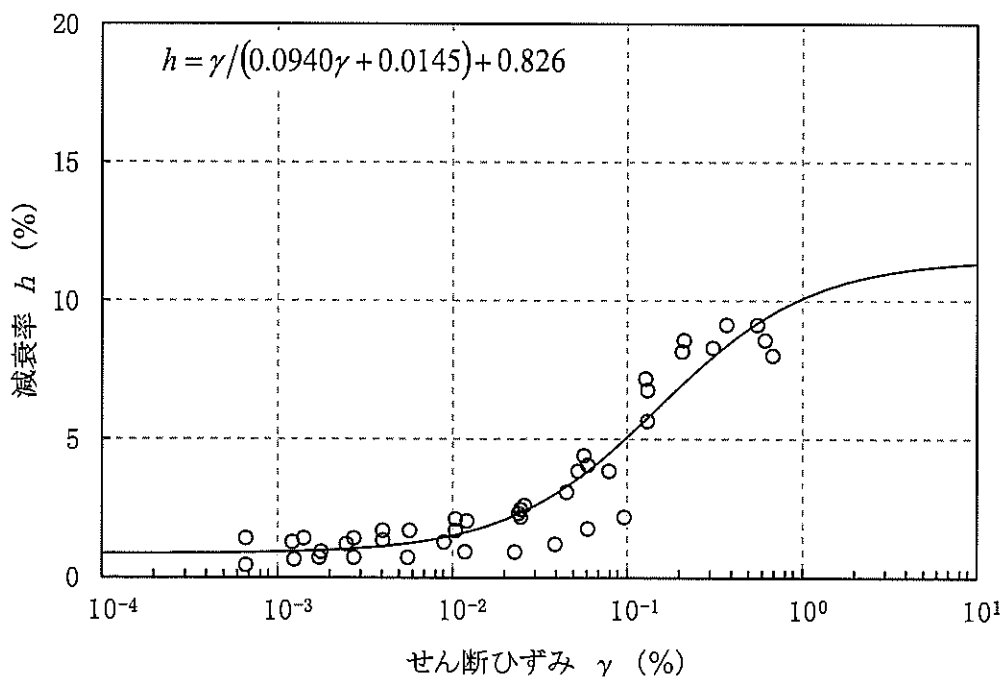


(b) 減衰特性

第 4.5-13 図(4) 変形特性のひずみ依存性 (凝灰質砂岩)

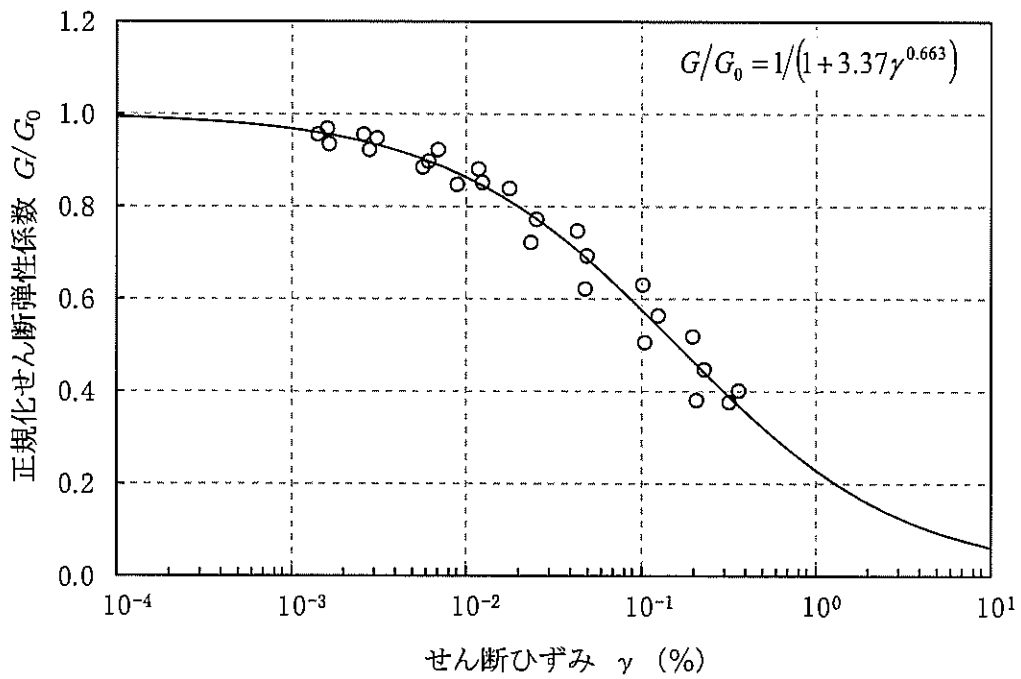


(a) 動的変形特性

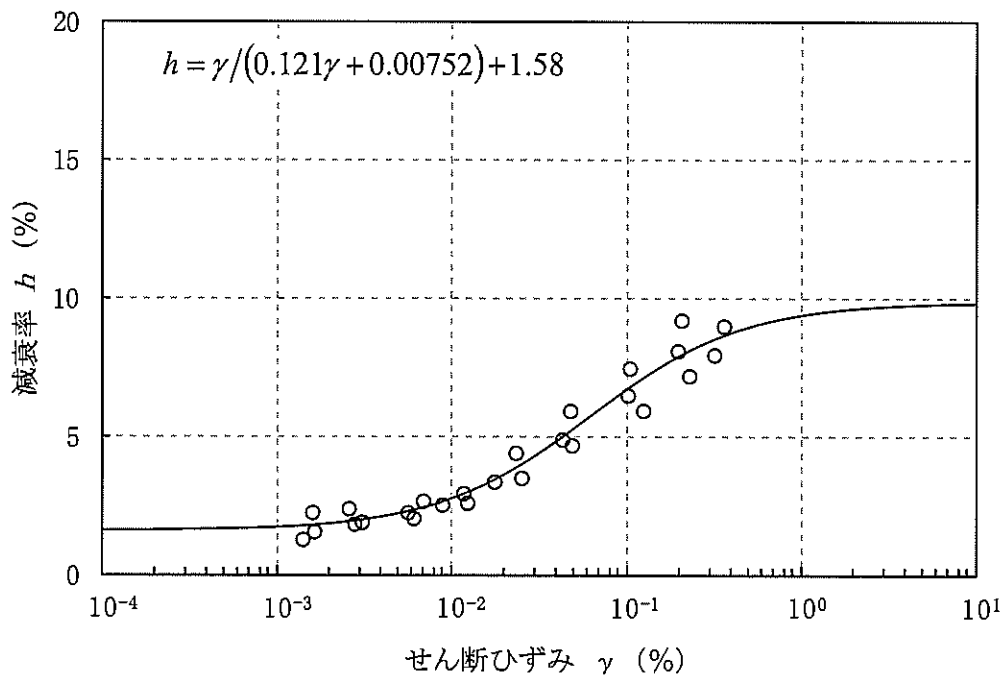


(b) 減衰特性

第 4.5-13 図(5) 変形特性のひずみ依存性 (軽石質砂岩)

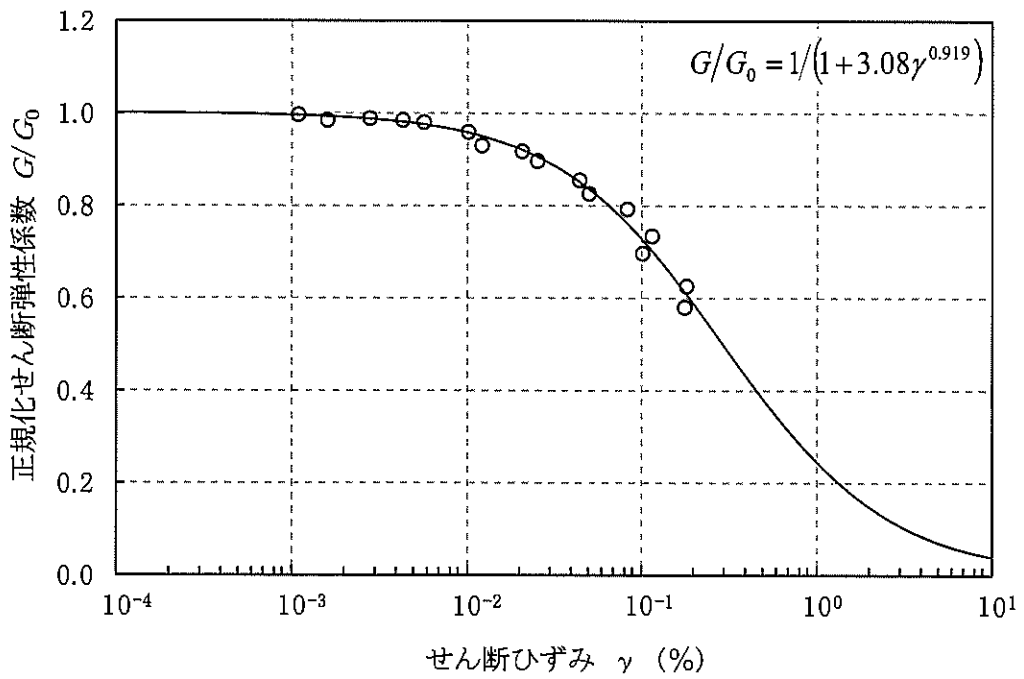


(a) 動的変形特性

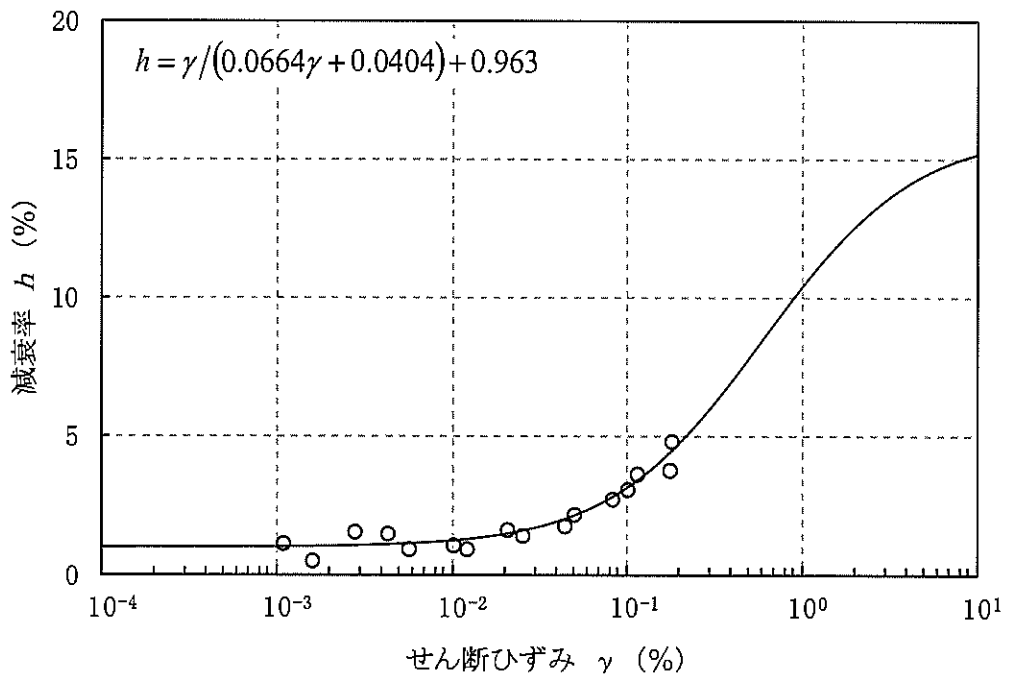


(b) 減衰特性

第 4.5-13 図(6) 変形特性のひずみ依存性 (粗粒砂岩)

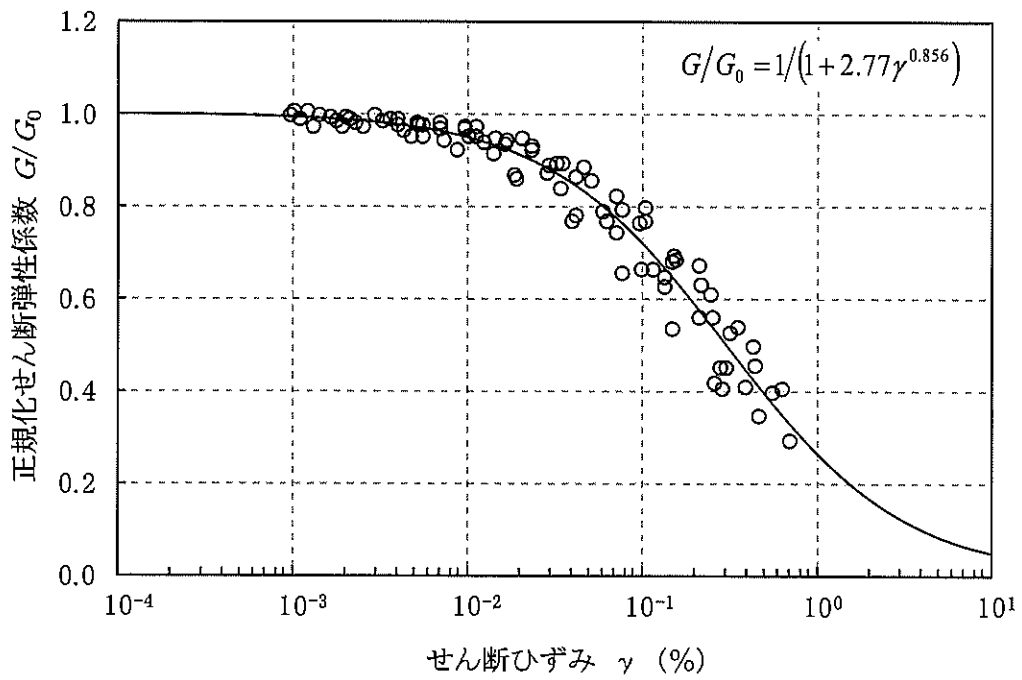


(a) 動的変形特性

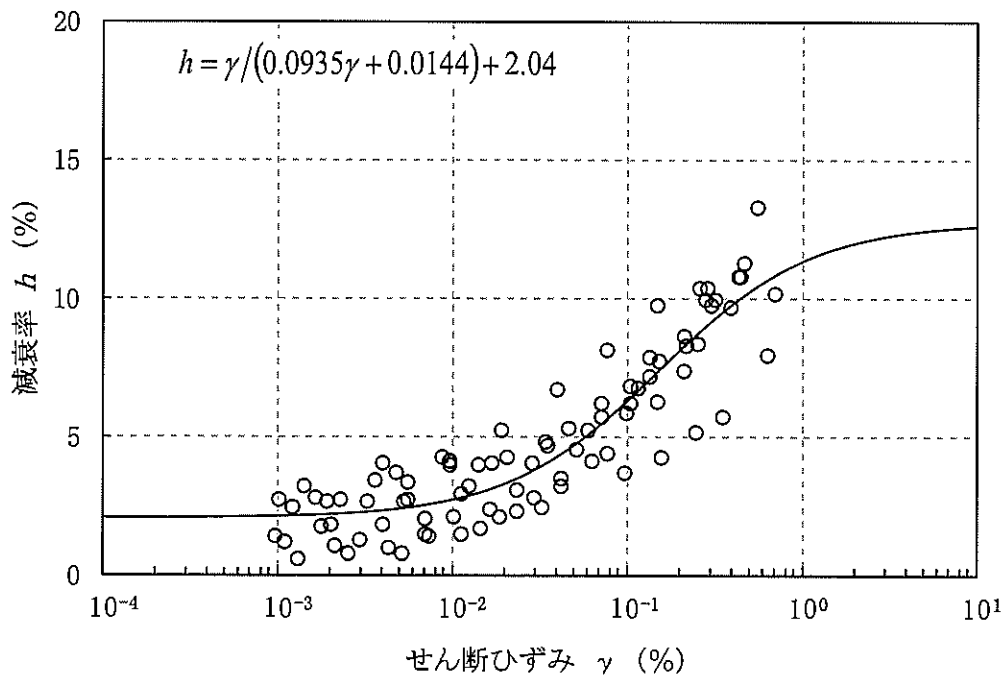


(b) 減衰特性

第 4.5-13 図(7) 変形特性のひずみ依存性 (砂岩・泥岩互層)

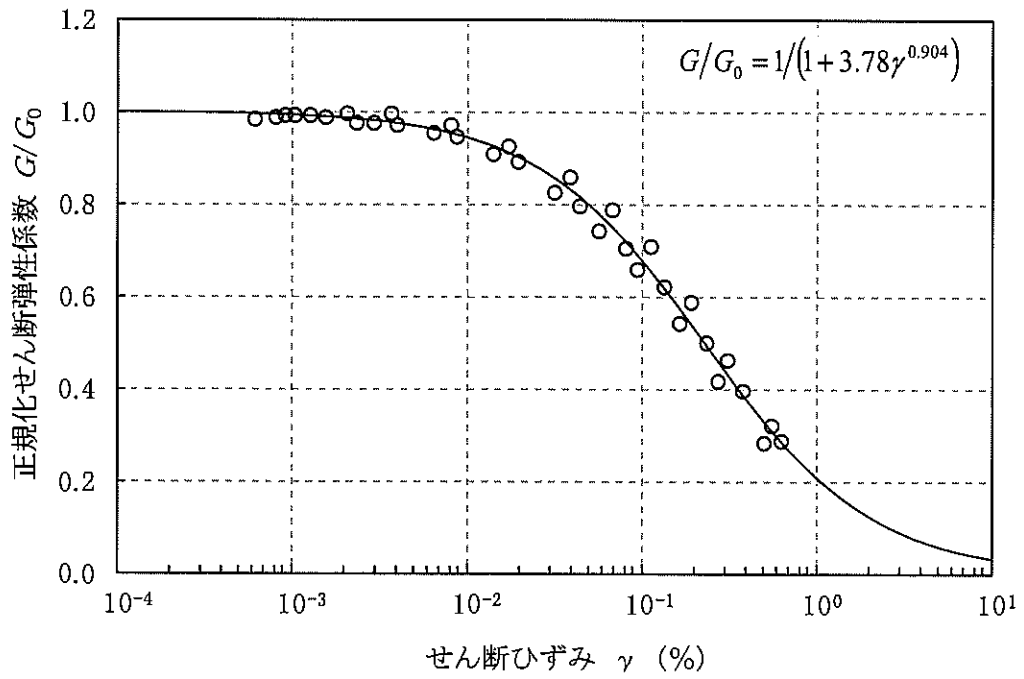


(a) 動的変形特性

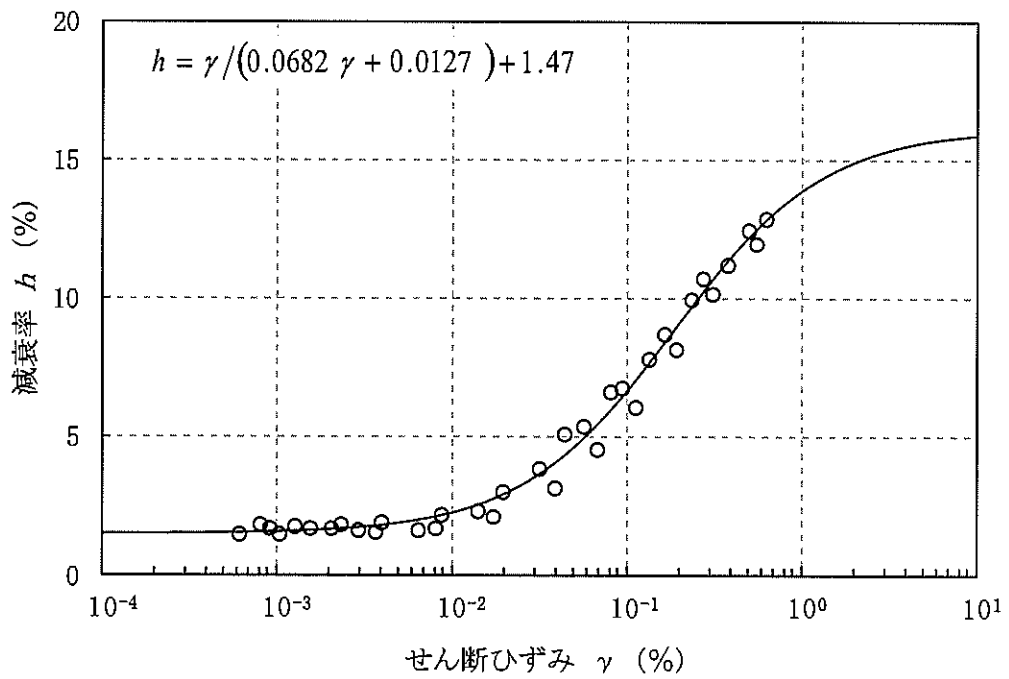


(b) 減衰特性

第 4.5-13 図(8) 変形特性のひずみ依存性 (砂岩・凝灰岩互層)

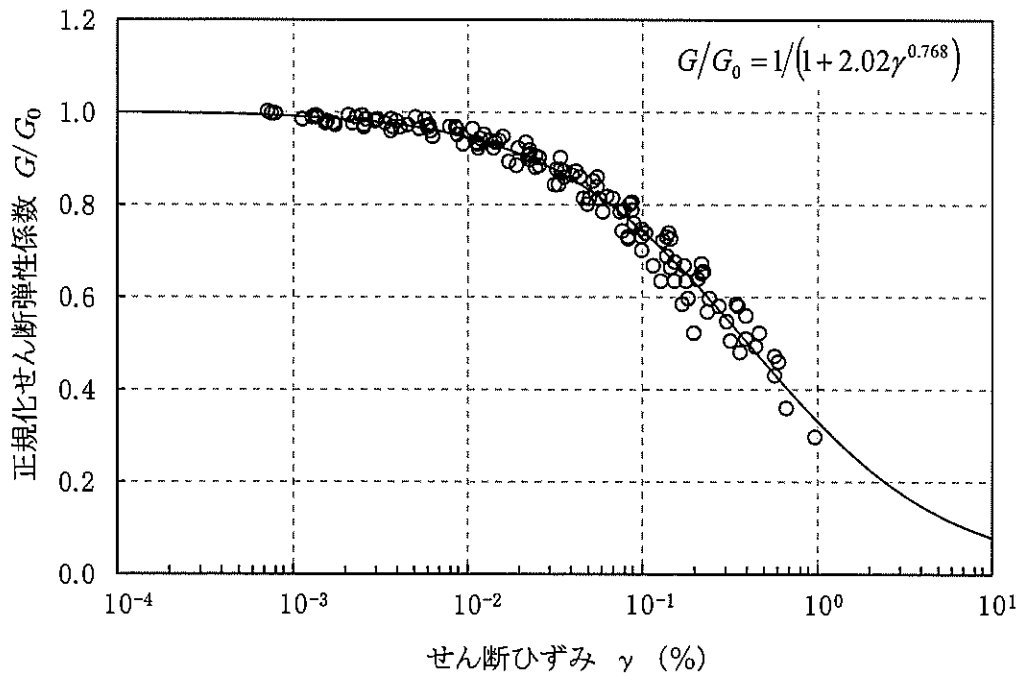


(a) 動的変形特性

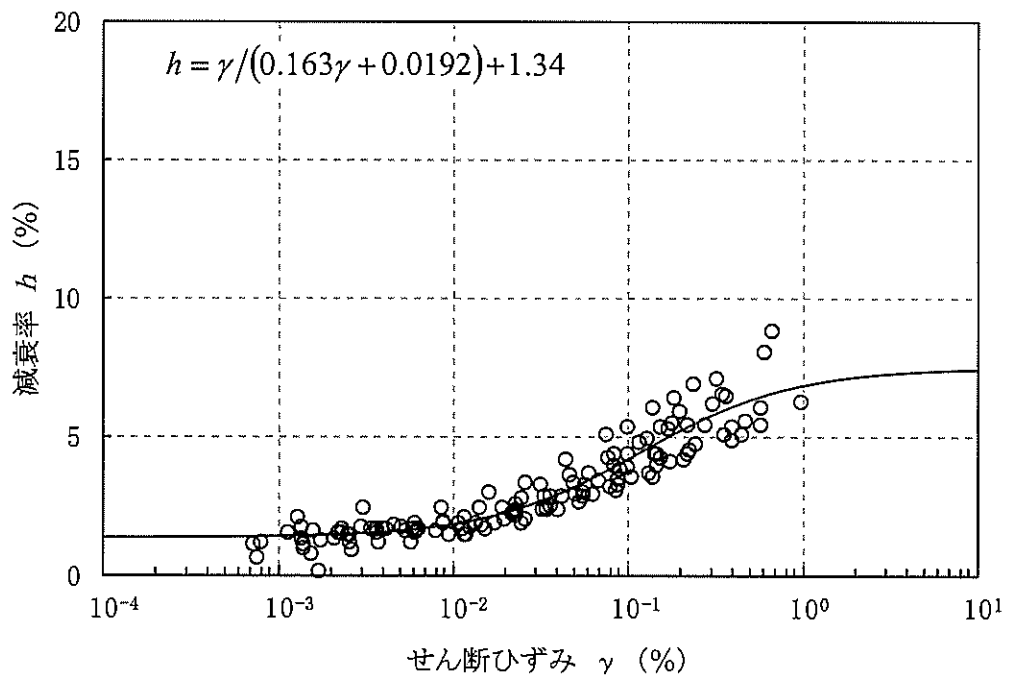


(b) 減衰特性

第 4.5-13 図(9) 変形特性のひずみ依存性 (凝灰岩)

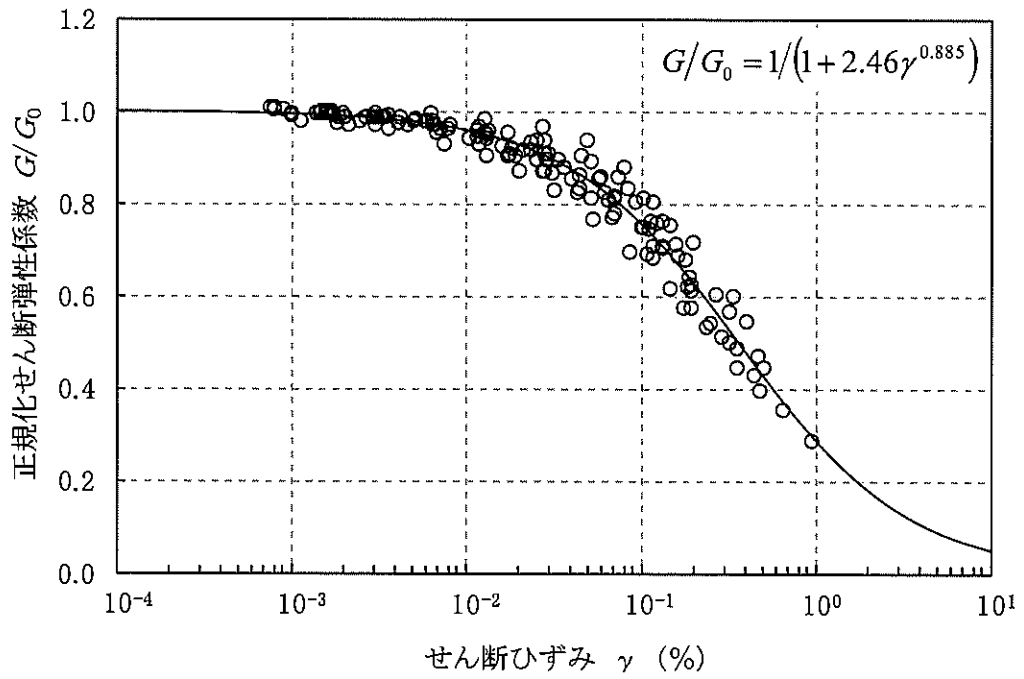


(a) 動的変形特性

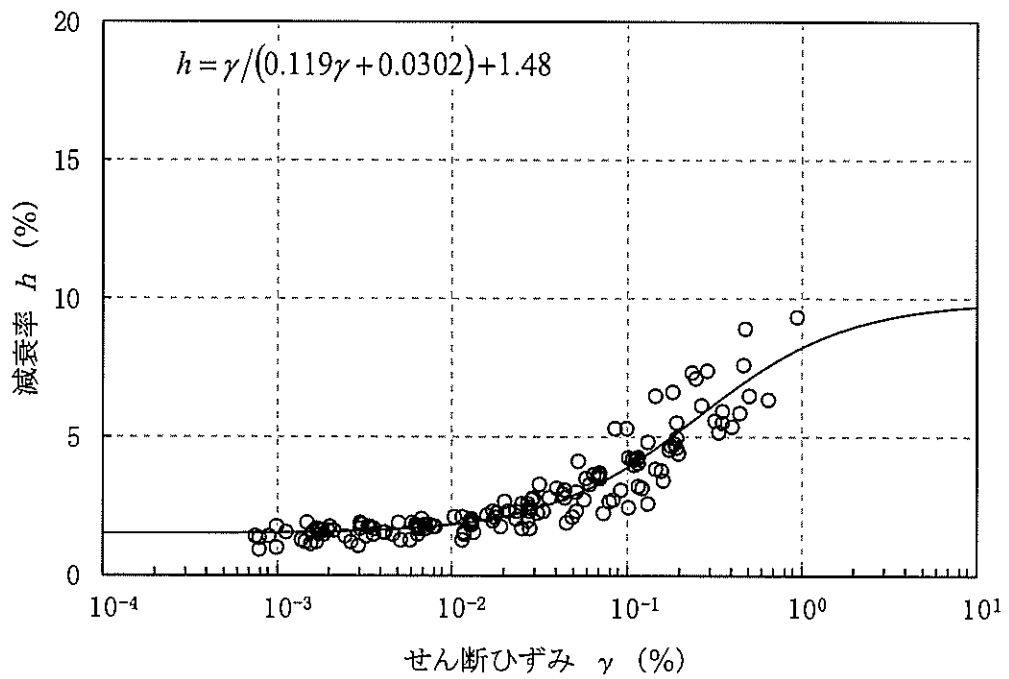


(b) 減衰特性

第 4.5-13 図(10) 変形特性のひずみ依存性 (軽石凝灰岩)

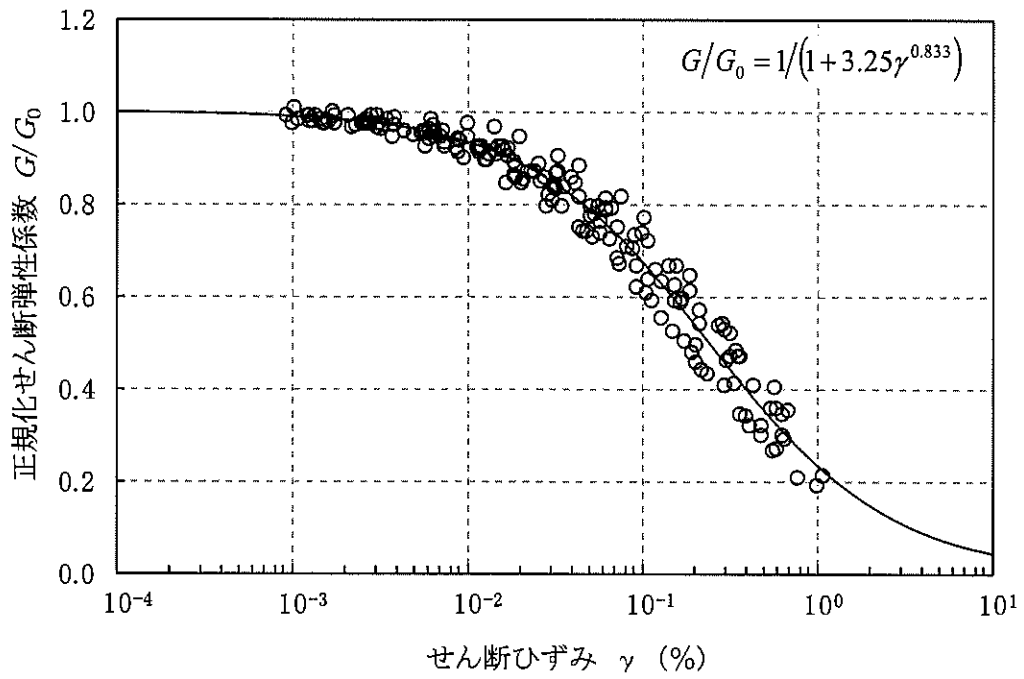


(a) 動の変形特性

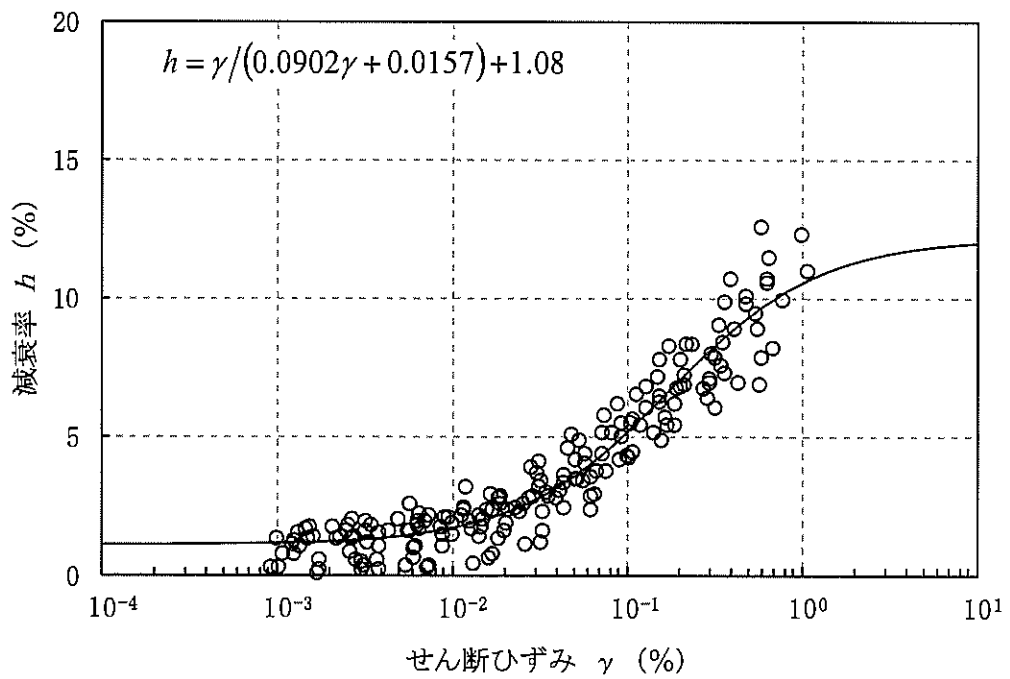


(b) 減衰特性

第 4.5-13 図(II) 変形特性のひずみ依存性 (砂質軽石凝灰岩)

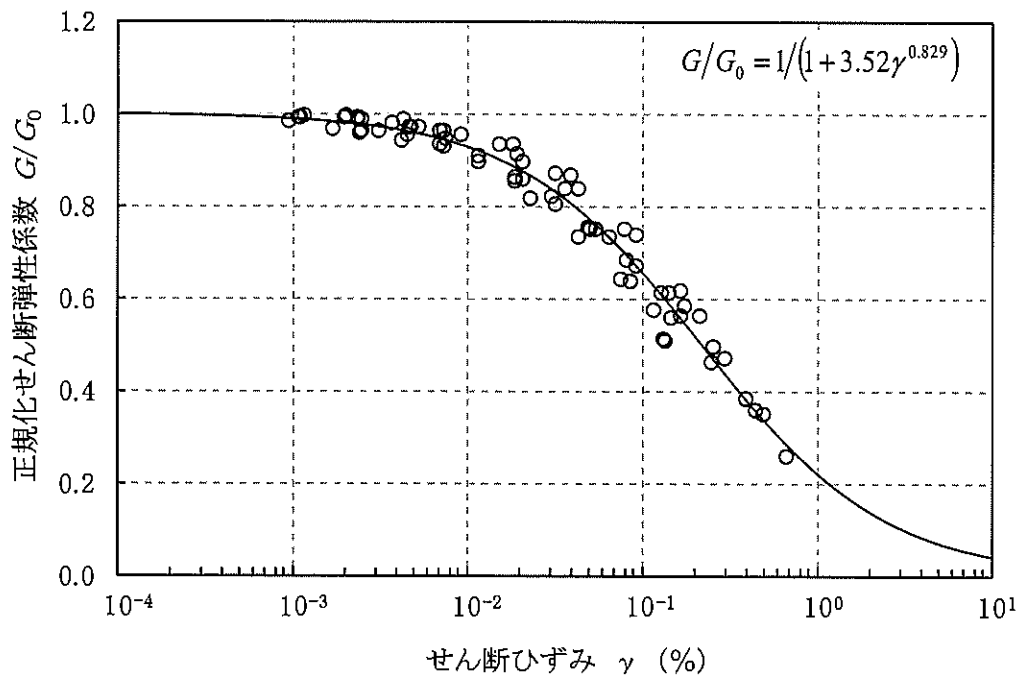


(a) 動的変形特性

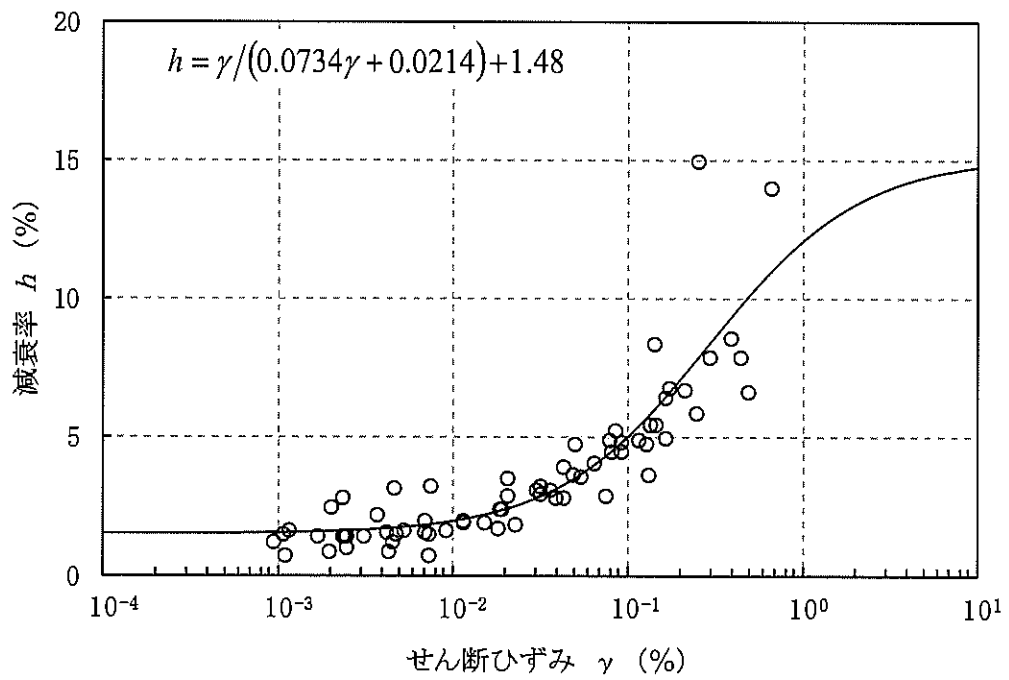


(b) 減衰特性

第 4.5-13 図(12) 変形特性のひずみ依存性 (礫混り砂岩)

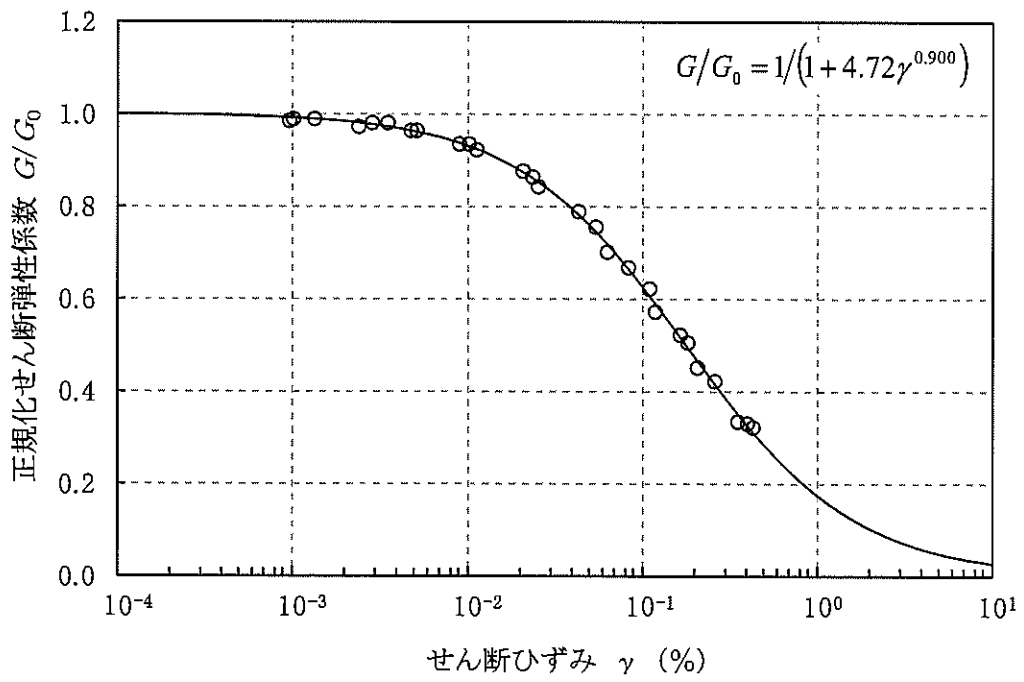


(a) 動的変形特性

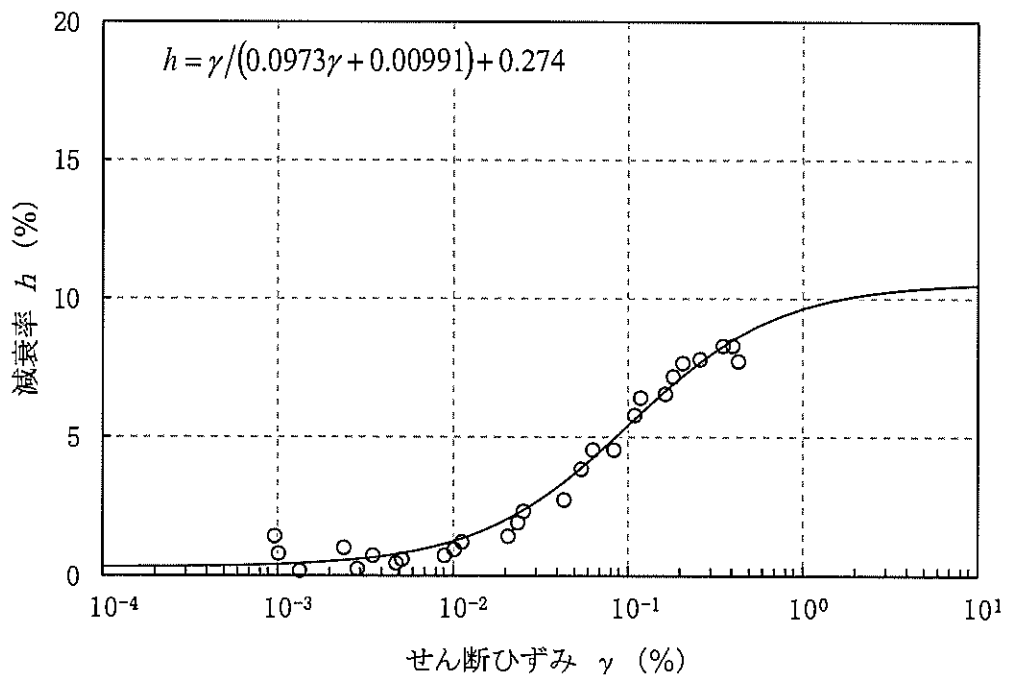


(b) 減衰特性

第 4.5-13 図(13) 変形特性のひずみ依存性 (軽石混り砂岩)

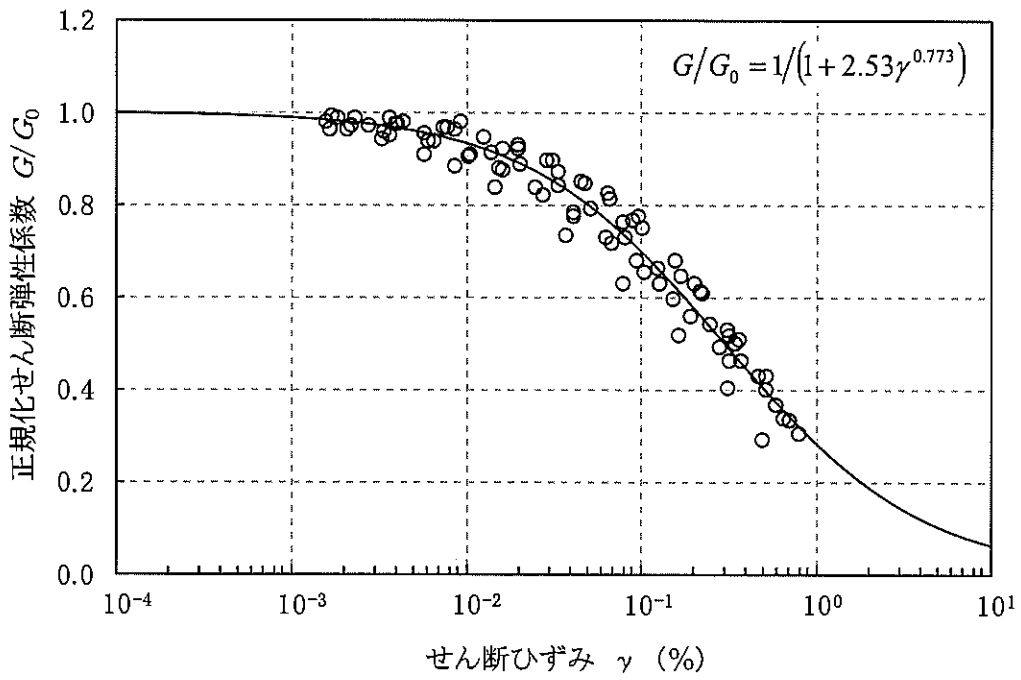


(a) 動的変形特性

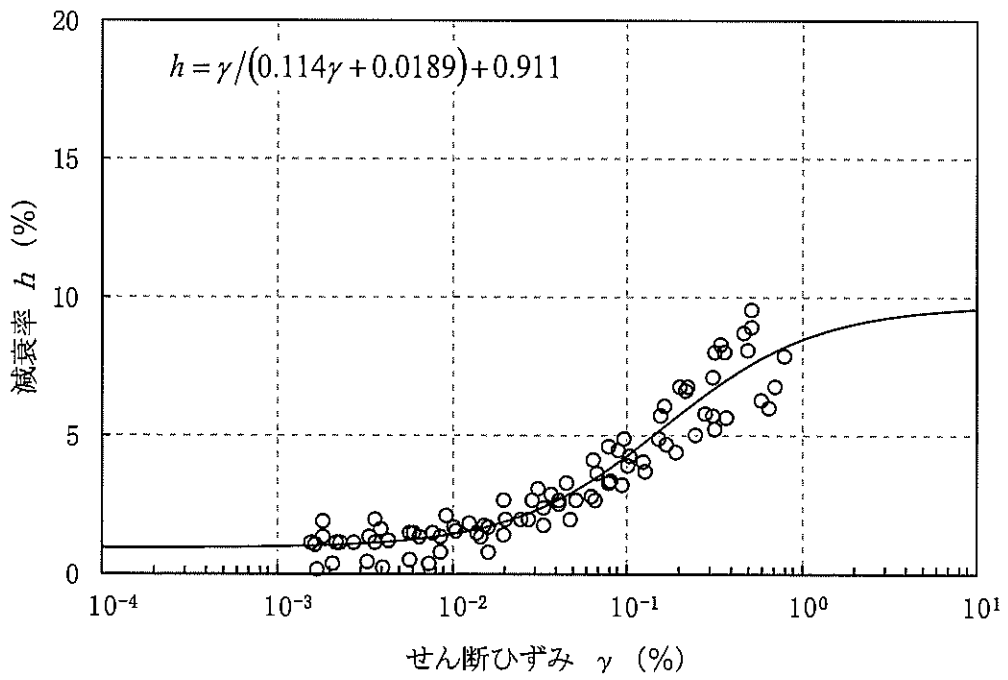


(b) 減衰特性

第 4.5-13 図(14) 変形特性のひずみ依存性 (礫岩)

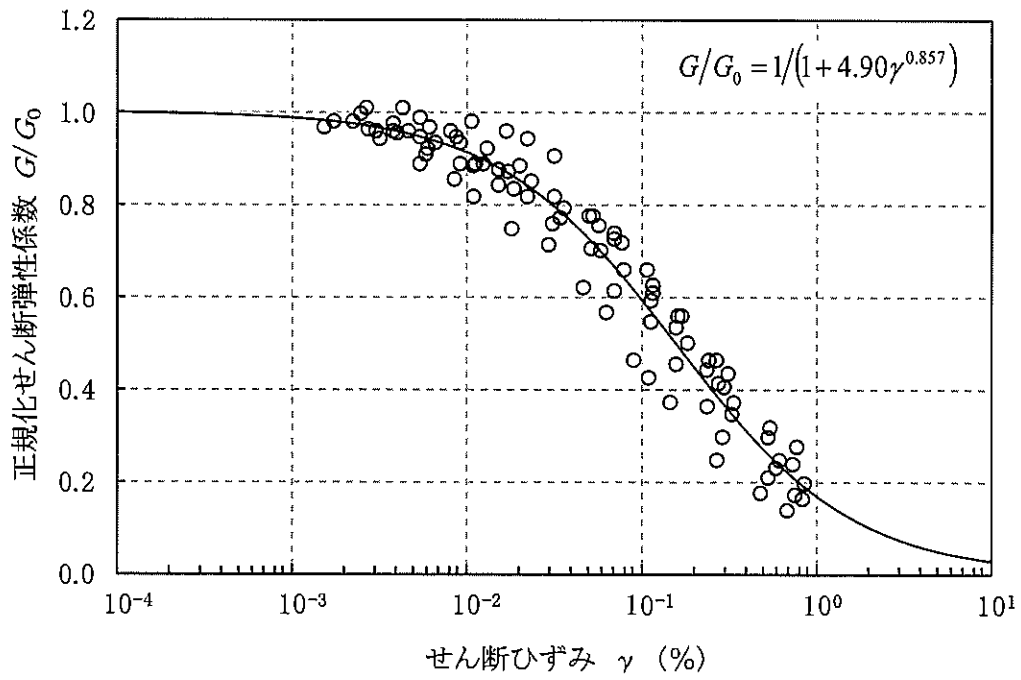


(a) 動的変形特性

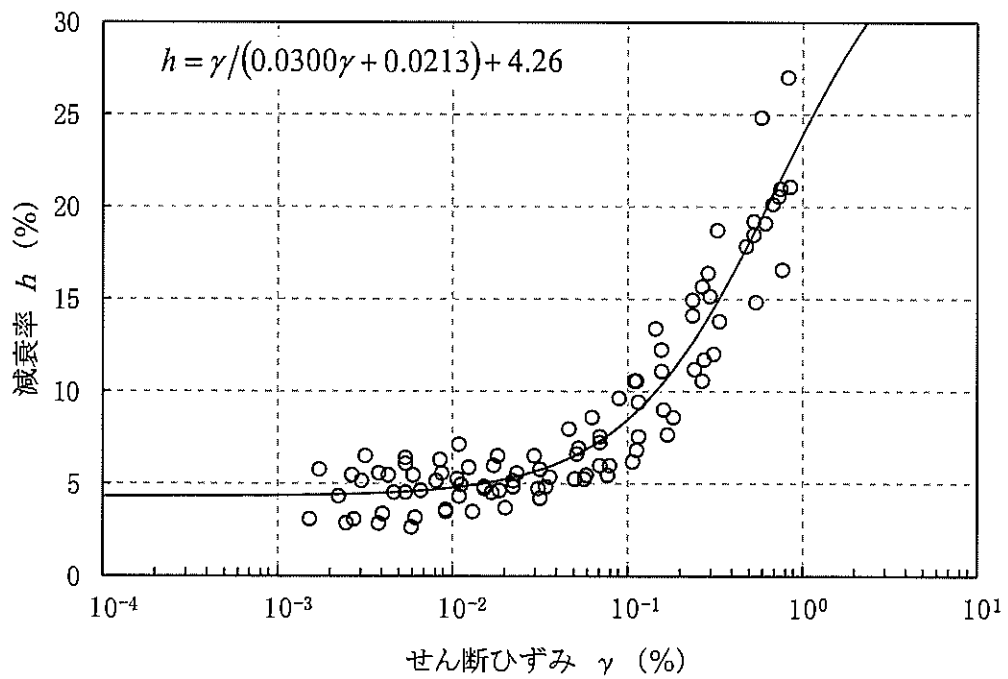


(b) 減衰特性

第 4.5-13 図(15) 変形特性のひずみ依存性 (風化岩)

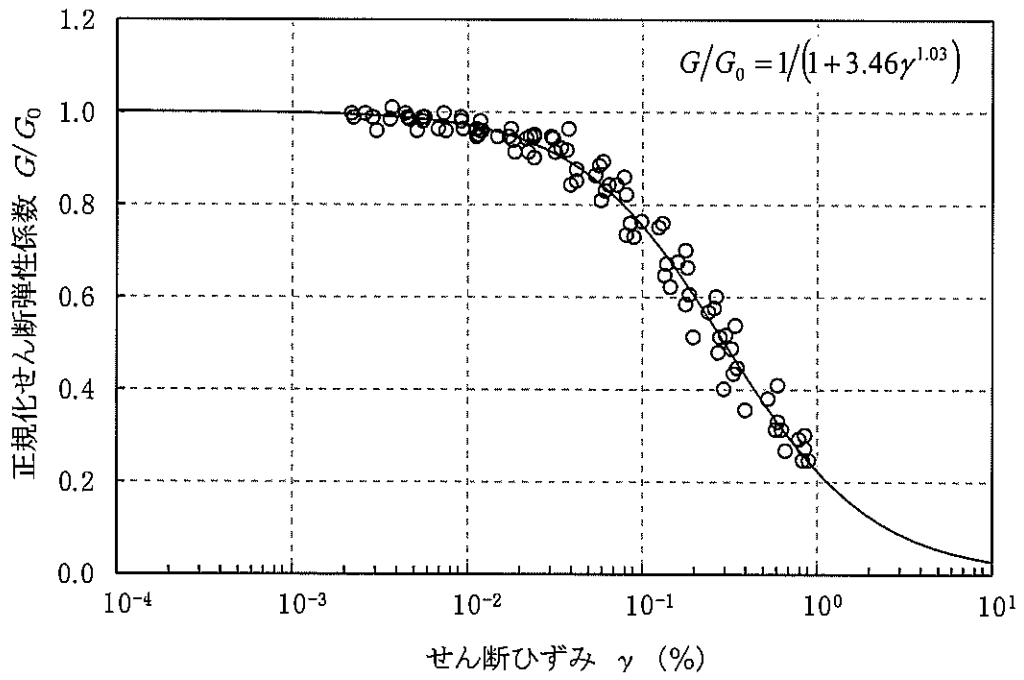


(a) 動的変形特性

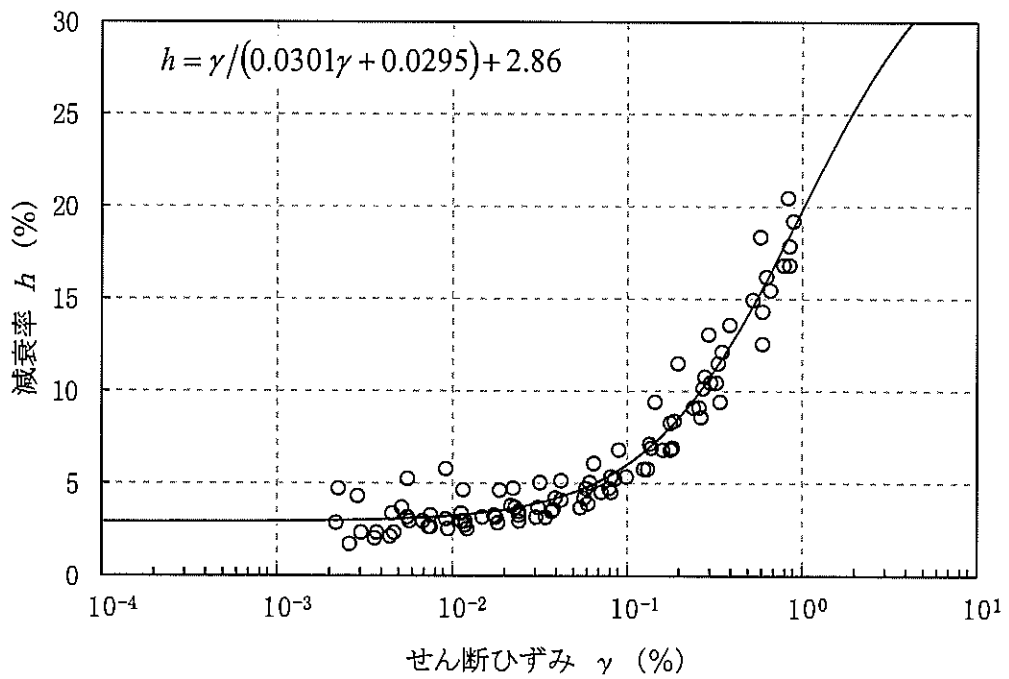


(b) 減衰特性

第 4.5-13 図(16) 変形特性のひずみ依存性 (f-1 断層)

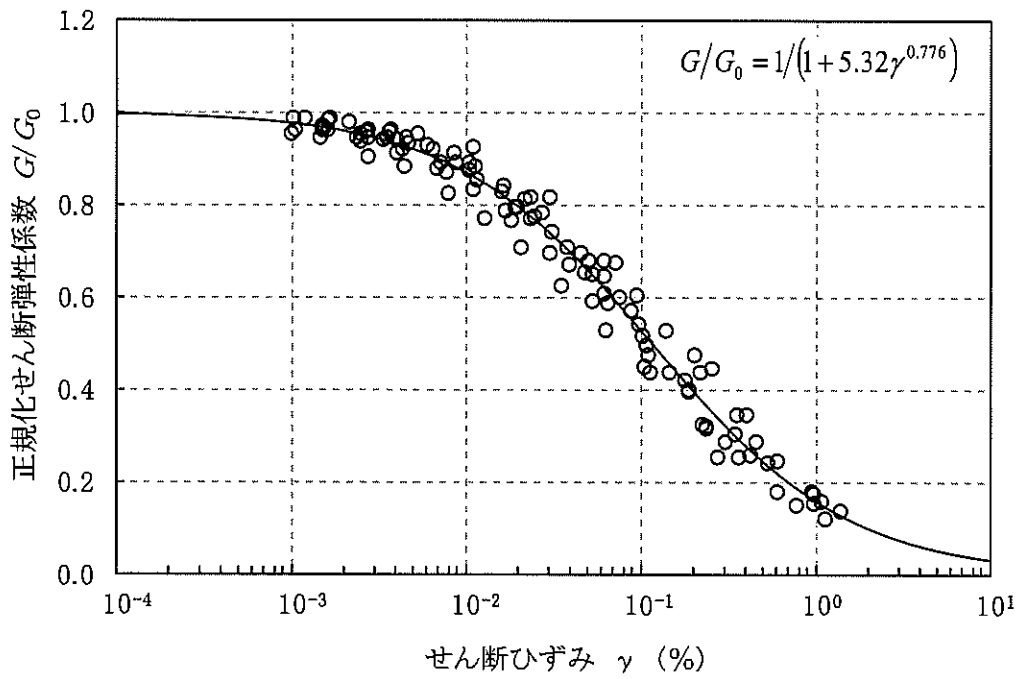


(a) 動的変形特性

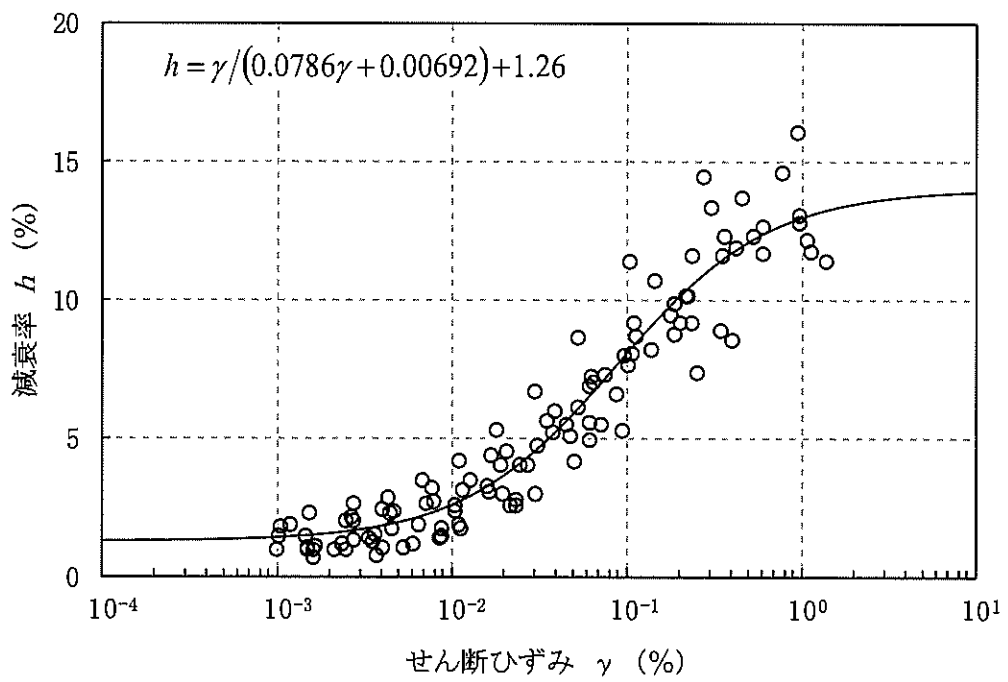


(b) 減衰特性

第 4.5-13 図(17) 変形特性のひずみ依存性 (f-2 断層)

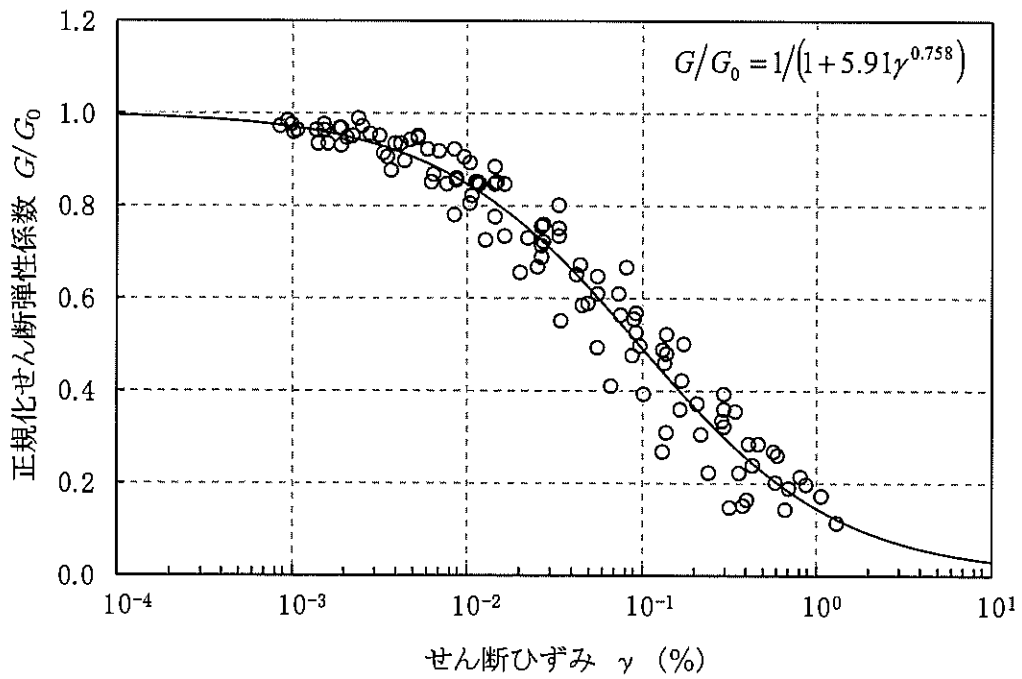


(a) 動の変形特性

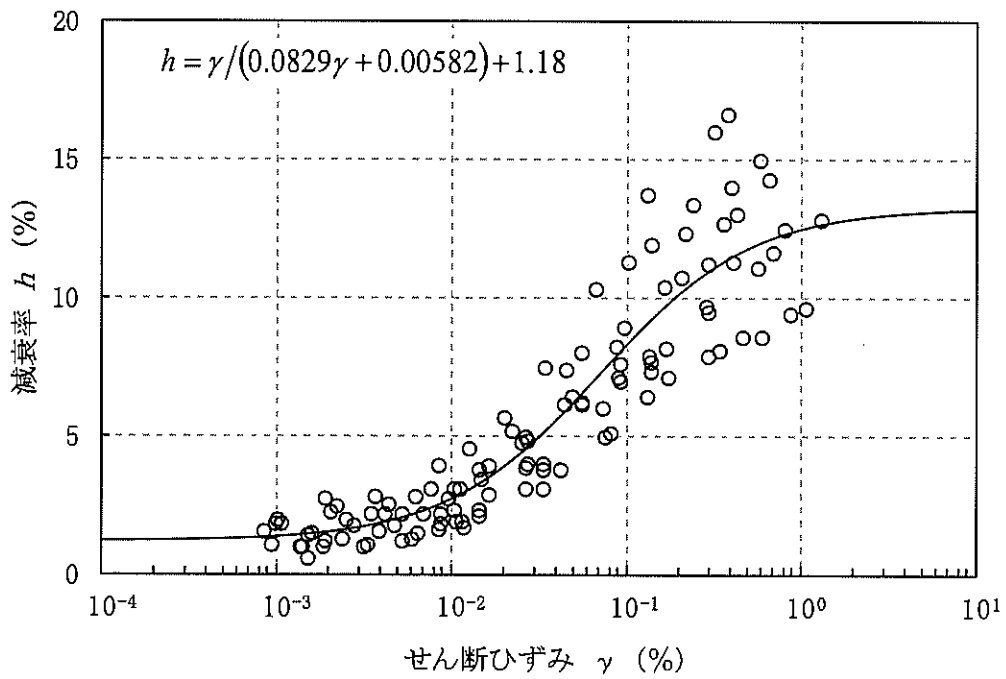


(b) 減衰特性

第 4.5-13 図(18) 変形特性のひずみ依存性 (P P 1)

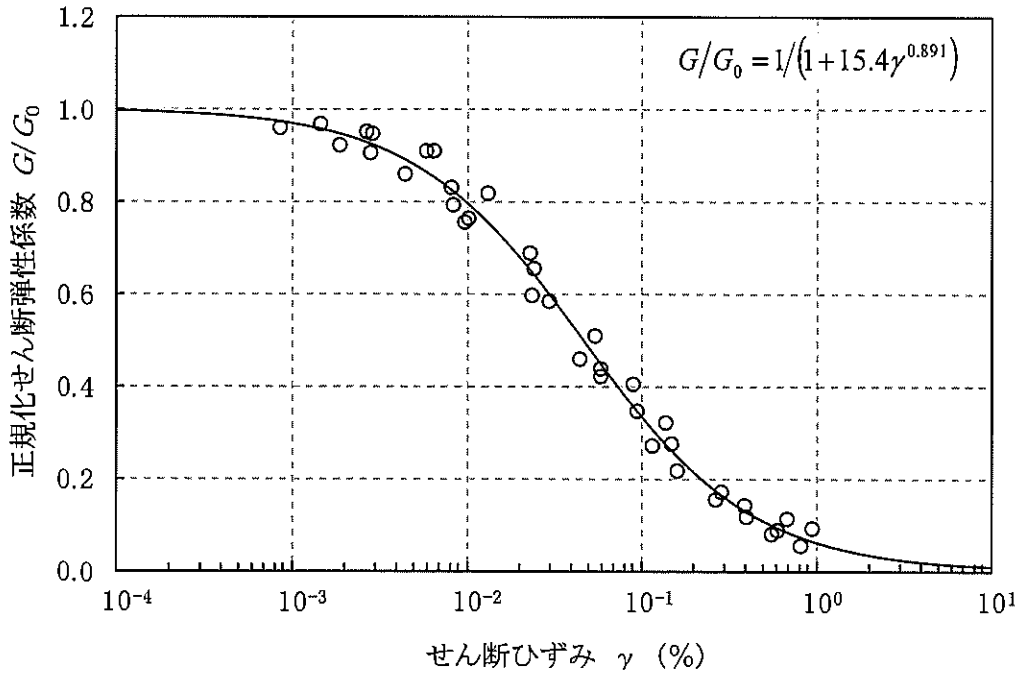


(a) 動的変形特性

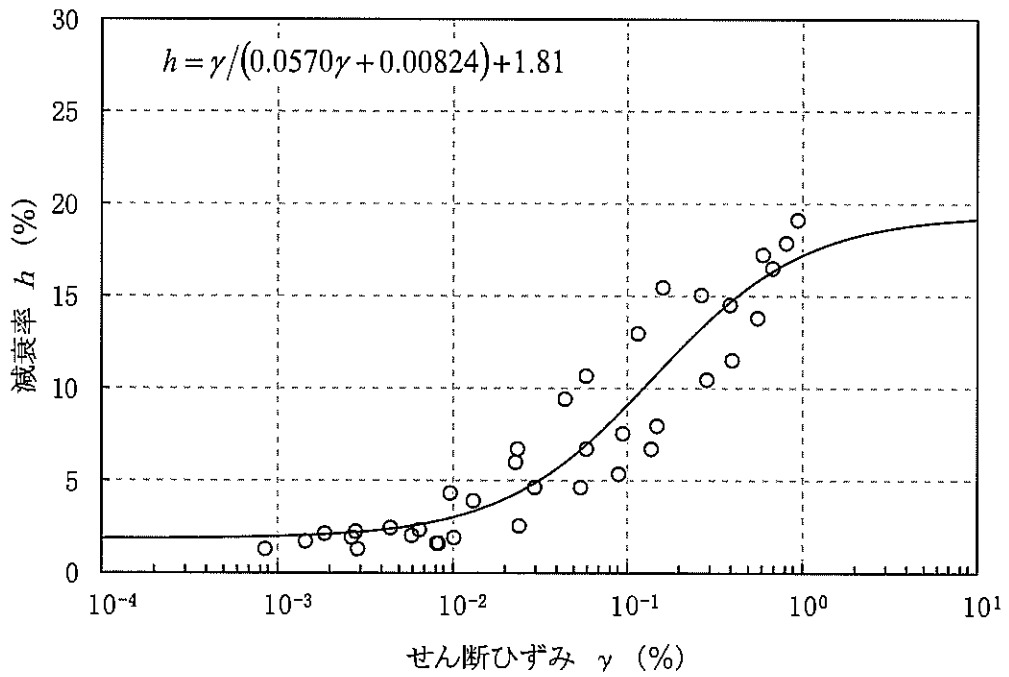


(b) 減衰特性

第 4.5-13 図(19) 変形特性のひずみ依存性 (P P 2)

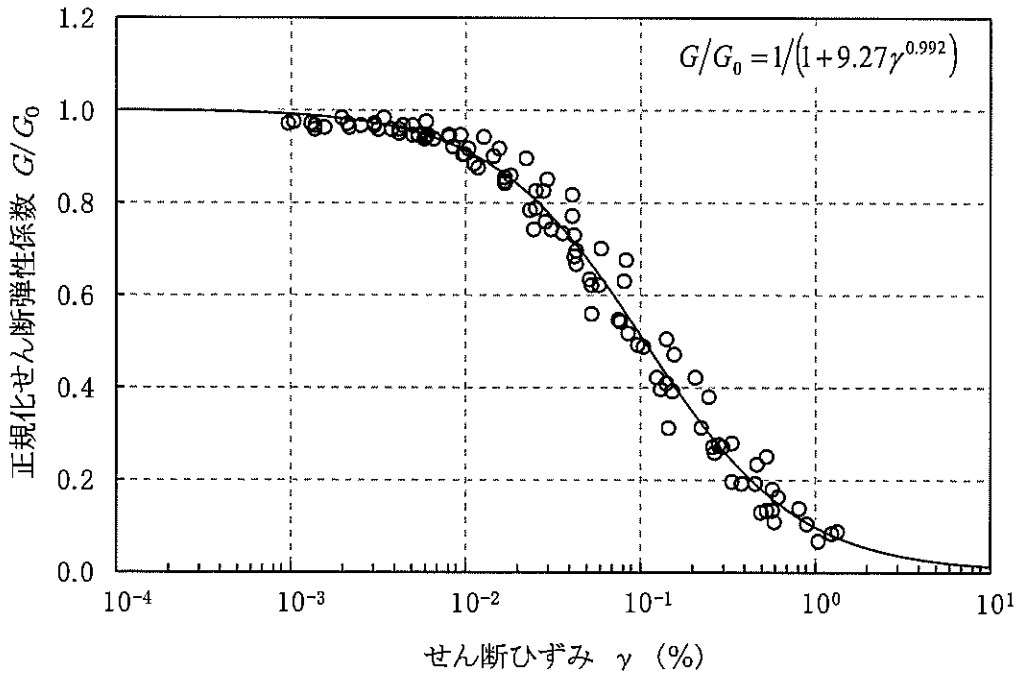


(a) 動的変形特性

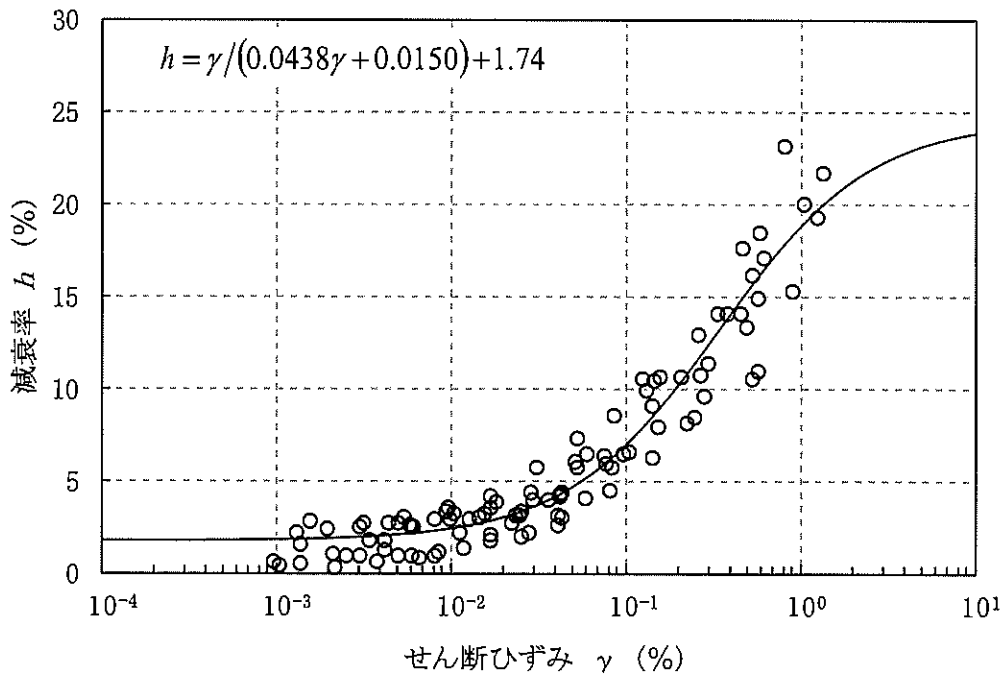


(b) 減衰特性

第 4.5-13 図(20) 変形特性のひずみ依存性 (PH)

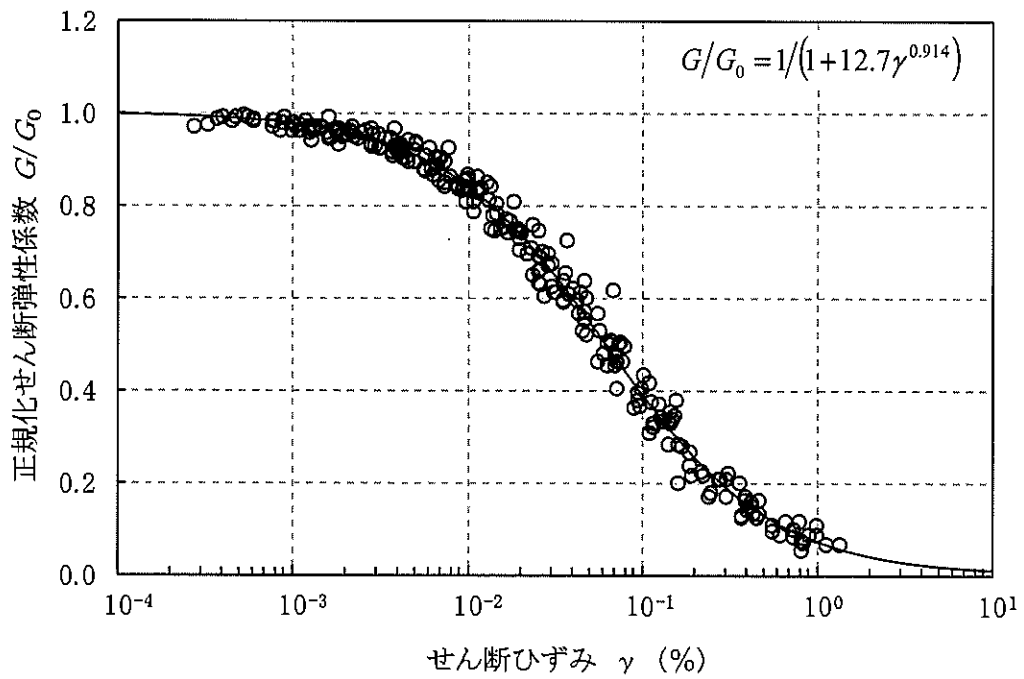


(a) 動的変形特性

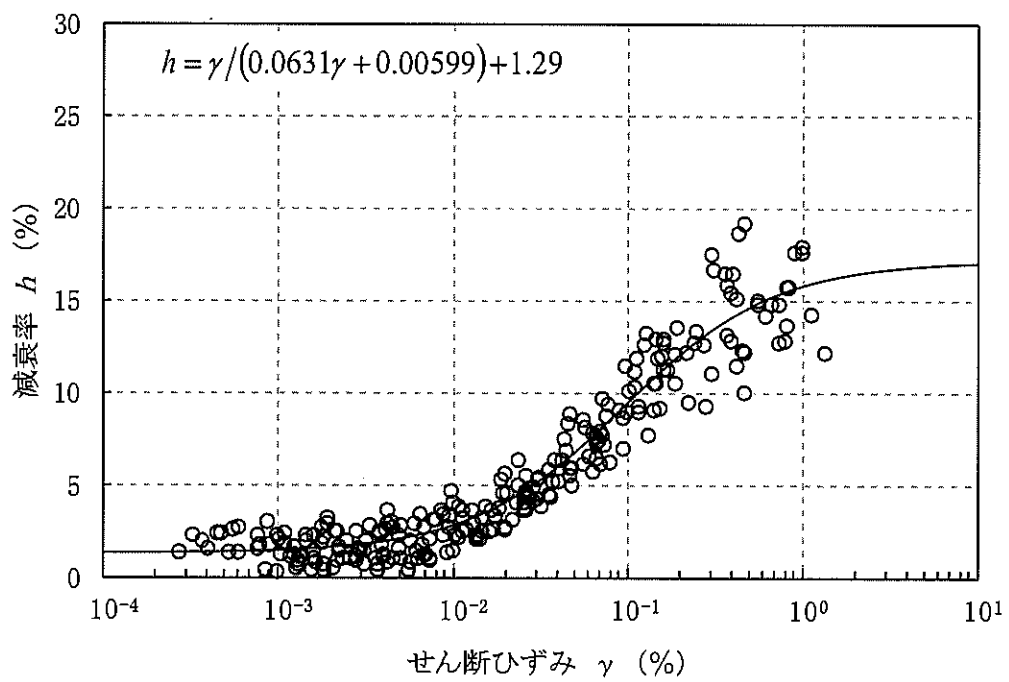


(b) 減衰特性

第 4.5-13 図(2) 変形特性のひずみ依存性 (造成盛土)

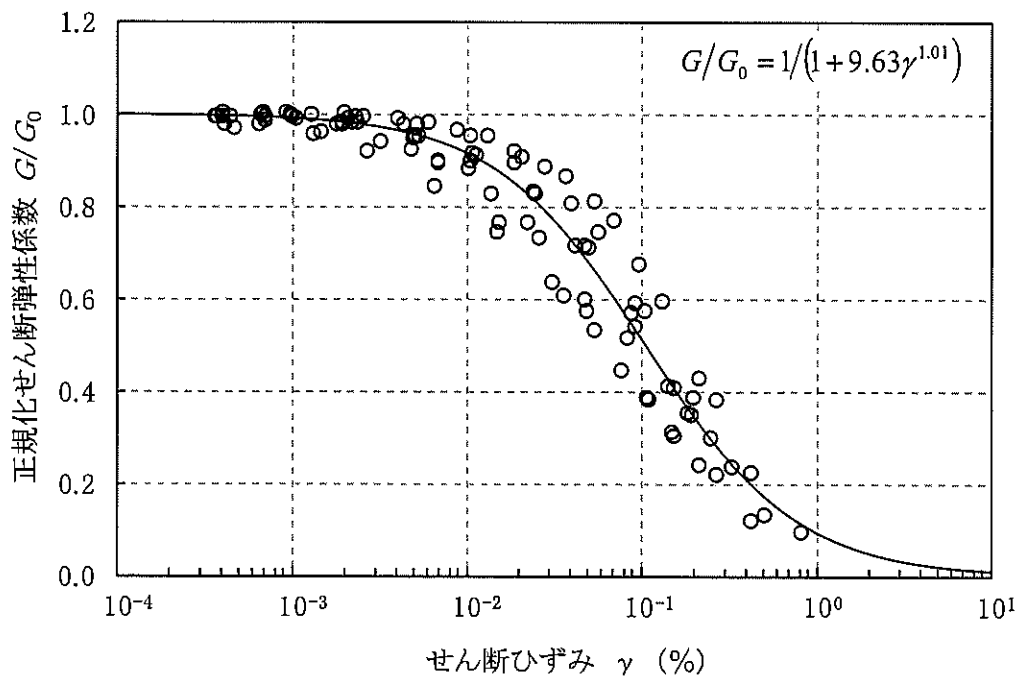


(a) 動的変形特性

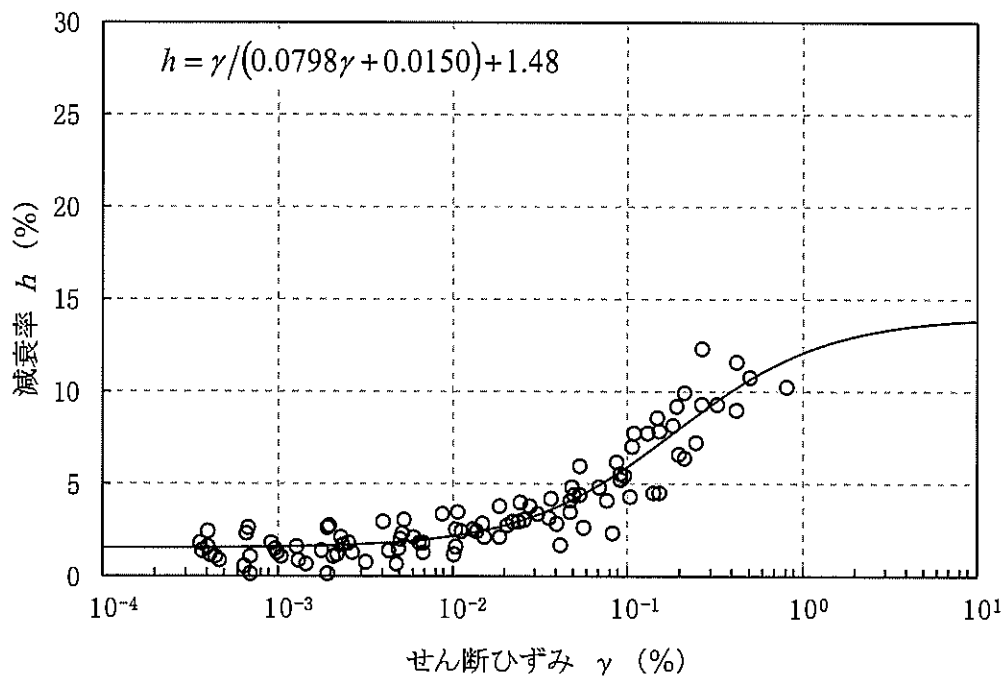


(b) 減衰特性

第 4.5-13 図(2) 変形特性のひずみ依存性 (埋戻し土)

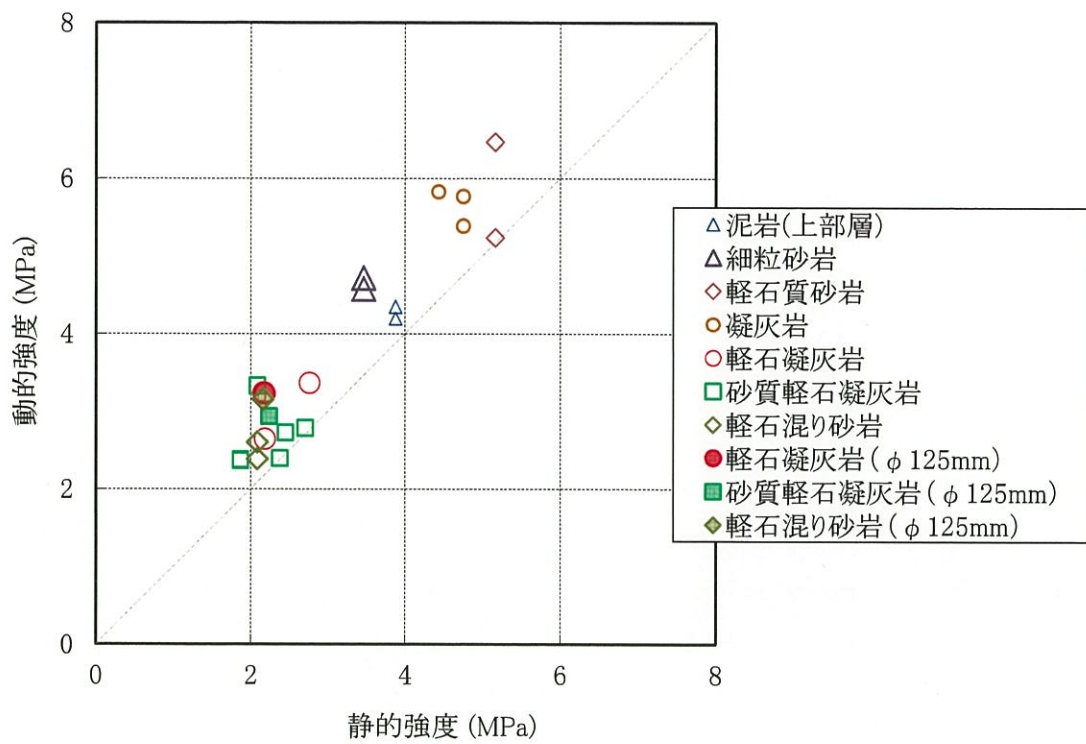


(a) 動的変形特性

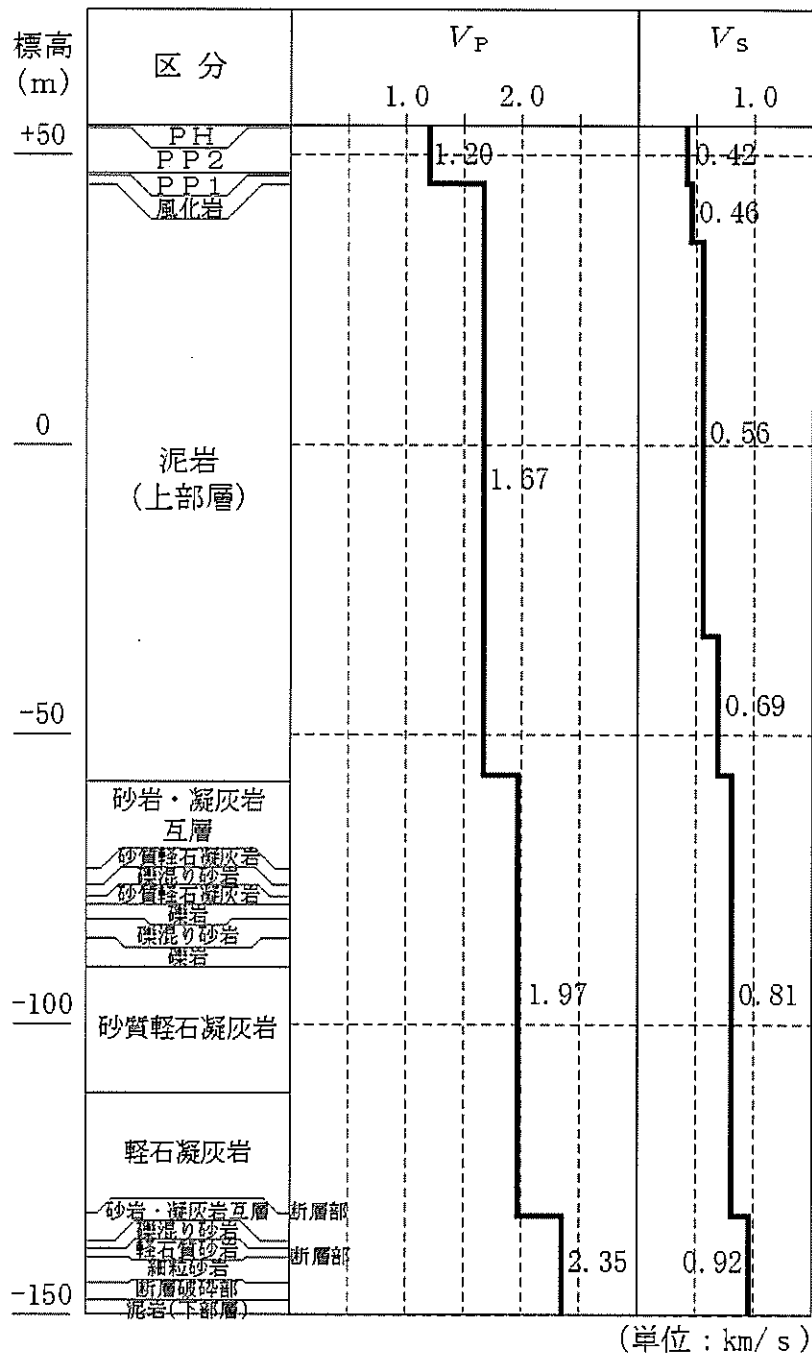


(b) 減衰特性

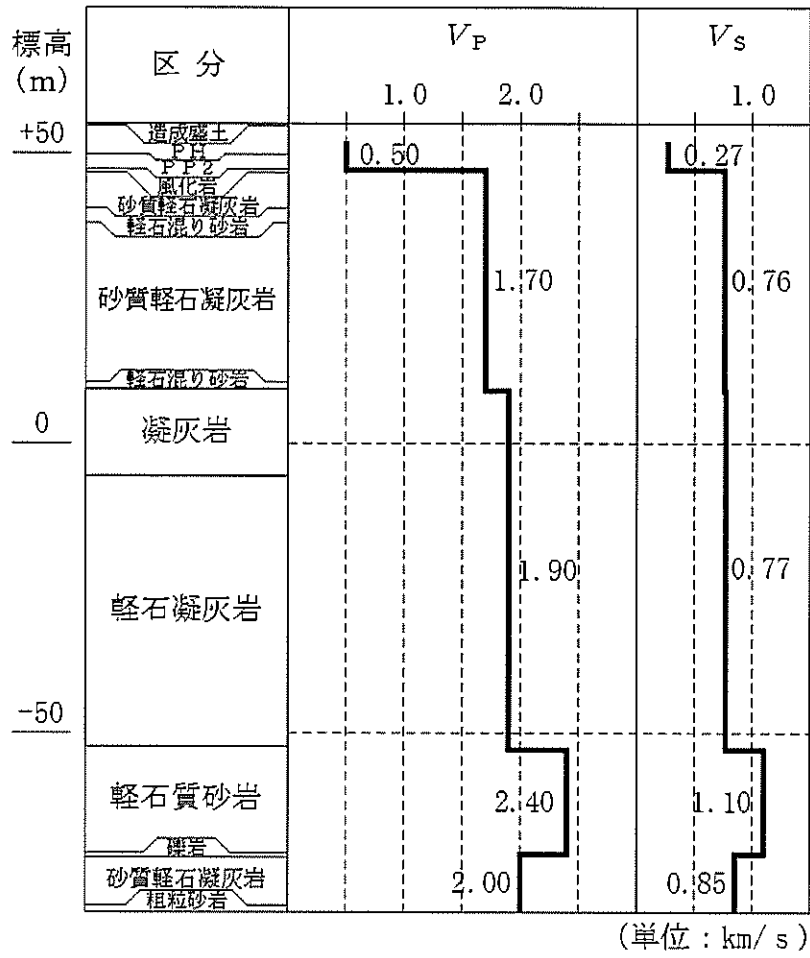
第 4.5-13 図(23) 変形特性のひずみ依存性 (流動化処理土 (A))



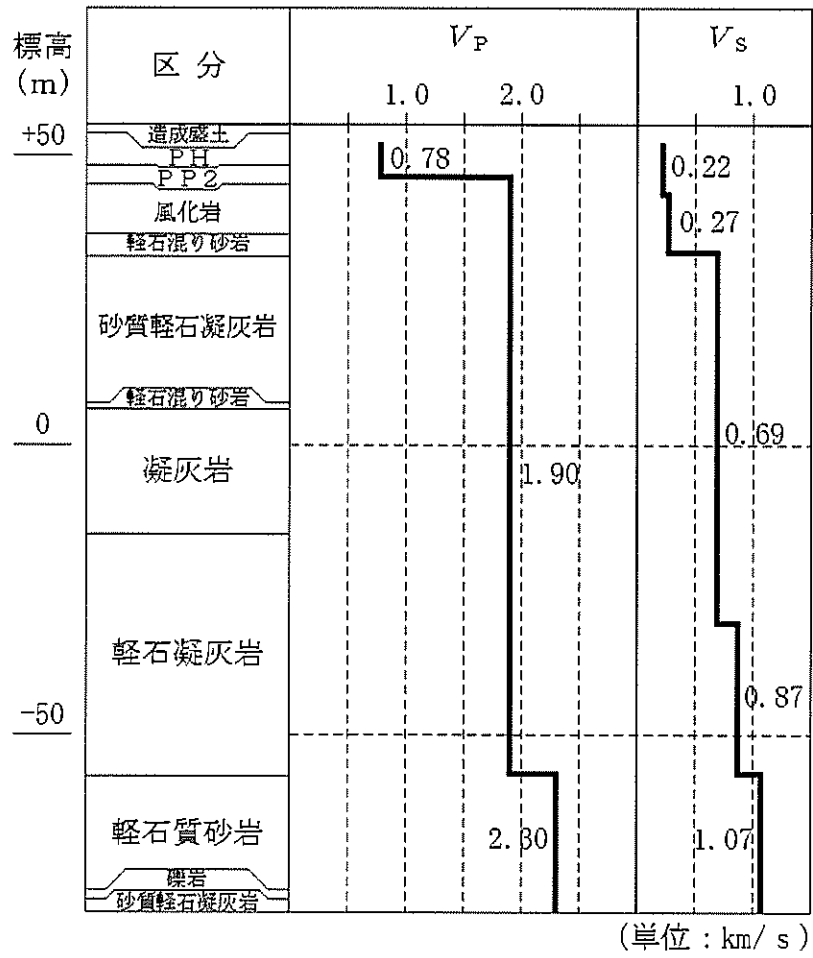
第 4.5-14 図 繰返し三軸試験による動的強度と静的強度の比較



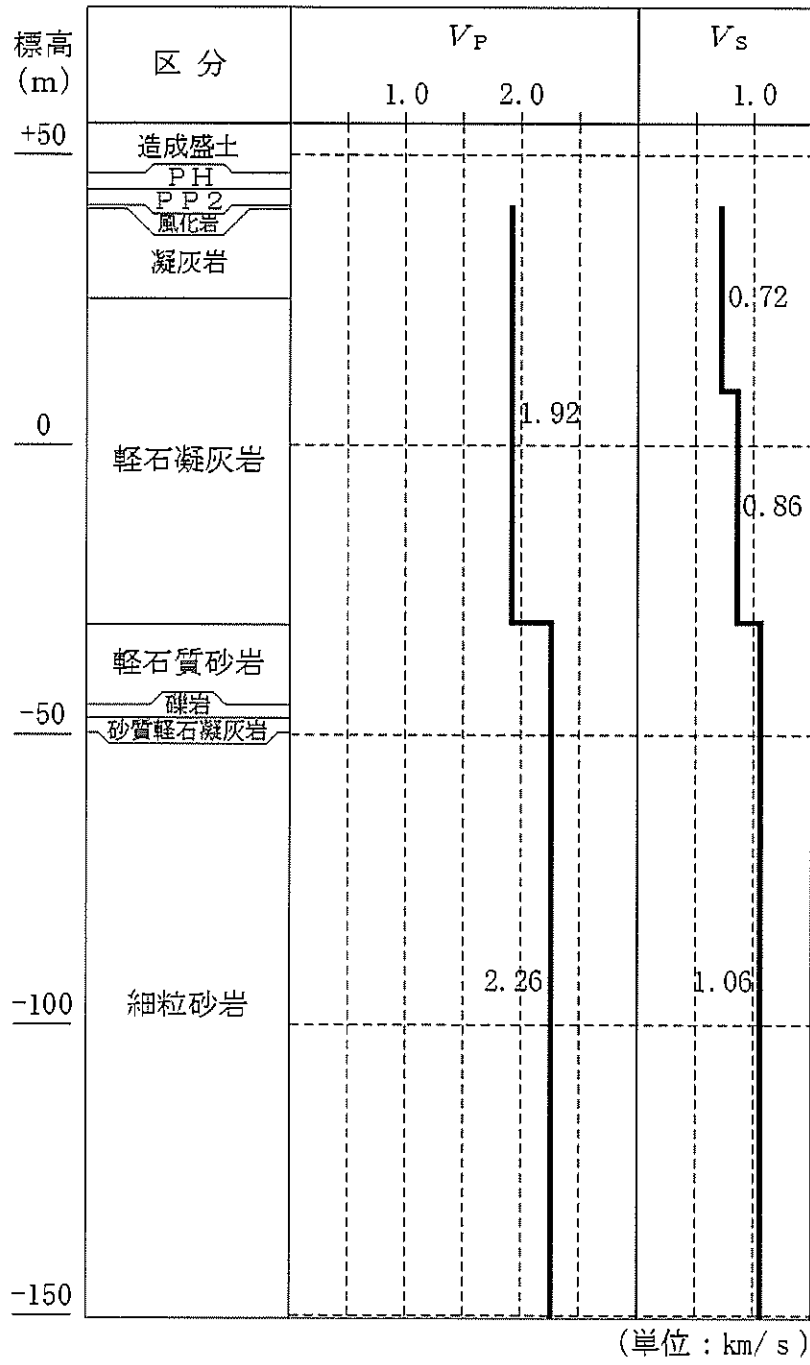
第 4.5-15 図(1) P S 検層結果 (C-U 孔)



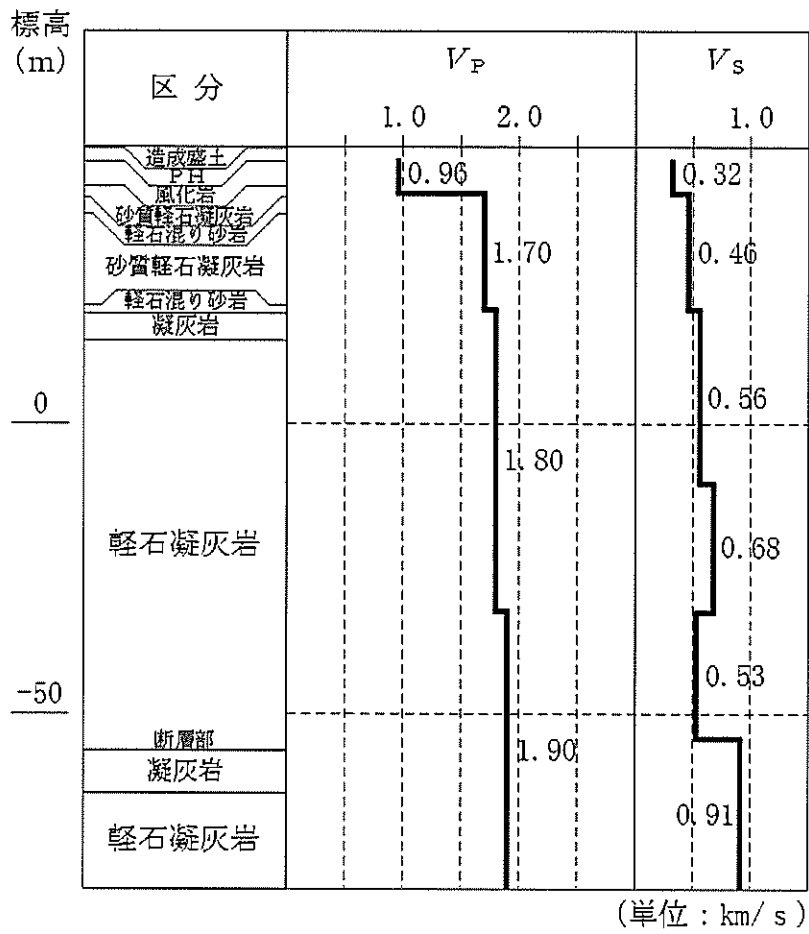
第 4.5-15 図(2) P S 検層結果 (E - E 2 孔)



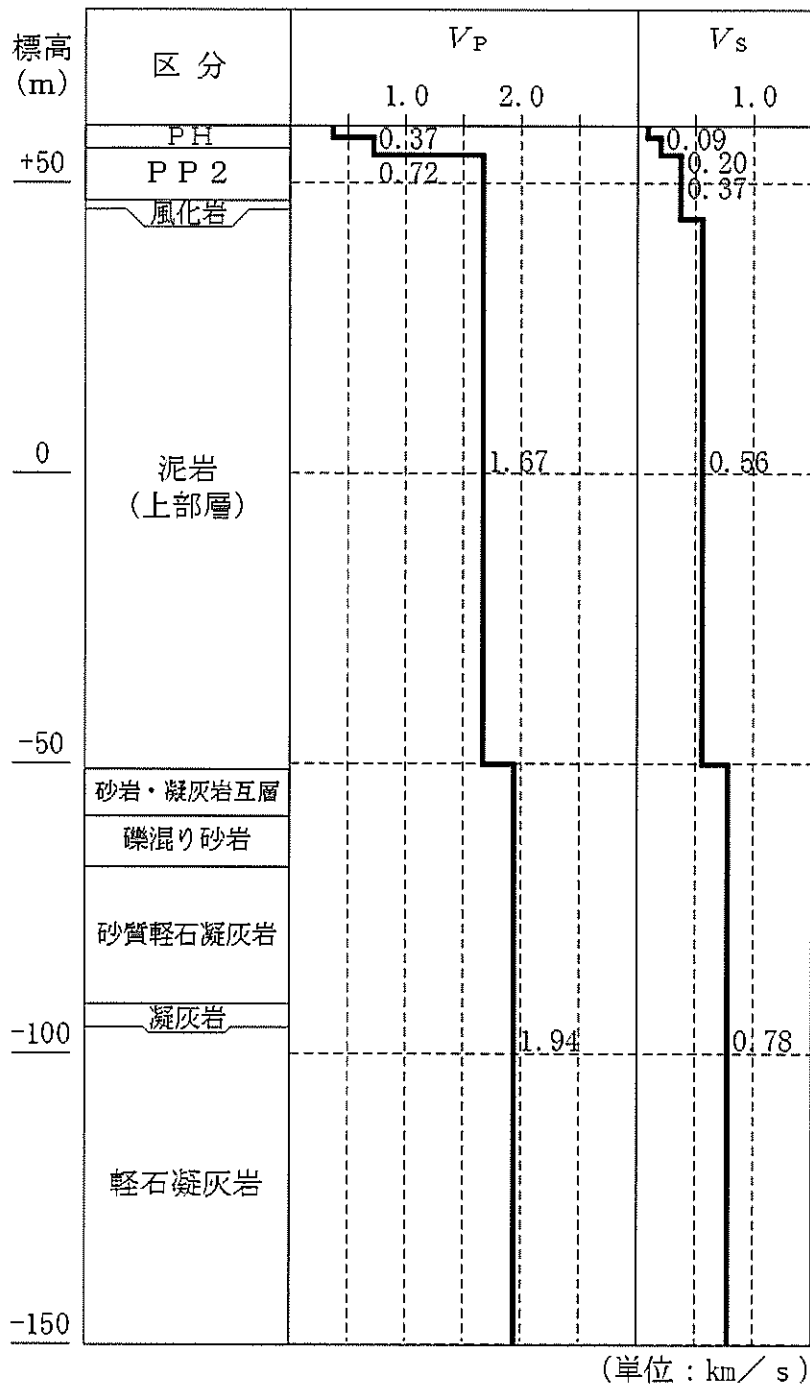
第 4.5-15 図(3) P S 検層結果 (E - W 孔)



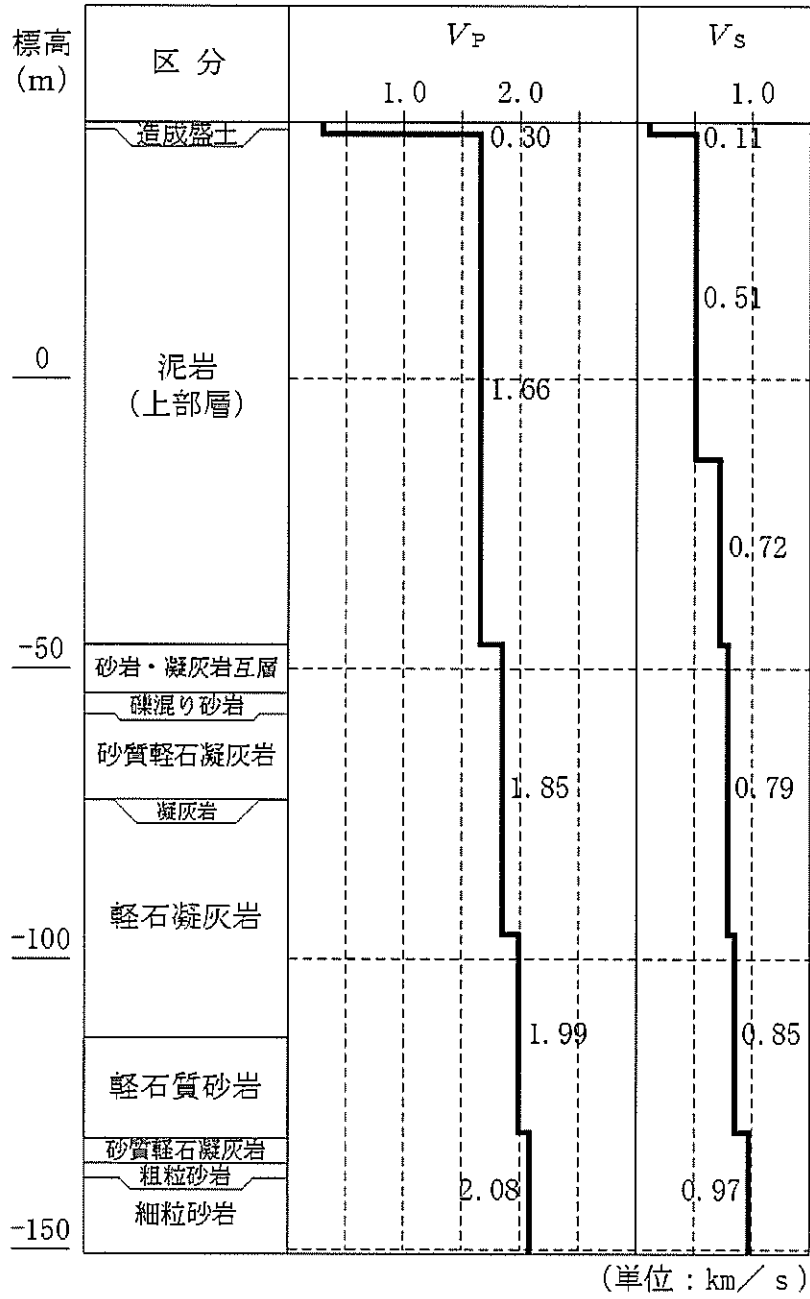
第 4.5-15 図(4) P S 検層結果 (g - f 孔)



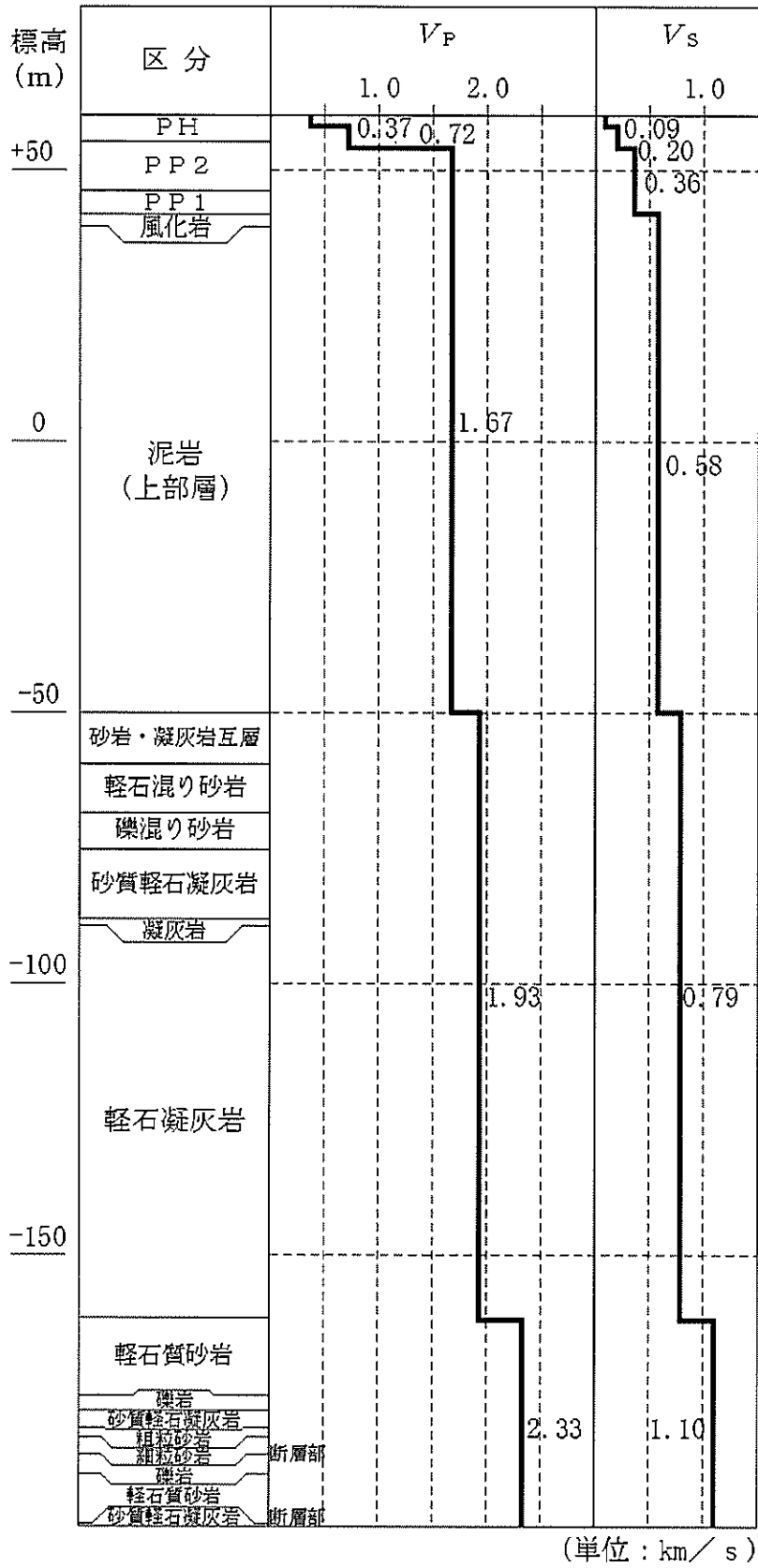
第 4.5-15 図(5) P S 検層結果 (H - X (2) 孔)



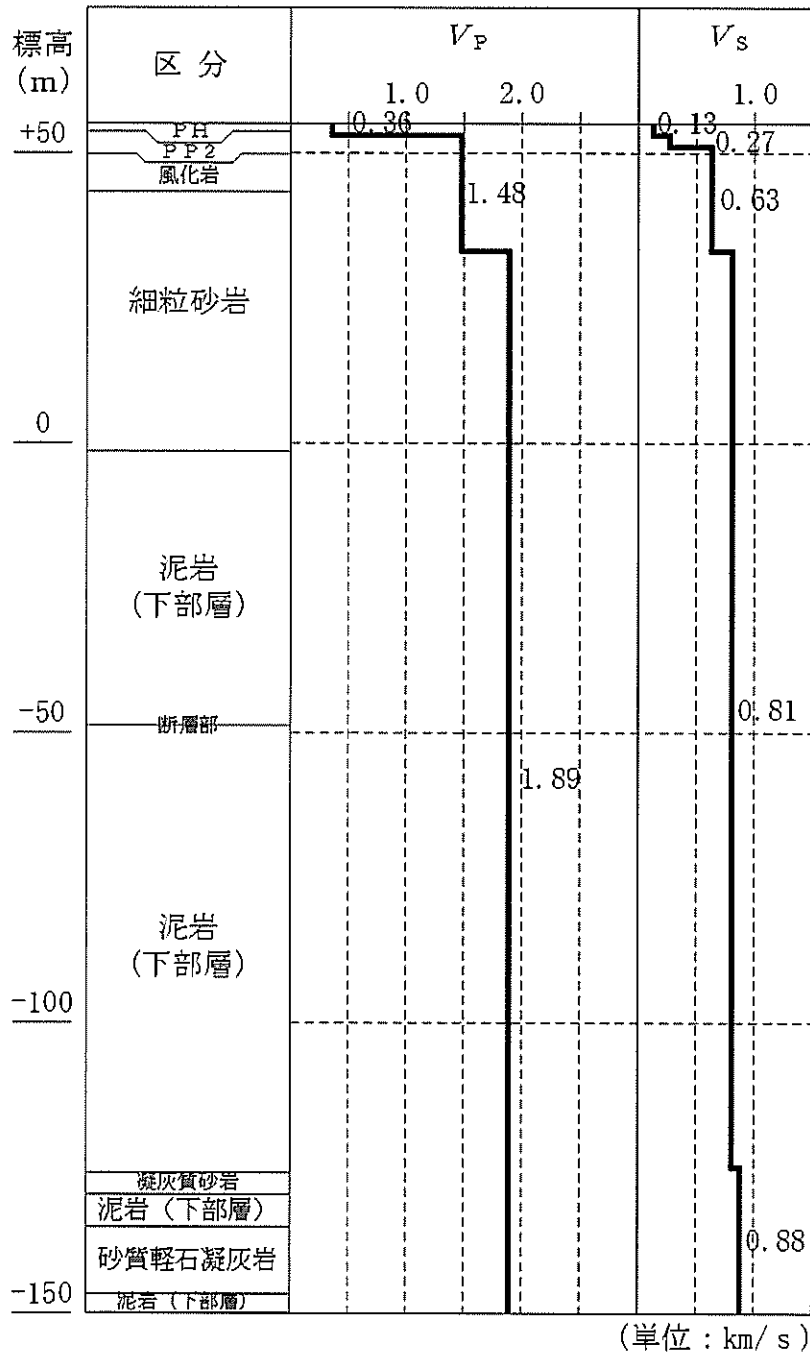
第 4.5-15 図(6) P S 検層結果 (J - 5 孔)



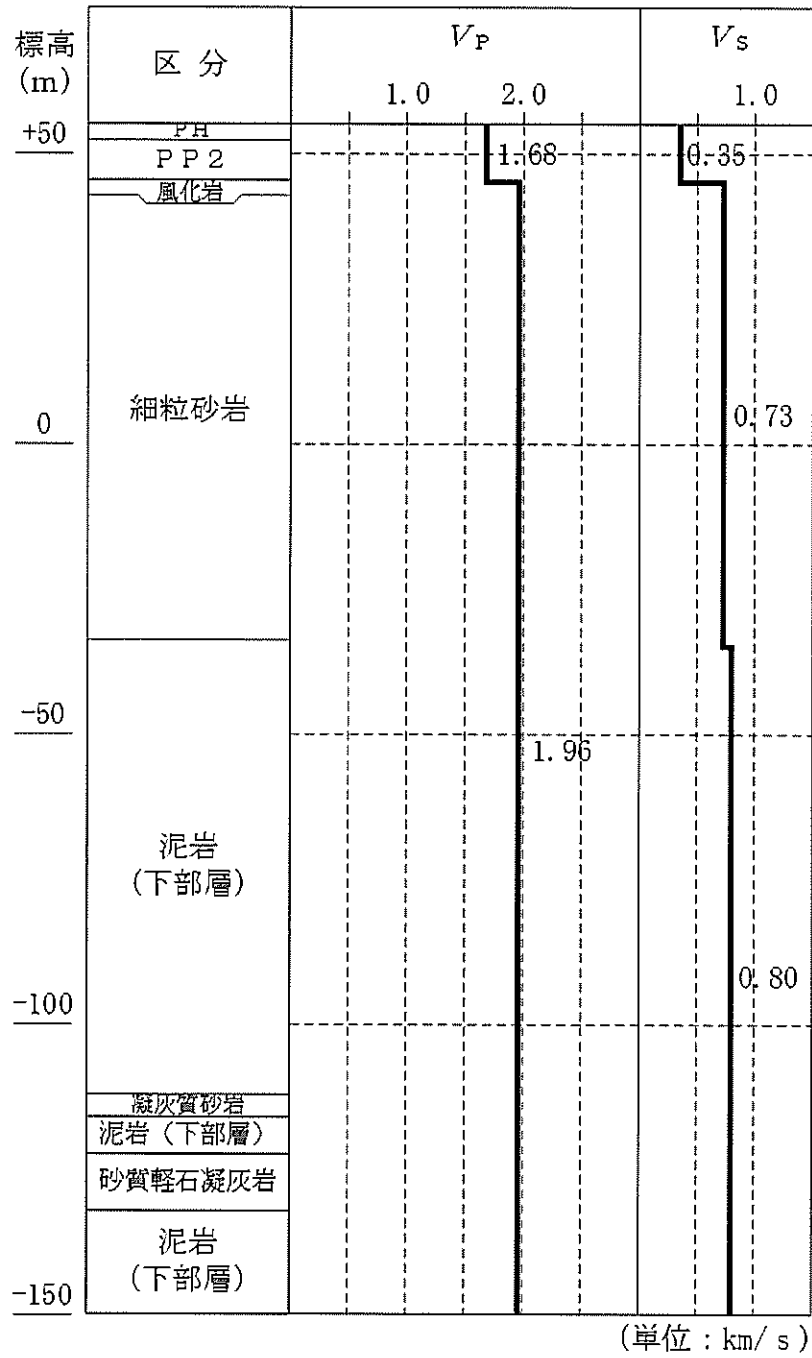
第 4.5-15 図(7) P S 検層結果 (J - T 孔)



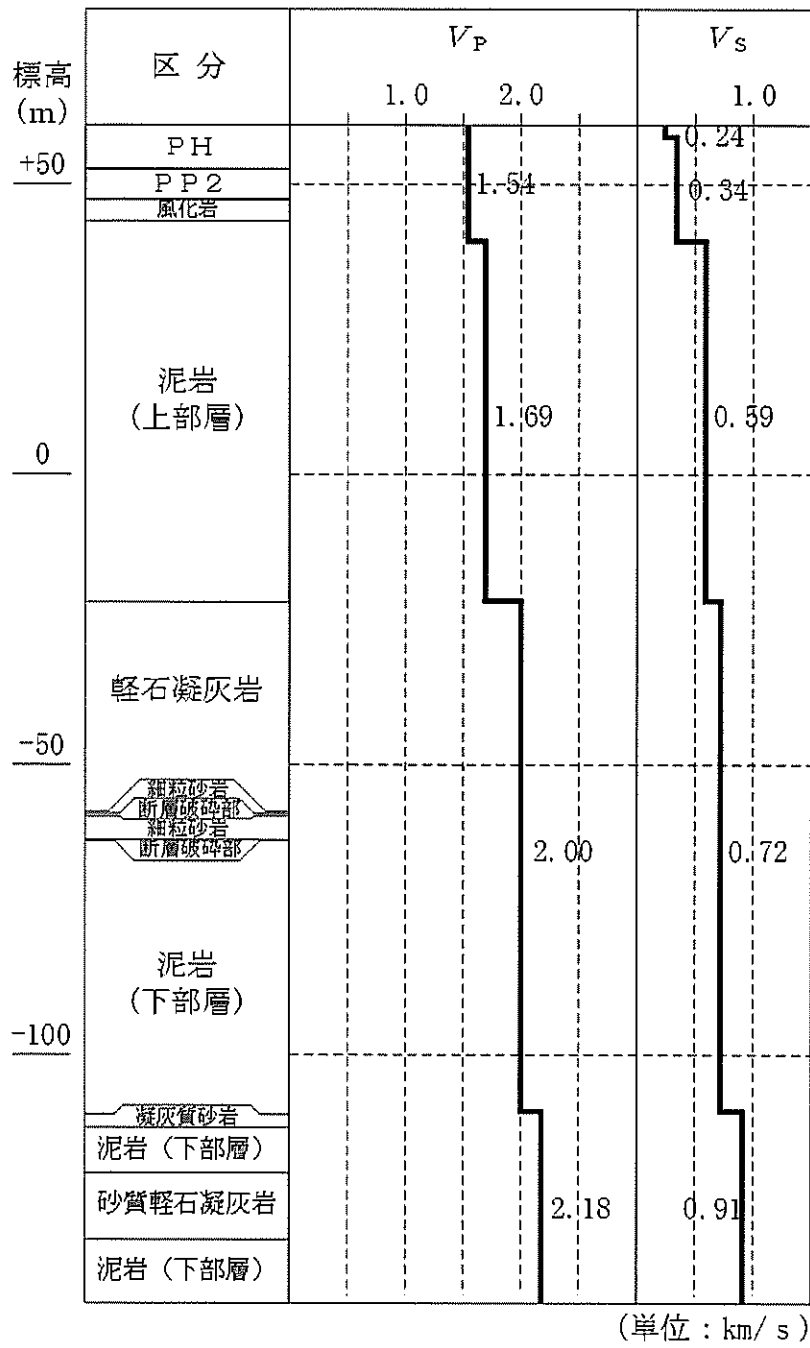
第 4.5-15 図(8) P S 検層結果 (J-T 孔)



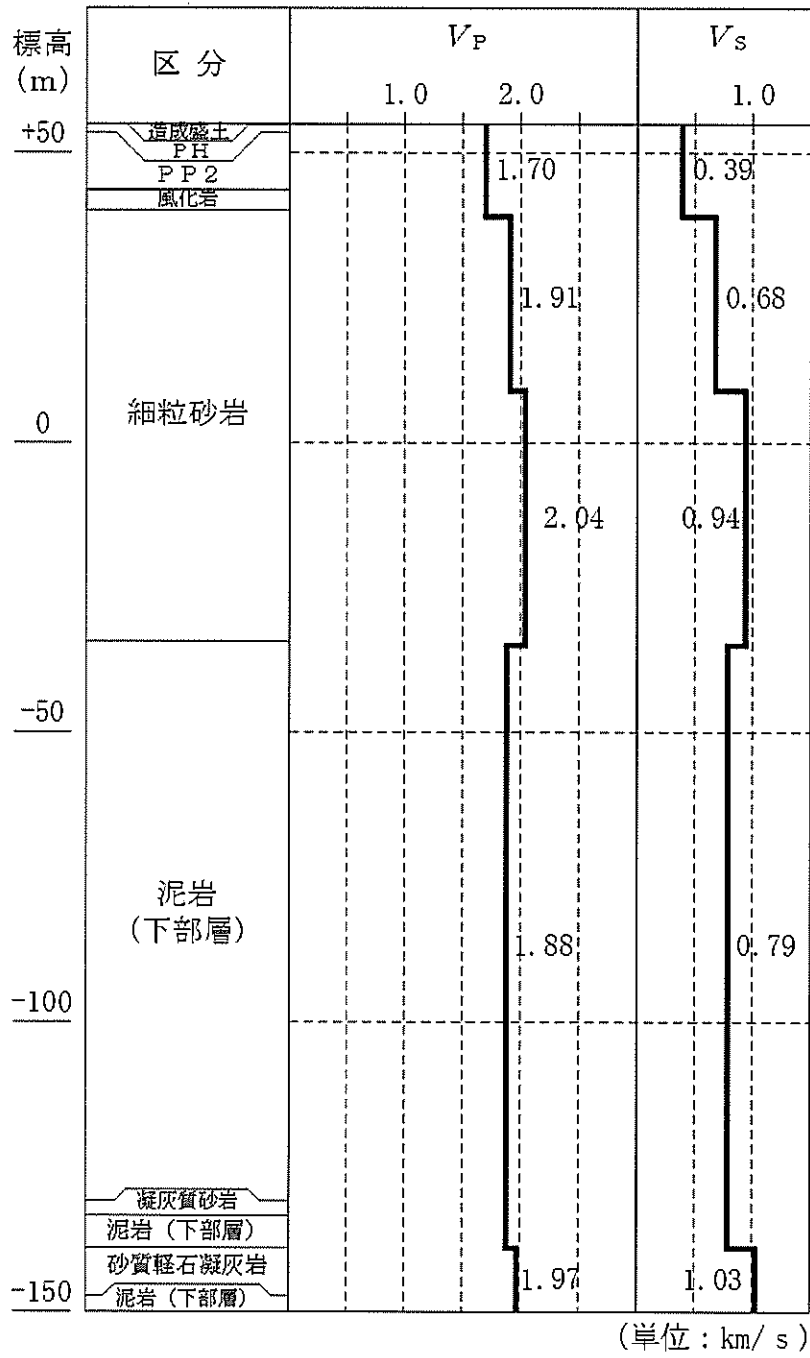
第 4.5-15 図(9) P S 検層結果 (K - 3 孔)



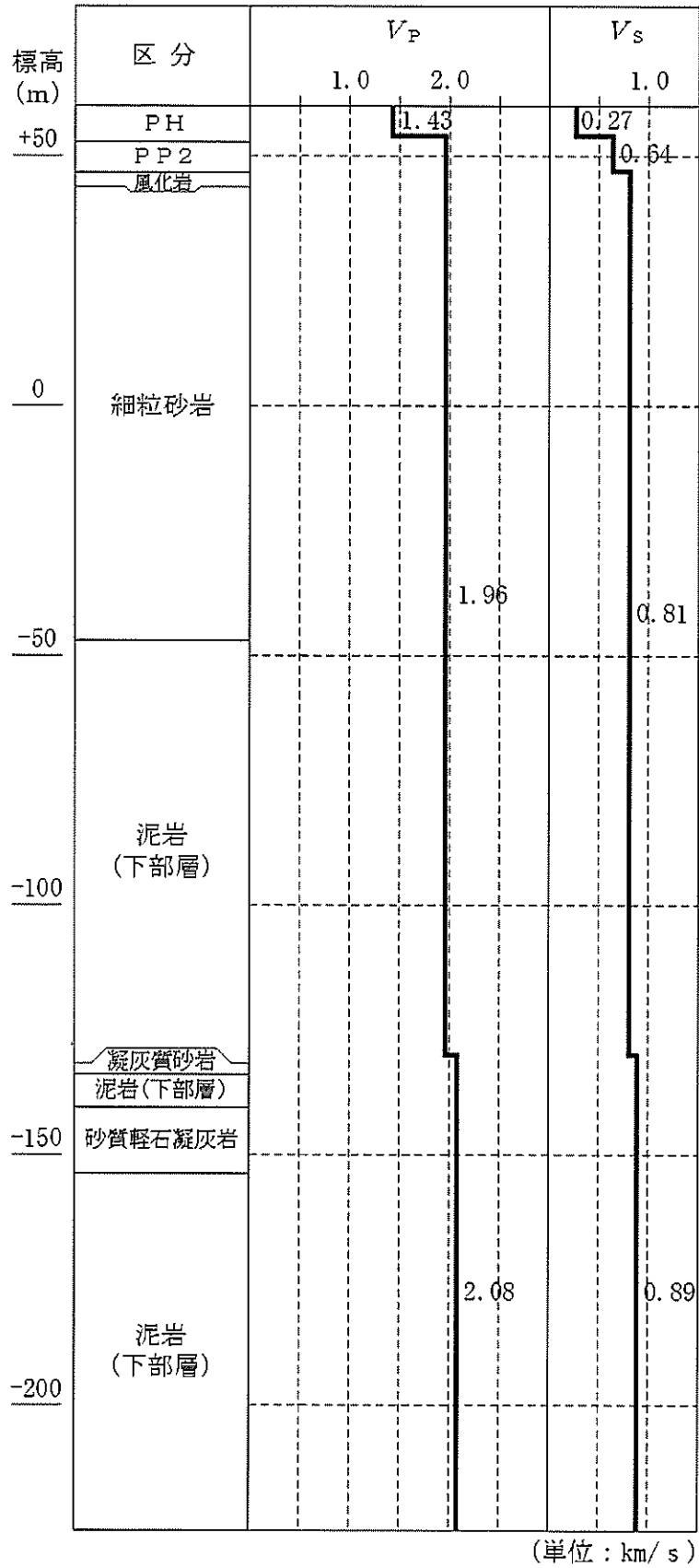
第 4.5-15 図(10) P S 檢層結果 (K - V 孔)



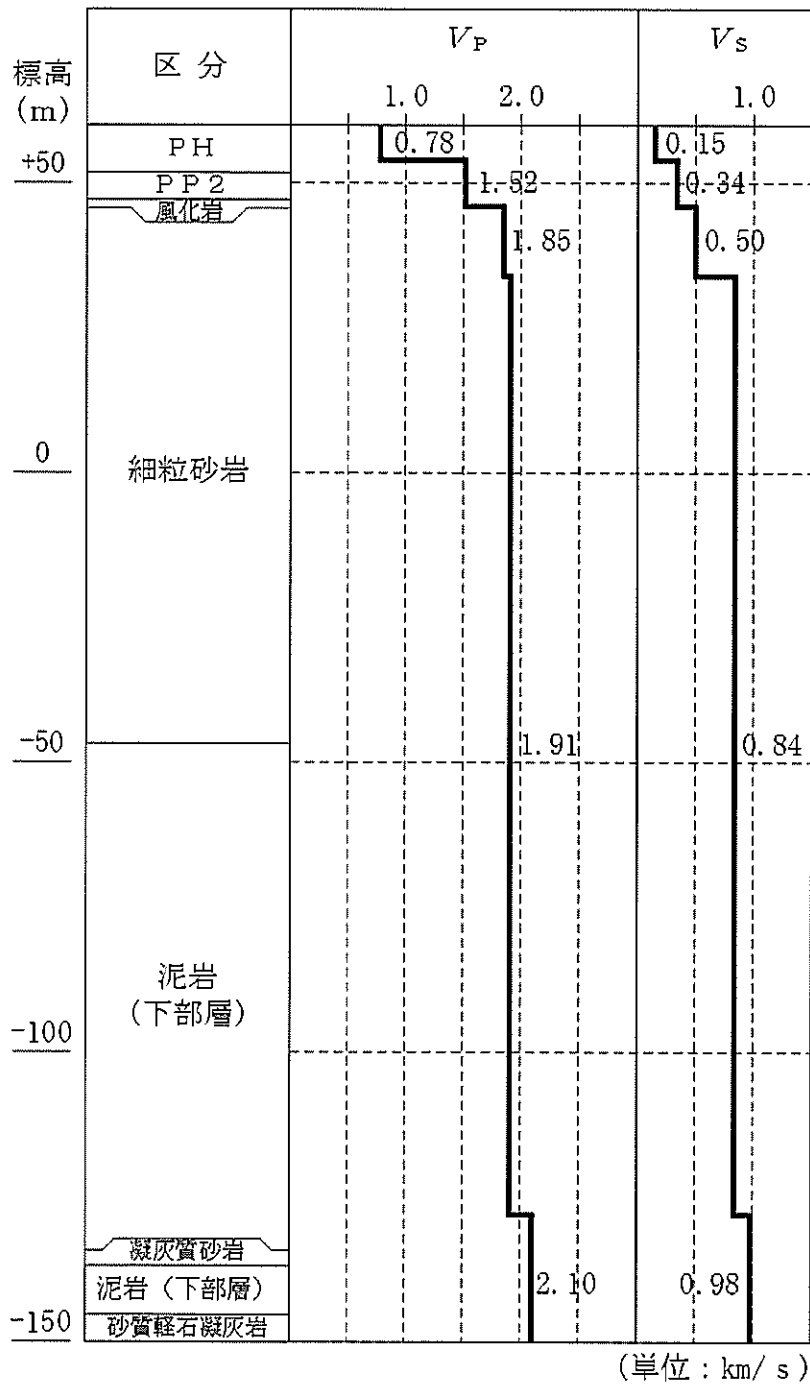
第 4.5-15 図(II) P S 検層結果 (K-T 孔)



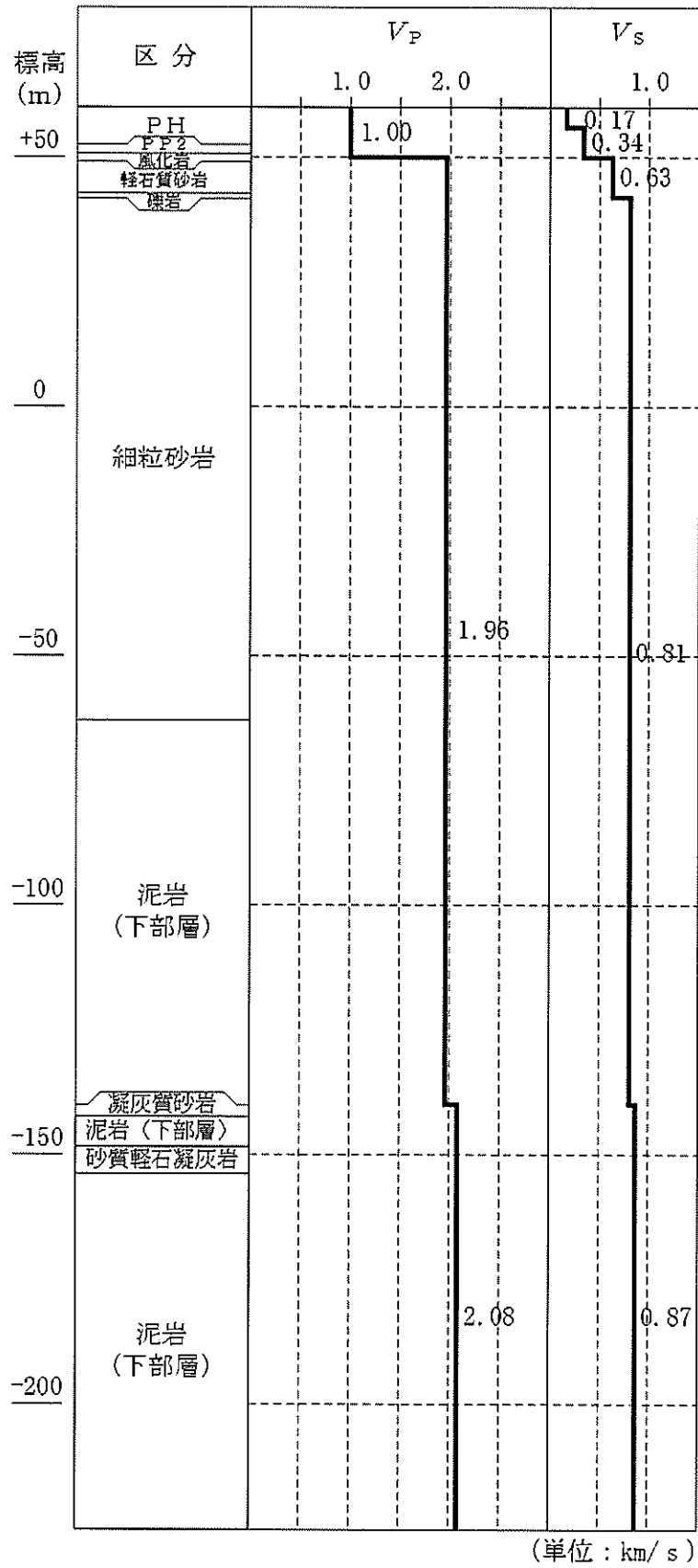
第 4.5-15 図(12) P S 檢層結果 (L-4 孔)



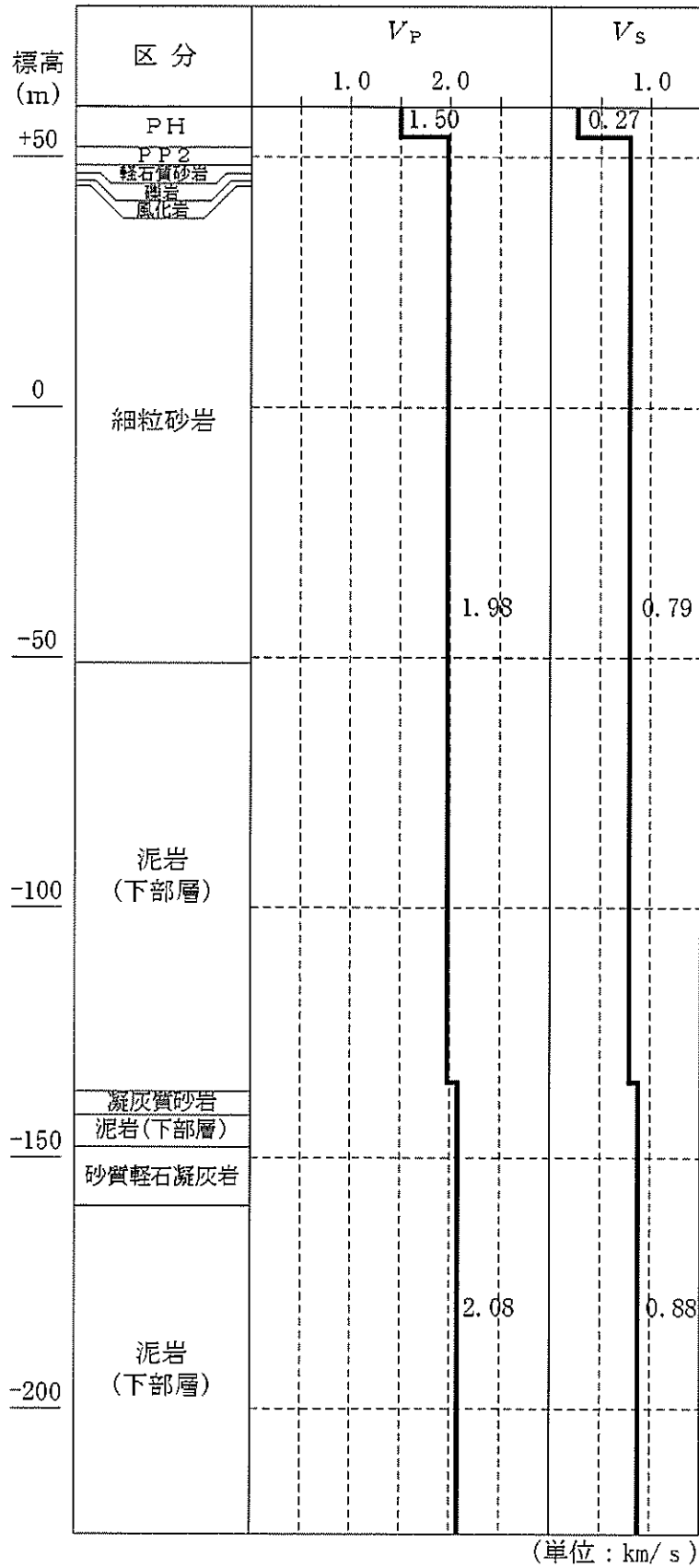
第 4.5-15 図(13) P S 檢層結果 (L-T 孔)



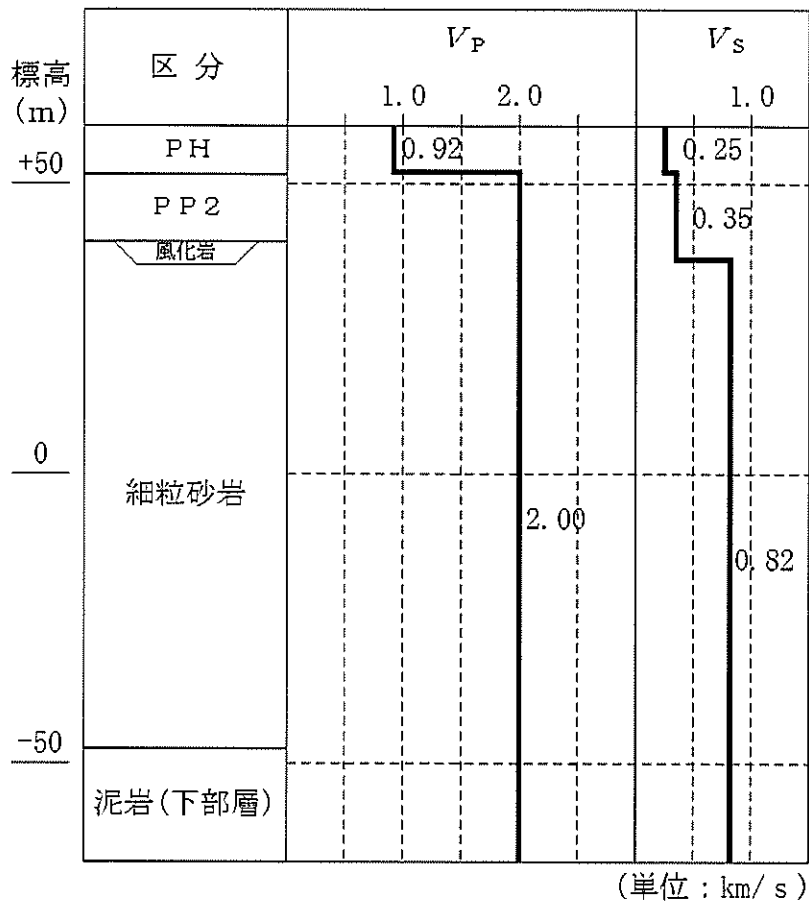
第 4.5-15 図(14) P S 検層結果 (L-U 孔)



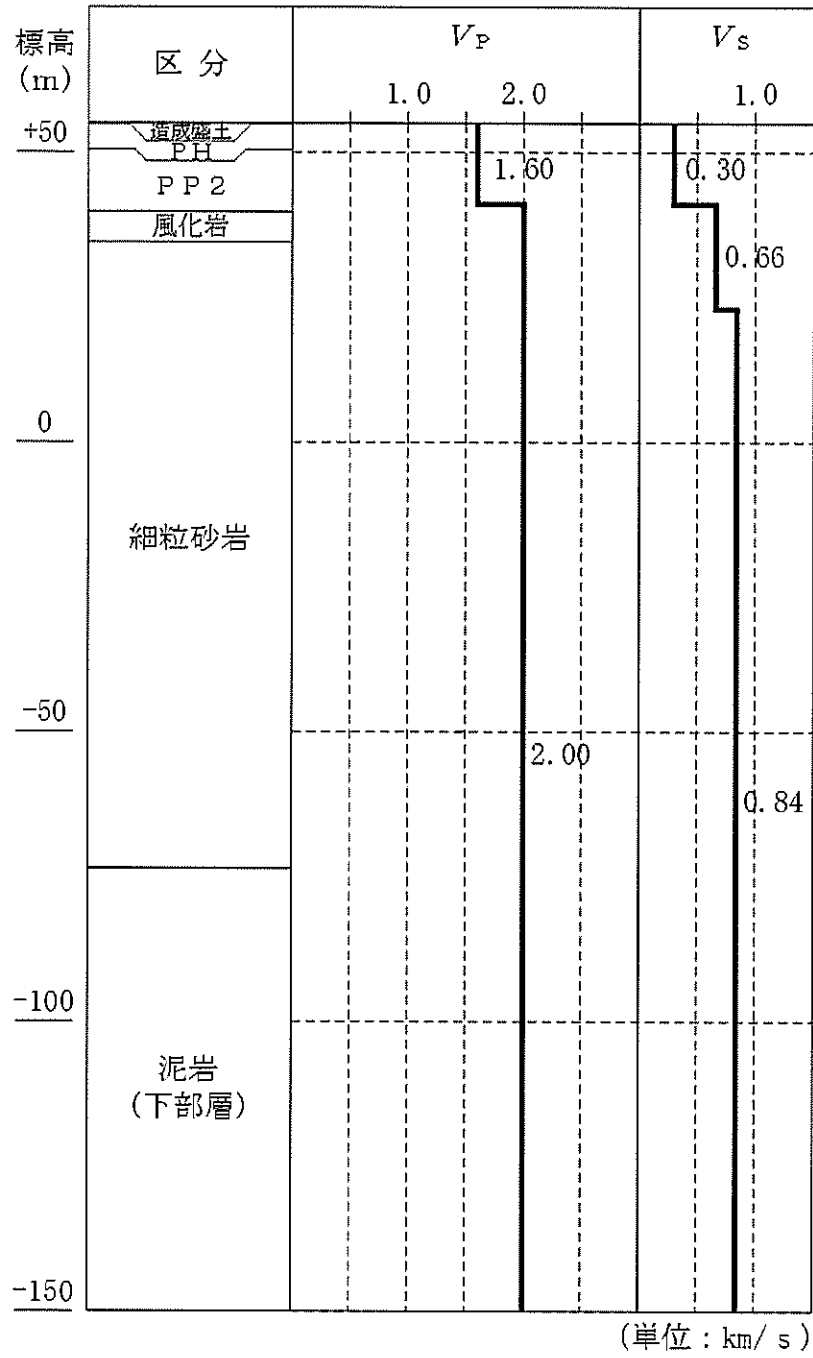
第 4.5-15 図(15) P S 検層結果 (M-S 孔)



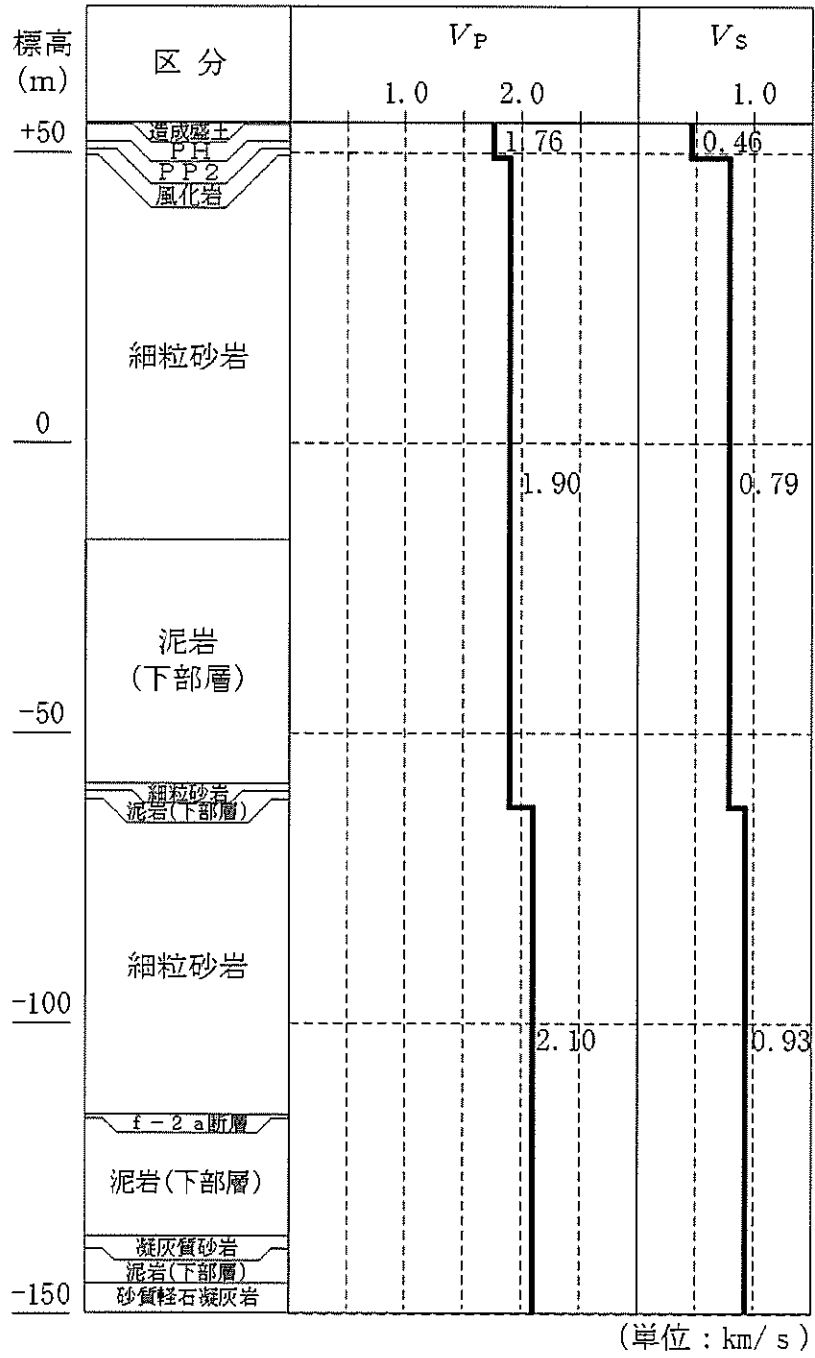
第 4.5-15 図(16) P S 検層結果 (M-T 孔)



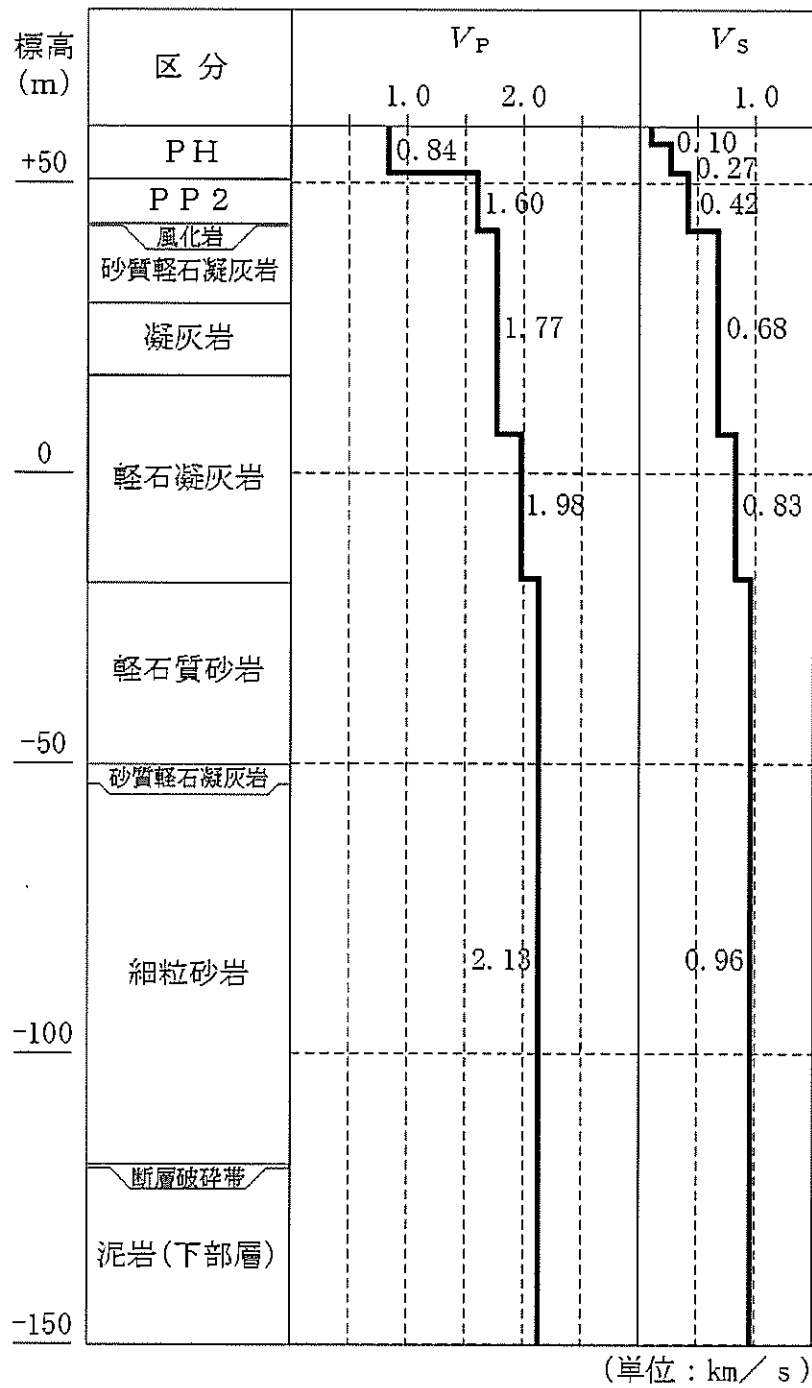
第 4.5-15 図(17) P S 検層結果 (M-V 孔)



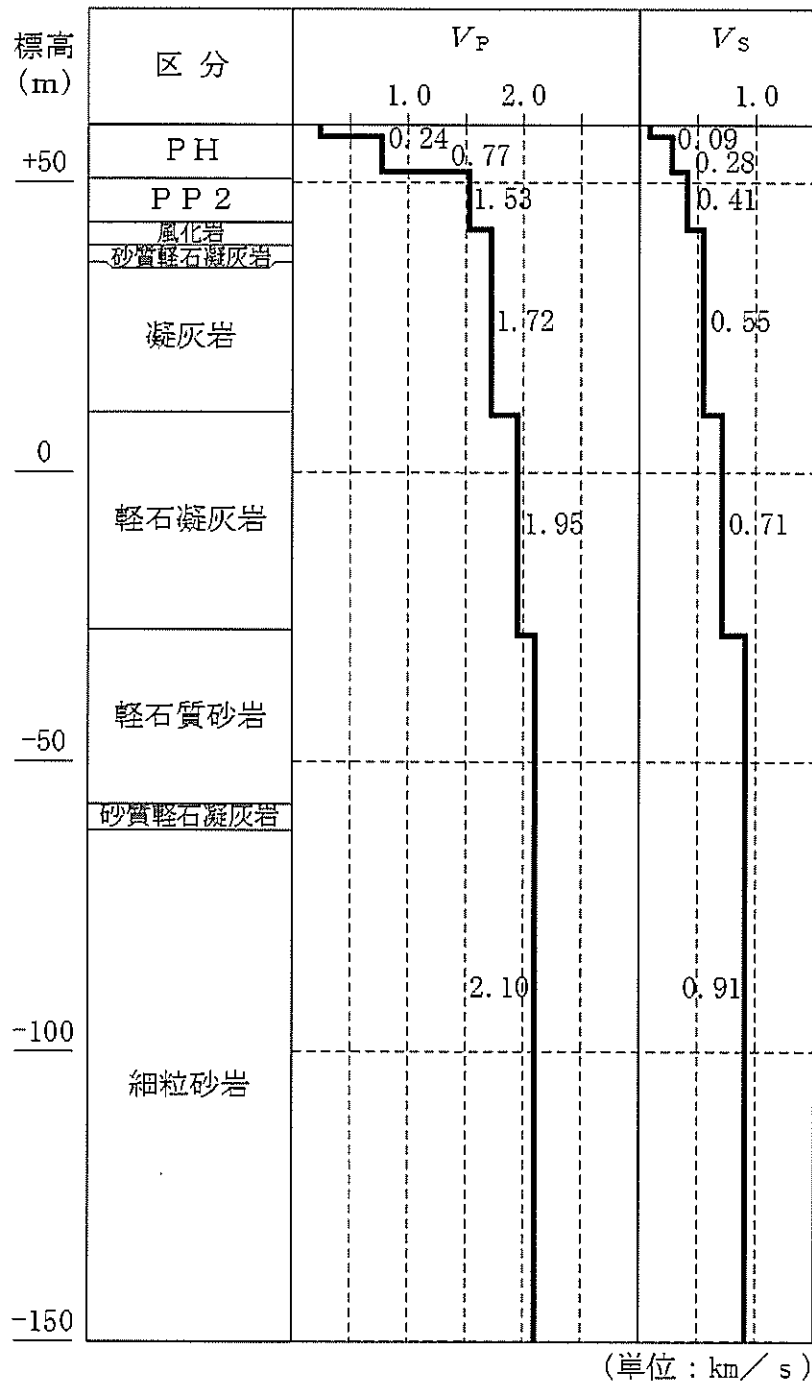
第 4.5-15 図(18) P S 検層結果 (N-U 孔)



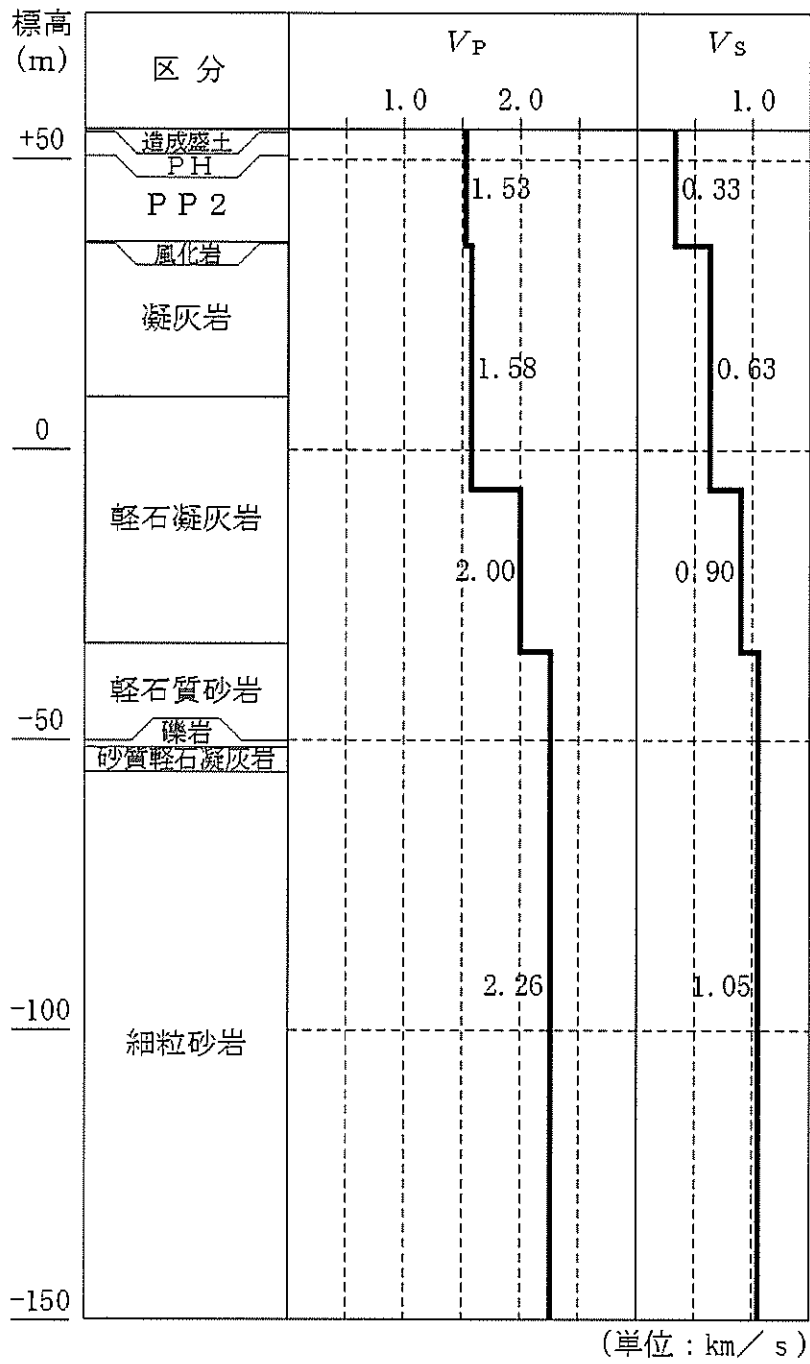
第 4.5-15 図(19) P S 檢層結果 (N3 - 6 孔)



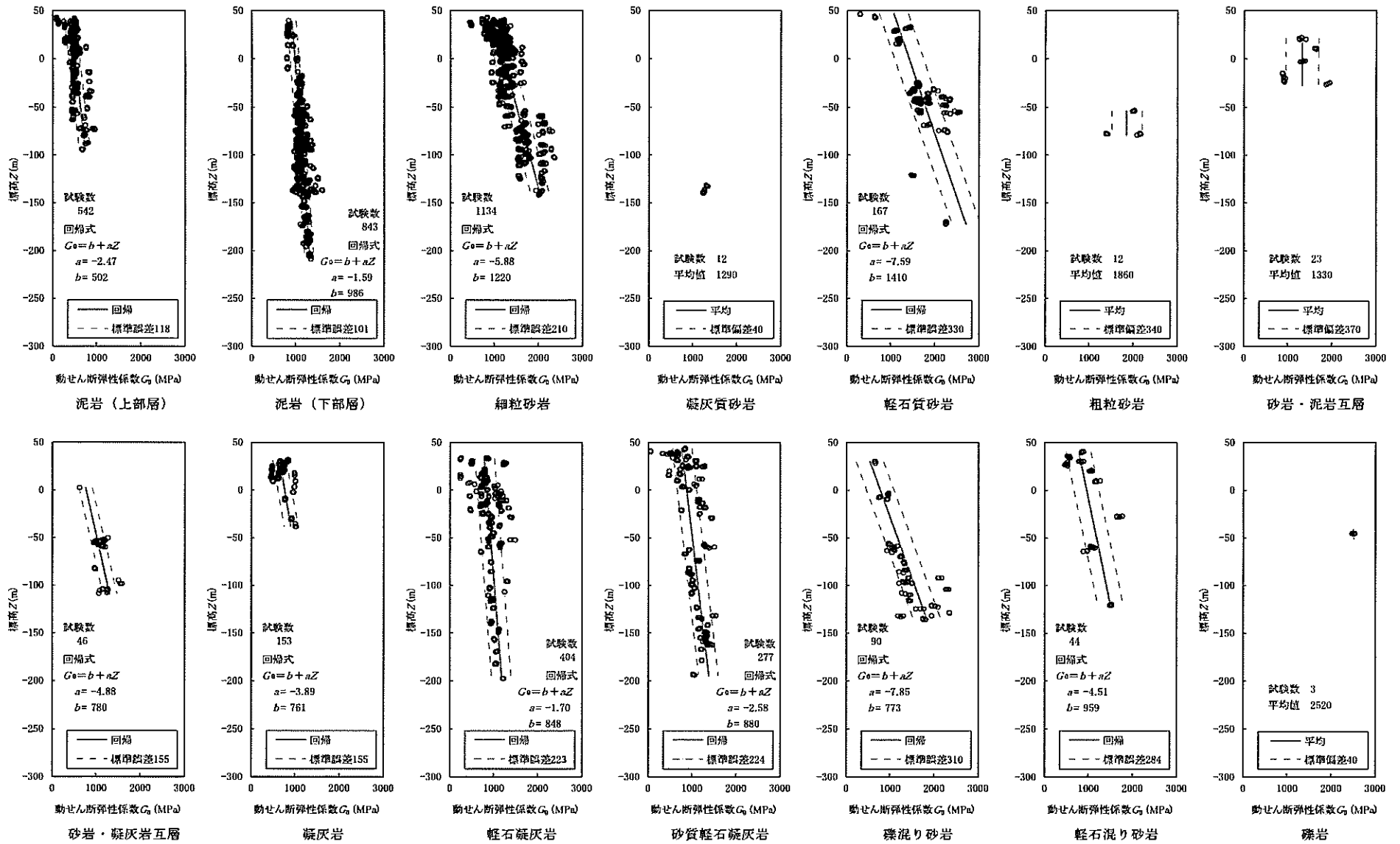
第 4.5-15 図(20) P S 檢層結果 (N6 - 4 孔)



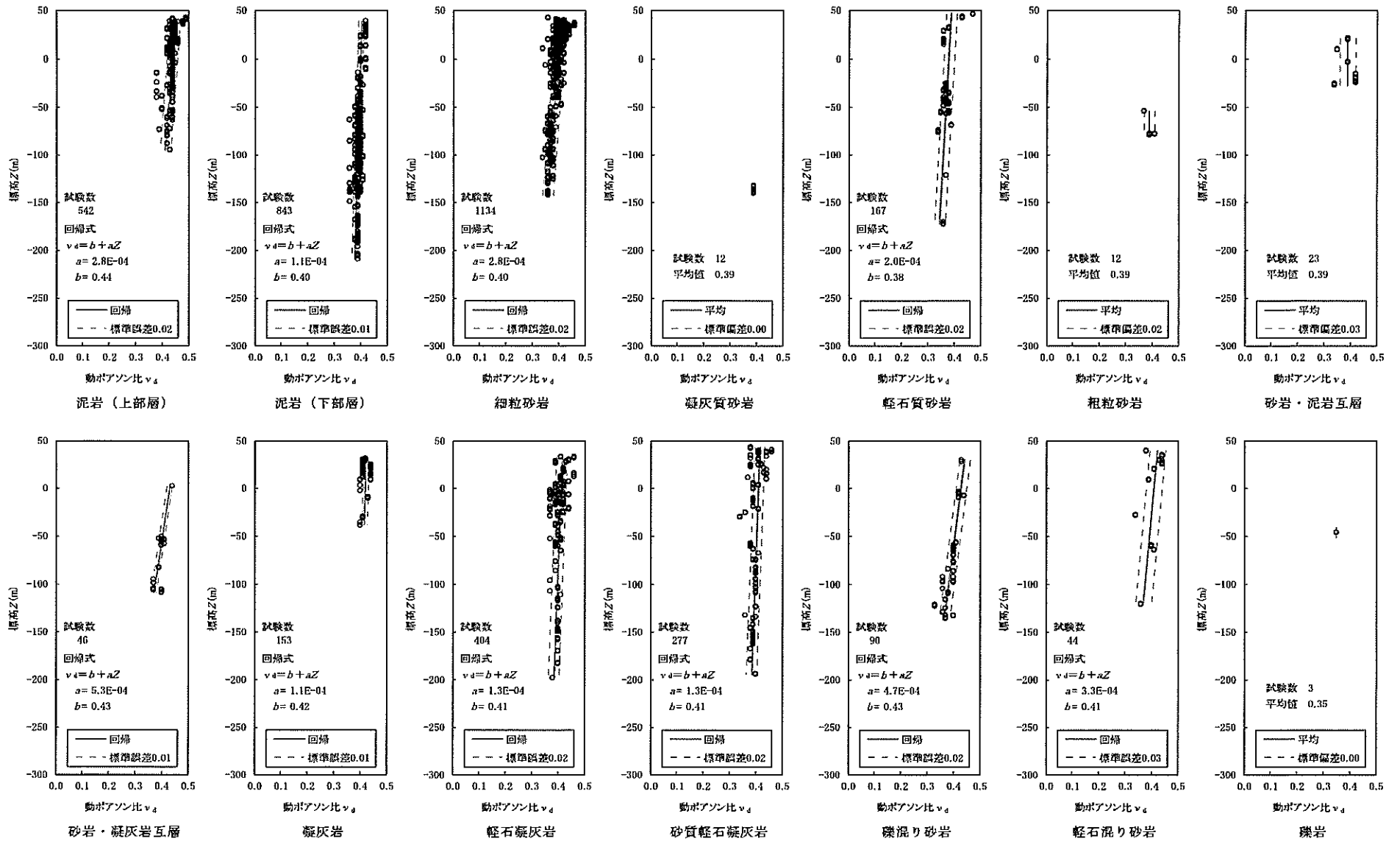
第 4.5-15 図(2) P S 検層結果 (N6 - E 2 孔)



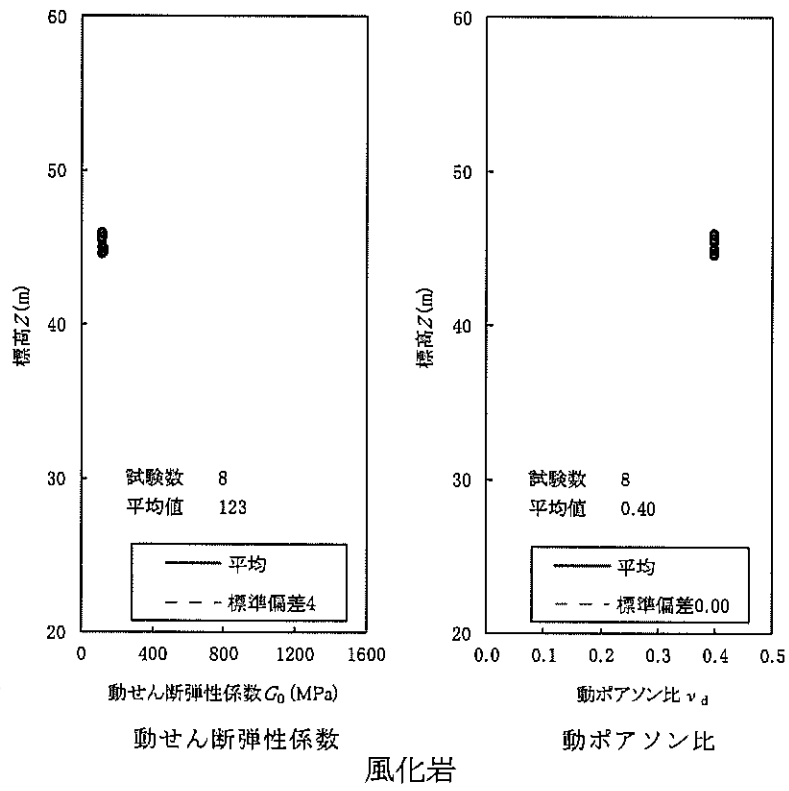
第 4.5-15 図(2) P S 検層結果 (N6-X 孔)



第 4.5-16 図(1) 動的変形特性 (動せん断弾性係数と標高の関係)

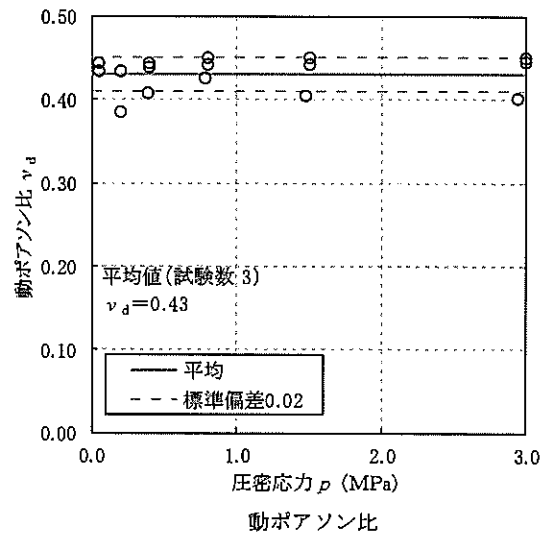
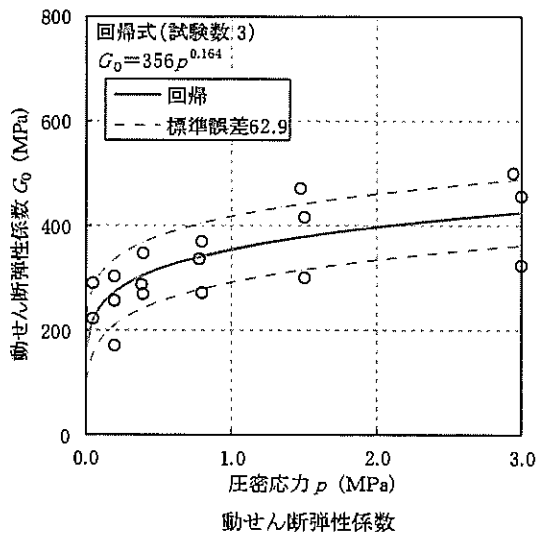


第 4.5-16 図(2) 動的変形特性 (動ポアソン比と標高の関係)

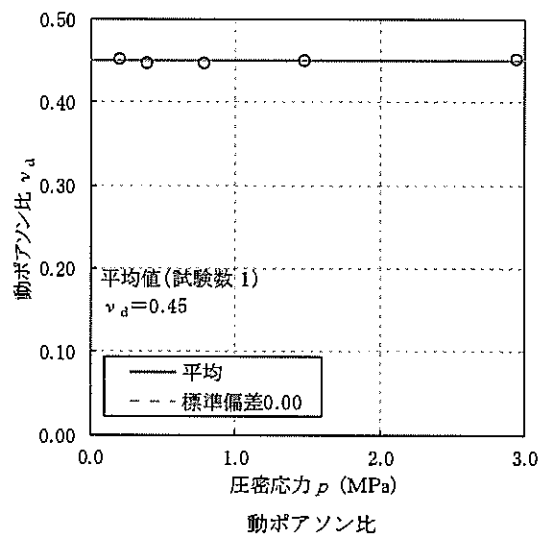
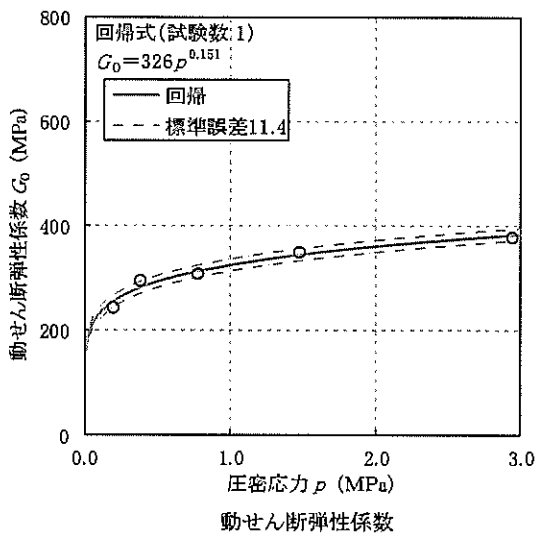


第 4.5-16 図(3) 動的変形特性

(動せん断弾性係数及び動ポアソン比と標高の関係)

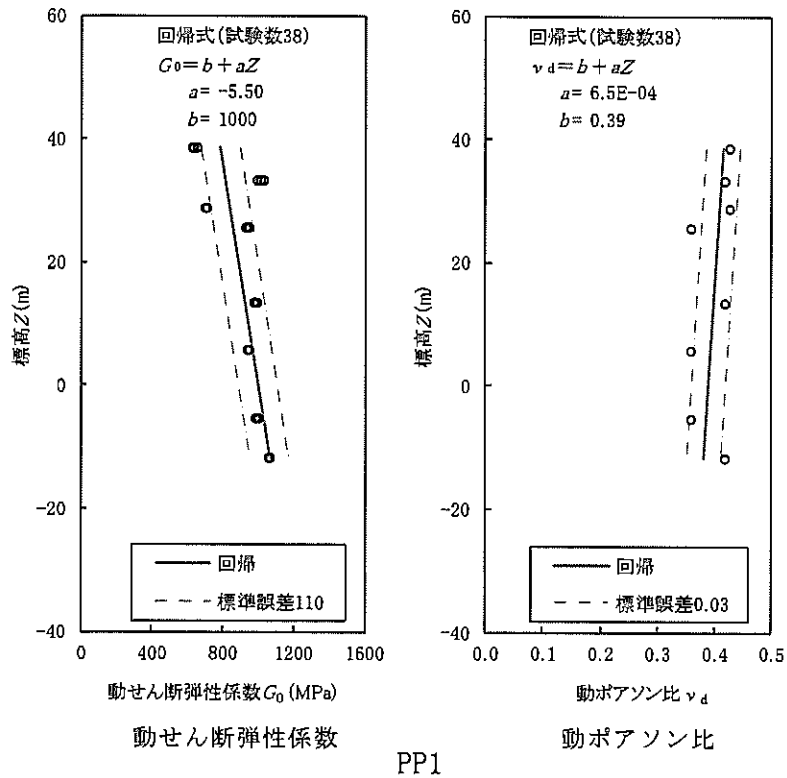


f - 1 断層



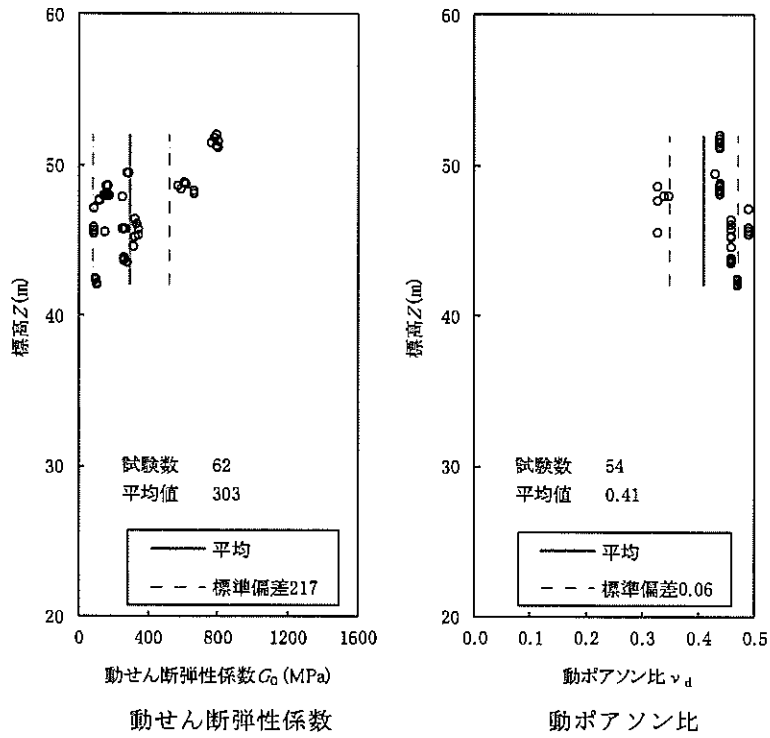
f - 2 断層

第 4.5-16 図(4) 動的変形特性
 (動せん断弾性係数及び動ポアソン比と圧密応力の関係)

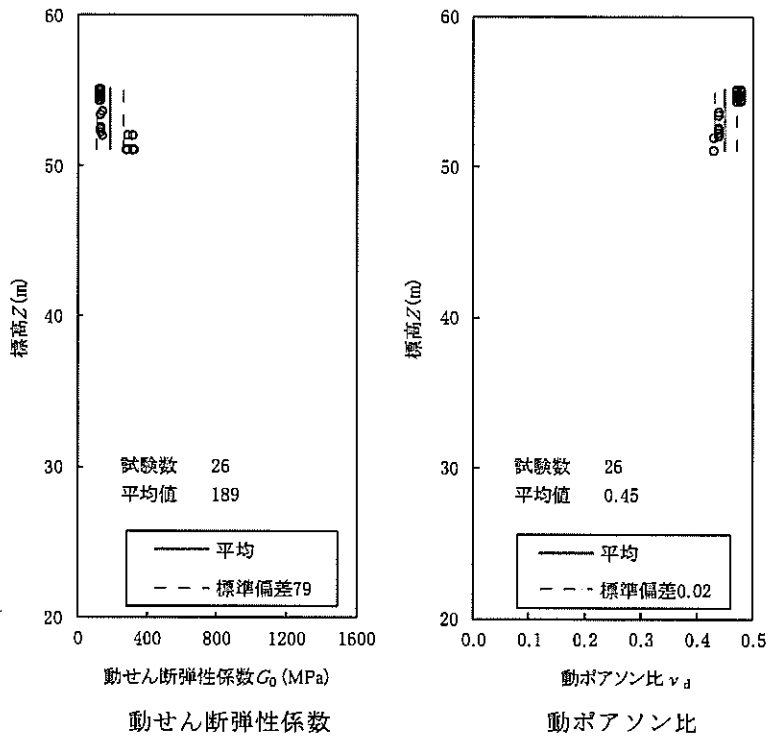


第 4.5-16 図(5) 動的変形特性

(動せん断弾性係数及び動ポアソン比と標高の関係)



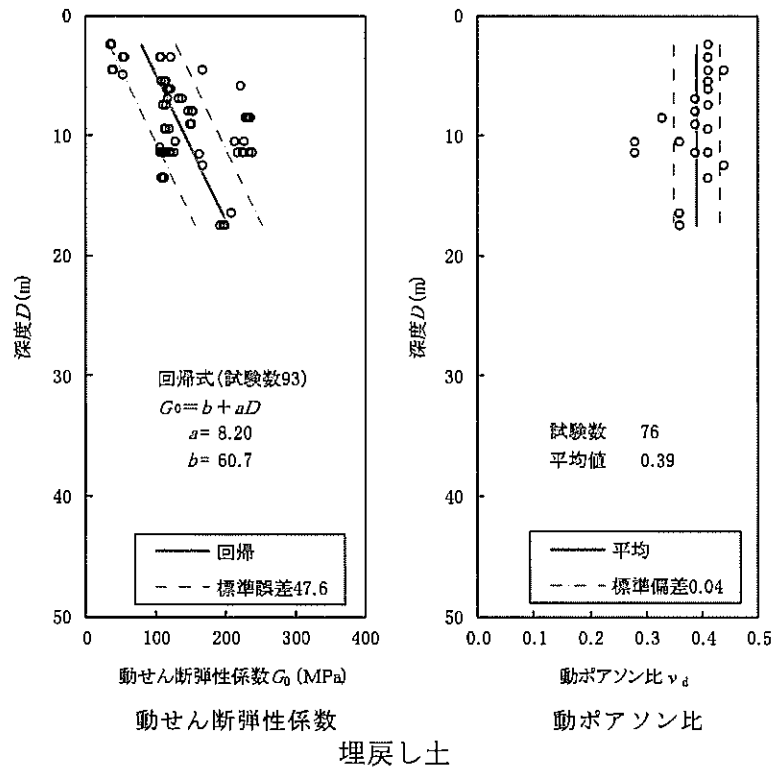
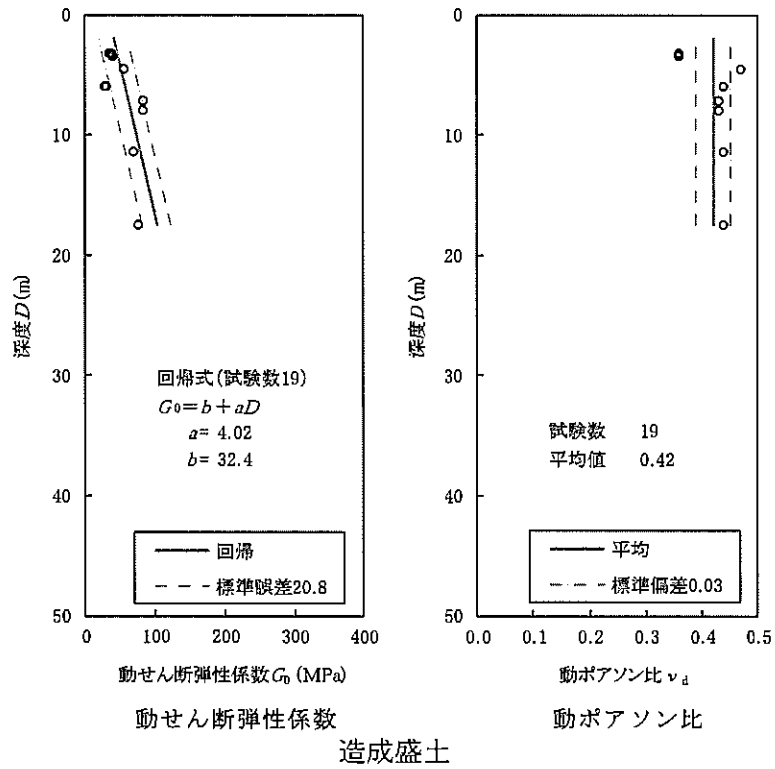
PP2



PH

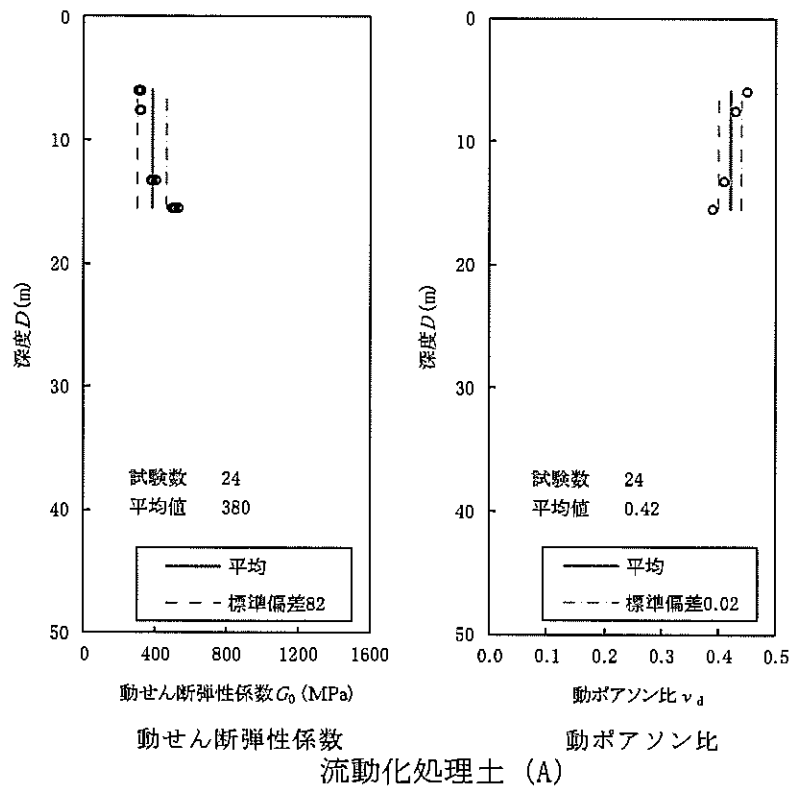
第 4.5-16 図(6) 動的変形特性

(動せん断弾性係数及び動ポアソン比と標高の関係)



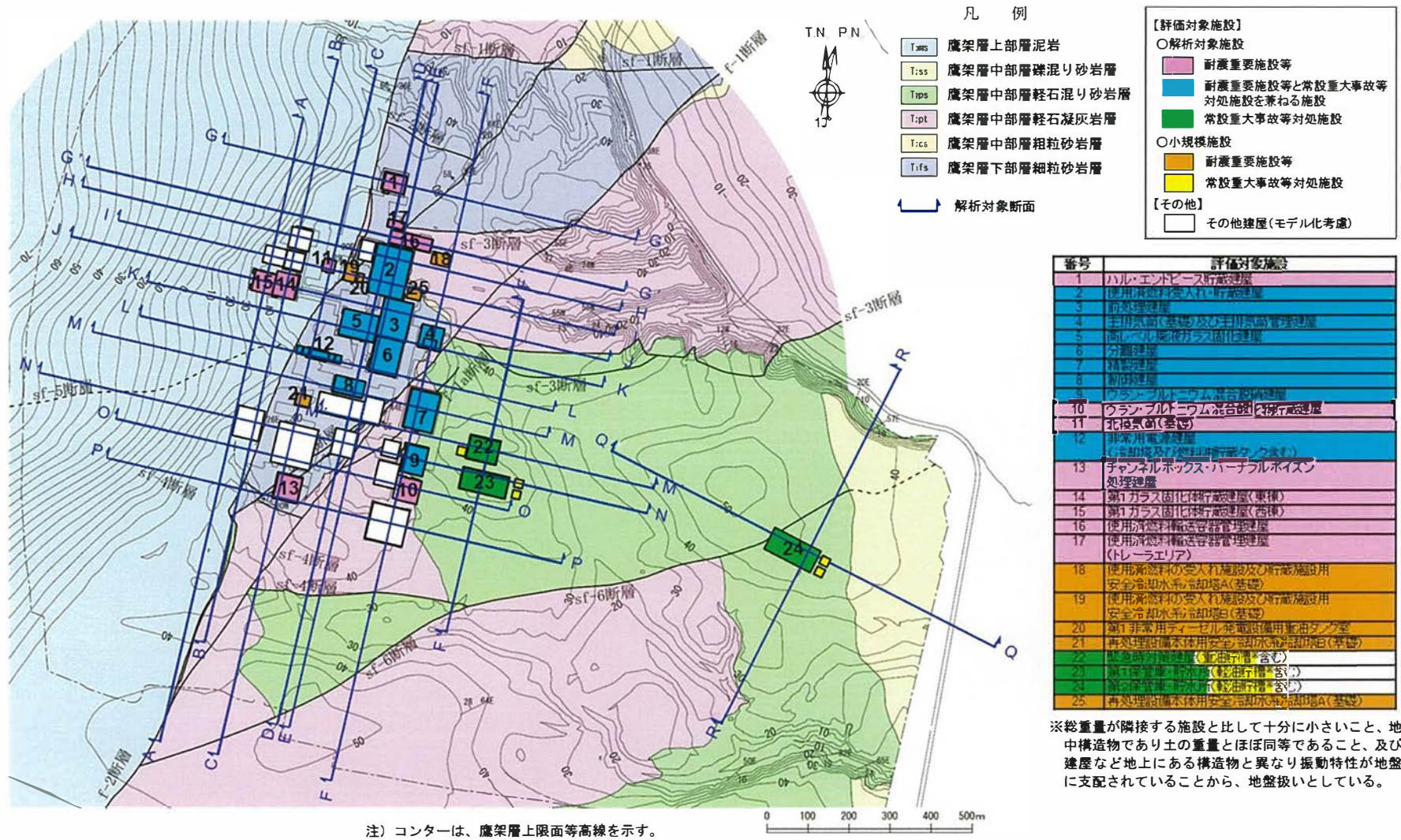
第 4.5-16 図(7) 動的変形特性

(動せん断弾性係数及び動ポアソン比と地表からの深度の関係)

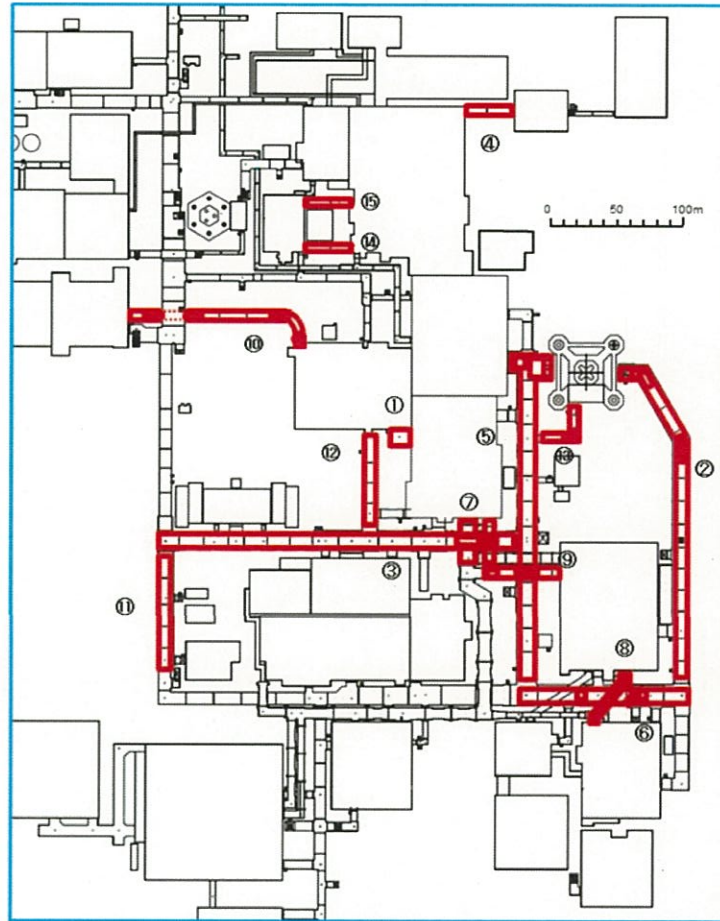
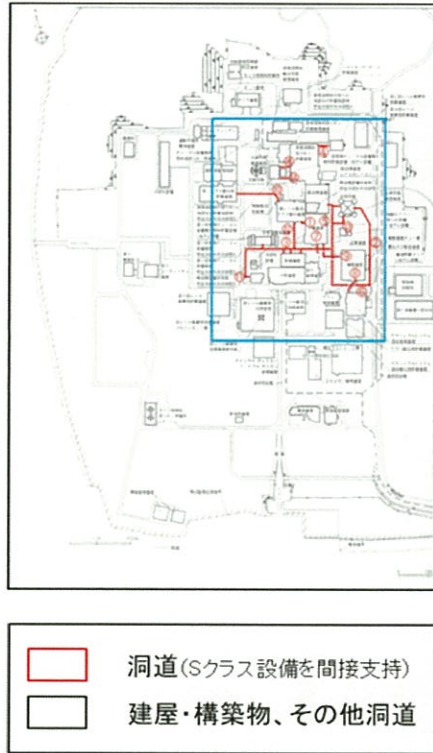


第 4.5-16 図(8) 動的変形特性

(動せん断弾性係数及び動ポアソン比と地表からの深度の関係)

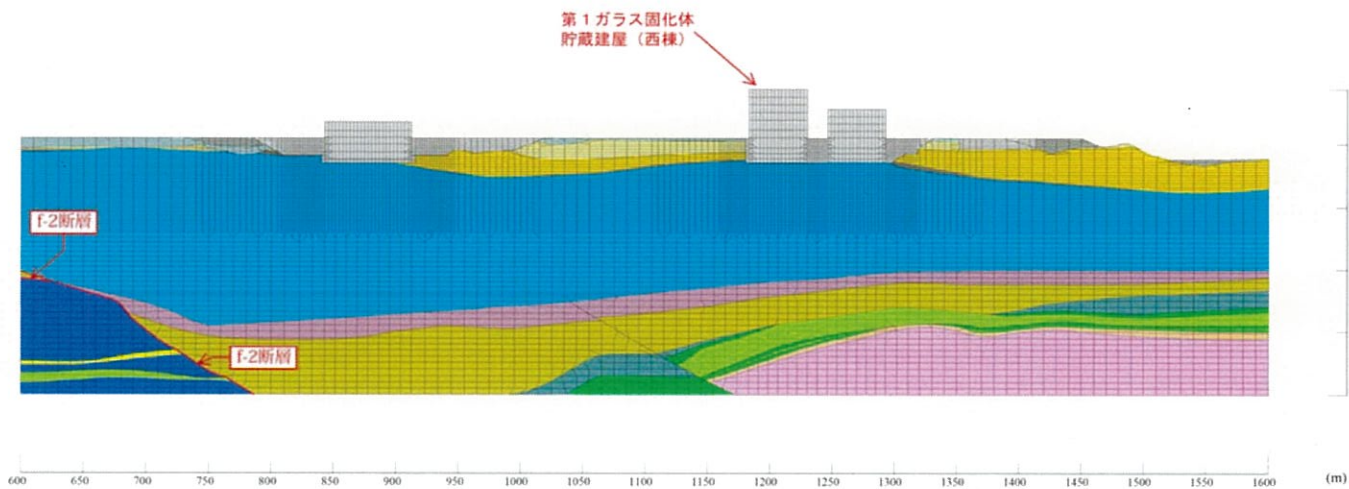


第 4.6-1 図(1) 耐震重要施設等及び常設重大事故等対処施設の配置図及び解析対象断面位置図



番号	評価対象施設 〔再処理施設の耐震重要施設等〕	主要設備 (Sクラス)
①	分離建屋/高レベル廃液ガス固化建屋間洞道	高レベル放射性廃液等を移送するためのプロセス配管類
②	前処理建屋/分離建屋/精製建屋/高レベル廃液ガス固化建屋/ウラン・プルトニウム混合脱硝建屋/制御建屋/非常用電源建屋/冷却水設備の安全冷却水系/主排気筒/主排気筒管理建屋間洞道(その1)	換気ダクト、廃ガス処理系の配管類
③	前処理建屋/分離建屋/精製建屋/高レベル廃液ガス固化建屋/ウラン・プルトニウム混合脱硝建屋/制御建屋/非常用電源建屋/冷却水設備の安全冷却水系/主排気筒/主排気筒管理建屋間洞道(その2)	安全冷却水系配管
④	使用済燃料受入れ・貯蔵建屋/安全冷却水系冷却塔A基礎間洞道	安全冷却水系配管
⑤	前処理建屋/分離建屋/精製建屋/高レベル廃液ガス固化建屋/ウラン・プルトニウム混合脱硝建屋/制御建屋/非常用電源建屋/冷却水設備の安全冷却水系/主排気筒/主排気筒管理建屋間洞道(その3)	安全冷却水系配管
⑥	前処理建屋/分離建屋/精製建屋/高レベル廃液ガス固化建屋/ウラン・プルトニウム混合脱硝建屋/制御建屋/非常用電源建屋/冷却水設備の安全冷却水系/主排気筒/主排気筒管理建屋間洞道(その4)	安全冷却水系配管
⑦	分離建屋/精製建屋/ウラン脱硝建屋/ウラン・プルトニウム混合脱硝建屋/低レベル廃液処理建屋/低レベル廃棄物処理建屋/分析建屋間洞道(その1)	プルトニウム溶液等を移送するためのプロセス配管類
⑧	精製建屋/ウラン・プルトニウム混合脱硝建屋間洞道	プルトニウム溶液等を移送するためのプロセス配管類
⑨	分離建屋/精製建屋/ウラン脱硝建屋/ウラン・プルトニウム混合脱硝建屋/低レベル廃液処理建屋/低レベル廃棄物処理建屋/分析建屋間洞道(その2)	プルトニウム溶液等を移送するためのプロセス配管類
⑩	高レベル廃液ガス固化建屋/第1ガス固化体貯蔵建屋間洞道	トレンチ移送台車(ガス固化体の遮蔽容器付き)
⑪	前処理建屋/分離建屋/精製建屋/高レベル廃液ガス固化建屋/ウラン・プルトニウム混合脱硝建屋/制御建屋/非常用電源建屋/冷却水設備の安全冷却水系/主排気筒/主排気筒管理建屋間洞道(その5)	安全冷却水系配管
⑫	前処理建屋/分離建屋/精製建屋/高レベル廃液ガス固化建屋/ウラン・プルトニウム混合脱硝建屋/制御建屋/非常用電源建屋/冷却水設備の安全冷却水系/主排気筒/主排気筒管理建屋間洞道(その6)	非常用電源ケーブル
⑬	前処理建屋/分離建屋/精製建屋/高レベル廃液ガス固化建屋/ウラン・プルトニウム混合脱硝建屋/制御建屋/非常用電源建屋/冷却水設備の安全冷却水系/主排気筒/主排気筒管理建屋間洞道(その7)	非常用電源ケーブル
⑭	使用済燃料受入れ・貯蔵建屋/安全冷却水系冷却塔B基礎間洞道(その1)	安全冷却水系配管
⑮	使用済燃料受入れ・貯蔵建屋/安全冷却水系冷却塔B基礎間洞道(その2)	安全冷却水系配管

第 4.6-1 図(2) 耐震重要施設等及び常設重大事故等対処施設の配置図及び解析対象断面位置図

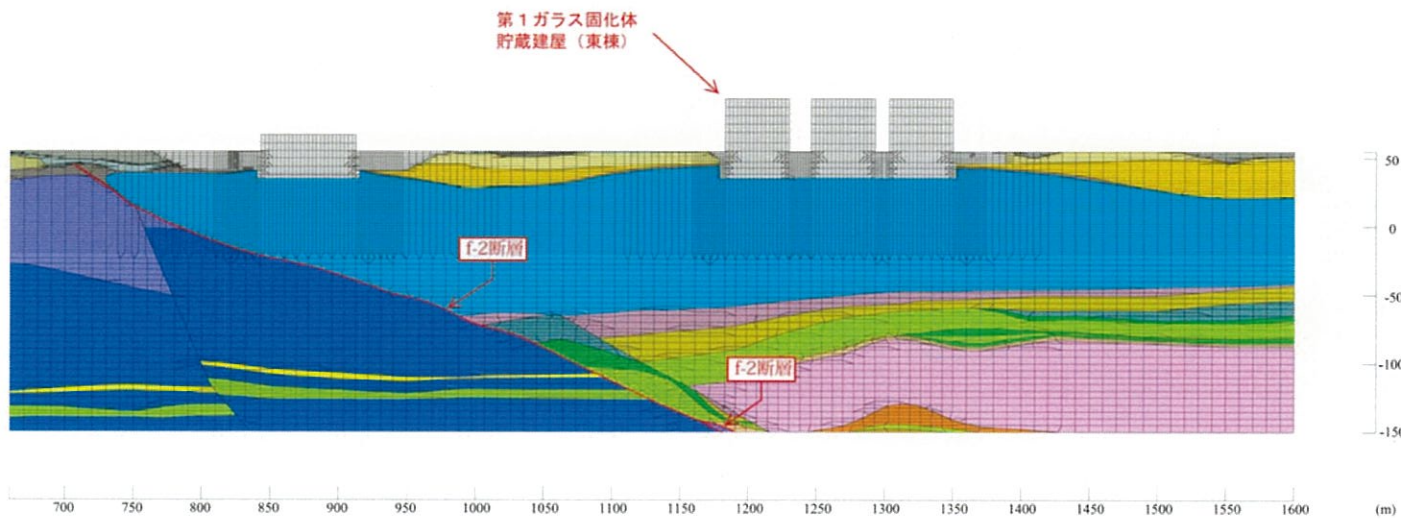


第 4.6-2 図(1) 解析用要素分割図(A-A断面)

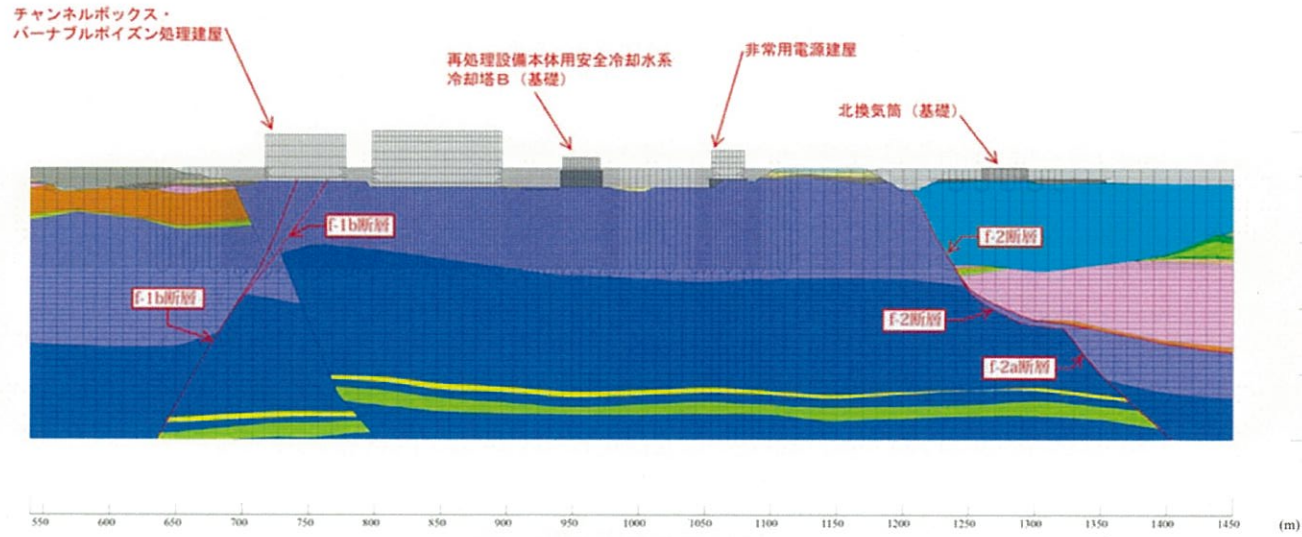
※ 凡例

達成盛土 (R)
埋戻し土 (bk)
第四系中部更新統～完新統 (PH)
第四系下部～中部更新統 (PP2)
新第三系鮮新統 (PP1)
泥岩(上部層) (Tmsa)
泥岩(下部層) (Tms)
細粒砂岩 (Tfs)
凝灰質砂岩 (Tts)
軽石質砂岩 (Ttps)
粗粒砂岩 (Tcs)
砂岩・凝灰岩五層 (Talam)
砂岩・凝灰岩五層 (Talat)
凝灰岩 (Ttf)
軽石凝灰岩 (Tpt)
砂質軽石凝灰岩 (Tspst)
塊混り砂岩 (Tss)
軽石混り砂岩 (Tps)
塊岩 (Tcg)
風化岩 (T(w))
流動化処理土
MMR
建屋

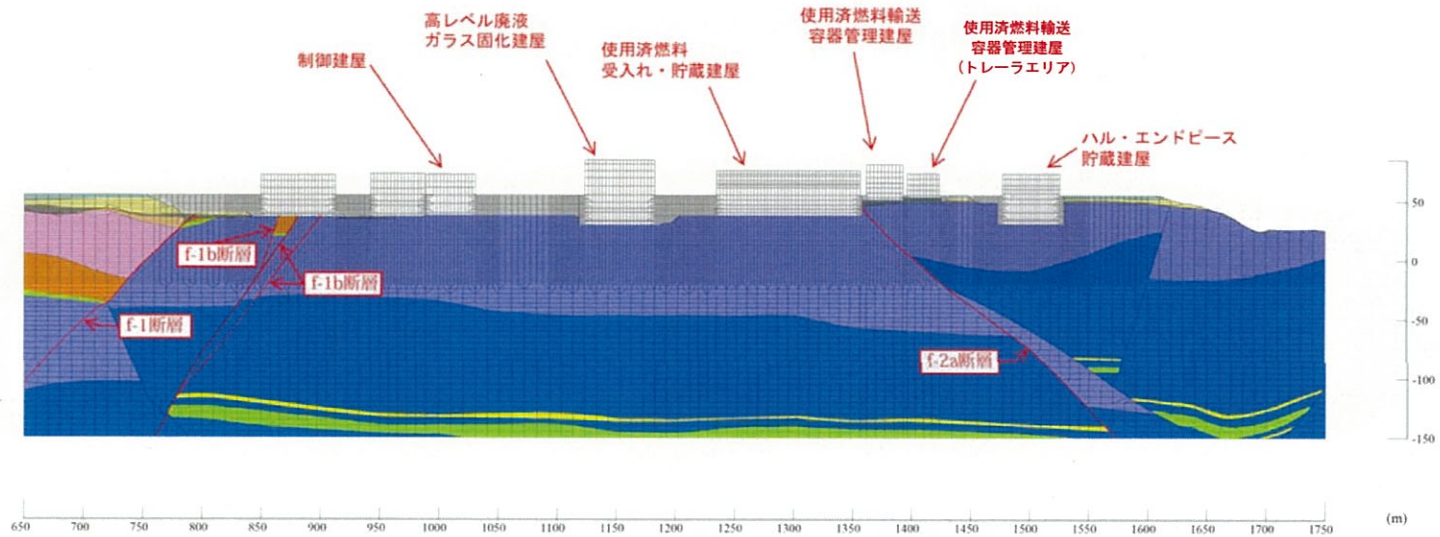
※ 解析用地盤分類に基づく表示



第 4.6-2 図(2) 解析用要素分割図(B-B断面)



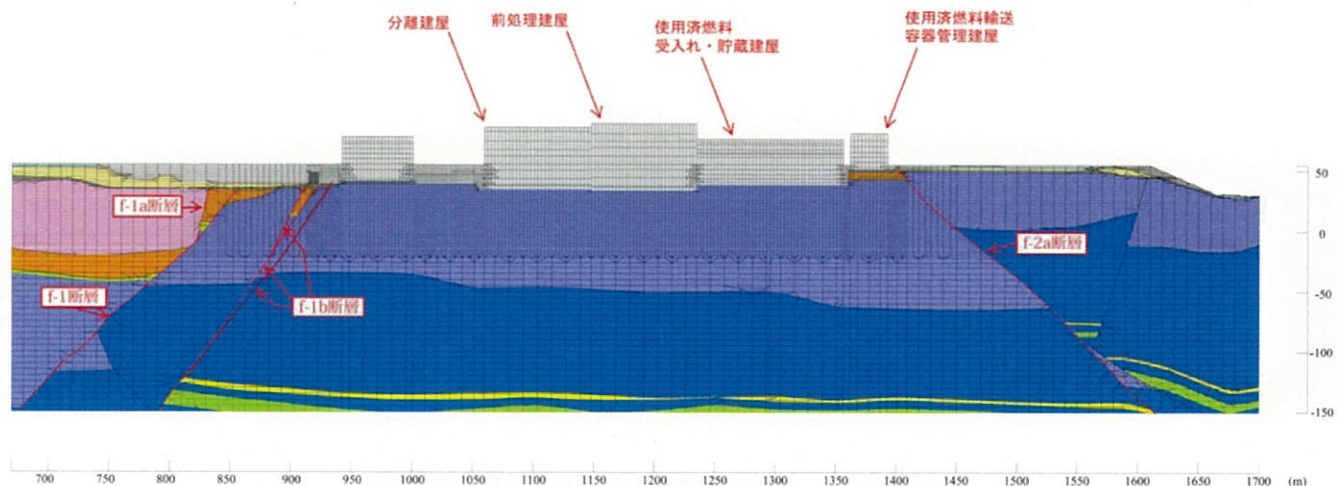
第 4.6-2 図(3) 解析用要素分割図(C-C断面)



第 4.6-2 図(4) 解析用要素分割図(D-D断面)

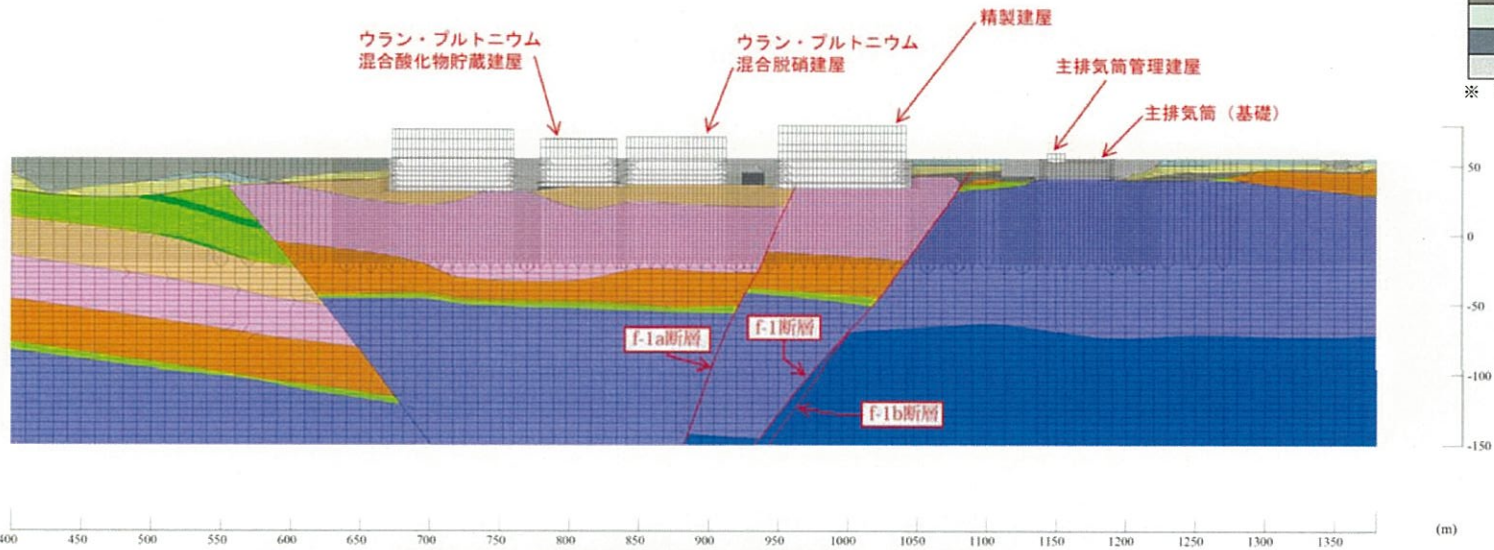
- ※ 凡例
- 達成盛土 (A)
 - 埋戻し土 (bk)
 - 第四系中部更新統～完新統 (PH)
 - 第四系下部～中部更新統 (PP2)
 - 新第三系鮮新統 (PP1)
 - 泥岩(上部層) (Tms)
 - 泥岩(下部層) (Tms)
 - 細粒砂岩 (Tfs)
 - 凝灰質砂岩 (Tts)
 - 軽石質砂岩 (Tpps)
 - 粗粒砂岩 (Tcs)
 - 砂岩・泥岩互層 (Talsm)
 - 砂岩・凝灰岩互層 (Talst)
 - 凝灰岩 (Ttf)
 - 軽石凝灰岩 (Tpt)
 - 砂質軽石凝灰岩 (Tsp)
 - 礫混り砂岩 (Tss)
 - 軽石混り砂岩 (Tps)
 - 礫岩 (Tcg)
 - 風化岩 (T(w))
 - 流動化処理土
 - MMR
 - 建屋

※ 解析用地盤分類に基づく表示

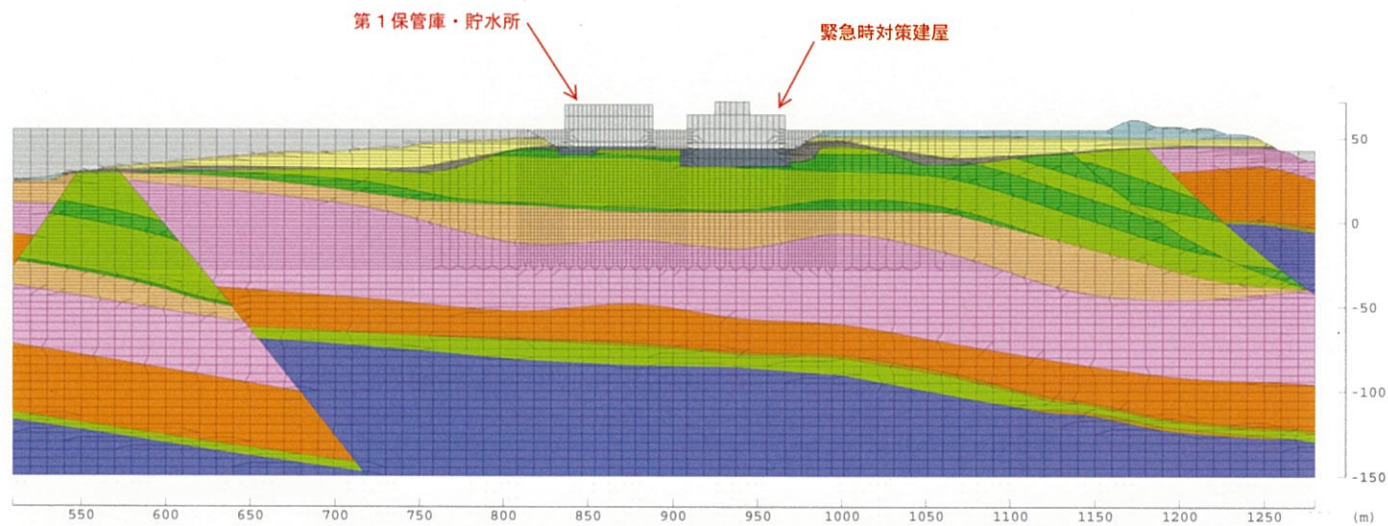


第 4.6-2 図(5) 解析用要素分割図(E-E断面)

- ※ 凡例
- 造成盛土 (A)
 - 埋戻し土 (bk)
 - 第四系中部更新統~完新統 (PH)
 - 第四系下部~中部更新統 (PP2)
 - 新第三系鮮新統 (PP1)
 - 泥岩(上部層) (Tms)
 - 泥岩(下部層) (Tms)
 - 細粒砂岩 (Tfs)
 - 凝灰質砂岩 (Tts)
 - 軽石質砂岩 (Tps)
 - 粗粒砂岩 (Tcs)
 - 砂岩・泥岩互層 (Talsm)
 - 砂岩・凝灰岩互層 (Talt)
 - 凝灰岩 (Tf)
 - 軽石凝灰岩 (Tpt)
 - 砂質軽石凝灰岩 (Tspk)
 - 礫混り砂岩 (Tss)
 - 軽石混り砂岩 (Tps)
 - 礫岩 (Tcg)
 - 風化岩 (T(w))
 - 流動化処理土
 - MMR
 - 建屋
- ※ 解析用地盤分類に基づく表示



第 4.6-2 図(6) 解析用要素分割図(F-F断面)



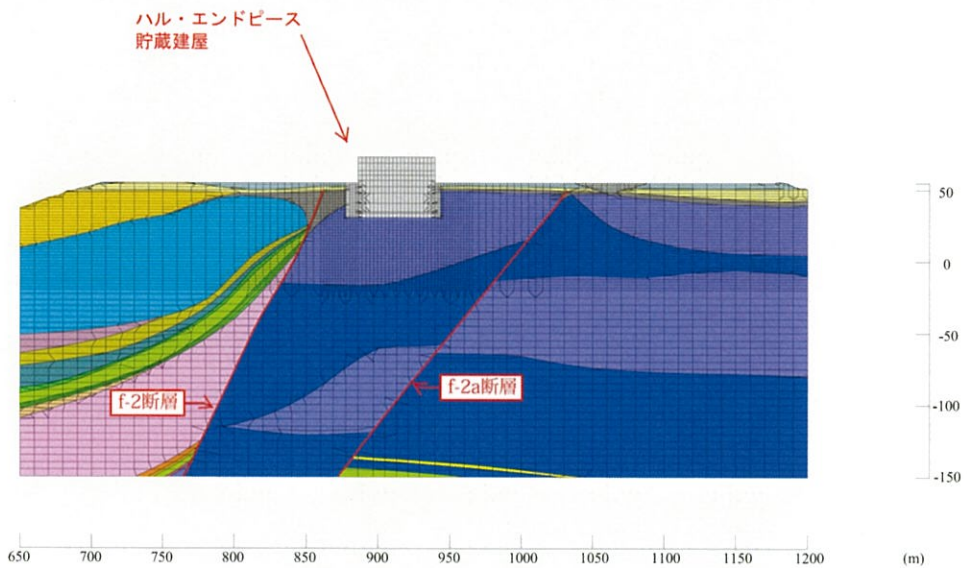
第 4.6-2 図(7) 解析用要素分割図(F' - F' 断面)

※

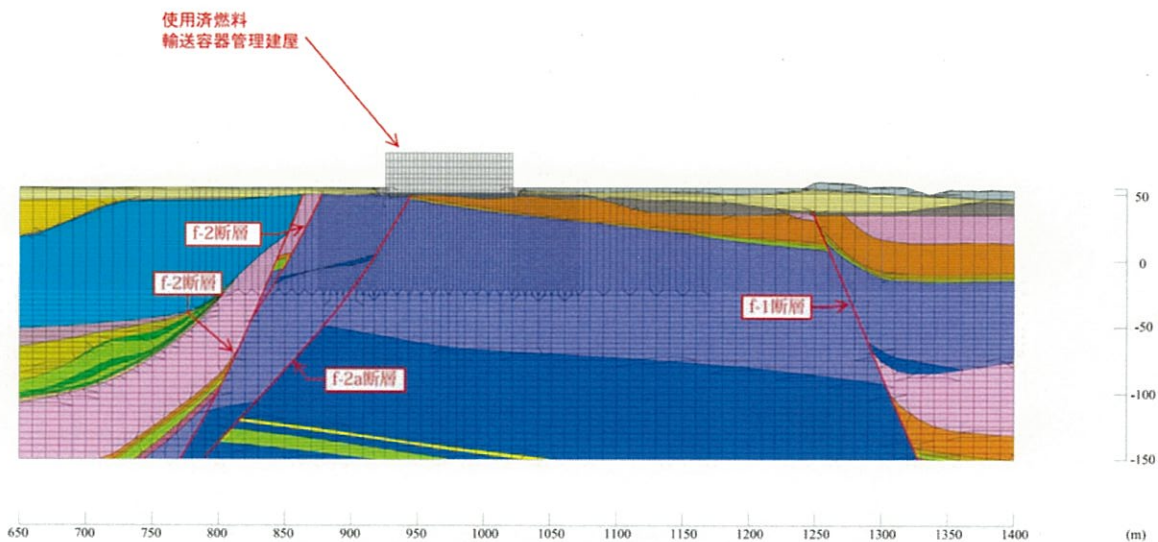
凡例

達成盛土 (n)
埋戻し土 (bk)
第四系中部更新統～完新統 (PH)
第四系下部～中部更新統 (PP2)
新第三系鮮新統 (PP1)
泥岩(上部層) (Tms)
泥岩(下部層) (Tms)
細粒砂岩 (Tfs)
凝灰質砂岩 (Tts)
軽石質砂岩 (Tpps)
粗粒砂岩 (Tcs)
砂岩・泥岩互層 (Talem)
砂岩・凝灰岩互層 (Talt)
凝灰岩 (Ttf)
軽石凝灰岩 (Tpt)
砂質軽石凝灰岩 (Tsp)
礫混り砂岩 (Tss)
軽石混り砂岩 (Tps)
礫岩 (Tcg)
風化岩 (T(w))
流動化処理土
MMR
建屋

※ 解析用地盤分類に基づく表示



第 4.6-2 図(8) 解析用要素分割図(G - G 断面)

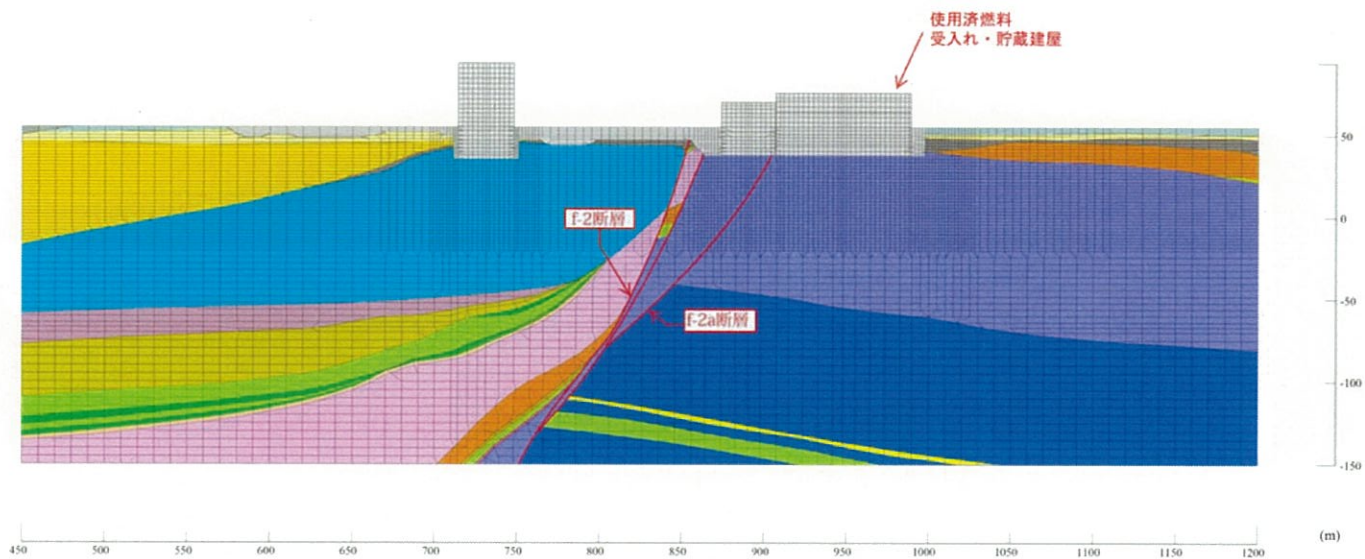


第 4.6-2 図(9) 解析用要素分割図(G'-G'断面)

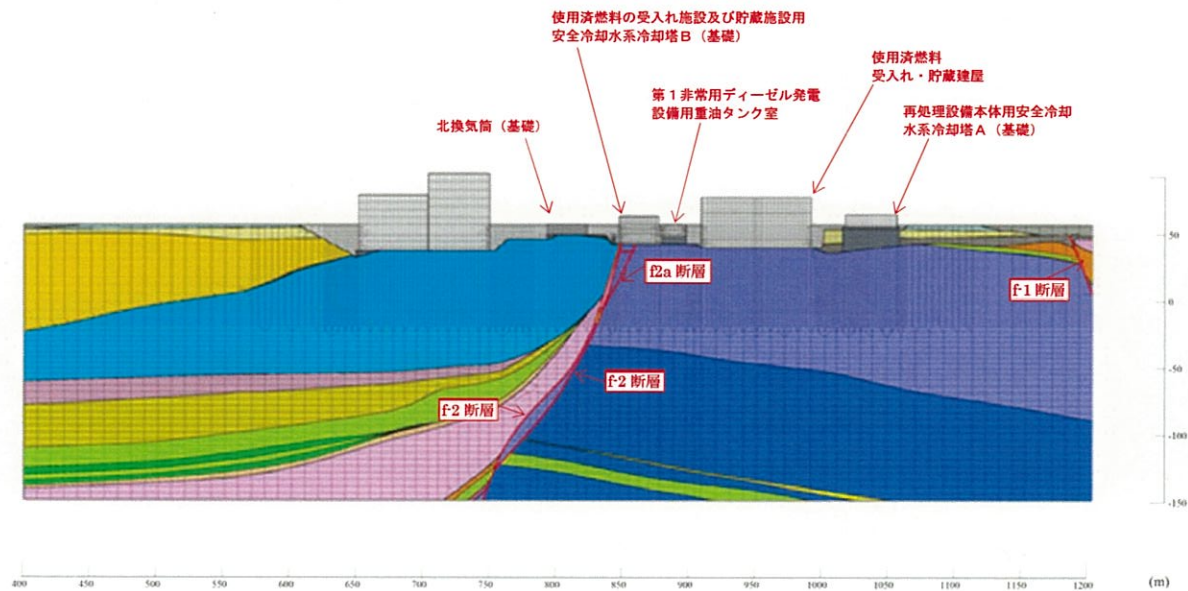
※
凡例

造成盛土 (R)
埋戻し土 (bk)
第四系中部更新統～完新統 (PH)
第四系下部～中部更新統 (PP2)
新第三系鮮新統 (PP1)
泥岩(上部層) (Tms)
泥岩(下部層) (Tms)
細粒砂岩 (Tfs)
凝灰質砂岩 (Tts)
軽石質砂岩 (Tpps)
粗粒砂岩 (Tcs)
砂岩・泥岩互層 (Talsm)
砂岩・凝灰岩互層 (Talt)
凝灰岩 (Ttf)
軽石凝灰岩 (Tpt)
砂質軽石凝灰岩 (Tsppt)
礫混り砂岩 (Tss)
軽石混り砂岩 (Tps)
礫岩 (Tcg)
風化岩 (T(w))
流動化処理土
MMR
建屋

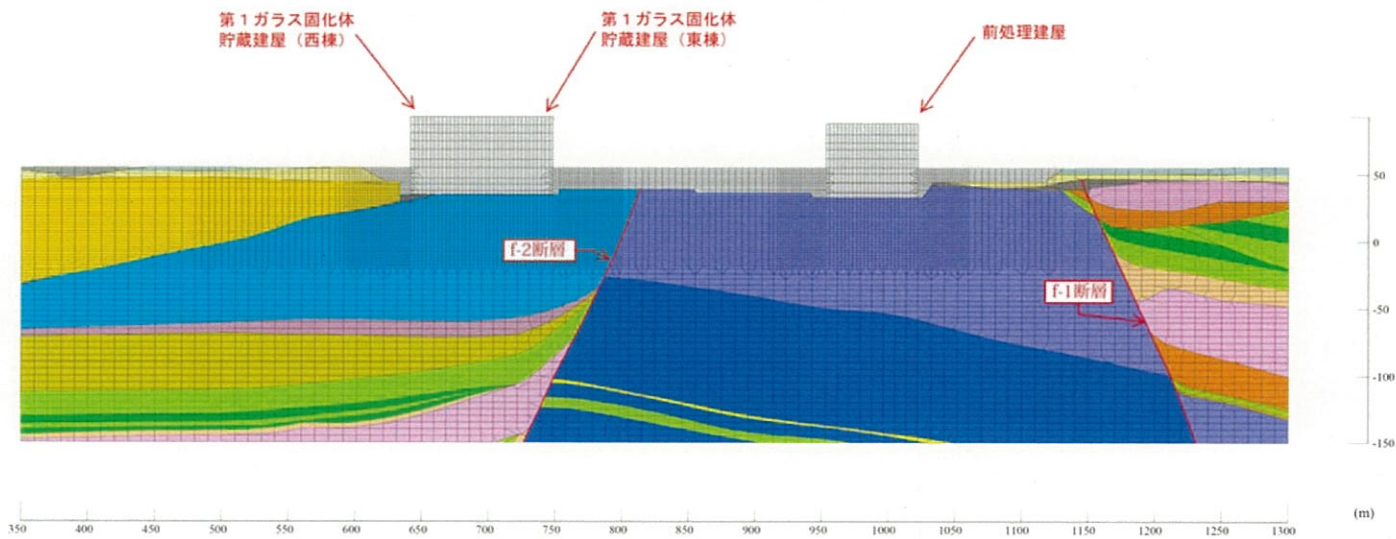
※ 解析用地盤分類に基づく表示



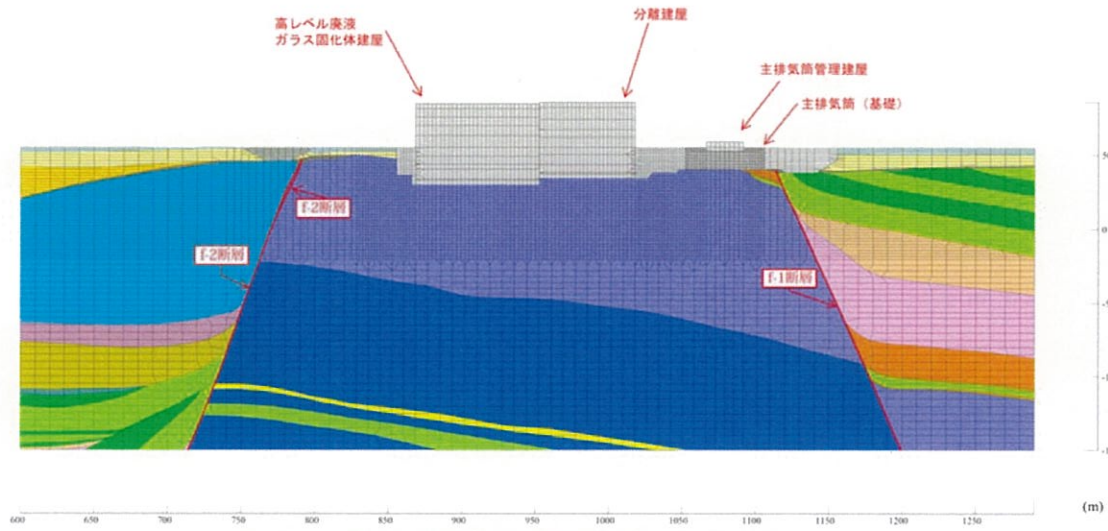
第 4.6-2 図(10) 解析用要素分割図(H-H断面)



第 4.6-2 図(11) 解析用要素分割図 (I - I 断面)



第 4.6-2 図(12) 解析用要素分割図 (J - J 断面)

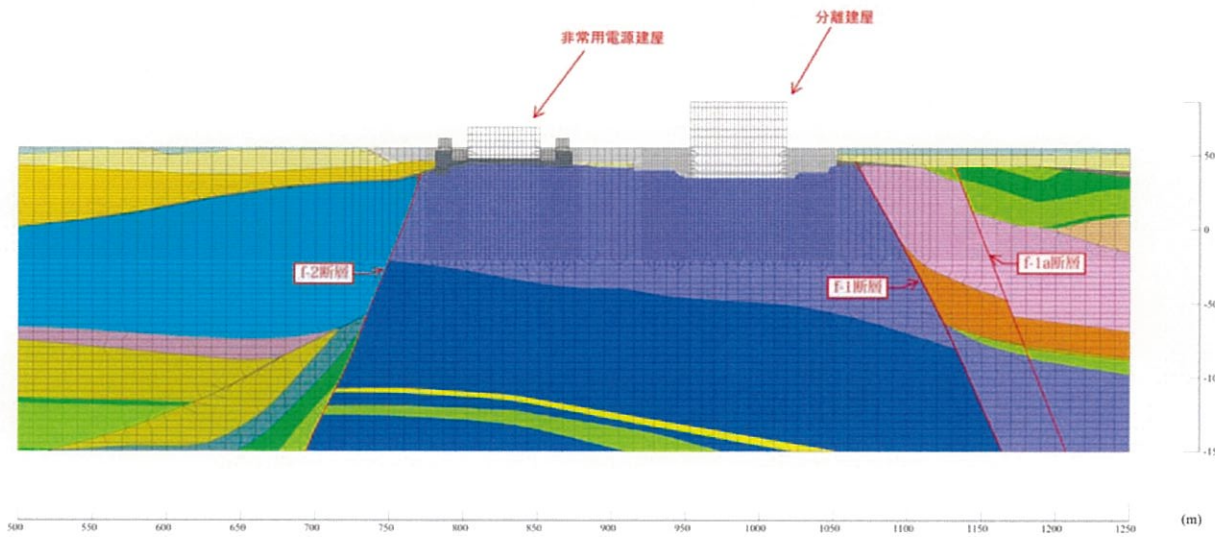


第 4.6-2 図(13) 解析用要素分割図(K-K断面)

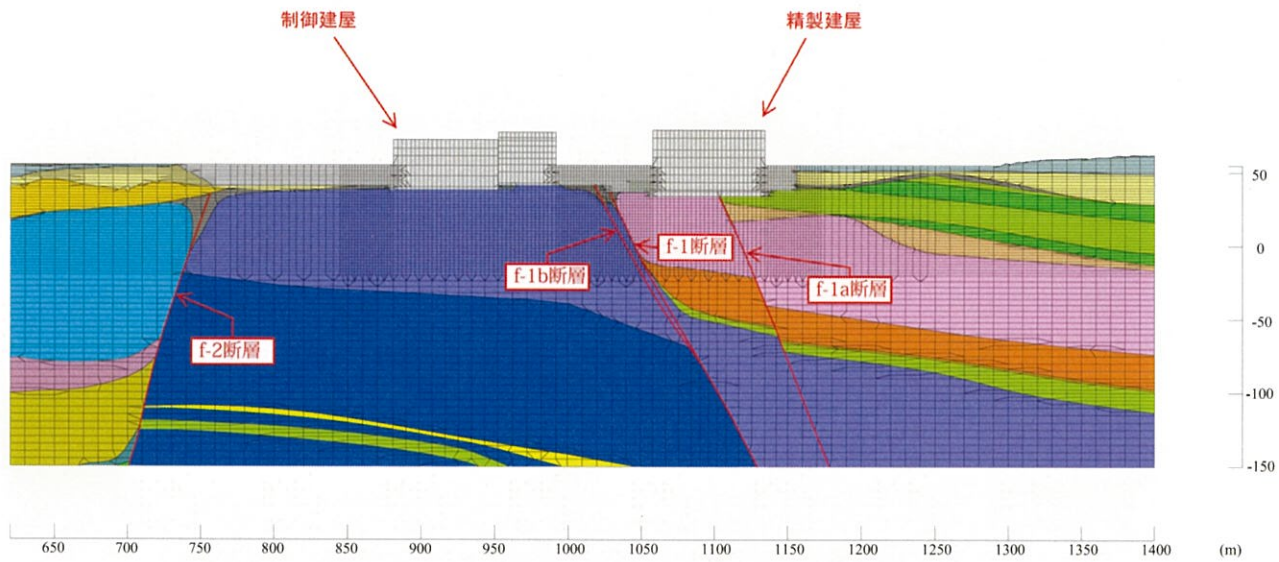
※ 凡例

[Symbol]	造成盛土 (a)
[Symbol]	埋戻し土 (bk)
[Symbol]	第四系中部更新統～完新統 (PH)
[Symbol]	第四系下部～中部更新統 (PP2)
[Symbol]	新第三系鮮新統 (PP1)
[Symbol]	泥岩(上部層) (Tms)
[Symbol]	泥岩(下部層) (Tms)
[Symbol]	細粒砂岩 (Tfs)
[Symbol]	凝灰質砂岩 (Tts)
[Symbol]	軽石質砂岩 (Tps)
[Symbol]	粗粒砂岩 (Tcs)
[Symbol]	砂岩・泥岩互層 (Talsm)
[Symbol]	砂岩・凝灰岩互層 (Talt)
[Symbol]	凝灰岩 (Tf)
[Symbol]	軽石凝灰岩 (Tpt)
[Symbol]	砂質軽石凝灰岩 (Tsp)
[Symbol]	礫混り砂岩 (Tss)
[Symbol]	軽石混り砂岩 (Tps)
[Symbol]	礫岩 (Tcg)
[Symbol]	風化岩 (T(w))
[Symbol]	流動化処理土
[Symbol]	MMR
[Symbol]	建屋

※ 解析用地盤分類に基づく表示



第 4.6-2 図(14) 解析用要素分割図(L-L断面)

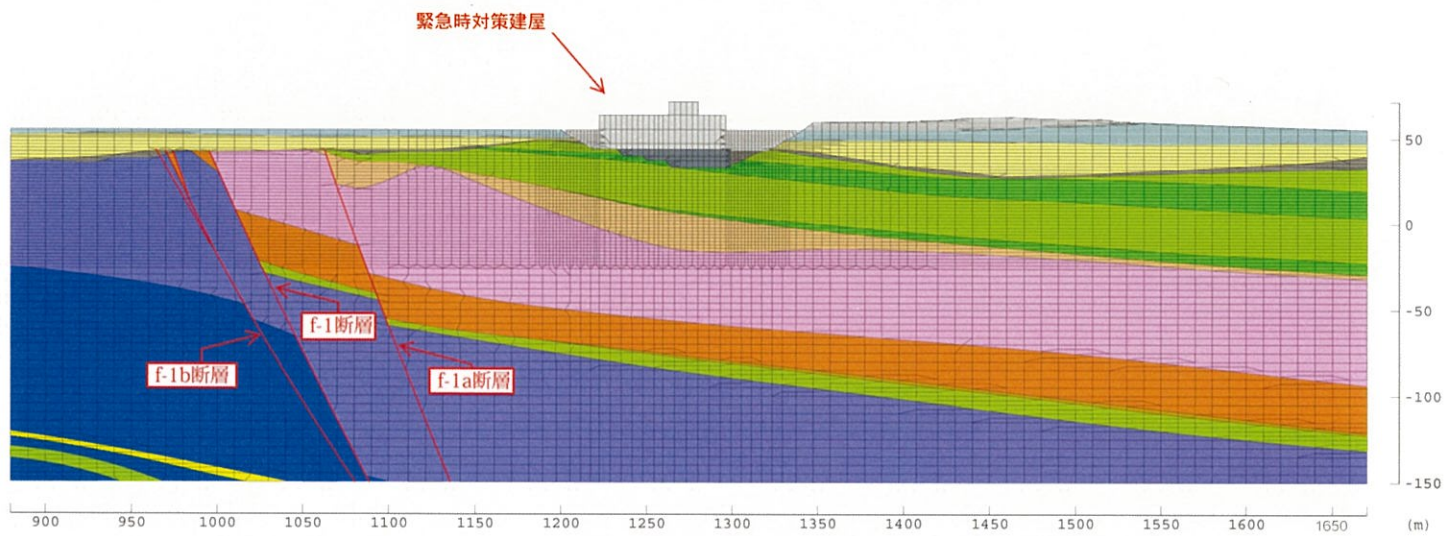


第 4.6-2 图 (15) 解析用要素分割图 (M-M 断面)

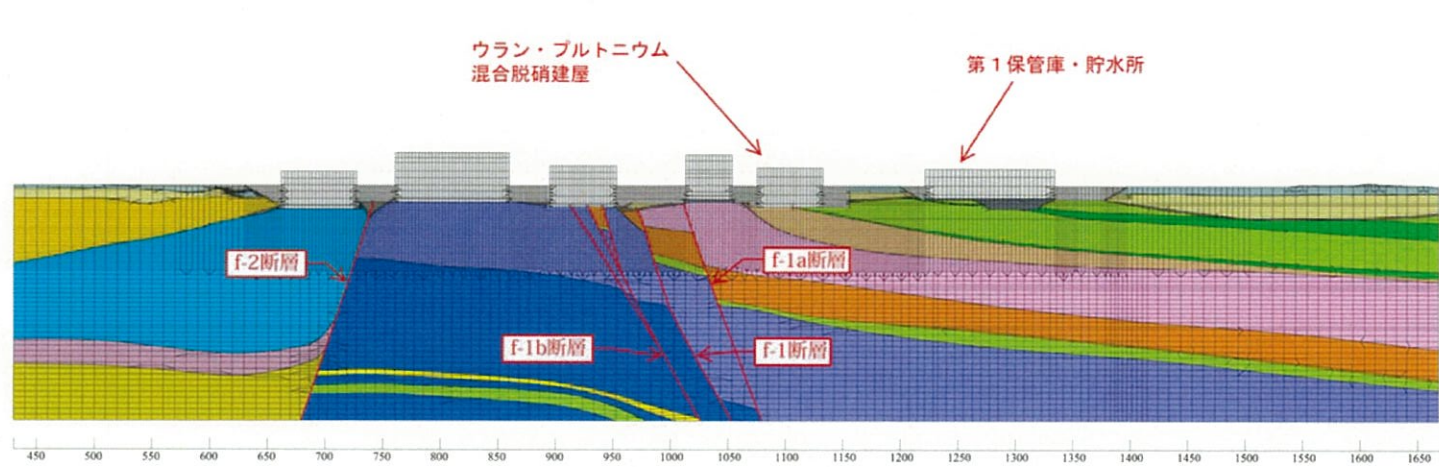
※ 凡例

達成盛土 (R)
埋戻し土 (bk)
第四系中部更新統~完新統 (PH)
第四系下部~中部更新統 (PP2)
新第三系鮮新統 (PP1)
泥岩(上部層) (Tms)
泥岩(下部層) (Tms)
細粒砂岩 (Tfs)
凝灰質砂岩 (Tts)
軽石質砂岩 (Tpps)
粗粒砂岩 (Tcs)
砂岩・泥岩互層 (Talsm)
砂岩・凝灰岩互層 (Talst)
凝灰岩 (Tf)
軽石凝灰岩 (Tpt)
砂質軽石凝灰岩 (Tspt)
礫混り砂岩 (Tss)
軽石混り砂岩 (Tps)
礫岩 (Tcg)
風化岩 (T(w))
流動化処理土
MMR
建屋

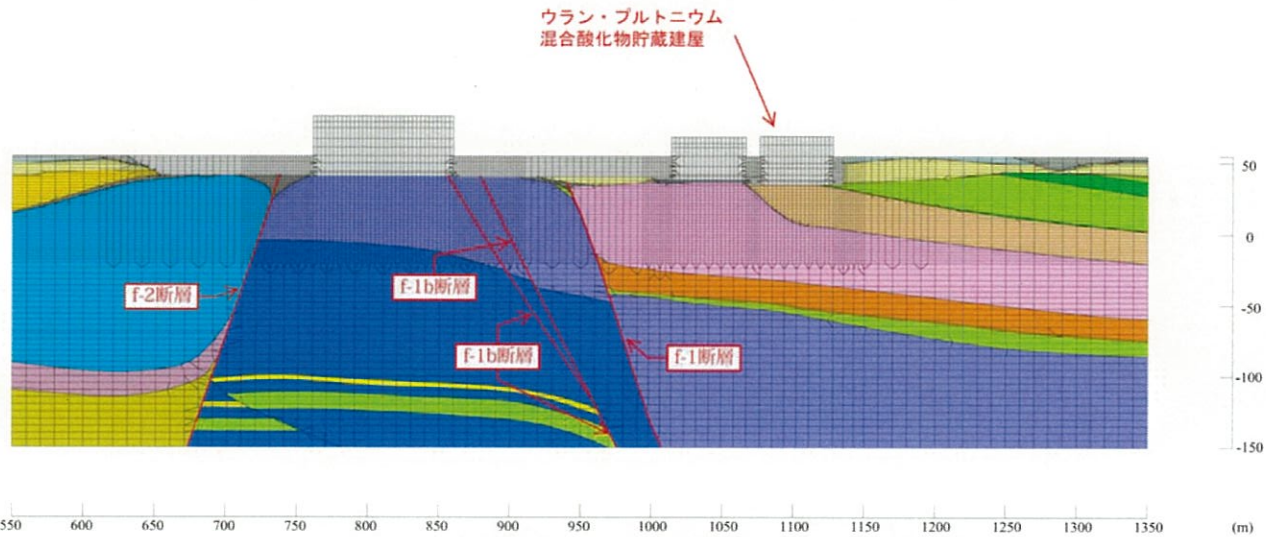
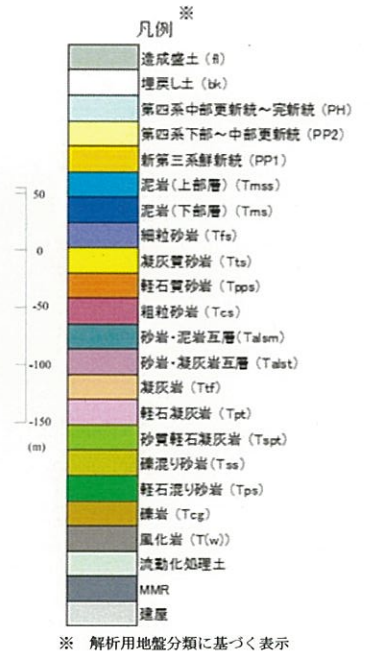
※ 解析用地盤分類に基づく表示



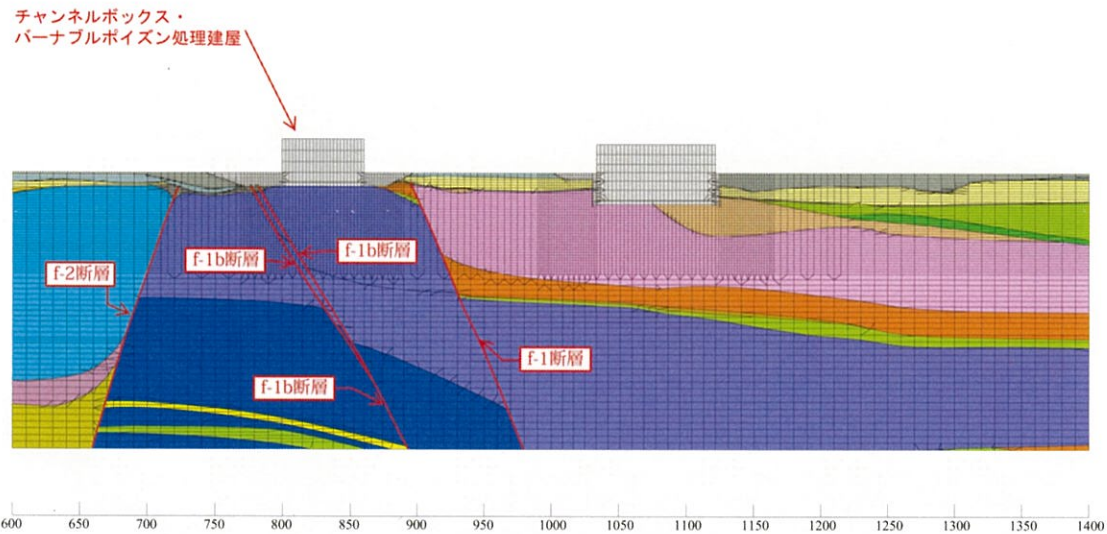
第 4.6-2 图 (16) 解析用要素分割图 (M'-M' 断面)



第 4.6-2 図(17) 解析用要素分割図(N-N断面)



第 4.6-2 図(18) 解析用要素分割図(O-O断面)

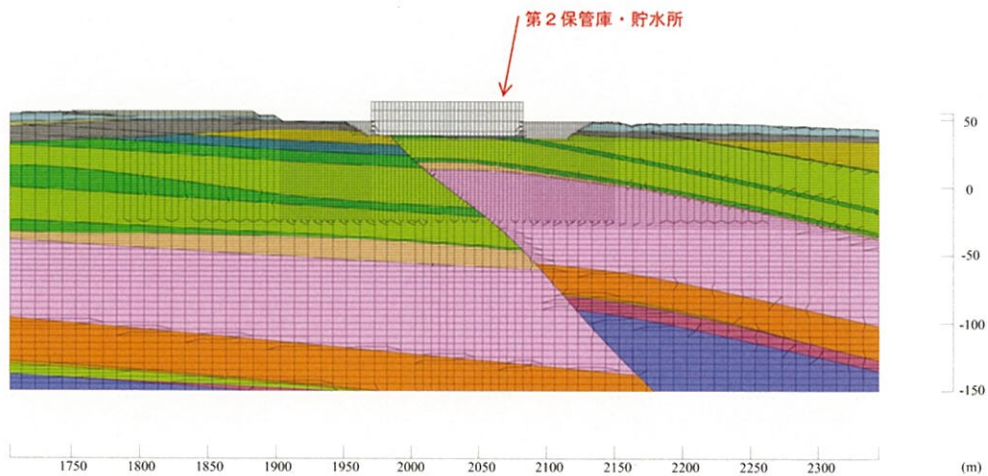


第 4.6-2 図(19) 解析用要素分割図 (P-P 断面)

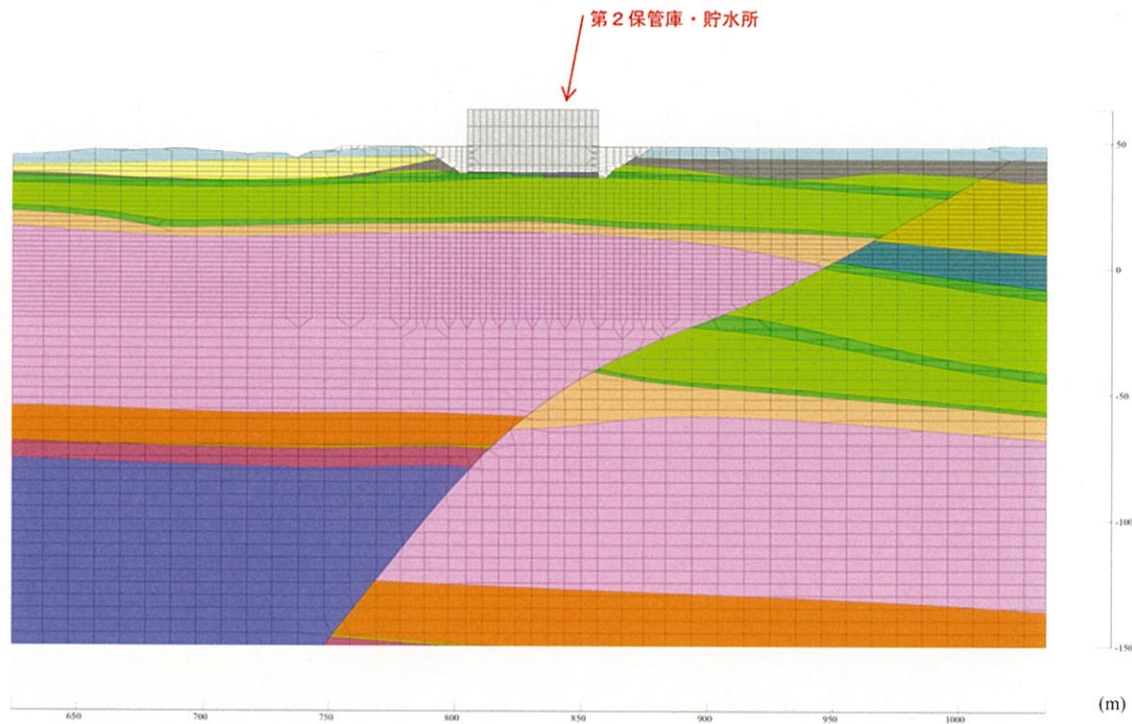
※
凡例

達成盛土 (fl)
埋戻し土 (bk)
第四系中部更新統～完新統 (PH)
第四系下部～中部更新統 (PP2)
新第三系鮮新統 (PP1)
泥岩(上部層) (Tms)
泥岩(下部層) (Tms)
細粒砂岩 (Tfs)
凝灰質砂岩 (Tts)
軽石質砂岩 (Tps)
粗粒砂岩 (Tcs)
砂岩・泥岩互層 (Talsm)
砂岩・凝灰岩互層 (Talt)
凝灰岩 (Taf)
軽石凝灰岩 (Tpt)
砂質軽石凝灰岩 (Tsp)
礫混り砂岩 (Tss)
軽石混り砂岩 (Tps)
礫岩 (Tcg)
風化岩 (T(w))
流動化処理土
MMR
建屋

※ 解析用地盤分類に基づく表示



第 4.6-2 図(20) 解析用要素分割図 (Q-Q 断面)

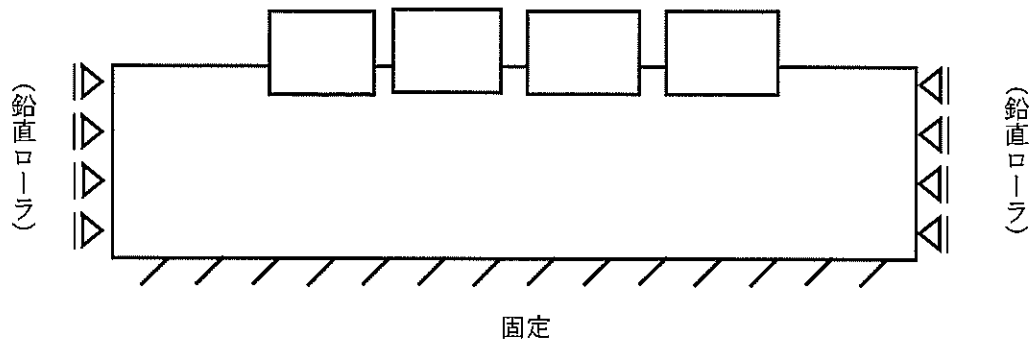


※
凡例

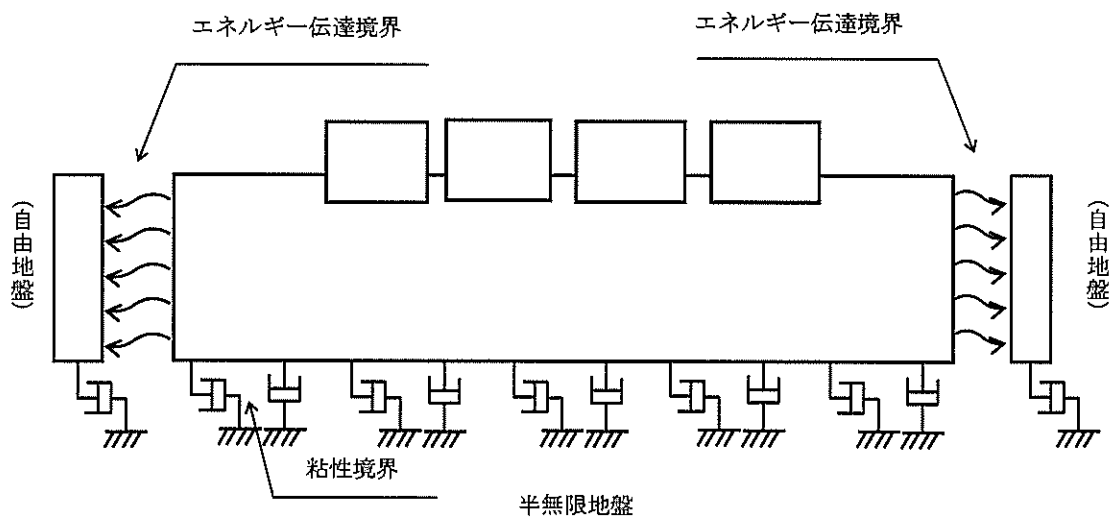
達成盛土 (R)
埋戻し土 (bk)
第四系中部更新統～完新統 (PH)
第四系下部～中部更新統 (PP2)
新第三系鮮新統 (PP1)
泥岩(上部層) (Tms)
泥岩(下部層) (Tms)
細粒砂岩 (Tfs)
凝灰質砂岩 (Tts)
軽石質砂岩 (Tpps)
粗粒砂岩 (Tcs)
砂岩・泥岩互層 (Talsm)
砂岩・凝灰岩互層 (Talst)
凝灰岩 (Ttf)
軽石凝灰岩 (Tpt)
砂質軽石凝灰岩 (Tspt)
礫混り砂岩 (Tss)
軽石混り砂岩 (Tps)
礫岩 (Tcg)
風化岩 (T(w))
流動化処理土
MMR
建屋

※ 解析用地盤分類に基づく表示

第 4.6-2 図(2) 解析用要素分割図 (R-R 断面)

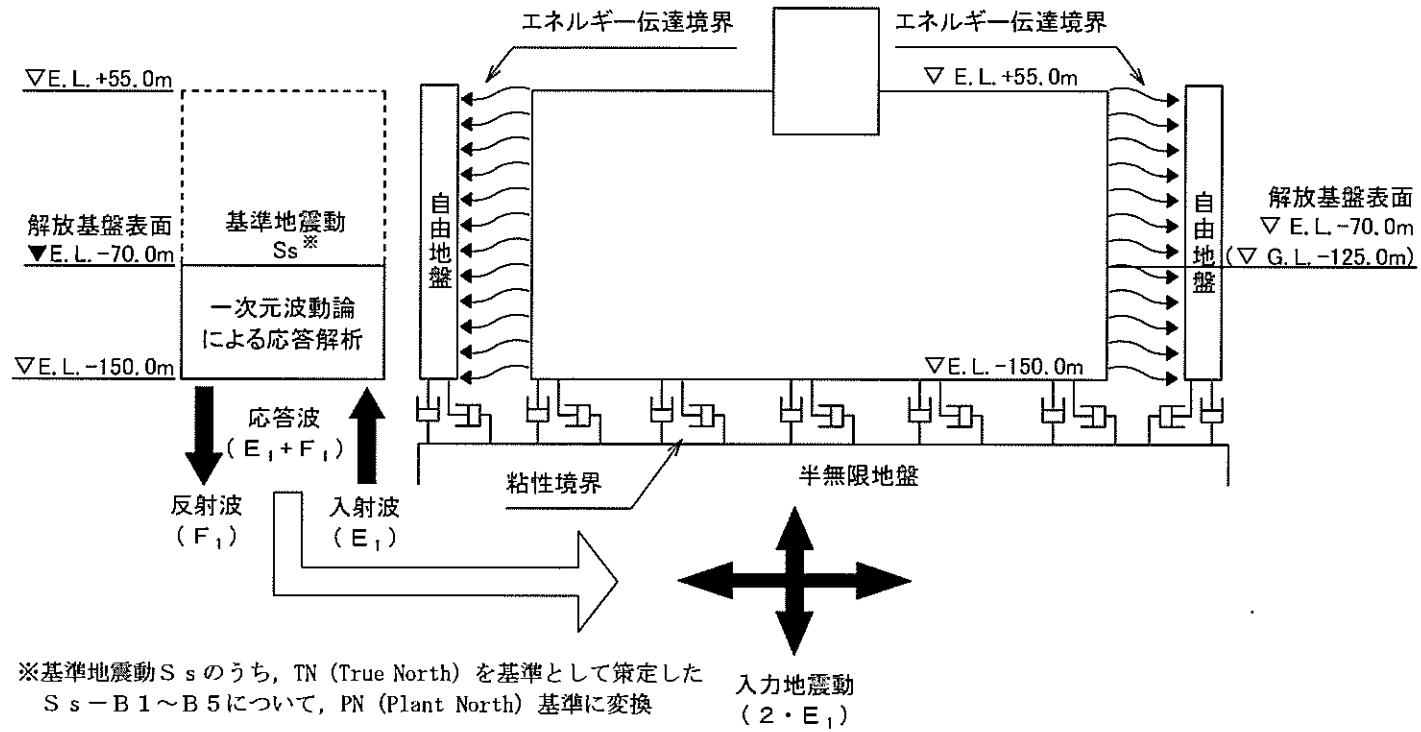


常時解析

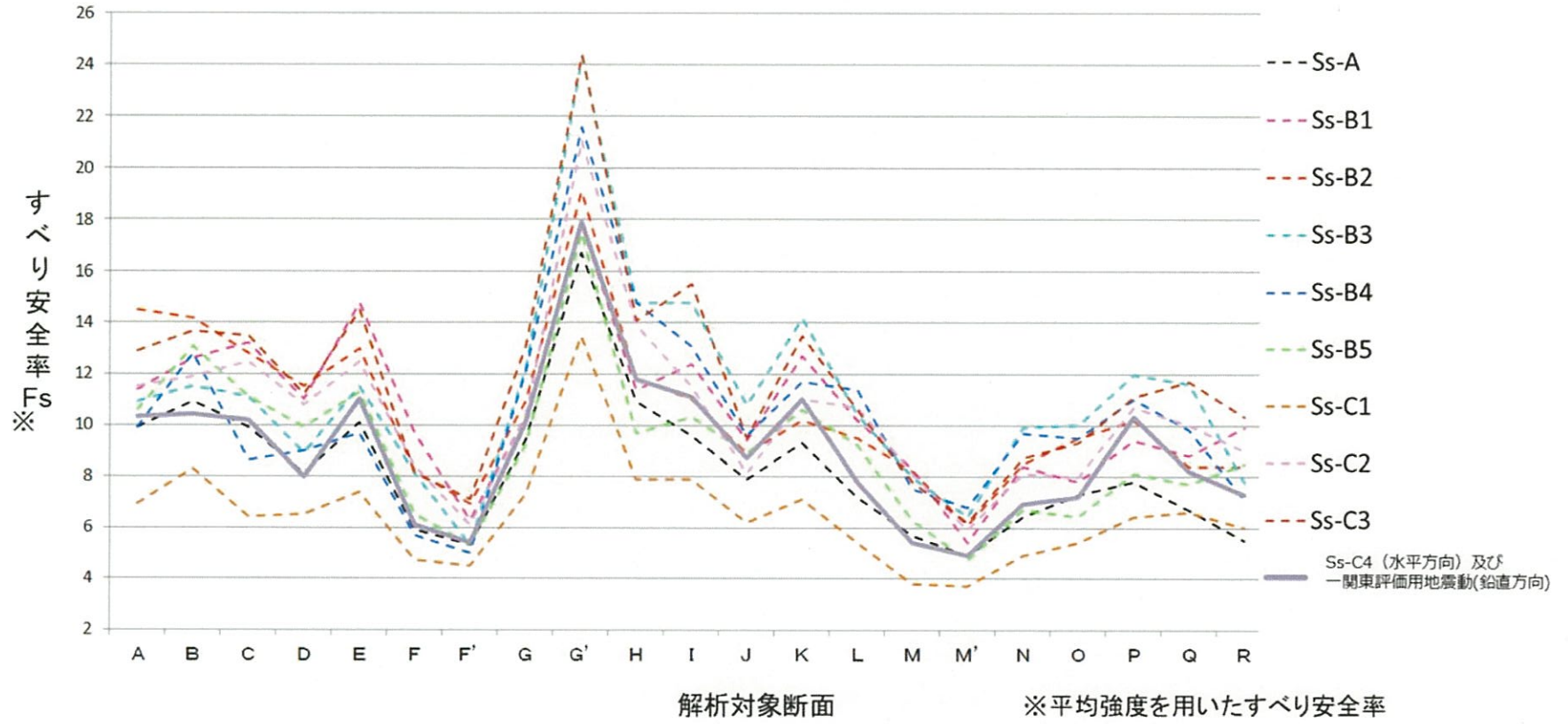


地震時解析

第 4.6-3 図 解析モデルの境界条件



第 4.6-4 図 入力地震動の考え方



第 4.6-5 図 各断面における入力地震動毎のすべり安全率の比較

5. 水 理

5.1 陸 水

敷地は、下北半島南部の太平洋側寄りの標高60m前後の台地に位置し、標高約55mに整地造成している。近傍河川としては、二又川があり、湖沼としては、尾駁沼^{おぶち}及び鷹架沼^{たかほこ}がある。ダムは、二又川、尾駁沼及び鷹架沼に設置されておらず、建設中及び計画中のものもない⁽⁴⁾。二又川は、流域面積 26.9 km^2 ⁽¹⁾、流路延長 10.5 km ⁽¹⁾の河川で、敷地北側の標高5 mから標高1 mの低地を敷地境界に沿って西から東に向かって流れ、敷地北東の尾駁沼の西岸に注いでいる。

尾駁沼は、面積 3.58 km^2 ⁽²⁾、平均水深 1.8 m ⁽¹⁾の太平洋につながっている汽水湖であり、鷹架沼は面積 5.65 km^2 ⁽²⁾、平均水深 2.4 m ⁽¹⁾の淡水湖で敷地南側に位置し、東端で太平洋に注いでいる。

敷地の地下水面は、主に第四紀中期更新世の高位段丘堆積層又は新第三紀鮮新世～第四紀前期更新世の砂子又層^{すなこまた}内にあり、多少の変動はあるものの、敷地の台地中央付近で地表下2 mから3 m程度にあり、周辺に向かって低くなっている。また、地下水は専ら降水によってかん養されている。

なお、地形及び表流水の状況から判断して、洪水により再処理施設が影響を受けることはない。

5.2 利水計画

再処理施設で使用する淡水の日平均所要量は、約 $1,000\text{m}^3/\text{d}$ と想定する。

淡水は、二又川の河口から約 1.6km 上流に淡水取水設備（最大取水量 $3,000\text{m}^3/\text{d}$ ）を設置して表流水を取水し、敷地内の貯水槽（容量約 $10,000\text{m}^3$ ）に導水する。

青森県の測水資料⁽³⁾による二又川の濁水量は、過去12年間（昭和50年～昭和61年）の最小が $0.22\text{m}^3/\text{s}$ （ $19,000\text{m}^3/\text{d}$ ）となっている。

測水点の上流において、むつ小川原石油備蓄株式会社が既に約 $5,000\text{m}^3/\text{d}$ の取水を行っているが、これに濃縮・埋設事業所（約 $1,500\text{m}^3/\text{d}$ ）及び再処理事業所（約 $3,000\text{m}^3/\text{d}$ ）の取水を合わせても濁水量の約半量であるので、再処理施設で使用する淡水の取水は十分可能である。

5.3 参考文献一覧

- (1) 青森県. むつ小川原開発第2次基本計画に係る環境影響評価報告書.
1977.
- (2) 国土交通省国土地理院. “平成25年全国都道府県市区町村別面積
調”. 国土地理院ホームページ, 2013-10-01.
<http://www.gsi.go.jp/KOKUJYOHO/MENCHO/201310/opening.htm>,
(参照 2015-03-23) .
- (3) 青森県上北土地改良事務所資料.
- (4) 青森県庁県土整備部河川砂防課. “青森県のダム”. 青森県庁ホー
ムページ, 2015-03-03.
http://www.pref.aomori.lg.jp/kotsu/build/2008-0611-1813-624_00.html, (参照 2015-03-23) .

6. 地 震

6.1 概 要

基準地震動 S_s は、以下の方針により策定する。

まず、敷地周辺における活断層の性質や、敷地周辺における過去及び最近の地震発生状況等を考慮して、その発生様式による地震の分類を行った上で、敷地に大きな影響を与えると予想される地震（以下「検討用地震」という。）を選定した後、敷地での地震動評価を実施し、「敷地ごとに震源を特定して策定する地震動」を評価する。

次に、敷地周辺の状況等を十分考慮した詳細な調査を実施しても、なお敷地近傍において発生する可能性のある内陸地殻内地震の全てを事前に評価しうるとは言い切れないとの観点から、「震源を特定せず策定する地震動」を評価する。

そして、「敷地ごとに震源を特定して策定する地震動」及び「震源を特定せず策定する地震動」の評価結果に基づき、基準地震動 S_s を策定する。

最後に、策定された基準地震動 S_s の応答スペクトルがどの程度の超過確率に相当するかを確認する。

6.2 敷地周辺の地震発生状況

施設が位置する東北地方から北海道地方では、海洋プレートである太平洋プレートが陸域に向かって近づき、日本海溝から陸のプレートの下方へ沈み込んでいることが知られている。

また、東北地方における活断層の多くは南北方向の走向を示す逆断層であり、この地域が東西方向に圧縮されていることを示唆している⁽¹⁾。

東北地方から北海道地方では上記に対応するように地震が発生しており、その発生様式等から「プレート間地震」、「海洋プレート内地震」、「内陸地殻内地震」及び「日本海東縁部の地震」の4種類に大別される。これらの地震のうち、敷地周辺ではプレート間地震の発生数が最も多く、また、マグニチュード（以下「M」という。）7～8程度の大地震も発生している。

6.2.1 被害地震

日本国内の地震被害に関する記録は古くからみられ、これらを収集、編集したものとして、「増訂 大日本地震史料⁽²⁾」, 「日本地震史料⁽³⁾」, 「新収 日本地震史料⁽⁴⁾」, 「日本の歴史地震史料⁽⁵⁾」等の地震史料がある。

また、地震史料及び明治以降の地震観測記録を基に、主な地震の震央位置、地震規模等を取りまとめた地震カタログとして、「理科年表⁽⁶⁾」, 「日本被害地震総覧⁽⁷⁾」, 「宇佐美カタログ (1979)⁽⁸⁾」, 「宇津カタログ (1982)⁽⁹⁾」, 「気象庁地震カタログ⁽¹⁰⁾」, 「地震活動総説⁽¹¹⁾」等がある。

「日本被害地震総覧⁽⁷⁾」又は「気象庁地震カタログ⁽¹⁰⁾」に記載されている被害地震のうち、敷地からの震央距離が200 km程度以内の被害地震の震央分布を第6.2-1 図(1)に示す。また、同図に示した被害地震の諸元を第6.2-1 表に示す。ここで、地震の規模及び震央位置は、1884年以前の地震については「日本被害地震総覧⁽⁷⁾」による値を、1885年以降1922年以前の地震については「宇津カタログ (1982)⁽⁹⁾」による値を、さらに1923年以降の地震については「気象庁地震カタログ⁽¹⁰⁾」による値をそれぞれ用いている。

プレート間地震に関しては、第6.2-1 図(1)によると、太平洋側の海域では、東経144° 付近において1952年十勝沖地震 (M8.2) 及び2003年十勝沖地震 (M8.0) のようにM8クラスの地震が発生している。また、青森県東方沖から日本海溝付近にかけての海域においてはM7クラスの地震が数多く発生しており、それらの中には、1968年十勝沖地震 (M7.9) や1994年三陸はるか沖地震 (M7.6) のように近年青森県に大きな被害をもたらした地震も存在する^{(12) (13)}。また、敷地から300 km以上離れているが、国内の既往最大のプレート間地震として、2011年東北地方太平洋沖地震 (モーメントマグニチュード (以下「M_w」という。) 9.0) が発生している。2011年東北地方太平洋沖地震の発生位置を第6.2-1 図(2)に示す。

海洋プレート内地震に関しては、第6.2-1図(1)によると、2008年岩手県沿岸北部の地震（M6.8）のように被害をもたらした地震が発生している。また、敷地から300 km以上離れているが、1933年昭和三陸地震（M8.1）、1993年釧路沖地震（M7.5）、1994年北海道東方沖地震（M8.2）及び2011年宮城県沖の地震（M7.2）が発生している。上記の敷地から300 km以上離れた位置で発生した4地震の発生位置を第6.2-1図(2)に示す。

内陸地殻内地震に関しては、陸域では、東経141°付近よりも西側において、1766年津軽の地震（M7 1/4）のようにM7クラスの地震が発生しており、また、敷地から200 km以上離れているが、2008年岩手・宮城内陸地震（M7.2）が発生している。一方、海域では、敷地周辺において、敷地の東側で発生した1978年青森県東岸の2地震（共にM5.8）以外に被害地震は発生していない。

日本海東縁部の地震に関しては、日本海側の海域で、1983年日本海中部地震（M7.7）及び1993年北海道南西沖地震（M7.8）のようにM7を上回る地震が発生している。

6.2.2 被害地震の調査

地震によって建物等に被害が発生するのは震度5弱（1996年以前は震度Ⅴ）程度以上であるとされている⁽¹⁴⁾。

「日本被害地震総覧」⁽⁷⁾に記載されている震度分布図及び気象庁で公表されている震度分布図によると、敷地の震度がⅤ程度であったと推定される地震は1763年1月陸奥八戸の地震、1856年日高・胆振・渡島・津軽・南部の地震、1968年十勝沖地震、1978年青森県東岸の2地震及び1994年三陸はるか沖地震の6地震がある。

また、第6.2-1表に示した被害地震について、震央距離と地震規模及び敷地で想定される震度との関係を第6.2-2図に示す。この図から、敷地での震度が不明な地震について敷地に与えた影響度をみると、震度分布図による上記6地震のほかに敷地で震度Ⅴと推定される地震は、1763年3月11日陸奥八戸の地震及び1858年八戸・三戸の地震の2地震がある。また、震度Ⅳの領域にあって震度Ⅴに準ずる地震としては、1677年陸中の地震及び1902年三戸地方の地震の2地震がある。

6.2.3 被害地震の評価

「6.2.2 被害地震の調査」により、敷地での震度がⅤ程度以上と推定される主な被害地震の地震発生様式を、1884年以前の地震については津波の被害記録等より、また、1885年以降の地震については、震源の位置、深さ等から以下のとおり分類する。

①プレート間地震

- ・1677年陸中の地震（M7.4，震央距離77 km）
- ・1763年1月陸奥八戸の地震（M7.4，震央距離77 km）
- ・1763年3月陸奥八戸の地震（M7 1/4，震央距離56 km）
- ・1856年日高・胆振・渡島・津軽・南部の地震
（M7.5，震央距離98 km）
- ・1858年八戸・三戸の地震（M7.3，震央距離61 km）
- ・1902年三戸地方の地震（M7.0，震央距離51 km）
- ・1968年十勝沖地震（M7.9，震央距離191 km）
- ・1994年三陸はるか沖地震（M7.6，震央距離213 km）

②内陸地殻内地震

- ・1978年青森県東岸の地震（2地震）
（共にM5.8，震央距離11 km，10 km）

被害地震の調査により、青森県東方沖から日本海溝付近にかけての海域で発生し、敷地周辺で最も規模が大きく、大きな被害をもたらしたのは、1968年十勝沖地震（M7.9）である。

なお、地震調査委員会（2012）⁽¹⁷⁾では、1677年陸中の地震（M7.4）、1763年1月陸奥八戸の地震（M7.4）、1856年日高・胆振・渡島・津軽・南部の地震（M7.5）及び1968年十勝沖地震（M7.9）を三陸沖北部で発生したプレート間大地震であったとしている。

6.2.4 地震カタログ間の比較

「6.2.1 被害地震」において「日本被害地震総覧⁽⁷⁾」, 「宇津カタログ⁽⁹⁾ (1982)」及び「気象庁地震カタログ⁽¹⁰⁾」から抽出した被害地震と「理科年表⁽⁶⁾」及び「宇佐美カタログ (1979)⁽⁸⁾」から抽出した被害地震のうち, 震央距離と地震規模及び敷地で想定される震度との関係から敷地で震度Ⅴ程度以上となる被害地震で, 地震規模及び震央位置の記載に差異が認められる地震を第6.2-2表に, その震央分布を第6.2-3図に, また, 地震規模及び震央位置の差異が敷地に与える影響度の差を第6.2-4図に示す。

第6.2-4図によれば, 1677年陸中の地震については, 「理科年表⁽⁶⁾」による諸元を用いると, 他の資料の諸元を用いるよりも敷地に与える影響を大きく評価することになる。1763年1月陸奥八戸の地震及び1763年3月陸奥八戸の2地震については, 「日本被害地震総覧⁽⁷⁾」及び「理科年表⁽⁶⁾」による諸元を用いると, 他の資料の諸元を用いるよりも敷地に与える影響を大きく評価することになる。1931年青森県南東沖の地震及び1945年八戸北東沖の2地震については, 「気象庁地震カタログ⁽¹⁰⁾」及び「理科年表⁽⁶⁾」の諸元を用いるよりも「宇佐美カタログ (1979)⁽⁸⁾」の諸元を用いる方が敷地に与える影響を大きく評価することになる。

6.2.5 敷地周辺で発生したM5以上の中地震

1923年から2015年7月までの間に敷地周辺で発生したM5.0以上の中地震の震央分布を第6.2-5図に示す。

また、敷地付近を横切る幅500kmの範囲に分布する震源の鉛直分布を第6.2-6図に、太平洋プレートの沈み込みの様子を深発地震面の等深線で表したものを第6.2-7図に示す。

これらの図によると、敷地を中心とする広範な地震活動の特徴は以下のとおりである。

- ① 太平洋側の東経142°より東側の海域で地震が数多く発生している。
- ② 太平洋側の海域で発生する地震は、陸域に近づくにつれてその震源が深くなっている。
- ③ 日本海側では、1983年日本海中部地震及び1993年北海道南西沖地震の本震及び余震活動がみられる。
- ④ 敷地から100km以内では、1945年八戸北東沖の地震（M7.1）以外にM7を超える地震は発生していない。

6.2.6 敷地周辺で発生したM5以下の小・微小地震

2012年から2015年7月までの間に敷地周辺で発生したM5.0以下の小・微小地震のうち、震源深さが0～30 km、30～60 km、60～100 km及び100 km以上の地震の震央分布を第6.2-8図に、震源の鉛直分布を第6.2-9図に示す。これらの図によると、敷地周辺における地震活動の特徴は以下のとおりである。

- ① 深さが0～30 kmの範囲では、多くの地震が海域のプレート境界付近及び陸域の地殻内で発生している。
- ② 深さが30～60 kmの範囲では、多くの地震が海域のプレート境界付近で発生しており、陸域における地震はほとんどみられない。
- ③ 深さが60 km以上の範囲では、地震が太平洋プレートの沈み込みに沿って発生しており、震源の鉛直分布には第6.2-7図における二重深発地震面がみられる。これらの地震は、陸域に近づくに従ってその震源が深くなり、敷地周辺では震源深さが80 km以上となっている。

6.3 活断層の分布状況

敷地から半径100 k m程度の範囲について、「4. 地盤」及び「[新編] 日本の活断層 分布図と資料⁽¹⁸⁾」に記載されている活断層の分布を第6.3-1図に示す。また、同図に示した敷地周辺の主な活断層の諸元を第6.3-1表に示す。

第6.3-1図によると、敷地から50 k m以内には、出戸西方断層、横浜断層、上原子断層、七戸西方断層、F-c断層、F-d断層等が存在する。また、敷地から50~100 k m程度の範囲には、F-a断層、F-b断層、青森湾西岸断層帯、津軽山地西縁断層帯、折爪断層等が存在する。

6.4 地震の分類

「6.2 敷地周辺の地震発生状況」によると、敷地周辺で発生する地震は、その発生様式等からプレート間地震、海洋プレート内地震、内陸地殻内地震及び日本海東縁部の地震の4種類に大別される。

このことを踏まえ、敷地周辺において過去に発生した主な地震を以下のとおりに分類する。

6.4.1 プレート間地震

岩手県沖から十勝沖にかけての海域においては、M7～8程度のプレート間地震が繰り返し発生している⁽¹⁷⁾。プレート間地震と考えられる主な被害地震は、「6.2.3 被害地震の評価」によると、1968年十勝沖地震（M7.9）等がある。なお、敷地から震央距離が200 km程度以遠の被害地震としては、1952年十勝沖地震（M8.2）、2003年十勝沖地震（M8.0）及び2011年東北地方太平洋沖地震（M_w9.0）がある。

近年の地震において、地震規模が最大のものは2011年東北地方太平洋沖地震のM_w9.0であるが、敷地周辺に震度5弱（1996年以前は震度V）以上の揺れをもたらした地震は、1968年十勝沖地震である。

6.4.2 海洋プレート内地震

東北地方から北海道にかけての海洋プレート内地震は、海溝軸付近から陸側で発生する沈み込んだ海洋プレート内の地震と、海溝軸付近ないしそのやや沖合で発生する沈み込む海洋プレート内の地震の2種類に分けられる。沈み込んだ海洋プレート内の地震の震源分布は二重深発地震面を形成しており、東北地方では二重深発地震面上面の地震活動が優勢とされ、北海道では二重深発地震面下面の地震活動が優勢とされている。⁽¹⁹⁾⁽²⁰⁾⁽²¹⁾

「6.2.3 被害地震の評価」によると、過去に敷地に影響を及ぼした海洋プレート内地震の発生は認められないが、東北地方から北海道にかけて発生した主な地震として、1933年昭和三陸地震 (M8.1) , 1993年釧路沖地震 (M7.5) , 1994年北海道東方沖地震 (M8.2) , 2003年宮城県沖の地震 (M7.1) , 2008年岩手県沿岸北部の地震 (M6.8) , 2011年宮城県沖の地震 (M7.2) 及び2011年三陸沖の地震 (M7.3) がある。このうち、1933年昭和三陸地震は沈み込む海洋プレート内の地震であり、その他は沈み込んだ海洋プレート内の地震である。⁽²²⁾ 1993年釧路沖地震及び2008年岩手県沿岸北部の地震は二重深発地震面下面の地震、2003年宮城県沖の地震及び2011年宮城県沖の地震は二重深発地震面上面の地震、1994年北海道東方沖地震及び2011年三陸沖の地震は沈み込んだ海洋プレート内のやや浅い地震である。

なお、世界で過去に発生した $M_w7.0$ 以上の海洋プレート内地震としては、1993年グアムの地震 ($M_w7.7$) , 2000年スマトラの地震 ($M_w7.8$) 等があげられる。これらのような規模の大きな海洋プレート内地震や1994年北海道東方沖地震 (M8.2) は、海洋プレートに引張応力が作用し、島弧に応力勾配が見られる地域若しくは島弧に圧縮応力が作用する地域で発生している。⁽²⁸⁾ 一方、敷地が属する東北地方は、海洋プレート内の応力状

態が中立で，島弧に圧縮応力が作用している地域であり，大きな海洋プレート内地震が発生している地域とは応力状態が異なる地域となっている。

6.4.3 内陸地殻内地震

敷地周辺の活断層と被害地震との位置関係を第 6.4-1 図に、敷地周辺の活断層と小・微小地震との位置関係を第 6.4-2 図に示す。

東北地方においては、M7クラスの内陸地殻内地震が、奥羽山脈付近から日本海にかけて発生している。

敷地周辺で発生した内陸地殻内地震のうち最も規模の大きな地震は1766年津軽の地震(M7 1/4)であり、これは津軽山地西縁断層帯北部と関連付けられている⁽⁷⁵⁾。本地震による敷地周辺における揺れは、第 6.4-3 図に示すとおり震度V程度とされている。一方、敷地近傍では、敷地での震度がV以上と推定される被害地震である1978年青森県東岸の地震が発生しているが、本地震と活断層との関連性は認められない。

また、「6.3 活断層の分布状況」に示すとおり、敷地から50km以内には出戸西方断層、横浜断層、上原子断層、七戸西方断層、F-c断層、F-d断層等の活断層が存在するが、これらの活断層と被害地震との対応は認められない。さらに、敷地近傍には小・微小地震の集中も認められない。

6.4.4 日本海東縁部の地震

日本海東縁部の比較的浅いところで発生した1983年日本海中部地震（M7.7）及び1993年北海道南西沖地震（M7.8）により、敷地周辺において震度Ⅴ程度以上の揺れが認められていないことから、これら両地震は敷地に大きな影響を及ぼすような地震ではない。

6.5 敷地地盤の振動特性

6.5.1 解放基盤表面の設定

「4.4 敷地内の地質・地質構造」に記載のとおり、敷地内の地質は、新第三系中新統の鷹架層、新第三系鮮新統の砂子又層下部層、第四系下部～中部更新統の六ヶ所層、第四系中部更新統の高位段丘堆積層等が分布する。「4. 地盤」の第 4.4-12 図に示すように、概ね標高 30m 以深に鷹架層が拡がっており、耐震重要施設等及び常設重大事故等対処施設は鷹架層に支持させることとしている。鷹架層中には、敷地内の地質構造を大きく規制する f-1 断層及び f-2 断層が認められ、f-1 断層の東側の領域では、主に鷹架層下部層及び同層中部層が分布している。f-1 断層と f-2 断層とに挟まれた領域では、主に鷹架層下部層及び同層中部層が分布している。f-2 断層の西側の領域では、主に鷹架層中部層及び同層上部層が分布している。

敷地内で実施した P S 検層の結果を第 6.5-1 図に示す。敷地の地盤は、「4. 地盤」の第 4.4-12 図に示すとおり f-1 断層及び f-2 断層を境に 3 つの領域に区分されるが、第 6.5-1 図に示すように、いずれの地盤においても標高 -70m の位置において S 波速度が概ね 0.7 km/s 以上となる。

また、第 6.5-2 図に示す屈折法地震探査結果及び「4. 地盤」の第 4.3-7 図に示す反射法地震探査結果から、敷地及び敷地周辺の地下の速度構造は、大局的に見て水平成層かつ均質であると考えられる。

上記の各種地質調査結果より、敷地の地盤は速度構造的に特異性を有する地盤ではないと考えられる。解放基盤表面については、敷地地下で著しい高低差がなく、ほぼ水平で相当な拡がりをも有し、著しい風化を受けていない岩盤である鷹架層において、S 波速度が概ね 0.7 km/s 以上とな

る標高 -70m の位置に設定した。

なお、解放基盤表面以浅については、地盤の違いに応じて $f - 1$ 断層の東側の領域を「東側地盤」、 $f - 2$ 断層の西側の領域を「西側地盤」、 $f - 1$ 断層及び $f - 2$ 断層に挟まれた領域を「中央地盤」として、取り扱うこととしている。

6.5.2 地震観測記録

敷地地盤における地震観測は、敷地内の地盤の違いに応じて第6.5-3図に示す3ヶ所で実施している。

地震観測記録の評価に当たっては、地震観測記録から解放基盤表面以浅の地盤の影響を取り除くために、はぎとり地盤モデルを用いている。はぎとり地盤モデルの作成に当たっては、敷地内の各地震観測点における鉛直アレー観測による地震観測記録から求めた深度方向の伝達関数を目的関数として、層厚、S波速度及び減衰定数を同定している。はぎとり解析に用いた「中央地盤」、「東側地盤」及び「西側地盤」のはぎとり地盤モデルを第6.5-1表に示す。作成したはぎとり地盤モデルによる伝達関数と、地震観測記録に基づく伝達関数の比較を第6.5-4図に示す。両者はよく整合する結果となっており、はぎとり地盤モデルは地盤の振動特性を表現できるものとなっている。

各地盤のはぎとり地盤モデルを用いて、2011年東北地方太平洋沖地震の解放基盤表面におけるはぎとり波を評価した結果を第6.5-5図に示す。その地震動レベルは各地盤でほぼ等しいものとなっている。

また、敷地内において、地下構造の推定のために微動アレー観測を行っており、第6.5-6図に示すとおり、各地震観測点位置を中心にアレー観測点を設定している。上記3ヶ所の地震観測点位置における微動アレー観測結果から推定した各地震観測点直下のS波速度構造及び地震基盤～解放基盤表面間の増幅比の比較を第6.5-7図に示す。地震基盤～解放基盤表面間における増幅比は地盤間で差はない。

以上の検討結果より、地震観測記録の検討には代表地盤観測点の観測記録を用いることとした。

代表地盤観測点で得られた地震観測記録の中から、第6.5-2表に示す

地震について応答スペクトル解析を行った。これらの地震の震央分布を第6.5-8図に示す。これらの地震について、その発生様式ごとに分類を行い、解放基盤表面（標高-70m）で得られた観測記録の応答スペクトルを第6.5-9図に示す。また、発生様式ごとの代表的な地震について、それぞれ地盤の各深さで得られた観測記録の応答スペクトルを第6.5-10図に示す。これらの図によると、地震によらず解放基盤表面相当レベルまでは、地盤中におけるピーク周期の遷移や、特定周期での特異な増幅がないことが確認できる。

次に、震央距離が300 km以内の地震の解放基盤表面（標高-70m）で得られた観測記録を対象に、地震波の到来方向別の増幅特性に関して、敷地から東西南北の4方位に分類して検討を行った。対象とした地震を第6.5-3表及び第6.5-11図に示す。これらの地震観測記録について検討を行った結果、第6.5-12図に示すとおり、敷地に対する地震波の到来方向の違いによって増幅特性が異なるような傾向はみられなかった。

6.5.3 深部地盤モデル

断層モデルを用いた手法による地震動評価のうち、統計的グリーン関数法⁽²³⁾による地震動評価⁽²⁴⁾に用いる深部地盤モデルは、敷地における代表地盤観測点の地震観測記録に基づき作成した。

深部地盤モデルの作成では、代表地盤観測点の鉛直アレー地震観測による地震観測記録から得られるP波部水平／上下スペクトル振幅比、レシーバー関数及びコーダ部水平／上下スペクトル振幅比を目的関数として、深部地盤モデルの層厚、S波速度、P波速度及びQ値⁽²⁵⁾を同定している。これらの物性のうち、Q値については、小林ほか⁽²⁶⁾に基づき、振動数に依存しない内部減衰と振動数に依存する散乱減衰を考慮した。深部地盤モデルに採用する層厚、S波速度及びP波速度は同定によって得られた値とし、Q値は同定によって得られた値を下回らないように全周期帯で一定の値とした。なお、地震基盤以深のQ値構造については、佐藤ほか⁽²⁷⁾による東北地方の海溝型地震の伝播経路のQ値特性に基づき、 $Q = 114 f^{0.92}$ と設定した。作成した深部地盤モデルを第6.5-4表に示す。

深部地盤モデルについては、敷地の地震観測記録を用いたスペクトルインバージョン法による検討及び経験的サイト増幅特性の検討に加えて、敷地・敷地近傍の地質調査結果等を用いて作成した3次元地下構造モデルによる検討により妥当性を検証した。

スペクトルインバージョン法による検討では、岩田・入倉⁽⁷⁷⁾に基づき、敷地の観測記録及びK-N-E-T等の観測記録を用いてサイト増幅特性を抽出し、深部地盤モデルによる敷地の地震基盤から解放基盤表面の間の増幅特性との比較を行った結果、同等のものとなっている（第6.5-13図参照）。また、経験的サイト増幅特性の検討では、鶴来ほか⁽⁷⁰⁾の手法を参考に、経験的サイト増幅特性を算定し、深部地盤モデルに

よる増幅特性と比較を行った結果、概ね同等若しくは深部地盤モデルによる増幅率が若干大きくなっている（第6.5-14図参照）。

一方、3次元地下構造モデルによる検討では、作成した3次元地下構造モデルを用いて波形入力による増幅シミュレーションを行い、深部地盤モデルによる増幅特性との比較を行った。3次元地下構造モデルは、敷地及び敷地近傍で実施した反射法地震探査結果、屈折法地震探査結果、ボーリングデータ等に基づく初期モデルに対して、微動アレー観測結果、屈折法地震探査、ブーゲー異常、P S 検層の観測データ等を用いたジョイントインバージョン解析を行うことで作成した。調査結果として得られた微動アレー観測に基づく位相速度、屈折法地震探査の走時、ブーゲー異常及びP S 検層による観測走時は、3次元地下構造モデルによる再現結果と整合するものとなっている。3次元地下構造モデルと深部地盤モデルのそれぞれに対してパルス波を入力し、得られた解放基盤表面位置における最大振幅値の比を分布図で表した結果、深部地盤モデルを明確に上回るような増幅特性は、敷地内では見られない（第6.5-15図参照）。

以上の検討より、深部地盤モデルの妥当性を確認した。

6.6 基準地震動 S_s

基準地震動 S_s は、「敷地ごとに震源を特定して策定する地震動」及び「震源を特定せず策定する地震動」について、解放基盤表面における水平方向及び鉛直方向の地震動としてそれぞれ策定する。

6.6.1 敷地ごとに震源を特定して策定する地震動

6.6.1.1 検討用地震の選定

「6.4 地震の分類」に基づき、地震発生様式等により分類した地震ごとに敷地に顕著な影響を及ぼすと予想される検討用地震を選定する。

(1) プレート間地震

青森県東方の沖合では、プレート間地震が過去に繰り返し発生しており、1968年十勝沖地震（M7.9）は敷地に最も影響を及ぼした地震である。地震調査委員会（2004）⁽²⁷⁾は、既往の研究成果を基に1968年十勝沖地震の震源域に発生する地震を「三陸沖北部の地震（M_w8.3）」として震源モデルを設定している。したがって、地震調査委員会（2004）⁽²⁷⁾による「三陸沖北部の地震（M_w8.3）」（以下「想定三陸沖北部の地震」という。）をプレート間地震の検討用地震の選定に当たって考慮する。

2011年東北地方太平洋沖地震（M_w9.0）は、三陸沖南部海溝寄り、三陸沖北部から房総沖の海溝寄りの一部、三陸沖中部、宮城県沖、福島県沖及び茨城県沖の領域を震源域とする地震であり、敷地に対する影響は小さかったものの、同地震の知見を踏まえ同規模の地震が敷地前面で発生するとして、「2011年東北地方太平洋沖地震を踏まえた地震」をプレート間地震の検討用地震の選定に当たって考慮する。震源領域としては、敷地前面の三陸沖北部の領域を含むように、「三陸沖北部～宮城県沖の連動」及び「三陸沖北部～根室沖の連動」のそれぞれの場合について考慮する。

また、地震調査委員会（2017）⁽⁸⁷⁾は、17世紀に北海道東部に大きな津波をもたらした地震が発生したとされることから、千島海溝沿いで発生する、北海道東部に巨大な津波をもたらす地震を「超巨大地震（17

世紀型)」とし、地震規模はM8.8程度以上としている。したがって、十勝沖から択捉島沖を震源領域としたM8.8程度以上の「超巨大地震（17世紀型）」を検討用地震の選定に当たって考慮する。

「想定三陸沖北部の地震」と「2011年東北地方太平洋沖地震を踏まえた地震」の震源パラメータの比較を第6.6-1表に、想定する断層面の位置を第6.6-1図に示す。「2011年東北地方太平洋沖地震を踏まえた地震」は、設定した断層モデルにおいて敷地前面の三陸沖北部の領域を含めてモデル化しており、「想定三陸沖北部の地震」より地震規模が大きく、直近の強震動生成域（以下「SMGA」という。）は「想定三陸沖北部の地震」の直近のSMGAの短周期レベルを上回っており、さらに、「想定三陸沖北部の地震」の断層面全体の短周期レベルの値とほぼ等しい値となっている。さらに、直近のSMGAと敷地との距離についても「2011年東北地方太平洋沖地震を踏まえた地震」の方が近い。したがって、敷地に対する影響は、「2011年東北地方太平洋沖地震を踏まえた地震」の方が「想定三陸沖北部の地震」を上回ると考えられる。

一方、「2011年東北地方太平洋沖地震を踏まえた地震（三陸沖北部～根室沖の連動）」の断層面図と「超巨大地震（17世紀型）」の評価対象領域を第6.6-2図に示す。「超巨大地震（17世紀型）」は十勝沖から択捉島沖を震源領域としたM8.8程度以上の超巨大地震とされるが、「2011年東北地方太平洋沖地震を踏まえた地震」がM_w9.0の規模を考慮した上で、敷地に最も近い三陸沖北部の領域を震源領域に設定していること、そして、「超巨大地震（17世紀型）」の震源領域は千島海溝の北東側に延びて敷地から遠くなることから、「2011年東北地方太平洋沖地震を踏まえた地震」の方が敷地への影響が大きいと考えられ

る。

以上のことから、敷地への影響については、「2011年東北地方太平洋沖地震を踏まえた地震」が最も大きいと考えられ、プレート間地震の検討用地震として「2011年東北地方太平洋沖地震を踏まえた地震」を選定する。検討用地震として選定した「2011年東北地方太平洋沖地震を踏まえた地震」の断層面の位置を第6.6-3図に示す。

なお、敷地前面のプレート間地震については地震調査委員会（20⁽⁸⁸⁾19）の知見があるが、M_w9.0の規模を考慮した上で敷地に最も近い三陸沖北部の領域に震源領域を設定している「2011年東北地方太平洋沖地震を踏まえた地震」の方が、敷地への影響が大きいと評価した。

(2) 海洋プレート内地震

敷地周辺で考慮する海洋プレート内地震については、地震の発生機構やテクトニクス的背景の類似性が認められる地域で過去に発生した地震を考慮した上で、敷地周辺の適切な位置に震源を考慮する。

三陸沖北部の領域に隣接する北海道の千島海溝沿いにおいては、二重深発地震面下面の地震の活動が優勢であるのに対し、敷地を含む東北地方の日本海溝沿いは、二重深発地震面上面の地震の活動が優勢であるという特徴を有する。⁽²⁰⁾⁽²¹⁾北海道の千島海溝沿いにおいては、過去に二重深発地震面下面の地震として、1994年北海道東方沖地震（M8.2）が発生しているのに対し、過去に東北地方で発生した二重深発地震面における大規模な地震は、2003年宮城県沖の地震（M7.1）及び2011年宮城県沖の地震（M7.2）といった二重深発地震面上面の地震であり、M7クラスに達する二重深発地震面下面の被害地震は知られていない。

北海道東部について、K i t a e t a l . ⁽²¹⁾（2010）はD o w n d i p E x t e n s i o n型（DE型）の地震発生層が厚いとして

おり，Seno and Yoshida⁽²⁸⁾ (2004) は浅く大きな海洋プレート内地震が発生する傾向があるとしている。一方，敷地を含む東北地方については，Kita et al.⁽²¹⁾ (2010) はDown dip Compression型 (DC型) の地震発生層が厚いとしており，Seno and Yoshida⁽²⁸⁾ (2004) は浅く大きな海洋プレート内地震が知られていない地域としている。以上のことから，北海道東部と東北地方は異なるテクトニクスとなっていると考えられるため，千島海溝沿いで発生した1994年北海道東方沖地震 (M8.2) は検討用地震の選定に当たって考慮しない。

以上より，過去に東北地方で発生した海洋プレート内地震を，タイプ別に二重深発地震面上面の地震，二重深発地震面下面の地震及び沖合の浅い地震に分類した上で，敷地に対して影響の大きい地震の抽出を行い，検討用地震を選定する。影響の大きい地震の抽出に当たり，地震規模には，各分類の領域で発生した最大の地震規模を考慮することとし，その設定位置は，地震のタイプごとの発生位置に応じて敷地との距離が最小となる位置とする。

二重深発地震面上面の地震については，2011年宮城県沖の地震 (M7.2) ，二重深発地震面下面の地震については，2008年岩手県沿岸北部の地震 (M6.8) ，沖合の浅い地震については，2011年三陸沖の地震 (M7.3) をそれぞれ考慮する。

それぞれの地震について，解放基盤表面における地震動の応答スペクトルを予測し，敷地の地盤特性等を反映することが可能なNoda et al.⁽²⁹⁾ (2002) の方法に基づき地震動を評価し，敷地への影響を相対的に比較した結果を第6.6-4図に示す。第6.6-4図より，敷地との距離が最も近い二重深発地震面上面の地震が，敷地に対する影響

が最も大きい地震と考えられることから、東北地方で最大規模の2011年宮城県沖の地震（M7.2）と同様の地震が敷地前面で発生することを考慮した二重深発地震面上面の地震を「想定海洋プレート内地震」として検討用地震に選定する。検討用地震として選定した「想定海洋プレート内地震」の断層面の位置を第6.6-5図に示す。

なお、敷地前面の海洋プレート内地震については地震調査委員会⁽⁸⁸⁾（2019）の知見があるが、同等の規模を考慮した上で敷地との距離が最小となる位置に震源を設定している「想定海洋プレート内地震」の方が、敷地への影響が大きいと評価した。

(3) 内陸地殻内地震

a. 地震発生層の設定

内陸地殻内地震の地震動評価に用いる地震発生層の上端深さ及び下端深さについては、文献等に基づき以下のとおり設定した。

原子力安全基盤機構⁽³¹⁾（2004）によれば、敷地を含む東北東部の領域では、第6.6-2表及び第6.6-6図に示すとおり、地震発生層上端に相当するD10%は6.2 km、地震発生層下端に相当するD90%は13.8 kmとなっている。

また、敷地周辺の内陸地殻内で発生した小・微小地震に対する上記と同様の検討によると、第6.6-3表及び第6.6-7図に示すとおりD10%は8.2 km、D90%は15.3 kmとなっている。

長谷川ほか⁽³²⁾（2004）によれば、東北日本の内陸地殻内地震が発生する深さについては、およそ15 km程度以浅であり、それより深部の地殻は温度が高くなり、急激な断層運動である地震としては変形せず、流動変形が卓越するとされている。

敷地周辺における地震波トモグラフィ解析結果を第6.6-8図に示す。

地震波トモグラフィ解析により再決定された震源の深さの下限は概ね深さ15 km程度となっているほか、それよりも深部ではP波速度が小さくなる傾向となっており、長谷川ほか⁽³²⁾と整合している。

また、Tanaka and Ishikawa⁽³³⁾によれば、微小地震のD90%とキュリー一点深度の間には相関があるとされている。大久保⁽³⁴⁾及びTanaka and Ishikawa⁽³³⁾によれば、敷地周辺のキュリー一点深度は約15 kmとなっており、敷地周辺の微小地震の発生状況から推定されるD90%の値及び地震波トモグラフィ解析により再決定された震源の深さの下限と整合している。

以上を踏まえ、内陸地殻内地震の地震動評価に用いる地震発生層の上端深さを3 km、下端深さを15 kmと設定した。

b. 検討用地震として考慮する活断層

敷地周辺の活断層による地震が敷地に及ぼす影響を検討するために、第6.3-1表に示す主な敷地周辺の活断層のうち、断層長さの短い出戸西方断層及びF-d断層を除く活断層から想定される地震のマグニチュード⁽³⁰⁾、震央距離及び敷地で想定される震度の関係について第6.6-9図に示す。この図より、敷地に影響を与えるおそれがあると考えられる地震として、「折爪断層による地震」、「横浜断層による地震」及び「上原子断層～七戸西方断層による地震」を選定する。

一方、断層長さの短い出戸西方断層及びF-d断層については、震源断層が地震発生層の上端から下端まで拵がっているとし、同じ地震規模を考慮した場合、敷地により近い「出戸西方断層による地震」の方が敷地に与える影響が大きい地震となることから、敷地に影響を与えるおそれがあると考えられる地震として「出戸西方断層による地震」を選定する。

敷地に影響を与えるおそれがあると考えられる地震として選定した上記4地震の断層面の位置を第6.6-10図に示す。上記4地震のうち、応答スペクトルに基づく方法により、敷地への影響が相対的に大きい地震を検討用地震として選定する。応答スペクトルに基づく方法は、海洋プレート内地震と同様にNoda et al. (2002)⁽²⁹⁾の方法を用いる。Noda et al. (2002)⁽²⁹⁾の方法に基づき地震動を評価した結果を第6.6-11図に示す。この図より、検討用地震として「出戸西方断層による地震」を選定する。

(4) 日本海東縁部の地震

日本海東縁部の地震については、「6.4.4 日本海東縁部の地震」のとおり、敷地に大きな影響を及ぼすような地震はないことから、検討用地震として選定しない。

6.6.1.2 検討用地震の地震動評価

「6.6.1.1 検討用地震の選定」において選定した「2011年東北地方太平洋沖地震を踏まえた地震」、「想定海洋プレート内地震」及び「出戸西方断層による地震」について、地震動評価を実施する。

検討用地震の地震動評価においては、地震の発生様式に応じた特性を考慮するとともに、「6.5 敷地地盤の振動特性」に示した、敷地における地震観測記録等から得られる敷地地盤の振動特性を考慮する。検討用地震による地震動は、「応答スペクトルに基づく方法」及び「断層モデルを用いた手法」により評価する。

「応答スペクトルに基づく方法」では、検討用地震の地震規模、震源距離等から、適用条件及び適用範囲について検討した上で、適切な評価式を用いる。

「断層モデルを用いた手法」では、敷地において要素地震として適切

な地震の観測記録が得られている場合は経験的グリーン関数法^{(35) (36) (37)}を用い、得られていない場合は統計的グリーン関数法^{(23) (24) (37)}を用いる。

(1) プレート間地震

a. 基本モデルの設定

プレート間地震の検討用地震として選定した「2011年東北地方太平洋沖地震を踏まえた地震」については、地震調査委員会⁽²⁷⁾及び諸井ほか⁽³⁸⁾に基づき震源モデルを設定した。

断層面の設定に当たっては、敷地前面の三陸沖北部の領域を含む領域の連動を考慮し、「三陸沖北部～宮城県沖の連動」及び「三陸沖北部～根室沖の連動」について、それぞれモデルを設定した。

各領域におけるSMGAの位置については、モデル化する領域ごとに諸井ほか⁽³⁸⁾と同様に、過去に発生した地震^{(27) (38) (39)}を参照して地域性を考慮した位置に設定した。各領域のSMGAは、三陸沖北部の領域では1968年十勝沖地震や1994年三陸はるか沖地震の発生位置に、三陸沖中部以南の領域では地震調査委員会⁽¹⁷⁾のセグメントごとに1つずつ、十勝沖の領域では2003年十勝沖地震の発生位置に、根室沖の領域では1973年根室半島沖地震の発生位置よりも領域内において敷地に近い位置にそれぞれ配置した。三陸沖中部以南の領域での設定に当たっては、既往の地震観測記録の再現に関する入倉⁽⁷⁸⁾の知見を参照した。

SMGAの面積は、諸井ほか⁽³⁸⁾に基づき断層面積に対する面積比（以下「SMGA面積比」という。）が12.5%となるよう設定した。

SMGAの短周期レベルは、諸井ほか⁽³⁸⁾に基づきSMGA面積比12.5%相当の地震モーメントと短周期レベルの関係を基本として

いる。諸井ほか⁽³⁸⁾ (2013)に基づくSMGA面積比12.5%相当の地震モーメントと短周期レベルの関係は、2011年東北地方太平洋沖地震の短周期レベルと整合することが確認されている佐藤⁽⁸⁶⁾ (2010)のスケーリング則を上回っている(第6.6-12図参照)。ここで、敷地に近く影響が大きいSMGA1及びSMGA2の短周期レベルについては、1994年三陸はるか沖地震(M7.6)及び1978年宮城県沖地震(M7.4)が諸井ほか⁽³⁸⁾ (2013)に基づくSMGA面積比12.5%相当の地震モーメントと短周期レベルの関係をそれぞれ1.3倍及び1.4倍上回っていることから、割増率として1.4倍を考慮した。一方、SMGA3～7については、敷地から遠く影響が小さいため、諸井ほか⁽³⁸⁾ (2013)に基づくSMGA面積比12.5%相当の短周期レベルに設定した。

なお、破壊開始点については、複数の位置を設定した。

基本モデルの検討ケース一覧を第6.6-4表に示す。基本モデルの断層モデル及び断層パラメータを第6.6-13図及び第6.6-5表に示す。また、断層モデルのパラメータの設定フローを第6.6-14図に示す。

ここで、2011年東北地方太平洋沖地震については、各種の震源モデルが提案されていることから、これらと比較することで「2011年東北地方太平洋沖地震を踏まえた地震」の基本モデルで設定したSMGA面積、短周期レベル及びSMGA面積比の妥当性について確認する。

「2011年東北地方太平洋沖地震を踏まえた地震」の基本モデルと、田島ほか⁽⁸⁰⁾ (2013)が取りまとめた各種震源モデルを比較した結果、基本モデルのSMGA面積、短周期レベルは各種震源モデルを概ね上回る値となっており、過小な設定とはなっていない(第6.6-6表(a)参照)。また、諸井ほか⁽³⁸⁾ (2013)に示されているSMGA面積比を変えた場合のSMGAの短周期レベルと、SMGA面積比を12.5%としてい

る「2011年東北地方太平洋沖地震を踏まえた地震」の基本モデルのSMGAの短周期レベルを比較した結果、敷地に近く影響が大きいSMGA1及びSMGA2の短周期レベルは、諸井ほか⁽³⁸⁾の検討におけるSMGAの短周期レベルの最大値を上回っていることから、基本モデルのSMGA面積比は過小な設定とはなっていない（第6.6-6表（b）参照）。

b. 不確かさを考慮するパラメータの選定

「2011年東北地方太平洋沖地震を踏まえた地震」の不確かさとしては、基本モデルで既往最大の地震規模を考慮していること及び1978年宮城県沖地震を踏まえ短周期レベルを嵩上げしていることから、SMGAの位置の不確かさのみ考慮することとし、敷地に最も近いSMGA1の位置を敷地直近（断層面西端）に移動させたケースを考慮する。

なお、破壊開始点については、SMGAの位置を移動させたケースについても、複数の位置を設定した。

不確かさケースの検討ケース一覧を第6.6-4表に示す。不確かさケースの断層モデル及び断層パラメータは、第6.6-15図及び第6.6-5表に示すように設定した。また、断層モデルのパラメータの設定フローを第6.6-14図に示す。

c. 応答スペクトルに基づく地震動評価

「2011年東北地方太平洋沖地震を踏まえた地震」は、既往の距離減衰式に対して外挿になること、また、敷地に対して断層面が大きく広がっていることから、距離減衰式による評価が困難であるため、断層モデルを用いた手法により地震動評価を行う。

d. 断層モデルを用いた手法による地震動評価

断層モデルを用いた手法による地震動評価では、敷地において要素

地震として利用可能な観測記録が得られていることから、経験的グリーン関数法⁽³⁵⁾⁽³⁶⁾を用いる。

要素地震としては、各領域で発生した同様の震源メカニズムをもつ地震を用いることとし、三陸沖北部の領域に対して2001年8月14日の地震（M6.4）、三陸沖中南部の領域に対して2015年5月13日の地震（M6.8）、宮城県沖の領域に対して2011年3月10日の地震（M6.8）、十勝沖の領域に対して2008年9月11日の地震（M7.1）、根室沖の領域に対して2004年11月29日の地震（M7.1）の敷地における観測記録を用いる。各要素地震の震源パラメータを第6.6-7表に、各要素地震の震央位置及び観測記録の波形を第6.6-16図に示す。

基本モデル及び不確かさケースの断層モデルを用いた地震動評価結果の応答スペクトルを第6.6-17図に示す。

(2) 海洋プレート内地震

a. 基本モデルの設定

海洋プレート内地震の検討用地震として選定した「想定海洋プレート内地震」については、地震調査委員会⁽⁷⁶⁾を基に基本モデルの断層モデル及び断層パラメータを設定した。

地震規模は、同一テクトニクス内の東北地方で発生した二重深発地震面上面の地震の最大地震である、2011年4月7日宮城県沖の地震と同規模（M7.2, M_w 7.1）とした。

短周期レベルは、地震調査委員会⁽⁷⁶⁾による海洋プレート内地震の標準的な短周期レベルを考慮し設定した。

断層面の位置は、敷地前面の沈み込む海洋プレートと敷地との距離が最小となる位置の海洋性マントル内に⁽⁴¹⁾設定した。

なお、破壊開始点については、複数の位置を設定した。

基本モデルの検討ケースを第6.6-8表に示す。基本モデルの断層モデル及び断層パラメータは、第6.6-18図及び第6.6-9表に示すように設定した。また、断層モデルのパラメータの設定フローを第6.6-19図に示す。

b. 不確かさを考慮するパラメータの選定

「想定海洋プレート内地震」の不確かさとしては、短周期レベル、断層位置及び地震規模を考慮する。

短周期レベルの不確かさとしては、原田・釜江⁽⁴²⁾の知見を踏まえ、短周期レベルの値を地震調査委員会⁽⁷⁶⁾による値の1.5倍としたケースを設定した。

断層位置の不確かさとしては、断層面上端が海洋性地殻の上端に位置するよう設定した上で、アスペリティを断層面上端に配置したケースを設定した。

地震規模の不確かさとしては、2011年4月7日宮城県沖の地震の地震規模を上回る $M_w7.4$ としたケースを設定した。

なお、破壊開始点については、それぞれの不確かさケースについて、複数の位置を設定した。

不確かさケースの検討ケース一覧を第6.6-8表に示す。不確かさケースの断層モデル及び断層パラメータは、第6.6-18図、第6.6-20図及び第6.6-10表に示すように設定した。また、断層モデルのパラメータの設定フローを第6.6-19図に示す。

c. 応答スペクトルに基づく地震動評価

「想定海洋プレート内地震」の応答スペクトルに基づく地震動評価には、解放基盤表面の地震動として評価できること、震源の拡がりや考慮できること、敷地の地震観測記録を用いて諸特性が考慮できるこ

と、水平方向及び鉛直方向の地震動が評価できることといった特徴を有する評価手法であり、地震規模に対応する震源距離が適用範囲にあることから、Noda et al. (2002)⁽²⁹⁾を用いた。

敷地における海洋プレート内地震による観測記録の応答スペクトルとNoda et al. (2002)⁽²⁹⁾の方法に基づく応答スペクトルとの比を第6.6-21図に示す。観測記録の応答スペクトルは、Noda et al. (2002)⁽²⁹⁾に基づく応答スペクトルに対して、2～3倍程度となっている。「想定海洋プレート内地震」の応答スペクトルに基づく評価に当たっては、Noda et al. (2002)⁽²⁹⁾に基づく応答スペクトルに対し、全周期帯で3倍の補正を行った。

基本モデル及び各不確かさケースの応答スペクトルに基づく地震動評価結果の応答スペクトルを第6.6-22図に示す。

d. 断層モデルを用いた手法による地震動評価

「想定海洋プレート内地震」の断層モデルを用いた手法による地震動評価では、適切な要素地震となる地震観測記録が敷地で得られていないことから、統計的グリーン関数法⁽²³⁾⁽²⁴⁾を用いる。統計的グリーン関数法⁽²³⁾⁽²⁴⁾に用いる地下深部構造モデルについては、「6.5.3 深部地盤モデル」に示した深部地盤モデルを用いる。

基本モデル及び各不確かさケースの断層モデルを用いた地震動評価結果の応答スペクトルを第6.6-23図に示す。

(3) 内陸地殻内地震

a. 基本モデルの設定

内陸地殻内地震の検討用地震として選定した「出戸西方断層による地震」については、孤立した短い断層による地震として、震源断層が地表断層長さ以上に拡がっていること及び震源断層が地震発生層の上

端から下端まで広がっていることを考慮した上で、その地震規模を M_w 6.5とした。断層傾斜角は反射法地震探査結果に基づき70度に設定し、断層幅は地震発生層厚さと断層傾斜角を考慮し12.8 kmとした。震源断層長さは、地震規模が M_w 6.5となるように、断層幅を考慮して28.7 kmとし、その地震モーメントは $7.51 \times 10^{18} \text{ N m}$ となる。

アスペリティの位置については、敷地への影響が大きくなるように、アスペリティの南端を出戸西方断層の南端に、また、アスペリティの上端を断層モデルの上端に設定した。

なお、破壊開始点については、複数の位置を設定した。

基本モデルの検討ケースを第6.6-11表に示す。基本モデルの断層モデル及び断層パラメータについては、地震調査委員会⁽⁷⁶⁾(2016)に基づき、第6.6-24図及び第6.6-12表に示すように設定した。また、断層モデルのパラメータの設定フローを第6.6-25図に示す。

b. 不確かさを考慮するパラメータの選定

「出戸西方断層による地震」の不確かさとしては、短周期レベル及び断層傾斜角について考慮する。

短周期レベルの不確かさケースについては、2007年新潟県中越沖地震の知見を踏まえ、基本モデルにおける値の1.5倍の値を考慮した地震動評価を行う。

出戸西方断層については、地質調査結果に基づき、高角の逆断層であることが確認されているが、念のため、断層傾斜角の不確かさケースとして、断層傾斜角を45度に設定した地震動評価を行う。

出戸西方断層が敷地の極近傍に位置しており、基準地震動 S_s の策定に支配的な断層であることから、不確かさの考え方が地震動評価結果に与える影響が非常に大きいことを踏まえ、短周期の地震動レベル

に影響する短周期レベルの不確かさと、長周期の地震動レベルに影響する地震モーメントが大きくなる設定である断層傾斜角の不確かさを重畳させたケースについても考慮し、全周期帯での評価が保守的になるように地震動評価を行う。

なお、破壊開始点については、それぞれの不確かさケースについて、複数の位置を設定した。

不確かさケースの検討ケース一覧を第6.6-11表に示す。不確かさケースの断層モデル及び断層パラメータは、第6.6-24図、第6.6-26図及び第6.6-13表に示すように設定した。また、断層モデルのパラメータの設定フローを第6.6-25図に示す。

c. 応答スペクトルに基づく地震動評価

出戸西方断層による地震による評価ケースの諸元と、Noda et al. (2002)⁽²⁹⁾の距離減衰式の作成及び適用性検討に用いられている諸元を比較した結果、出戸西方断層による地震については、Noda et al. (2002)⁽²⁹⁾にて定められている極近距離よりもさらに近距離の地震となっていることから、Noda et al. (2002)⁽²⁹⁾の適用範囲外とした。

応答スペクトルに基づく地震動評価を行う際には、当該モデルの地震規模及び敷地との距離の関係を踏まえ、国内外において提案されているNoda et al. (2002)⁽²⁹⁾以外の距離減衰式^{(45)~(53)}による評価を行う。評価に用いる距離減衰式を第6.6-14表に示す。

第6.6-27図に、基本モデル及び各不確かさケースの応答スペクトルに基づく地震動評価結果の応答スペクトルを示す。

d. 断層モデルを用いた手法による地震動評価

出戸西方断層による地震の断層モデルを用いた手法による地震動評

価では、敷地において要素地震として利用可能な観測記録が得られていることから経験的グリーン関数法⁽³⁵⁾⁽³⁶⁾を用いる。要素地震については、考慮する地震の断層面近傍の内陸地殻内で発生し、地質調査結果と整合的な震源メカニズムをもつ出戸西方断層近傍で発生した1999年9月13日の地震（M4.0）を用いることとする。要素地震の諸元を第6.6-15表に、要素地震の震央位置及び観測記録の波形を第6.6-28図に示す。

基本モデル及び各不確かさケースの断層モデルを用いた地震動評価結果の応答スペクトルを第6.6-29図に示す。

6.6.2 震源を特定せず策定する地震動

6.6.2.1 評価方法

震源を特定せず策定する地震動の評価に当たっては、震源と活断層を関連付けることが困難な過去の内陸地殻内地震を検討対象地震として選定し、それらの地震時に得られた震源近傍における観測記録を収集し、敷地の地盤物性を加味した応答スペクトルを設定した。

採用する地震観測記録の選定に当たっては、敷地周辺との地域差を検討するとともに、観測記録と第6.6-30図に示す加藤ほか⁽⁵⁴⁾の応答スペクトルとの大小関係を考慮する。

6.6.2.2 検討対象地震の選定と震源近傍の観測記録の収集

震源と活断層を関連付けることが困難な過去の内陸地殻内地震の震源近傍の観測記録の収集においては、以下の2種類の地震を対象とする。

- ・震源断層がほぼ地震発生層の厚さ全体に広がっているものの、地表地震断層としてその全容を現すまでに至っていない $M_w6.5$ 以上の地震
- ・断層破壊領域が地震発生層内部に留まり、国内においてどこでも発生すると考えられる地震で、震源の位置も規模もわからない地震として地震学的検討から全国共通で考慮すべき $M_w6.5$ 未満の地震

検討対象地震を第6.6-16表に示す。

(1) $M_w6.5$ 以上の地震

第6.6-16表に示した検討対象地震のうち、 $M_w6.5$ 以上の2008年岩手・宮城内陸地震及び2000年鳥取県西部地震の震源域と敷地周辺との地域差を検討し、観測記録収集対象の要否について検討を行う。

a. 2008年岩手・宮城内陸地震

2008年岩手・宮城内陸地震の震源域近傍は、新第三紀以降の火山岩類及び堆積岩類が広く分布し、断続的な褶曲構造が認められ、東西圧

縮応力による逆断層により脊梁山脈を成長させている地域である。さらに、火山フロントに位置し、火山噴出物に広く覆われており断層変位基準となる段丘面の分布が限られている。また、産業技術総合研究所⁽⁵⁵⁾によるひずみ集中帯分布図によれば、震源近傍は、地質学的・測地学的ひずみ集中帯の領域内にある。

一方、敷地周辺では、断層変位基準となる海成段丘面が広く分布していること、火山フロントの海溝側に位置し顕著な火山噴出物が認められないこと、地質学的・測地学的ひずみ集中帯の領域外に位置していること等、震源域近傍との地域差は認められる。しかしながら、敷地周辺では震源域と同様に東西圧縮応力による逆断層型の地震が発生していることや、火山岩類及び堆積岩類が分布し、褶曲構造の分布が認められること等、一部で類似点も認められる。

以上のことから、更なる安全性向上の観点から、より保守的に2008年岩手・宮城内陸地震を観測記録収集対象として選定する。

地震観測記録の収集にあたっては、断層最短距離30 km以内に位置するK-N E T観測点及びK i K - n e t観測点の地震観測記録に加えて、震源近傍に位置する荒砥沢ダム及び栗駒ダムにおける地震観測記録を対象とし、18地点の地震観測記録を収集した。

収集した地震観測記録の応答スペクトルに対して、加藤ほか⁽⁵⁴⁾(2004)の応答スペクトルを上回る地震観測記録はK-N E T観測点5地点、K i K - n e t観測点5地点、ダム2地点の合計12地点であり、このうち、K-N E T観測点については、A V S 3 0（地表から深さ30mまでの平均S波速度）が500m/s以上の地震観測記録は1地点であったことから、合計8地点の地震観測記録を抽出した。

抽出した地震観測記録の分析・評価として、地盤応答等による特異

な影響の評価及び基盤地震動を算定するための地盤モデルの妥当性確認を実施した。その結果、地盤の非線形性や特異な増幅特性が無く、基盤地震動を算定する地盤モデルについて、観測記録の伝達関数を再現できることを確認したK-NET一関観測点、KiK-net花巻南観測点、KiK-net金ヶ崎観測点及び栗駒ダム（右岸地山）の4地点の観測記録を信頼性の高い基盤地震動が評価可能な観測記録として選定した。これに加えて、KiK-net一関東観測点については、地表観測記録に地盤の非線形性及び観測点周辺の地形の影響が一部含まれており、鉛直方向の観測記録の伝達関数を再現できていないことから信頼性の高い基盤地震動の評価は困難であるものの、水平方向については地表観測記録を概ね再現できることから基盤地震動として選定可能と判断し、水平方向のみ基盤地震動が適切に評価可能な観測記録として選定した。

選定した5地点の観測記録の中で、大きな基盤地震動として、栗駒ダム（右岸地山）、KiK-net金ヶ崎観測点及びKiK-net一関東観測点（水平方向のみ）を、震源を特定せず策定する地震動に考慮する基盤地震動として選定した。

基盤地震動として選定した各観測点位置のS波速度は、栗駒ダムで700m/s以上、KiK-net金ヶ崎観測点で540m/s、KiK-net一関東観測点で680m/sといずれの観測点も敷地の解放基盤表面のS波速度と同等あるいは低い値となっていることから、地盤のS波速度による補正を行わないこととした。

以上より、栗駒ダム（右岸地山）、KiK-net金ヶ崎観測点及びKiK-net一関東観測点（水平方向のみ）の基盤地震動に保守性を考慮し、震源を特定せず策定する地震動として、「2008年岩手・

宮城内陸地震（栗駒ダム[右岸地山]）」，「2008年岩手・宮城内陸地震（K i K－n e t 金ヶ崎）」及び「2008年岩手・宮城内陸地震（K i K－n e t 一関東）」を採用する。

b. 2000年鳥取県西部地震

2000年鳥取県西部地震は，西北西－東南東の圧縮応力による横ずれ断層の地震とされている。岡田（2002）⁽⁵⁶⁾によれば，震源域周辺に活断層は記載されておらず，第四紀中期以降に新たな断層面を形成して，断層が発達しつつあり，活断層の発達過程としては，初期ないし未成熟な段階にあるとしている。井上ほか（2002）⁽⁵⁷⁾によれば，震源域付近の地質・地質構造は，白亜紀から古第三紀の花崗岩を主体とし，新第三紀中新世に貫入した安山岩～玄武岩質の岩脈が頻繁に分布していることが示されており，これら岩脈の特徴として，貫入方向が今回の震源断層に平行である北西－南東方向であることが挙げられている。また，第四系の分布・地形面の発達状況は，明瞭な断層変位基準の少ない地域である。

一方，敷地周辺は，東西圧縮応力による逆断層として，出戸西方断層等が認められる地域であり，地形・地質調査等から，活断層の認定が可能である。敷地周辺の地質・地質構造は，主に新第三系中新統の泊層，鷹架層や第四系中部～上部更新統の段丘堆積層等が分布し，大規模な岩脈の分布は認められない。また，断層変位基準となる海成段丘面が広く認められる地域である。

なお，2000年鳥取県西部地震震源域と敷地周辺の地震地体構造は，全ての文献において異なる地震地体構造区分とされている。

以上より，2000年鳥取県西部地震震源域と敷地周辺地域とは活断層の特徴，地質・地質構造等に地域差が認められると判断されることか

ら、2000年鳥取県西部地震は観測記録収集対象外とする。

(2) M_w 6.5未満の地震

第6.6-16表に示した検討対象地震のうち、 M_w 6.5未満の14地震について、震源近傍の観測記録を収集して、その地震動レベルを整理した。

その結果、加藤ほか⁽⁵⁴⁾を一部周期帯で上回る地震観測記録として2004年北海道留萌支庁南部地震、2013年栃木県北部地震、2011年茨城県北部地震、2011年和歌山県北部地震及び2011年長野県北部地震の観測記録を抽出した。

抽出した観測記録のうち、2013年栃木県北部地震、2011年茨城県北部地震、2011年和歌山県北部地震及び2011年長野県北部地震については、記録の再現が可能な地盤モデルが構築できず、基盤地震動の評価が困難であることから、震源を特定せず策定する地震動に考慮しない。

一方、2004年北海道留萌支庁南部地震については、震源近傍のK-NET港町観測点において、佐藤ほか⁽⁵⁸⁾が詳細な地盤調査に基づいて基盤地震動の推定を行っており、信頼性の高い基盤地震動が得られていることから、これらを参考に地下構造モデルを設定し、基盤地震動を評価する。この基盤地震動に保守性を考慮し、震源を特定せず策定する地震動として「2004年北海道留萌支庁南部地震（K-NET港町）」を採用する。

(3) 震源を特定せず策定する地震動の応答スペクトル

震源を特定せず策定する地震動として採用した「2008年岩手・宮城内陸地震（栗駒ダム[右岸地山]）」、「2008年岩手・宮城内陸地震（K i K-n e t 金ヶ崎）」、「2008年岩手・宮城内陸地震（K i K-n e t 一関東）」及び「2004年北海道留萌支庁南部地震（K-NET港町）」の応答スペクトルを第6.6-31図に示す。

6.6.3 基準地震動 S_s

「6.6.1 敷地ごとに震源を特定して策定する地震動」及び「6.6.2 震源を特定せず策定する地震動」の評価結果に基づき、基準地震動 S_s を策定する。

6.6.3.1 敷地ごとに震源を特定して策定する地震動による基準地震動 S_s

(1) 応答スペクトルに基づく手法による基準地震動 S_s

応答スペクトルに基づく手法による基準地震動 S_s は、設計用応答スペクトルに適合する設計用模擬地震波により表すものとする。

a. 設計用応答スペクトル

「6.6.1 敷地ごとに震源を特定して策定する地震動」において応答スペクトルに基づく手法により評価した検討用地震の基本モデル及び不確かさケースの地震動評価結果を第6.6-32図に示す。これらを上回るように設定した $S_s - A_H$ の設計用応答スペクトルを第6.6-32図(1)に、 $S_s - A_V$ の設計用応答スペクトルを第6.6-32図(2)に示す。

$S_s - A_H$ 及び $S_s - A_V$ の設計用応答スペクトルのコントロールポイントの値を第6.6-17表に示す。

b. 設計用模擬地震波

基準地震動 $S_s - A_H$ 及び $S_s - A_V$ の設計用模擬地震波は $S_s - A_H$ 及び $S_s - A_V$ の設計用応答スペクトルに適合するように作成し、地震動の振幅包絡線の経時的変化に基づいて、正弦波の重ね合わせによって作成する。基準地震動 $S_s - A_H$ 及び $S_s - A_V$ の設計用模擬地震波の継続時間と振幅包絡線は第6.6-33図の形状とし、振幅包絡線の経時的変化を第6.6-18表に示す。

基準地震動 $S_s - A_H$ 及び $S_s - A_V$ の設計用模擬地震波の作成結果を第6.6-19表に、設計用応答スペクトルに対する設計用模擬地震波の

応答スペクトルの比を第6.6-34図に示す。策定した基準地震動 $S_s - A_H$ 及び $S_s - A_V$ の設計用模擬地震波の加速度時刻歴波形を第6.6-35図に示す。

(2) 断層モデルを用いた手法による基準地震動 S_s

「敷地ごとに震源を特定して策定する地震動」における断層モデルを用いた手法による地震動評価結果について、基準地震動 $S_s - A$ の設計用応答スペクトルを一部周期帯で上回るケースのうち、第6.6-20表に示す5ケースを基準地震動 $S_s - B_1$ 、 $S_s - B_2$ 、 $S_s - B_3$ 、 $S_s - B_4$ 及び $S_s - B_5$ として設定した。その応答スペクトルを第6.6-36図に、加速度時刻歴波形を第6.6-37図に示す。

6.6.3.2 震源を特定せず策定する地震動による基準地震動 S_s

「震源を特定せず策定する地震動」は基準地震動 $S_s - A$ の設計用応答スペクトルを一部周期帯で上回ることから、第6.6-21表に示す4波を基準地震動 $S_s - C_1$ 、 $S_s - C_2$ 、 $S_s - C_3$ 及び $S_s - C_4$ （水平方向のみ）として設定した。その応答スペクトルを第6.6-38図に、加速度時刻歴波形を第6.6-39図に示す。

6.6.4 基準地震動 S_s の年超過確率

日本原子力学会 (2007)⁽⁵⁹⁾ に基づいて算定した敷地における地震動の一樣ハザードスペクトルと基準地震動 S_s の応答スペクトルを比較する。

震源については、地震発生様式ごとに「特定震源モデルに基づく評価」及び「領域震源モデルに基づく評価」に分けて考慮することとし、確率論的地震ハザードに大きな影響を及ぼす認識論的不確かさを選定し、ロジックツリーを作成する。ロジックツリーは、地震調査委員会 (2013)⁽⁴³⁾ の考え方に基づき作成する。

地震調査委員会 (2013)⁽⁴³⁾ では、「領域震源モデルに基づく評価」に用いる各領域の地震規模の設定に当たり、「モデル1」及び「モデル2」の2つの考え方を示しており、「モデル1」においては地震調査委員会 (2012)⁽¹⁷⁾ で用いられている各領域の地震規模を用い、「モデル2」においては地震規模が確率論的地震ハザード評価に与える影響を検討するために、各領域に「モデル1」より大きな地震規模を用いている。敷地での確率論的地震ハザード評価における「領域震源モデルに基づく評価」では、「モデル1」に加え「モデル2」についてもロジックツリーの分岐として考慮する。

設定したロジックツリーを第6.6-40図に示す。また、特定震源モデルのうち、出戸西方断層以外の断層による地震において評価対象とする活断層の諸元を第6.6-22表に、領域震源におけるロジックツリーの分岐ごとの最大地震規模を第6.6-23表に示す。

なお、プレート間地震及び海洋プレート内地震の長期評価に関する地震調査委員会 (2019)⁽⁸⁸⁾ の知見があるが、本知見における地震規模及び発生間隔は、敷地での確率論的地震ハザード評価における設定と同等もしくは包絡されるものであることから、敷地での確率論的地震ハザード評価に影

響はない。

基準地震動 $S_s - A$ 及び $S_s - B 1 \sim B 5$ の応答スペクトルと年超過確率ごとの一様ハザードスペクトルの比較を第6.6-41図に示す。基準地震動 $S_s - A$ 及び $S_s - B 1 \sim B 5$ の年超過確率は、 $10^{-4} \sim 10^{-5}$ 程度である。

また、「震源を特定せず策定する地震動」に基づき設定した基準地震動 $S_s - C 1 \sim C 4$ の応答スペクトルと内陸地殻内地震の領域震源による一様ハザードスペクトルの比較を第6.6-42図に示す。基準地震動 $S_s - C 1 \sim C 4$ の年超過確率は、 $10^{-4} \sim 10^{-6}$ 程度である。

6.6.5 建屋底面位置における地震動評価

耐震重要施設等及び常設重大事故等対処施設の耐震設計では、建屋底面位置における地震動を評価する必要がある。その際、解放基盤表面以浅については、 $f-1$ 断層及び $f-2$ 断層を境界として敷地内で地質構造が異なることから、「中央地盤」、「西側地盤」及び「東側地盤」の3つの領域ごとに、解放基盤表面以浅の地盤モデルを作成する。解放基盤表面以浅の地盤モデルを第6.6-24表に示す。

耐震重要施設等及び常設重大事故等対処施設のうち、「西側地盤」に位置している「第1ガラス固化体貯蔵建屋」，「中央地盤」に位置している「前処理建屋」及び「東側地盤」に位置している「ウラン・プルトニウム混合酸化物貯蔵建屋」の基準地震動 S_s による建屋底面位置での地震動の加速度波形，基準地震動 S_s との応答スペクトルによる比較，解放基盤表面～建屋底面位置間の地震動の最大加速度分布及び最大せん断ひずみ分布を第6.6-43図に示す。解放基盤表面～建屋底面位置間において，基準地震動 S_s に特異な増幅はなく，地盤に顕著なせん断ひずみも認められない。

6.7 参考文献一覧

- (1) 地震調査研究推進本部地震調査委員会編. 日本の地震活動：-被害地震から見た地域別の特徴-. 第2版, 財団法人地震予知総合研究振興会, 2009.
- (2) 文部省震災予防評議会編. 増訂 大日本地震史料. 第一巻～第三巻, 鳴鳳社, 1941-1943.
- (3) 武者金吉. 日本地震史料. 毎日新聞社, 1951.
- (4) 東京大学地震研究所編. 新収 日本地震史料. 東京大学地震研究所. 第一巻～第五巻, 補遺, 続補遺, 1981-1993.
- (5) 宇佐美龍夫編. 日本の歴史地震史料. 拾遺, 拾遺別巻, 拾遺二, 拾遺三, 1998-2005.
- (6) 国立天文台編. 理科年表. 平成28年版, 丸善, 2015.
- (7) 宇佐美龍夫. 日本被害地震総覧599-2012. 東京大学出版会, 2013.
- (8) 宇佐美龍夫. Study of Historical Earthquakes in Japan. 1979, 東京大学地震研究所彙報, vol. 54.
- (9) 宇津徳治. 日本付近のM6.0以上の地震および被害地震の表：1885年～1980年. 1982, 東京大学地震研究所彙報, vol. 57.
- (10) 気象庁. 「地震年報」等. 1951-2015.7.
- (11) 宇津徳治. 地震活動総説. 東京大学出版会, 1999.
- (12) 青森県. 青森県大震災の記録：-昭和43年の十勝沖地震-. 1969.
- (13) 気象庁. 災害時地震・津波速報：平成6年（1994年）三陸はるか沖地震. 1995.
- (14) 気象庁, 消防庁. 震度に関する検討会報告書, 平成21年3月. 2009.
- (15) 村松郁栄. 震度分布と地震のマグニチュードとの関係. 1969, 岐阜大学教育学部研究報告, no. 4.

- (16) 勝又護, 徳永規一. 震度IVの範囲と地震の規模および震度と加速度の対応. 1971, 験震時報, vol. 36.
- (17) 地震調査研究推進本部地震調査委員会. 三陸沖から房総沖にかけての地震活動の長期評価(第二版)について. 2012.
- (18) 活断層研究会編. [新編] 日本の活断層: 分布図と資料. 東京大学出版会, 1991.
- (19) Masahiro Kosuga ; Tamao Sato ; Akira Hasegawa ; Toru Matsuzawa ; Sadaomi Suzuki ; Yoshinobu Motoya. Spatial distribution of intermediate-depth earthquakes with horizontal or vertical nodal planes beneath northeastern Japan. 1996, Physics of the Earth and Planetary Interiors 93.
- (20) 迫田浩司, 岡田知己, 菅ノ又淳一, 長谷川昭. 2003年5月26日宮城県沖地震(M7.1)と二重深発地震面上面の地震活動: -スラブ内大地震震源域における地震活動の特徴抽出-. 2004, 地震第2輯, vol. 57.
- (21) Saeko Kita ; Tomomi Okada ; Akira Hasegawa ; Junichi Nakajima ; Toru Matsuzawa. Existence of interplane earthquakes and neutral stress boundary between the upper and lower planes of the double seismic zone beneath Tohoku and Hokkaido, northeastern Japan. 2010, Tectonophysics 496.
- (22) 地震調査研究推進本部地震調査委員会. 全国地震動予測地図: -地図を見て私の街の揺れを知る-. 2010.
- (23) DAVID M. BOORE. STOCHASTIC SIMULATION OF HIGH-FREQUENCY GROUND MOTIONS BASED ON SEISMOLOGICAL MODELS OF THE RADIATED SPECTRA. 1983. Bulletin of the Seismological Society of America, vol. 73, no. 6.

- (24) 入倉孝次郎, 香川敬生, 関口春子. 経験的グリーン関数を用いた強震動予測方法の改良. 1997, 日本地震学会講演予稿集.
- (25) 梅田尚子, 小林喜久二. 地震記録の逆解析による地下構造推定手法の適用性に関する検討. 2010, 日本建築学会学術講演梗概集, 構造Ⅱ.
- (26) 小林喜久二, 久家英夫, 植竹富一, 真下貢, 小林啓美. 伝達関数の多地点同時逆解析による地盤減衰の推定: その3 Q値の基本式に関する検討. 1999, 日本建築学会大会学術講演梗概集, B2, 構造Ⅱ.
- (27) 地震調査研究推進本部地震調査委員会. 三陸沖北部の地震を想定した強震動評価. 2004.
- (28) Tetsuo Seno ; Masaki Yoshida. Where and why do large shallow intraslab earthquakes occur ?. 2004, Physics of the Earth and Planetary Interiors 141.
- (29) Shizuo Noda ; Kazuhiko Yashiro ; Katsuya Takahashi ; Masayuki Takemura ; Susumu Ohno ; Masanobu Tohdo ; Takahide Watanabe. RESPONSE SPECTRA FOR DESIGN PURPOSE OF STIFF STRUCTURES ON ROCK SITES. 2002, OECD-NEA Workshop on the Relations between Seismological Data and Seismic Engineering Analysis, Oct.16-18, Istanbul.
- (30) 松田時彦. 活断層から発生する地震の規模と周期について. 1975, 地震第2輯, vol. 28.
- (31) 原子力安全基盤機構. 平成15年度 地震記録データベースSANDELのデータ整備と地震発生上下限層深さの評価に関する報告書. 2004, JNES/SAE04-0017.
- (32) 長谷川昭, 中島淳一, 海野徳仁, 三浦哲, 諏訪謡子. 東北日本弧における地殻の変形と内陸地震の発生様式. 2004, 地震第2輯, vol. 56.

- (33) Akiko Tanaka ; Yuzo Ishikawa. Crustal thermal regime inferred from magnetic anomaly data and its relationship to seismogenic layer thickness : The Japanese islands case study. 2005, Physics of the Earth and Planetary Interiors, vol. 152.
- (34) 大久保泰邦. 全国のキュリー点解析結果. 1984, 地質ニュース, no. 362.
- (35) Kojiro Irikura. PREDICTION OF STRONG ACCELERATION MOTIONS USING EMPIRICAL GREEN'S FUNCTION. 1986, 第7回日本地震工学シンポジウム.
- (36) 壇一男, 佐藤俊明. 断層の非一様すべり破壊を考慮した半経験的波形合成法による強震動予測. 1991, 日本建築学会構造系論文集, no. 509.
- (37) 釜江克弘, 入倉孝次郎, 福知保長. 地震のスケーリング則に基づいた大地震時の強震動予測 : 統計的波形合成法による予測. 1991, 日本建築学会構造系論文集, no. 430.
- (38) 諸井孝文, 広谷浄, 石川和也, 水谷浩之, 引間和人, 川里健, 生玉真也, 釜田正毅. 標準的な強震動レシピに基づく東北地方太平洋沖巨大地震の強震動の再現. 2013, 日本地震工学会第10回年次大会梗概集.
- (39) 地震調査研究推進本部地震調査委員会. 千島海溝沿いの地震活動の長期評価 (第二版) . 2004.
- (40) 笹谷努, 森川信之, 前田宜浩. スラブ内地震の震源特性. 2006, 北海道大学地球物理学研究報告, no. 69.
- (41) Junichi Nakajima ; Akira Hasegawa ; Saeko Kita. Seismic evidence for reactivation of a buried hydrated fault in the Pacific slab by the 2011 M9.0 Tohoku earthquake. 2011, Geophysical Research Letters, vol. 38.

- (42) 原田怜, 釜江克宏. 2011年4月7日宮城県沖のスラブ内地震の震源のモデル化. 2011, http://www.rri.kyoto-u.ac.jp/jishin/eq/tohoku2/20110407miyagioki_slab.pdf (参照 2011-06-02)
- (43) 地震調査研究推進本部地震調査委員会. 今後の地震動ハザード評価に関する検討: ~2013年における検討結果~. 2013.
- (44) 地震調査研究推進本部地震調査委員会. 震源断層を特定した地震の強震動予測手法(「レシピ」). 2009.
- (45) Tatsuo Kanno ; Akira Narita ; Nobuyuki Morikawa ; Hiroyuki Fujikawa ; Yoshimitsu Fukushima. A New Attenuation Relation for Strong Ground Motion in Japan Based on Recorded Data. 2006, Bulletin of the Seismological Society of America, vol. 96, no. 3.
- (46) Jhon X. Zhao ; Jian Zhang ; Akihiro Asano ; Yuki Ohno ; Taishi Oouchi ; Toshimasa Takahashi ; Hiroshi Ogawa ; Kojiro Irikura ; Hong K. Thio ; Paul G. Somerville ; Yasuhiro Fukushima ; Yoshimitsu Fukushima. Attenuation Relations of Strong Ground Motion in Japan Using Site Classification Based on Predominant Period. 2006, Bulletin of the Seismological Society of America, vol. 96, no. 3.
- (47) 内山泰生, 翠川三郎. 震源深さの影響を考慮した工学的基盤における応答スペクトルの距離減衰式. 2006, 日本建築学会構造系論文集, no. 606.
- (48) 片岡正次郎, 佐藤智美, 松本俊輔, 日下部毅明. 短周期レベルをパラメータとした地震動強さの距離減衰式. 2006, 土木学会論文集A, vol. 62, no. 4.
- (49) Norman A. Abrahamson ; Walter J. Silva ; Ronnie Kamai. Summary of the ASK14 Ground Motion Relation for Active Crustal Regions.

- 2014, Earthquake Spectra, vol. 30, no. 3.
- (50) David M. Boore ; Jonathan P. Stewart ; Emel Seyhan ; Gail M. Atkinson. NGA-West2 Equations for Predicting PGA, PGV, and 5% Damped PSA for Shallow Crustal Earthquakes. 2014, Earthquake Spectra, vol. 30, no. 3.
- (51) Kenneth W. Campbell ; Yousef Bozorgnia. NGA-West2 Ground Motion Model for the Average Horizontal Components of PGA, PGV, and 5% Damped Linear Acceleration Response Spectra. 2014, Earthquake Spectra, vol. 30, no. 3.
- (52) Brian S. -J. Chiou ; Robert R. Youngs. Update of the Chiou and Youngs NGA Model for the Average Horizontal Component of Peak Ground Motion and Response Spectra. 2014, Earthquake Spectra, vol. 30, no. 3.
- (53) I. M. Idriss. An NGA-West2 Empirical Model for Estimating the Horizontal Spectral Values Generated by Shallow Crustal Earthquakes. 2014, Earthquake Spectra, vol. 30, no. 3.
- (54) 加藤研一，宮腰勝義，武村雅之，井上大榮，上田圭一，壇一男．震源を事前に特定できない内陸地殻内地震による地震動レベル：-地質学的調査による地震の分類と強震観測記録に基づく上限レベルの検討-．2004，日本地震工学会論文集，vol. 4，no. 4.
- (55) 産業技術総合研究所．地質学的歪みと測地学的歪みの集中域と地震との関係．2009，地震予知連絡会会報，vol. 81.
- (56) 岡田篤正．山陰地方の活断層の諸特徴．2002，活断層研究，no. 22.
- (57) 井上大榮，宮腰勝義，上田圭一，宮脇明子，松浦一樹．2000年鳥取県西部地震震源域の活断層調査．2002，地震第2輯，vol. 54.

- (58) 佐藤浩章, 芝良昭, 東貞成, 功刀卓, 前田宜浩, 藤原広行. 物理探査・室内試験に基づく2004年留萌支庁南部地震の地震によるK-NET港町観測点 (HKD020) の基盤地震動とサイト特性評価. 2013, 電力中央研究所報告.
- (59) 日本原子力学会. 日本原子力学会標準 原子力発電所の地震を起因とした確率論的安全評価実施基準: 2007. 2007.
- (60) 長谷川昭, 海野徳仁, 高木章雄, 鈴木貞臣, 本谷義信, 亀谷悟, 田中和夫, 澤田義博. 北海道および東北地方における微小地震の震源分布: -広域の験震データの併合処理-. 1983, 地震第2輯, vol. 36.
- (61) 佐藤良輔, 阿部勝征, 岡田義光, 島崎邦彦, 鈴木保典. 日本の地震断層パラメーター・ハンドブック. 1989, 鹿島出版会.
- (62) Paul Somerville ; Kojiro Irikura ; Robert Graves ; Sumio Sawada ; David Wald ; Norman Abrahamson ; Yoshinori Iwasaki ; Takao Kanagawa ; Nancy Smith ; Akira Kowada. Characterizing Crustal Earthquake Slip Models for the Prediction of Strong Ground Motion. 1999, Seismological Research Letters, vol. 70.
- (63) 佐藤智美, 巽誉樹. 全国の強震記録に基づく内陸地震と海溝性地震の震源・伝播・サイト特性. 2002, 日本建築学会構造系論文集, vol. 556.
- (64) ROBERT J. GELLER. SCALING RELATIONS FOR EARTHQUAKE SOURCE PARAMETERS AND MAGNITUDES. 1976. Bulletin of the Seismological Society of America, vol. 66, no. 5.
- (65) 浅野公之, 岩田知孝, 入倉孝次郎. 2003年5月26日に宮城県沖で発生したスラブ内地震の震源モデルと強震動シミュレーション. 2004, 地震第2輯, vol. 57.

- (66) 武村雅之. 日本列島およびその周辺地域に起こる浅発地震のマグニチュードと地震モーメントの関係. 1990, 地震第2輯, vol. 43.
- (67) 入倉孝次郎, 三宅弘恵. シナリオ地震の強震動予測. 2001, 地学雑誌, vol. 110.
- (68) 物理探査学会. 図解物理探査. 1989.
- (69) 壇一男, 渡辺基史, 佐藤俊明, 石井透. 断層の非一様すべり破壊モデルから算定される短周期レベルと半経験的波形合成法による強震測のための震源断層のモデル化. 2001, 日本建築学会構造系論文集, vol. 545.
- (70) 鶴来雅人, 田居優, 入倉孝次郎, 古和田明. 経験的サイト増幅特性評価手法に関する検討. 1997, 地震第2輯, vol. 50.
- (71) Hiroo Kanamori. The Energy Release in Great Earthquakes. 1977, Journal of Geophysical Research, vol. 82.
- (72) 地震調査研究推進本部地震調査委員会. 「全国を概観した地震動予測地図」報告書. 2005.
- (73) 武村雅之. 日本列島における地殻内地震のスケーリング則: 地震断層の影響および地震被害との関連. 1998, 地震第2輯, vol. 51.
- (74) 地震調査研究推進本部地震調査委員会. 青森県西岸断層帯の長期評価について. 2004.
- (75) 地震調査研究推進本部地震調査委員会. 津軽山地西縁断層帯の長期評価について. 2004.
- (76) 地震調査研究推進本部地震調査委員会. 震源断層を特定した地震の強震動予測手法(「レシピ」). 2016.
- (77) 岩田知孝, 入倉孝次郎. 観測された地震波から, 震源特性・伝播経路特性及び観測点近傍の地盤特性を分離する試み. 1986, 地震第2輯,

vol. 39.

- (78) 入倉孝次郎. 海溝型巨大地震の強震動予測のための震源モデルの構築. 2012, 第40回地盤震動シンポジウム.
- (79) 国立研究開発法人 防災科学技術研究所. 広域帯地震観測網 F-net. <http://www.fnet.bosai.go.jp>, (参照 2016-12-26) .
- (80) 田島礼子, 松元康広, 司宏俊, 入倉孝次郎. 内陸地殻内および沈み込みプレート境界で発生する巨大地震の震源パラメータに関するスケーリング則の比較研究. 2013, 地震第2輯, vol. 66.
- (81) Susumu Kurahashi ; Kojiro Irikura. Short-Period Source Model of the 2011 M_w 9.0 Off the Pacific Coast of Tohoku Earthquake. 2013, Bulletin of the Seismological Society of America, vol. 103, no. 2B.
- (82) Kimiyuki Asano ; Tomotaka Iwata. Source model for strong ground motion generation in the frequency range 0.1-10 Hz during the 2011 Tohoku earthquake. 2012, Earth Planets Space, vol. 64.
- (83) 佐藤智美. 経験的グリーン関数法に基づく2011年東北地方太平洋沖地震の震源モデル: -プレート境界地震の短周期レベルに着目して-. 2012, 日本建築学会構造系論文集, vol. 77, no. 675.
- (84) 川辺秀憲, 釜江克弘. 2011年東北地方太平洋沖地震の震源のモデル化. 2013, 日本地震工学会論文集, vol. 13, no. 2.
- (85) 佐藤智美. 中小地震の応力降下量の断層タイプ・震源深さ依存性及び地域性に関する研究. 2003, 土木学会地震工学論文集, vol. 27.
- (86) 佐藤智美. 逆断層と横ずれ断層の違いを考慮した日本の地殻内地震の短周期レベルのスケーリング則. 2010, 日本建築学会構造系論文集,

vol. 75, no. 651.

- (87) 地震調査研究推進本部地震調査委員会. 千島海溝沿いの地震活動の長期評価（第三版）. 地震調査研究推進本部, 2017.
- (88) 地震調査研究推進本部地震調査委員会. 日本海溝沿いの地震活動の長期評価. 地震調査研究推進本部, 2019.

第 6.2-1 表 敷地周辺の被害地震

No.	年・月・日	北 緯	東 経	マグニ チュード M	震央距離 △ (k m)	地 名
1	830. 2. 3	39.8°	140.1°	7.3	166	出羽
2	1423. 11. 23	39.5°	140.5°	6.5	177	羽後
3	1667. 8. 22	40.6°	141.6°	6.2	46	八戸
4	1674. 4. 15	40.6°	141.6°	6.0	46	八戸
5	1677. 4. 13	41.0°	142.25°	7.4	77	陸中
6	1694. 6. 19	40.2°	140.1°	7.0	134	能代地方
7	1704. 5. 27	40.4°	140.0°	7.0	129	羽後・津軽
8	1712. 5. 28	40.5°	141.5°	5.3	53	八戸
9	1763. 1. 29	41.0°	142.25°	7.4	77	陸奥八戸
10	1763. 3. 11	41.0°	142.0°	7 1/4	56	陸奥八戸
11	1763. 3. 15	41.0°	142.0°	7.0	56	陸奥八戸
12	1766. 3. 8	40.7°	140.5°	7 1/4	76	津軽
13	1769. 7. 12	40.6°	141.6°	6.5	46	八戸
14	1772. 6. 3	39.35°	141.9°	6 3/4	185	陸前・陸中
15	1793. 2. 8	40.85°	139.95°	7.0	117	西津軽
16	1810. 9. 25	39.9°	139.9°	6.5	169	羽後
17	1823. 9. 29	40.0°	141.1°	5.9	108	陸中岩手山
18	1832. 3. 15	40.7°	141.6°	6.5	37	八戸
19	1843. 6. 29	39.45°	140.7°	5.5	176	陸中沢内
20	1848. 1. 14	40.7°	140.6°	6.0	68	津軽
21	1854. 8. 28	40.6°	141.6°	6.5	46	陸奥
22	1856. 8. 23	41.0°	142.5°	7.5	98	日高・胆振・渡島・津軽・南部
23	1858. 7. 8	40.75°	142.0°	7.3	61	八戸・三戸
24	1858. 9. 29	40.9°	140.8°	6.0	45	青森
25	1896. 8. 31	39.5°	140.7°	7.2	171	秋田・岩手県境 (陸羽地震)
26	1901. 8. 9	40.5°	142.5°	7.2	111	青森県東方沖
27	1901. 8. 10	40.6°	142.3°	7.4	91	青森県東方沖

(つづき)

No.	年・月・日	北緯	東経	マグニ チュード M	震央距離 △ (k m)	地 名
28	1901. 9. 30	40.2°	141.9°	6.9	97	岩手県久慈沖
29	1902. 1. 30	40.5°	141.3°	7.0	51	三戸地方
30	1906.10.12	40.0°	140.5°	5.4	128	秋田県北部
31	1907.12. 2	40.1°	142.3°	6.7	126	青森県東方沖
32	1909. 9. 17	42.0°	142.0°	6.8	128	襟裳岬沖
33	1910. 7. 24	42.5°	140.9°	5.1	175	有珠山
34	1912. 6. 8	40.5°	142.0°	6.6	76	青森県東方沖
35	1913. 2. 20	41.8°	142.3°	6.9	124	日高沖
36	1913. 8. 1	41.8°	142.5°	5.7	135	浦河沖
37	1914. 3. 15	39.5°	140.4°	7.1	180	秋田県仙北郡(秋田仙北地震)
38	1928. 5. 27	40° 3.7'	142° 58.4'	7.0	171	三陸沖
39	1931. 2. 17	42° 7.3'	143° 6.2'	6.8	196	浦河付近
40	1931. 3. 9	40° 9.3'	143° 19.9'	7.2	191	青森県南東沖
41	1931.11. 4	39° 28.9'	141° 50.4'	6.5	170	岩手県小国付近
42	1932.11.26	42° 21.4'	142° 28.0'	6.9	182	新冠川流域
43	1939. 5. 1	39° 56.8'	139° 47.2'	6.8	173	男鹿半島(男鹿地震)
44	1943. 6. 13	40° 59.7'	142° 49.6'	7.1	126	八戸東方沖
45	1945. 2. 10	40° 56.8'	142° 22.5'	7.1	88	八戸北東沖
46	1951.10.18	41° 20.1'	142° 7.7'	6.6	79	青森県北東沖
47	1952. 3. 4	41° 42.3'	144° 9.1'	8.2	250	十勝沖(十勝沖地震)
48	1952. 3. 10	41° 44.7'	143° 26.0'	6.9	196	十勝沖
49	1953. 7. 14	42° 4.5'	139° 54.9'	5.1	171	檜山沖
50	1955.10.19	40° 17.3'	140° 13.7'	5.9	119	米代川下流(二ツ井地震)
51	1957. 3. 1	40° 12.4'	140° 19.0'	4.3	120	秋田県北部
52	1968. 5. 16	40° 42.0'	143° 35.7'	7.9	193	青森県東方沖 (1968年十勝沖地震)

(つづき)

No.	年・月・日	北緯	東経	マグニ チュード M	震央距離 △ (k m)	地 名
53	1968. 9. 21	41° 59.1′	142° 45.7′	6.8	165	浦河沖
54	1968.10. 8	41° 51.7′	142° 39.2′	6.2	149	浦河沖
55	1974. 9. 4	40° 12.1′	141° 54.7′	5.6	98	岩手県北岸
56	1974.11. 9	42° 32.5′	141° 45.5′	6.3	179	苫小牧付近
57	1978. 5. 16	40° 57′	141° 28′	5.8	11	青森県東岸
58	1978. 5. 16	40° 56′	141° 27′	5.8	10	青森県東岸
59	1981. 1. 23	42° 25′	142° 12′	6.9	177	日高支庁西部
60	1981.12. 2	40° 53′	142° 36′	6.2	107	青森県東方沖
61	1982. 1. 8	40° 1′	140° 29′	5.2	127	秋田県中部
62	1982. 3. 21	42° 4′	142° 36′	7.1	162	浦河沖
63	1983. 5. 26	40° 21.6′	139° 4.4′	7.7	202	秋田県沖 (1983年(昭和58年) 日本海中部地震)
64	1986. 5. 26	40° 5.1′	141° 12.1′	5.0	98	岩手県北部
65	1986. 8. 10	40° 40.9′	140° 48.7′	4.8	54	青森県南部
66	1987. 1. 9	39° 50.2′	141° 46.6′	6.6	130	岩手県北部
67	1989.11. 2	39° 51.5′	143° 3.2′	7.1	191	三陸はるか沖
68	1993. 7. 12	42° 46.9′	139° 10.8′	7.8	270	北海道南西沖 (1993年(平成5年) 北海道南西沖地震)
69	1994.12. 28	40° 25.8′	143° 44.7′	7.6	212	三陸はるか沖 (1994年(平成6年) 三陸はるか沖地震)
70	1998. 9. 3	39° 48.4′	140° 54.1′	6.2	133	雫石付近
71	2001. 8. 14	40° 59.7′	142° 26.2′	6.4	93	青森県東方沖
72	2001.12. 2	39° 23.9′	141° 15.8′	6.4	173	岩手県内陸南部
73	2003. 9. 26	41° 46.7′	144° 4.7′	8.0	247	釧路沖 (2003年(平成15年)十勝沖地震)
74	2004. 8. 10	39° 40.4′	142° 7.9′	5.8	158	岩手県沖
75	2008. 6. 14	39° 1.8′	140° 52.8′	7.2	218	岩手県内陸南部 (2008年(平成20年) 岩手・宮城内陸地震)
76	2008. 7. 24	39° 43.9′	141° 38.1′	6.8	139	岩手県沿岸北部

(つづき)

No.	年・月・日	北緯	東経	マグニ チュード M	震央距離 △ (km)	地名
77	2011. 4. 1	40° 15.4′	140° 21.8′	5.0	113	秋田県内陸北部
78	2011. 4. 19	39° 36.2′	140° 23.2′	4.9	171	秋田県内陸南部
79	2011. 6. 23	39° 56.9′	142° 35.5′	6.9	155	岩手県沖
80	2011. 9. 7	42° 15.6′	142° 35.4′	5.1	179	日高地方中部
81	2011.11.24	41° 45.0′	142° 53.2′	6.2	157	浦河沖
82	2012. 3. 27	39° 48.4′	142° 20.0′	6.6	154	岩手県沖
83	2012. 5. 24	41° 20.6′	142° 7.4′	6.1	79	青森県東方沖
84	2012. 8. 30	38° 24.5′	141° 54.9′	5.6	288	宮城県沖
85	2013. 2. 2	42° 42.1′	143° 13.7′	6.5	250	十勝地方南部
86	2015. 5. 13	38° 51.8′	142° 9.0′	6.8	243	宮城県沖
87	2015. 7. 10	40° 21.2′	141° 33.6′	5.7	70	岩手県内陸北部

第 6.2-2 表 地震カタログ間の比較

M : マグニチュード
 △ : 震央距離 (k m)

(地震諸元に幅のあるものについては、中央値を用いている。)

地震番号 (年月日)	⁽⁷⁾ 日本被害地震総覧 ⁽⁹⁾ 宇津カタログ(1982) ⁽¹⁰⁾ 気象庁地震カタログ			⁽⁶⁾ 理科年表			⁽⁸⁾ 宇佐美カタログ(1979)		
	M	東 経 北 緯	△	M	東 経 北 緯	△	M	東 経 北 緯	△
130* (1677. 4. 13)	7. 4	142. 25 ° 41. 0 °	77	7. 9	142. 3 ° 40. 5 °	96	8. 1	144. 0 ° 40. 0 °	250
192* (1763. 1. 29)	7. 4	142. 25 ° 41. 0 °	77	7. 4	142. 3 ° 41. 0 °	82	7. 4	142. 5 ° 41. 0 °	98
193* (1763. 3. 11)	7 1/4	142. 0 ° 41. 0 °	56	7. 3	142. 0 ° 41. 0 °	56	7. 75	143. 5 ° 40. 5 °	190
464* (1931. 3. 9)	7. 2	143 ° 19. 9' 40 ° 9. 3'	191	—	—	—	7. 6	142. 5 ° 41. 2 °	102
508* (1945. 2. 10)	7. 1	142 ° 22. 5' 40 ° 56. 8'	88	7. 1	142. 4 ° 40. 9 °	90	7. 3	142. 1 ° 40. 9 °	65

*印がついた地震は津波を伴った地震。地震番号は日本被害地震総覧⁽⁷⁾による。

第 6.3-1 表 敷地周辺の主な活断層の諸元

断層名		断層長さ (k m)	マグニチュード M	震央距離 (k m) ^{※3}
陸 域	出戸西方断層	11	-	8
	横浜断層	15	6.8 ^{※1}	17
	上原子断層	5	連動 考慮 51	7.7 ^{※1}
	七戸西方断層	46		
	折爪断層	53	7.7 ^{※1}	71
	青森湾西岸断層帯	31	7.3 ^{※2}	57
	津軽山地 西縁断層帯	北部	16	7.3 ^{※2}
南部		23	7.3 ^{※2}	67
海 域	F-a 断層	20	7.0 ^{※1}	63
	F-b 断層	15	6.8 ^{※1}	64
	F-c 断層	15	6.8 ^{※1}	38
	F-d 断層	6	-	15

※1：断層長さから想定される地震のマグニチュード（松田⁽³⁰⁾(1975)による。）

※2：地震調査委員会⁽⁷⁴⁾（2004）⁽⁷⁵⁾における長期評価の値。ただし、評価に幅がある場合には、最大値を用いる。

※3：震央距離は、敷地から断層の中心までの距離

第 6.5-1 表(1) はぎとり地盤モデル (中央地盤)

標高 T. M. S. L. (m)	層厚 (m)	S波速度 (m/s)	密度 (g/cm ³)	減衰定数 h ※	
				h ₀	n
GL▽ 55.0	2.0	470	1.94	0.3	0.8
53.0	1.5	470	1.94	0.3	0.8
51.5	1.5	560	1.94	0.3	0.8
50.0	13.0	720	1.64	0.5	0.5
37.0	2.0	720	1.64	0.5	0.5
35.0	40.0	760	1.75	0.3	0.9
-5.0	60.0	830	1.85	0.3	0.9
-65.0	5.0	950	1.85	0.3	0.9
解放基盤表面▼ -70.0	75.0	950	1.85	0.3	0.9
-145.0	∞	950	1.85	0.3	0.9

※ $h = h_0 \cdot f^{-n}$

第 6.5-1 表(2) はぎとり地盤モデル (東側地盤)

標高 T. M. S. L. (m)	層厚 (m)	S波速度 (m/s)	密度 (g/cm ³)	減衰定数 h※	
				h ₀	n
GL▽ 55.0					
53.0	2.0	140	1.58	0.3	0.2
47.0	6.0	140	1.58	0.3	0.2
44.0	3.0	350	1.78	0.3	0.8
37.0	7.0	380	1.69	0.3	0.8
29.0	8.0	380	1.69	0.3	0.8
5.0	24.0	750	1.69	0.2	0.9
-45.0	50.0	1020	1.69	0.2	0.9
-48.0	3.0	1020	1.69	0.2	0.9
解放基盤表面▼ -70.0	22.0	1170	1.78	0.2	0.9
-145.0	75.0	1170	1.78	0.2	0.9
	∞	1170	1.78	0.2	0.9

※ $h = h_0 \cdot f^{-n}$

第 6.5-1 表(3) はぎとり地盤モデル (西側地盤)

標高 T. M. S. L. (m)	層厚 (m)	S波速度 (m/s)	密度 (g/cm ³)	減衰定数 h※	
				h ₀	n
GL▽ 55.0					
54.4	0.6	70	1.78	0.2	0.3
53.0	1.4	250	1.78	0.2	0.3
44.0	9.0	250	1.78	0.2	0.3
37.0	7.0	420	1.86	0.2	1.0
33.0	4.0	420	1.86	0.2	1.0
27.0	6.0	560	1.86	0.2	1.0
-45.0	72.0	620	1.57	0.2	1.0
-51.0	6.0	620	1.57	0.2	1.0
解放基盤表面▼ -70.0	19.0	790	1.57	0.1	1.0
-145.0	75.0	830	1.69	0.1	1.0
	∞	830	1.69	0.1	1.0

※ $h = h_0 \cdot f^{-n}$

第 6.5-2 表 観測地震

No.	発震日時 震源地又は地震名	震央位置 北緯 東経	マグニ チュード M	震源 深さ (k m)	震央 距離 (k m)	気象庁震度階級
1	1996. 2. 17 23:35 青森県三八 上北地方	40° 46.7' 141° 22.8'	4.3	15	21	II : 青森市花園, 五所川原市太田, 八戸市湊町, むつ市大畑町 I : 七戸町天間館, むつ市金曲等
2	2002. 10. 14 23:12 青森県東方沖	41° 9.1' 142° 16.9'	6.1	53	83	4 : 平内町小湊, 八戸市湊町, 五 戸町古館, むつ市金曲等 3 : 青森市花園, 六ヶ所村尾駸等 2 : 鱒ヶ沢町本町, 八戸市島守, 七戸町天間館等 1 : 五所川原市太田, 弘前市和田 町, 深浦町深浦等
3	2003. 5. 26 18:24 宮城県沖	38° 49.3' 141° 39.0'	7.1	72	239	6弱: 大船渡市大船渡町, 涌谷町新 新町, 栗原市栗駒 5強: 大船渡市猪川町, 花巻市大迫 町等 5弱: 五戸町古館, 久慈市川崎町等 4 : 平内町小湊, 八戸市湊町, 八 戸市島守, むつ市金曲等 3 : 青森市花園, 六ヶ所村尾駸等 2 : 五所川原市太田, 深浦町深浦, むつ市大畑町等 1 : 八雲町上の湯, 余市町朝日町 等
4	2003. 9. 26 4:50 2003 年十勝沖地震	41° 46.7' 144° 4.7'	8.0	45	247	6弱: 新ひだか町静内ときわ町, 浦 河町潮見, 厚岸町尾幌等 5強: 足寄町上螺湾, 帯広市東 4 条 等 5弱: 北見市公園町等 4 : 六ヶ所村尾駸等 3 : 深浦町深浦, 八戸市湊町等 2 : 弘前市和田町, 深浦町長慶平 等 1 : 柴田町船岡, 丸森町上滝等
5	2008. 7. 24 00:26 岩手県沿岸北部	39° 43.9' 141° 38.1'	6.8	108	139	6強: 岩手洋野町大野 6弱: 五戸町古館等 5強: 大船渡市大船渡町, 涌谷町新 新町, 八戸市湊町等 5弱: 釜石市只越町, 登米市中田町, 八戸市島守等 4 : 平内町小湊, むつ市金曲, 六 ヶ所村尾駸, 北上市柳原町等 3 : 青森市花園, 五所川原市栄町, むつ市大畑町等 2 : 五所川原市太田, 深浦町深浦, 深浦町長慶平等 1 : 札幌中央区北 2 条, 八雲町上 の湯, 柳津町大成沢等

(つづき)

No.	発震日時 震源地又は地震名	震央位置 北緯 東経	マグニ チュード [*] M	震源 深さ (km)	震央 距離 (km)	気象庁震度階級
6	2011.3.11 14:46 2011年東北地方太平洋沖地震	38° 6.2' 142° 51.7'	M _w 9.0	24	343	7 : 栗原市築館 6強 : 大崎市古川三日町, 涌谷町新町, 浪江町幾世橋, 筑西市舟生等 6弱 : 大船渡市猪川町, 大船渡市大船渡町, 花巻市大迫町, 気仙沼市赤岩等 5強 : 五戸町古館等 5弱 : 宮古市鉄ヶ崎, 八幡平市大更, 山田町八幡町等 4 : 六ヶ所村尾駸, 八戸市湊町, むつ市金曲, 平内町小湊, 青森市花園, 八戸市島守, 五所川原市栄町等 3 : 弘前市和田町, 鱒ヶ沢町本町, 七戸町北天間館, 五所川原市太田, 深浦町深浦, 深浦町長慶平, むつ市大畑町等 2 : 岩内町清住, 旭川市宮前1条, 羽幌町南3条, 平取町仁世宇等
7	2011.4.7 23:32 宮城県沖	38° 12.3' 141° 55.2'	7.2	66	310	6強 : 栗原市若柳, 仙台宮城野区苦竹, 栗原市築館 6弱 : 大船渡市大船渡町, 大崎市古川三日町, 涌谷町新町, 仙台宮城野区五輪, 栗原市栗駒, 仙台青葉区大倉, 登米市中田町, 石巻市泉町, 松島町高城等 5強 : 大船渡市猪川町, 一関市大東町, 奥州市水沢区大鐘町, 北上市柳原町, 釜石市只越町, 気仙沼市赤岩, 南三陸町志津川, 柴田町船岡等 5弱 : 五戸町古館, 盛岡市山王町, 花巻市大迫町, 久慈市川崎町, 五城目町西磯ノ目, 石巻市大瓜等 4 : 八戸市湊町, むつ市金曲, 平内町小湊等 3 : 青森市花園, 八戸市島守, 六ヶ所村尾駸, 五所川原市栄町, 五所川原市太田, 弘前市和田町等 2 : 鱒ヶ沢町本町, 深浦町長慶平, 深浦町深浦, 七戸町北天間館, むつ市大畑町等 1 : 岩内町清住, 夕張市若菜, 上富良野町大町, 登別市鉾山等

第 6.5-3 表 地震波の到来方向の検討に用いた地震

No.	発震日時		震央位置		震源深さ (k m)	マグニ チュード M	震央の 方位	見掛け 入射角 (°)
	日付	時刻	北緯	東経				
1	1992/ 8/ 8	23:52:02	42° 1'	142° 41'	46.4	5.2	北	74
2	1992/10/ 5	5:41:01	39° 46'	141° 9'	95.9	4.6	南	54
3	1992/12/28	1:21:02	38° 56'	142° 33'	33.5	5.9	南	82
4	1992/12/31	16:02:04	38° 56'	142° 33'	32.0	5.7	南	83
5	1992/12/31	16:26:00	38° 56'	142° 36'	29.8	5.8	南	83
6	1993/ 1/13	10:31:05	38° 54'	142° 34'	33.5	5.4	南	82
7	1993/ 3/ 5	15:55:00	42° 44'	141° 33'	142.4	4.9	北	54
8	1993/ 4/15	2:18:05	40° 9'	142° 22'	36.0	4.9	南	74
9	1993/ 5/ 6	3:21:03	39° 8'	141° 47'	106.1	5.4	南	63
10	1993/ 6/22	17:37:04	41° 29'	142° 1'	64.0	4.8	北	52
11	1993/ 7/12	22:17:01	42° 47'	139° 11'	35.1	7.8	北	83
12	1993/ 7/12	23:05:02	42° 0'	139° 17'	13.0	5.5	西	86
13	1993/ 7/13	1:01:01	42° 43'	139° 20'	28.8	6.0	北	84
14	1993/ 8/ 8	4:42:04	41° 58'	139° 53'	23.7	6.3	西	82
15	1993/ 8/ 8	7:11:02	41° 59'	139° 53'	20.5	4.4	西	83
16	1993/ 8/12	10:02:01	41° 59'	139° 51'	15.2	4.7	西	85
17	1993/ 9/11	13:55:03	41° 59'	142° 39'	61.4	5.4	北	69
18	1993/10/25	14:19:01	41° 24'	139° 9'	39.6	4.6	西	78
19	1993/10/28	10:52:01	41° 33'	142° 2'	64.4	5.2	北	54
20	1993/11/11	9:06:01	39° 4'	142° 22'	36.3	5.5	南	81
21	1993/11/27	15:11:02	38° 35'	141° 20'	111.7	5.8	南	67
22	1993/12/ 4	18:30:01	41° 44'	141° 59'	79.7	5.4	北	52
23	1993/12/ 7	0:37:05	41° 29'	141° 57'	71.7	5.2	北	48
24	1993/12/11	9:01:03	41° 57'	142° 24'	66.1	4.9	北	65
25	1993/12/17	12:19:00	39° 11'	142° 16'	62.2	5.3	南	74
26	1994/ 2/18	20:02:05	42° 36'	142° 35'	106.9	5.0	北	63
27	1994/ 3/ 6	19:13:02	41° 50'	139° 7'	21.5	4.8	西	84
28	1994/ 3/21	8:22:01	40° 28'	141° 33'	77.0	4.6	南	37
29	1994/ 4/29	22:38:03	42° 59'	142° 52'	126.8	4.8	北	64
30	1994/ 7/ 1	14:14:05	42° 15'	143° 5'	67.3	5.2	北	72
31	1994/ 8/14	18:06:05	38° 41'	142° 23'	42.4	6.0	南	81
32	1995/12/30	21:11:05	40° 42'	143° 45'	0.0	6.5	東	90
33	1995/12/30	21:17:35	40° 43'	143° 33'	0.0	6.2	東	90
34	1995/12/31	5:45:13	40° 48'	143° 35'	3.0	5.6	東	89
35	1996/ 1/22	22:14:58	40° 7'	142° 30'	38.0	5.2	東	74
36	1996/ 1/29	16:42:56	40° 28'	141° 37'	118.2	4.7	南	27
37	1996/ 2/15	4:00:40	41° 33'	142° 4'	63.4	4.7	北	55
38	1996/ 2/17	7:43:56	41° 32'	142° 6'	62.5	4.5	北	55
39	1996/ 2/17	23:35:20	40° 47'	141° 23'	15.3	4.3	南	54
40	1996/ 2/19	21:14:20	40° 27'	142° 28'	29.4	5.2	東	75

(つづき)

No.	発震日時		震央位置		震源深さ (k m)	マグニ チュード M	震央の 方位	見掛け 入射角 (°)
	日付	時刻	北緯	東経				
41	1996/ 3/17	1:40:42	40° 5'	142° 10'	57.5	4.8	南	65
42	1996/ 4/15	6:44:14	42° 3'	142° 29'	65.7	4.9	北	67
43	1996/ 4/23	13:08:02	39° 13'	141° 30'	76.1	5.3	南	69
44	1996/ 6/26	6:37:01	40° 3'	142° 50'	23.9	5.1	東	82
45	1996/ 7/ 4	3:59:25	40° 40'	142° 38'	24.0	5.2	東	78
46	1996/ 7/12	12:20:55	40° 48'	141° 18'	85.3	3.8	南	12
47	1996/ 8/11	3:12:18	38° 54'	140° 38'	8.6	6.1	南	88
48	1996/ 8/11	3:54:12	38° 54'	140° 39'	8.9	5.6	南	88
49	1997/ 2/20	16:55:00	41° 46'	142° 52'	49.0	5.9	東	73
50	1997/ 2/27	23:22:15	41° 33'	142° 4'	70.7	4.8	北	52
51	1997/ 3/ 6	15:50:45	40° 44'	139° 23'	36.0	5.1	西	78
52	1997/ 3/13	10:12:12	42° 48'	142° 60'	129.5	4.5	北	62
53	1997/ 3/17	18:23:16	41° 51'	142° 11'	66.3	4.8	北	61
54	1997/ 4/22	15:19:25	42° 10'	141° 52'	80.3	4.4	北	61
55	1997/ 5/ 5	10:48:39	41° 19'	140° 1'	9.6	4.7	西	85
56	1997/ 9/ 9	10:19:57	41° 50'	142° 22'	98.0	4.1	北	53
57	1997/10/27	4:06:44	39° 19'	140° 36'	120.8	5.1	南	58
58	1997/11/23	12:50:59	39° 59'	138° 48'	29.3	5.8	西	83
59	1997/12/13	15:45:31	39° 39'	142° 20'	76.8	4.7	南	66
60	1997/12/23	1:32:00	40° 11'	142° 28'	36.9	5.2	東	74
61	1997/12/23	4:08:05	42° 59'	143° 29'	114.1	5.2	北	68
62	1998/ 1/31	0:50:17	41° 28'	142° 5'	62.2	5.3	東	53
63	1998/ 2/11	11:25:44	41° 57'	142° 23'	55.2	4.9	北	69
64	1998/ 4/ 8	10:57:37	41° 30'	141° 60'	64.9	4.3	北	52
65	1998/ 5/ 9	5:14:14	41° 35'	142° 3'	63.8	4.4	北	55
66	1998/ 5/14	19:53:41	40° 17'	143° 26'	11.8	5.3	東	87
67	1998/ 5/15	3:56:21	40° 16'	143° 27'	18.3	5.9	東	85
68	1998/ 9/ 3	16:58:17	39° 48'	140° 54'	7.9	6.2	南	87
69	1998/10/14	5:41:11	40° 6'	143° 27'	19.5	5.6	東	85
70	1998/11/ 7	14:35:41	41° 35'	142° 3'	64.7	4.8	北	55
71	1999/ 1/19	2:35:45	41° 33'	141° 28'	84.6	4.4	北	38
72	1999/ 3/ 6	12:54:32	41° 58'	142° 17'	54.0	4.5	北	68
73	1999/ 3/11	20:05:54	39° 36'	141° 55'	30.0	4.8	南	79
74	1999/ 3/19	2:55:41	41° 1'	143° 13'	29.0	5.8	東	80
75	1999/ 5/17	6:20:01	41° 54'	142° 27'	53.7	4.4	北	69
76	1999/ 7/ 1	13:33:22	41° 51'	142° 6'	93.6	4.1	北	52
77	1999/ 7/22	22:46:33	42° 39'	143° 28'	83.7	4.6	北	72
78	1999/ 8/ 3	0:31:47	40° 4'	142° 6'	50.3	4.3	南	67
79	1999/ 9/13	5:32:00	40° 56'	141° 15'	14.7	4.1	西	25
80	1999/10/ 3	6:08:38	40° 11'	143° 12'	4.4	5.7	東	89

(つづき)

No.	発震日時		震央位置		震源深さ (k m)	マグニ チュード M	震央の 方位	見掛け 入射角 (°)
	日付	時刻	北緯	東経				
81	1999/11/17	7:54:16	42° 5'	142° 24'	59.9	5.0	北	69
82	1999/12/13	13:47:41	40° 56'	141° 15'	13.3	3.0	西	28
83	2000/ 4/12	0:08:51	41° 22'	139° 57'	11.6	4.3	西	85
84	2000/ 4/26	21:48:46	40° 15'	143° 25'	8.7	5.3	東	87
85	2000/ 4/26	21:55:02	40° 15'	143° 21'	14.2	5.4	東	86
86	2000/ 4/27	14:38:29	42° 11'	141° 0'	127.8	4.2	北	47
87	2000/ 6/16	16:35:45	41° 28'	141° 6'	132.5	4.3	北	24
88	2000/ 7/ 5	8:16:07	41° 15'	141° 31'	84.4	4.0	北	23
89	2000/ 7/20	6:41:43	40° 21'	141° 43'	90.7	3.2	南	40
90	2000/ 8/27	0:30:51	42° 12'	142° 33'	29.9	4.8	北	80
91	2001/ 1/16	4:44:36	41° 30'	142° 0'	63.4	4.1	北	52
92	2001/ 2/ 2	18:43:33	41° 29'	142° 1'	63.6	4.0	北	52
93	2001/ 3/16	11:12:16	41° 35'	142° 3'	62.2	4.1	北	56
94	2001/ 4/ 3	4:54:19	40° 37'	141° 55'	63.4	5.6	東	45
95	2001/ 4/ 5	7:22:28	39° 25'	141° 46'	105.3	4.3	南	59
96	2001/ 4/ 6	20:07:44	40° 23'	141° 40'	72.2	3.3	南	44
97	2001/ 7/18	7:47:42	39° 45'	141° 24'	86.6	4.3	南	57
98	2001/ 8/14	5:11:25	40° 60'	142° 26'	37.7	6.4	東	68
99	2001/ 8/16	5:32:47	42° 13'	142° 28'	63.3	4.4	北	69
100	2001/ 8/24	18:48:02	41° 1'	142° 23'	40.7	5.3	東	65
101	2001/10/ 3	2:47:39	40° 54'	141° 22'	88.0	3.2	南	5
102	2001/11/13	16:45:05	39° 20'	142° 4'	48.0	4.8	南	76
103	2001/11/21	19:25:40	42° 1'	142° 35'	60.4	4.6	北	69
104	2001/12/ 2	22:01:55	39° 24'	141° 16'	121.5	6.4	南	55
105	2002/ 1/27	16:09:16	39° 19'	142° 25'	46.3	5.5	南	77
106	2002/ 2/14	10:12:22	41° 28'	142° 4'	63.6	5.1	東	53
107	2002/ 4/ 4	8:42:15	41° 28'	142° 1'	58.7	5.4	北	54
108	2002/ 4/21	6:30:32	41° 34'	142° 6'	65.2	4.8	北	55
109	2002/ 5/12	10:29:37	39° 9'	141° 9'	96.3	5.2	南	64
110	2002/ 5/30	14:07:45	41° 30'	142° 3'	62.0	4.8	北	54
111	2002/ 7/ 1	15:48:13	40° 26'	141° 37'	82.4	4.1	南	37
112	2002/ 7/ 3	18:57:40	41° 35'	142° 3'	62.5	4.7	北	56
113	2002/ 7/10	23:48:44	41° 41'	142° 15'	55.2	4.8	北	64
114	2002/ 7/30	1:19:18	40° 29'	141° 14'	104.2	4.3	南	27
115	2002/10/14	23:12:43	41° 9'	142° 17'	52.7	6.1	東	58
116	2002/11/ 3	12:37:44	38° 54'	142° 8'	45.8	6.3	南	79
117	2002/12/ 1	18:57:01	42° 40'	143° 58'	103.0	5.5	東	70
118	2003/ 1/ 6	13:42:53	41° 4'	142° 21'	44.6	5.0	東	63
119	2003/ 1/13	13:38:53	41° 33'	141° 49'	70.6	4.2	北	48
120	2003/ 5/26	18:24:33	38° 49'	141° 39'	72.0	7.1	南	73

(つづき)

No.	発震日時		震央位置		震源深さ (k m)	マグニ チュード M	震央の 方位	見掛け 入射角 (°)
	日付	時刻	北緯	東経				
121	2003/ 7/26	0:13:08	38° 26'	141° 10'	11.6	5.6	南	88
122	2003/ 7/26	7:13:32	38° 24'	141° 10'	11.9	6.4	南	88
123	2003/ 7/26	16:56:45	38° 30'	141° 11'	12.0	5.5	南	87
124	2003/ 8/30	19:06:41	41° 49'	142° 40'	55.3	5.4	東	69
125	2003/ 9/22	6:47:04	40° 31'	141° 50'	102.2	4.1	南	32
126	2003/ 9/26	4:50:07	41° 47'	144° 5'	45.1	8.0	東	80
127	2003/ 9/26	6:08:02	41° 43'	143° 41'	21.4	7.1	東	84
128	2003/ 9/28	7:23:25	42° 11'	142° 58'	50.7	5.2	北	75
129	2003/10/ 4	23:41:11	41° 34'	142° 3'	68.6	4.7	北	53
130	2003/11/14	7:39:20	41° 50'	142° 12'	69.7	4.8	北	60
131	2003/11/24	21:18:18	42° 19'	143° 0'	52.3	5.3	北	76
132	2004/ 2/ 4	15:08:27	40° 9'	141° 54'	63.4	5.3	南	58
133	2004/ 3/ 2	15:47:19	40° 48'	141° 21'	92.5	4.1	南	11
134	2004/ 6/12	2:05:32	40° 2'	142° 12'	54.7	4.6	南	67
135	2004/ 7/ 4	3:43:55	40° 32'	141° 29'	105.1	4.5	南	25
136	2004/ 7/ 4	21:31:14	42° 3'	142° 29'	61.5	4.9	北	68
137	2004/ 8/10	15:13:31	39° 40'	142° 8'	48.2	5.8	南	73

第 6.5-4 表 地震動評価に用いる深部地盤モデル

解放基盤表面 ▽	標高 (m)	G L (m)	層厚 (m)	S 波速度 (m/s)	P 波速度 (m/s)	密度 (g/cm ³)	Q 値	
							Q _s	Q _p
	-70	-125	75	950	1900	1.85	35	20
	-145	-200	210	990	2570	2.07	35	20
	-355	-410	810	1450	2970	2.21	75	45
	-1165	-1220	910	2740	4660	2.51	85	60
地震基盤 ▽	-2075	-2130	970	2950	4950	2.55	80	70
	-3045	-3100	∞	3100	5060	2.58	114 f ^{0.92}	114 f ^{0.92}

注 G L : 地盤面高さ, f : 振動数 (H z)

第 6.6-1 表 震源パラメータの比較

	想定三陸沖北部の地震		2011 年東北地方太平洋沖地震 を踏まえた地震
地震規模	M _w 8.3		M _w 9.0
断層面積 (km ²)	17000		100000
短周期レベル (Nm/s ²)	1.88 × 10 ²⁰		3.49 × 10 ²⁰
直近の SMGA の 短周期レベル (Nm/s ²)	1.12 × 10 ²⁰ (SMGA 1)	1.73 × 10 ²⁰	1.86 × 10 ²⁰ (SMGA 1)
	1.32 × 10 ²⁰ (SMGA 3)		
敷地と直近の SMGA 中心との距離 (km)	102.2 (SMGA 1)		90.2
	110.9 (SMGA 3)		

第 6.6-2 表 原子力安全基盤機構⁽³¹⁾による東北東部の領域の地震発生層上下限深さ

地震域	M区分	最浅 (k m)	D10% (k m)	D50% (k m)	D90% (k m)	最深 (k m)	データ 数	D90%-D10% (k m)
東北 東部	$2.0 \leq M < 2.5$	0.0	5.8	10.4	13.7	29.6	288	7.9
	$2.5 \leq M < 3.0$	0.0	6.4	11.3	15.9	29.7	97	9.5
	$3.0 \leq M < 3.5$	0.0	7.3	11.0	13.1	29.3	44	5.8
	$3.5 \leq M < 4.0$	8.7	9.8	12.2	15.7	29.5	20	5.9
	$4.0 \leq M$	3.2	7.6	9.1	13.2	14.7	11	5.6
	全データ	0.0	6.2	10.7	13.8	29.7	460	7.6

D10%:その値より震源深さが浅い地震数が全体の 10%になるときの震源深さ。地震発生上限層に対応。
D90%:その値より震源深さが浅い地震数が全体の 90%になるときの震源深さ。地震発生下限層に対応。

第 6.6-3 表 気象庁カタログ⁽¹⁰⁾による敷地周辺の地震発生層上下限深さ

M区分	最浅 (k m)	D10% (k m)	D50% (k m)	D90% (k m)	最深 (k m)	データ 数	D90%-D10% (k m)
$0.5 \leq M < 1.0$	3.2	7.0	11.8	18.8	20.2	32	11.8
$1.0 \leq M < 1.5$	4.1	8.3	11.8	14.3	21.0	68	6.0
$1.5 \leq M < 2.0$	7.0	9.8	12.2	15.1	17.3	37	5.3
$2.0 \leq M < 2.5$	0.7	4.5	10.7	14.6	21.0	10	10.1
$2.5 \leq M$	7.0	12.0	13.5	18.4	22.7	14	6.4
全データ	0.7	8.2	12.1	15.3	22.7	165	7.1

D10%:その値より震源深さが浅い地震数が全体の 10%になるときの震源深さ。地震発生上限層に対応。
D90%:その値より震源深さが浅い地震数が全体の 90%になるときの震源深さ。地震発生下限層に対応。

※用いた地震は 1997 年 10 月～2011 年 12 月に発生したもの。地震諸元は気象庁による。

第 6.6-4 表 「2011 年東北地方太平洋沖地震を踏まえた地震」
 検討ケース一覧

	基本モデル		SMG A位置の不確かさケース	
連動考慮範囲	三陸沖北部～ 宮城県沖	三陸沖北部～ 根室沖	三陸沖北部～ 宮城県沖	三陸沖北部～ 根室沖
SMG Aの位置	過去の地震を踏まえた設定		SMG A 1を敷地に近い位置に配置	
SMG A 1, 2 の短周期レベル	地震調査委員会 (2016) ⁽⁷⁶⁾ による短周期レベルの 1.4 倍			
SMG A 3～7 の短周期レベル	地震調査委員会 (2016) ⁽⁷⁶⁾ による短周期レベル			

第 6.6-5 表(1) 「2011 年東北地方太平洋沖地震を踏まえた地震」
 の断層パラメータ (三陸沖北部～宮城県沖の連動)
 (基本モデル及び不確かさケース)

断層パラメータ		セグメント		設定方法		
		三陸沖北部	三陸沖中南部 ～宮城県沖			
巨視的 断層 パラメータ	走向	$\theta (^{\circ})$	180	200	プレート沈み込み等深線を参考に設定	
	断層傾斜角 1	$\delta_1 (^{\circ})$	10	12	同上	
	断層傾斜角 2	$\delta_2 (^{\circ})$	20	21	同上	
	長さ	L (km)	200	300	プレート沈み込み等深線及び断層面積に基づき設定	
	幅	W (km)	200	200	プレート沈み込み等深線を参考に設定	
	上端深さ	h (km)	12.6	12.3	同上	
	下端深さ	h (km)	64.2	68.9	同上	
	断層面積	S (km ²)	40000	60000	佐藤ほか ^(6.1) (1989) $\log S = M_w - 4.07$	
	平均応力降下量	$\Delta\sigma$ (MPa)	3.08		$\Delta\sigma = 7/16 \times M_0 (\pi/S)^{3/2}$	
	地震モーメント	M_0 (Nm)	4.00×10^{22}		$\log M_0 = 1.5M_w + 9.1$ (Kanamori (1977)) ^(7.1)	
	モーメントマグニチュード*	M_w	9.0		2011 年東北地方太平洋沖地震の M_w と同等の地震規模を設定	
	平均すべり量	D (m)	8.5		$D = M_0 / (\mu S)$	
	剛性率	μ (N/m ²)	4.68×10^{10}		$\mu = \rho \beta^2$, $\rho = 3.08 \text{g/cm}^3$	
	S 波速度	β (km/s)	3.9		地震調査委員会 (2004) ^(2.7)	
破壊伝播速度	V_r (km/s)	3.0		諸井ほか ^(3.8) (2013) を参照		
微視的 震源 特性	全 S M G A	面積	S_a (km ²)	12500	$S_a = 0.125S$ (諸井ほか ^(3.8) (2013))	
		地震モーメント	M_{0a} (Nm)	1.00×10^{22}	$M_{0a} = \mu S_a D_a$	
		平均すべり量	D_a (m)	17.1	Somerville et al. (1999) ^(6.2)	
		応力降下量	$\Delta\sigma_a$ (MPa)	24.6	$\Delta\sigma_a = (S/S_a) \Delta\sigma$	
		短周期レベル	A_a (Nm/s ²)	3.49×10^{20}	$A_a = (\sum A_{ai}^2)^{1/2}$	
	各 S M G A			SMGA1, 2	SMGA3~5	
		面積	S_{ai} (km ²)	2500	2500	$S_{ai} = S_a/5$
		地震モーメント	M_{0ai} (Nm)	2.00×10^{21}	2.00×10^{21}	$M_{0ai} = \mu S_{ai} D_{ai}$
		平均すべり量	D_{ai} (m)	17.1	17.1	$D_{ai} = D_a \gamma_i / \sum (\gamma_i^3)$, $\gamma_i = r_i/r = (S_{ai}/S_a)^{1/2}$
		応力降下量	$\Delta\sigma_{ai}$ (MPa)	34.5	24.6	$\Delta\sigma_{ai} = \Delta\sigma_a$, 三陸沖北部は 1.4 倍
		短周期レベル	A_{ai} (Nm/s ²)	1.86×10^{20}	1.33×10^{20}	$A_{ai} = 4\pi (S_{ai}/\pi)^{1/2} \Delta\sigma_{ai} \beta^2$
	ライズタイム	τ_{ai} (s)	8.33	8.33	$\tau_{ai} = 0.5W_{ai}/V_r$, $W_{ai} = S_{ai}^{1/2}$	
	背景 領域	面積	S_b (km ²)	87500		$S_b = S - S_a$
		地震モーメント	M_{0b} (Nm)	3.00×10^{22}		$M_{0b} = M_0 - M_{0a}$
		平均すべり量	D_b (m)	7.3		$D_b = M_{0b} / (\mu S_b)$
実効応力		σ_b (MPa)	4.9		$\sigma_b = 0.2 \Delta\sigma_a$	
ライズタイム		τ_b (s)	33.33		$\tau_b = 0.5W_b/V_r$, $W_b = W$	

第 6.6-5 表(2) 「2011 年東北地方太平洋沖地震を踏まえた地震」
の断層パラメータ (三陸沖北部～根室沖の連動)
(基本モデル及び不確かさケース)

断層パラメータ		セグメント		設定方法		
		三陸沖北部	十勝沖 ～根室沖			
巨視的断層パラメータ	走向	θ (°)	180	245	プレート沈み込み等深線を参考に設定	
	断層傾斜角 1	δ_1 (°)	10	10	同上	
	断層傾斜角 2	δ_2 (°)	20	30	同上	
	長さ	L (km)	200	400	プレート沈み込み等深線及び断層面積に基づき設定	
	幅	W (km)	200	150	プレート沈み込み等深線を参考に設定	
	上端深さ	h (km)	12.6	17.0	同上	
	下端深さ	h (km)	64.2	67.5	同上	
	断層面積	S (km ²)	40000	60000	佐藤ほか ⁽⁶¹⁾ (1989) $\log S = M_w - 4.07$	
	平均応力降下量	$\Delta\sigma$ (MPa)	3.08		$\Delta\sigma = 7/16 \times M_0 (\pi/S)^{3/2}$	
	地震モーメント	M_0 (Nm)	4.00×10^{22}		$\log M_0 = 1.5M_w + 9.1$ (Kanamori ⁽⁷¹⁾ (1977))	
	モーメントマグニチュード	M_w	9.0		2011 年東北地方太平洋沖地震の M_w と同等の地震規模を設定	
	平均すべり量	D (m)	8.5		$D = M_0 / (\mu S)$	
	剛性率	μ (N/m ²)	4.68×10^{10}		$\mu = \rho \beta^2$, $\rho = 3.08 \text{ g/cm}^3$	
	S 波速度	β (km/s)	3.9		地震調査委員会 ⁽²⁷⁾ (2004)	
破壊伝播速度	V_r (km/s)	3.0		諸井ほか ⁽³⁸⁾ (2013) を参照		
微視的震源特性	全 S M G A	面積	S_a (km ²)	12500	$S_a = 0.125S$ (諸井ほか ⁽³⁸⁾ (2013))	
		地震モーメント	M_{0a} (Nm)	1.00×10^{22}	$M_{0a} = \mu S_a D_a$	
		平均すべり量	D_a (m)	17.1	Somerville et al. ⁽⁶²⁾ (1999)	
		応力降下量	$\Delta\sigma_a$ (MPa)	24.6	$\Delta\sigma_a = (S/S_a) \Delta\sigma$	
		短周期レベル	A_a (Nm/s ²)	3.49×10^{20}	$A_a = (\Sigma A_{ai}^2)^{1/2}$	
	各 S M G A			SMGA1, 2	SMGA6, 7	
		面積	S_{ai} (km ²)	2500	3750	$S_{ai} = S \times 0.125/2$
		地震モーメント	M_{0ai} (Nm)	2.00×10^{21}	3.00×10^{21}	M_{0a1} 及び M_{0a2} は第 6.6-5 表(1)と同じ, $M_{0a6} = M_{0a7} = [M_{0a} - (M_{0a1} + M_{0a2})]/2$
		平均すべり量	D_{ai} (m)	17.1	17.1	D_{a1} 及び D_{a2} は第 6.6-5 表(1)と同じ, $D_{a6} = D_{a7} = M_{0a6} / (\mu S_{a6})$
		応力降下量	$\Delta\sigma_{ai}$ (MPa)	34.5	24.6	$\Delta\sigma_{ai} = \Delta\sigma_a$, 三陸沖北部は 1.4 倍
		短周期レベル	A_{ai} (Nm/s ²)	1.86×10^{20}	1.63×10^{20}	$A_{ai} = 4\pi (S_{ai}/\pi)^{1/2} \Delta\sigma_{ai} \beta^2$
		ライズタイム	τ_{ai} (s)	8.33	10.21	$\tau_{ai} = 0.5W_{ai}/V_r$, $W_{ai} = S_{ai}^{1/2}$
	背景領域	面積	S_b (km ²)	87500		$S_b = S - S_a$
		地震モーメント	M_{0b} (Nm)	3.00×10^{22}		$M_{0b} = M_0 - M_{0a}$
		平均すべり量	D_b (m)	7.3		$D_b = M_{0b} / (\mu S_b)$
実効応力		σ_b (MPa)	4.9		$\sigma_b = 0.2 \Delta\sigma_a$	
ライズタイム		τ_b (s)	33.33		$\tau_b = 0.5W_b/V_r$, $W_b = W$	

第 6.6-6 表 2011 年東北地方太平洋沖地震の各種震源モデルと「2011 年東北地方太平洋沖地震を踏まえた地震」(基本モデル) とのパラメータの比較

(a) 田島ほか (2013)⁽⁸⁰⁾ が取りまとめた各種震源モデルとの比較

		SMGA 総面積 (km ²)	SMGA 全体の 短周期レベル (Nm/s ²)	【参考】 SMGA の応力降下量 (MPa)
田島ほか (2013) による 取りまとめ	Kurahashi and Irikura (2013) ⁽⁸¹⁾	5,628	1.74×10 ²⁰	21.44 (※)
	Asano and Iwata (2012) ⁽⁸²⁾	5,042	1.67×10 ²⁰	18.95 (※)
	佐藤 (2012) ⁽⁸³⁾	11,475	3.51×10 ²⁰	28.82 (※)
	川辺・釜江 (2013) ⁽⁸⁴⁾	6,300	1.74×10 ²⁰	18.26 (※)
	平均値	6,730	2.05×10 ²⁰	—
「2011 年東北地方太平洋沖地震 を踏まえた地震」(基本モデル)		12,500	3.49×10 ²⁰	34.5 (SMGA 1, 2) 24.6 (SMGA 3~7)

(田島ほか (2013)⁽⁸⁰⁾ より抜粋・一部加筆)

※ ^{(81)~(84)} 文献に記載されている各 SMGA の応力降下量を単純平均して算出。

(b) SMGA 面積比を変えた場合の諸井ほか (2013)⁽³⁸⁾ の震源モデルとの比較

	SMGA 面積比 (※1)	SMGA 1 個の面積 (km ²)	SMGA 1 個の短周期レベル (Nm/s ²)
諸井ほか (2013) ⁽³⁸⁾	0.080	1,600 (※2) (40km×40km)	1.66×10 ²⁰ (※3)
	0.125	2,500 (50km×50km)	1.33×10 ²⁰
	0.180	3,600 (※2) (60km×60km)	1.11×10 ²⁰ (※3)
	0.245	4,900 (※2) (70km×70km)	9.49×10 ¹⁹ (※3)
「2011 年東北地方太平洋沖地震 を踏まえた地震」(基本モデル) SMGA 1, 2	0.125	2,500 (50km×50km)	1.86×10 ²⁰

※1 断層全体の面積 (100,000 km²) に対する SMGA 総面積の割合

※2 断層全体の面積及び SMGA 面積比から算出される SMGA 総面積を、諸井ほか (2013)⁽³⁸⁾ の震源モデルにおける SMGA の個数 (5 個) で等分して算出。

※3 ※2 で算出した SMGA 1 個の面積及び諸井ほか (2013)⁽³⁸⁾ に示される断層パラメータを用いて、地震調査委員会 (2016)⁽⁷⁶⁾ の式により算出。

第 6.6-7 表 要素地震の震源パラメータ (プレート間地震)

(a) 三陸沖北部～宮城県沖の連動

対象領域	発震日時	M	震源距離 (k m)	震源深さ (k m)	走向 (°)	断層 傾斜角 (°)	すべり角 (°)
三陸沖北部 (SMG A 1, 2)	2001. 8. 14 5:11	6.4	100.2	37.69	174	22	55
三陸沖中南部 (SMG A 3)	2015. 5. 13 6:12	6.8	246.6	46.24	178	25	64
宮城県沖 (SMG A 4, 5)	2011. 3. 10 6:23	6.8	342.5	9.30	213	23	101

(b) 三陸沖北部～根室沖の連動

対象領域	発震日時	M	震源距離 (k m)	震源深さ (k m)	走向 (°)	断層 傾斜角 (°)	すべり角 (°)
三陸沖北部 (SMG A 1, 2)	2001. 8. 14 5:11	6.4	100.2	37.69	174	22	55
十勝沖 (SMG A 6)	2008. 9. 11 9:20	7.1	254.0	30.86	235	15	116
根室沖 (SMG A 7)	2004. 11. 29 3:32	7.1	395.8	48.17	242	26	122

第 6.6-8 表 「想定海洋プレート内地震」 検討ケース一覧

	地震規模	断層面位置	断層面 上端深さ	短周期レベル (Nm/s ²)
基本モデル	M7.2 M _w 7.1	敷地直近と なる位置	海洋性地殻 下端	7.67×10^{19} ⁽⁷⁶⁾ (地震調査委員会(2016)に基づく値)
短周期レベルの不確かさケース	M7.2 M _w 7.1		海洋性地殻 下端	1.15×10^{20} ⁽⁷⁶⁾ (地震調査委員会(2016)に基づく値の 1.5倍)
断層面位置の不確かさケース	M7.2 M _w 7.1		海洋性地殻 上端	7.67×10^{19} ⁽⁷⁶⁾ (地震調査委員会(2016)に基づく値)
地震規模の不確かさケース	M _w 7.4		海洋性地殻 下端	1.15×10^{20} ⁽⁷⁶⁾ (地震調査委員会(2016)に基づく値)

第 6.6-9 表 「想定海洋プレート内地震」の断層パラメータ
(基本モデル)

断層パラメータ		設定値	設定方法		
巨視的断層パラメータ	走向	$\theta (^{\circ})$	0	海溝軸に沿って設定	
	断層傾斜角	$\delta (^{\circ})$	32	プレート上面に対して 60°	
	長さ	L(km)	23.72	断層面積より設定	
	幅	W(km)	16.17	断層面積より設定	
	断層面積	S(km ²)	384	$S=(49\pi^4\beta^4M_0^2)/(16A^2S_a)$	
	上端深さ	h(km)	70.89	敷地前面のプレートの沈み込み深さによる	
	地震モーメント	M_0 (Nm)	4.74×10^{19}	2011 年 4 月 7 日宮城県沖の地震の M_0 と同等の地震モーメントを設定	
	モーメントマグニチュード	M_w	7.1	2011 年 4 月 7 日宮城県沖の地震の M_w と同等の地震規模を設定	
	剛性率	μ (N/m ²)	4.80×10^{10}	$\mu = \rho \beta^2$, $\rho = 3.0\text{g/cm}^3$	
	S 波速度	β (km/s)	4.0	佐藤・巽 ^(6.3)	
	平均すべり量	D(m)	2.57	$D=M_0/(\mu S)$	
	平均応力降下量	$\Delta\sigma$ (MPa)	15.37	$\Delta\sigma = 7/16 \times M_0 (\pi/S)^{3/2}$	
	破壊伝播速度	V_r (km/s)	2.88	$V_r = 0.72\beta$ (Geller ^(6.4) (1976))	
	短周期レベル	A(Nm/s ²)	7.67×10^{19}	$A = 9.84 \times 10^{10} \times (M_0 \times 10^7)^{1/3}$ (地震調査委員会 ^(7.6) (2016))	
微視的断層パラメータ	アスペリティ全体	面積	S_a (km ²)	76	$S_a = 1.25 \times 10^{-16} \times (M_0 \times 10^7)^{2/3}$ (地震調査委員会 ^(7.6) (2016))
		地震モーメント	M_{0a} (Nm)	1.88×10^{19}	$M_{0a} = \mu S_a D_a$
		平均すべり量	D_a (m)	5.15	Somerville et al. ^(6.2) (1999)
		応力降下量	$\Delta\sigma_a$ (MPa)	77.6	$\Delta\sigma_a = A / (4\beta^2(\pi S_a)^{0.5})$
	背景領域	面積	S_b (km ²)	308	$S_b = S - S_a$
		地震モーメント	M_{0b} (Nm)	2.86×10^{19}	$M_{0b} = M_0 - M_{0a}$
		平均すべり量	D_b (m)	1.94	$D_b = M_{0b} / (\mu S_b)$
		実効応力	σ_b (MPa)	14.6	$\sigma_b = (D_b/W_b) / (D_a/W_a) \Delta\sigma_a$ $W_a = 8.08\text{km}$, $W_b = 16.17\text{km}$
高周波遮断周波数		f_{\max} (Hz)	18	浅野ほか ^(6.5) (2004) を参照	

第 6.6-10 表(1) 「想定海洋プレート内地震」の断層パラメータ
(短周期レベルの不確かさケース)

断層パラメータ		設定値	設定方法		
巨視的断層パラメータ	走向	$\theta (^{\circ})$	0	海溝軸に沿って設定	
	断層傾斜角	$\delta (^{\circ})$	32	プレート上面に対して 60°	
	長さ	L (km)	23.72	断層面積より設定	
	幅	W (km)	16.17	断層面積より設定	
	断層面積	S (km ²)	384	基本モデルと同じ値を設定	
	上端深さ	h (km)	70.89	敷地前面のプレートの沈み込み深さによる	
	地震モーメント	M_0 (Nm)	4.74×10^{19}	2011年4月7日宮城県沖の地震の M_0 と同等の地震モーメントを設定	
	モーメントマグニチュード	M_w	7.1	2011年4月7日宮城県沖の地震の M_w と同等の地震規模を設定	
	剛性率	μ (N/m ²)	4.80×10^{10}	$\mu = \rho \beta^2$, $\rho = 3.0 \text{g/cm}^3$	
	S波速度	β (km/s)	4.0	佐藤・巽(2002) ^(6.3)	
	平均すべり量	D (m)	2.57	$D = M_0 / (\mu S)$	
	平均応力降下量	$\Delta \sigma$ (MPa)	15.37	$\Delta \sigma = 7/16 \times M_0 (\pi / S)^{3/2}$	
	破壊伝播速度	V_r (km/s)	2.88	$V_r = 0.72 \beta$ (Geller(1976)) ^(6.4)	
	短周期レベル	A (Nm/s ²)	1.15×10^{20}	$A = 9.84 \times 10^{10} \times (M_0 \times 10^7)^{1/3}$ ^(7.6) (地震調査委員会(2016)) 上記の式に基づく値の1.5倍	
微視的断層パラメータ	アスペリティ全体	面積	S_a (km ²)	76	$S_a = 1.25 \times 10^{-16} \times (M_0 \times 10^7)^{2/3}$ ^(7.6) (地震調査委員会(2016))
		地震モーメント	M_{0a} (Nm)	1.88×10^{19}	$M_{0a} = \mu S_a D_a$
		平均すべり量	D_a (m)	5.15	Somerville et al. (1999) ^(6.2)
		応力降下量	$\Delta \sigma_a$ (MPa)	116.4	$\Delta \sigma_a = A / (4 \beta^2 (\pi S_a)^{0.5})$
	背景領域	面積	S_b (km ²)	308	$S_b = S - S_a$
		地震モーメント	M_{0b} (Nm)	2.86×10^{19}	$M_{0b} = M_0 - M_{0a}$
		平均すべり量	D_b (m)	1.94	$D_b = M_{0b} / (\mu S_b)$
		実効応力	σ_b (MPa)	21.9	$\sigma_b = (D_b / W_b) / (D_a / W_a) \Delta \sigma_a$ $W_a = 8.08 \text{km}$, $W_b = 16.17 \text{km}$
高周波遮断周波数		f_{\max} (Hz)	18	浅野ほか(2004) ^(6.5) を参照	

第 6.6-10 表(2) 「想定海洋プレート内地震」の断層パラメータ
(断層面位置の不確かさケース)

断層パラメータ		設定値	設定方法		
巨視的断層パラメータ	走向	$\theta (^{\circ})$	0	海溝軸に沿って設定	
	断層傾斜角	$\delta (^{\circ})$	32	プレート上面に対して 60°	
	長さ	L (km)	23.72	断層面積より設定	
	幅	W (km)	16.17	断層面積より設定	
	断層面積	S (km ²)	384	$S=(49\pi^4\beta^4M_0^2)/(16A^2S_0)$	
	上端深さ	h (km)	64.71	敷地前面のプレートの沈み込み深さによる	
	地震モーメント	M_0 (Nm)	4.74×10^{19}	2011年4月7日宮城県沖の地震の M_0 と同等の地震モーメントを設定	
	モーメントマグニチュード	M_w	7.1	2011年4月7日宮城県沖の地震の M_w と同等の地震規模を設定	
	剛性率	μ (N/m ²)	4.80×10^{10}	$\mu = \rho \beta^2$, $\rho = 3.0 \text{g/cm}^3$	
	S波速度	β (km/s)	4.0	佐藤・巽 ^(6.3)	
	平均すべり量	D (m)	2.57	$D=M_0/(\mu S)$	
	平均応力降下量	$\Delta\sigma$ (MPa)	15.37	$\Delta\sigma = 7/16 \times M_0 (\pi/S)^{3/2}$	
	破壊伝播速度	V_r (km/s)	2.88	$V_r = 0.72\beta$ (Geller(1976)) ^(6.4)	
短周期レベル	A (Nm/s ²)	7.67×10^{19}	$A = 9.84 \times 10^{10} \times (M_0 \times 10^7)^{1/3}$ (地震調査委員会(2016)) ^(7.6)		
微視的断層パラメータ	アスペリテイ全体	面積	S_a (km ²)	76	$S_a = 1.25 \times 10^{-16} \times (M_0 \times 10^7)^{2/3}$ (地震調査委員会(2016)) ^(7.6)
		地震モーメント	M_{0a} (Nm)	1.88×10^{19}	$M_{0a} = \mu S_a D_a$
		平均すべり量	D_a (m)	5.15	Somerville et al. (1999) ^(6.2)
		応力降下量	$\Delta\sigma_a$ (MPa)	77.6	$\Delta\sigma_a = A / (4\beta^2(\pi S_a)^{0.5})$
	背景領域	面積	S_b (km ²)	308	$S_b = S - S_a$
		地震モーメント	M_{0b} (Nm)	2.86×10^{19}	$M_{0b} = M_0 - M_{0a}$
		平均すべり量	D_b (m)	1.94	$D_b = M_{0b} / (\mu S_b)$
		実効応力	σ_b (MPa)	14.6	$\sigma_b = (D_b/W_b) / (D_a/W_a) \Delta\sigma_a$ $W_a = 8.08 \text{km}$, $W_b = 16.17 \text{km}$
高周波遮断周波数		f_{\max} (Hz)	18	浅野ほか ^(6.5) (2004)を参照	

第 6.6-10 表 (3) 「想定海洋プレート内地震」の断層パラメータ
(地震規模の不確かさケース)

断層パラメータ		設定値	設定方法		
巨視的断層パラメータ	走向	θ (°)	0	海溝軸に沿って設定	
	断層傾斜角	δ (°)	32	プレート上面に対して 60°	
	長さ	L (km)	53.04	断層面積と幅より設定	
	幅	W (km)	16.17	基本モデルと同じ値を設定	
	断層面積	S (km ²)	858	$S=(49\pi^4\beta^4M_0^2)/(16A^2S_a)$	
	上端深さ	h (km)	70.89	敷地前面のプレートの沈み込み深さによる	
	地震モーメント	M_0 (Nm)	1.58×10^{20}	$\log M_0=1.5M_w+9.1$ (Kanamori (1977) ^(7.1))	
	モーメントマグニチュード [*]	M_w	7.4	2011年4月7日宮城県沖の地震の M_w に不確かさを考慮して設定	
	剛性率	μ (N/m ²)	4.80×10^{10}	$\mu = \rho \beta^2$, $\rho = 3.0 \text{g/cm}^3$	
	S波速度	β (km/s)	4.0	佐藤・巽(2002) ^(6.3)	
	平均すべり量	D (m)	3.85	$D=M_0/(\mu S)$	
	平均応力降下量	$\Delta\sigma$ (MPa)	15.37	$\Delta\sigma = 7/16 \times M_0 (\pi/S)^{3/2}$	
	破壊伝播速度	V_r (km/s)	2.88	$V_r=0.72\beta$ (Geller(1976)) ^(6.4)	
短周期レベル	A (Nm/s ²)	1.15×10^{20}	$A=9.84 \times 10^{10} \times (M_0 \times 10^7)^{1/3}$ (地震調査委員会(2016)) ^(7.6) $S_a=1.25 \times 10^{-16} \times (M_0 \times 10^7)^{2/3}$ (地震調査委員会(2016)) ^(7.6)		
微視的断層パラメータ	全アスペリティ	面積	S_a (km ²)	170	$S_a=1.25 \times 10^{-16} \times (M_0 \times 10^7)^{2/3}$ (地震調査委員会(2016)) ^(7.6)
		地震モーメント	M_{0a} (Nm)	6.28×10^{19}	$M_{0a} = \mu S_a D_a$
		平均すべり量	D_a (m)	7.70	Somerville et al. (1999) ^(6.2)
		応力降下量	$\Delta\sigma_a$ (MPa)	77.6	$\Delta\sigma_a = A / (4\beta^2(\pi S_a)^{0.5})$
	各アスペリティ	面積	S_{ai} (km ²)	85	$S_{ai}=S_a/2$
		地震モーメント	M_{0ai} (Nm)	3.14×10^{19}	$M_{0ai}=M_{0a}/2$
		平均すべり量	D_{ai} (m)	7.70	$D_{ai}=M_{0ai}/(\mu S_{ai})$
		応力降下量	$\Delta\sigma_{ai}$ (MPa)	77.6	$\Delta\sigma_{ai}=\Delta\sigma_a$
	背景領域	面積	S_b (km ²)	688	$S_b=S-S_a$
		地震モーメント	M_{0b} (Nm)	9.57×10^{19}	$M_{0b}=M_0-M_{0a}$
		平均すべり量	D_b (m)	2.90	$D_b=M_{0b}/(\mu S_b)$
		実効応力	σ_b (MPa)	14.6	$\sigma_b=(D_b/W_b)/(D_a/W_a)\Delta\sigma_a$ $W_a=8.08\text{km}$, $W_b=16.17\text{km}$
高周波遮断周波数		f_{\max} (Hz)	18	浅野ほか(2004) ^(6.5) を参照	

第 6.6-11 表 「出戸西方断層による地震」 検討ケース一覧

	地震規模	地震 モーメント (Nm)	断層傾斜角 (°)	短周期レベル(Nm/s ²)
基本モデル	M _w 6.5 M7.0	7.51×10 ¹⁸	70	1.20×10 ¹⁹ (地震調査委員会(2016)に 基づく値)
短周期レベルの不確かさケース	M _w 6.5 M7.0	7.51×10 ¹⁸	70	1.80×10 ¹⁹ (地震調査委員会(2016)に 基づく値の1.5倍)
断層傾斜角の不確かさケース	M _w 6.7 M7.2	1.32×10 ¹⁹	45	1.39×10 ¹⁹ (地震調査委員会(2016)に 基づく値)
断層傾斜角と短周期レベルの 不確かさを重畳させたケース	M _w 6.7 M7.2	1.32×10 ¹⁹	45	2.08×10 ¹⁹ (地震調査委員会(2016)に 基づく値の1.5倍)

第 6.6-12 表 「出戸西方断層による地震」の断層パラメータ
(基本モデル)

断層パラメータ		設定値	設定方法		
巨視的断層パラメータ	走向	$\theta (^{\circ})$	0	地質調査結果に基づき設定	
	断層傾斜角	$\delta (^{\circ})$	70	地質調査結果に基づき設定	
	長さ	L (km)	28.7	六ヶ所地点の特性から得られる地震規模を上回るよう保守的に設定	
	幅	W (km)	12.8	地震発生層厚さと断層傾斜角から設定	
	断層面積	S (km ²)	367.4	S=L×W	
	上端深さ	h (km)	3.0	微小地震データ等を参考に設定	
	下端深さ	h (km)	15.0	微小地震データ等を参考に設定	
	地震モーメント	M ₀ (Nm)	7.51×10 ¹⁸	M ₀ =(S/4.24×10 ¹¹) ² ×10 ⁻⁷ (入倉・三宅 ⁽⁶⁷⁾)	
	気象庁マグニチュード	M	7.0	logM ₀ =1.17M+10.72 (武村 ⁽⁶⁶⁾)	
	モーメントマグニチュード	M _w	6.5	logM ₀ =1.5M _w +9.1 (Kanamori ⁽⁷¹⁾)	
	剛性率	μ (N/m ²)	2.94×10 ¹⁰	$\mu = \rho \beta^2$, $\rho = 2.7\text{g/cm}^3$	
	S波速度	β (km/s)	3.3	$\beta = \alpha / \sqrt{3}$ $\alpha = 5.8\text{km/s}$ (物理探査学会 ⁽⁶⁸⁾)	
	平均すべり量	D (cm)	69.5	D=M ₀ /(μ S)	
	平均応力降下量	$\Delta\sigma$ (MPa)	2.60	$\Delta\sigma = (7/16) (M_0/R^3)$	
	破壊伝播速度	V _r (km/s)	2.4	V _r =0.72 β (Geller ⁽⁶⁴⁾)	
短周期レベル	A (Nm/s ²)	1.04×10 ¹⁹	A=2.46×10 ¹⁰ ×(M ₀ ×10 ⁷) ^{1/3}		
微視的断層パラメータ	アスペリティ全体	面積	S _a (km ²)	50.4	S _a = πr^2 , $r=(7\pi M_0 \beta^2)/(4AR)$, $R=(S/\pi)^{0.5}$
		地震モーメント	M _{0a} (Nm)	2.07×10 ¹⁸	M _{0a} = $\mu S_a D_a$
		平均すべり量	D _a (cm)	139.7	Somerville et al. (1999) ⁽⁶²⁾
		応力降下量	$\Delta\sigma_a$ (MPa)	18.9	$\Delta\sigma_a=(S/S_a)\Delta\sigma$
		短周期レベル	A _a (Nm/s ²)	1.04×10 ¹⁹	A _a =4 $\pi (S_a/\pi)^{0.5}\Delta\sigma_a\beta^2$
	背景領域	面積	S _b (km ²)	317.0	S _b =S-S _a
		地震モーメント	M _{0b} (Nm)	5.44×10 ¹⁸	M _{0b} =M ₀ -M _{0a}
		平均すべり量	D _b (cm)	58.3	D _b =M _{0b} /(μS_b)
		実効応力	σ_b (MPa)	4.39	$\sigma_b=(D_b/W_b)/(D_a/W_a)\Delta\sigma_a$
		短周期レベル	A _b (Nm/s ²)	6.03×10 ¹⁸	A _b =4 $\pi (S_b/\pi)^{0.5}\sigma_b\beta^2$
高周波遮断周波数		f _{max} (Hz)	6	鶴来ほか ⁽⁷⁰⁾ (1997)	

第 6.6-13 表(1) 「出戸西方断層による地震」の断層パラメータ
(短周期レベルの不確かさケース)

断層パラメータ		設定値	設定方法		
巨視的断層パラメータ	走向	θ (°)	0	地質調査結果に基づき設定	
	断層傾斜角	δ (°)	70	地質調査結果に基づき設定	
	長さ	L (km)	28.7	六ヶ所地点の特性から得られる地震規模を上回るよう保守的に設定	
	幅	W (km)	12.8	地震発生層厚さと断層傾斜角から設定	
	断層面積	S (km ²)	367.4	S=L×W	
	上端深さ	h (km)	3.0	微小地震データ等を参考に設定	
	下端深さ	h (km)	15.0	微小地震データ等を参考に設定	
	地震モーメント	M ₀ (Nm)	7.51×10 ¹⁸	M ₀ =(S/4.24×10 ¹¹) ² ×10 ⁻⁷ (入倉・三宅(2001)) ^(6.7)	
	気象庁マグニチュード	M	7.0	logM ₀ =1.17M+10.72 (武村(1990)) ^(6.6)	
	モーメントマグニチュード	M _w	6.5	logM ₀ =1.5M _w +9.1 (Kanamori(1977)) ^(7.1)	
	剛性率	μ (N/m ²)	2.94×10 ¹⁰	$\mu = \rho \beta^2$, $\rho = 2.7\text{g/cm}^3$	
	S波速度	β (km/s)	3.3	$\beta = \alpha / \sqrt{3}$ $\alpha = 5.8\text{km/s}$ (物理探査学会(1989)) ^(6.8)	
	平均すべり量	D (cm)	69.5	D=M ₀ /(μ S)	
	平均応力降下量	$\Delta\sigma$ (MPa)	2.60	$\Delta\sigma = (7/16) (M_0/R^3)$	
	破壊伝播速度	V _r (km/s)	2.4	V _r =0.72 β (Geller(1976)) ^(6.4)	
短周期レベル	A (Nm/s ²)	1.04×10 ¹⁹	A=2.46×10 ¹⁰ ×(M ₀ ×10 ⁷) ^{1/3}		
微視的断層パラメータ	アスペリティ全体	面積	S _a (km ²)	50.4	S _a = πr^2 , r=(7 π M ₀ β^2)/(4AR), R=(S/ π) ^{0.5}
		地震モーメント	M _{0a} (Nm)	2.07×10 ¹⁸	M _{0a} = μ S _a D _a
		平均すべり量	D _a (cm)	139.7	Somerville et al. (1999) ^(6.2)
		応力降下量	$\Delta\sigma_a$ (MPa)	28.4	$\Delta\sigma_a = (S/S_a) \Delta\sigma$, 不確かさを考慮し1.5倍
		短周期レベル	A _a (Nm/s ²)	1.56×10 ¹⁹	A _a =4 π (S _a / π) ^{0.5} $\Delta\sigma_a \beta^2$
	背景領域	面積	S _b (km ²)	317.0	S _b =S-S _a
		地震モーメント	M _{0b} (Nm)	5.44×10 ¹⁸	M _{0b} =M ₀ -M _{0a}
		平均すべり量	D _b (cm)	58.3	D _b =M _{0b} /(μ S _b)
		実効応力	σ_b (MPa)	6.58	$\sigma_b = (D_b/W_b) / (D_a/W_a) \Delta\sigma_a$
		短周期レベル	A _b (Nm/s ²)	9.04×10 ¹⁸	A _b =4 π (S _b / π) ^{0.5} $\sigma_b \beta^2$
高周波遮断周波数		f _{max} (Hz)	6	鶴来ほか(1997) ^(7.0)	

第 6.6-13 表(2) 「出戸西方断層による地震」の断層パラメータ
(断層傾斜角の不確かさケース)

断層パラメータ		設定値	設定方法		
巨視的断層パラメータ	走向	θ (°)	0	地質調査結果に基づき設定	
	断層傾斜角	δ (°)	45	地質調査結果に不確かさを考慮し設定	
	長さ	L (km)	28.7	基本モデルの長さを採用	
	幅	W (km)	17.0	地震発生層厚さと断層傾斜角から設定	
	断層面積	S (km ²)	487.9	S=L×W	
	上端深さ	h (km)	3.0	微小地震データ等を参考に設定	
	下端深さ	h (km)	15.0	微小地震データ等を参考に設定	
	地震モーメント	M ₀ (Nm)	1.32×10 ¹⁹	M ₀ =(S/4.24×10 ¹¹) ² ×10 ⁻⁷ (入倉・三宅(2001)) ^(6.7)	
	気象庁マグニチュード [*]	M	7.2	logM ₀ =1.17M+10.72 (武村(1990)) ^(6.6)	
	モーメントマグニチュード [*]	M _w	6.7	logM ₀ =1.5M _w +9.1 (Kanamori(1977)) ^(7.1)	
	剛性率	μ (N/m ²)	2.94×10 ¹⁰	$\mu = \rho \beta^2$, $\rho = 2.7\text{g/cm}^3$	
	S波速度	β (km/s)	3.3	$\beta = \alpha / \sqrt{3}$ $\alpha = 5.8\text{km/s}$ (物理探査学会(1989)) ^(6.8)	
	平均すべり量	D (cm)	92.3	D=M ₀ /(μ S)	
	平均応力降下量	$\Delta\sigma$ (MPa)	2.99	$\Delta\sigma = (7/16) (M_0/R^3)$	
	破壊伝播速度	V _r (km/s)	2.4	V _r =0.72 β (Geller(1976)) ^(6.4)	
短周期レベル	A (Nm/s ²)	1.25×10 ¹⁹	A=2.46×10 ¹⁰ ×(M ₀ ×10 ⁷) ^{1/3}		
微視的断層パラメータ	アスベリテイ全体	面積	S _a (km ²)	80.9	S _a = πr^2 , $r=(7\pi M_0 \beta^2)/(4AR)$, $R=(S/\pi)^{0.5}$
		地震モーメント	M _{0a} (Nm)	4.41×10 ¹⁸	M _{0a} = $\mu S_a D_a$
		平均すべり量	D _a (cm)	185.5	Somerville et al. (1999) ^(6.2)
		応力降下量	$\Delta\sigma_a$ (MPa)	18.1	$\Delta\sigma_a=(S/S_a)\Delta\sigma$
		短周期レベル	A _a (Nm/s ²)	1.25×10 ¹⁹	A _a =4 $\pi (S_a/\pi)^{0.5}\Delta\sigma_a\beta^2$
	背景領域	面積	S _b (km ²)	407.0	S _b =S-S _a
		地震モーメント	M _{0b} (Nm)	8.83×10 ¹⁸	M _{0b} =M ₀ -M _{0a}
		平均すべり量	D _b (cm)	73.8	D _b =M _{0b} /(μS_b)
		実効応力	σ_b (MPa)	3.80	$\sigma_b=(D_b/W_b)/(D_a/W_a)\Delta\sigma_a$
		短周期レベル	A _b (Nm/s ²)	5.92×10 ¹⁸	A _b =4 $\pi (S_b/\pi)^{0.5}\sigma_b\beta^2$
高周波遮断周波数	f _{max} (Hz)	6	鶴来ほか(1997) ^(7.0)		

第 6.6-13 表(3) 「出戸西方断層による地震」の断層パラメータ

(断層傾斜角と短周期レベルの不確かさを重畳させたケース)

断層パラメータ		設定値	設定方法		
巨視的断層パラメータ	走向	$\theta (^{\circ})$	0	地質調査結果に基づき設定	
	断層傾斜角	$\delta (^{\circ})$	45	地質調査結果に不確かさを考慮し設定	
	長さ	L (km)	28.7	基本モデルの長さを採用	
	幅	W (km)	17.0	地震発生層厚さと断層傾斜角から設定	
	断層面積	S (km ²)	487.9	S=L×W	
	上端深さ	h (km)	3.0	微小地震データ等を参考に設定	
	下端深さ	h (km)	15.0	微小地震データ等を参考に設定	
	地震モーメント	M ₀ (Nm)	1.32×10 ¹⁹	M ₀ =(S/4.24×10 ¹¹) ² ×10 ⁻⁷ (入倉・三宅(2001)) ^(6.7)	
	気象庁マグニチュード	M	7.2	logM ₀ =1.17M+10.72 (武村(1990)) ^(6.8)	
	モーメントマグニチュード	M _w	6.7	logM ₀ =1.5M _w +9.1 (Kanamori(1977)) ^(7.1)	
	剛性率	μ (N/m ²)	2.94×10 ¹⁰	$\mu = \rho \beta^2$, $\rho = 2.7\text{g/cm}^3$	
	S波速度	β (km/s)	3.3	$\beta = \alpha / \sqrt{3}$ $\alpha = 5.8\text{km/s}$ (物理探査学会(1989)) ^(6.8)	
	平均すべり量	D (cm)	92.3	D=M ₀ /(μ S)	
	平均応力降下量	$\Delta\sigma$ (MPa)	2.99	$\Delta\sigma = (7/16) (M_0/R^3)$	
	破壊伝播速度	V _r (km/s)	2.4	V _r =0.72 β (Geller(1976)) ^(6.4)	
短周期レベル	A (Nm/s ²)	1.25×10 ¹⁹	A =2.46×10 ¹⁰ ×(M ₀ ×10 ⁷) ^{1/3}		
微視的断層パラメータ	アスペリティ全体	面積	S _a (km ²)	80.9	S _a = πr^2 , $r=(7\pi M_0 \beta^2)/(4AR)$, $R=(S/\pi)^{0.5}$
		地震モーメント	M _{0a} (Nm)	4.41×10 ¹⁸	M _{0a} = $\mu S_a D_a$
		平均すべり量	D _a (cm)	185.5	Somerville et al. (1999) ^(6.2)
		応力降下量	$\Delta\sigma_a$ (MPa)	27.1	$\Delta\sigma_a = (S/S_a) \Delta\sigma$, 不確かさを考慮し 1.5 倍
		短周期レベル	A _a (Nm/s ²)	1.88×10 ¹⁹	A _a =4 $\pi (S_a/\pi)^{0.5} \Delta\sigma_a \beta^2$
	背景領域	面積	S _b (km ²)	407.0	S _b =S-S _a
		地震モーメント	M _{0b} (Nm)	8.83×10 ¹⁸	M _{0b} =M ₀ -M _{0a}
		平均すべり量	D _b (cm)	73.8	D _b =M _{0b} /(μS_b)
		実効応力	σ_b (MPa)	5.70	$\sigma_b = (D_b/W_b)/(D_a/W_a) \Delta\sigma_a$
		短周期レベル	A _b (Nm/s ²)	8.88×10 ¹⁸	A _b =4 $\pi (S_b/\pi)^{0.5} \sigma_b \beta^2$
高周波遮断周波数		f _{max} (Hz)	6	鶴来ほか(1997) ^(7.0)	

第 6.6-14 表 各距離減衰式の概要

距離減衰式	DB 対象地域	地震タイプ	主なパラメータ	M_w の範囲	距離の範囲	地盤条件・種別
Kanno et al. (2006) ^(4.5)	主に国内	内陸 プレート間 プレート内	M_s , 断層最短距離, 震源深さ, V_{s30} [*]	5.5~8.2	1~500km	100< V_{s30} <1400m/s
Zhao et al. (2006) ^(4.6)			M_s , 断層最短距離, 震源深さ	5.0~8.3	0.3~300km	Soft soil~Hard rock(Hard rock $V_s=2000$ m/s)
内山・翠川 (2006) ^(4.7)	日本周辺		M_s , 断層最短距離, 震源深さ	5.5~8.3	300km 以内	150 $\leq V_{s30} \leq 750$ m/s
片岡ほか (2006) ^(4.8)	国内	内陸 海溝性	M_s , 断層最短距離, 短周期レベル	陸: 4.9~6.9 海: 5.2~8.2	250km 以内	I 種, II 種, III 種地盤 および工学的基盤
Abrahamson et al. (2014) ^(4.9)	国内外	内陸	M_s , 断層最短距離, V_{s30} , 断層上端深さ	3.0~8.5	0~300km	180 $\leq V_{s30} \leq 1000$ m/s
Boore et al. (2014) ^(5.0)	国内外	内陸	M_s , 断層面の地表投影面 への最短距離, V_{s30}	3.0~8.5 (横ずれ, 逆断層) 3.0~7.0 (正断層)	0~400km	150 $\leq V_{s30} \leq 1500$ m/s
Campbell et al. (2014) ^(5.1)	国内外	内陸	M_s , 断層最短距離, V_{s30} , 断層上端深さ	3.3~8.5 (横ずれ断層) 3.3~8.0 (逆断層) 3.3~7.5 (正断層)	0~300km	150 $\leq V_{s30} \leq 1500$ m/s
Chiou et al. (2014) ^(5.2)	国内外	内陸	M_s , 断層最短距離, V_{s30} , 断層上端深さ	3.5~8.5 (横ずれ断層) 3.5~8.0 (逆・正断層)	0~300km	180 $\leq V_{s30} \leq 1500$ m/s
Idriss (2014) ^(5.3)	国内外	内陸	M_s , 断層最短距離, V_{s30}	5 $\leq M_w$	≤ 150 km	450m/s $\leq V_{s30}$

* V_{s30} =表層地盤（地表からおよそ 30m の深さまで）の平均 S 波速度

第 6.6-15 表 要素地震の震源パラメータ（内陸地殻内地震）

発生日 ^{※1}	北緯 ^{※1} (°)	東経 ^{※1} (°)	深さ ^{※1} (k m)	M ^{※1}	M ₀ ^{※2} (Nm)	走向 ^{※2} (°)	断層 傾斜角 ^{※2} (°)	すべり角 ^{※2} (°)	品質 ^{※2}
1999. 9. 13	40. 9317	141. 2670	14. 72	4. 0	1. 26E+15	194;32	66;25	83;106	91. 99

※1：気象庁カタログ⁽¹⁰⁾による。

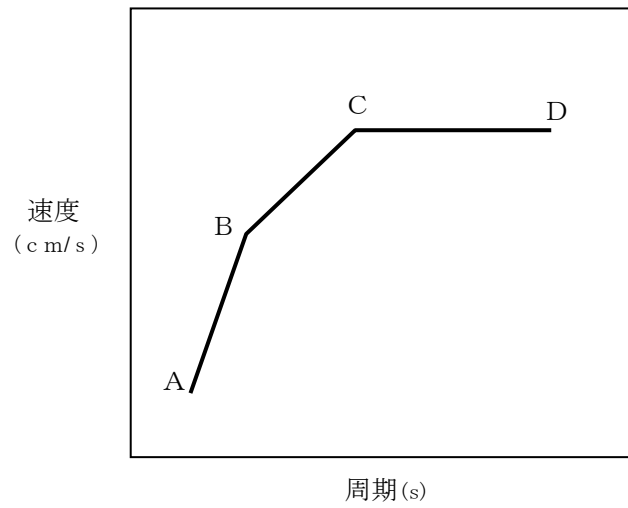
※2：防災科学技術研究所F-net⁽⁷⁹⁾による。

第 6.6-16 表 検討対象地震

No.	地震名	日時	規模
1	2008 年岩手・宮城内陸地震	2008/ 6/14, 8:43	M _w 6.9
2	2000 年鳥取県西部地震	2000/10/ 6, 13:30	M _w 6.6
3	2011 年長野県北部地震	2011/ 3/12, 3:59	M _w 6.2
4	1997 年 3 月鹿児島県北西部地震	1997/ 3/26, 17:31	M _w 6.1
5	2003 年宮城県北部地震	2003/ 7/26, 7:13	M _w 6.1
6	1996 年宮城県北部（鬼首）地震	1996/ 8/11, 3:12	M _w 6.0
7	1997 年 5 月鹿児島県北西部地震	1997/ 5/13, 14:38	M _w 6.0
8	1998 年岩手県内陸北部地震	1998/ 9/ 3, 16:58	M _w 5.9
9	2011 年静岡県東部地震	2011/ 3/15, 22:31	M _w 5.9
10	1997 年山口県北部地震	1997/ 6/25, 18:50	M _w 5.8
11	2011 年茨城県北部地震	2011/ 3/19, 18:56	M _w 5.8
12	2013 年栃木県北部地震	2013/ 2/25, 16:23	M _w 5.8
13	2004 年北海道留萌支庁南部地震	2004/12/14, 14:56	M _w 5.7
14	2005 年福岡県西方沖地震の最大余震	2005/ 4/20, 6:11	M _w 5.4
15	2012 年茨城県北部地震	2012/ 3/10, 2:25	M _w 5.2
16	2011 年和歌山県北部地震	2011/ 7/ 5, 19:18	M _w 5.0

第 6.6-17 表 $S_s - A_H$, $S_s - A_V$ の設計用応答スペクトルの
 のコントロールポイント

応答スペクトル		コントロールポイント			
		A	B	C	D
$S_s - A_H$	周期 (s)	0.02	0.09	0.523	5
	速度 (cm/s)	2.229	22.92	100	100
$S_s - A_V$	周期 (s)	0.02	0.09	0.523	5
	速度 (cm/s)	1.487	15.28	70	70



第 6.6-18 表 設計用模擬地震波 $S_s - A_H$, $S_s - A_V$ の振幅包絡線の経時的変化

基準地震動	継続時間 (s)	振幅包絡線の経時的変化 (s)		
		T_b	T_c	T_d
$S_s - A_H$	136.88	16.6	47.5	136.88
$S_s - A_V$	136.88	16.6	47.5	136.88

第 6.6-19 表 設計用模擬地震波 $S_s - A_H$, $S_s - A_V$ の作成結果

基準地震動	最大加速度 (cm/s^2)	SI 比	応答スペクトル比		
			平均値	最小値	標準偏差
$S_s - A_H$	700	1.03	1.02	0.95	0.03
$S_s - A_V$	467	1.04	1.01	0.89	0.02

$$SI \text{比} = \frac{\int_{0.1}^{2.5} Sv(T) dt}{\int_{0.1}^{2.5} \bar{Sv}(T) dt}$$

$Sv(T)$: 設計用模擬地震波の応答スペクトル (cm/s)

$\bar{Sv}(T)$: 目標とする設計用応答スペクトル (cm/s)

T : 固有周期 (s)

第 6.6-20 表 基準地震動 S s - B 1 ~ B 5

基準地震動		NS 方向	EW 方向	UD 方向
S s - B 1	出戸西方断層による地震 (短周期レベルの不確かさケース) [破壊開始点 2]	410	487	341
S s - B 2	出戸西方断層による地震 (短周期レベルと断層傾斜角の不確かさを重畳させたケース) [破壊開始点 1]	429	445	350
S s - B 3	出戸西方断層による地震 (短周期レベルと断層傾斜角の不確かさを重畳させたケース) [破壊開始点 2]	443	449	406
S s - B 4	出戸西方断層による地震 (短周期レベルと断層傾斜角の不確かさを重畳させたケース) [破壊開始点 3]	538	433	325
S s - B 5	出戸西方断層による地震 (短周期レベルと断層傾斜角の不確かさを重畳させたケース) [破壊開始点 4]	457	482	370

第 6.6-21 表 基準地震動 S s - C 1 ~ C 4

基準地震動		NS 方向	EW 方向	UD 方向
S s - C 1	2004 年北海道留萌支庁南部地震 (K - N E T 港町)	620		320
S s - C 2	2008 年岩手・宮城内陸地震 (栗駒ダム[右岸地山])	450 ^{※1}	490 ^{※2}	320
S s - C 3	2008 年岩手・宮城内陸地震 (K i K - n e t 金ヶ崎)	430	400	300
S s - C 4	2008 年岩手・宮城内陸地震 (K i K - n e t 一関東)	540	500	—

※ 1 : ダム軸方向

※ 2 : 上下流方向

第 6.6-22 表 ロジックツリーに反映する活断層の諸元
 (特定震源 出戸西方断層以外の断層による地震)

震源として考慮する活断層 (出戸西方断層は除く)	断層長さ (k m)	M	平均活動間隔 (年)	等価震源距離 χ_{eq} (k m)
横浜断層	15	6.8	24,000	22
上原子断層～七戸西方断層	51	7.7	83,000	42
折爪断層	53	7.7	8,300	70
青森湾西岸断層帯	31	7.3	4,500	63
津軽山地西縁断層帯北部	16	7.3	2,400	62
津軽山地西縁断層帯南部	23	7.3	3,600	60
F-a 断層	20	7.0	3,100	60
F-b 断層	15	6.8	2,400	60
F-c 断層	15	6.8	2,400	41
F-d 断層	6	6.8	2,400	15

第 6.6-23 表(1) 各領域における最大地震規模
(領域震源 プレート間地震)

領域震源区分※1	地震調査委員会 モデル 1	地震調査委員会 モデル 2
①十勝根室※2	6.9	8.0
	7.1	
②三陸沖北部※2	7.0	7.9
	7.1~7.6	
③三陸～房総沖海溝寄り	8.0	8.0
④三陸沖中部	8.0	8.2

※1：領域震源区分は、地震調査委員会⁽⁴³⁾(2013)による。

※2：地震調査委員会モデル 1 の上段は震源不特定、下段は繰り返し以外の特定震源の地震規模を示す。

第 6.6-23 表(2) 各領域における最大地震規模
(領域震源 海洋プレート内地震)

領域震源区分※1	地震調査委員会 モデル 1	地震調査委員会 モデル 2
①三陸沖北部 ②三陸沖中部 ③東北陸側プレート内	7.5	8.2
④十勝根室 ⑤千島陸側プレート内※2	7.5	8.2
	8.2	
	7.5	
⑥三陸～房総沖海溝寄り	8.2	8.2

※1：領域震源区分は、地震調査委員会⁽⁴³⁾ (2013) による。

※2：地震調査委員会モデル 1 の上段は震源不特定，中段はやや浅い地震，下段はやや深い地震を示す。

第 6.6-23 表(3) 各領域における最大地震規模
(領域震源 内陸地殻内地震)

領域震源区分※1	地震調査委員会 モデル 1	地震調査委員会 モデル 2
①東北日本弧外帯	6.8	7.3
②東北日本弧内帯	7.2	7.3
③東北日本弧外帯北部※2	6.8	7.3
④東北日本弧内帯北部※2	7.2	7.3
⑤千島弧外帯西端部	6.8	7.3
⑥浦河沖※3	7.1	7.3
⑦礼文樺戸帯	6.8	7.3
⑧日本海東縁変動帯	7.3	7.5

※1：領域震源区分は、地震調査委員会⁽⁴³⁾による。

※2：東北日本弧外帯（内帯）のうち、北緯 40° ~43° の範囲に限定した小領域

※3：千島弧外帯西端部のうち、地震調査委員会⁽⁷²⁾において、「浦河沖の震源断層を予め特定しにくい地震」の地域区分に設定されている小領域

第 6.6-24 表 解放基盤表面以浅の地盤モデル

(a) 第 1 ガラス固化体貯蔵建屋 (西側地盤)

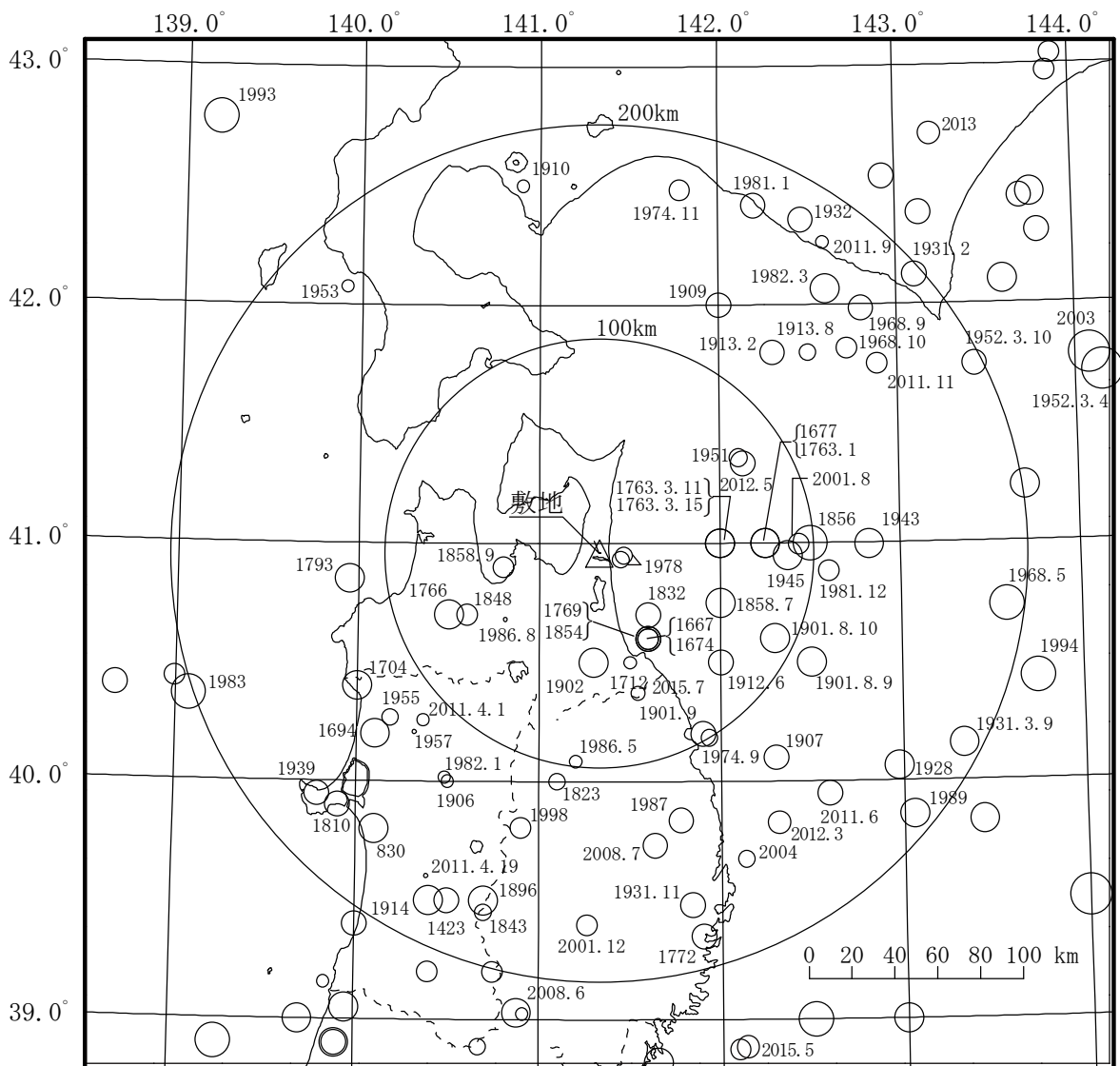
標高 T. M. S. L. (m)	単位体積重量 (kN/m ³)	ポアソン比 ν_d	S波速度 V_S (m/s)	P波速度 V_P (m/s)	せん断弾性 係数G ($\times 10^3$ N/m ²)	減衰定数 h (%)
建屋底面▽ 35.2	15.9	0.438	570	1720	527	3.0
17.0						
-22.0						
-50.0						
解放基盤表面▼ -70.0						
	15.6	0.432	580	1680	535	
	16.4	0.431	590	1690	582	
	17.0	0.409	730	1860	923	
	15.9	0.404	780	1940	987	

(b) 前処理建屋 (中央地盤)

標高 T. M. S. L. (m)	単位体積重量 (kN/m ³)	ポアソン比 ν_d	S波速度 V_S (m/s)	P波速度 V_P (m/s)	せん断弾性 係数G ($\times 10^3$ N/m ²)	減衰定数 h (%)
建屋底面▽ 33.2	18.2	0.406	760	1910	1075	3.0
22.0						
4.0						
解放基盤表面▼ -70.0						
	18.2	0.399	800	1950	1192	
	17.8	0.393	820	1950	1225	
	17.0	0.393	820	1950	1164	

(c) ウラン・プルトニウム混合酸化物貯蔵建屋 (東側地盤)

標高 T. M. S. L. (m)	単位体積重量 (kN/m ³)	ポアソン比 ν_d	S波速度 V_S (m/s)	P波速度 V_P (m/s)	せん断弾性 係数G ($\times 10^3$ N/m ²)	減衰定数 h (%)
建屋底面▽ 35.0	15.7	0.435	580	1710	538	3.0
23.0						
-18.0						
解放基盤表面▼ -70.0						
	15.3	0.407	740	1870	855	
	17.4	0.381	890	2030	1403	
	18.1	0.370	930	2050	1601	

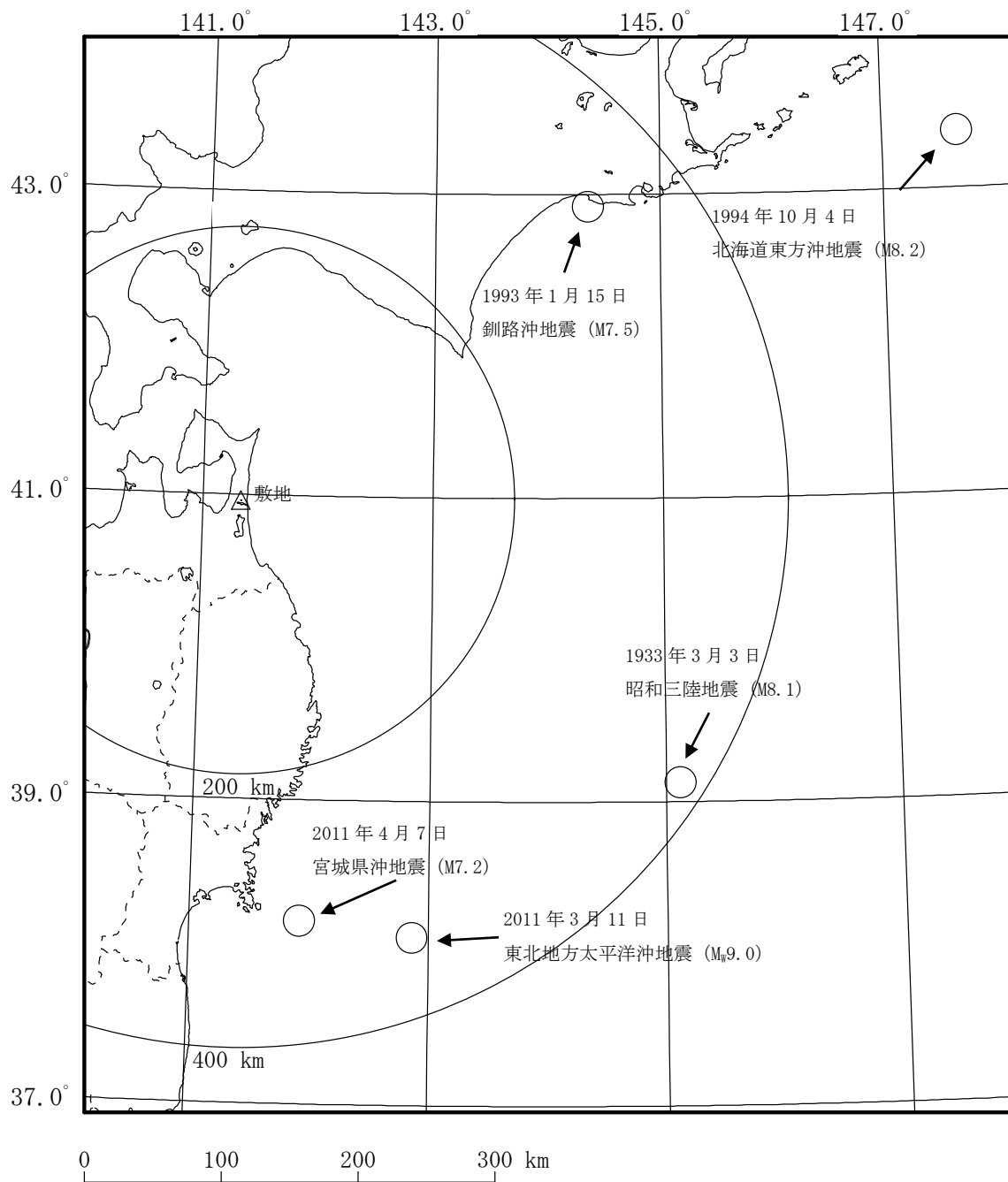


図中の数字は地震発生年（同年（同年月）の地震が複数存在する場合には年月（年月日））

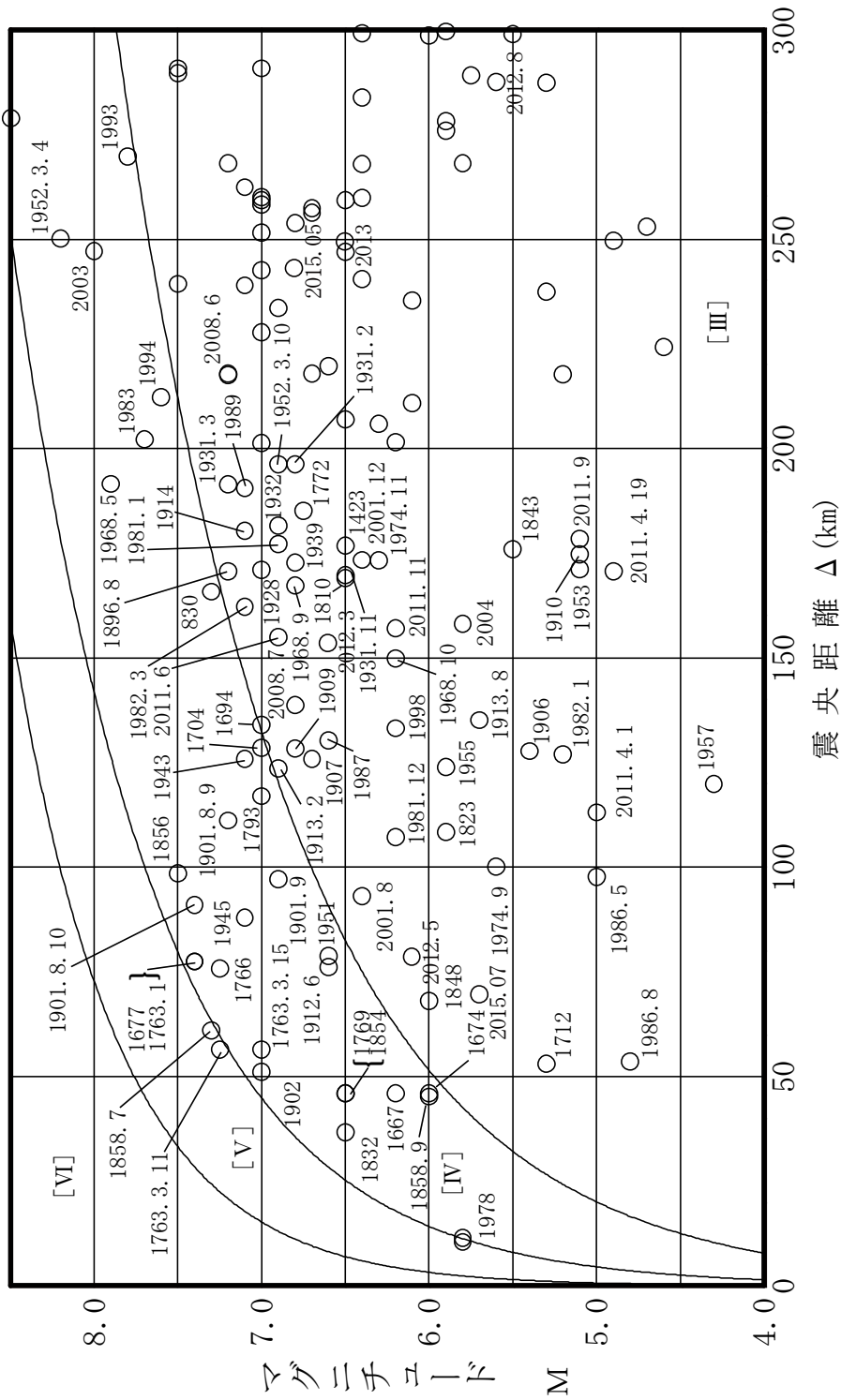
地震諸元は、1884年以前の地震については「日本被害地震総覧⁽⁷⁾」による値を、1885年以降1922年以前の地震については「宇津カタログ⁽⁹⁾」(1982)による値を、1923年以降の地震については「気象庁地震カタログ⁽¹⁰⁾」による値を用いている。

凡例	
○	8.0 ≤ M
○	7.5 ≤ M < 8.0
○	7.0 ≤ M < 7.5
○	6.5 ≤ M < 7.0
○	6.0 ≤ M < 6.5
○	5.5 ≤ M < 6.0
○	5.0 ≤ M < 5.5
●	M < 5.0

第 6.2-1 図(1) 敷地周辺の被害地震の震央分布
(敷地からの震央距離 200 km 程度以内)



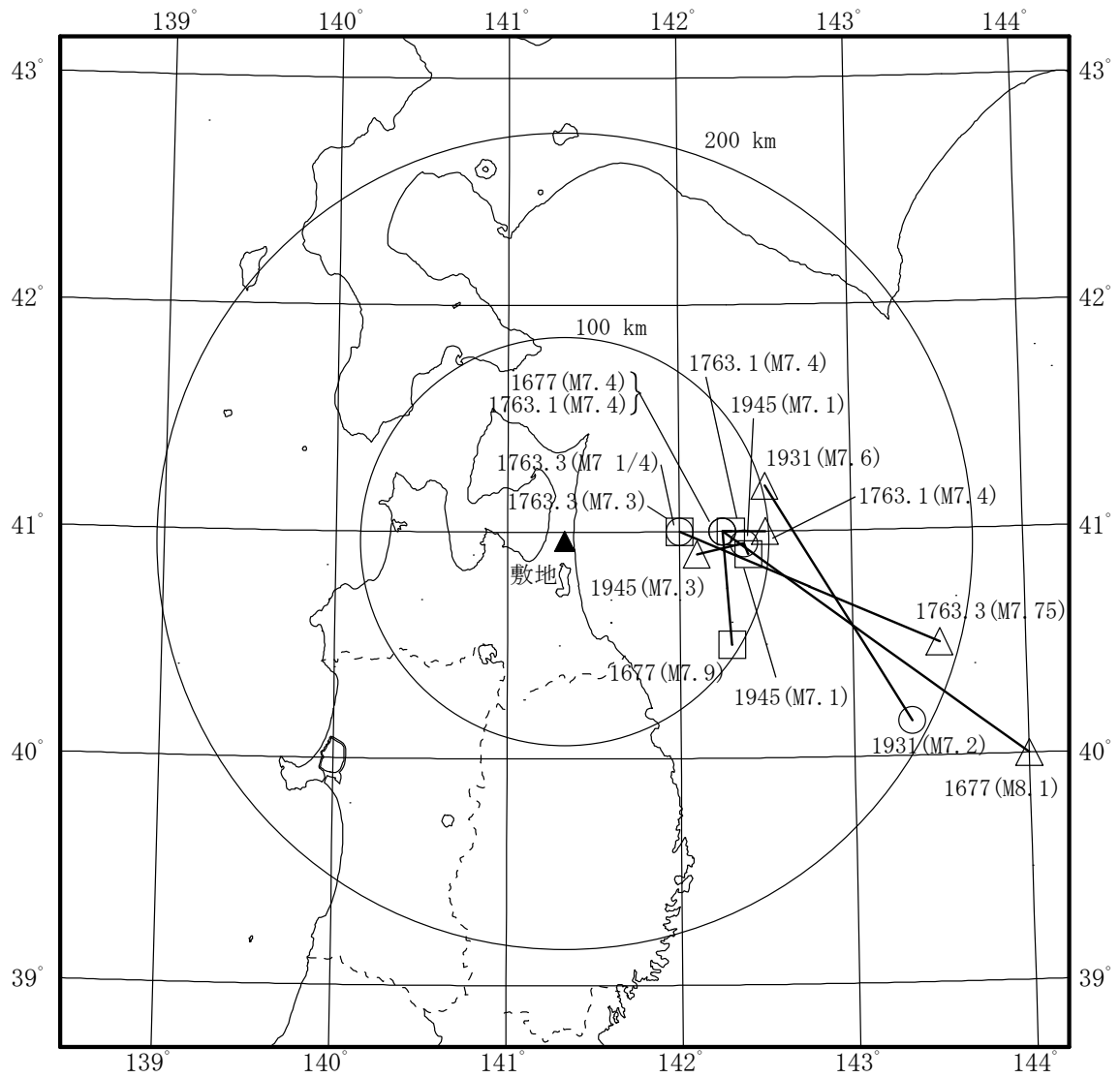
第 6.2-1 図(2) 敷地周辺の被害地震の震央分布
(敷地からの震央距離 200 km 程度以遠)



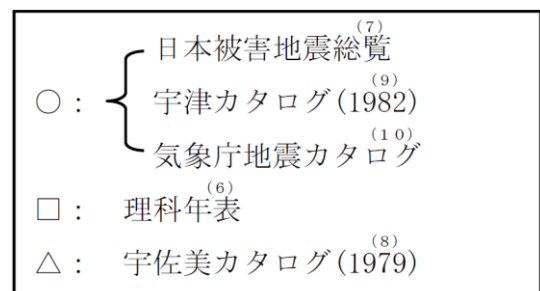
図中の数字は地震発生年（同年（同年月）の地震が複数存在する場合には年月（年月日））

注) [III]～[VI]は気象庁震度階級で、村松^(1.5)（1969）、勝又・徳永^(1.6)（1971）による。

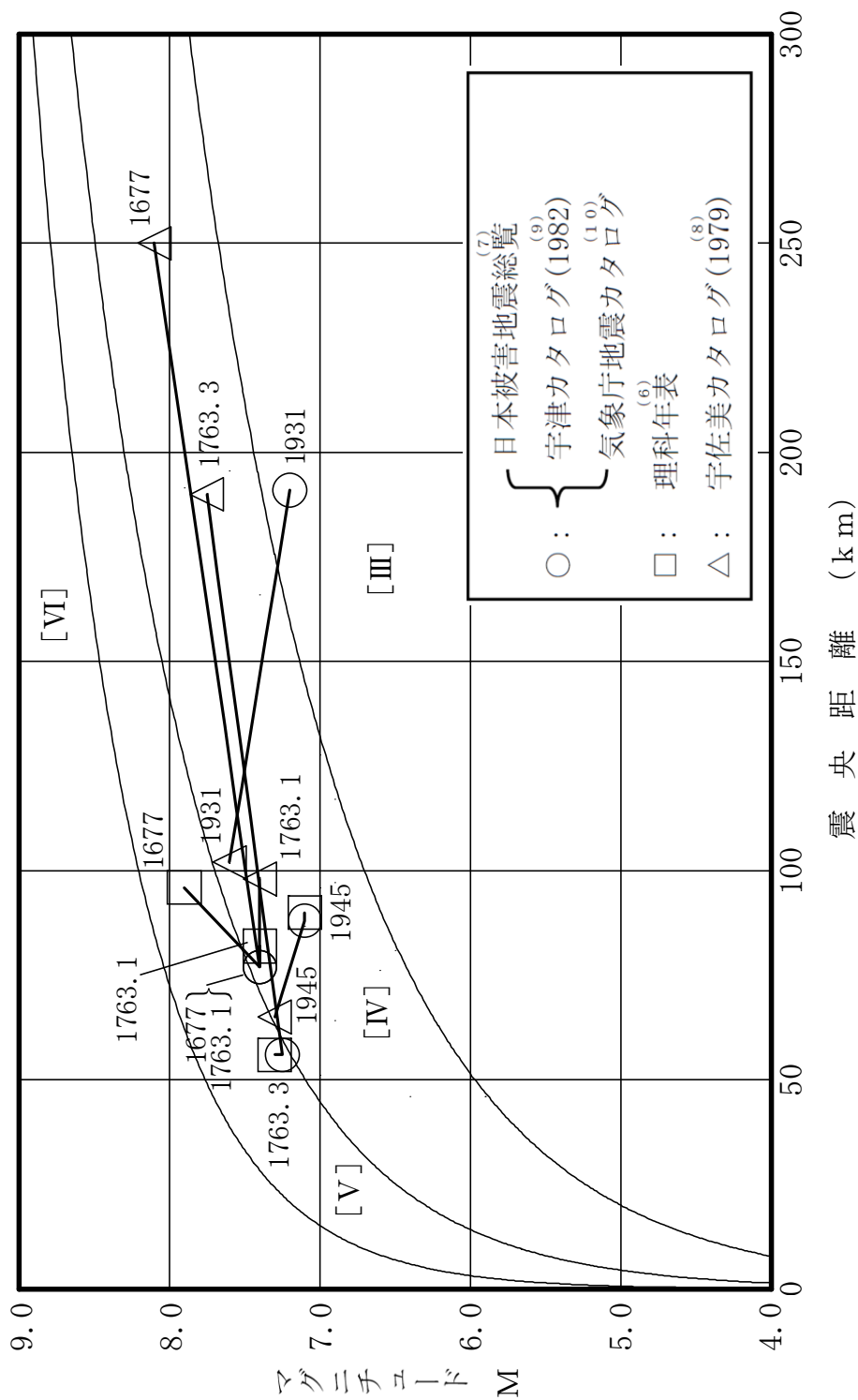
第6.2-2図 敷地周辺の被害地震のマグニチュード-震央距離



図中の数字は地震発生年（同年の地震が複数存在する場合には年月）



第 6.2-3 図 地震カタログ間で差異のみられる地震の震央分布

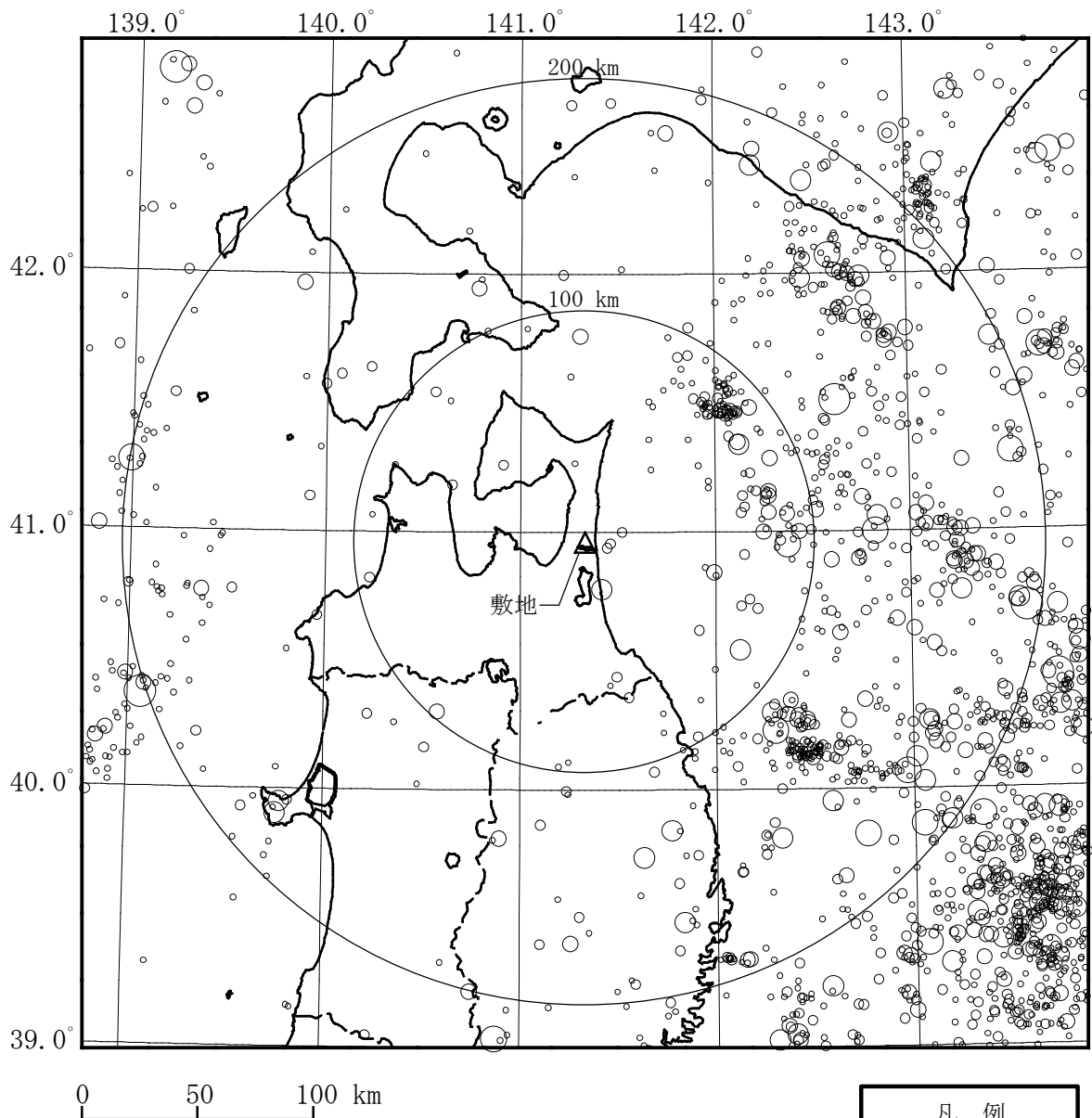


震 央 距 離 (k m)

図中の数字は地震発生年 (同年の地震が複数存在する場合には年月)

注) [III]~[VI]は気象庁震度階級で, 村松 (1969), 勝又・徳永 (1971) による。

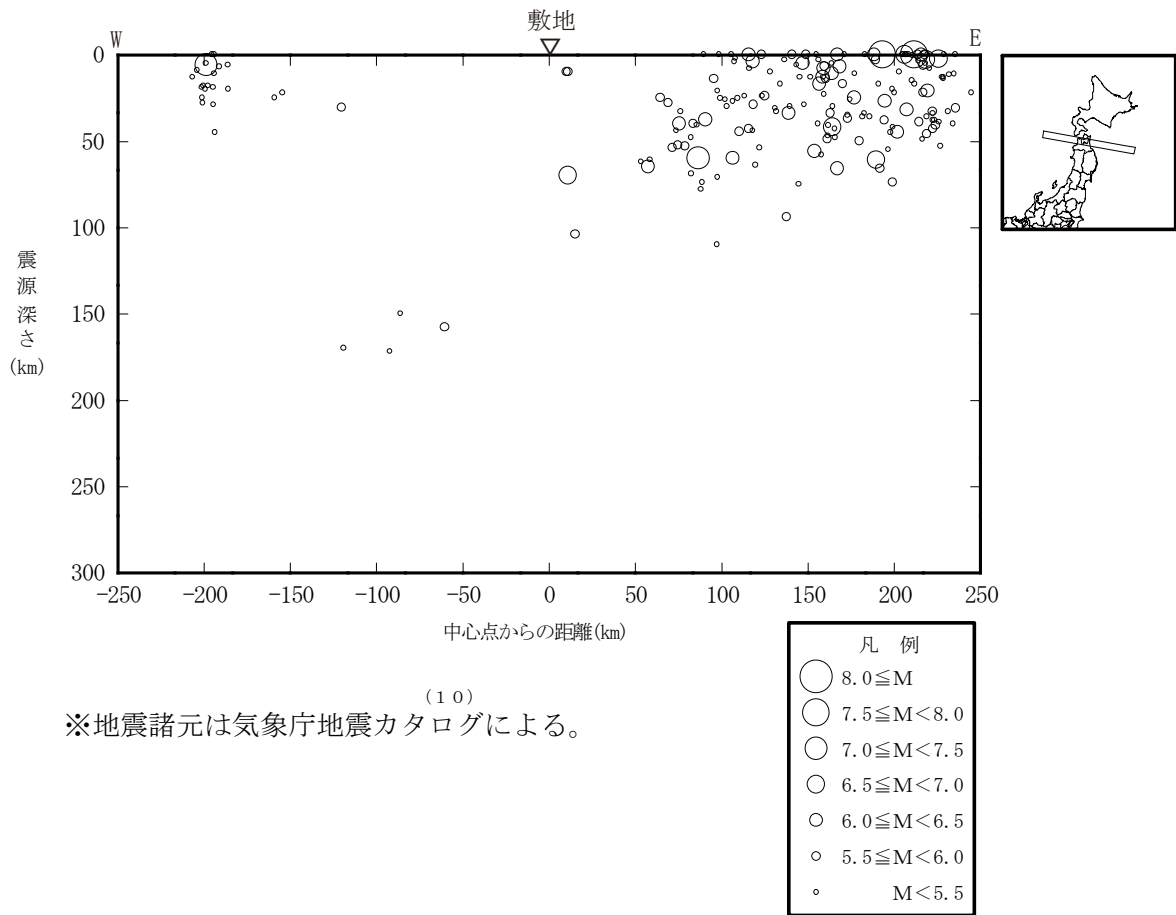
第 6.2-4 図 地震カタログ間の差異による敷地への影響度の比較



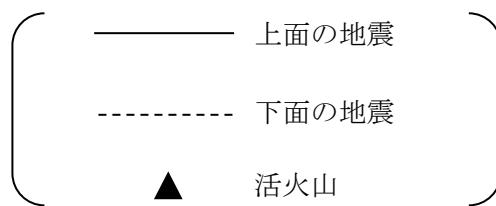
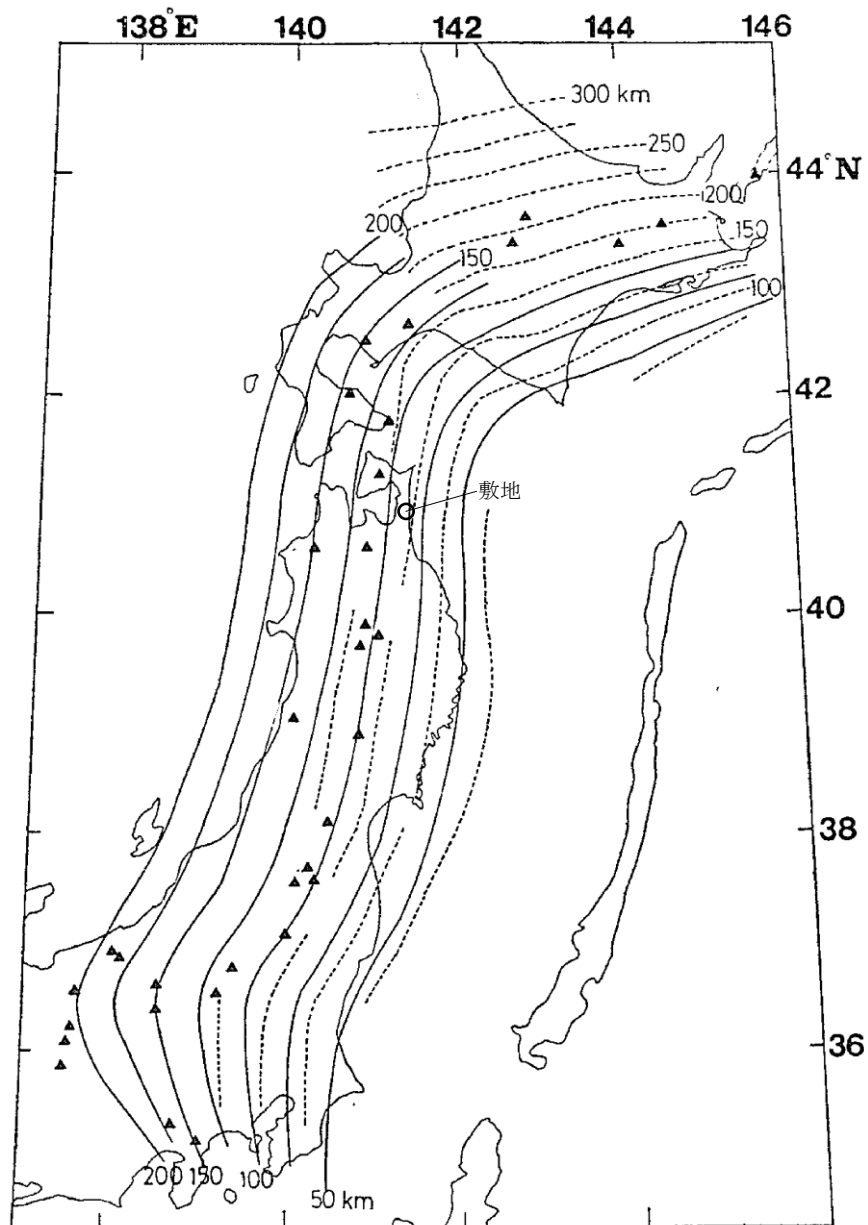
(10)
 ※地震諸元は気象庁地震カタログによる。

凡例	
○	$8.0 \leq M$
○	$7.5 \leq M < 8.0$
○	$7.0 \leq M < 7.5$
○	$6.5 \leq M < 7.0$
○	$6.0 \leq M < 6.5$
○	$5.5 \leq M < 6.0$
○	$M < 5.5$

第 6.2-5 図 敷地周辺におけるM5.0 以上の中地震の震央分布
 (1923 年～2015 年 7 月)

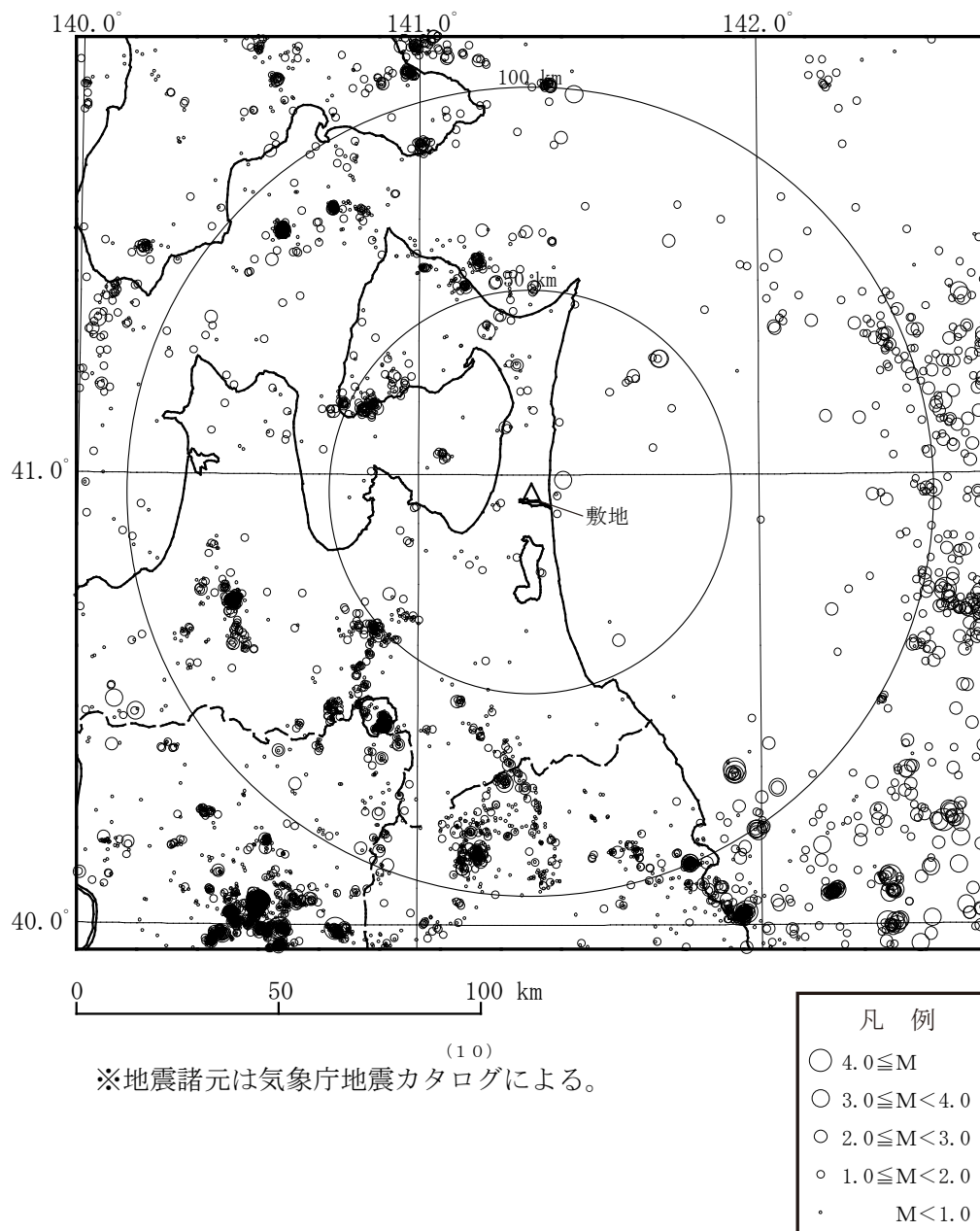


第 6.2-6 図 敷地周辺におけるM5.0 以上の中地震の震源鉛直分布
(1923 年～2015 年 7 月)

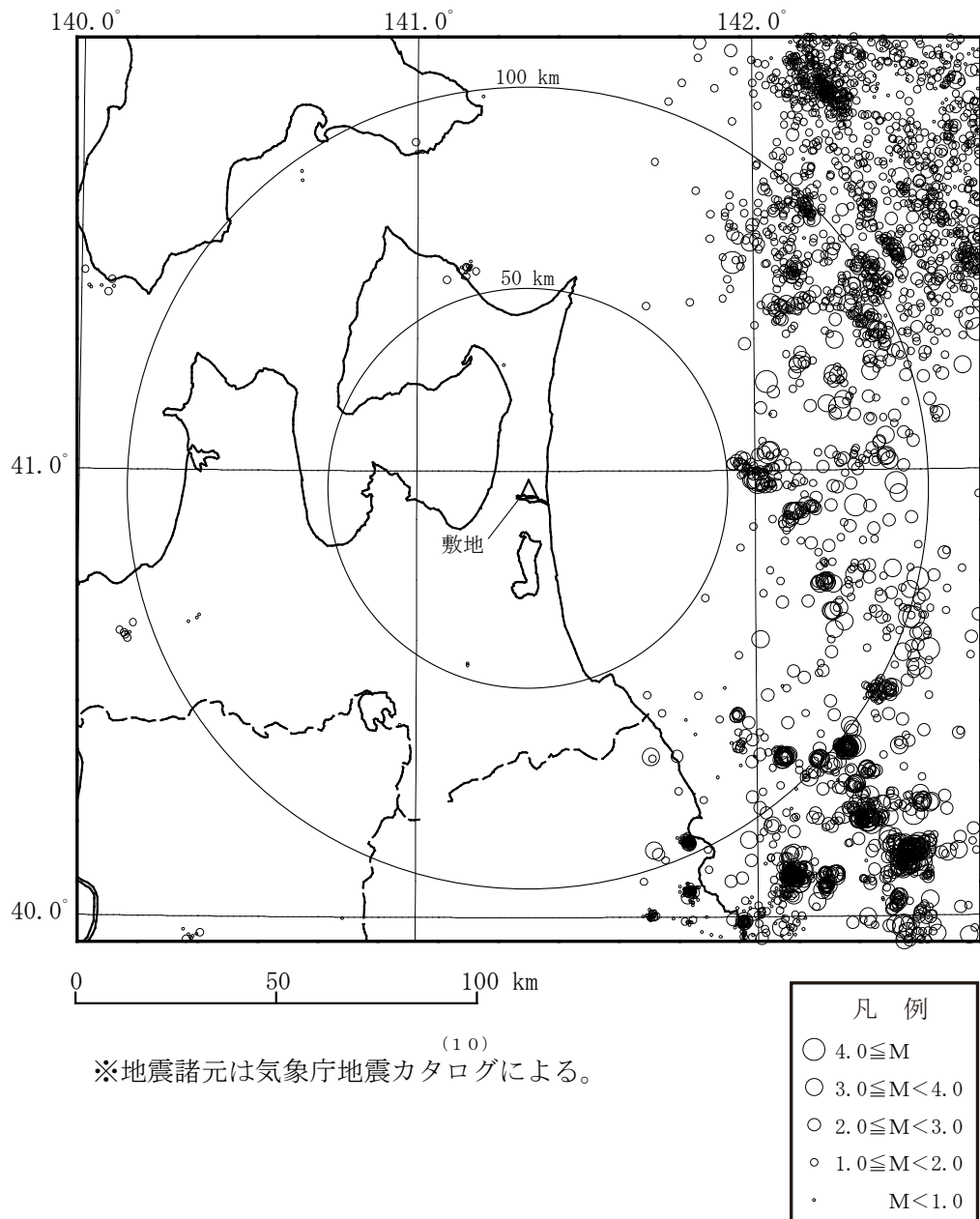


(60)
 ※長谷川ほか (1983) より抜粋・一部加筆

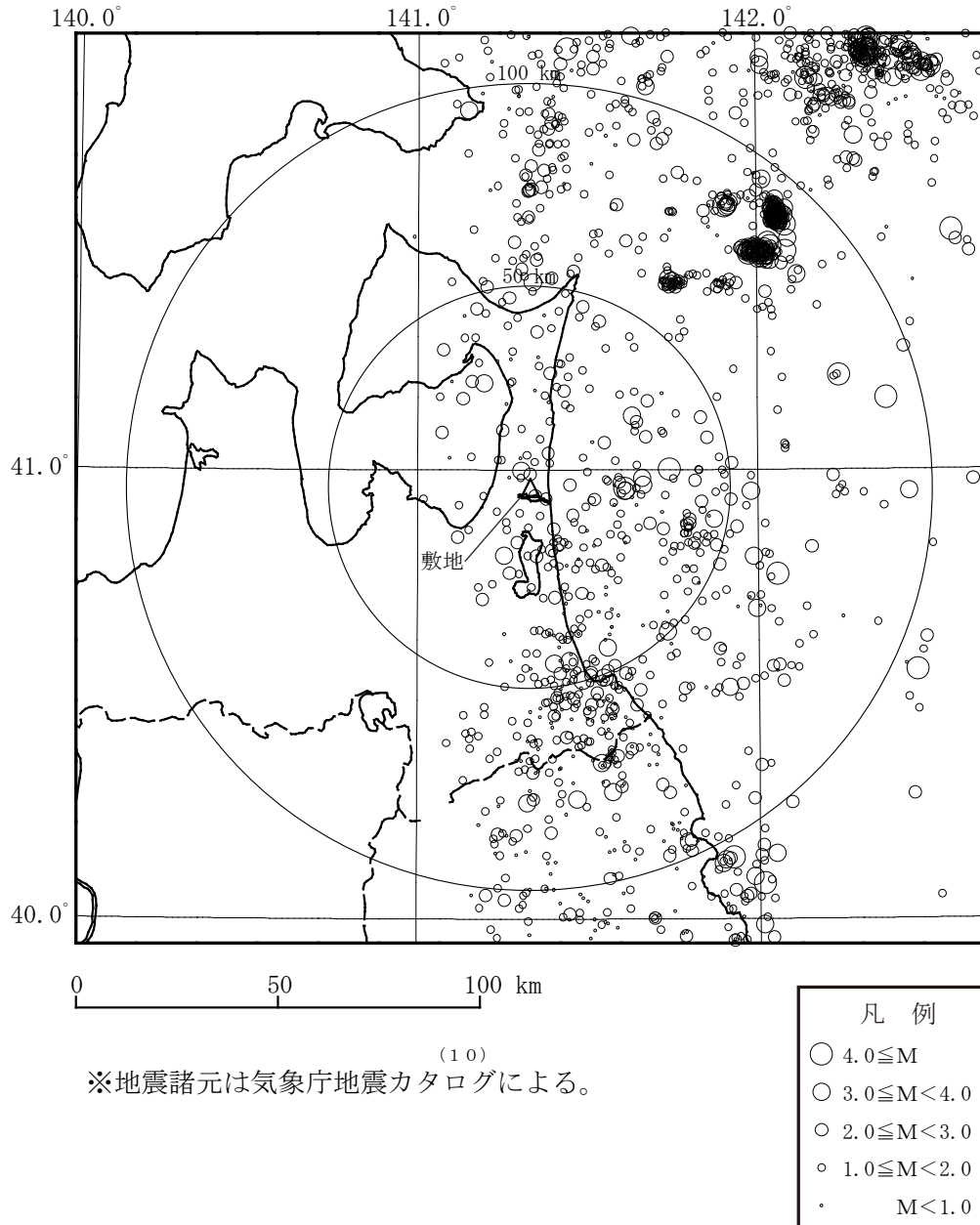
第 6.2-7 図 深発地震面の等深線



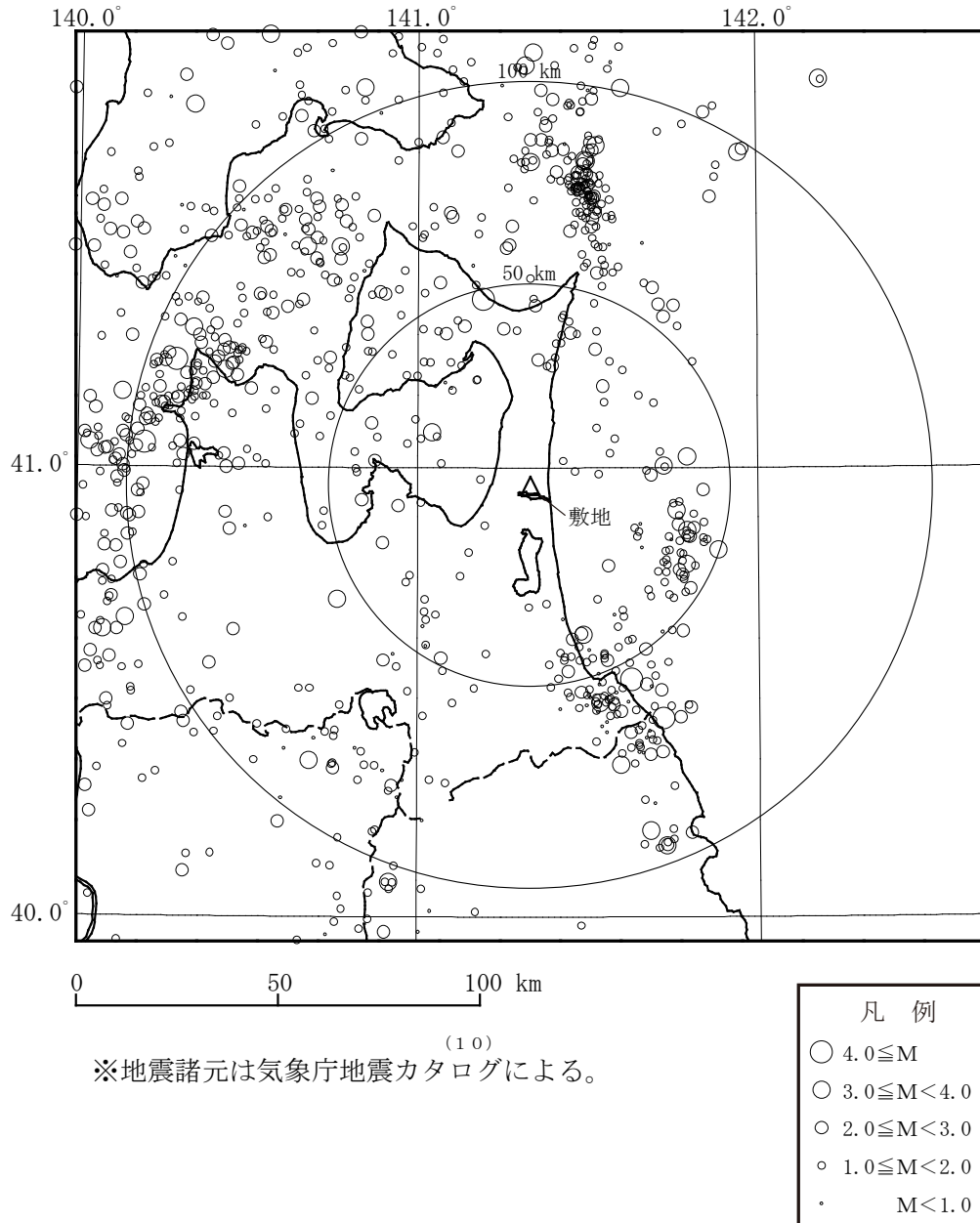
第 6.2-8 図(1) 敷地周辺におけるM5.0 以下の小・微小地震の震央分布
(震源深さ 0 ~ 30 km, 2012 年 ~ 2015 年 7 月)



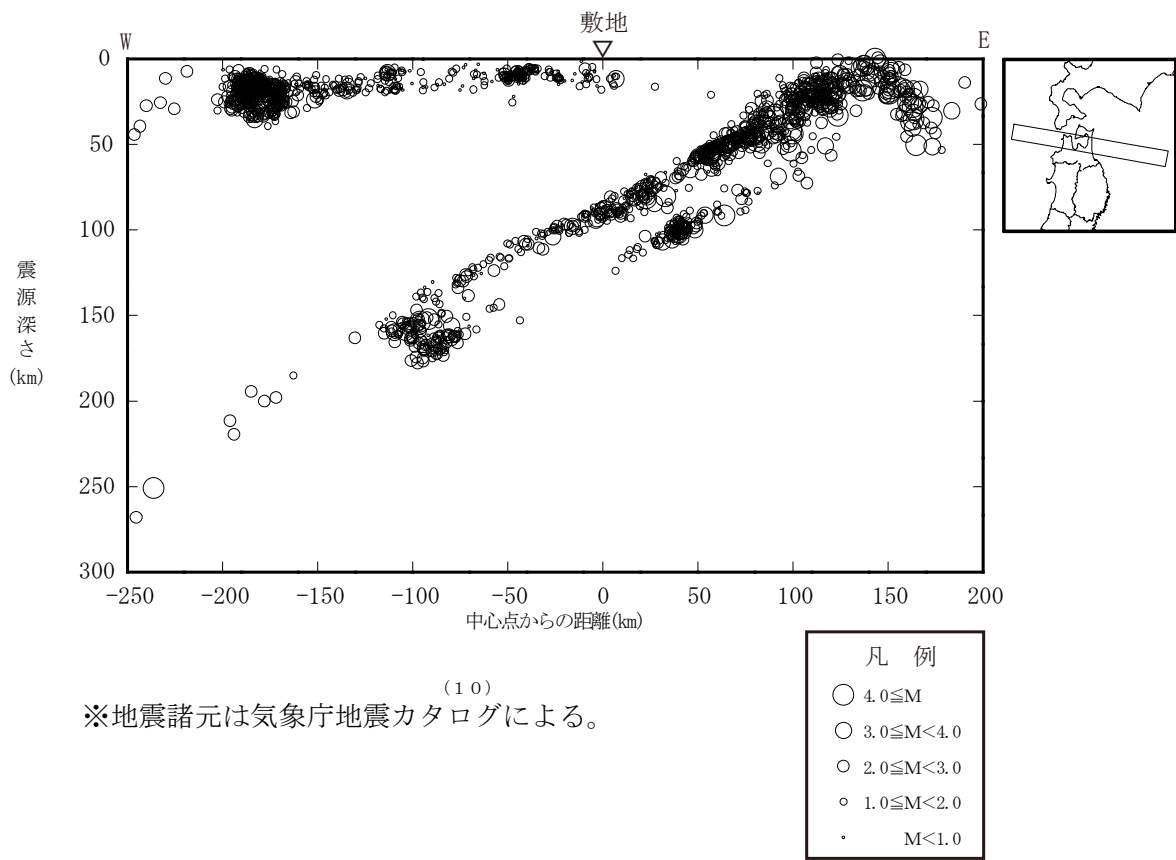
第 6.2-8 図(2) 敷地周辺におけるM5.0 以下の小・微小地震の震央分布
(震源深さ 30~60 k m, 2012 年~2015 年 7 月)



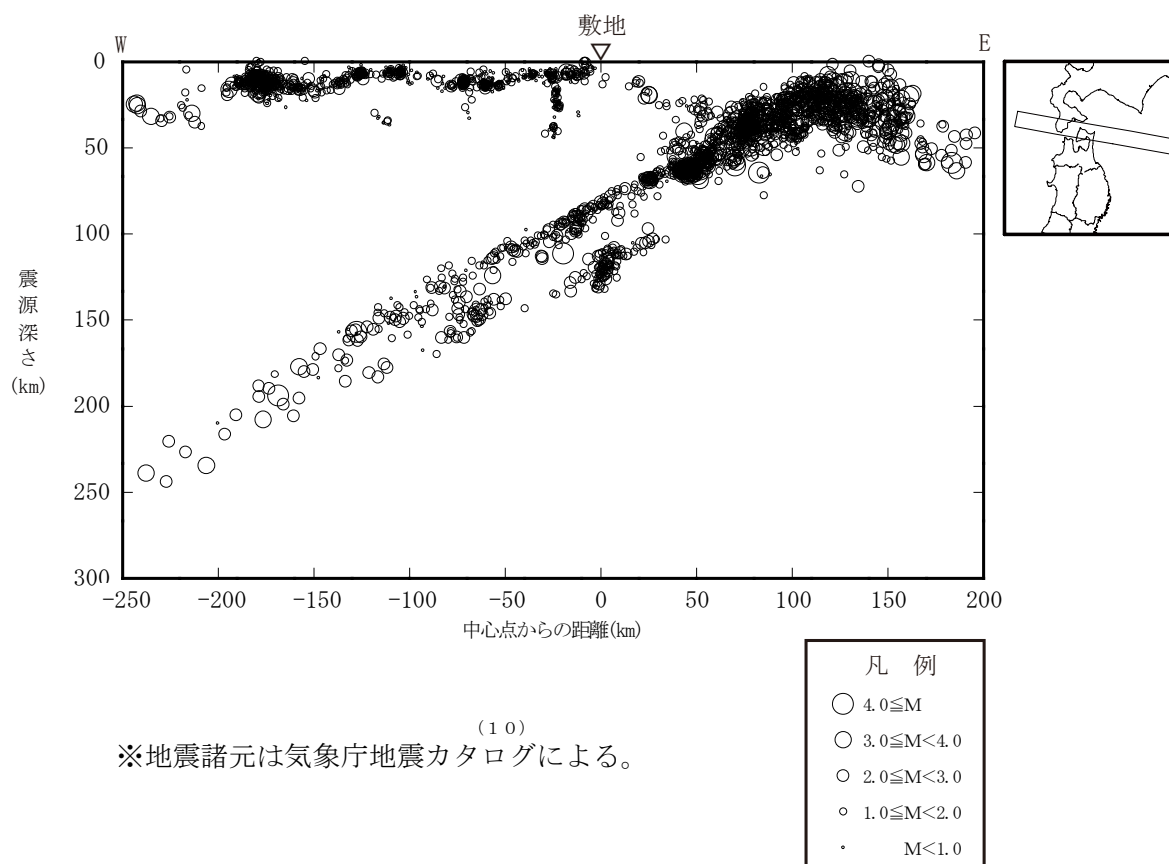
第 6.2-8 図(3) 敷地周辺におけるM5.0 以下の小・微小地震の震央分布
(震源深さ 60~100 km, 2012 年~2015 年 7 月)



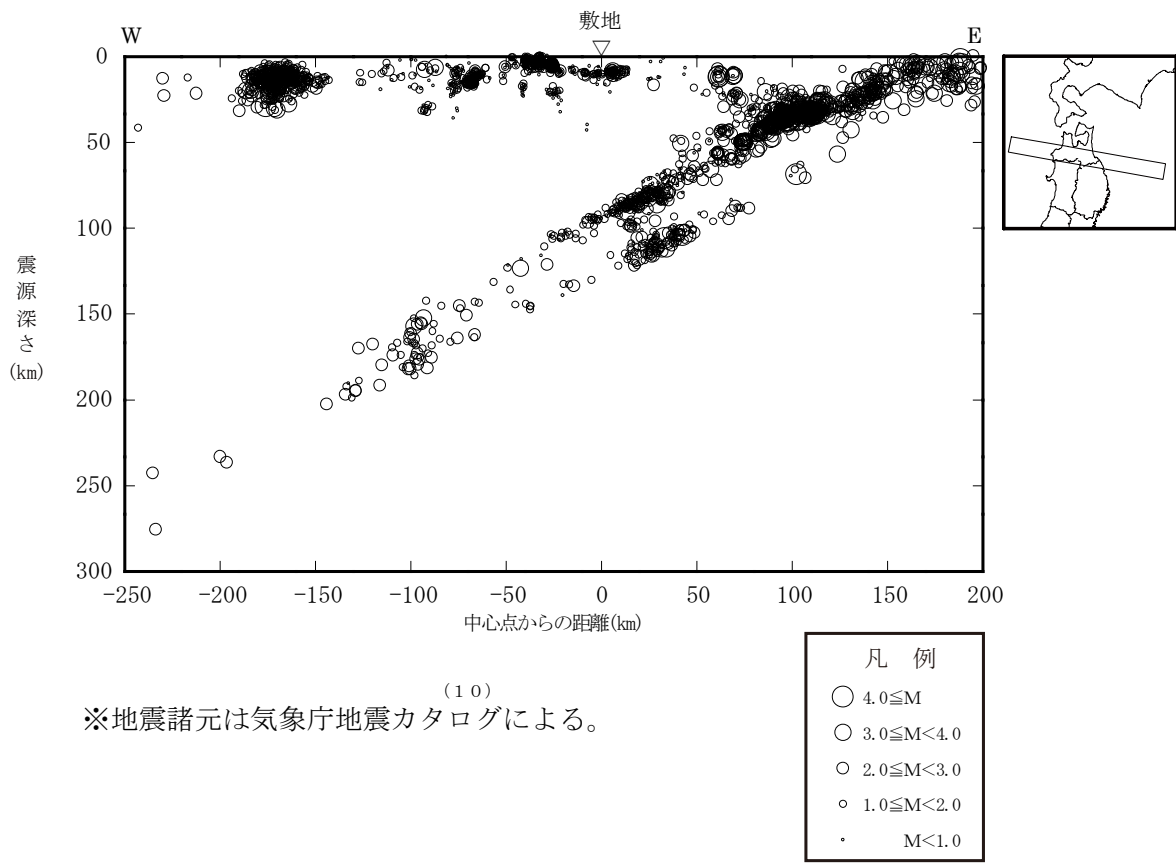
第 6.2-8 図(4) 敷地周辺におけるM5.0 以下の小・微小地震の震央分布
(震源深さ 100 km 以上, 2012 年~2015 年 7 月)



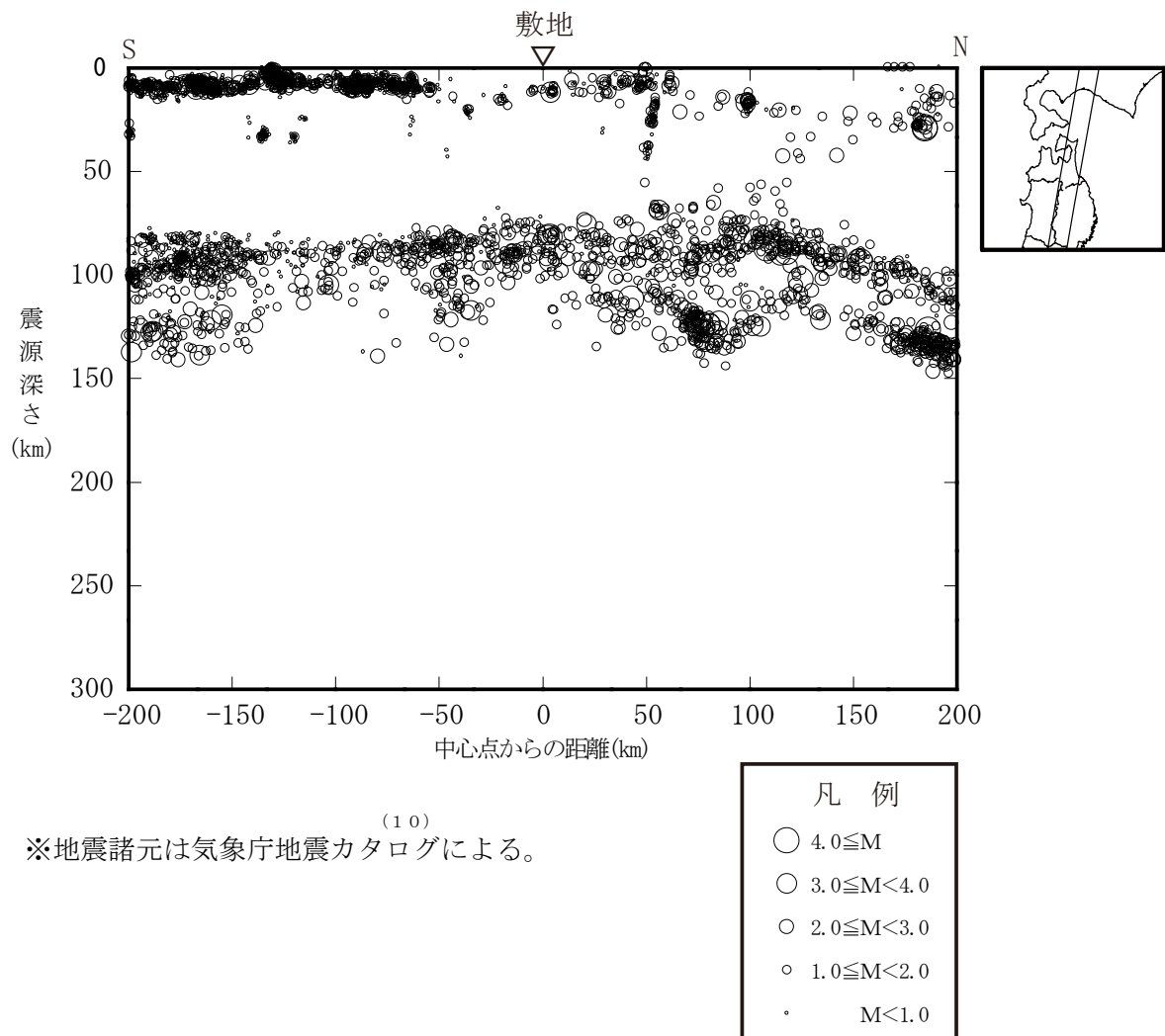
第 6.2-9 図(1) 敷地周辺におけるM5.0 以下の小・微小地震の震源鉛直分布 (2012 年~2015 年 7 月)



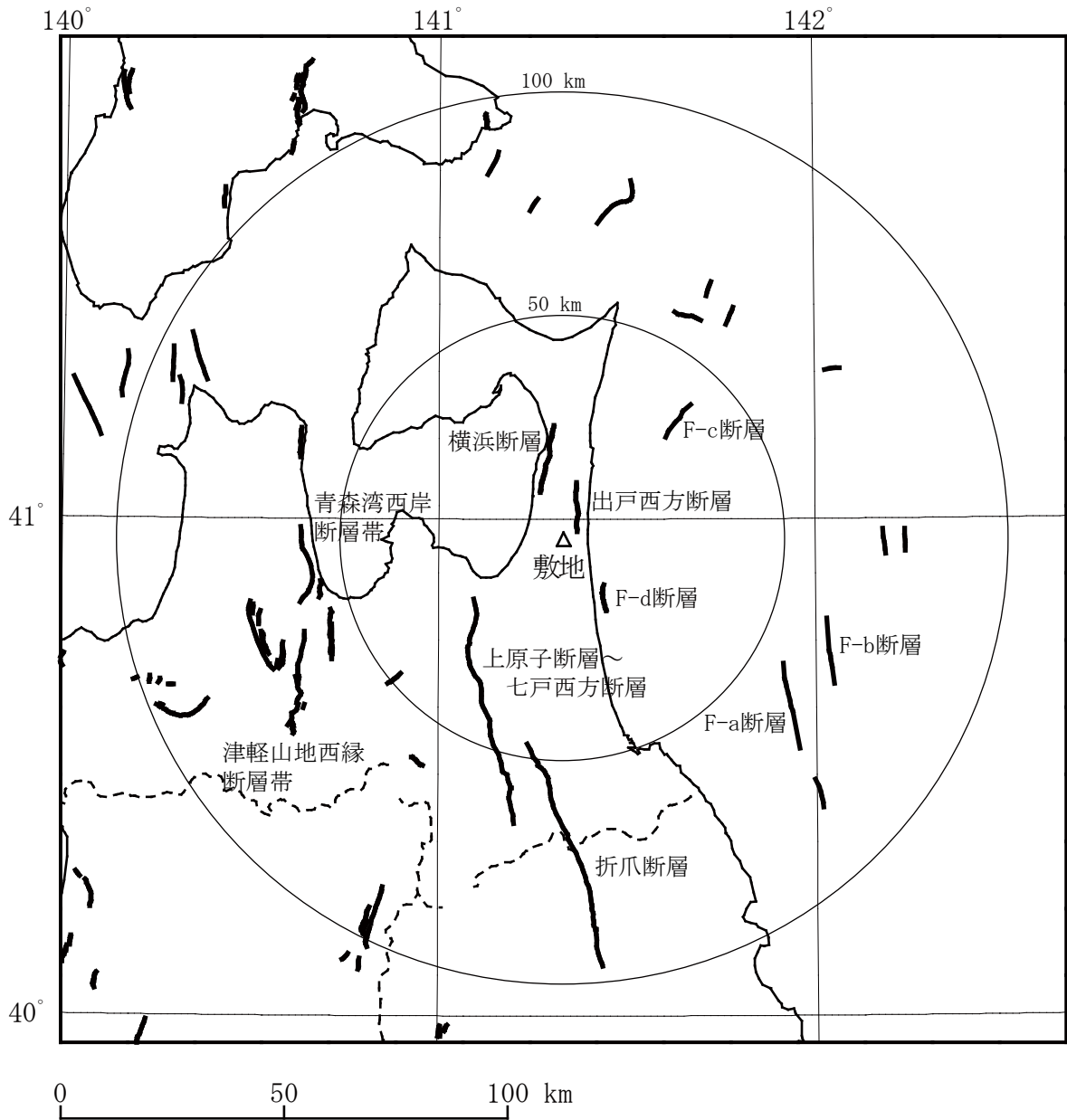
第 6.2-9 図(2) 敷地周辺におけるM5.0 以下の小・微小地震の震源鉛直分布 (2012 年~2015 年 7 月)



第 6.2-9 図(3) 敷地周辺におけるM5.0 以下の小・微小地震の震源鉛直分布 (2012 年~2015 年 7 月)

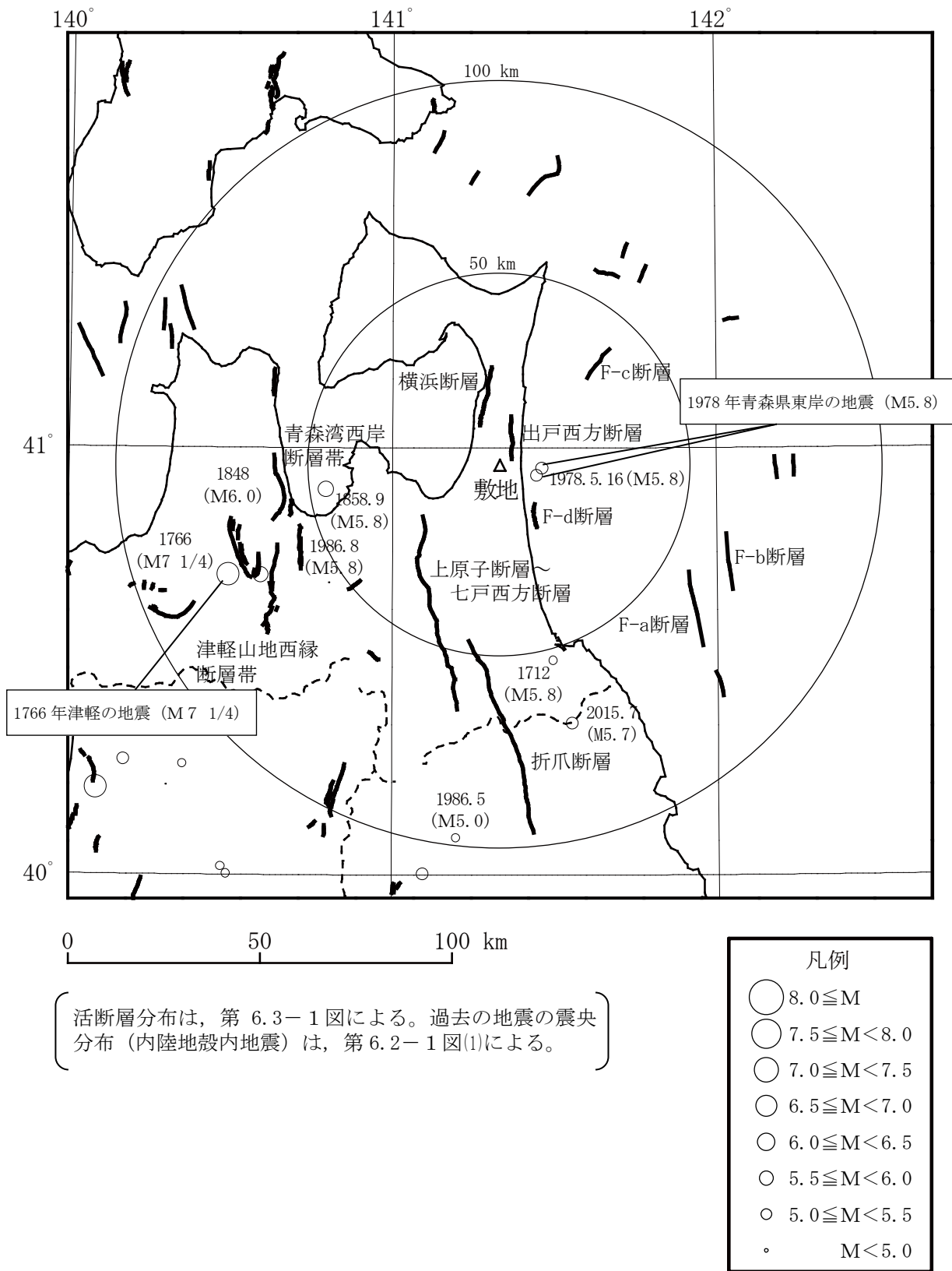


第 6.2-9 図(4) 敷地周辺におけるM5.0 以下の小・微小地震の震源鉛直分布 (2012 年~2015 年 7 月)

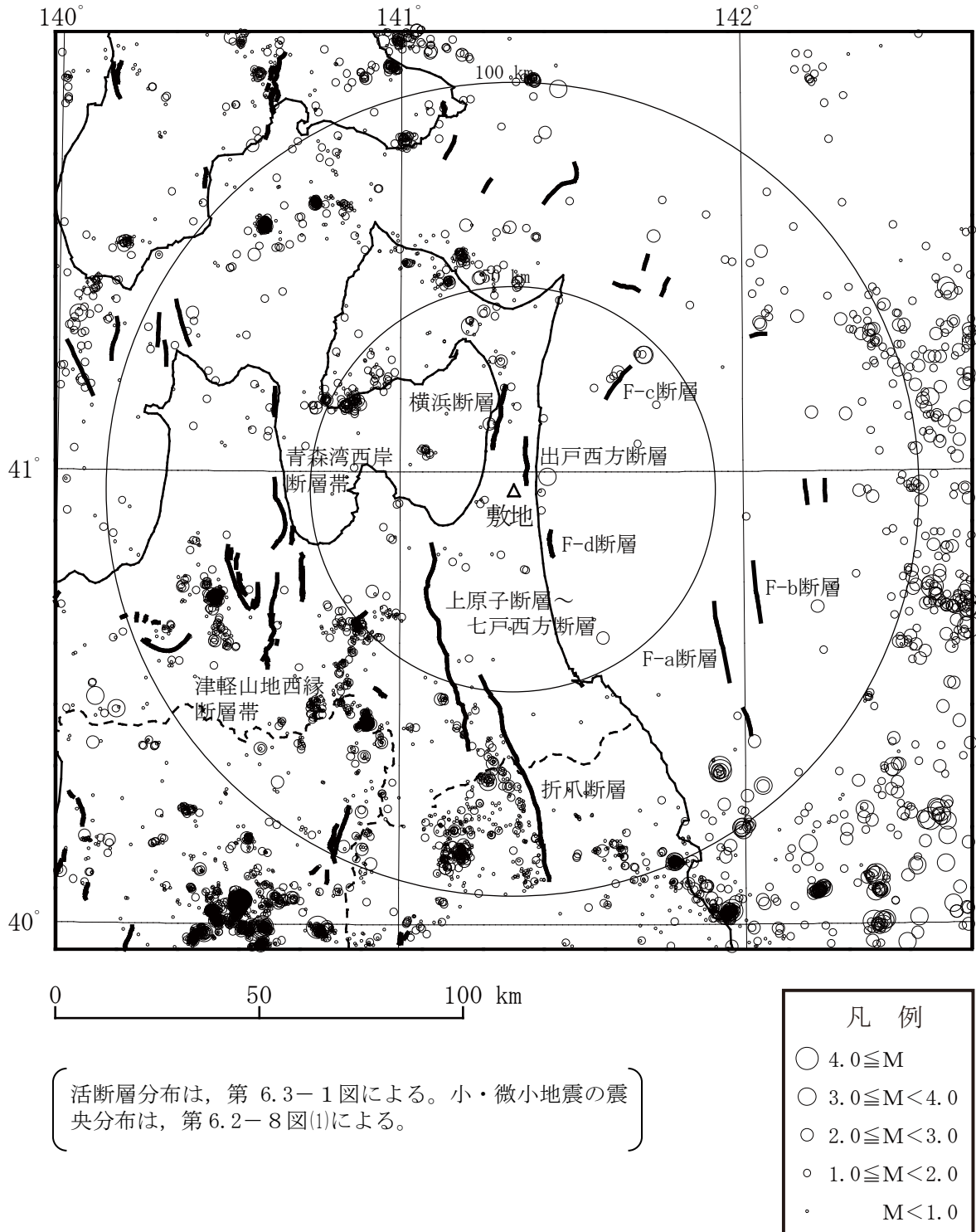


〔活断層分布は、「4. 敷地」及び「[新編]日本の活断層⁽¹⁸⁾」による。〕

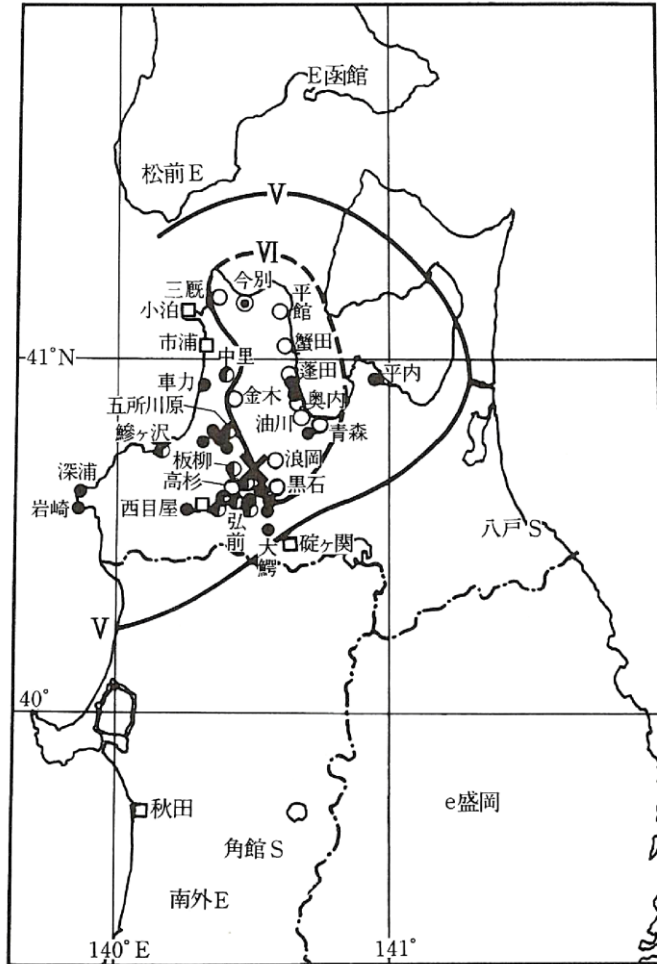
第 6.3-1 図 敷地周辺における活断層分布



第 6.4-1 図 活断層分布と過去の被害地震の震央分布



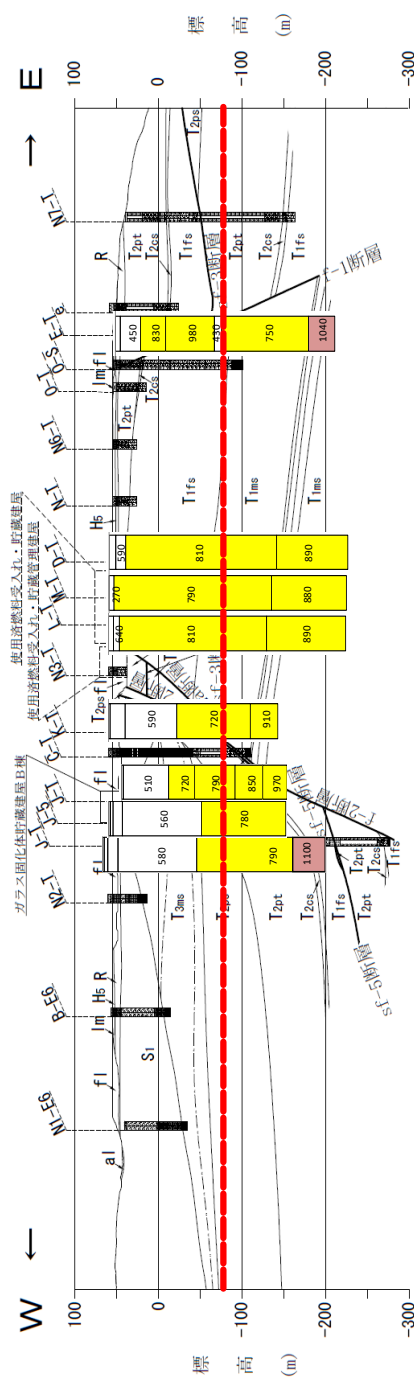
第 6.4-2 図 活断層分布と小・微小地震の震央分布



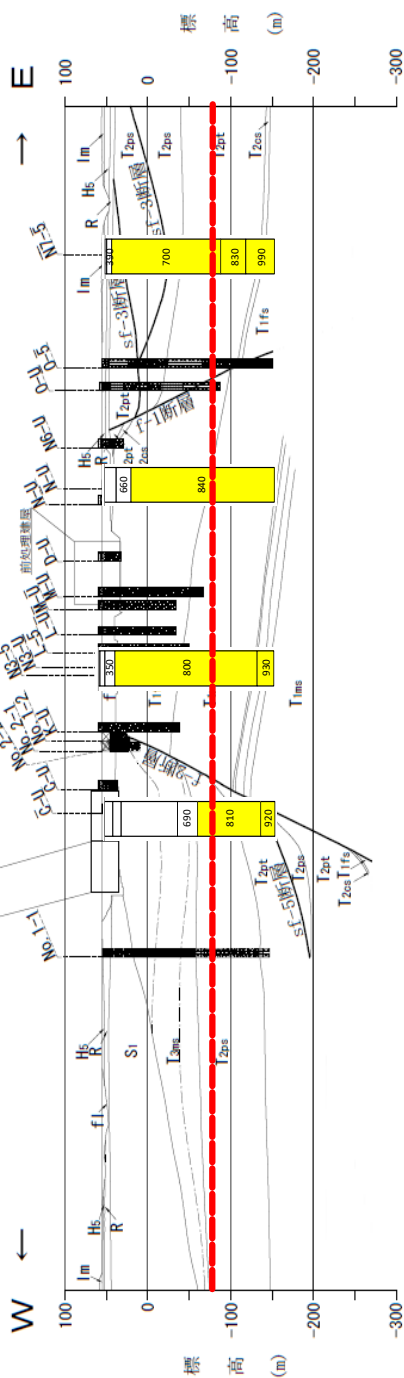
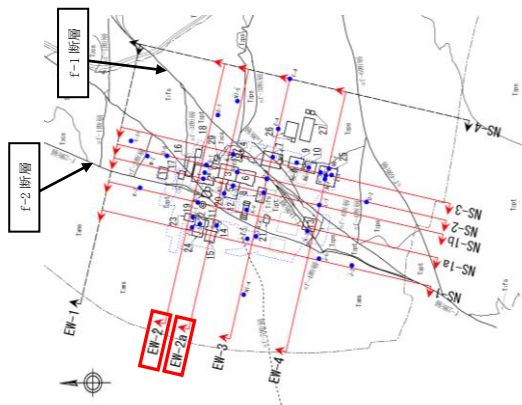
(7)
 ※「日本被害地震総覧」による。

第 6.4-3 図 1766 年津軽の地震の震度分布

- : $700\text{m/s} \leq V_s < 1000\text{m/s}$
- : $1000\text{m/s} \leq V_s$
- : 解放基盤表面位置 (標高-70m)



(a) EW-2 断面



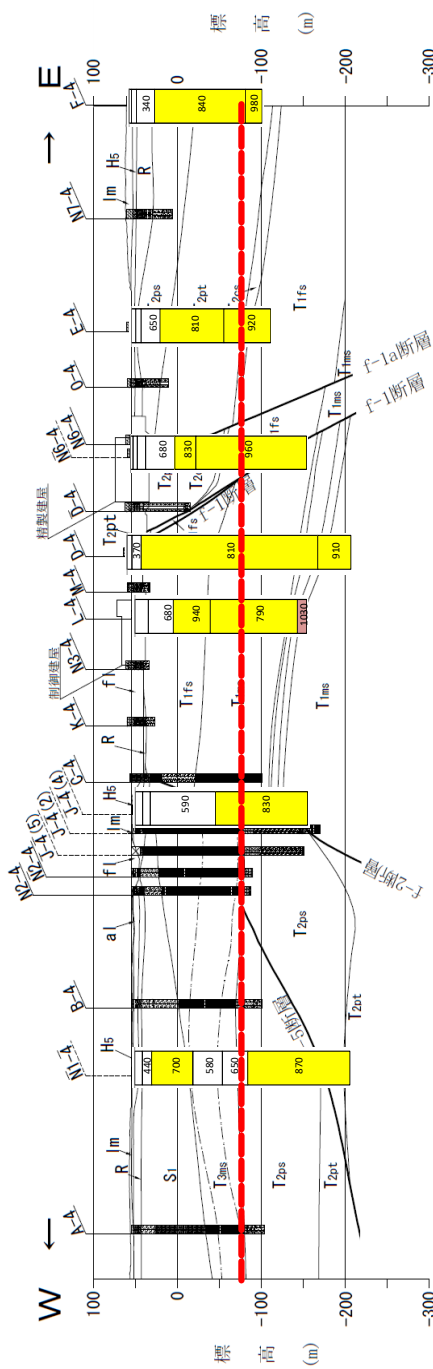
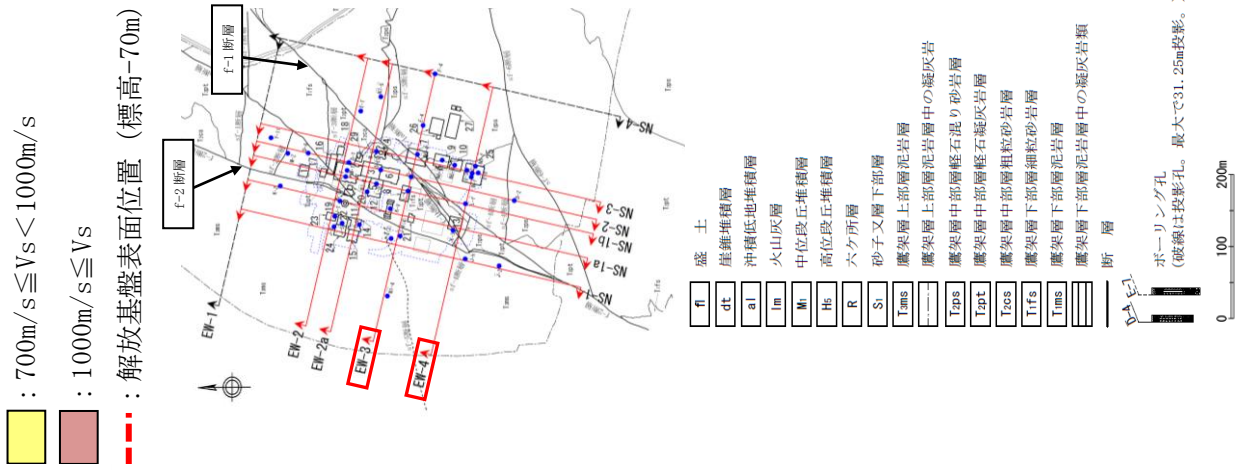
(b) EW-2 a 断面

第6.5-1図(1) PS検層結果 (東西断面その1)

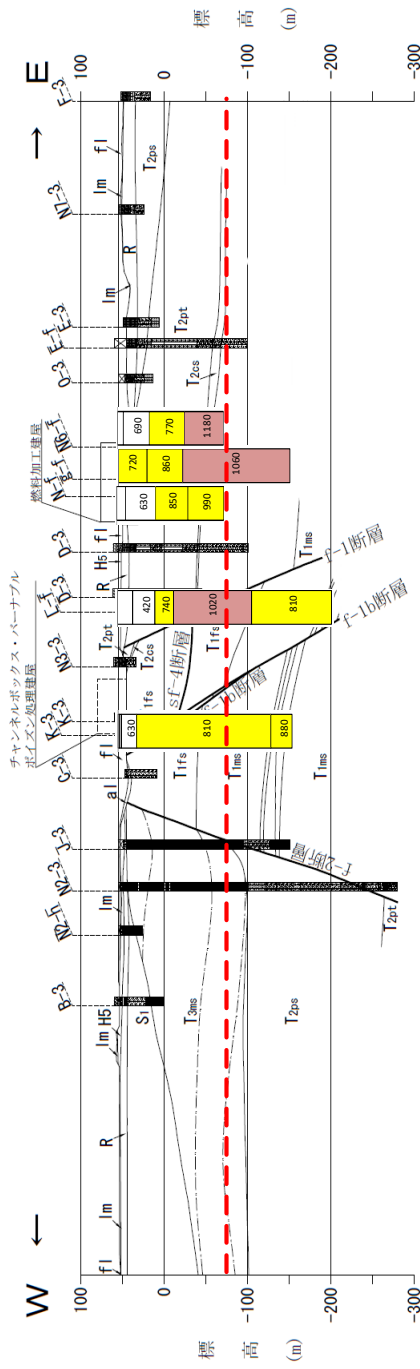
黄色 : $700\text{m}/s \leq V_s < 1000\text{m}/s$

茶色 : $1000\text{m}/s \leq V_s$

赤点線 : 解放基盤表面位置 (標高-70m)



(a) EW-3 断面



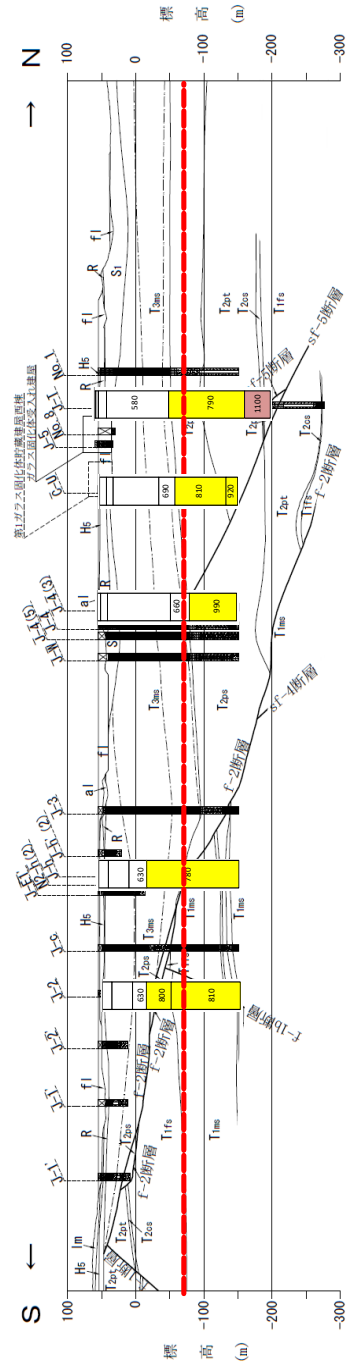
(b) EW-4 断面

第 6.5-1 図(2) P S 検層結果 (東西断面その 2)

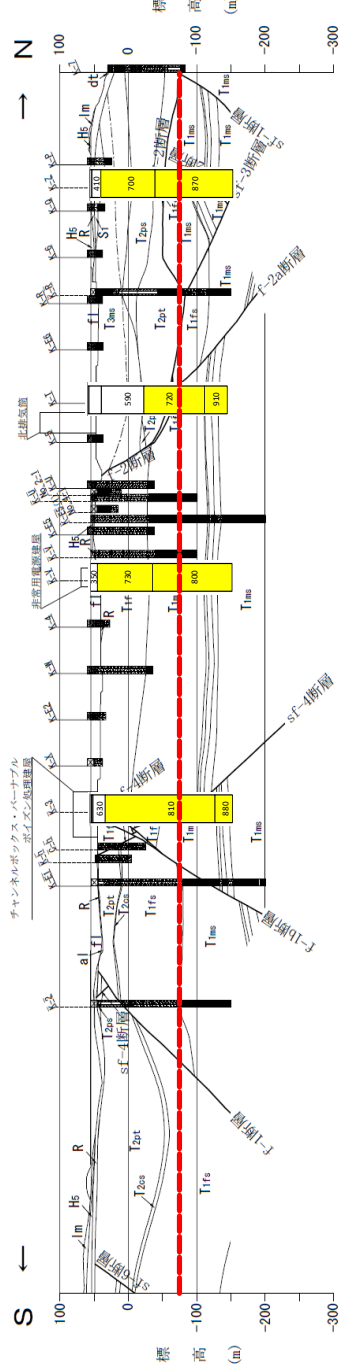
黄色 : $700\text{m/s} \leq V_s < 1000\text{m/s}$

茶色 : $1000\text{m/s} \leq V_s$

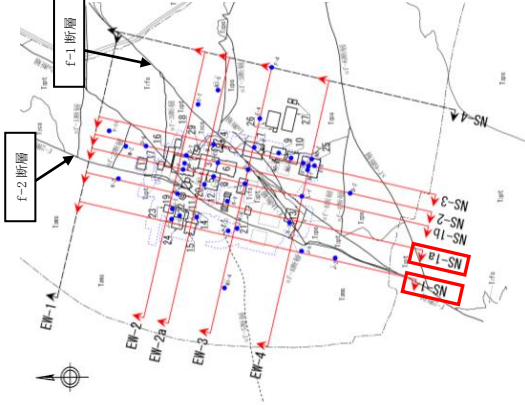
赤点線 : 解放基盤表面位置 (標高-70m)



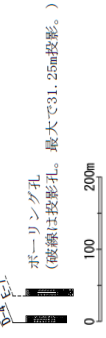
(a) NS-1 断面



(b) NS-1 a 断面



fl	盛土
dt	柱状堆積層
al	沖積低地堆積層
lm	火山灰層
Hs	中位段丘堆積層
R	高位段丘堆積層
S	六ヶ所層
St	砂子又層下部層
T2ms	鷹架層上部層泥岩層
T2ps	鷹架層上部層泥岩層中の凝灰岩
T2dt	鷹架層中部層軽石混り砂岩層
T2cs	鷹架層中部層粗粒砂岩層
T1fs	鷹架層下部層細粒砂岩層
T1ms	鷹架層下部層泥岩層
T1ms	鷹架層下部層泥岩層中の凝灰岩類
断層	断層

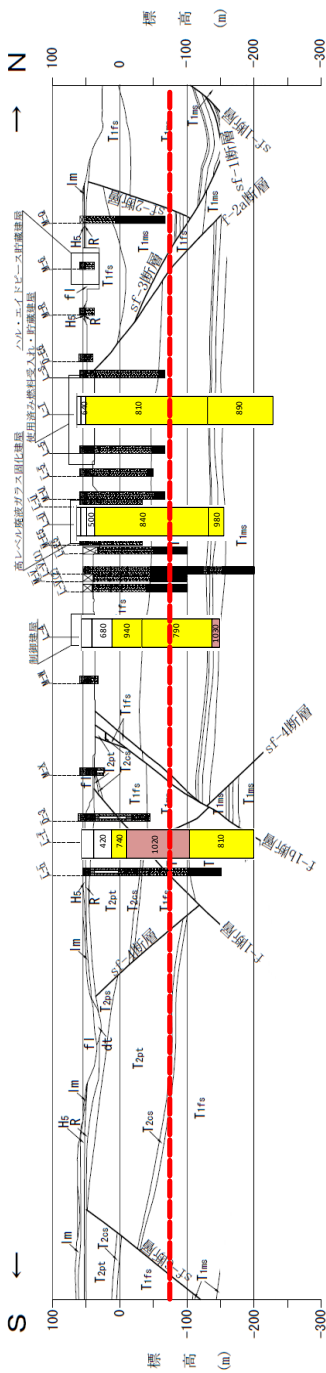


第 6.5-1 図(3) P S 検層結果 (南北断面その 1)

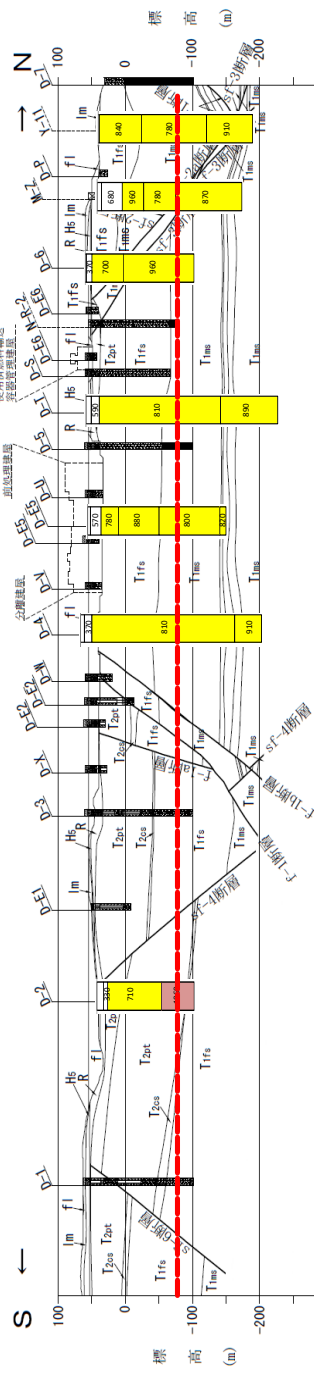
□ : $700\text{m}/s \leq V_s < 1000\text{m}/s$

■ : $1000\text{m}/s \leq V_s$

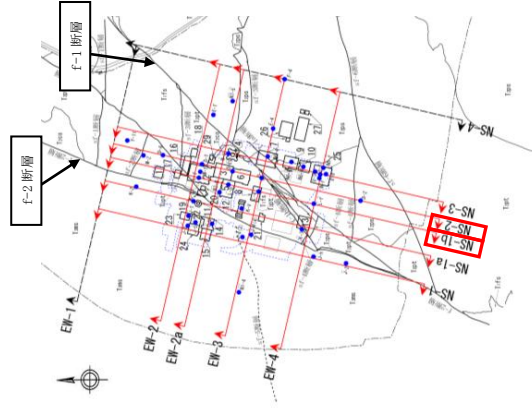
--- : 解放基盤表面位置 (標高-70m)



(a) NS-1 b 断面



(b) NS-2 断面



- f 盛土
- dt 崖堆積層
- al 沖積低地堆積層
- lm 火山灰層
- Mh 中位段丘堆積層
- Hs 高位段丘堆積層
- R 六ヶ所層
- S 砂子又層下部層
- Tms 鷹架層上部層泥岩層
- Tzps 鷹架層上部層軽石混り砂岩層
- Tzpt 鷹架層中部層軽石混り砂岩層
- Tzes 鷹架層中部層粗粒砂岩層
- Tifs 鷹架層下部層細粒砂岩層
- Tms 鷹架層下部層泥岩層
- 鷹架層下部層泥岩層中の凝灰岩類

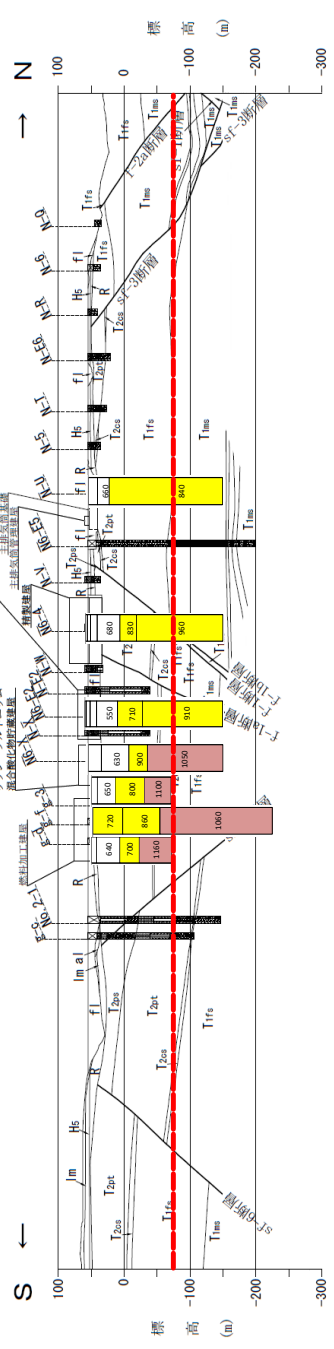
第 6.5-1 図(4) P S 検層結果 (南北断面その 2)

ボーリング孔
(破線は投影孔。最大で31.25m投影。)

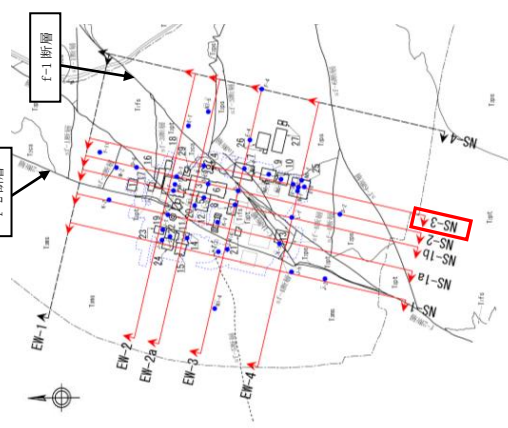


: $700\text{m/s} \leq V_s < 1000\text{m/s}$
 : $1000\text{m/s} \leq V_s$

: 解放基盤表面位置 (標高-70m)



(a) NS-3 断面

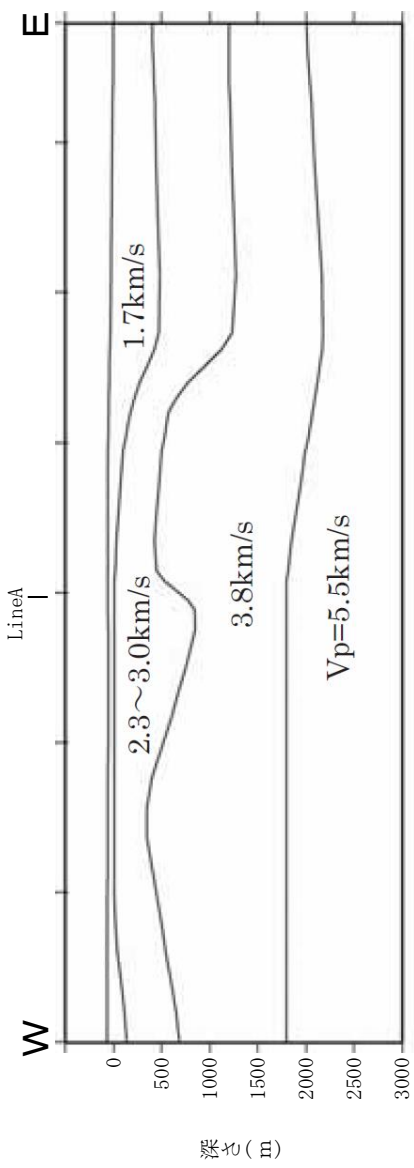


f	盛土
dt	崖堆積層
al	沖積低地堆積層
Im	火山灰層
Hs	中位段丘堆積層
R	高位段丘堆積層
S	六ヶ所層
Tms	砂子又層下部層
Tps	鷹架層上部層泥岩層
Tpt	鷹架層上部層泥岩層中の凝灰岩
Tzs	鷹架層中部層軽石混り砂岩層
Tfs	鷹架層中部層軽石凝灰岩層
Tms	鷹架層下部層粗粒砂岩層
Tms	鷹架層下部層細粒砂岩層
Tms	鷹架層下部層泥岩層
Tms	鷹架層下部層泥岩層中の凝灰岩類

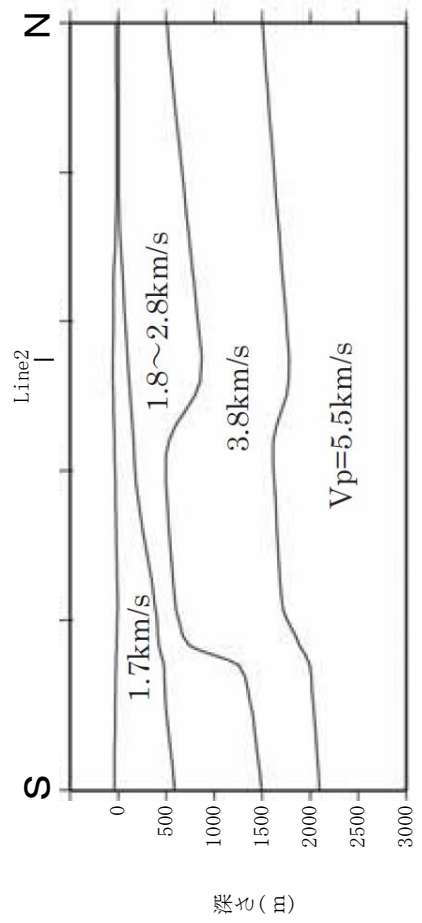
断面
 ボーリング孔
 (破線は投影孔、最大で31.25m投影。)



第 6.5-1 図(5) P S 検層結果 (南北断面その 3)

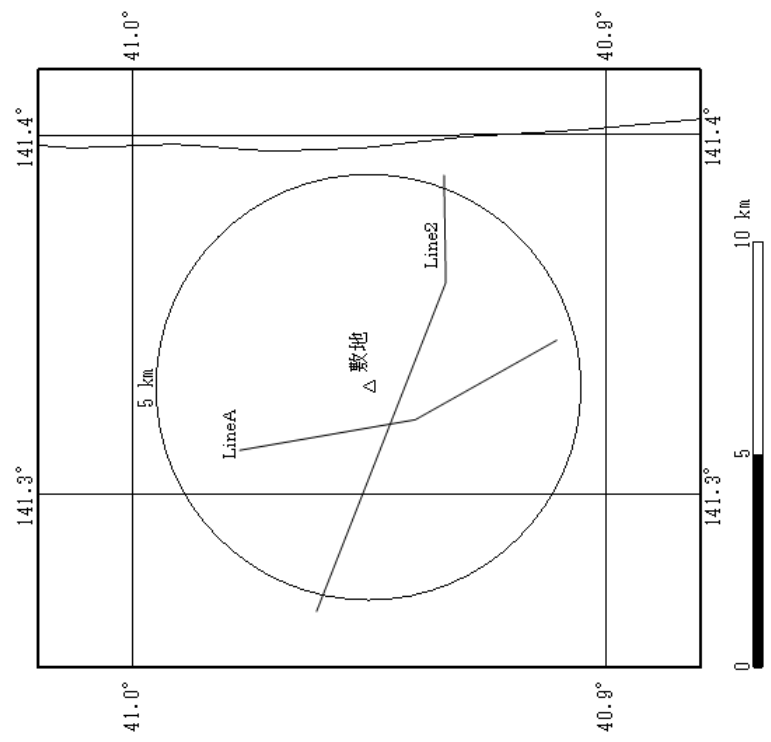


(測線 Line 2 の探查結果)



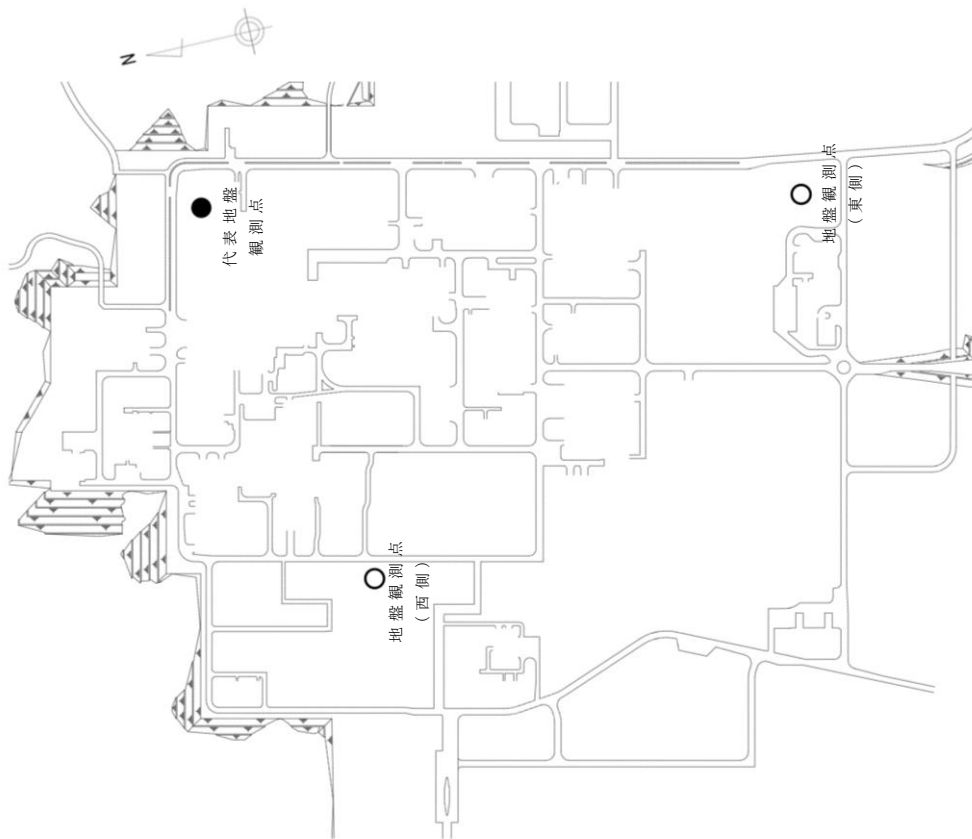
(測線 Line A の探查結果)

(a) 屈折法地震探查結果



(b) 測線位置図

第 6.5-2 図 屈折法地震探查による敷地及び敷地周辺の速度構造



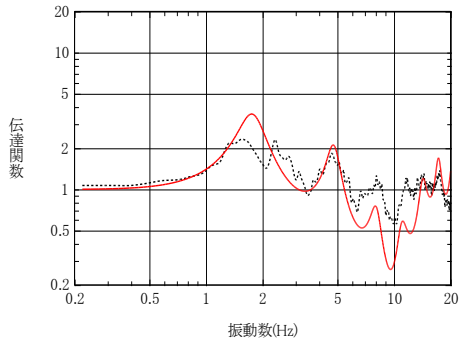
標高 (m) ※1	地震計 ※1	地層名 ※2	S波速度 ※2
53	⊗	第四系	0.53
		六ヶ所層	
37	⊗	鷹架層	0.62
			0.82
-70	⊗	鷹架層	0.90
			0.93
-145	⊗		

※1 地震計設置深さは3地盤観測点で共通。なお、地震計は各々水平・鉛直3成分。

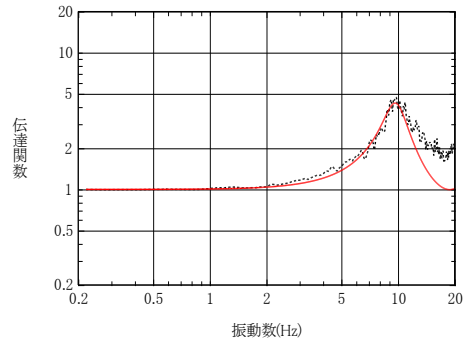
※2 地層データは各地盤観測点で異なる。上図は代表地盤観測点のデータを示す。

第6.5-3図 地震観測点

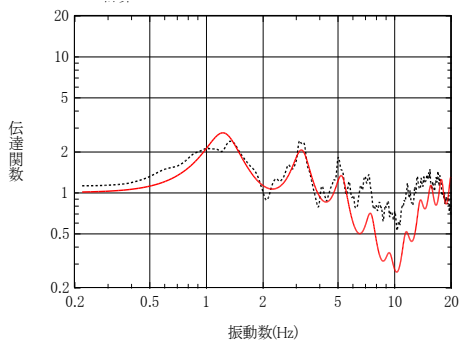
— はぎとり地盤モデル
 観測記録



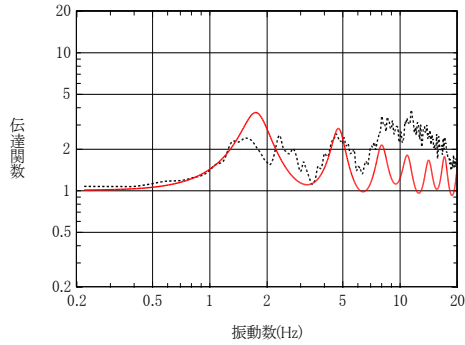
G. L. -18m/G. L. -125m



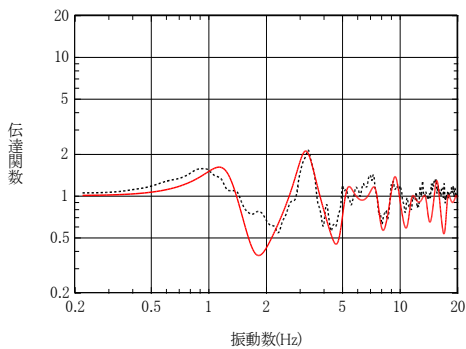
G. L. -2m/G. L. -18m



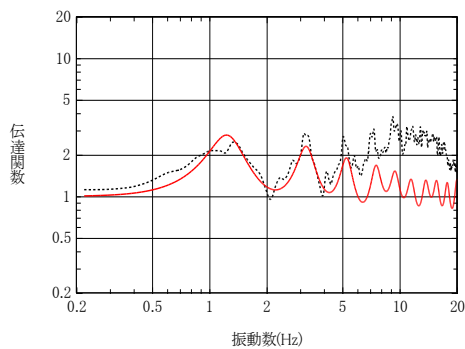
G. L. -18m/G. L. -200m



G. L. -2m/G. L. -125m



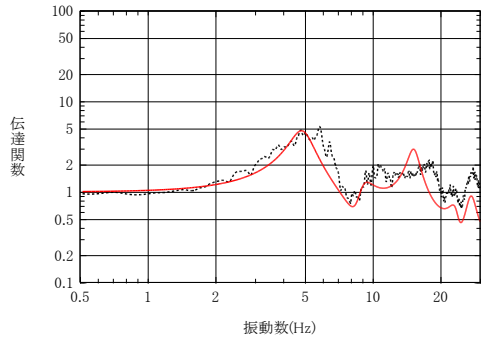
G. L. -125m/G. L. -200m



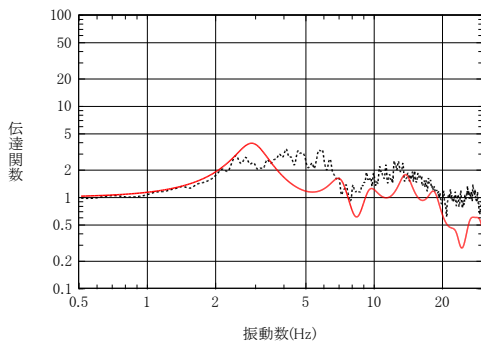
G. L. -2m/G. L. -200m

第 6.5-4 図(1) 観測記録に基づく伝達関数とはぎとり地盤モデルによる伝達関数の比較 (中央地盤)

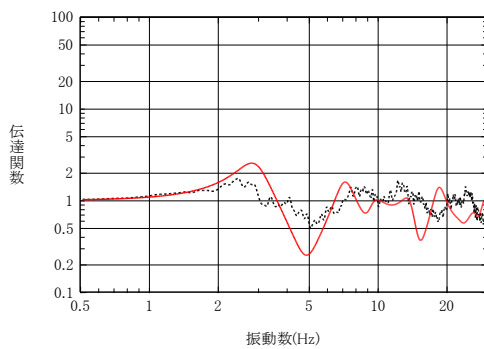
— はぎとり地盤モデル
 観測記録



G. L. -18m/G. L. -100m



G. L. -18m/G. L. -200m



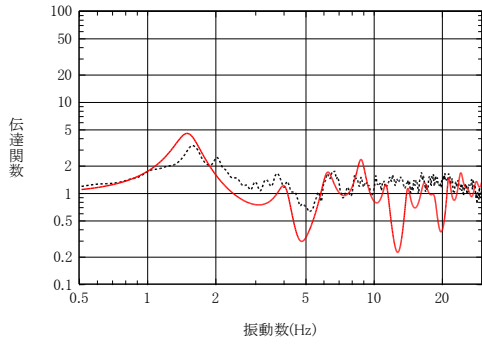
G. L. -100m/G. L. -200m

※東側地盤観測点については、G. L. -2mの観測記録が無いため、
 G. L. -18m以深の記録を用いて作成している。

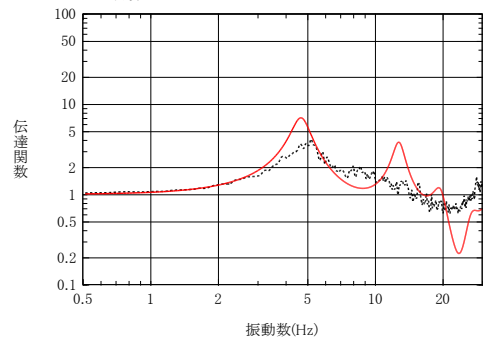
第 6.5-4 図(2) 観測記録に基づく伝達関数とはぎとり地盤モデルによる
 伝達関数の比較 (東側地盤)

— はぎとり地盤モデル

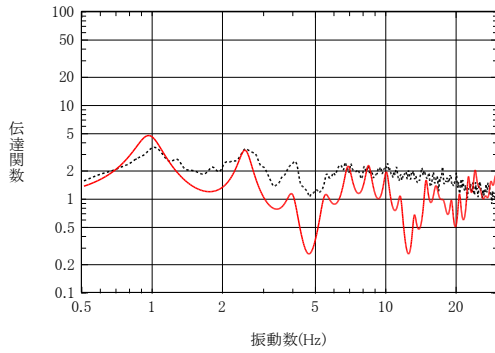
⋯ 観測記録



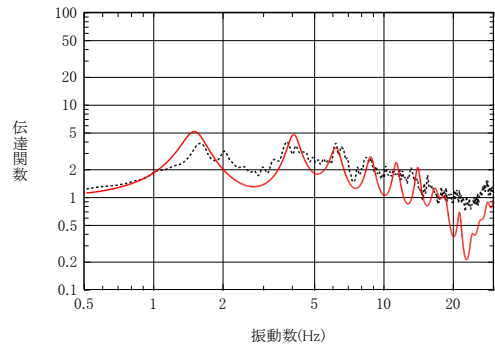
G. L. -18m/G. L. -100m



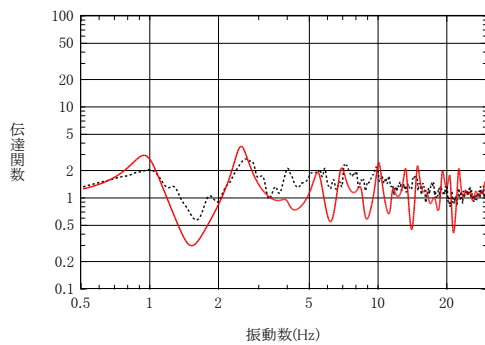
G. L. -2m/G. L. -18m



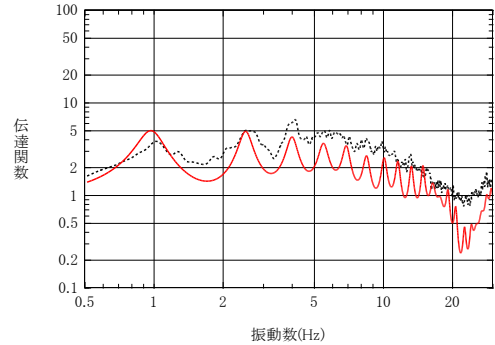
G. L. -18m/G. L. -200m



G. L. -2m/G. L. -100m

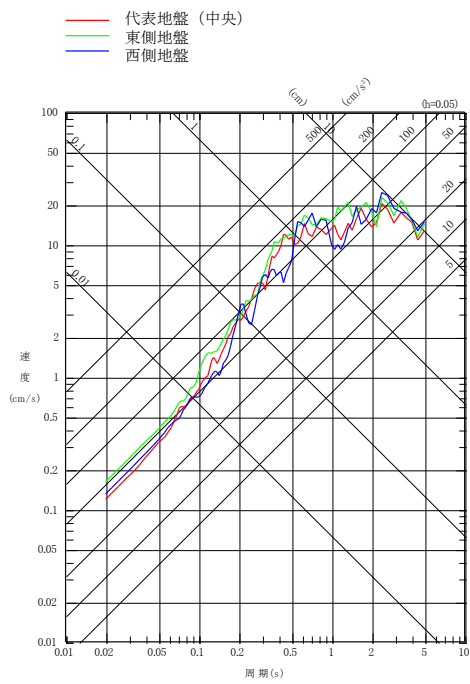


G. L. -100m/G. L. -200m

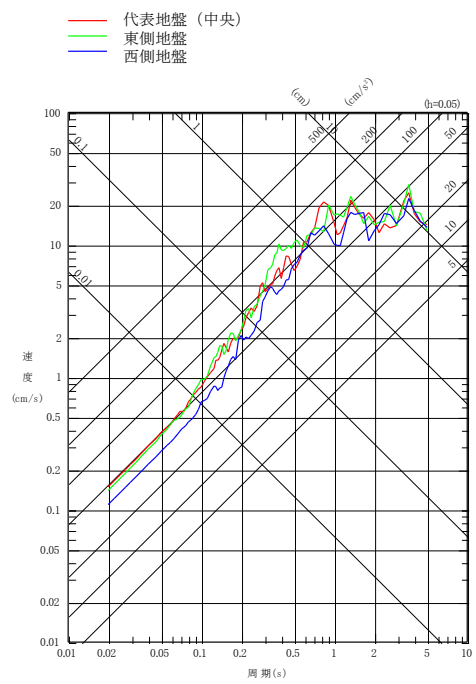


G. L. -2m/G. L. -200m

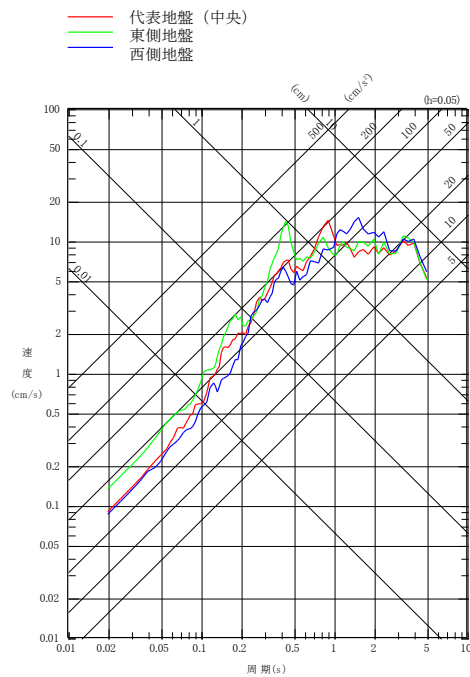
第 6.5-4 図(3) 観測記録に基づく伝達関数とはぎとり地盤モデルによる伝達関数の比較 (西側地盤)



NS方向

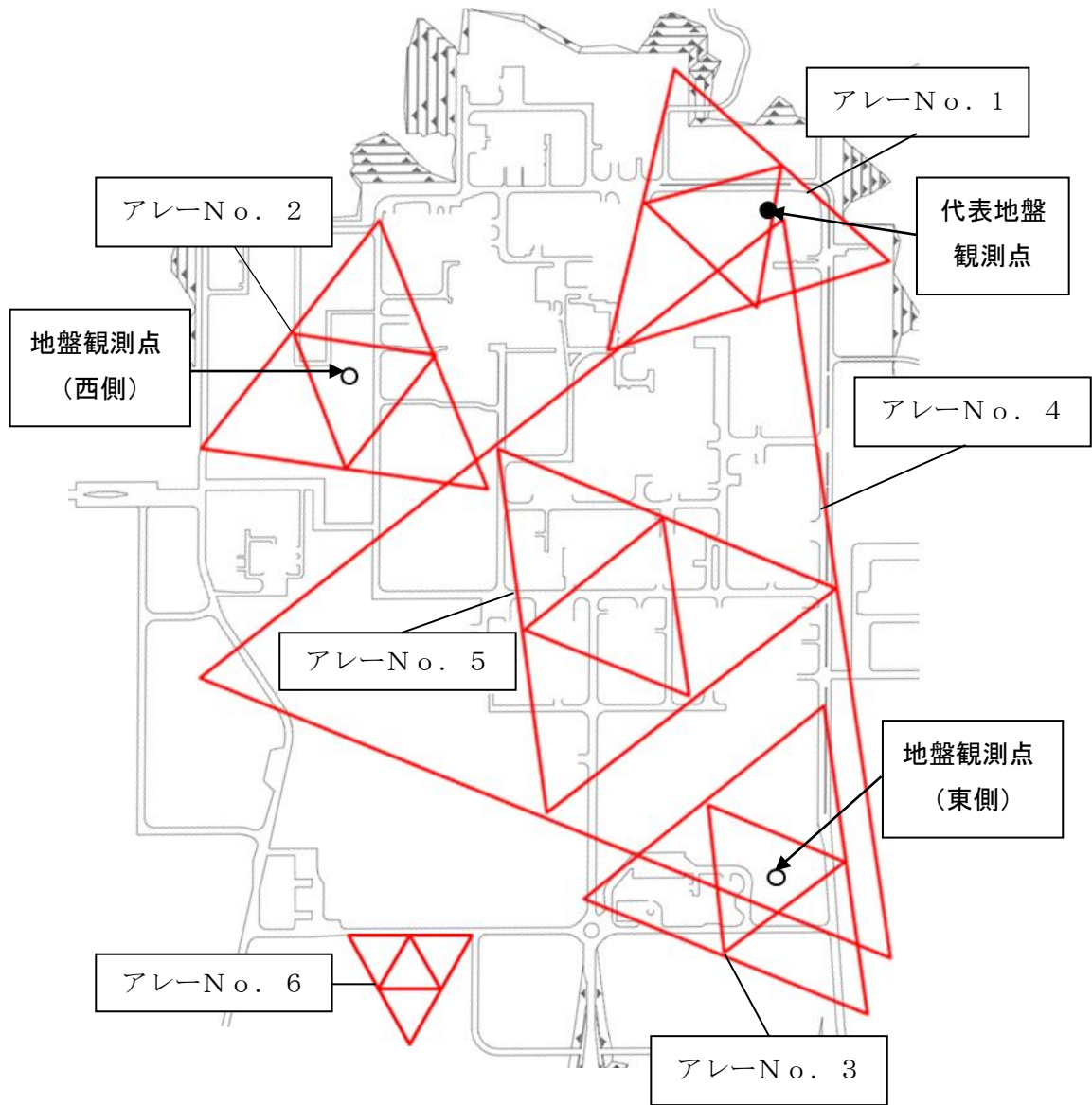


EW方向

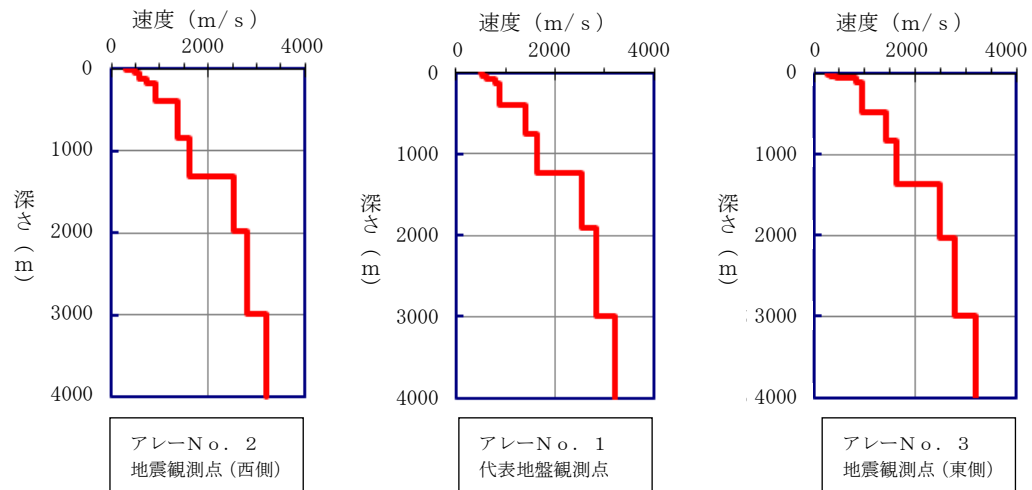


UD方向

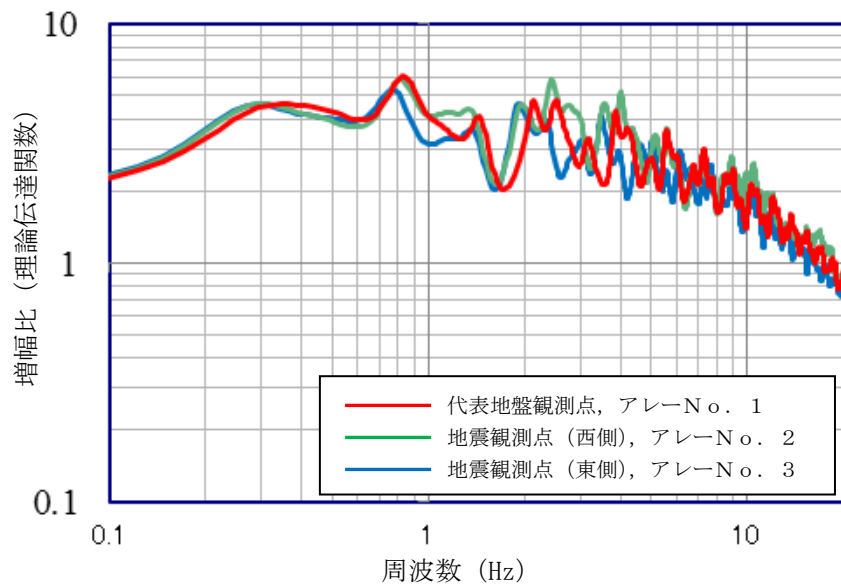
第 6.5-5 図 2011 年東北地方太平洋沖地震 3 地盤のはぎとり波の応答スペクトル (標高-70m, 減衰定数 (ζ) = 0.05)



第6.5-6図 微動アレー観測点位置

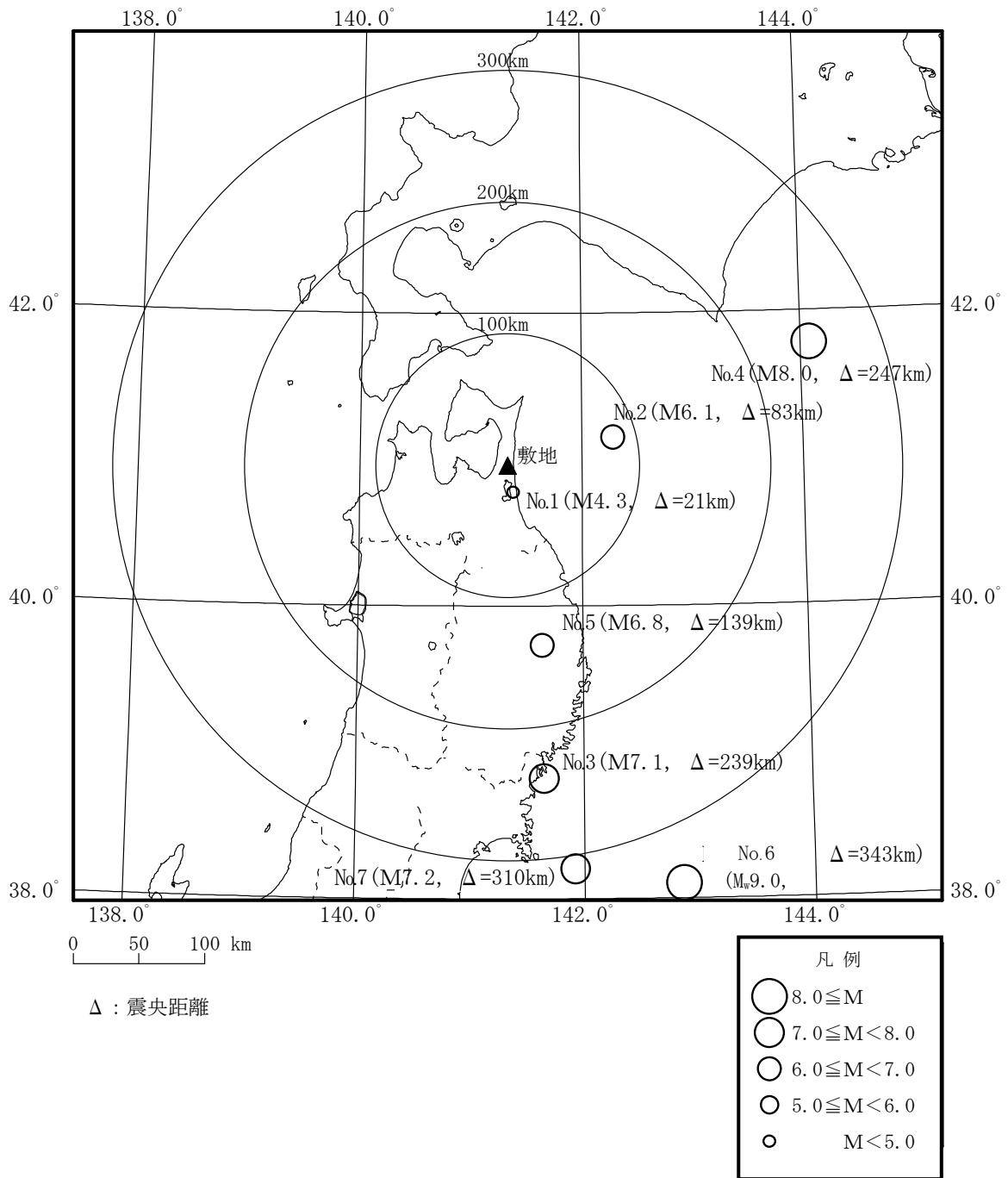


(a) 微動アレー探索結果から推定したS波速度構造



(b) 微動アレー探索結果に基づく地震基盤～解放基盤表面の増幅比

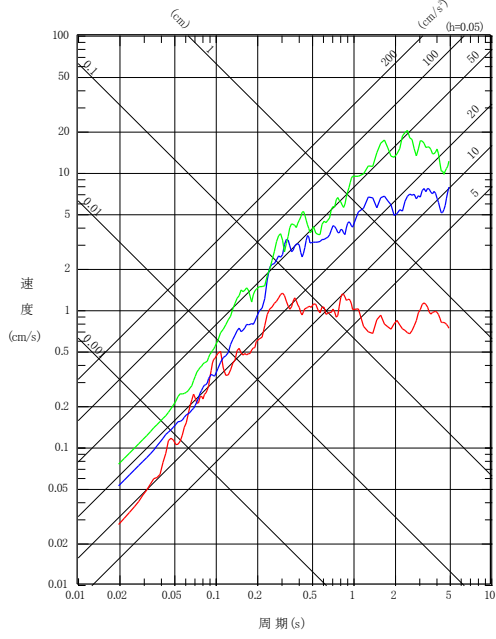
第 6.5－7 図 各微動アレー観測点の S 波速度構造及び地震基盤～解放基盤表面の増幅比の比較



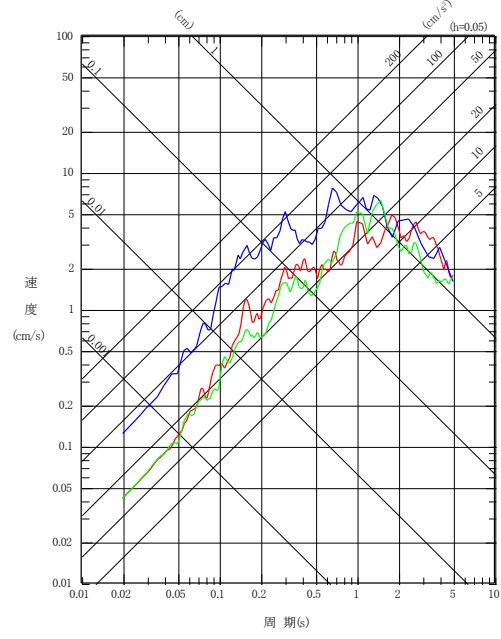
第 6.5-8 図 観測地震の震央分布

No. 2 (2002. 10. 14 青森県東方沖 M6.1)
 No. 4 (2003. 9. 26 2003年十勝沖地震 M8.0)
 No. 6 (2011. 3. 11 2011年東北地方太平洋沖地震 Mw9.0)

No. 3 (2003. 5. 26 宮城県沖 M7.1)
 No. 5 (2008. 7. 24 岩手県沿岸北部 M6.8)
 No. 7 (2011. 4. 7 宮城県沖 M7.2)

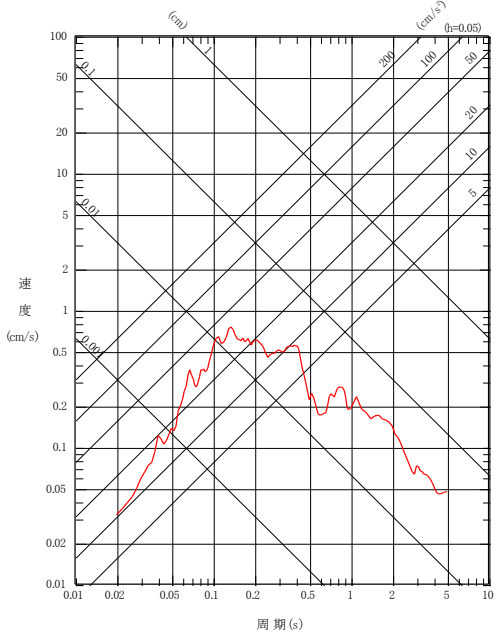


プレート間地震



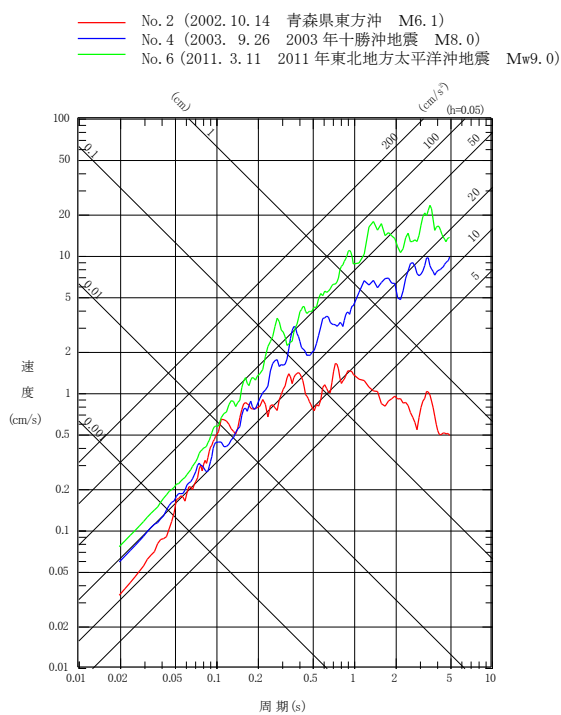
海洋プレート内地震

No. 1 (1996. 2. 17 三八上北地方 M4.3)

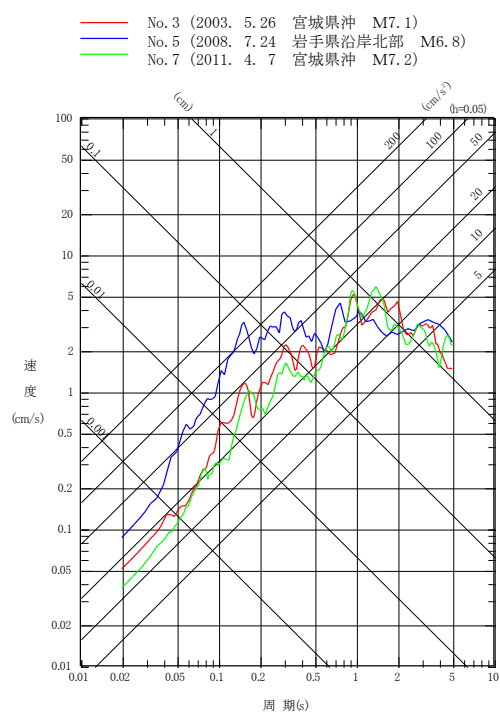


内陸地殻内地震

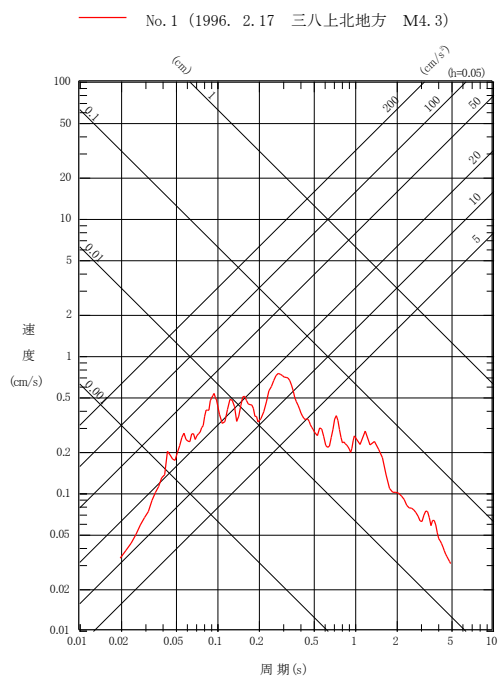
第 6.5-9 図(1) 地震発生様式別応答スペクトル
 (標高-70m, NS成分, 減衰定数 (h) =0.05)



プレート間地震

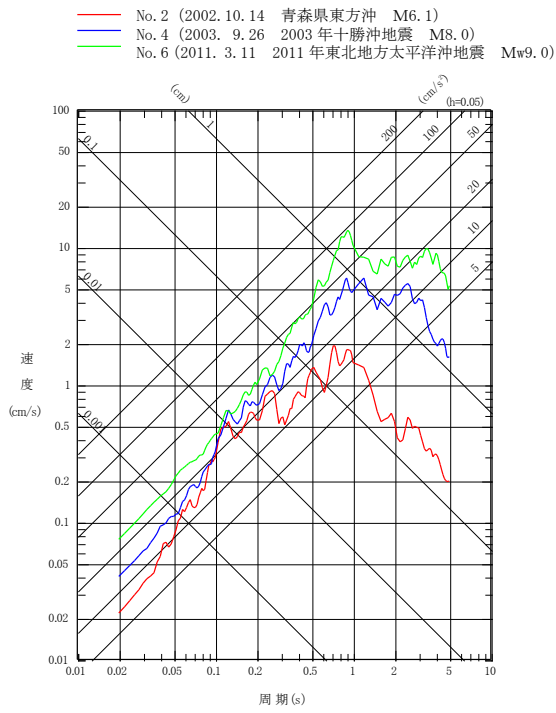


海洋プレート内地震

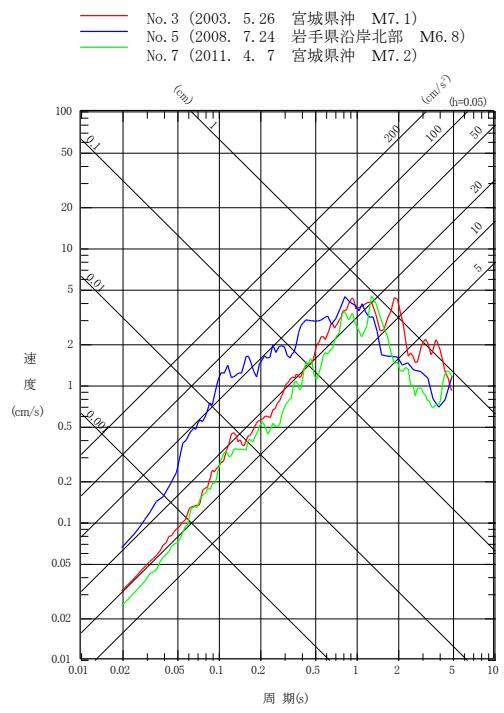


内陸地殻内地震

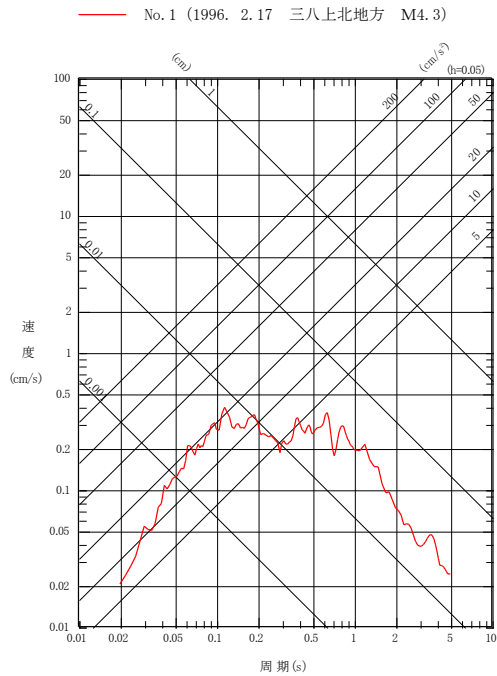
第 6.5－9 図(2) 地震発生様式別応答スペクトル
 (標高－70m, EW成分, 減衰定数 (h) =0.05)



プレート間地震

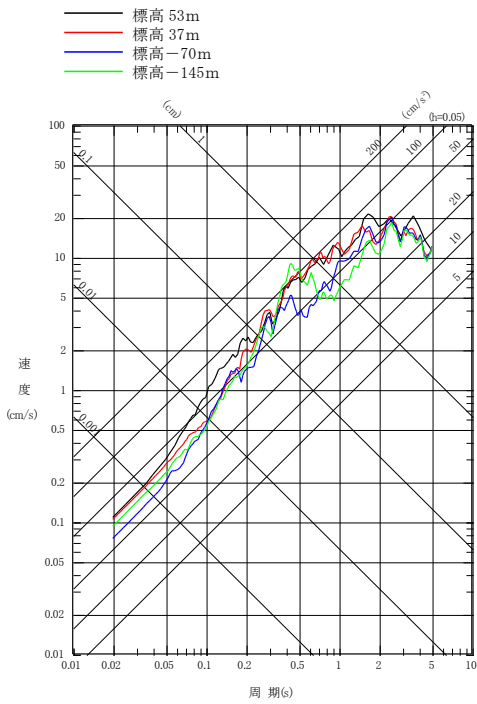


海洋プレート内地震



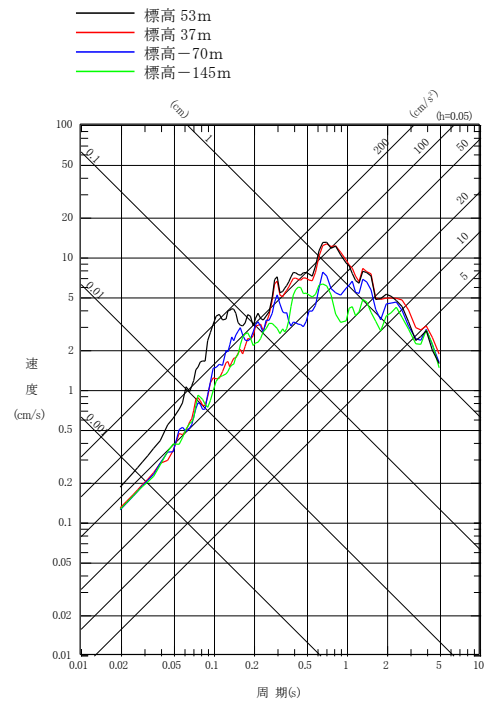
内陸地殻内地震

第 6.5-9 図(3) 地震発生様式別応答スペクトル
(標高-70m, UD成分, 減衰定数 (h) =0.05)



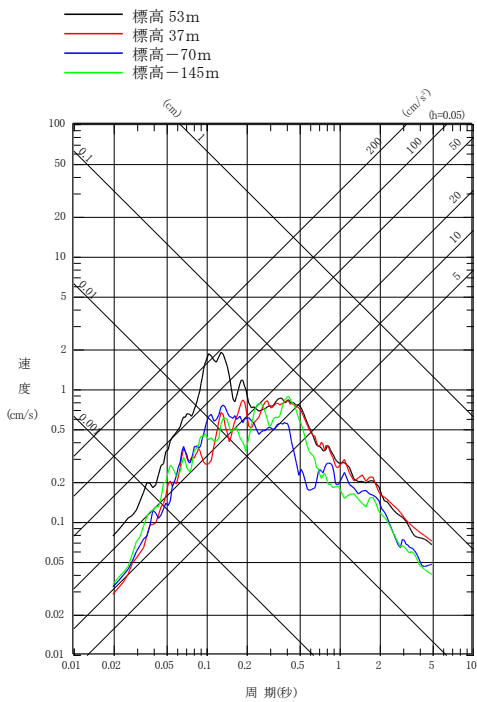
No. 6 (2011. 3. 11 2011年東北地方太平洋沖地震 M_w 9.0)

プレート間地震



No. 5 (2008. 7. 24 岩手県沿岸北部 M_w 6.8)

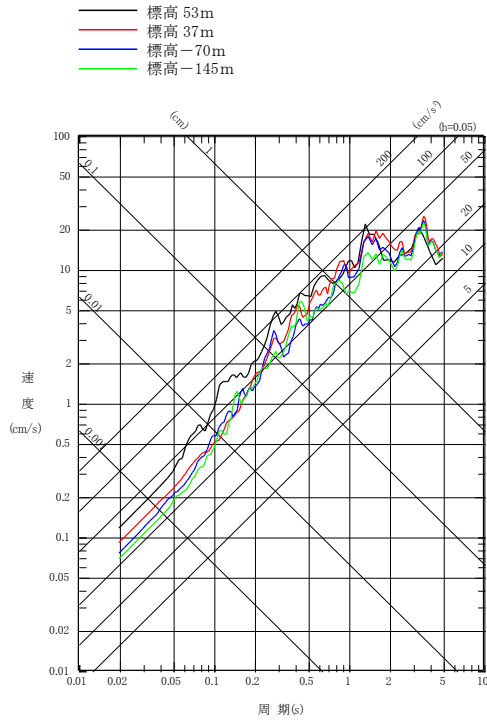
海洋プレート内地震



No. 1 (1996. 2. 17 三八上北地方 M_w 4.3)

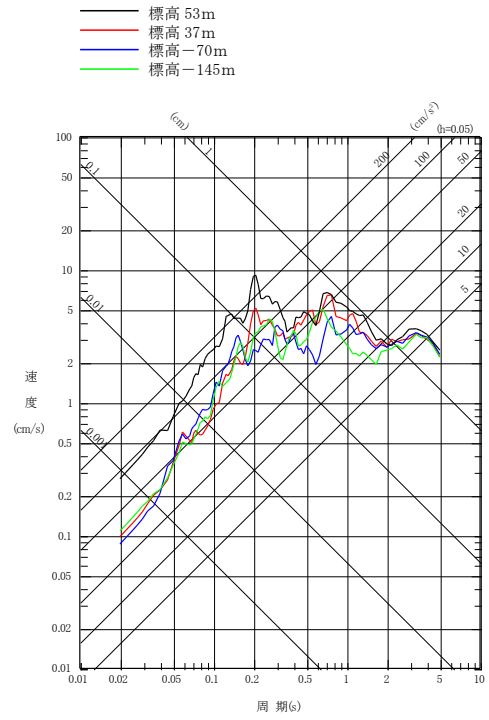
内陸地殻内地震

第 6.5-10 図(1) 地震別応答スペクトル (観測深度の比較)
(NS成分, 減衰定数 (h) = 0.05)



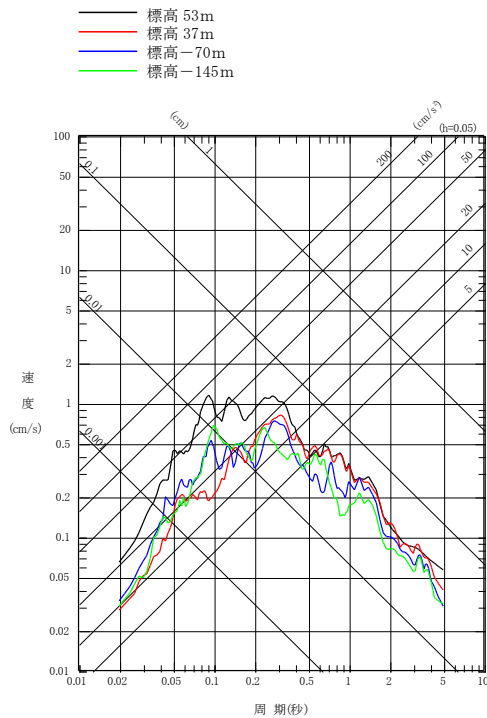
No. 6 (2011. 3. 11 2011年東北地方太平洋沖地震 M_w 9.0)

プレート間地震



No. 5 (2008. 7. 24 岩手県沿岸北部 M_w 6.8)

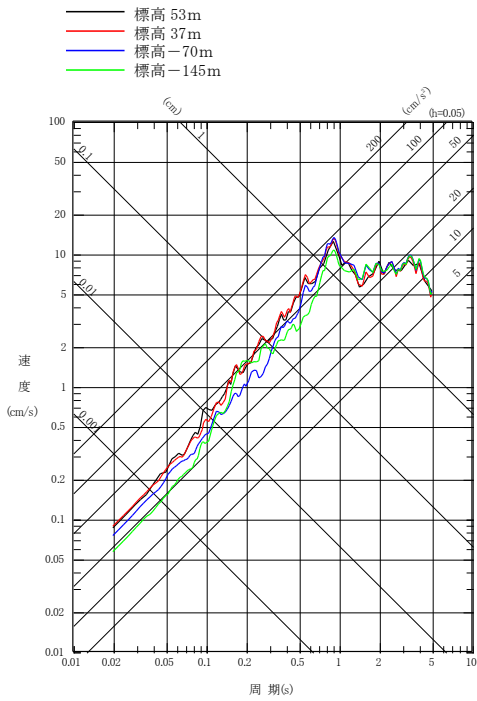
海洋プレート内地震



No. 1 (1996. 2. 17 三八上北地方 M_w 4.3)

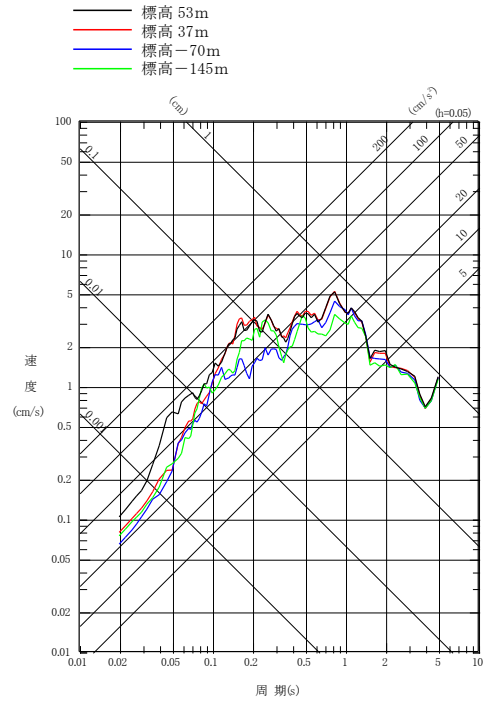
内陸地殻内地震

第 6.5-10 図(2) 地震別応答スペクトル (観測深度の比較)
(E W成分, 減衰定数 (h) = 0.05)



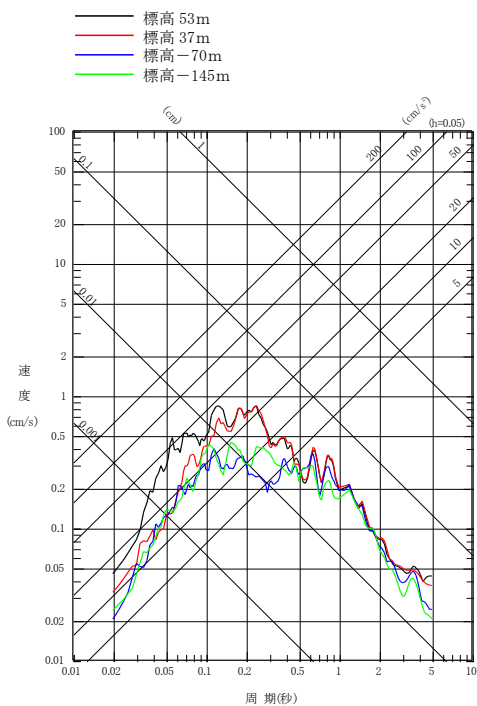
No. 6 (2011. 3. 11 2011年東北地方太平洋沖地震 Mw9.0)

プレート間地震



No. 5 (2008. 7. 24 岩手県沿岸北部 M6.8)

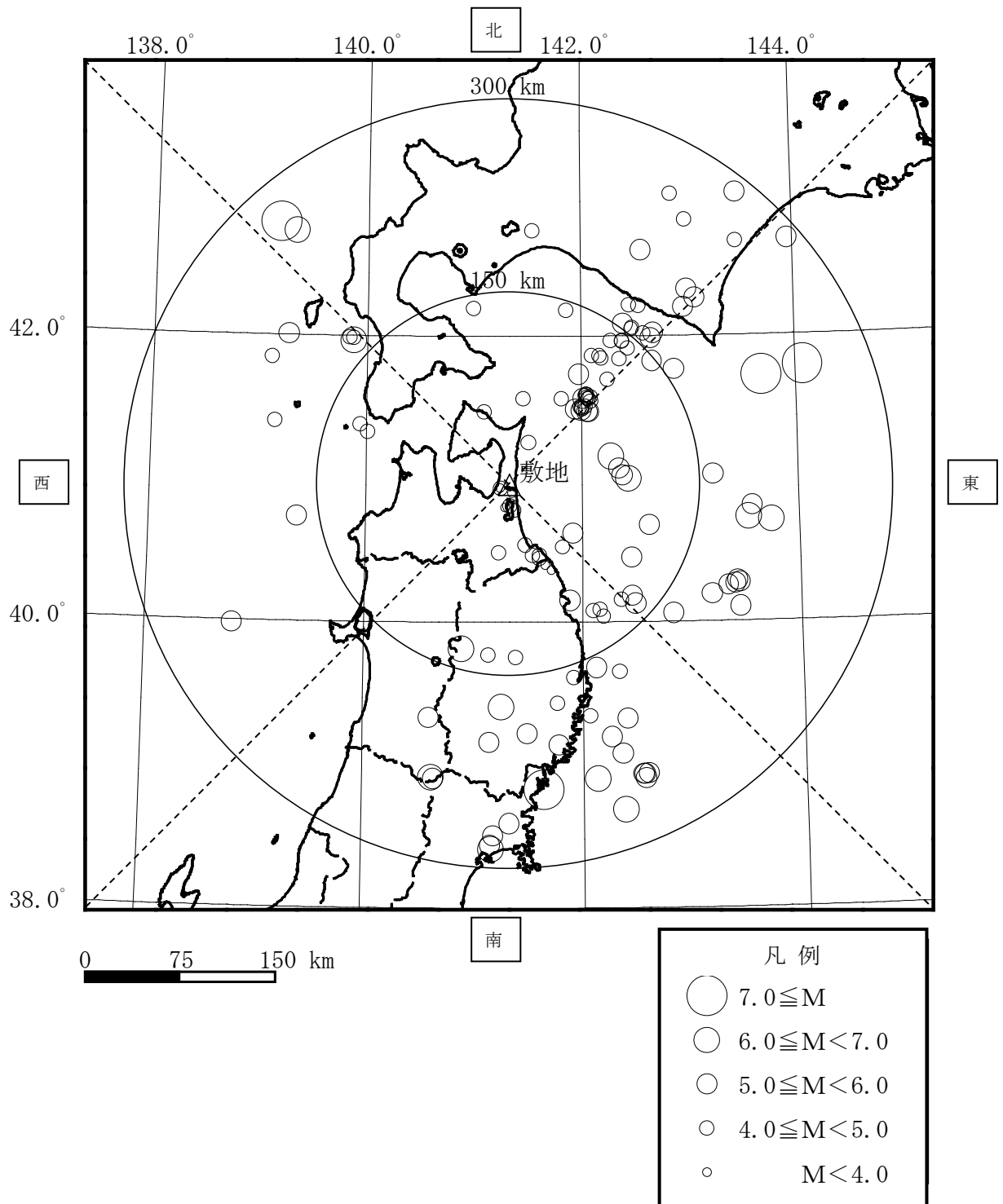
海洋プレート内地震



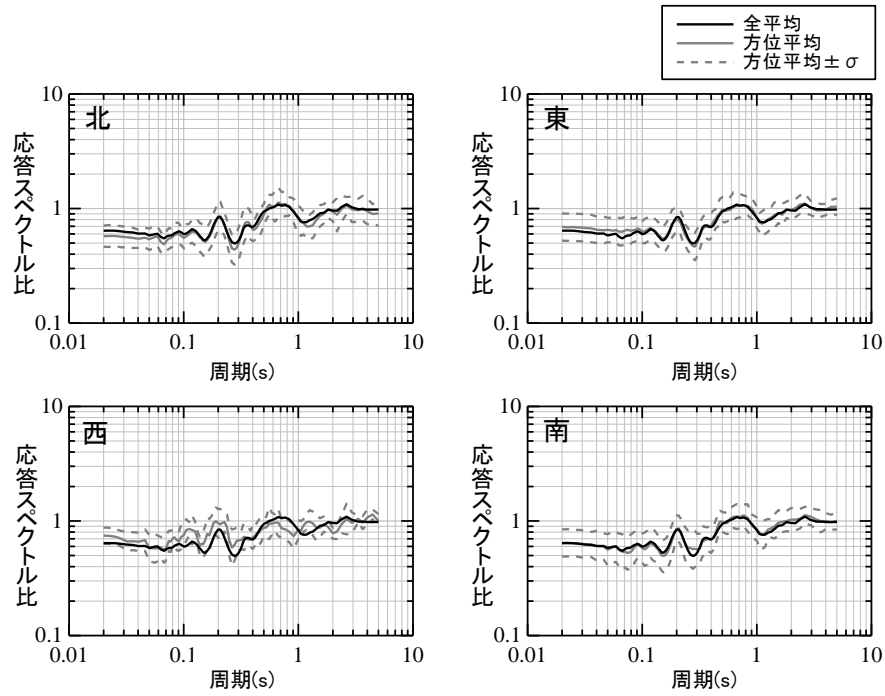
No. 1 (1996. 2. 17 三八上北地方 M4.3)

内陸地殻内地震

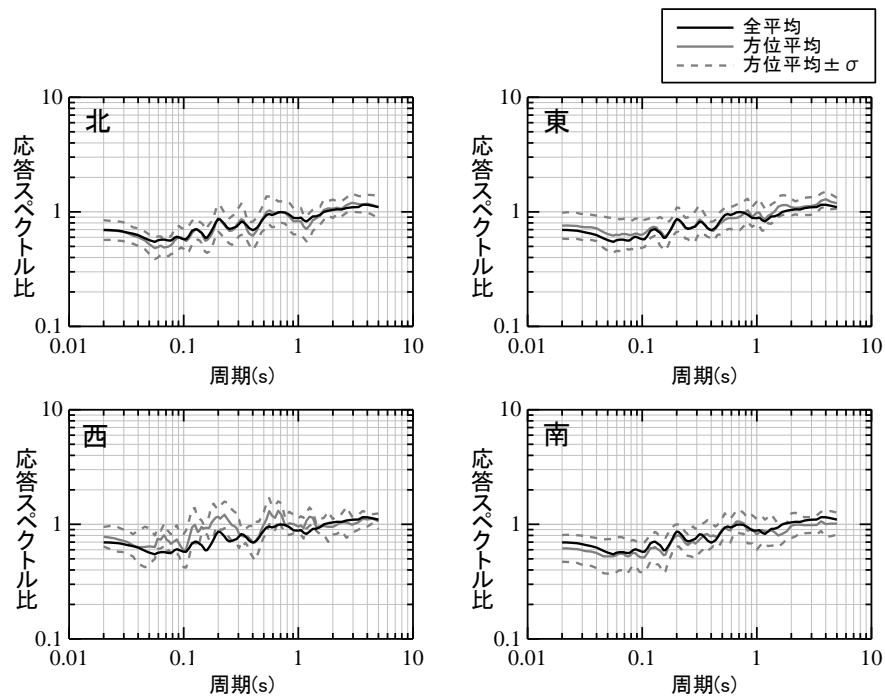
第 6.5-10 図(3) 地震別応答スペクトル (観測深度の比較)
(UD成分, 減衰定数 (h) = 0.05)



第 6.5-11 図 地震波の到来方向別の検討に用いた地震の分布

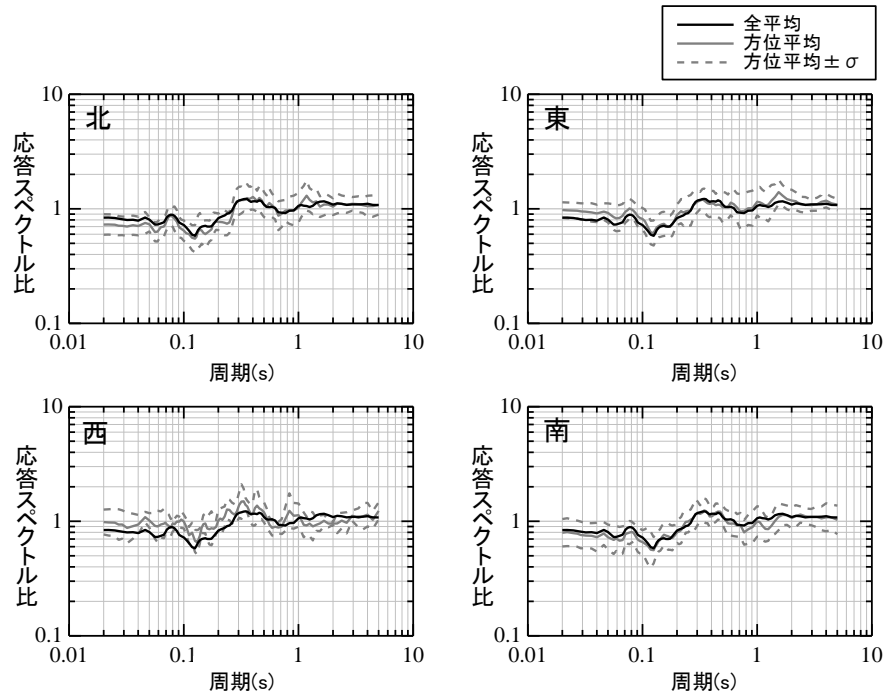


地盤観測点（東側）／代表地盤観測点（NS方向）



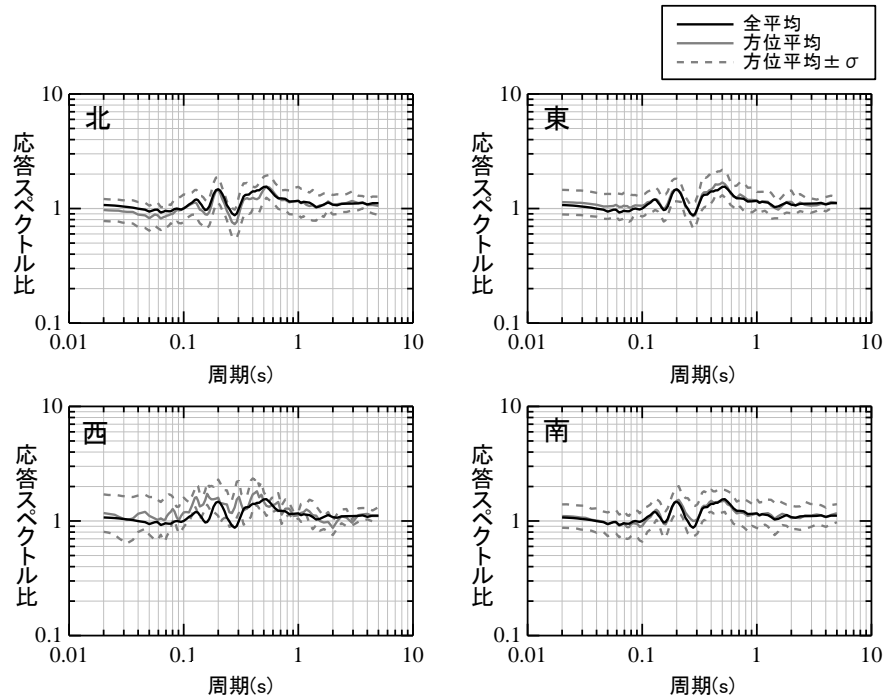
地盤観測点（東側）／代表地盤観測点（EW方向）

第 6.5-12 図(1) 地盤観測点（東側）の到来方向別の応答スペクトル比

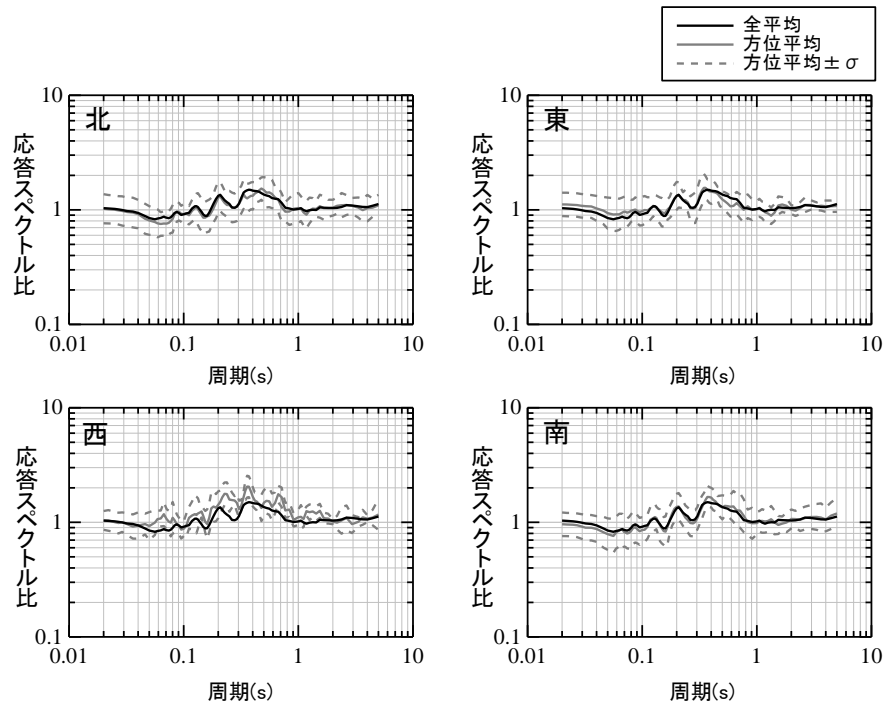


地盤観測点（東側）／代表地盤観測点（UD方向）

第 6.5-12 図(2) 地盤観測点（東側）の到来方向別の応答スペクトル比

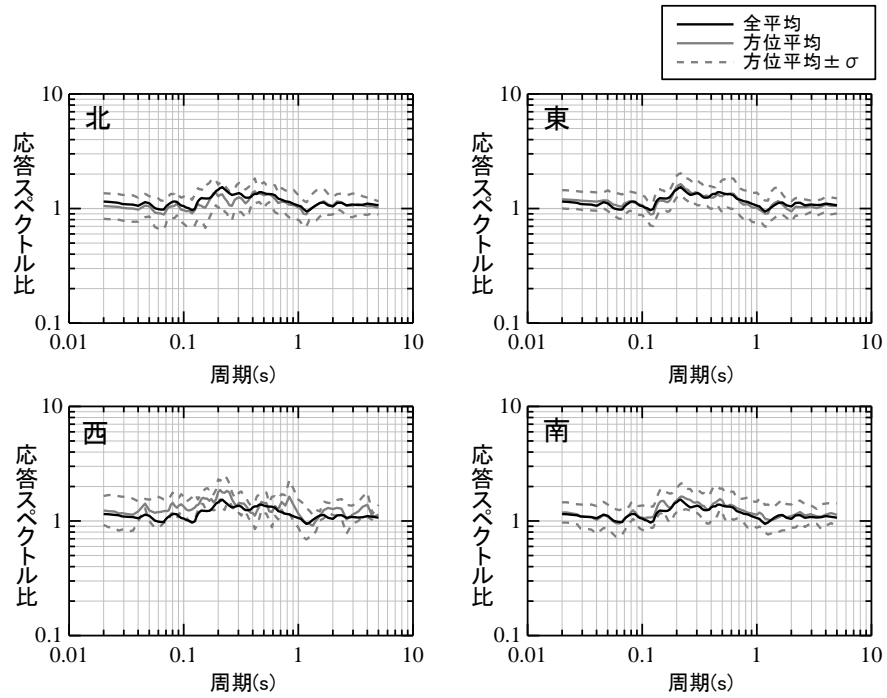


地盤観測点（西側）／代表地盤観測点（NS方向）



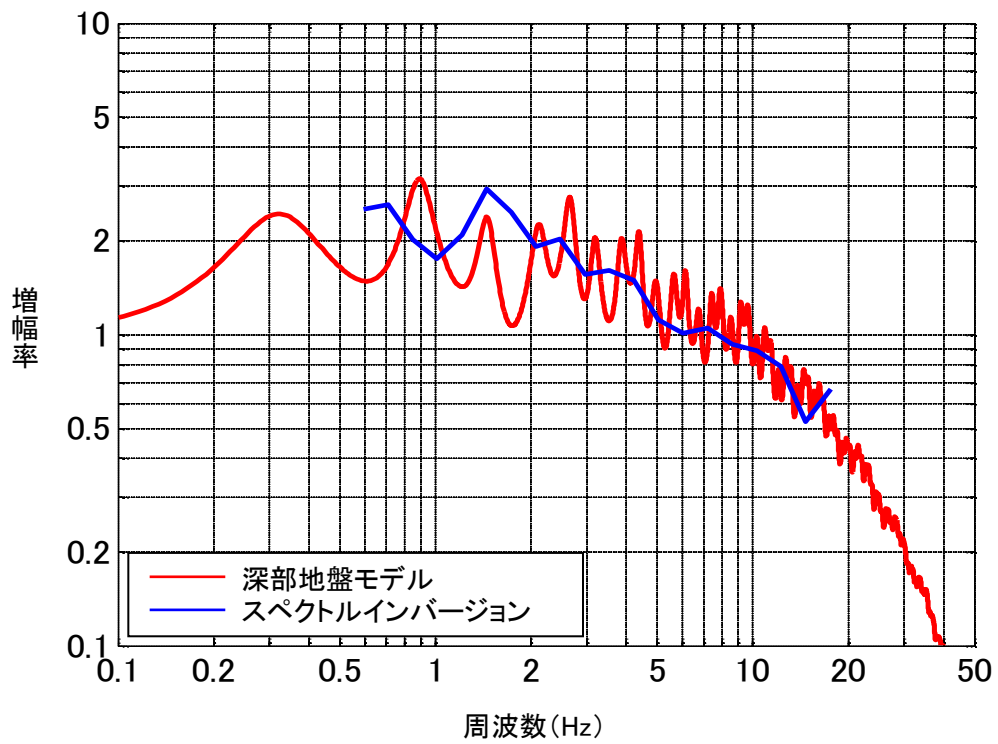
地盤観測点（西側）／代表地盤観測点（EW方向）

第 6.5-12 図(3) 地盤観測点（西側）の到来方向別の応答スペクトル比

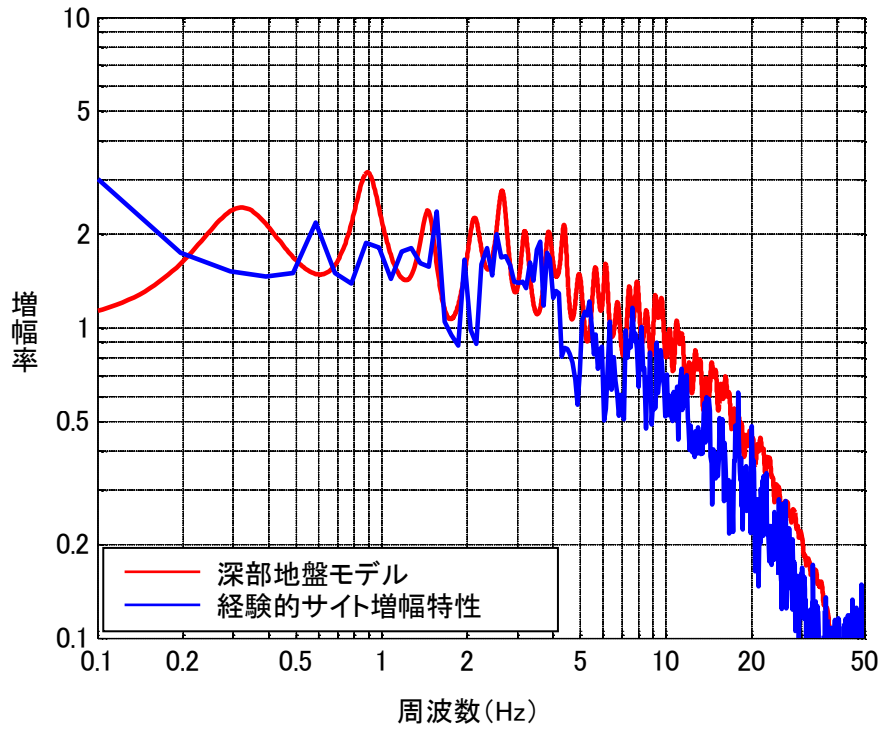


地盤観測点 (西側) / 代表地盤観測点 (UD方向)

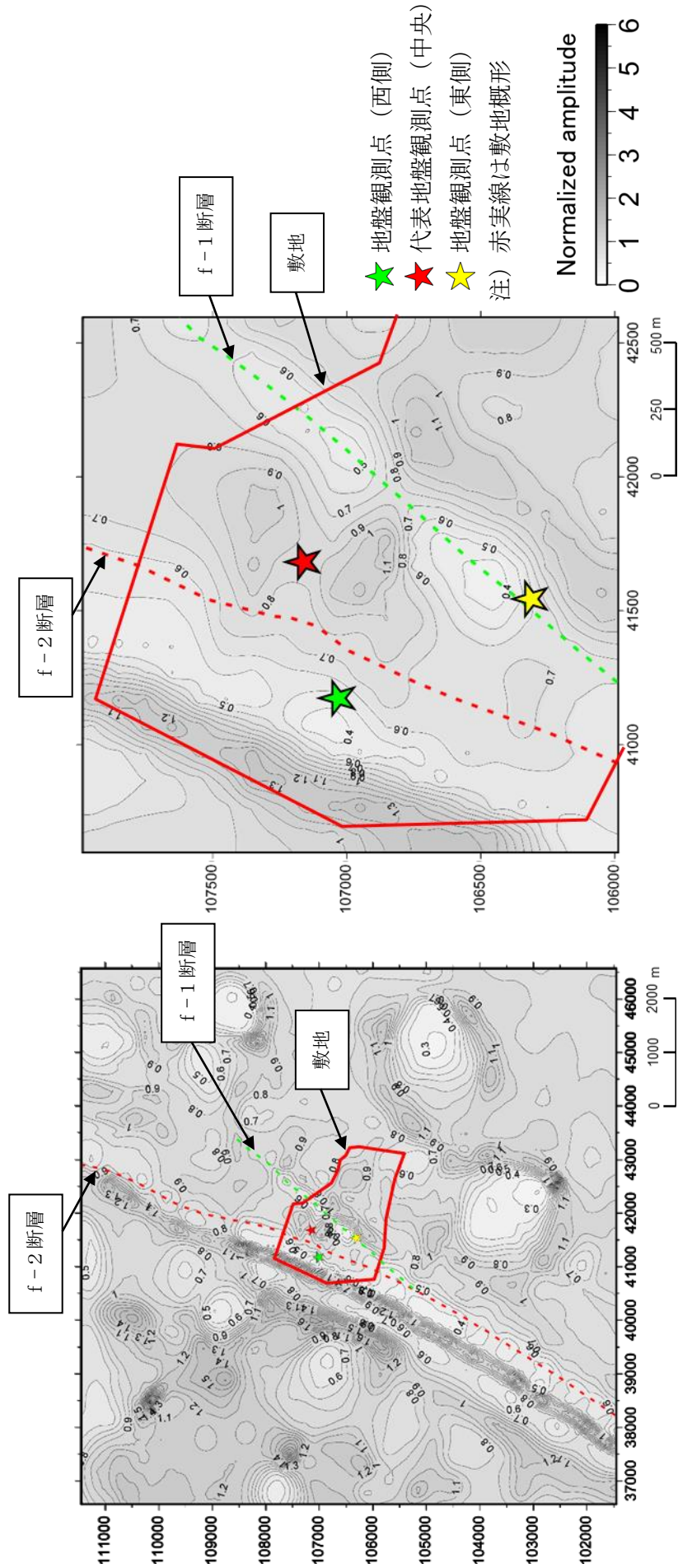
第 6.5-12 図(4) 地盤観測点 (西側) の到来方向別の応答スペクトル比



第 6.5-13 図 深部地盤モデルによる増幅特性とスペクトルインバージョン解析の増幅特性の比較



第 6.5-14 図 深部地盤モデルによる増幅特性と経験的サイト増幅特性の比較

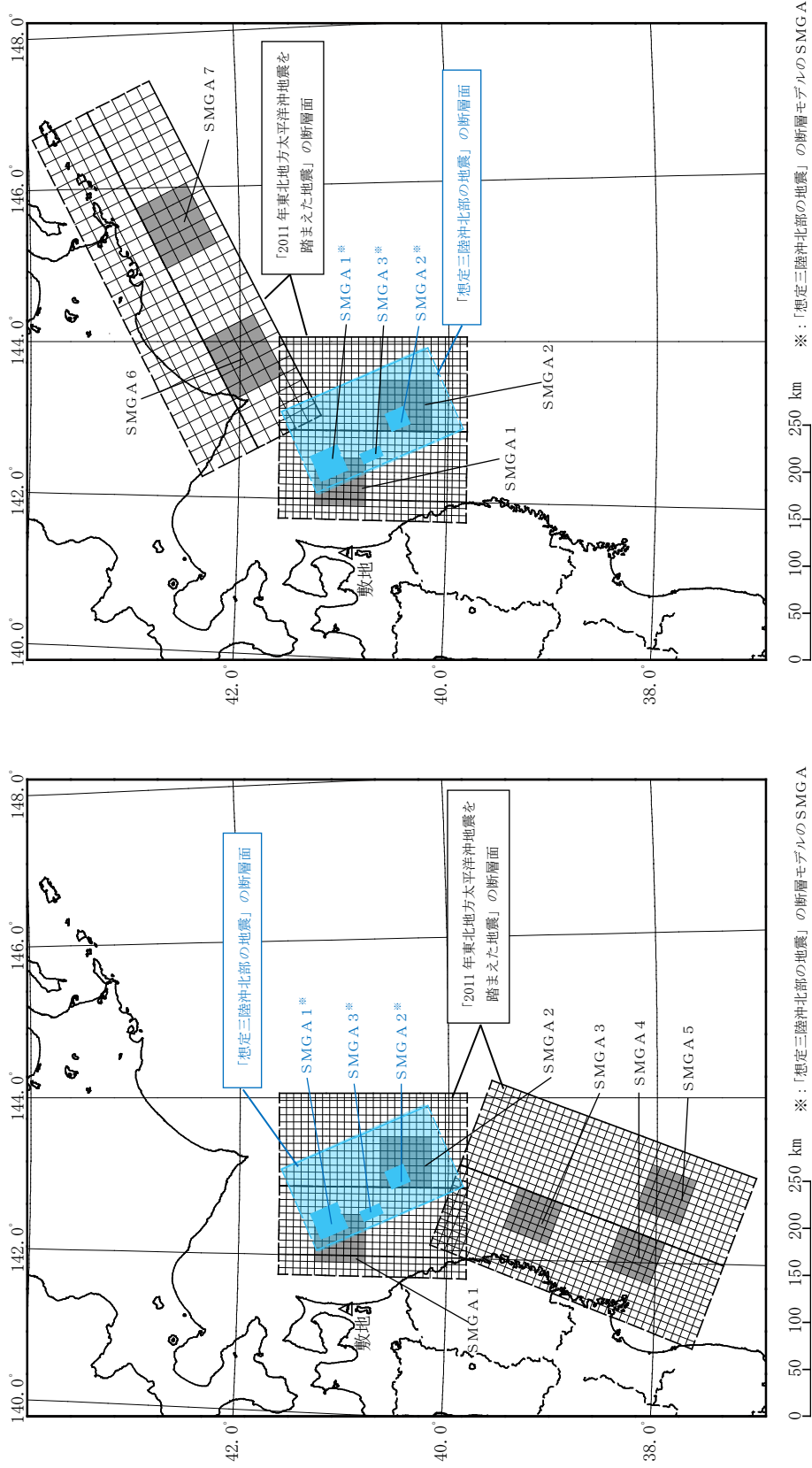


(b) 敷地内

(a) 敷地及び敷地周辺

※深部地盤モデルから計算した解放基盤表面上の最大振幅値を算出した結果を1として正規化

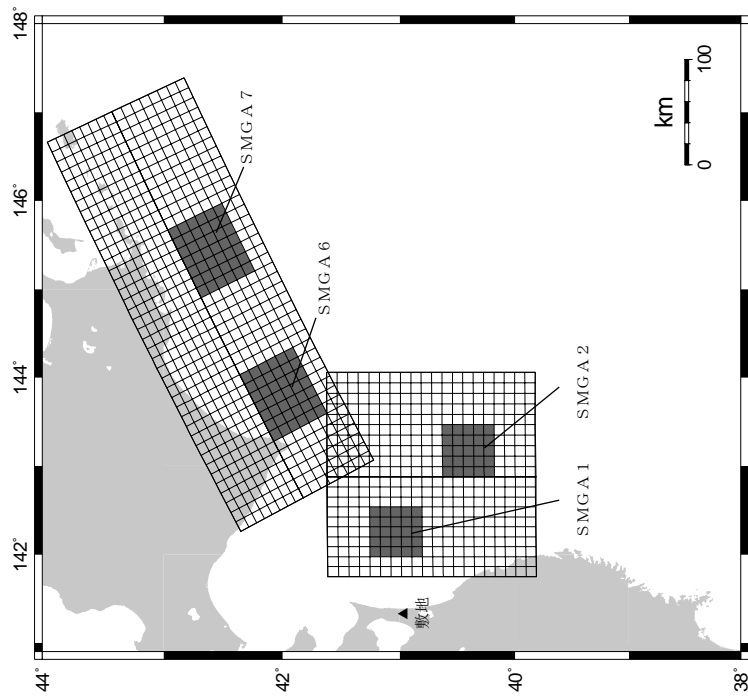
第 6.5-15 図 解放基盤表面 (G. L. -125m) における 3 次元地盤モデルと深部地盤モデルの最大振幅値の比較



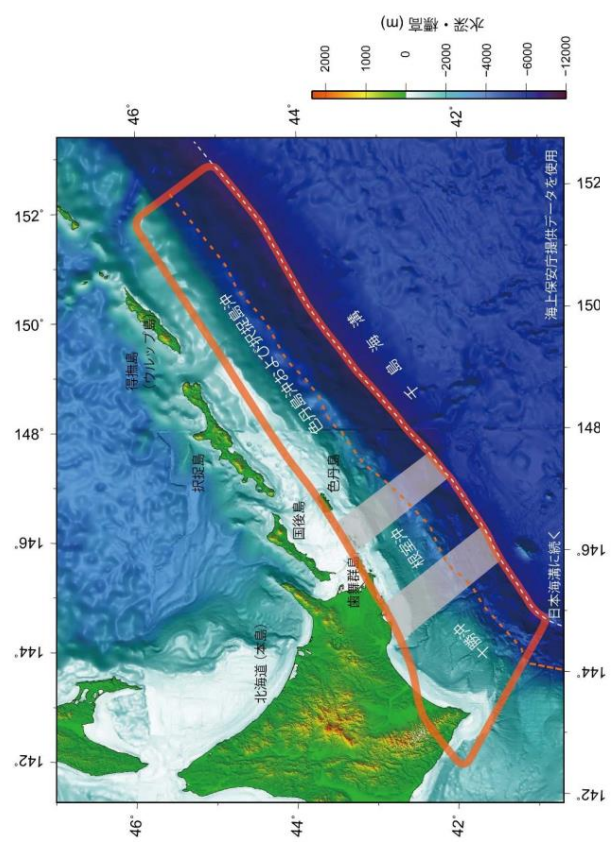
(a) 三陸沖北部～宮城県沖の運動

(b) 三陸沖北部～根室沖の運動

第 6.6-1 図 「想定三陸沖北部の地震」及び「2011 年東北地方太平洋沖地震を踏まえた地震」の断層面比較



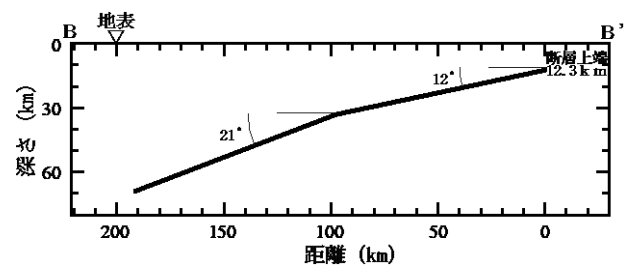
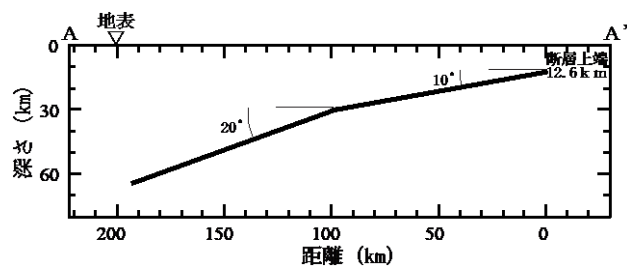
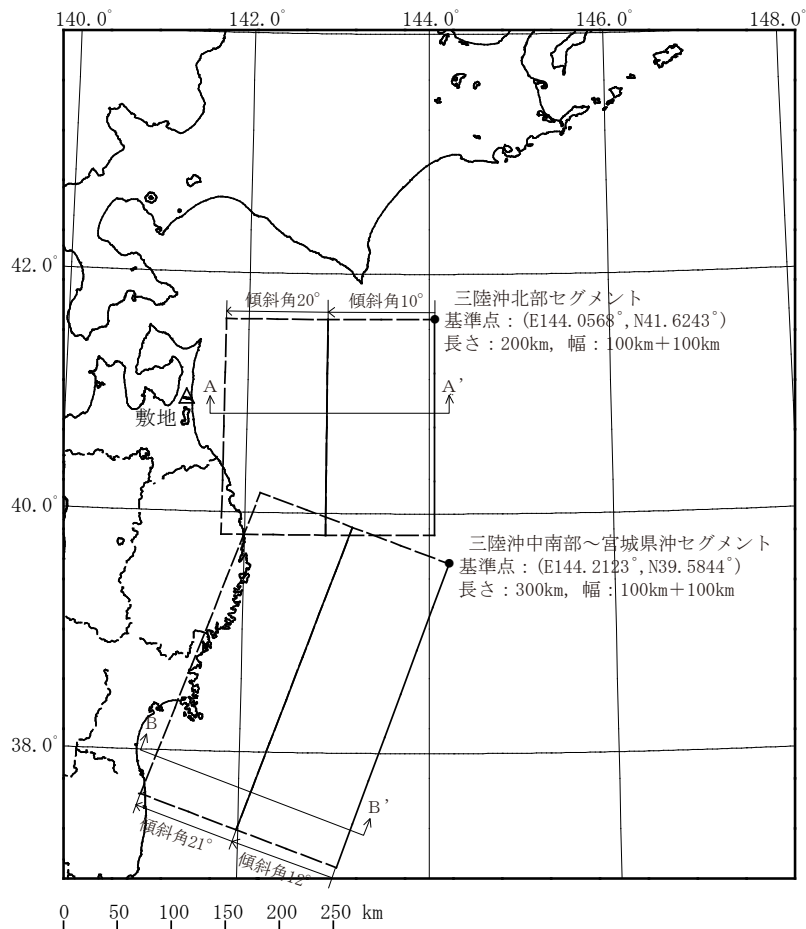
(a) 「2011年東北地方太平洋沖地震を踏まえた地震 (三陸沖北部～根室沖の連動)」の断層面



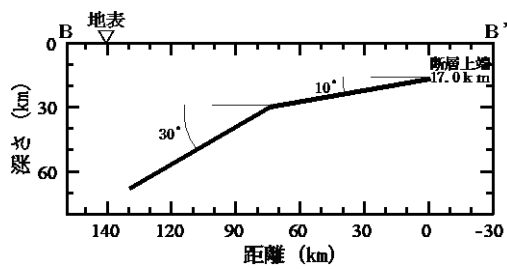
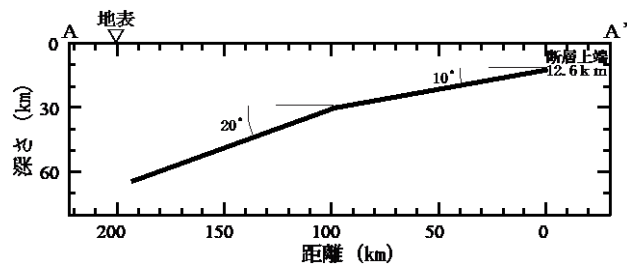
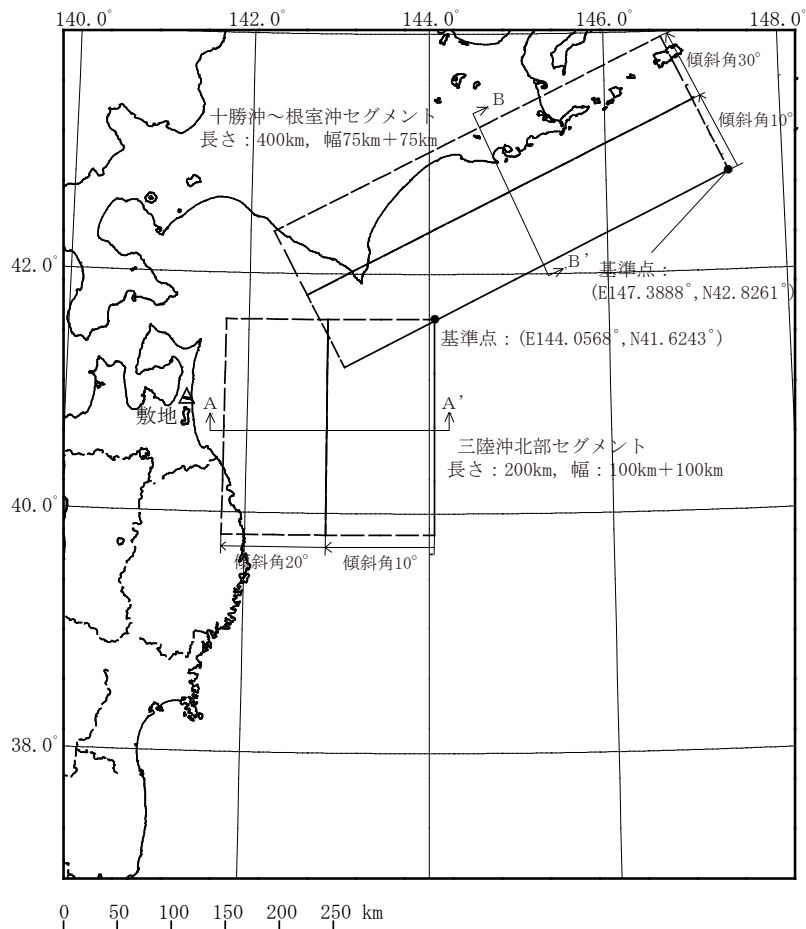
(87) ※地震調査委員会 (2017) より抜粋

(b) 「超巨大地震 (17世紀型)」の評価対象領域

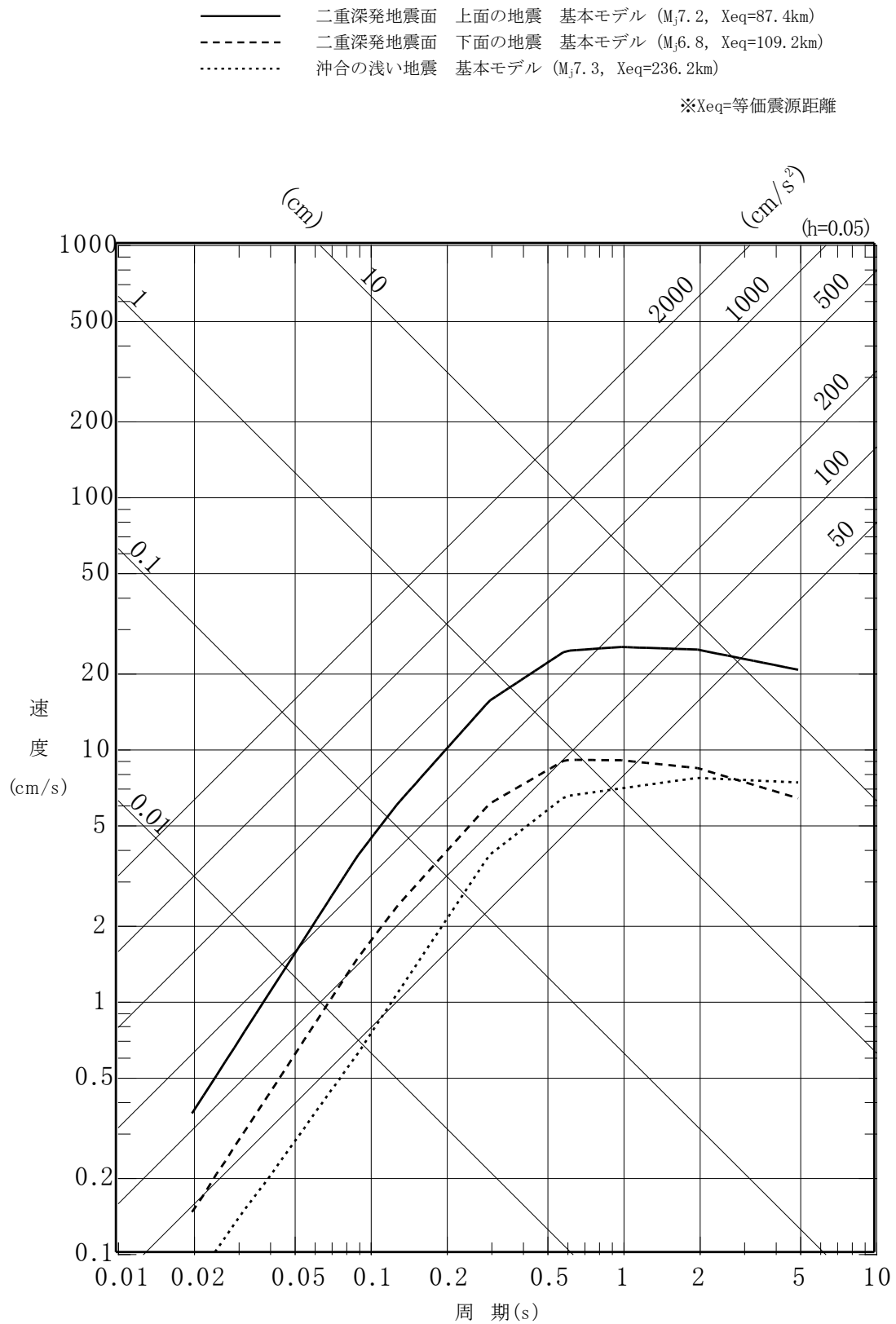
第 6.6-2 図 「2011年東北地方太平洋沖地震を踏まえた地震 (三陸沖北部～根室沖の連動)」の断層面及び「超巨大地震 (17世紀型)」の評価対象領域の比較



第 6.6-3 図(1) 「2011 年東北地方太平洋沖地震を踏まえた地震」の断層面の位置 (三陸沖北部～宮城県沖)

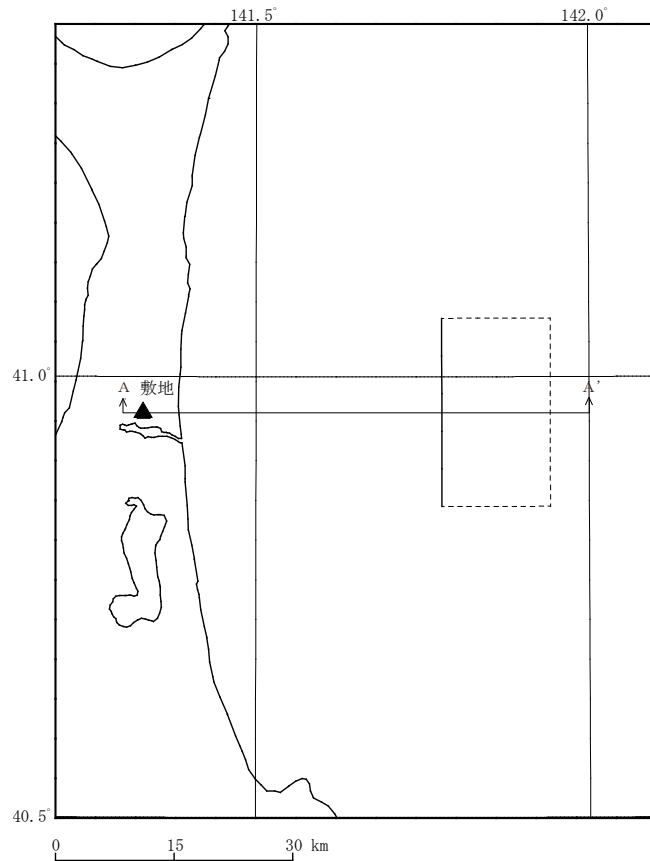


第 6.6-3 図(2) 「2011 年東北地方太平洋沖地震を踏まえた地震」の断層面の位置 (三陸沖北部～根室沖)

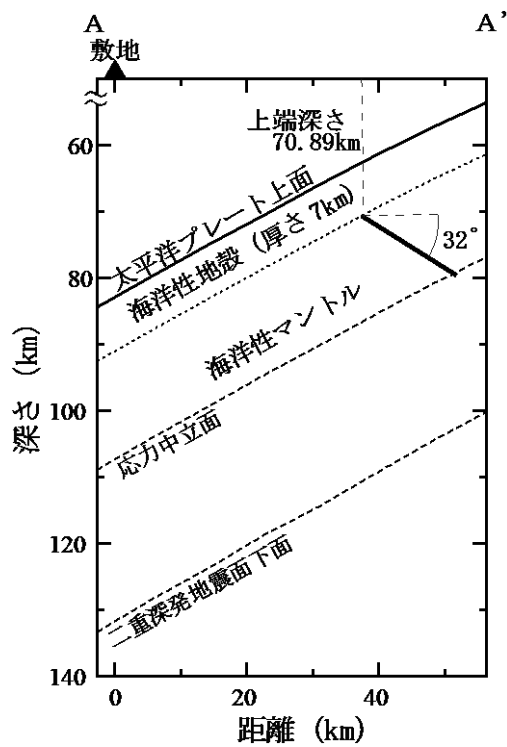


第 6.6-4 図 検討用地震の選定

(Noda et al. (2002)⁽²⁹⁾ による比較)
 (海洋プレート内地震)

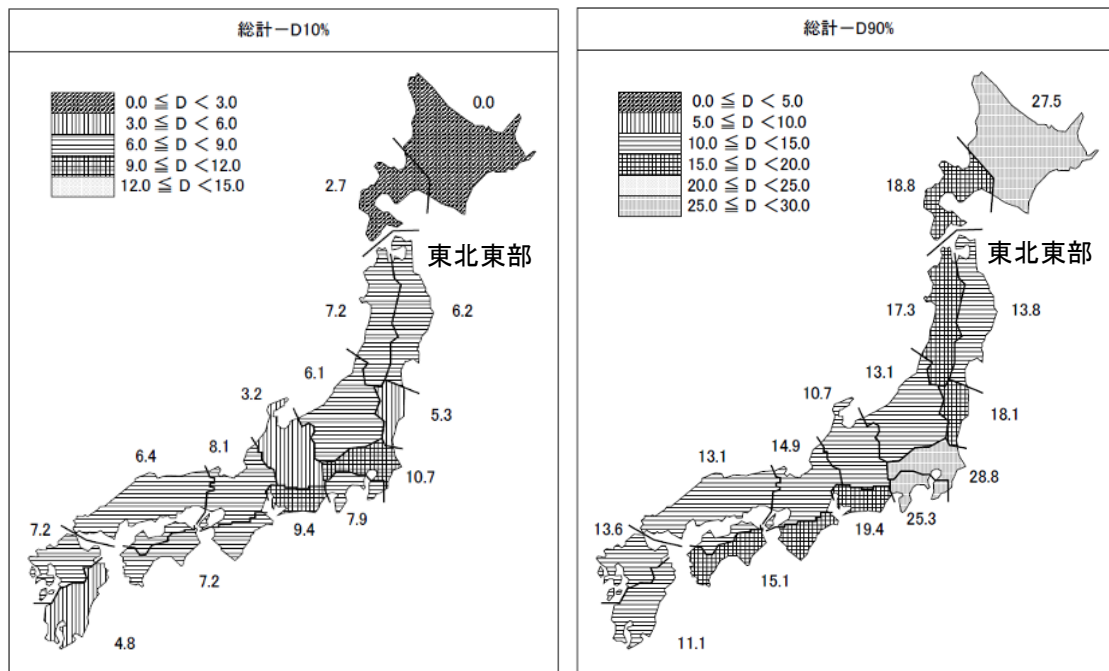


(1) 断層配置図



(2) 断層面 (敷地前面に想定する地震)
(A-A' 断面図)

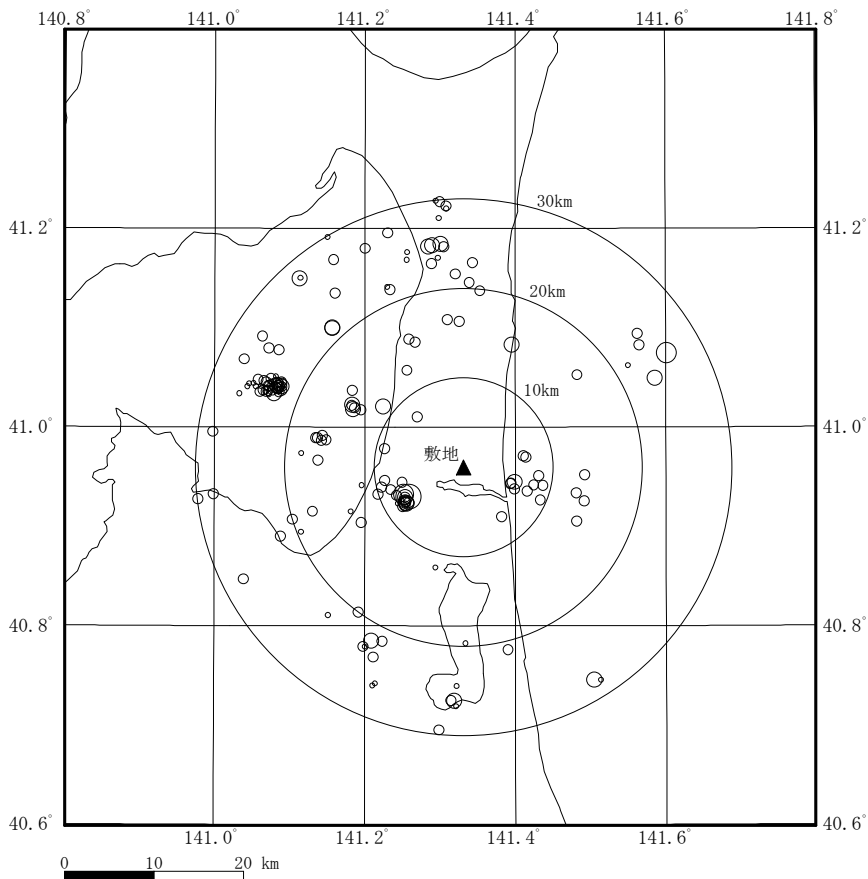
第 6.6-5 図 「想定海洋プレート内地震」の断層面の位置



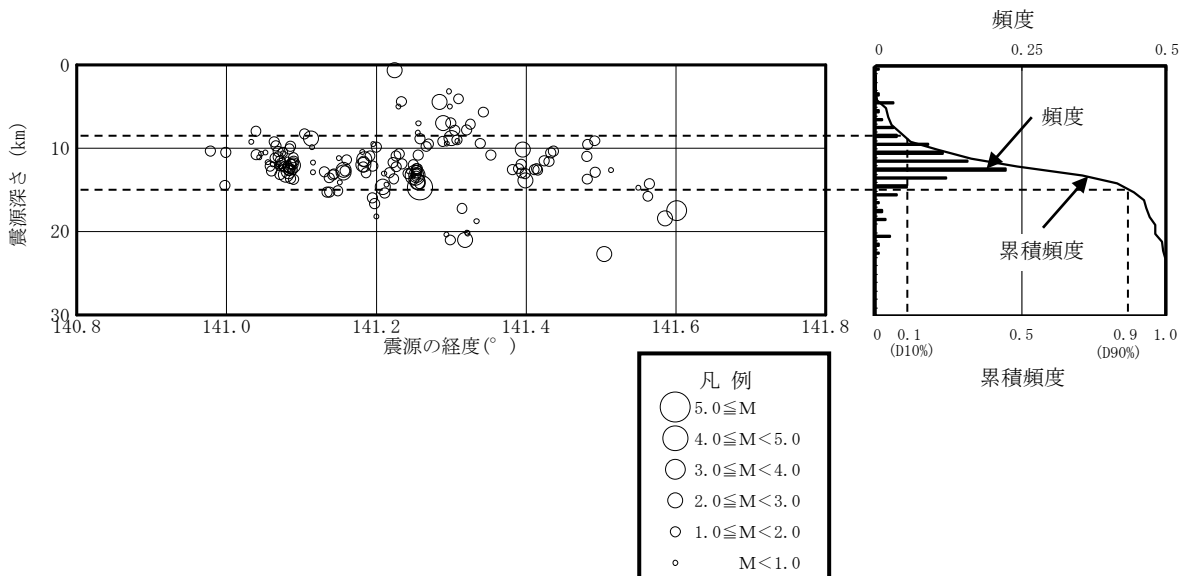
(a) 地震域区分毎のD10% (k m) の分布

(b) 地震域区分毎のD90% (k m) の分布

第 6.6-6 図 ⁽³¹⁾ 原子力安全基盤機構 (2004) による
地震域区分毎の地震発生上下限層分布図

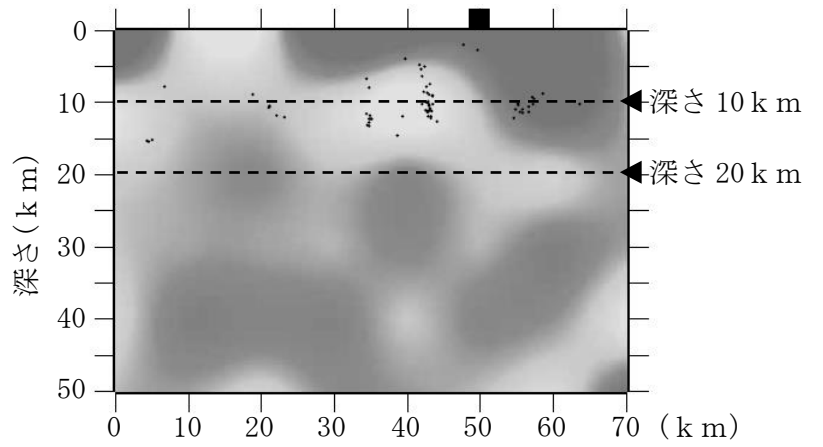
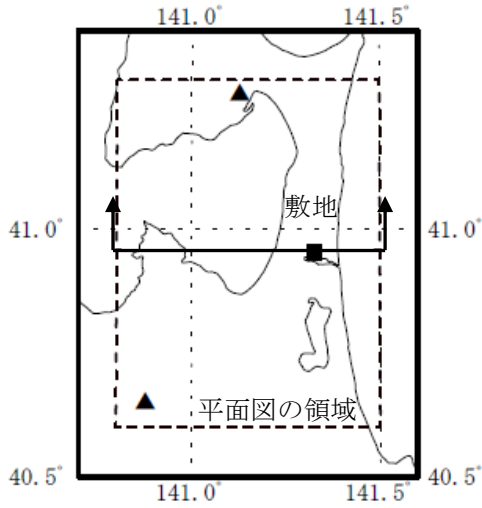


(a) 震央分布

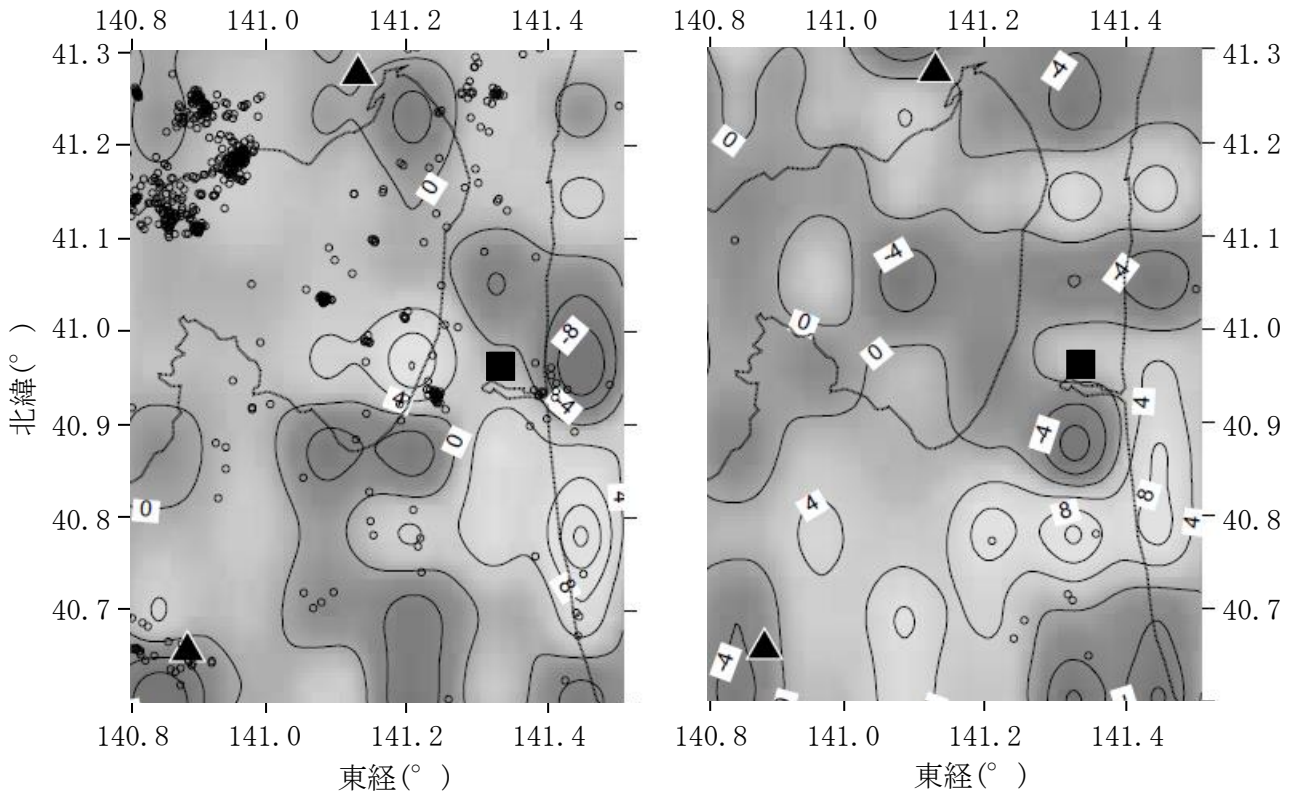


(b) 鉛直分布

第 6.6－7 図 敷地周辺の小・微小地震の震央分布及び震源の鉛直分布
(1997 年 10 月～2011 年 12 月)



(a) 東西断面図

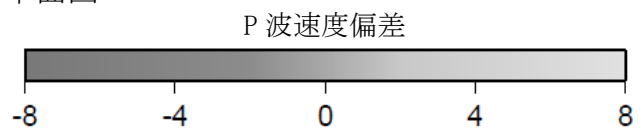


(i) 深さ 10 k m

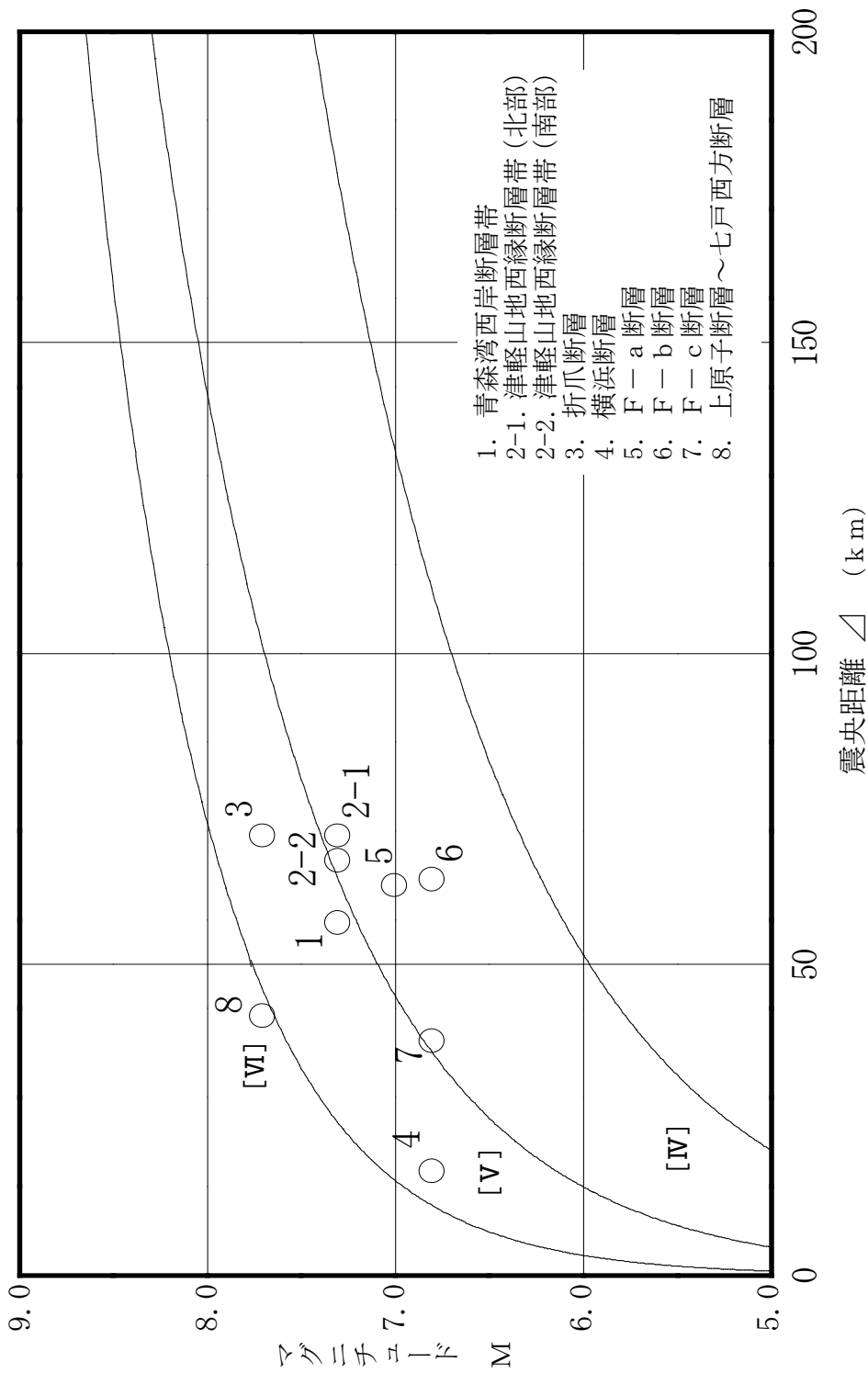
(ii) 深さ 20 k m

(b) 平面図

■ : 敷地
▲ : 火山



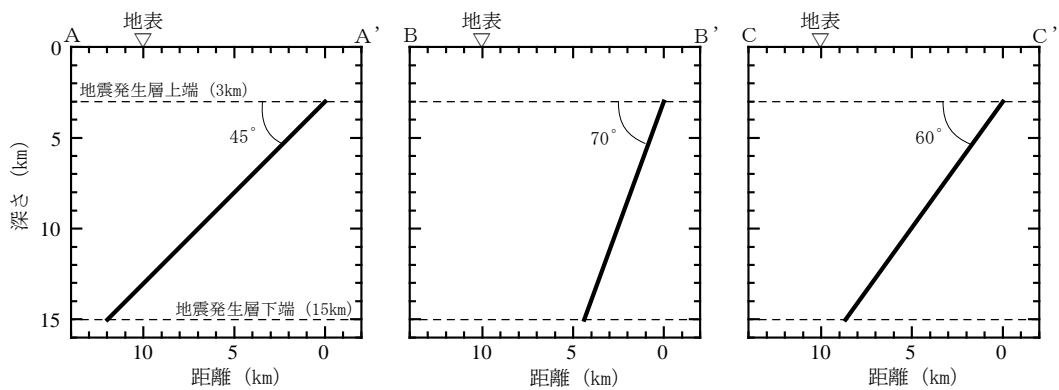
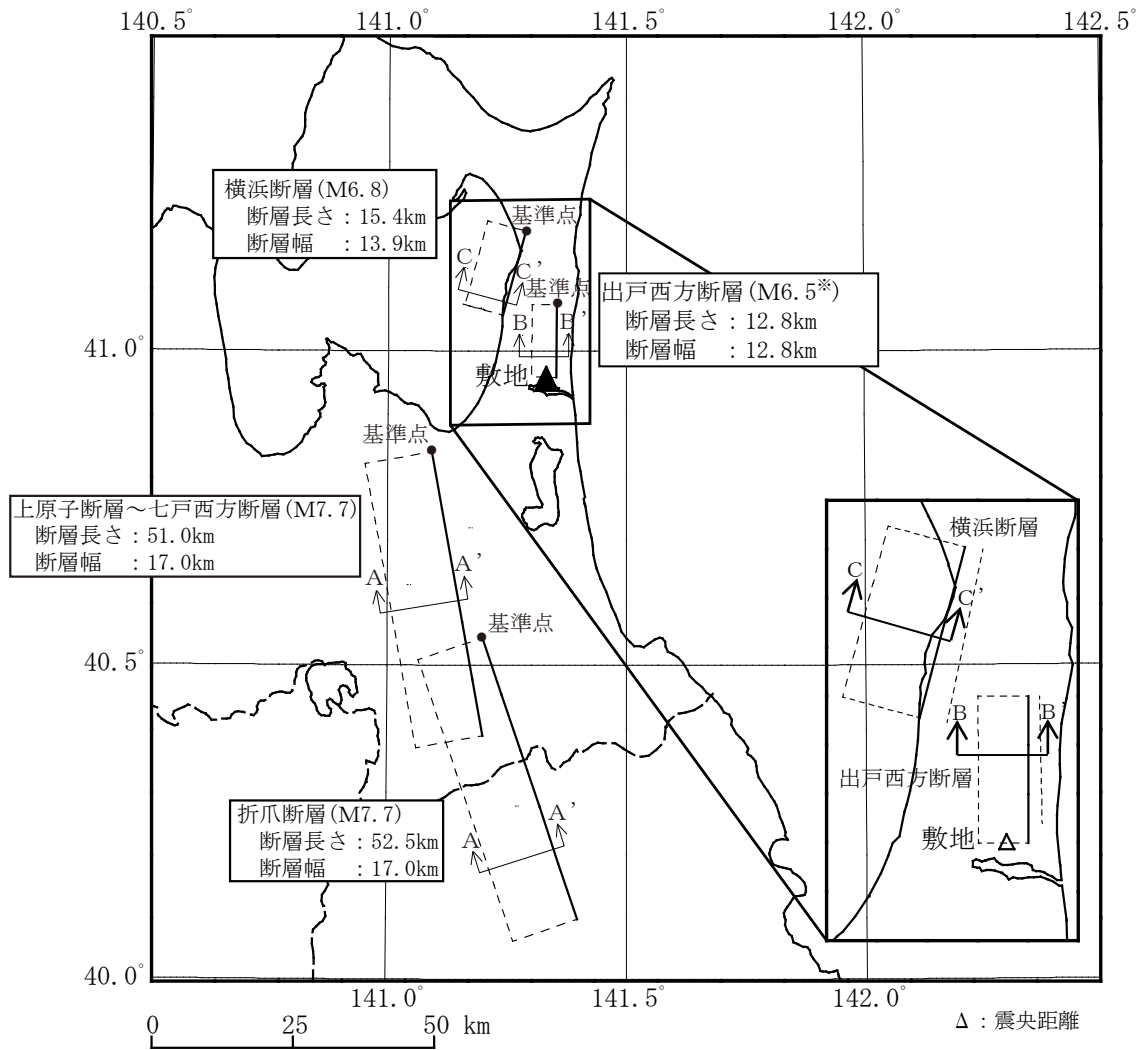
第 6.6-8 図 敷地周辺における地震波トモグラフィ解析結果



注) 震央距離 Δ は敷地から断層の中心までの距離とする。

[IV], [V], [VI] は気象庁震度階級で、村松⁽¹⁾⁽⁵⁾、勝又・徳永⁽¹⁾⁽⁶⁾ (1971) による。

第 6.6-9 図 敷地周辺の主な活断層から想定される地震のマグニチュード-震央距離



※出戸西方断層の地震の規模は、震源断層面が地震発生層の上限から下限まで広がっていることと、

断層傾斜角を考慮し断層長さを求め、^(6.2)_(6.6)以下の式により算定する。

$$M_0 = \{ S / (2.23 \times 10^{-15}) \}^{1.5}$$

M_0 : 地震モーメント (dyne·cm), S : 断層面積 (km²)

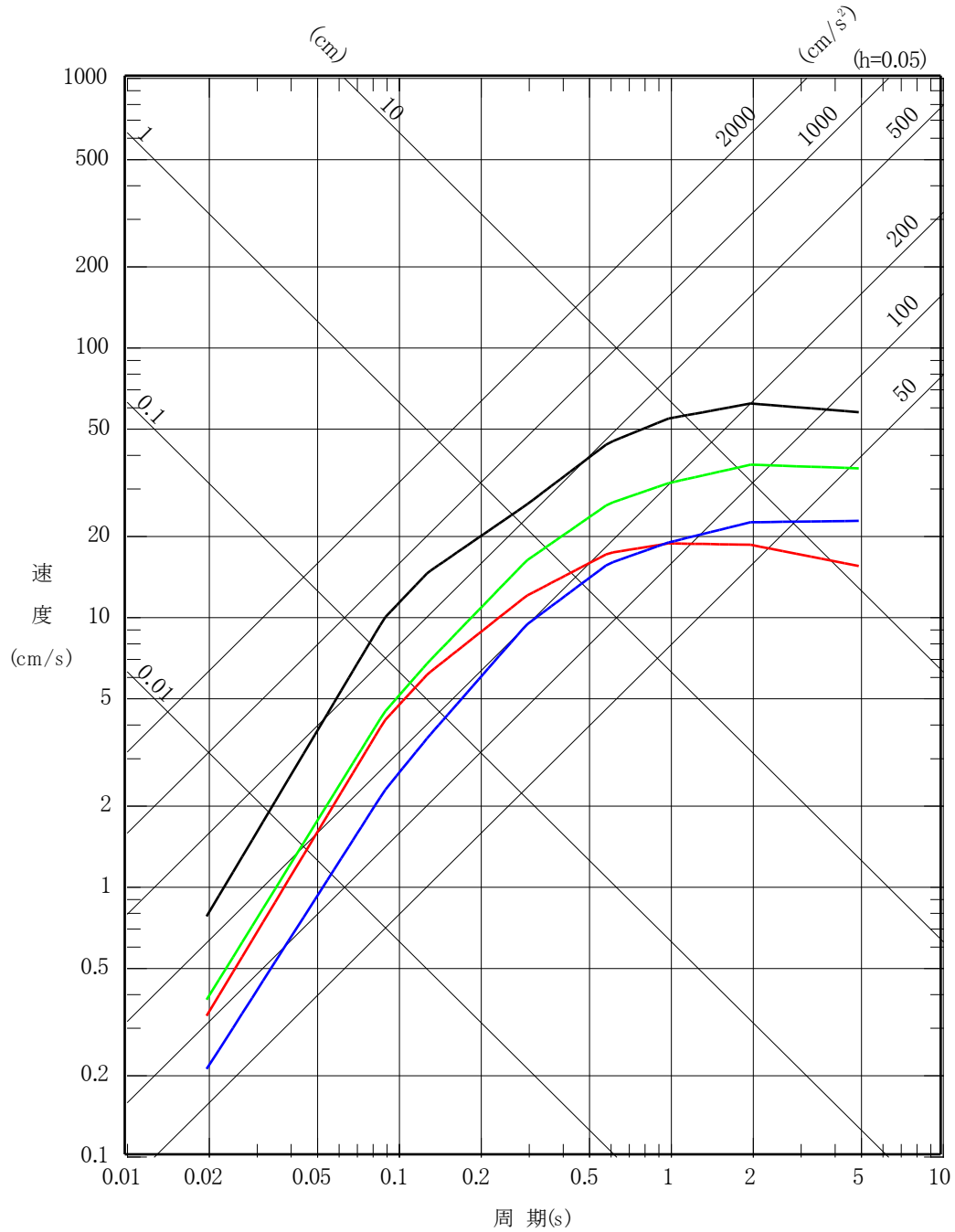
$$\text{Log}M_0 = 1.17M + 17.72$$

M : 気象庁マグニチュード

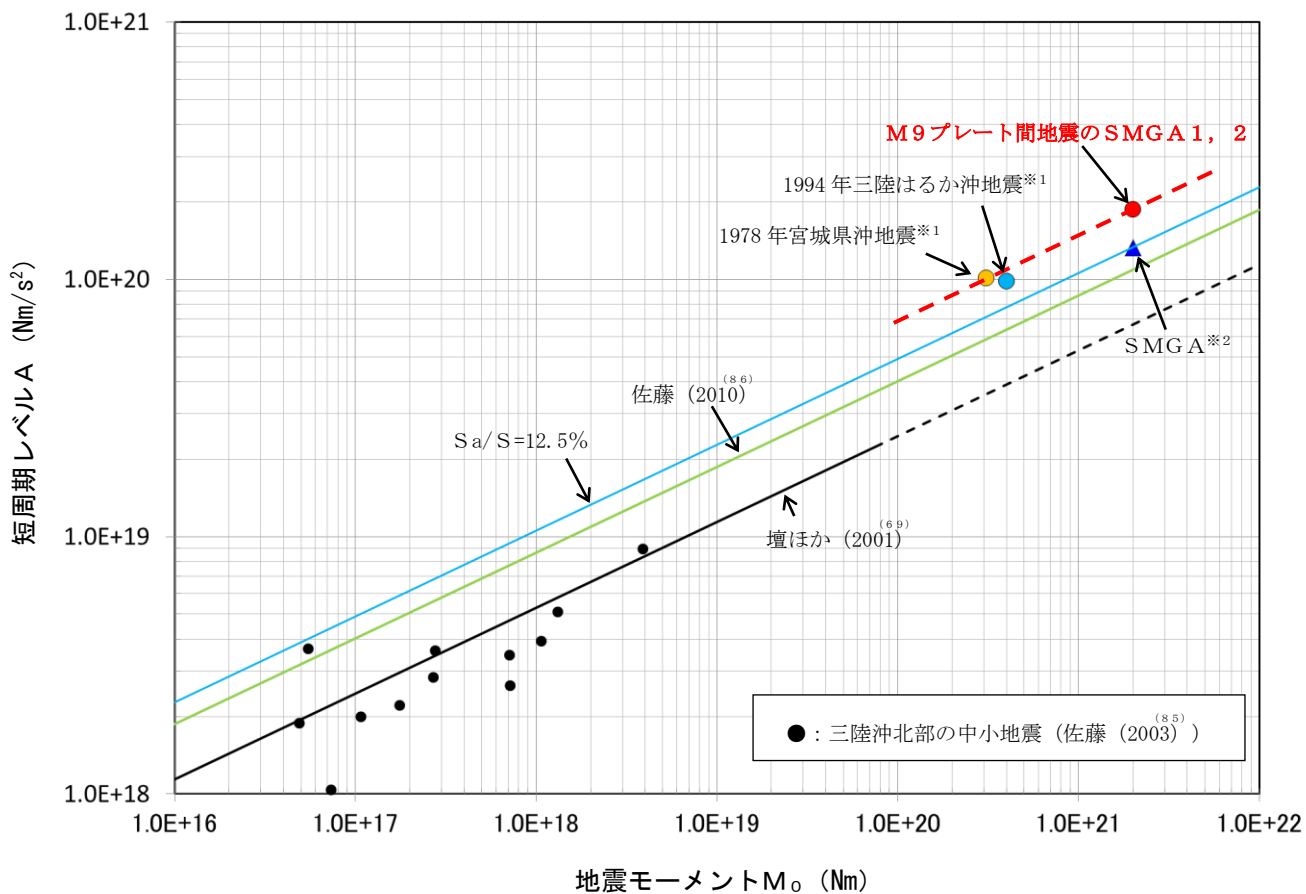
第 6.6-10 図 選定した内陸地殻内地震の断層面の位置

- 出戸西方断層による地震 (M6.5, Xeq=8.1km)
- 横浜断層による地震 (M6.8, Xeq=22km)
- 折爪断層による地震 (M7.7, Xeq=70km)
- 上原子断層～七戸西方断層による地震 (M7.7, Xeq=42km)

※Xeq=等価震源距離

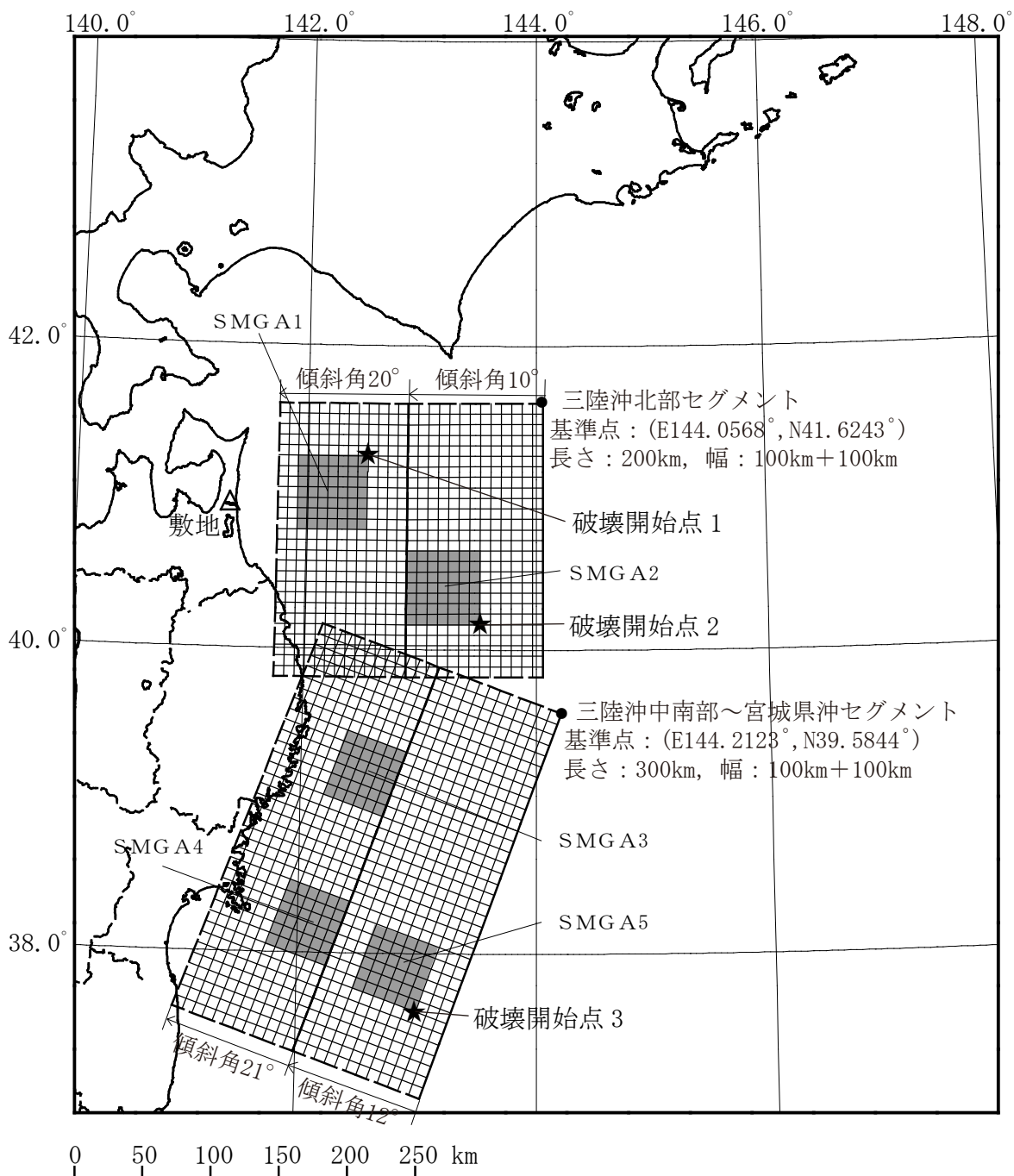


第 6.6-11 図 敷地に影響を与えるおそれがあると考えられる地震の
応答スペクトル

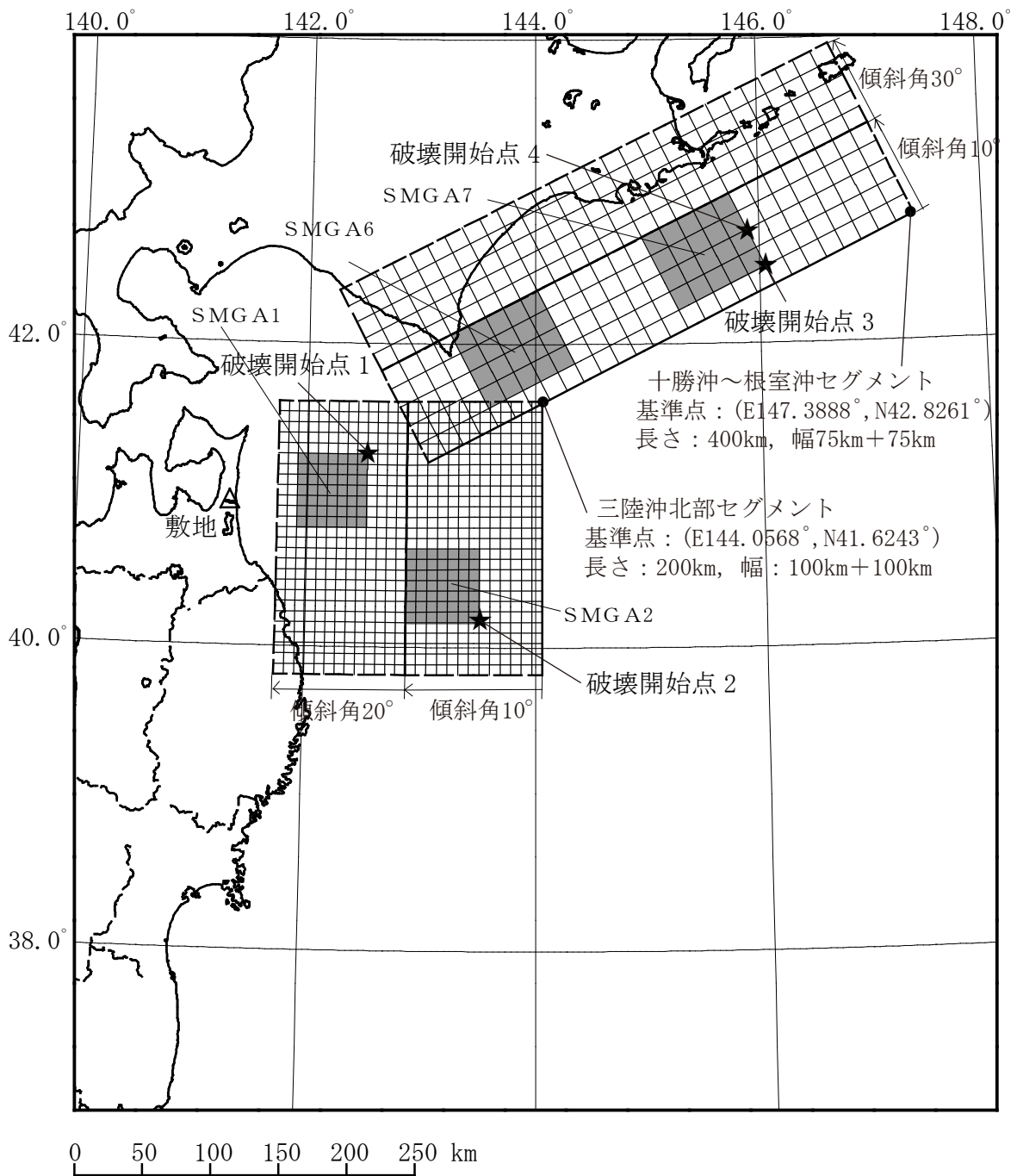


※1 : 片岡ほか (2006)⁽⁴⁸⁾ による。
 ※2 : 諸井ほか (2013)⁽³⁸⁾ の1個のSMGAをここではひとつの地震として表示している。

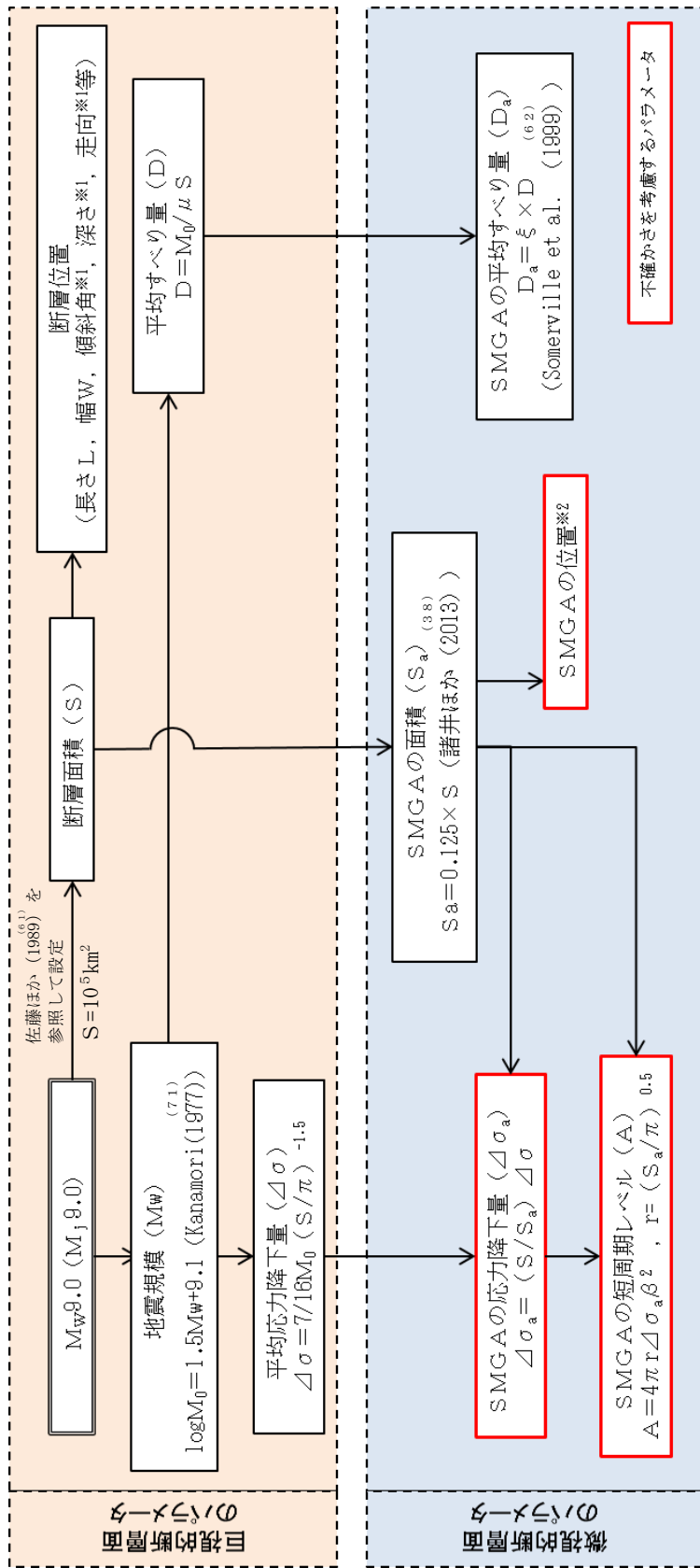
第 6.6-12 図 短周期レベルと既往スケーリング則の比較



第 6.6-13 図(1) 「2011 年東北地方太平洋沖地震を踏まえた地震」の断層モデル（三陸沖北部～宮城県沖の連動，基本モデル）



第 6.6-13 図(2) 「2011 年東北地方太平洋沖地震を踏まえた地震」の断層モデル (三陸沖北部～根室沖の連動, 基本モデル)



参考文献を付記していない数式は、地震調査委員会 (2016) ^(7.6) による。

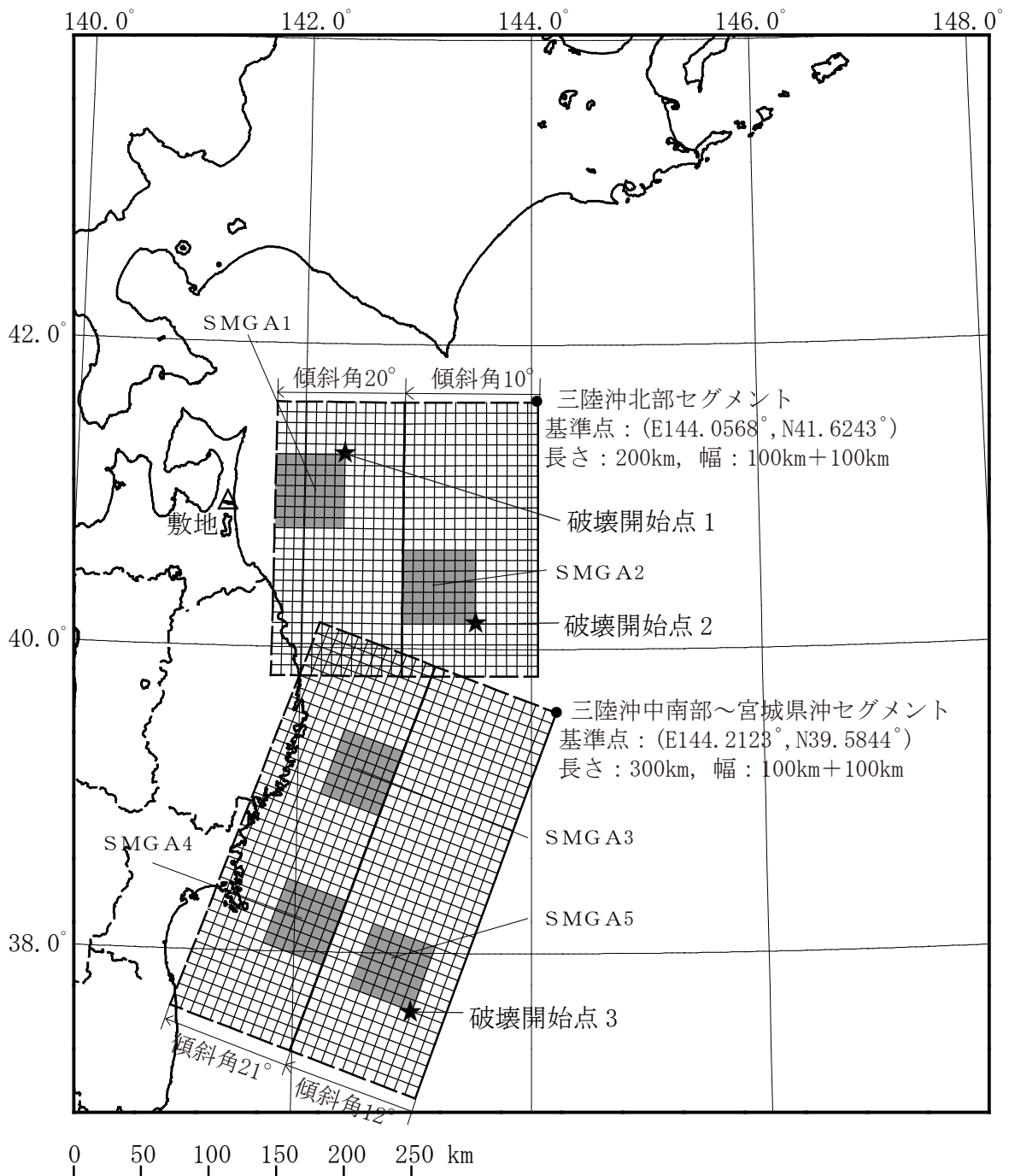
※1：海洋プレートの形状・もぐりこみ角度等を考慮して設定

※2：過去の地震のすべり分布に基づき、各領域に設定

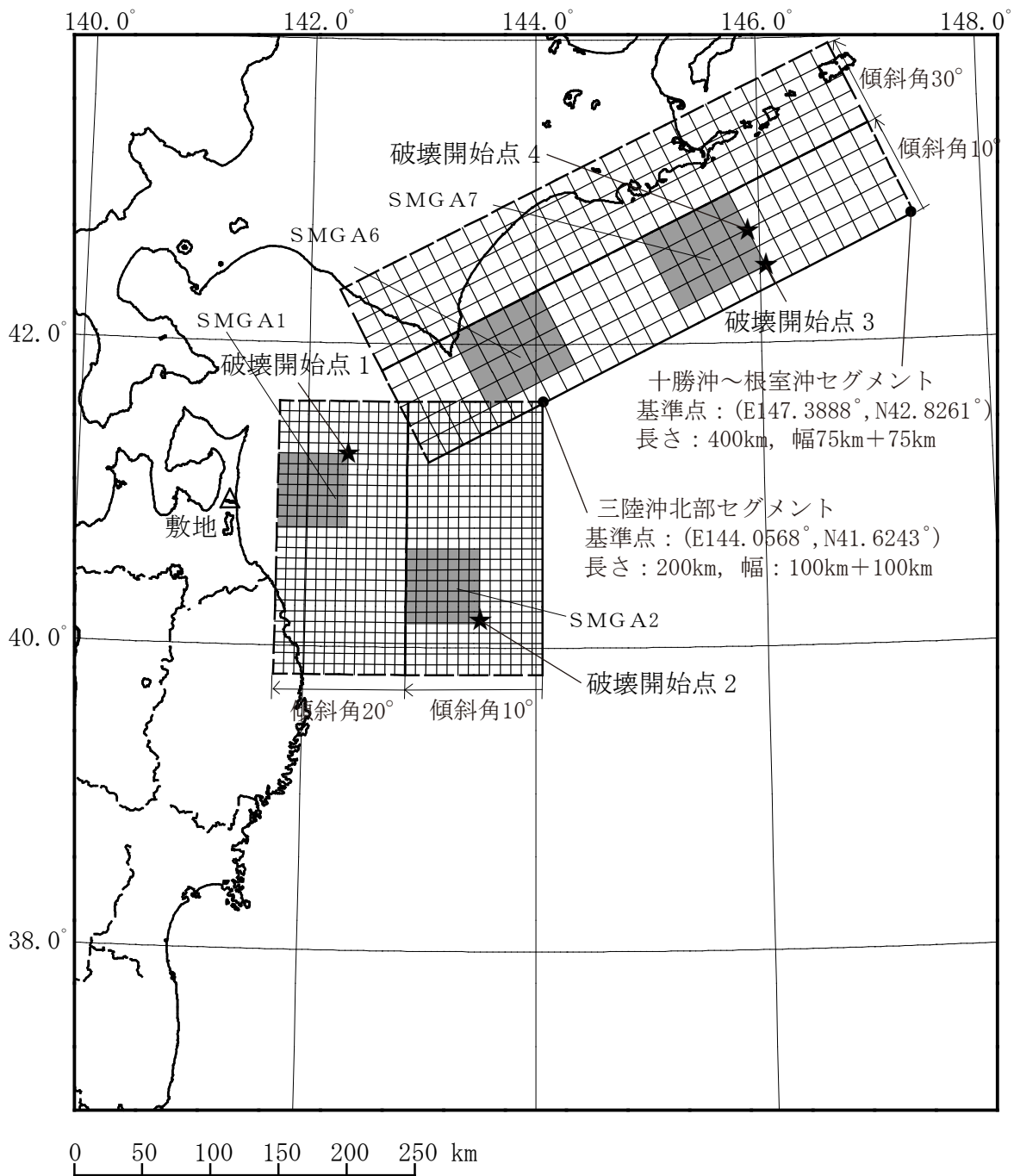
その他パラメータ

- S 波速度 β , 剛性率 μ : 地震調査委員会 (2004) ^(2.7) と同様、プレート上面の海洋性地殻の値を参照し設定した。
- 破壊伝播速度 V_r : 諸井ほか (2013) ^(3.8) における東北地方太平洋沖地震の震源インバージョン結果を参照し, $V_r=3.0\text{km/s}$ とした。
なお、この値は、地震調査委員会 (2004) ^(2.7) による三陸沖北部の地震 ($M_w 8.3$) の評価において採用されている値 ($V_r=2.5\text{km/s}$) よりも大きな値となっている。

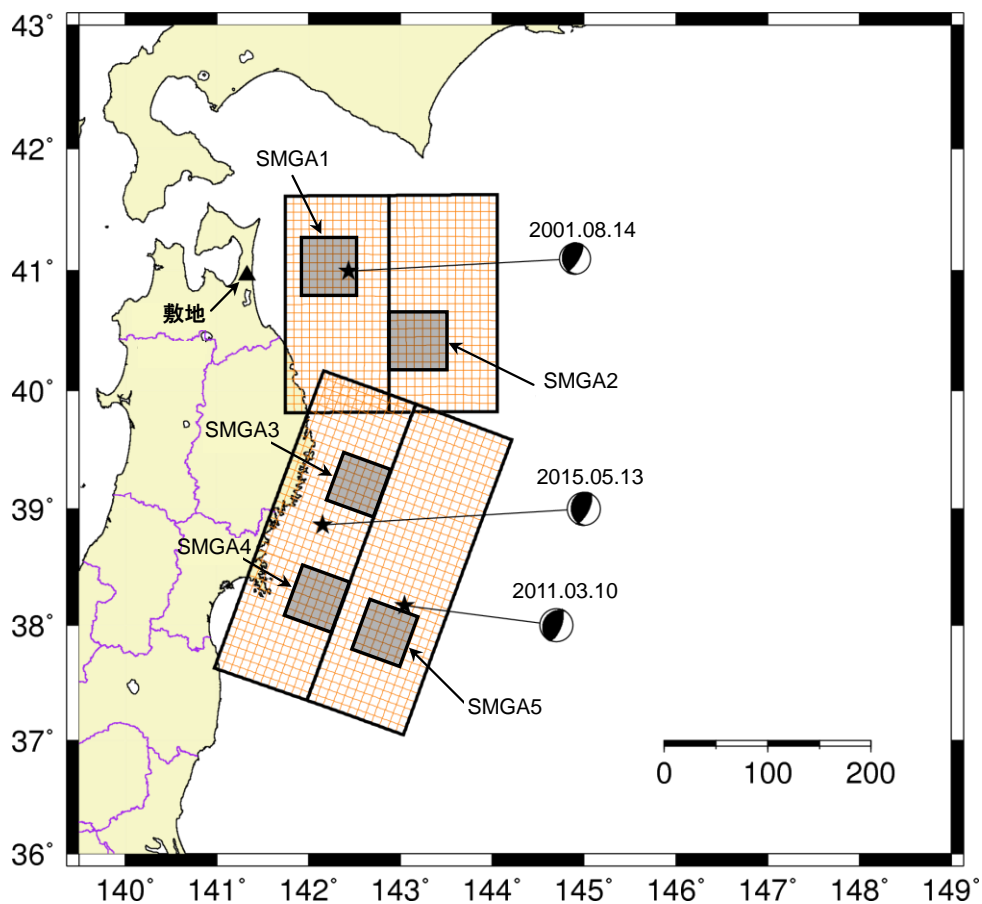
第 6.6-14 図 断層モデル パラメータ設定フロー (プレート間地震)



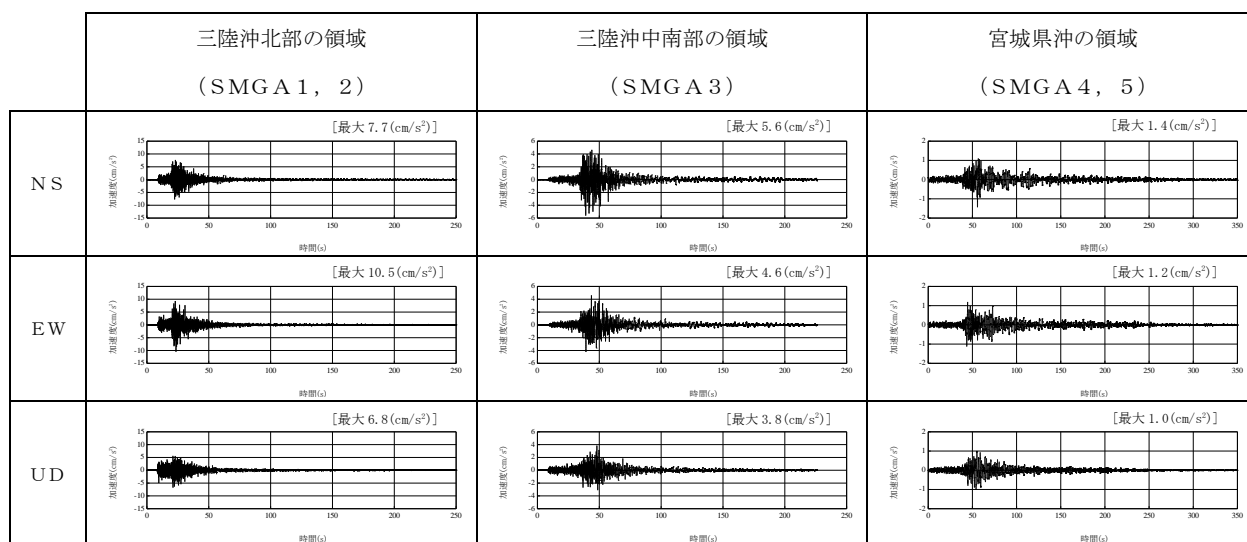
第 6.6-15 図(1) 「2011 年東北地方太平洋沖地震を踏まえた地震」の断層モデル（三陸沖北部～宮城県沖の連動，SMGA 位置の不確かさケース）



第 6.6-15 図(2) 「2011 年東北地方太平洋沖地震を踏まえた地震」の断層モデル (三陸沖北部～根室沖の連動, SMG A 位置の不確かさケース)

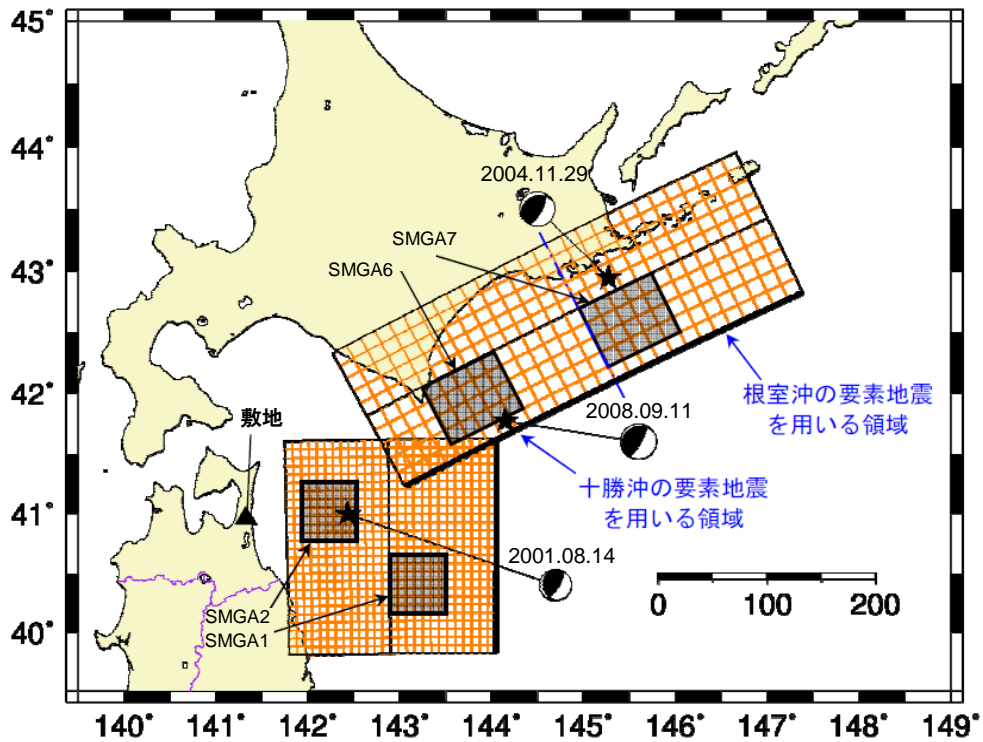


(a) 要素地震の震央位置

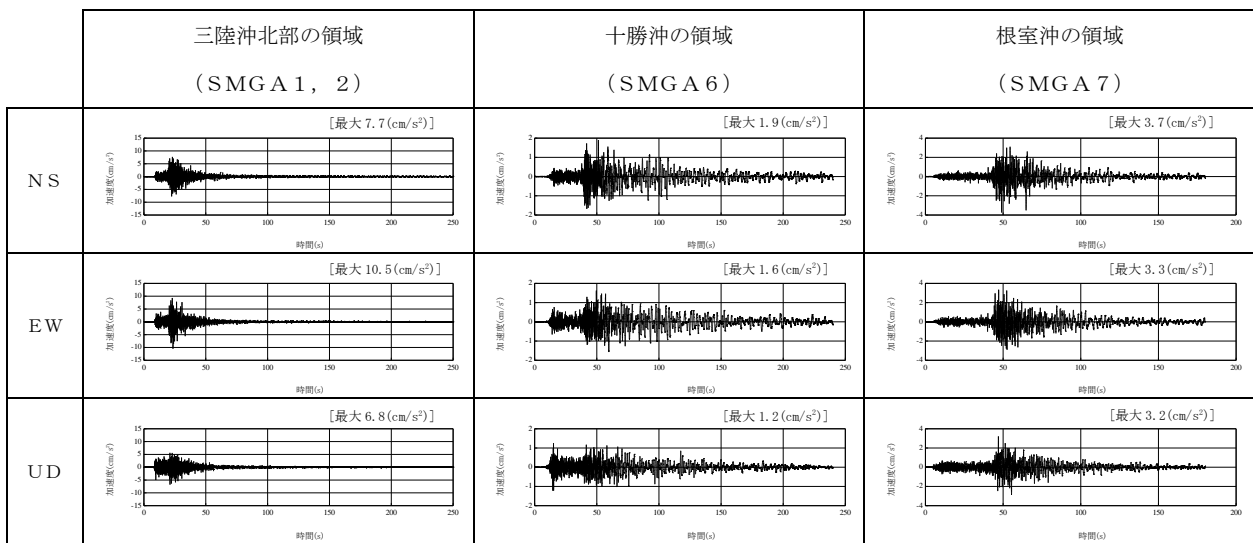


(b) 観測記録の波形

第 6.6-16 図(1) 要素地震の震央位置及び観測記録の波形
(プレート間地震) (三陸沖北部～宮城県沖の連動)

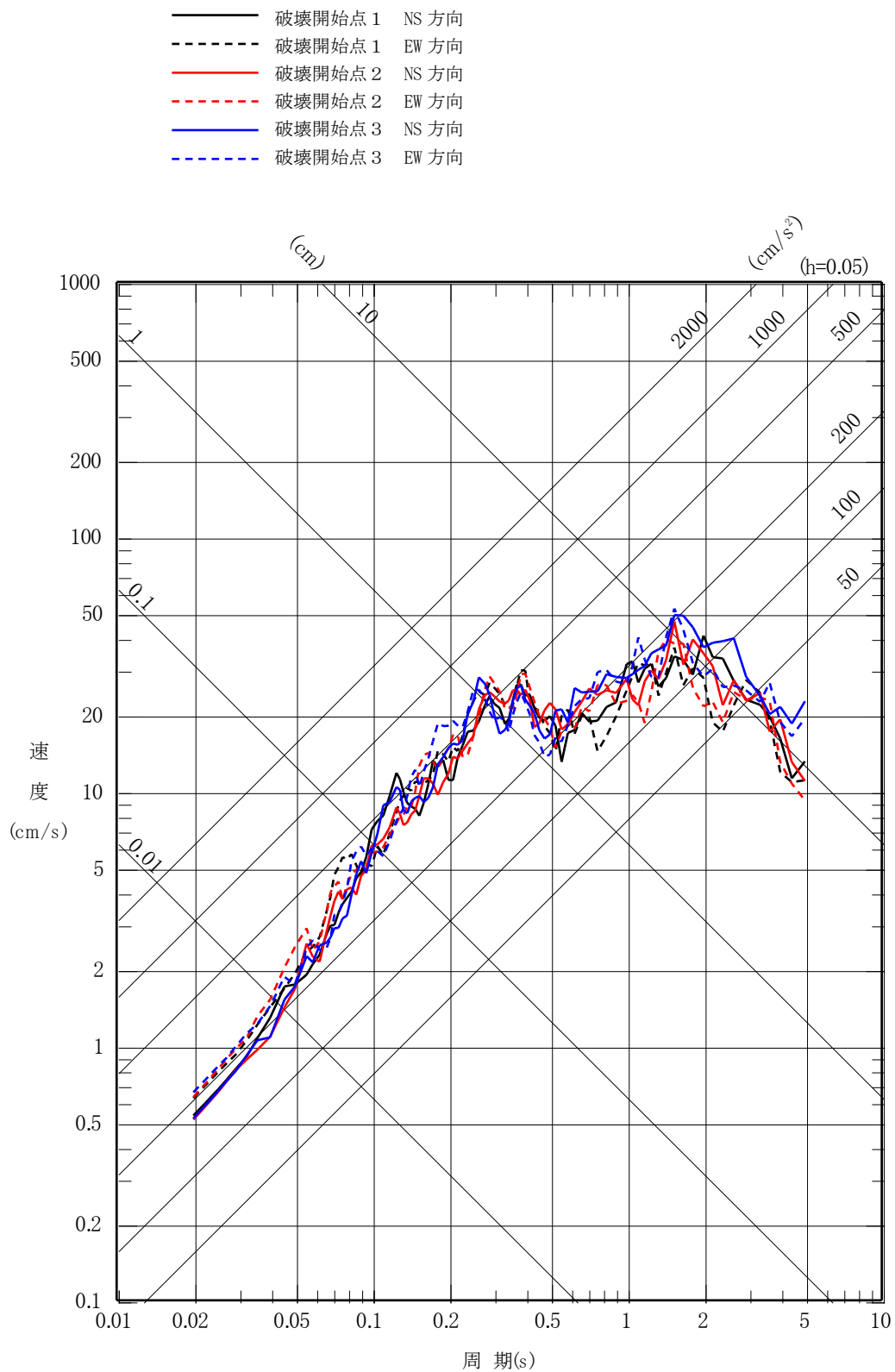


(a) 要素地震の震央位置

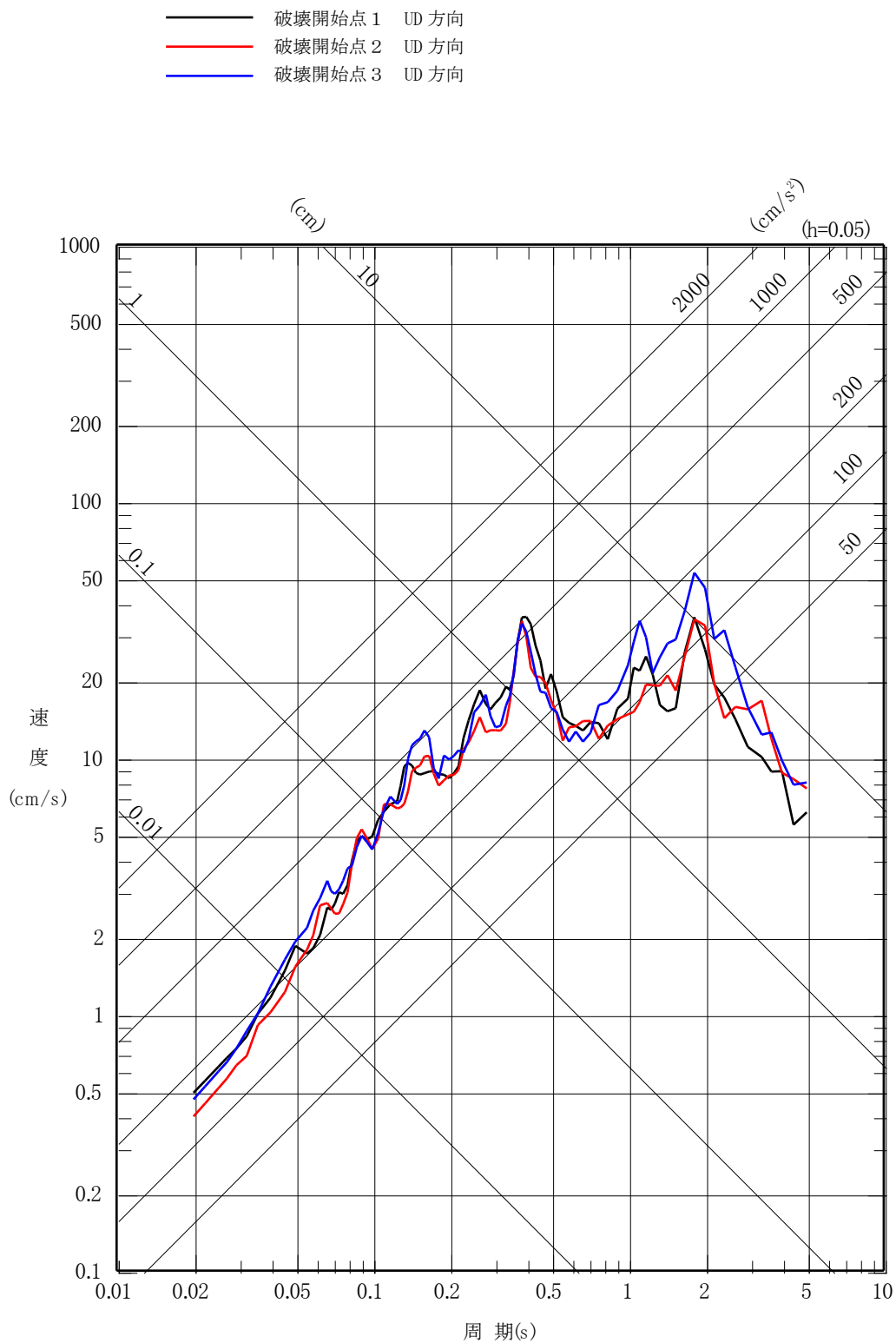


(b) 観測記録の波形

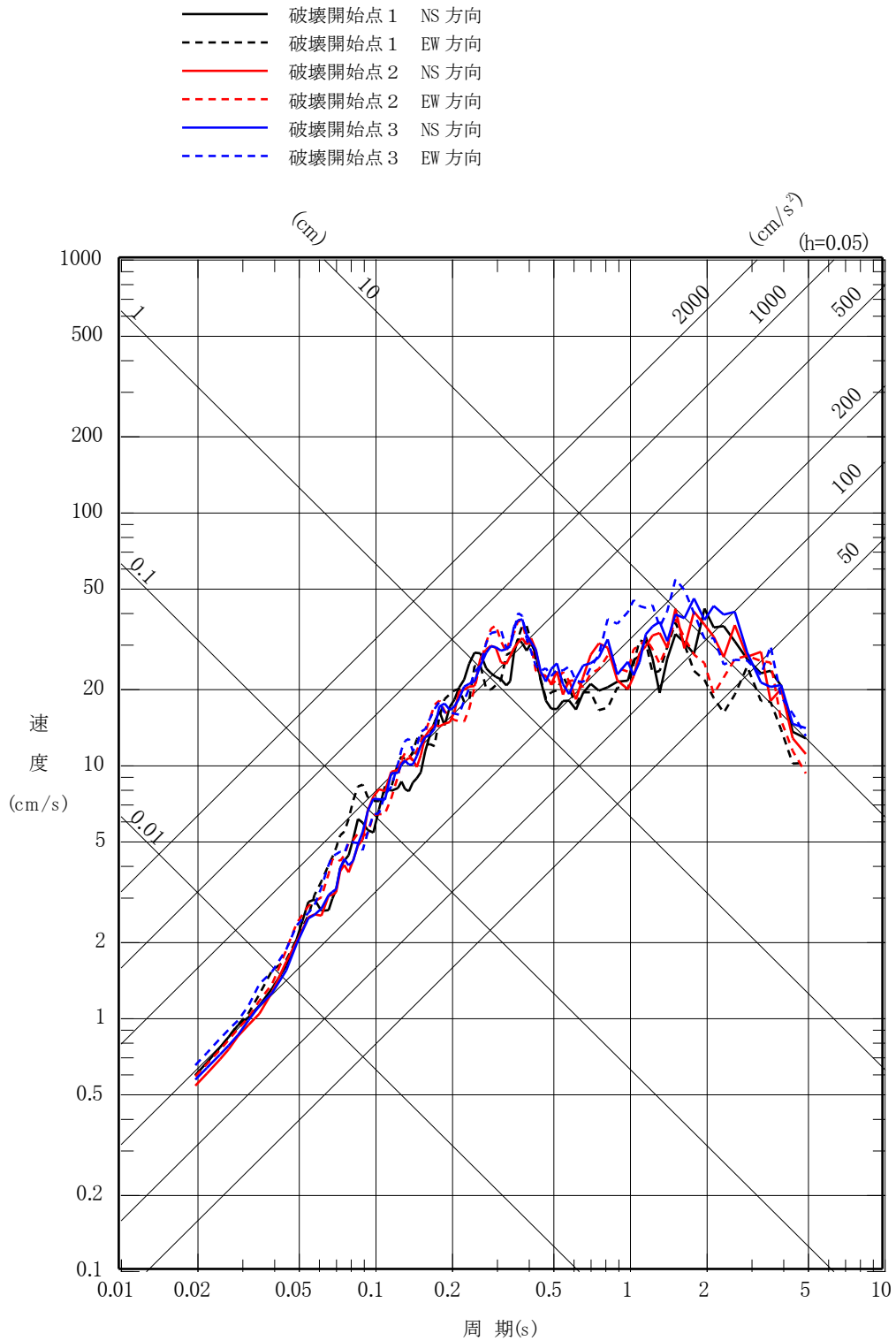
第 6.6-16 図(2) 要素地震の震央位置及び観測記録の波形
(プレート間地震) (三陸沖北部～根室沖の連動)



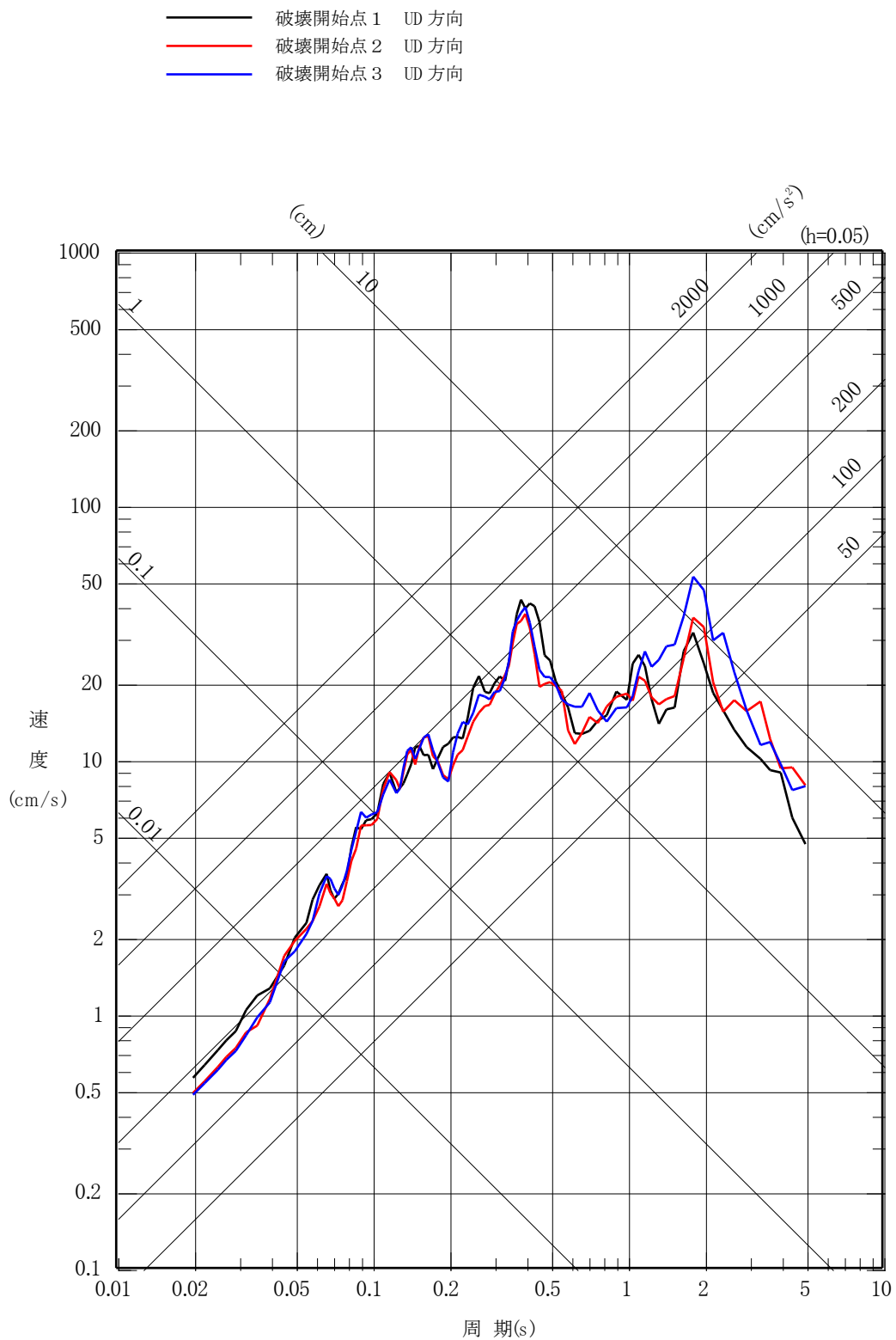
第 6.6-17 図(1) 「2011 年東北地方太平洋沖地震を踏まえた地震」の応答スペクトル (断層モデルを用いた手法)
 (三陸沖北部～宮城県沖の連動, 基本モデル) (水平方向)



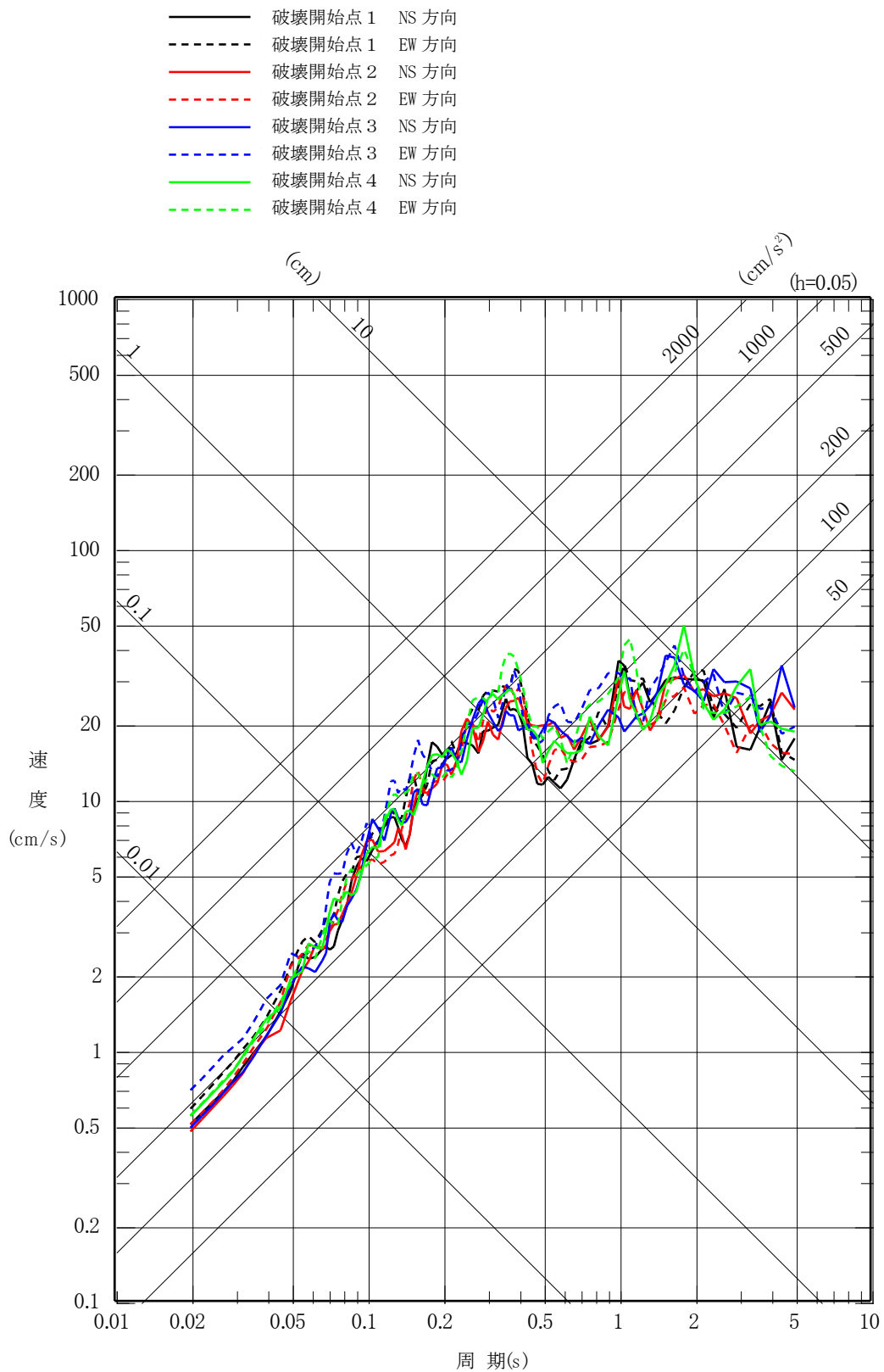
第 6.6-17 図(2) 「2011 年東北地方太平洋沖地震を踏まえた地震」の応答スペクトル (断層モデルを用いた手法)
 (三陸沖北部～宮城県沖の連動, 基本モデル) (鉛直方向)



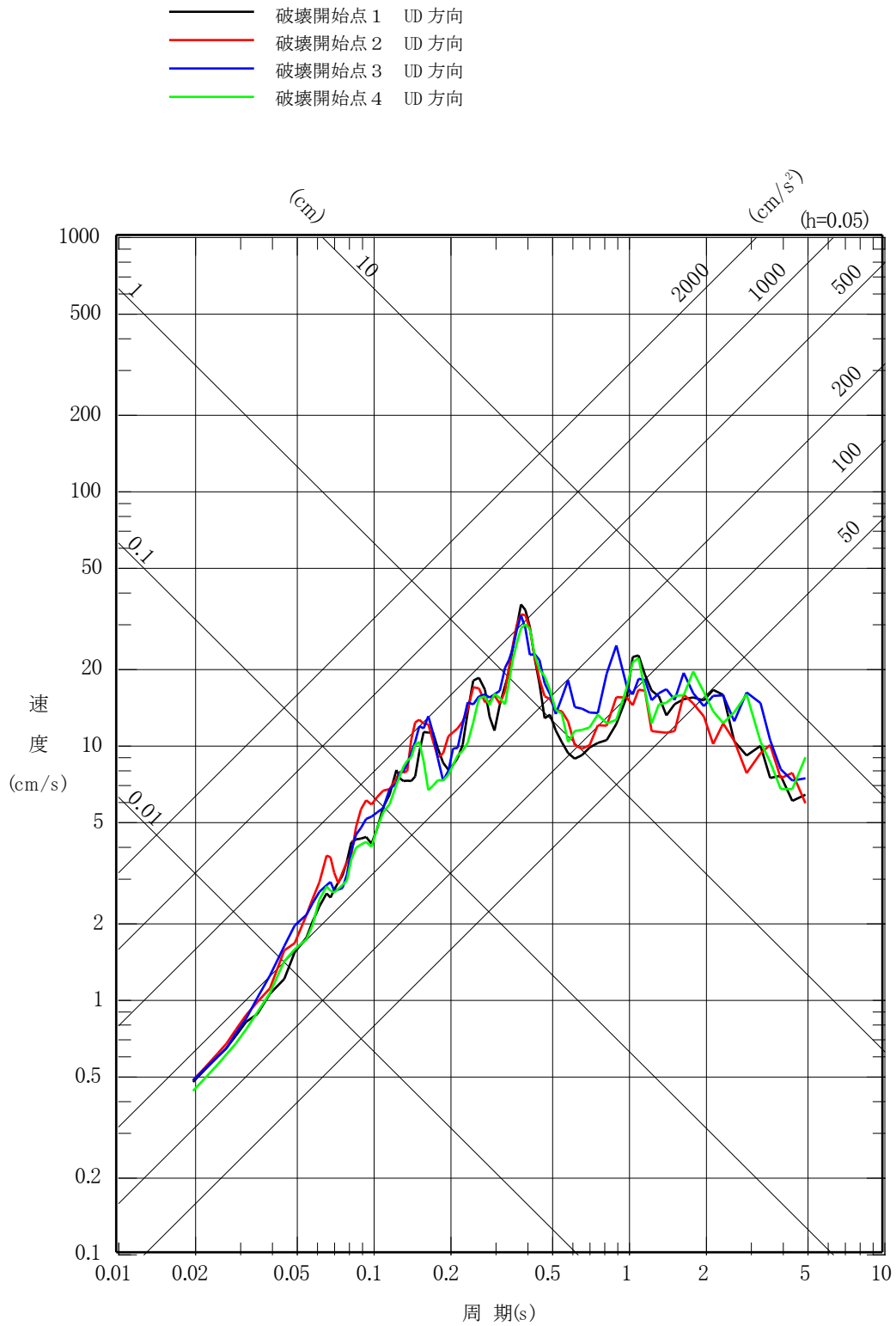
第 6.6-17 図(3) 「2011 年東北地方太平洋沖地震を踏まえた地震」の応答スペクトル (断層モデルを用いた手法)
 (三陸沖北部～宮城県沖の連動, SMGA 位置の不確かさケース) (水平方向)



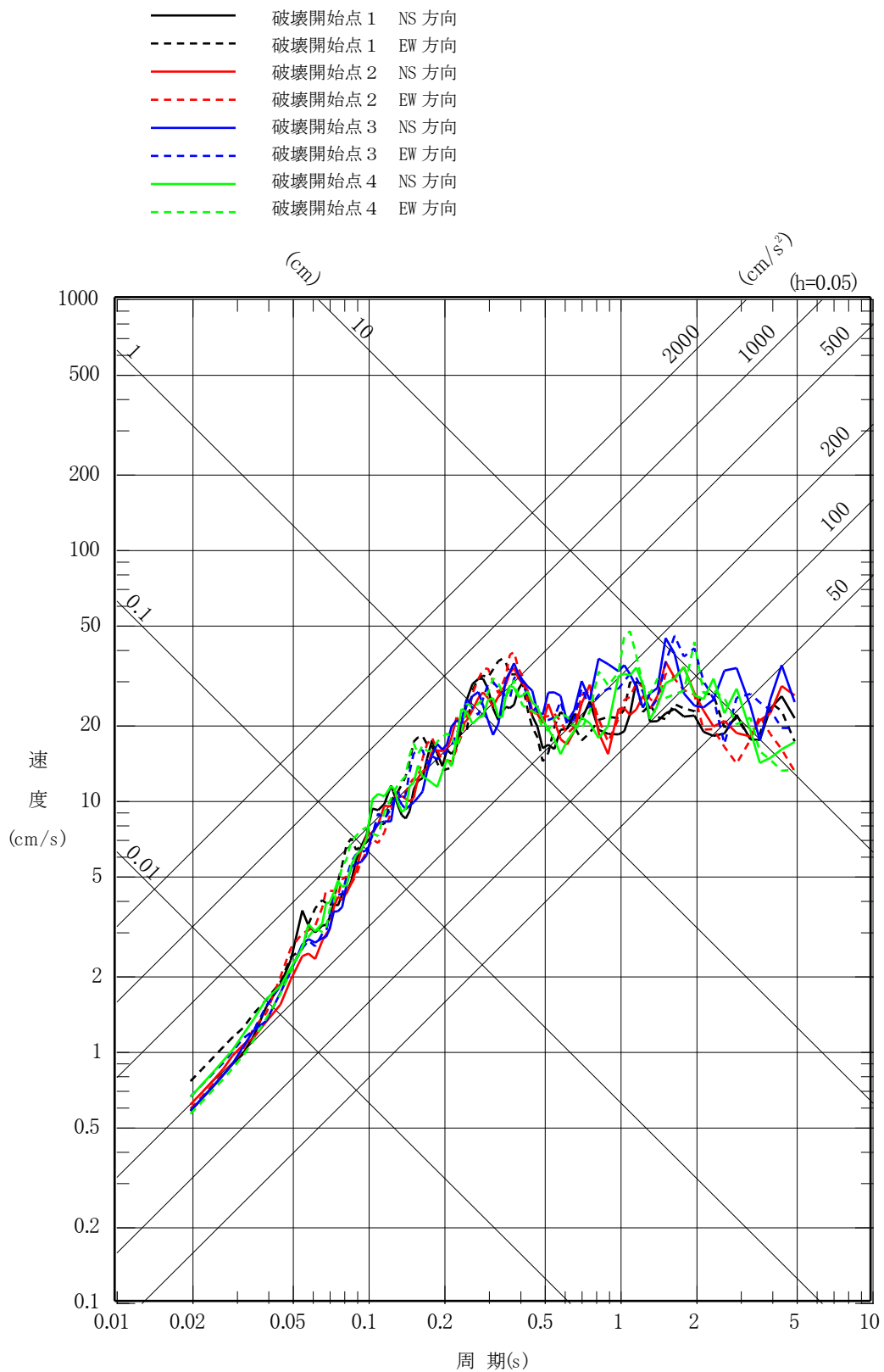
第 6.6-17 図(4) 「2011 年東北地方太平洋沖地震を踏まえた地震」の応答スペクトル (断層モデルを用いた手法)
 (三陸沖北部～宮城県沖の連動, SMGA位置の不確かさケース) (鉛直方向)



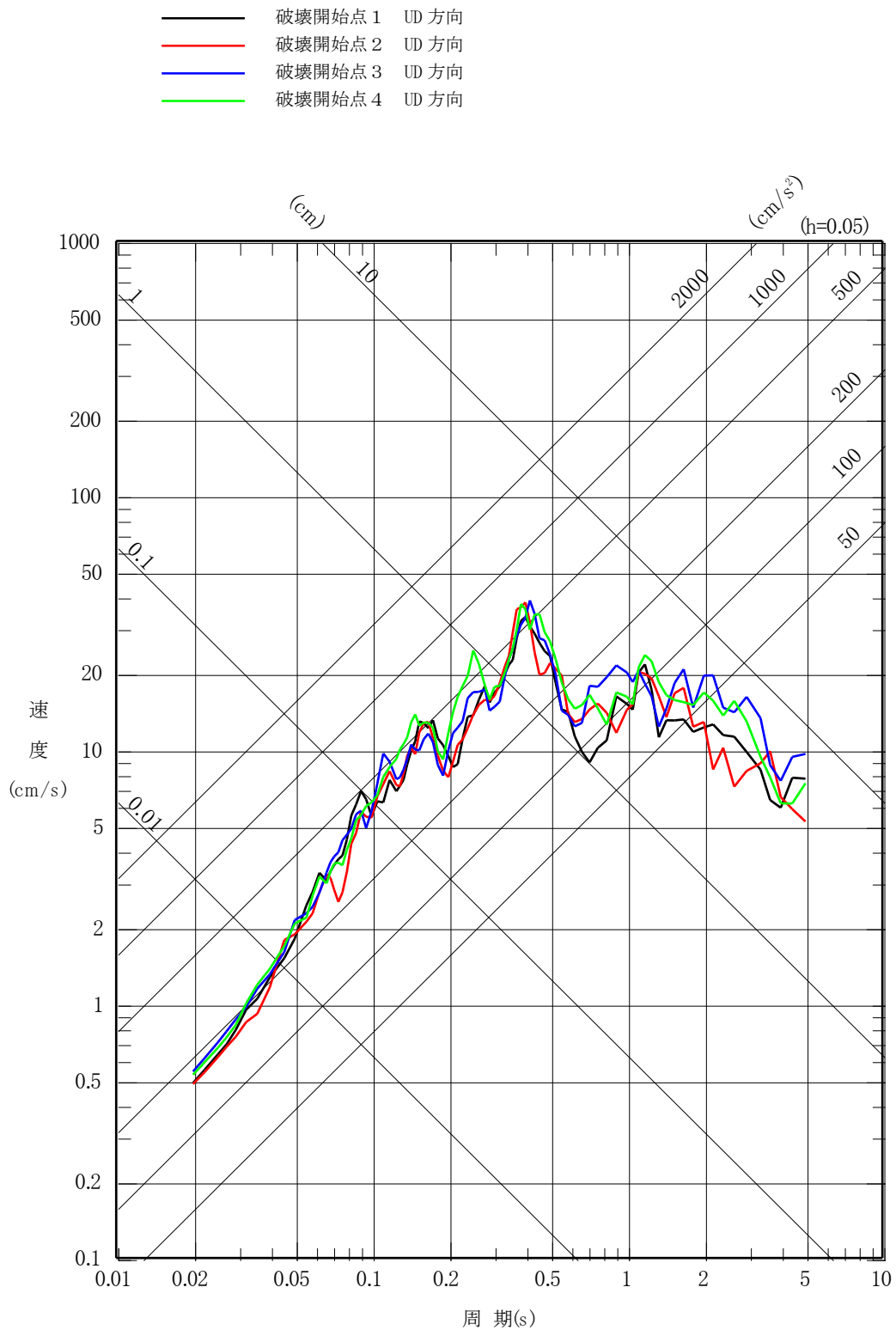
第 6.6-17 図(5) 「2011 年東北地方太平洋沖地震を踏まえた地震」の応答スペクトル (断層モデルを用いた手法)
 (三陸沖北部～根室沖の連動, 基本モデル) (水平方向)



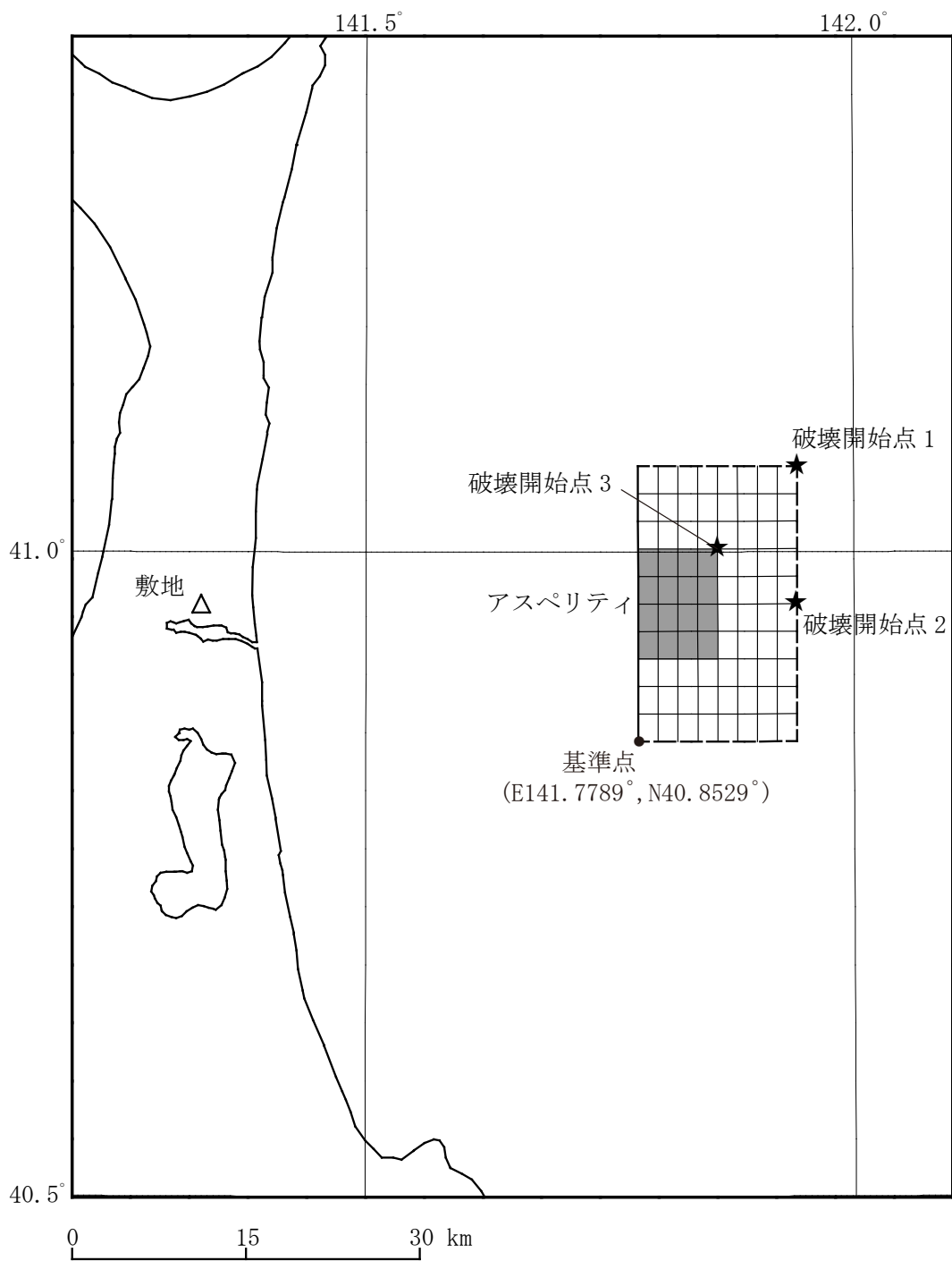
第 6.6-17 図(6) 「2011 年東北地方太平洋沖地震を踏まえた地震」の応答スペクトル (断層モデルを用いた手法)
 (三陸沖北部～根室沖の連動, 基本モデル) (鉛直方向)



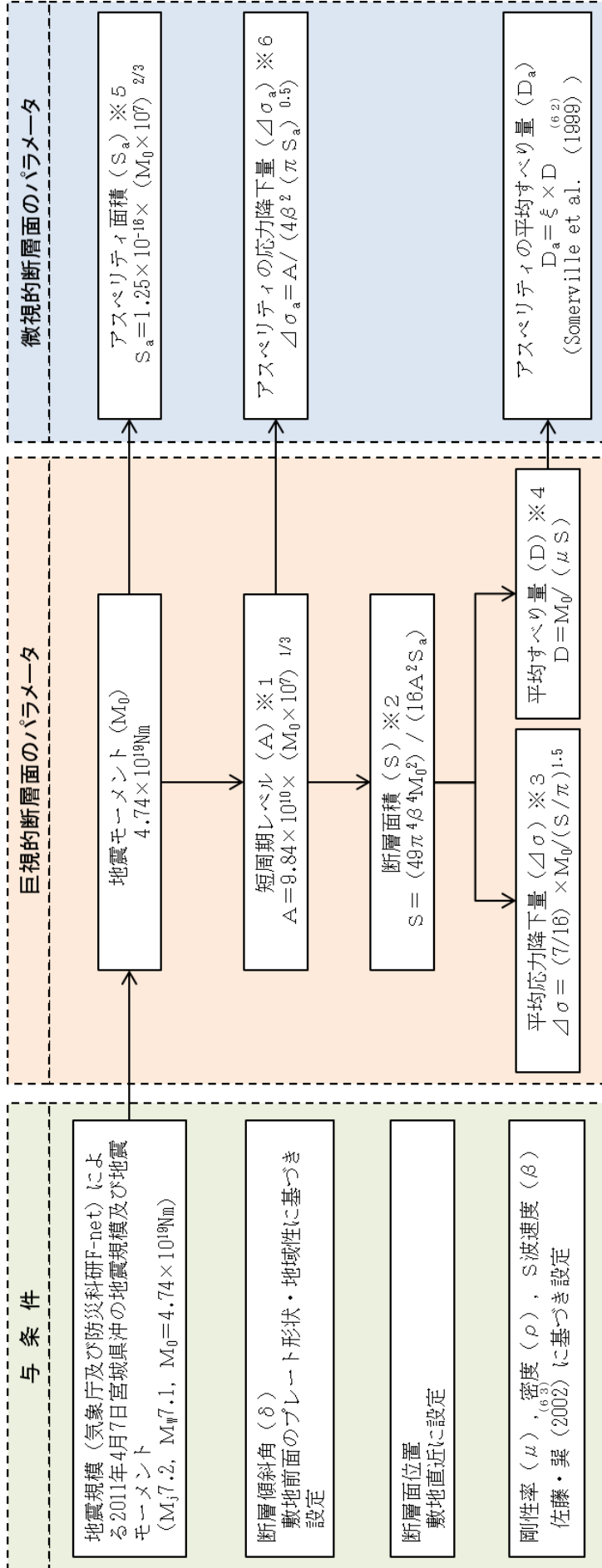
第 6.6-17 図(7) 「2011 年東北地方太平洋沖地震を踏まえた地震」の応答スペクトル (断層モデルを用いた手法)
 (三陸沖北部～根室沖の連動, SMGA 位置の不確かさケース) (水平方向)



第 6.6-17 図(8) 「2011 年東北地方太平洋沖地震を踏まえた地震」の応答スペクトル (断層モデルを用いた手法)
 (三陸沖北部～根室沖の運動, SMGA 位置の不確かさケース) (鉛直方向)



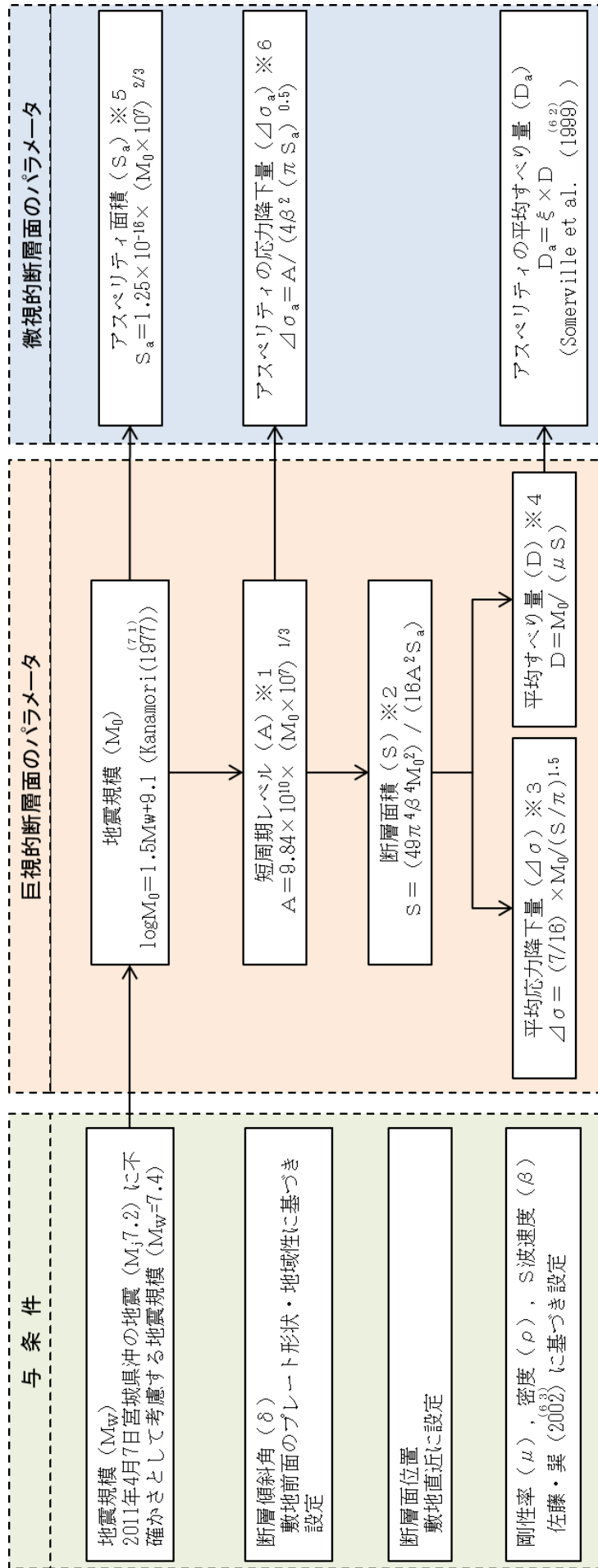
第 6.6-18 図 「想定海洋プレート内地震」の断層モデル
(基本モデル・短周期レベルの不確かさケース)



※1～※6の数式は、地震調査委員会 (2016) に記載の以下の式に基づく。

- ※1 : (31)式と同じ
- ※2 : (34)式へ(32)式を代入した式
- ※3 : (35)式と同じ
- ※4 : (10)式と同じ
- ※5 : (33)式と同じ
- ※6 : (38)式へ(32)式, (35)式及び(36)式を代入した式

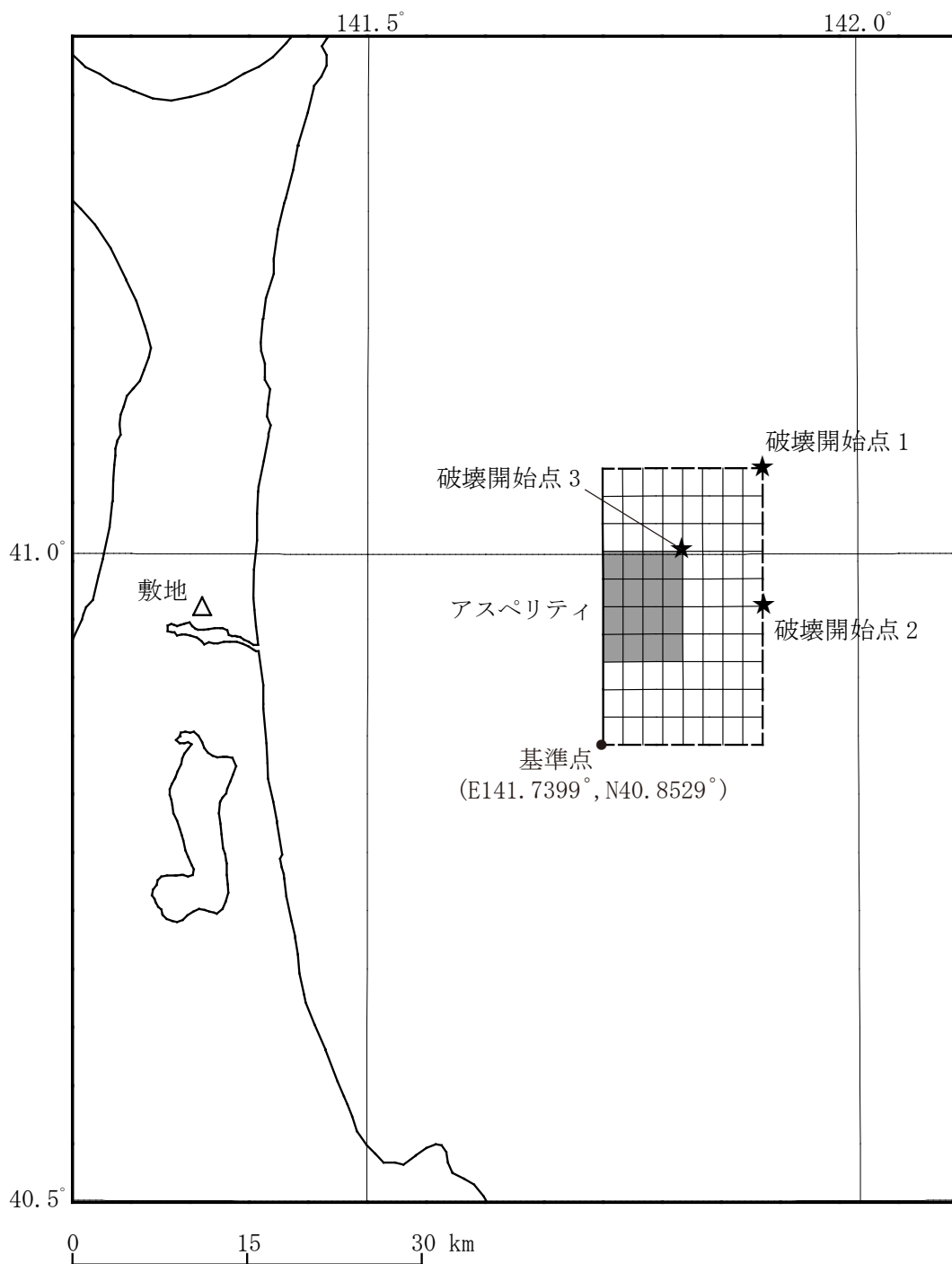
第6.6-19 図(1) 断層モデルパラメータ設定フロー (海洋プレート内地震)
 (基本モデル, 短周期レベルの不確かさケース, 断層面位置の不確かさケース)



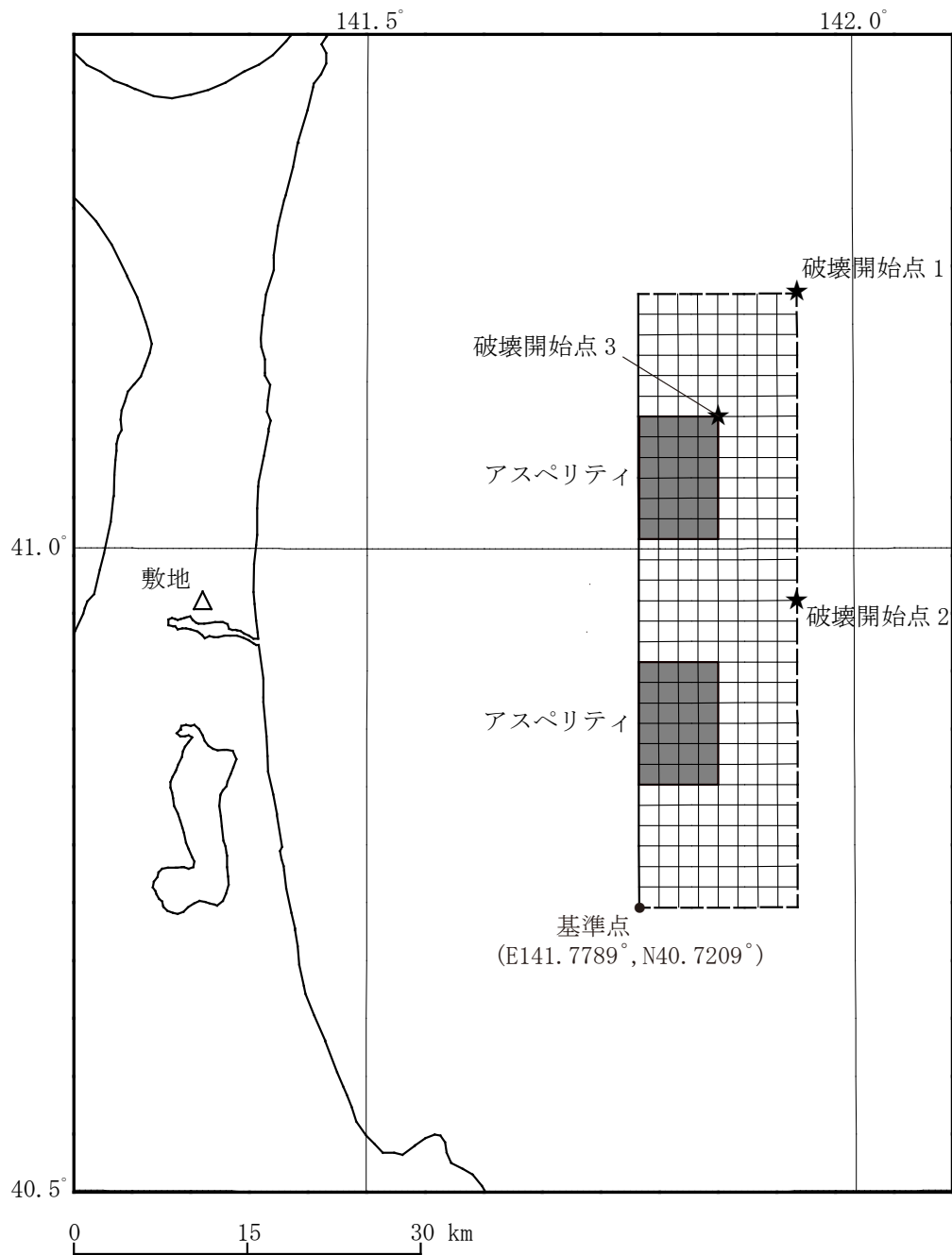
※1～※6の数式は、地震調査委員会 (2016)^(6.1) に記載の以下の式に基づく。

- ※1 : (31) 式と同じ
- ※2 : (34) 式へ(32)式を代入した式
- ※3 : (35) 式と同じ
- ※4 : (10) 式と同じ
- ※5 : (33) 式と同じ
- ※6 : (38) 式へ(32)式, (35)式及び(36)式を代入した式

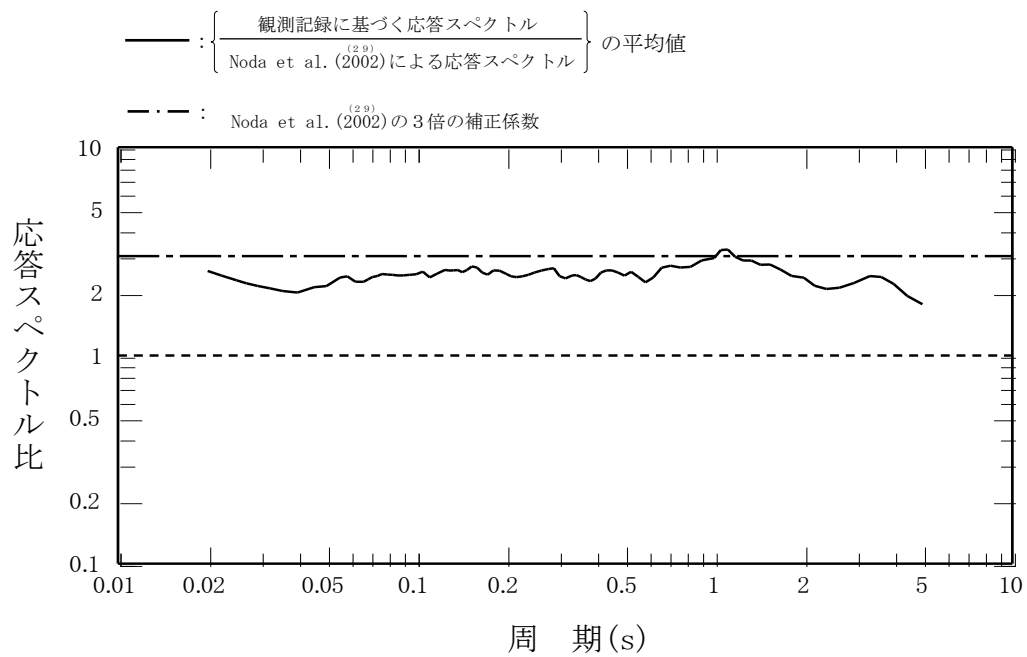
第6.6-19 図(2) 断層モデル パラメータ設定フロー (海洋プレート内地震)
(地震規模の不確かさケース)



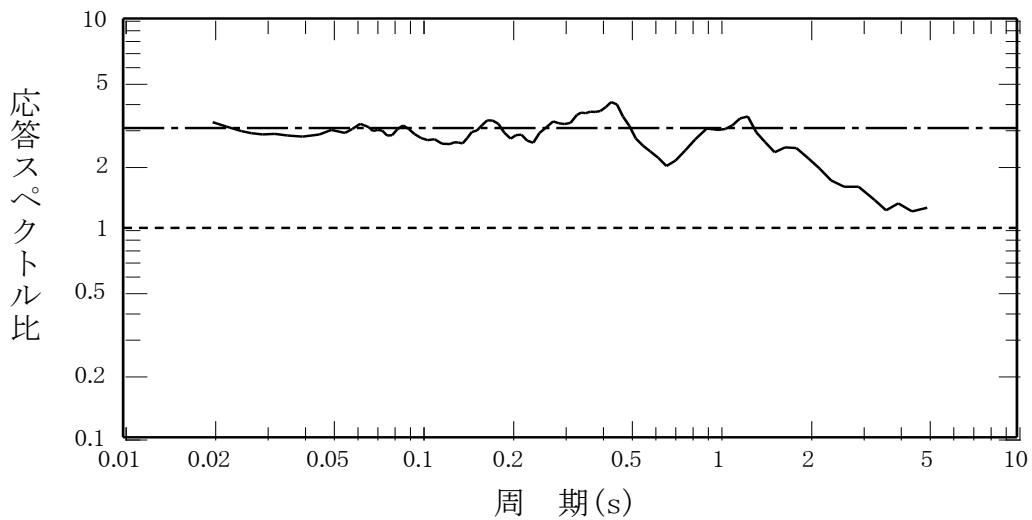
第 6.6-20 図(1) 「想定海洋プレート内地震」の断層モデル
(断層位置の不確かさケース)



第 6.6-20 図(2) 「想定海洋プレート内地震」の断層モデル
(地震規模の不確かさケース)



(1) 水平方向



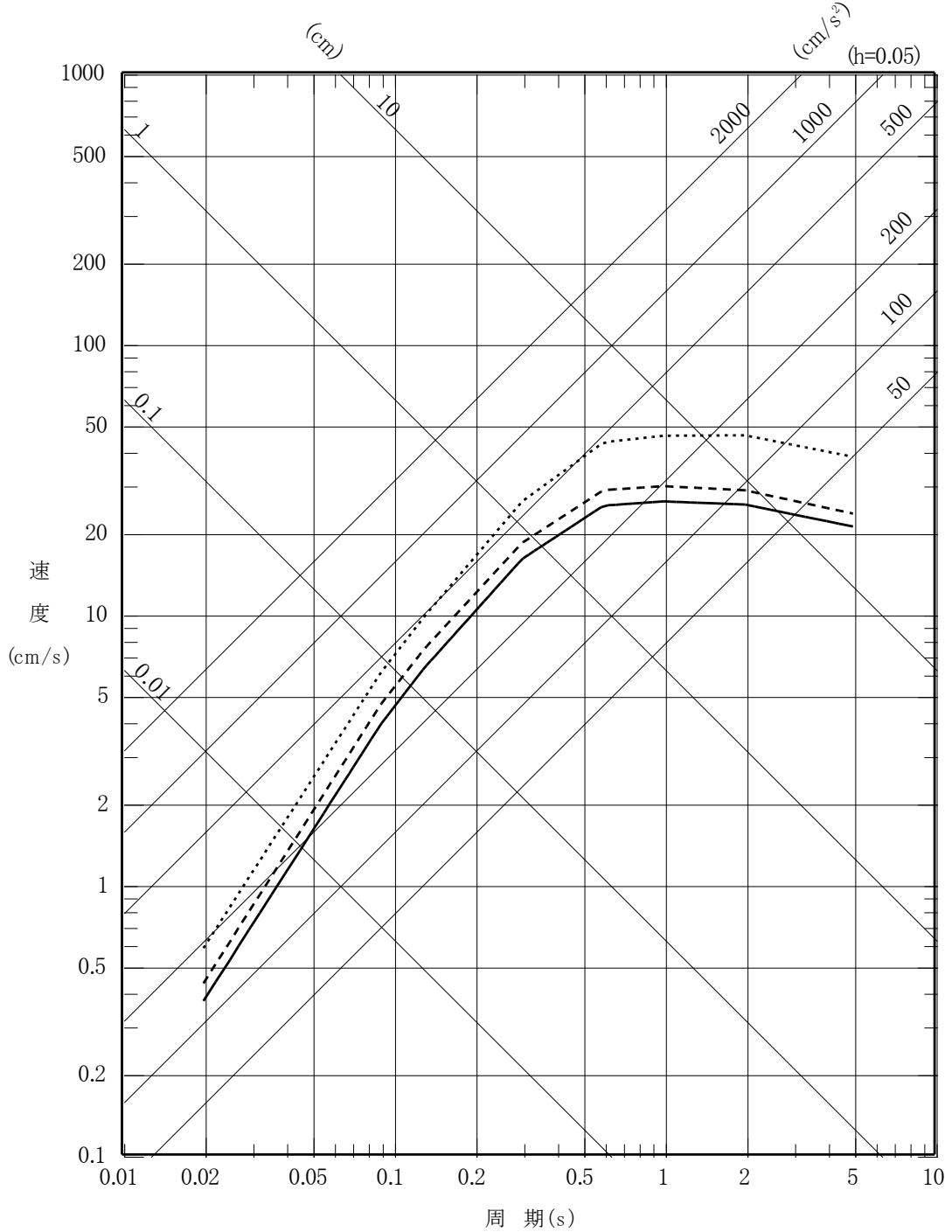
(2) 鉛直方向

注) 実線は、「Noda et al. (2002)^(2.9)による応答スペクトル」に対する「解放基盤表面相当位置（標高-70 m）における観測記録に基づく応答スペクトル」の比を平均したものを表す。観測記録としては、1995年12月から2008年9月の間に観測されたM5.5以上、震源距離250 km以内、深さ60 km以内で深であるプレート内地震の5記録を用いた。

第6.6-21 図 海洋プレート内地震の観測記録に基づく補正に関する検討

- 基本モデル及び短周期レベルの不確かさケース (M7.2, Xeq=85.4km)
- - - 位置の不確かさケース (M7.2, Xeq=78.4km)
- 地震規模の不確かさケース (M_w7.4, Xeq=86.2km)

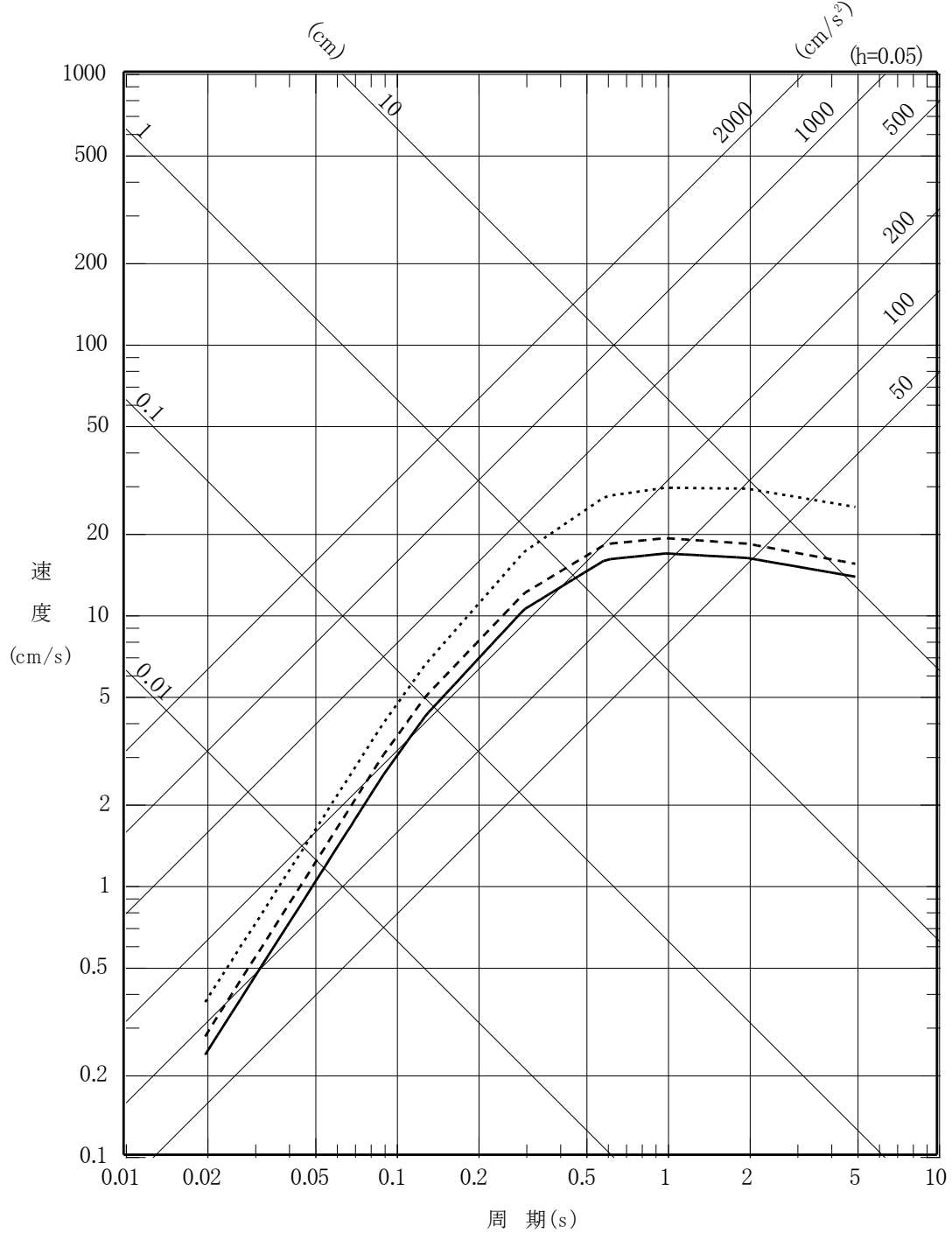
※Xeq=等価震源距離



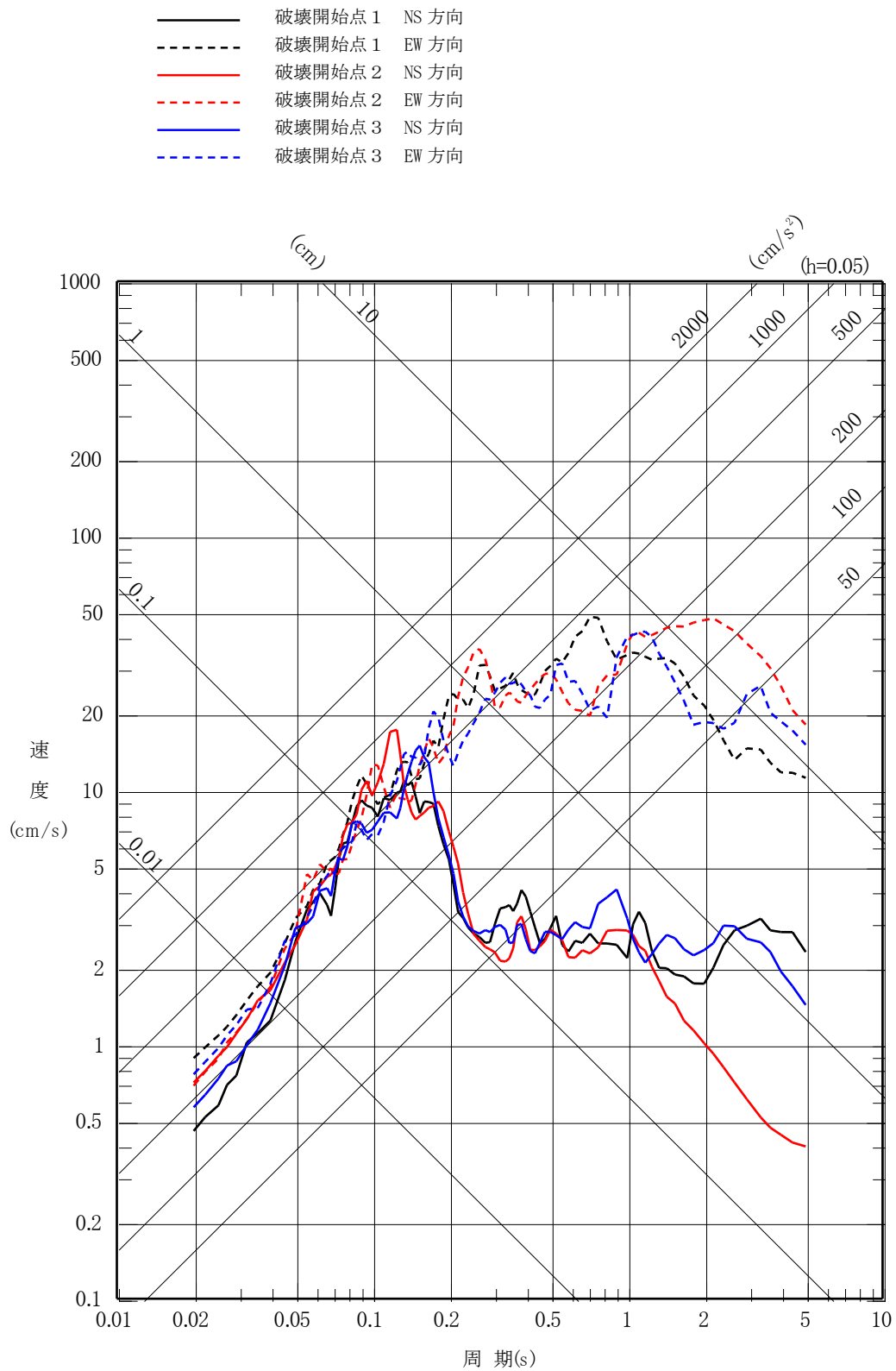
第 6.6-22 図(1) 「想定海洋プレート内地震」の応答スペクトル
(応答スペクトルに基づく手法)
(水平方向)

- 基本モデル及び短周期レベルの不確かさケース (M7.2, $X_{eq}=85.4\text{km}$)
- - - 位置の不確かさケース (M7.2, $X_{eq}=78.4\text{km}$)
- ⋯⋯⋯ 地震規模の不確かさケース ($M_w7.4$, $X_{eq}=86.2\text{km}$)

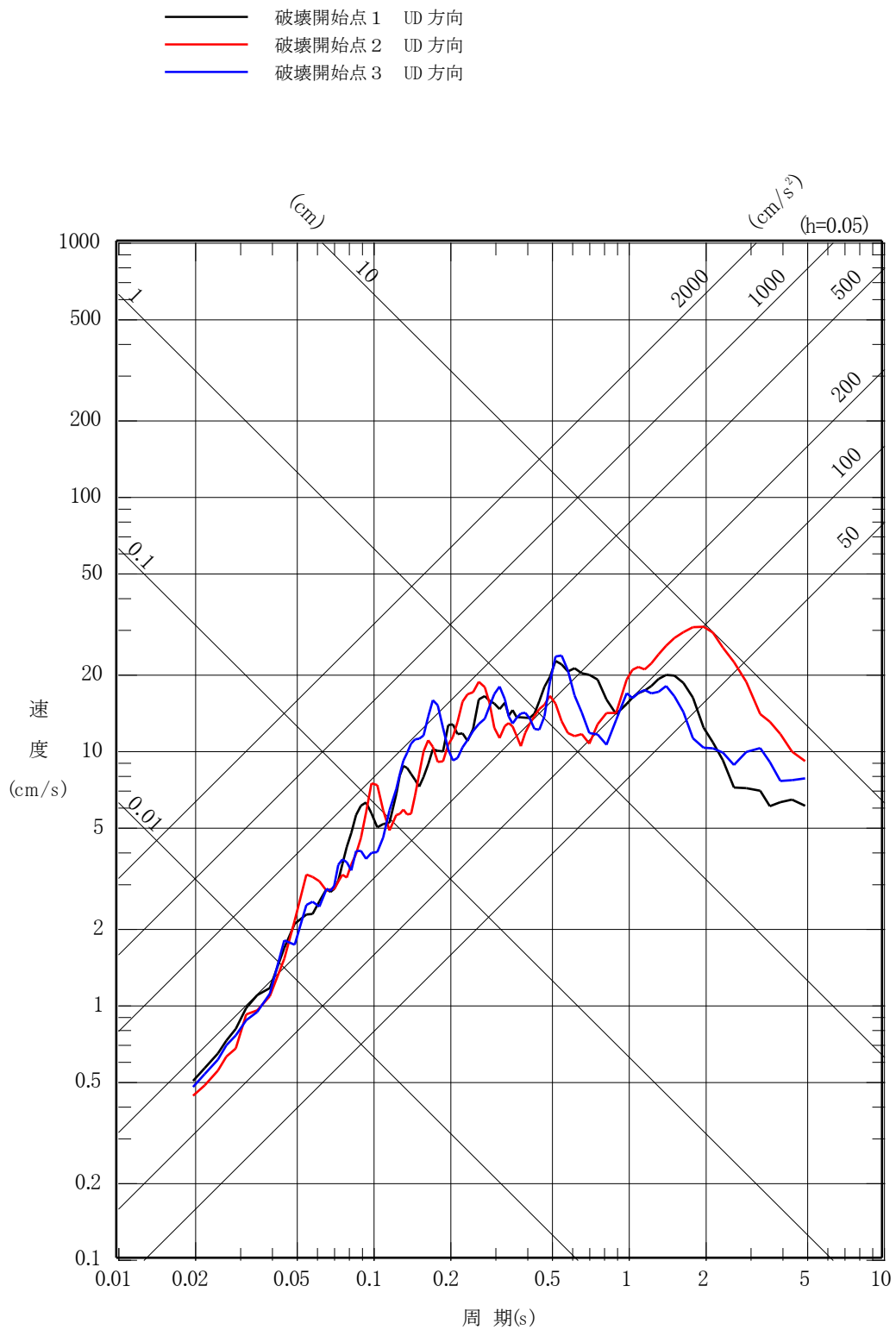
※ X_{eq} =等価震源距離



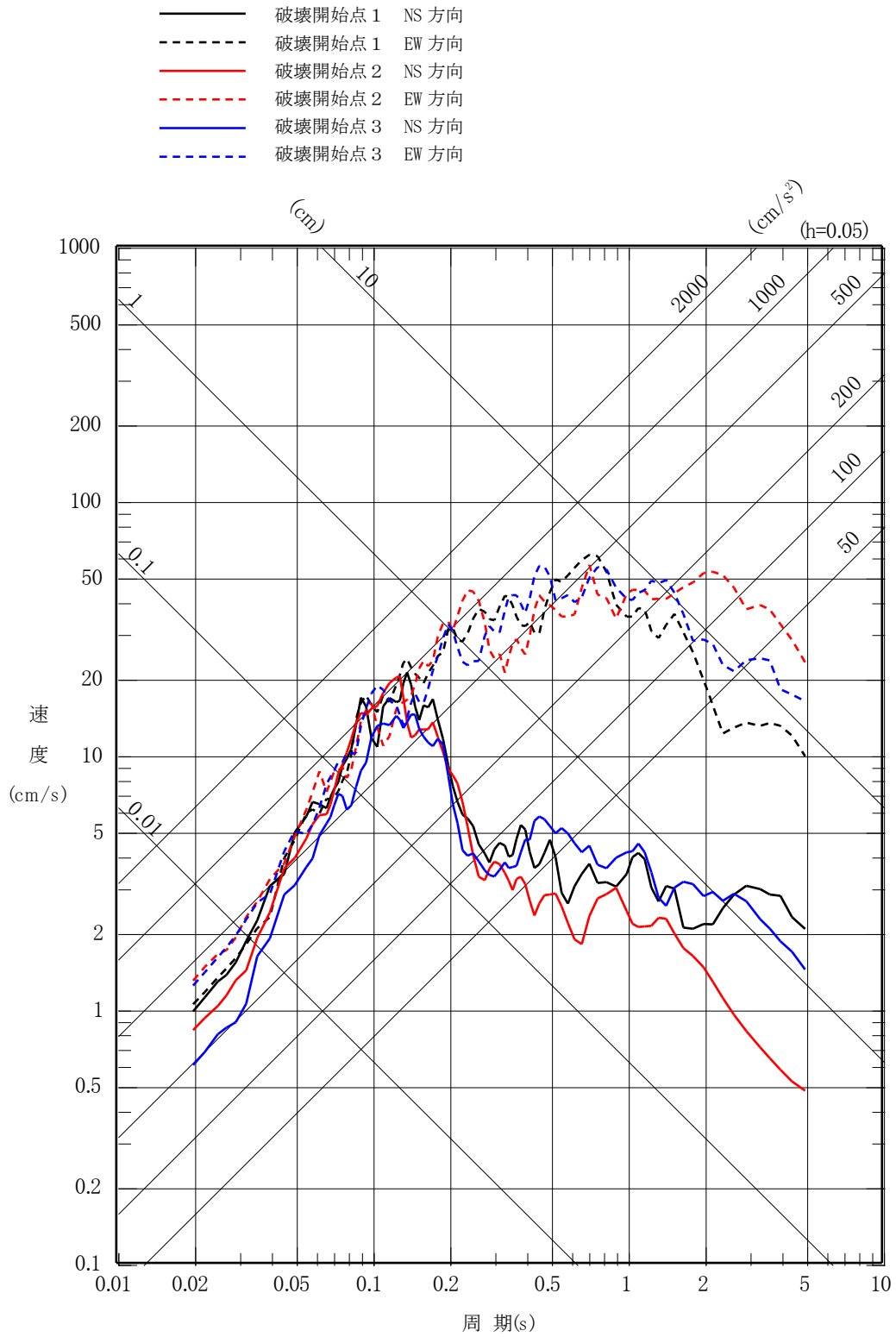
第 6.6-22 図(2) 「想定海洋プレート内地震」の応答スペクトル
(応答スペクトルに基づく手法)
(鉛直方向)



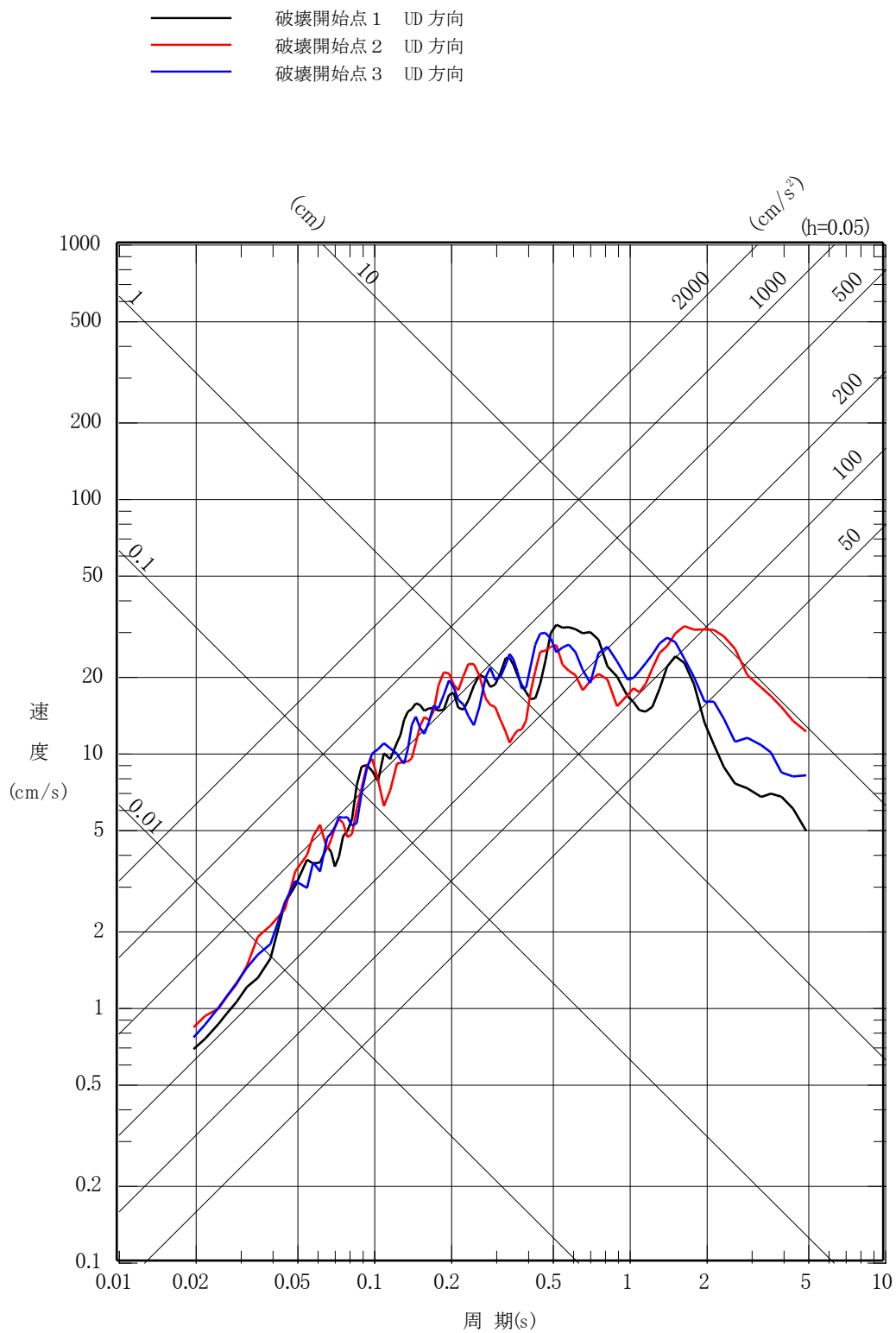
第 6.6-23 図(1) 「想定海洋プレート内地震」の応答スペクトル
 (断層モデルを用いた手法)
 (基本モデル, 水平方向)



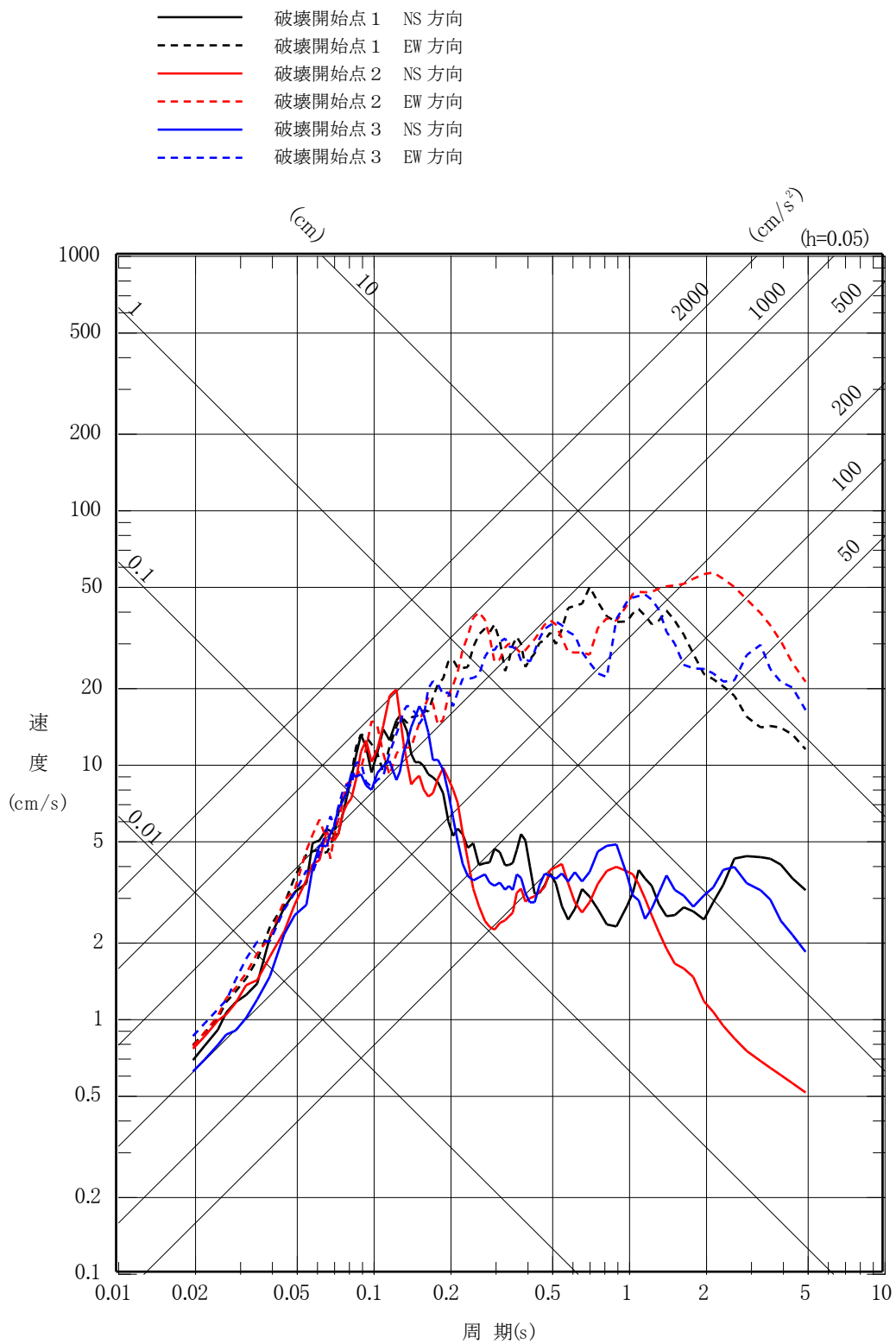
第 6.6-23 図(2) 「想定海洋プレート内地震」の応答スペクトル
 (断層モデルを用いた手法)
 (基本モデル, 鉛直方向)



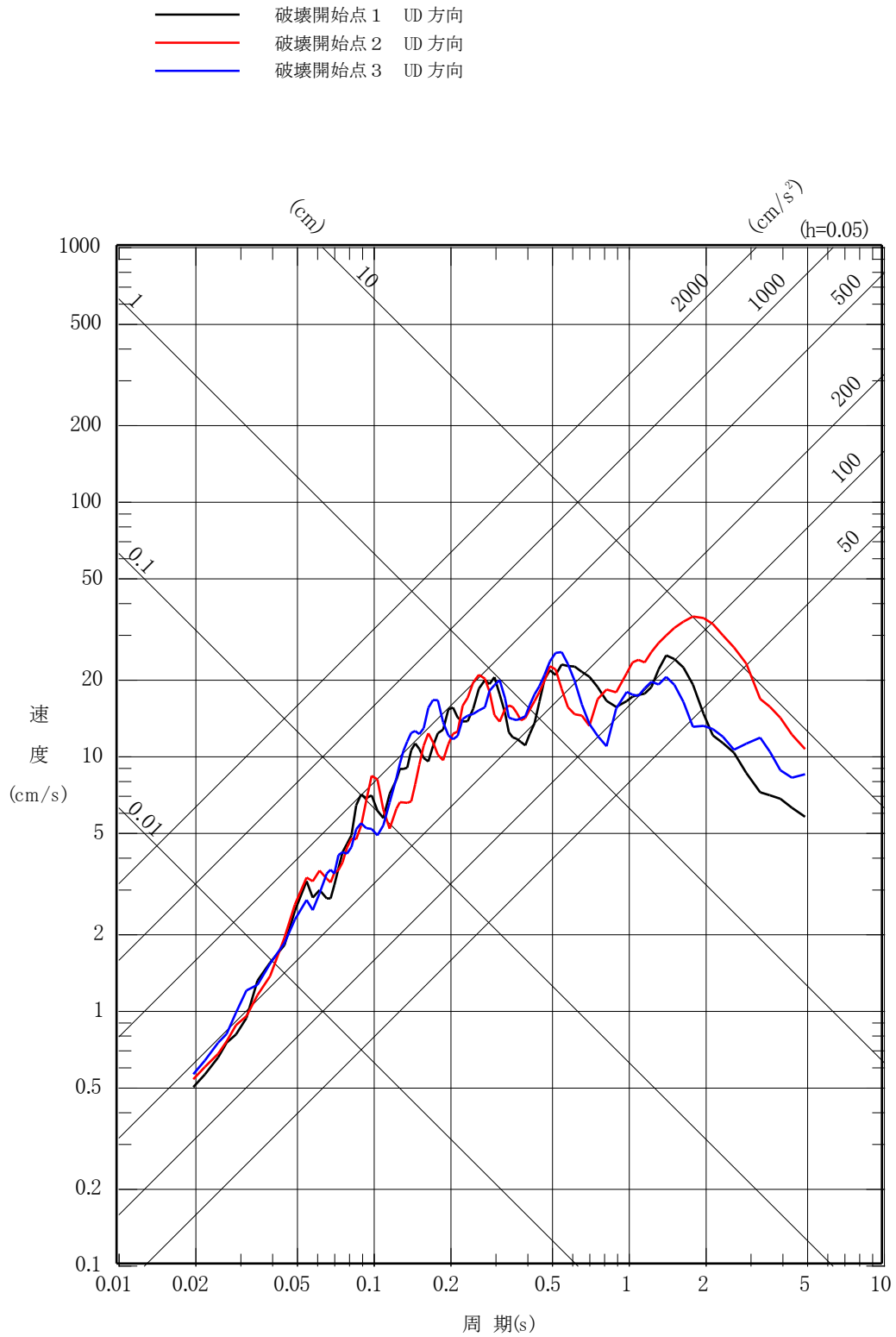
第 6.6-23 図(3) 「想定海洋プレート内地震」の応答スペクトル
 (断層モデルを用いた手法)
 (短周期レベルの不確かさケース, 水平方向)



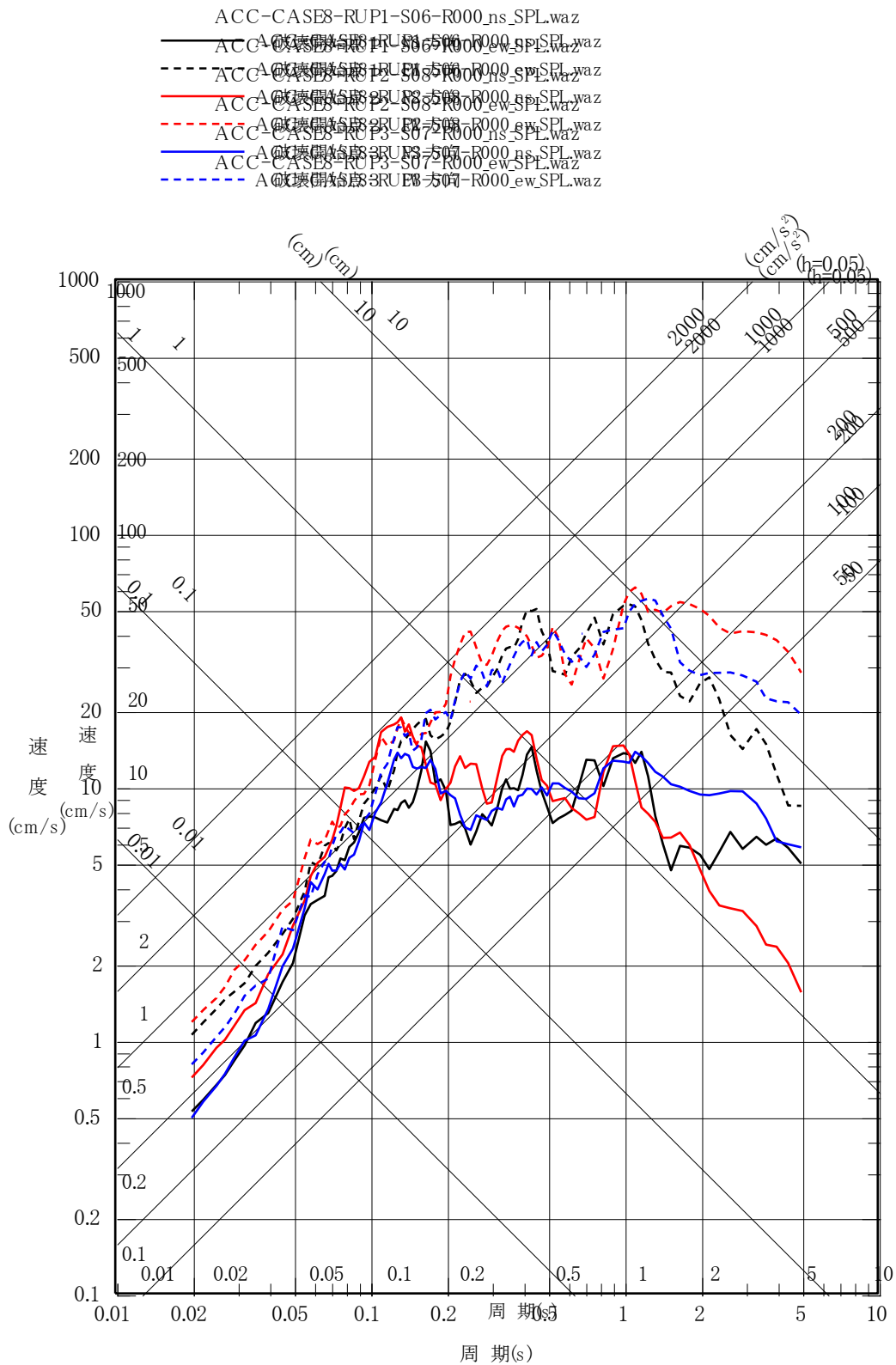
第 6.6-23 図(4) 「想定海洋プレート内地震」の応答スペクトル
 (断層モデルを用いた手法)
 (短周期レベルの不確かさケース, 鉛直方向)



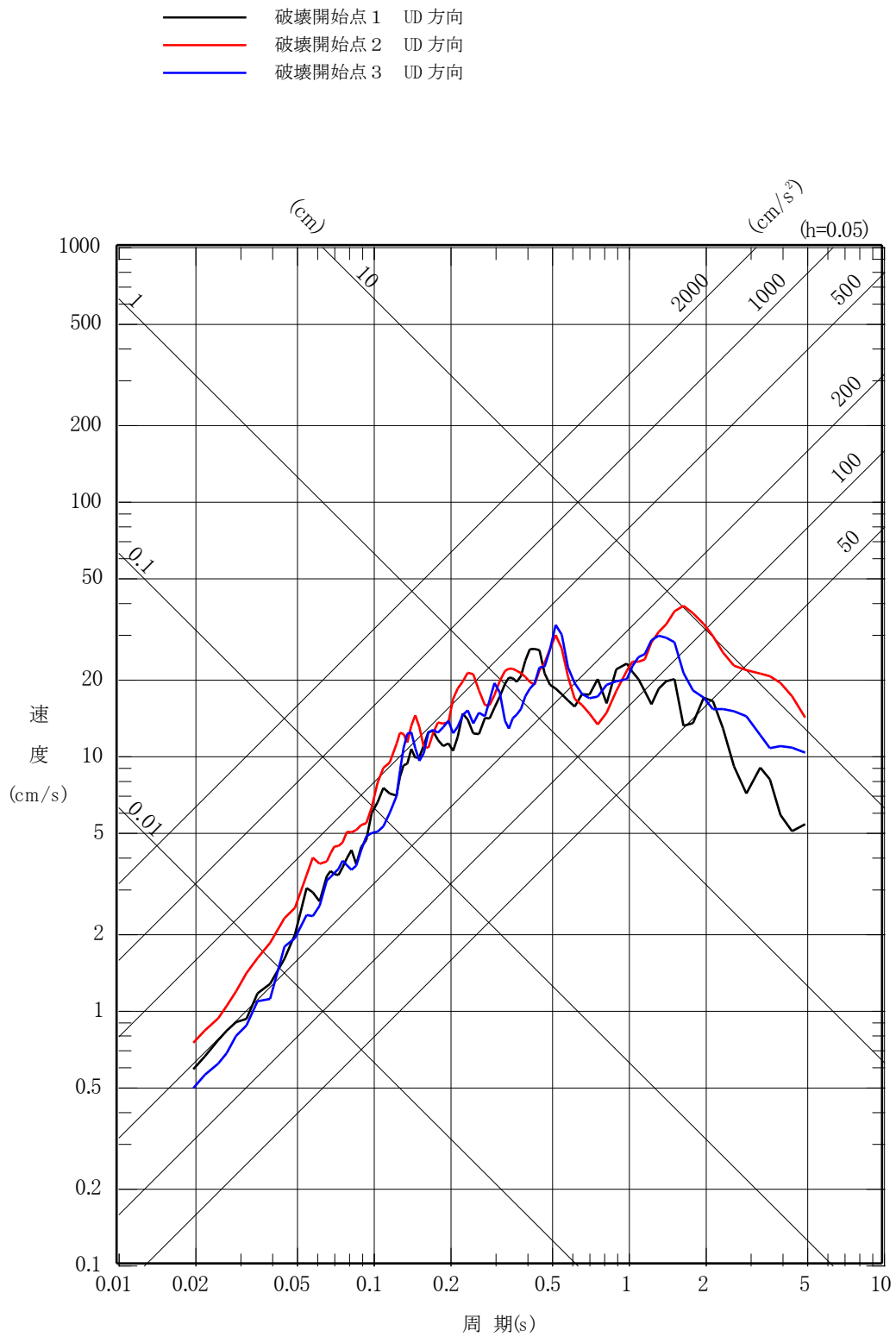
第 6.6-23 図(5) 「想定海洋プレート内地震」の応答スペクトル
 (断層モデルを用いた手法)
 (断層位置の不確かさケース, 水平方向)



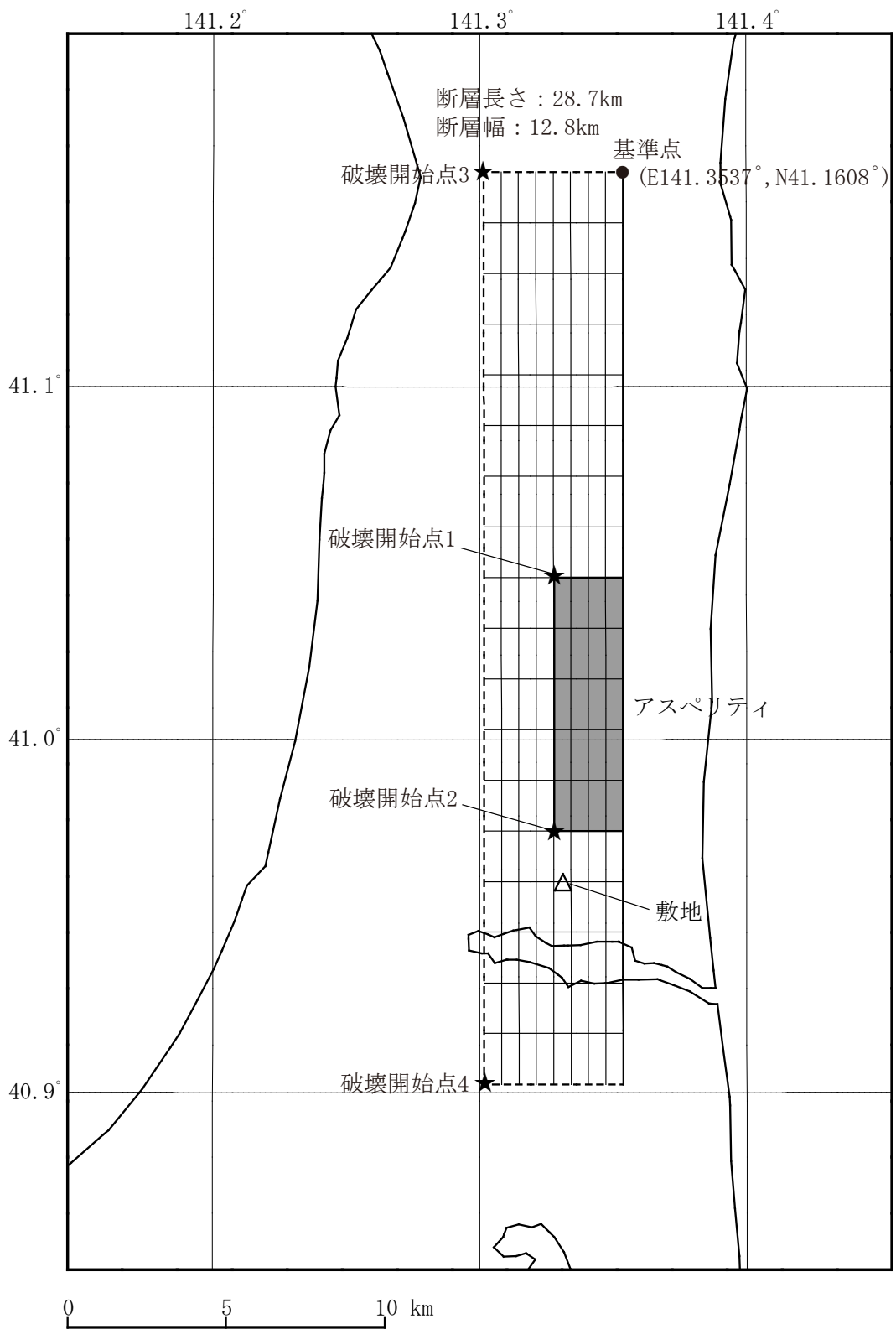
第 6.6-23 図(6) 「想定海洋プレート内地震」の応答スペクトル
 (断層モデルを用いた手法)
 (断層位置の不確かさケース, 鉛直方向)



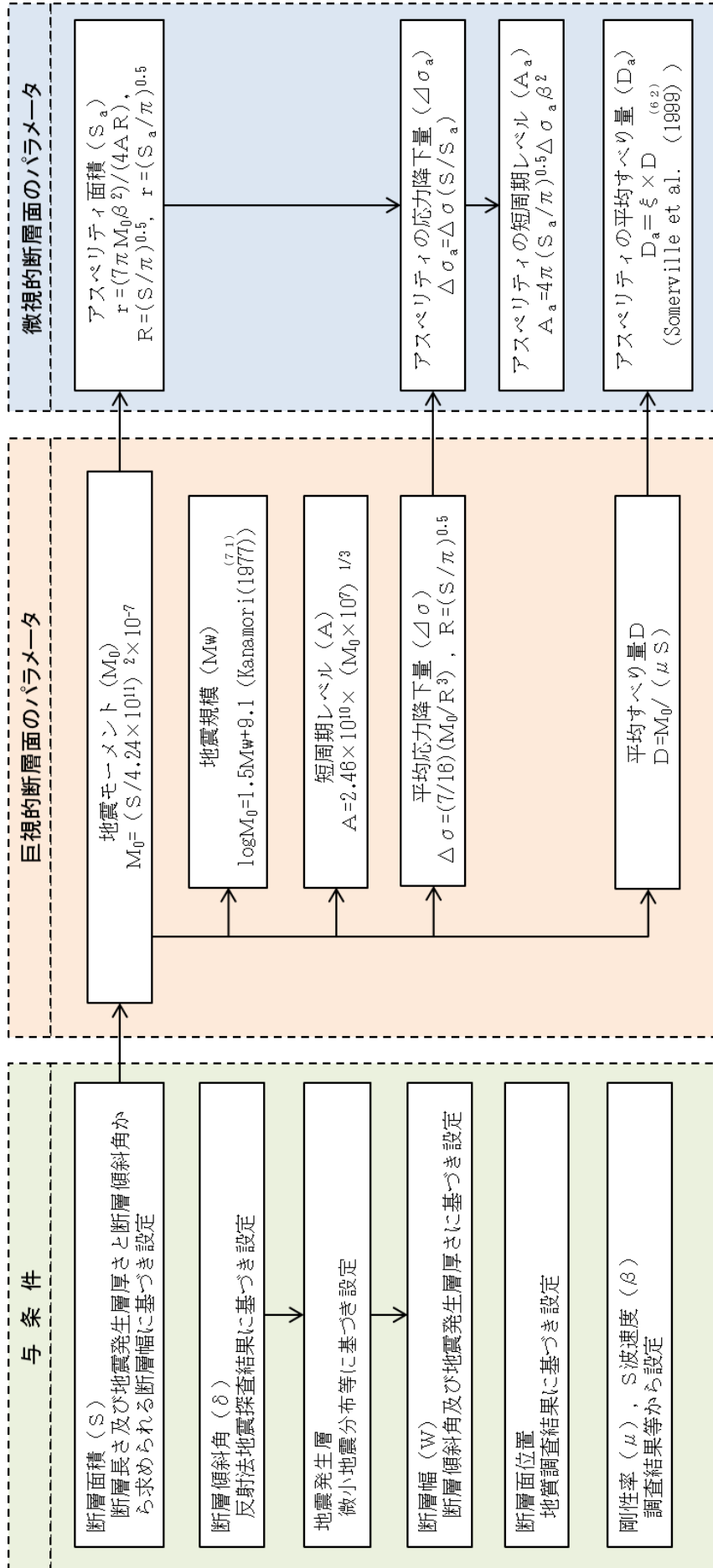
第 6.6-23 図(7) 「想定海洋プレート内地震」の応答スペクトル
 (断層モデルを用いた手法)
 (地震規模の不確かさケース, 水平方向)



第 6.6-23 図(8) 「想定海洋プレート内地震」の応答スペクトル
 (断層モデルを用いた手法)
 (地震規模の不確かさケース, 鉛直方向)

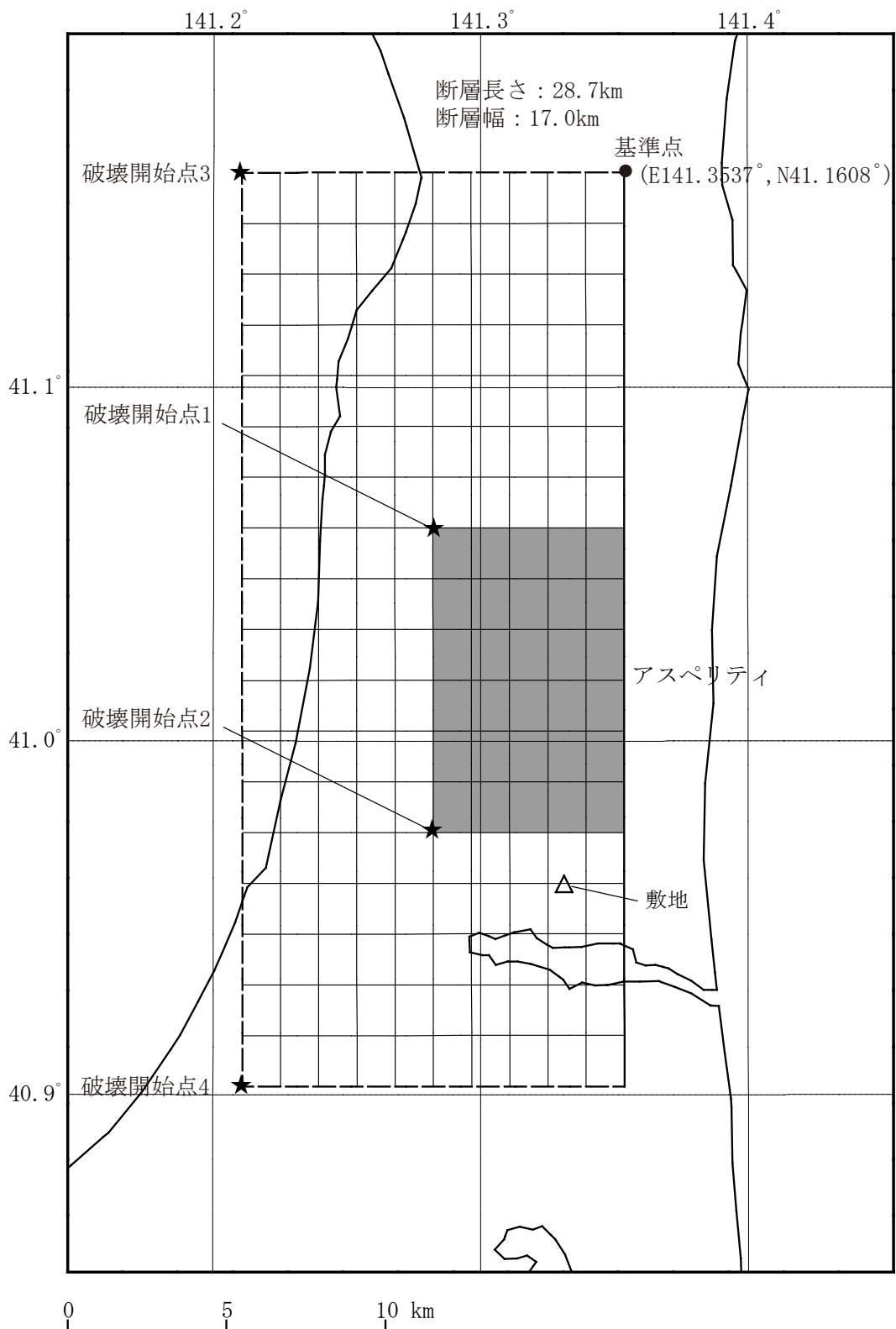


第 6.6-24 図 「出戸西方断層による地震」の断層モデル
(基本モデル・短周期レベルの不確かさケース)

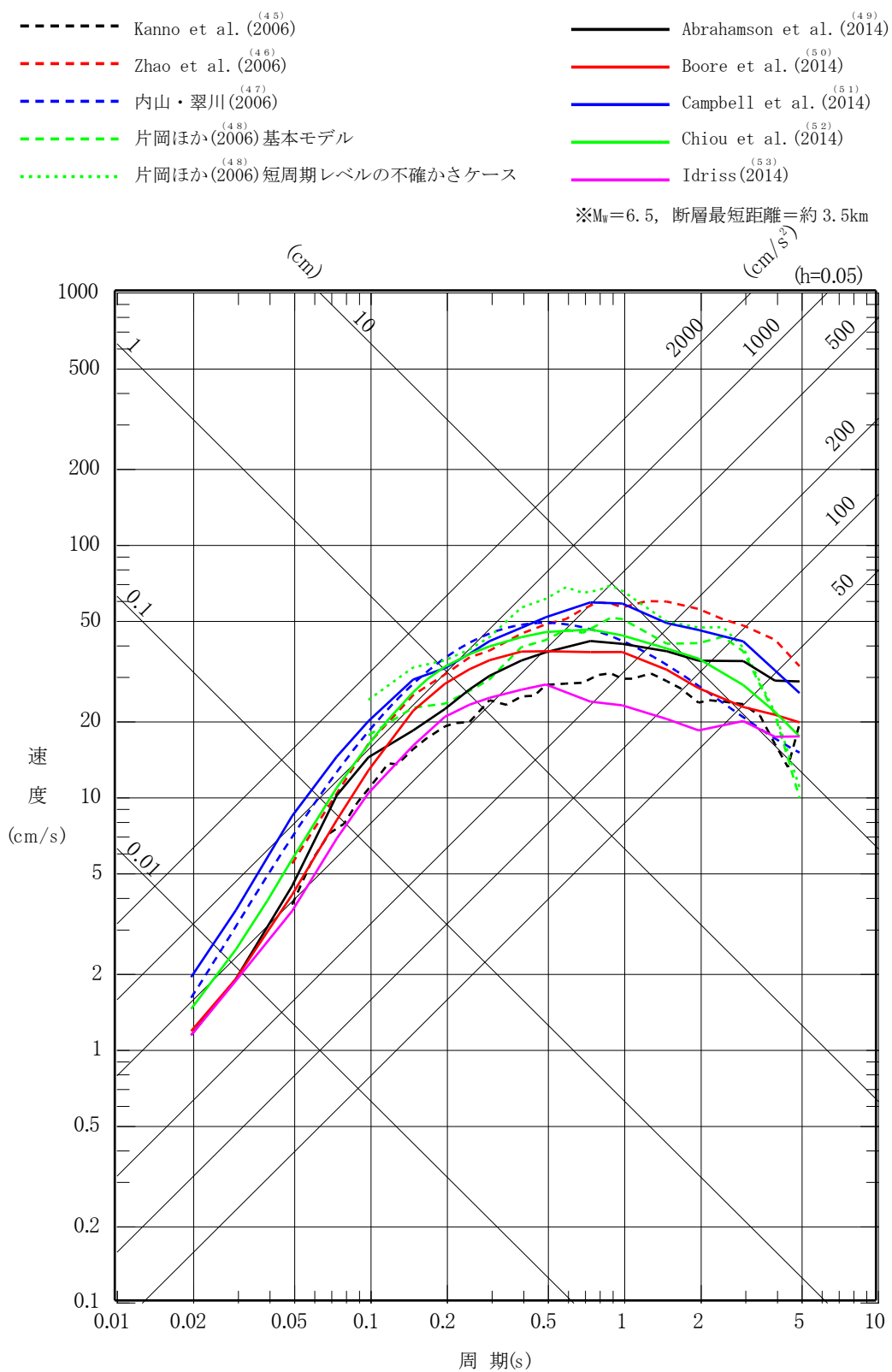


参考文献を付記していない数式は、地震調査委員会 (2016)^(7.6) による。

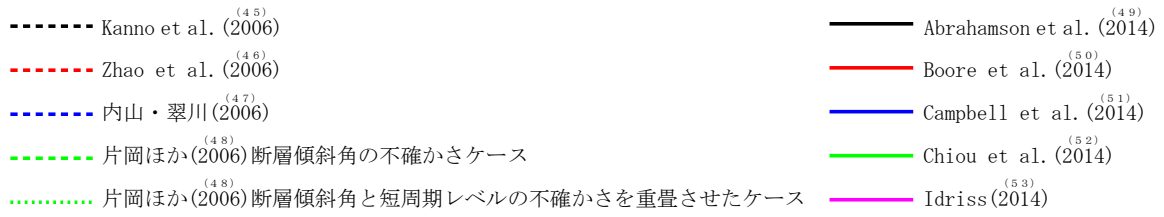
第 6.6-25 図 断層モデル パラメータ設定フロー (内陸地殻内地震)



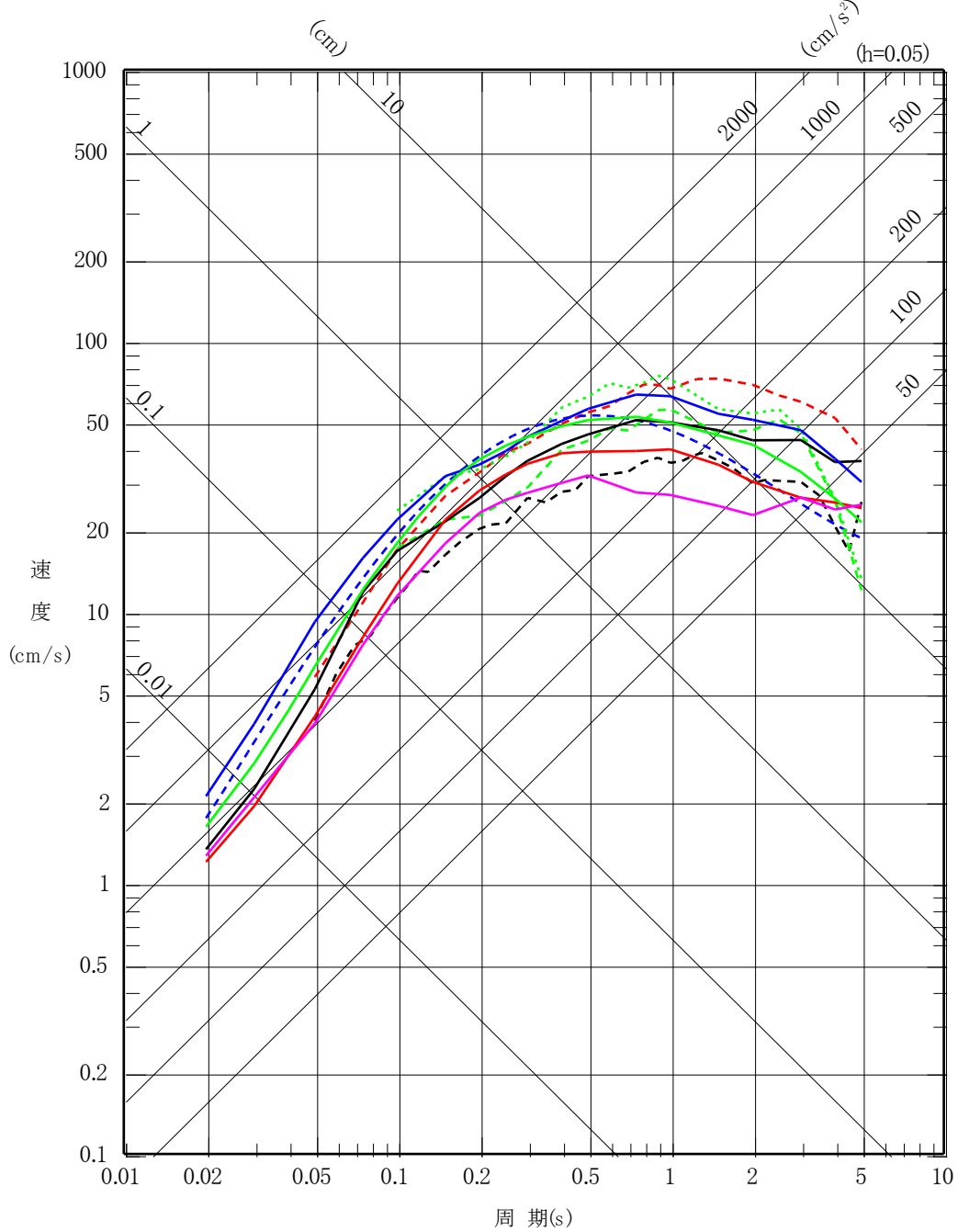
第 6.6-26 図 「出戸西方断層による地震」の断層モデル
(断層傾斜角の不確かさケース・断層傾斜角と短
周期レベルの不確かさを重畳させたケース)



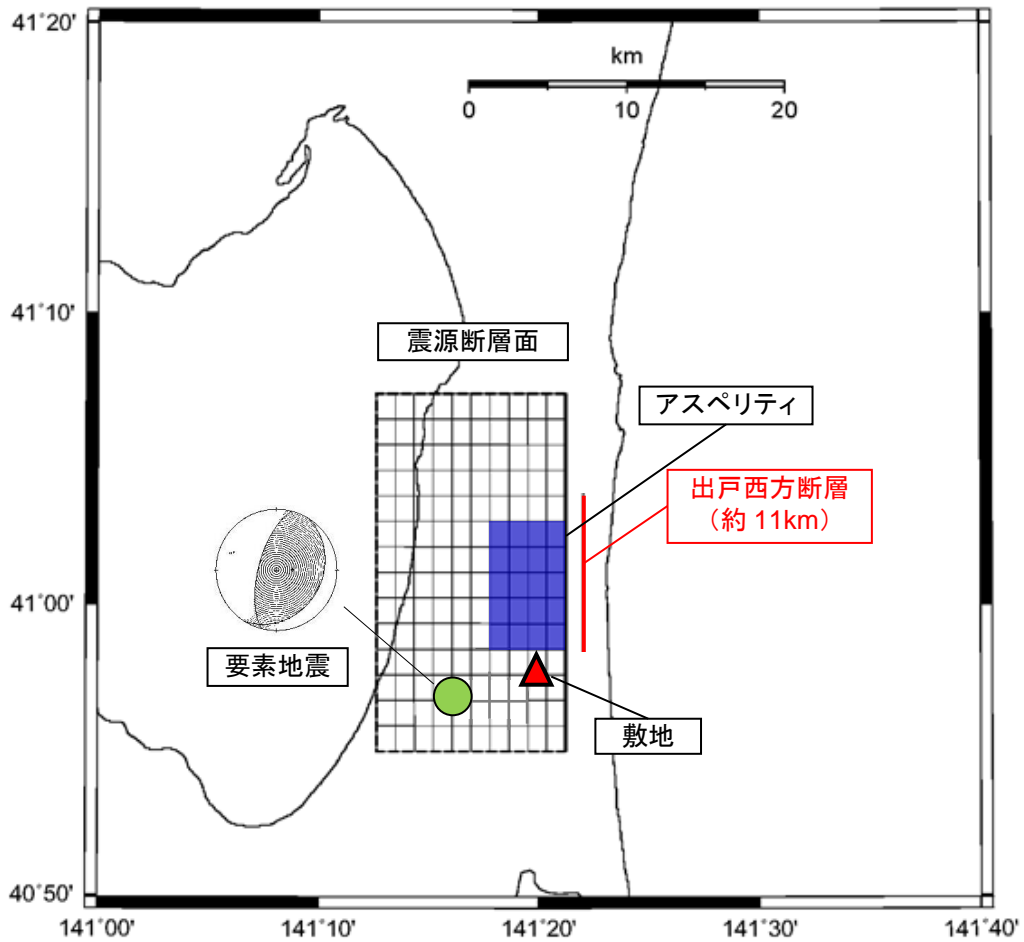
第 6.6-27 図(1) 「出戸西方断層による地震」の応答スペクトル
 (応答スペクトルに基づく手法) (基本モデル・短
 周期レベルの不確かさケース, 水平方向)



※ $M_w=6.7$, 断層最短距離=約 3.5km

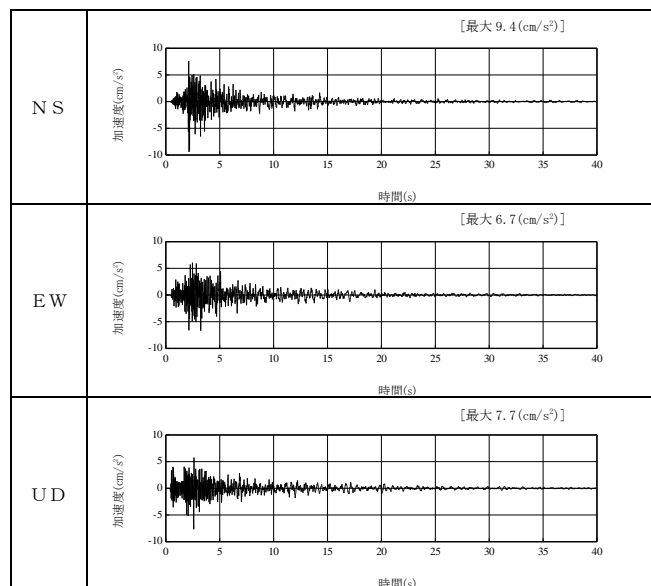


第 6.6-27 図(2) 「出戸西方断層による地震」の応答スペクトル (応答スペクトルに基づく手法) (断層傾斜角の不確かさケース・断層傾斜角と短周期レベルの不確かさを重畳させたケース, 水平方向)



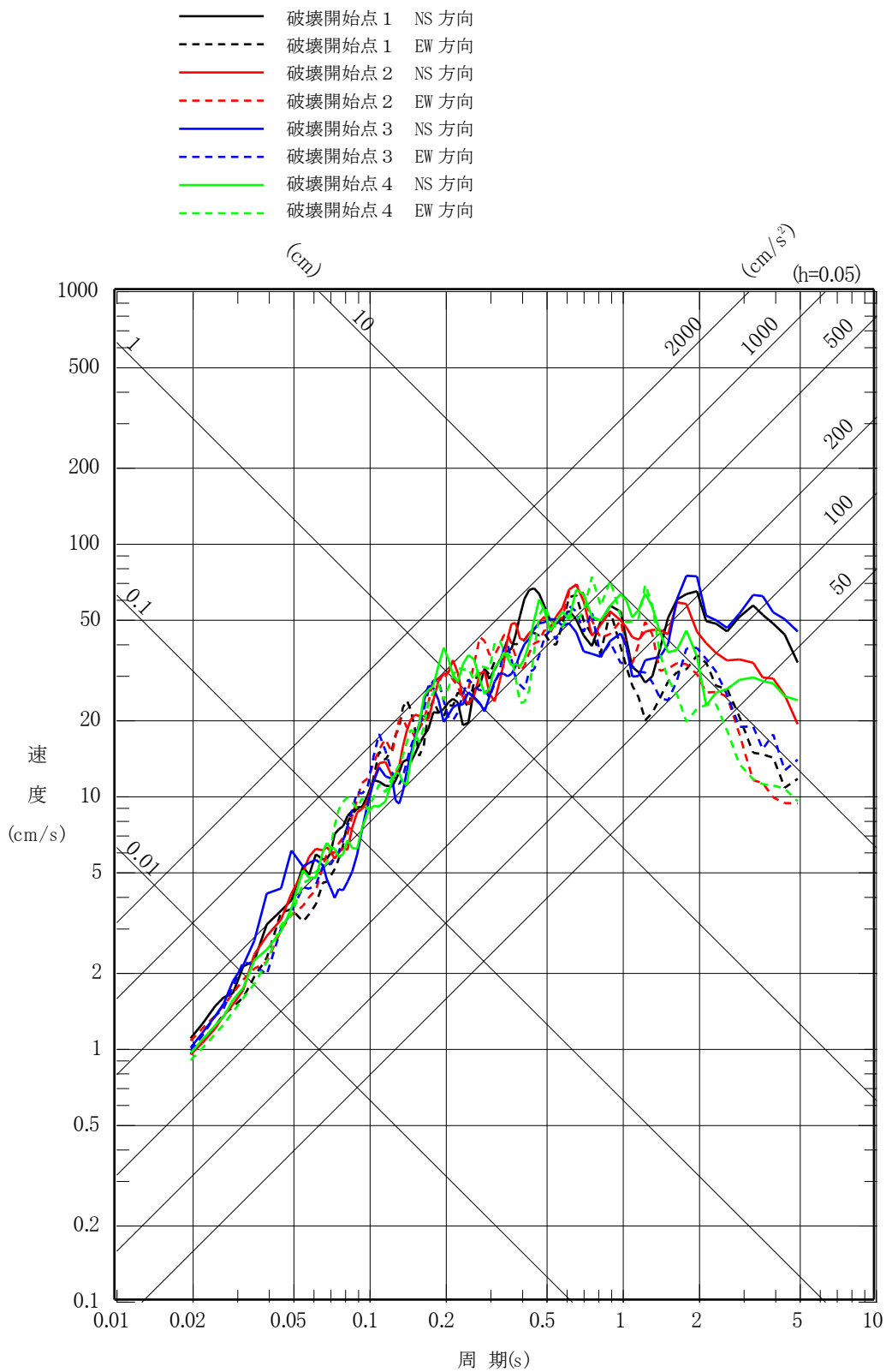
※図中の震源断層面は、断層傾斜角の不確かさケースの震源断層面を示す。

(a) 要素地震の震央位置

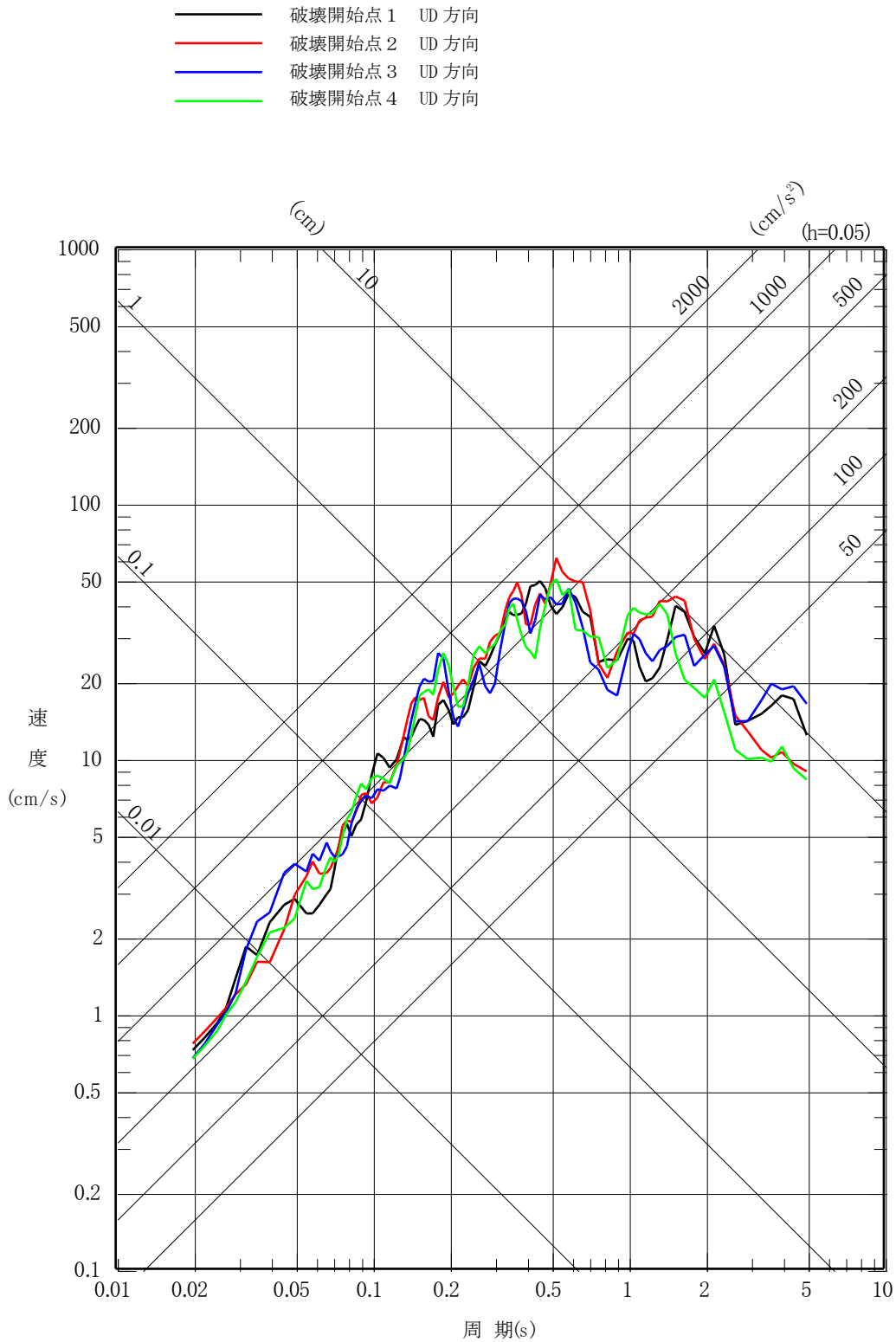


(b) 観測記録の波形

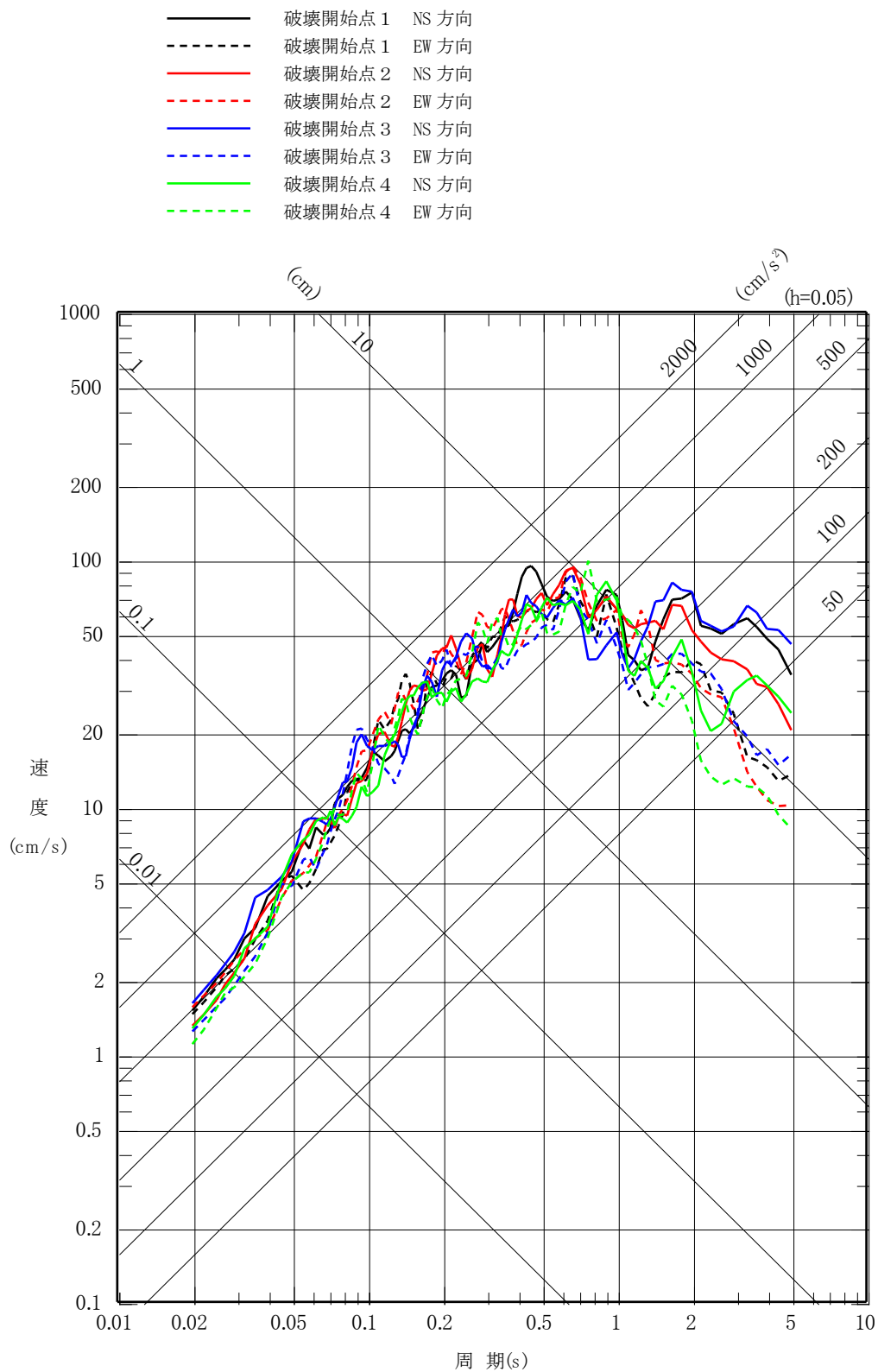
第 6.6-28 図 要素地震の震央位置及び観測記録の波形 (内陸地殻内地震)



第 6.6-29 図(1) 「出戸西方断層による地震」の応答スペクトル
 (断層モデルを用いた手法)
 (基本モデル, 水平方向)

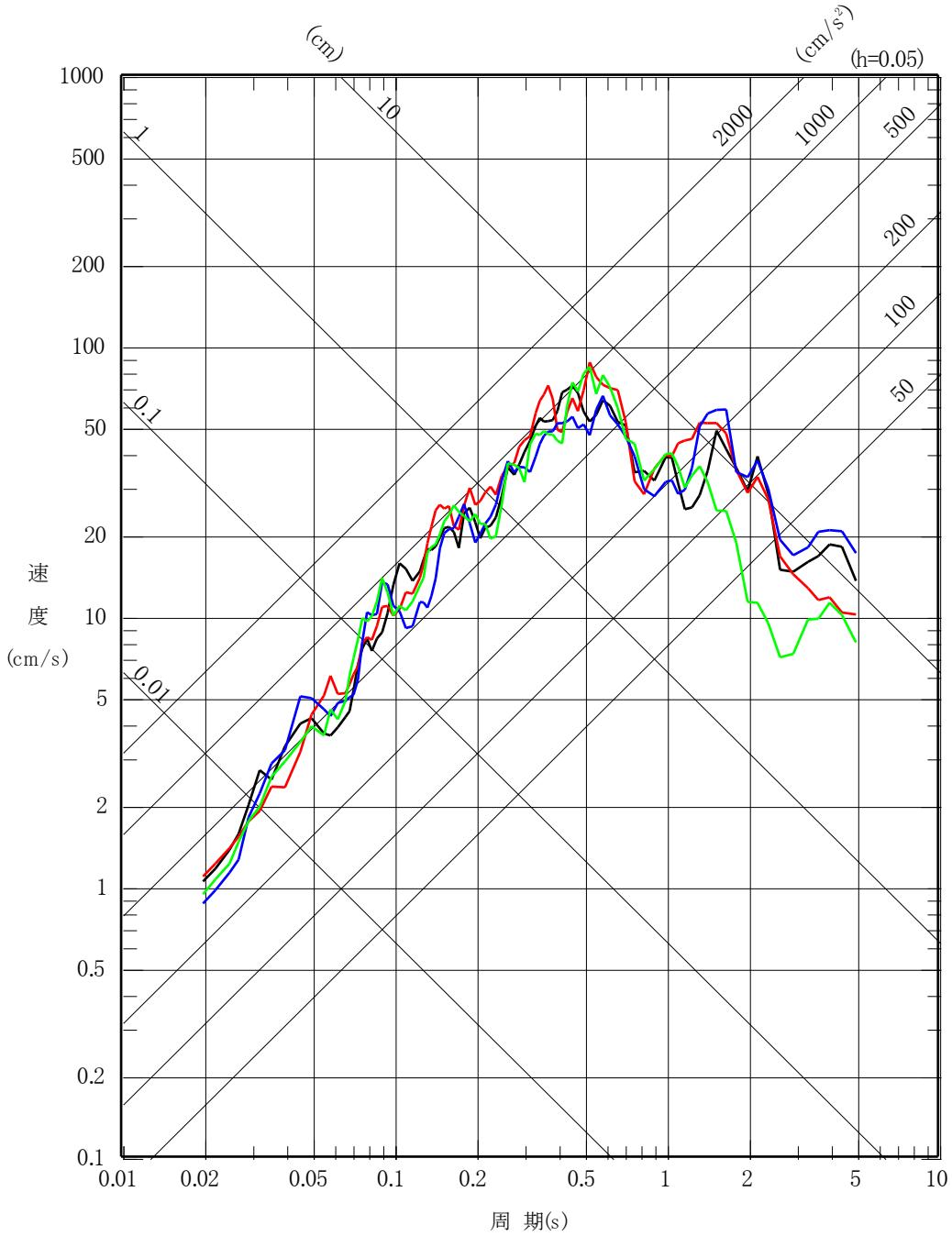


第 6.6-29 図(2) 「出戸西方断層による地震」の応答スペクトル
 (断層モデルを用いた手法)
 (基本モデル, 鉛直方向)

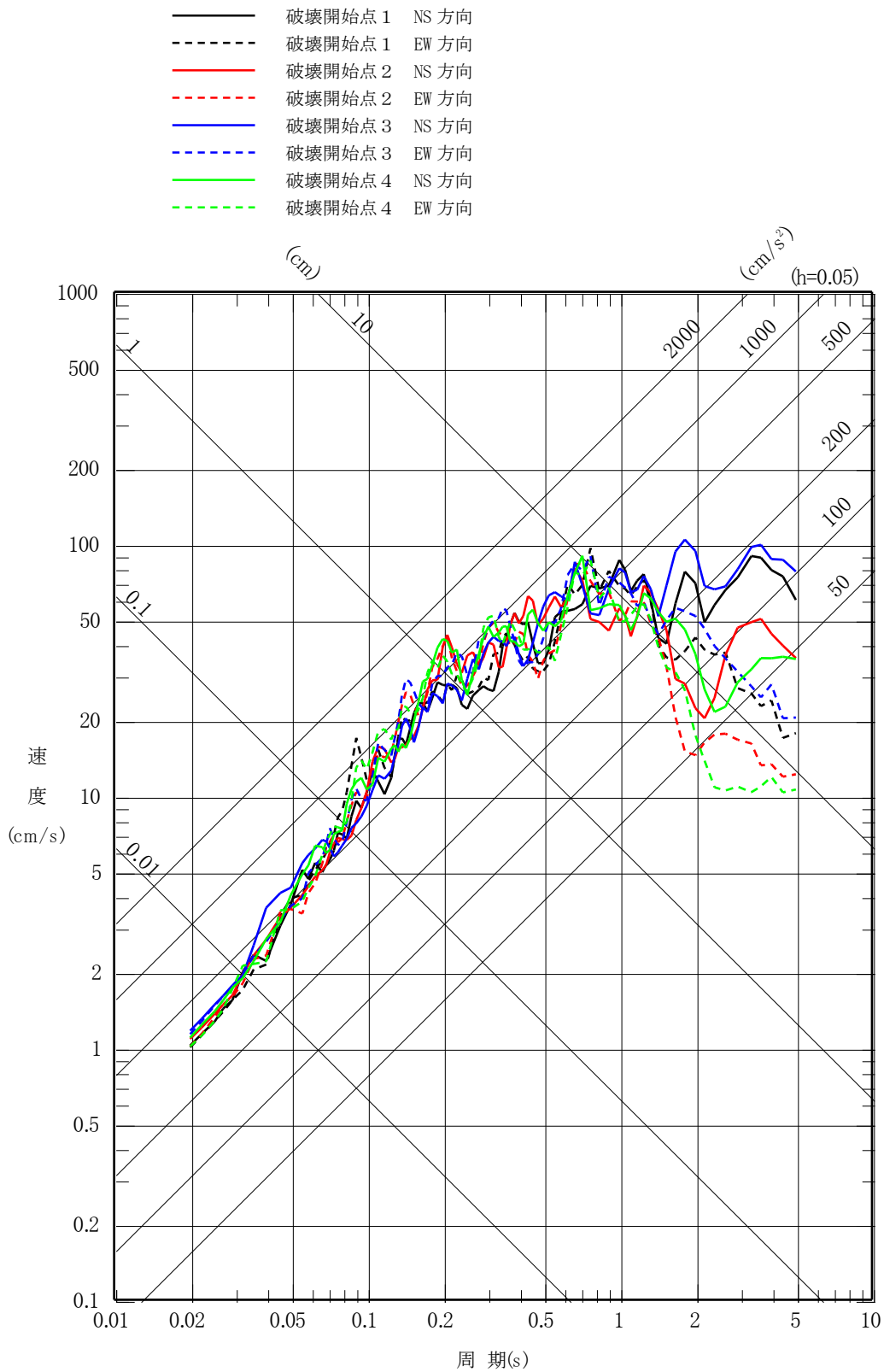


第 6.6-29 図(3) 「出戸西方断層による地震」の応答スペクトル
 (断層モデルを用いた手法)
 (短周期レベルの不確かさケース, 水平方向)

- 破壊開始点 1 UD 方向
- 破壊開始点 2 UD 方向
- 破壊開始点 3 UD 方向
- 破壊開始点 4 UD 方向

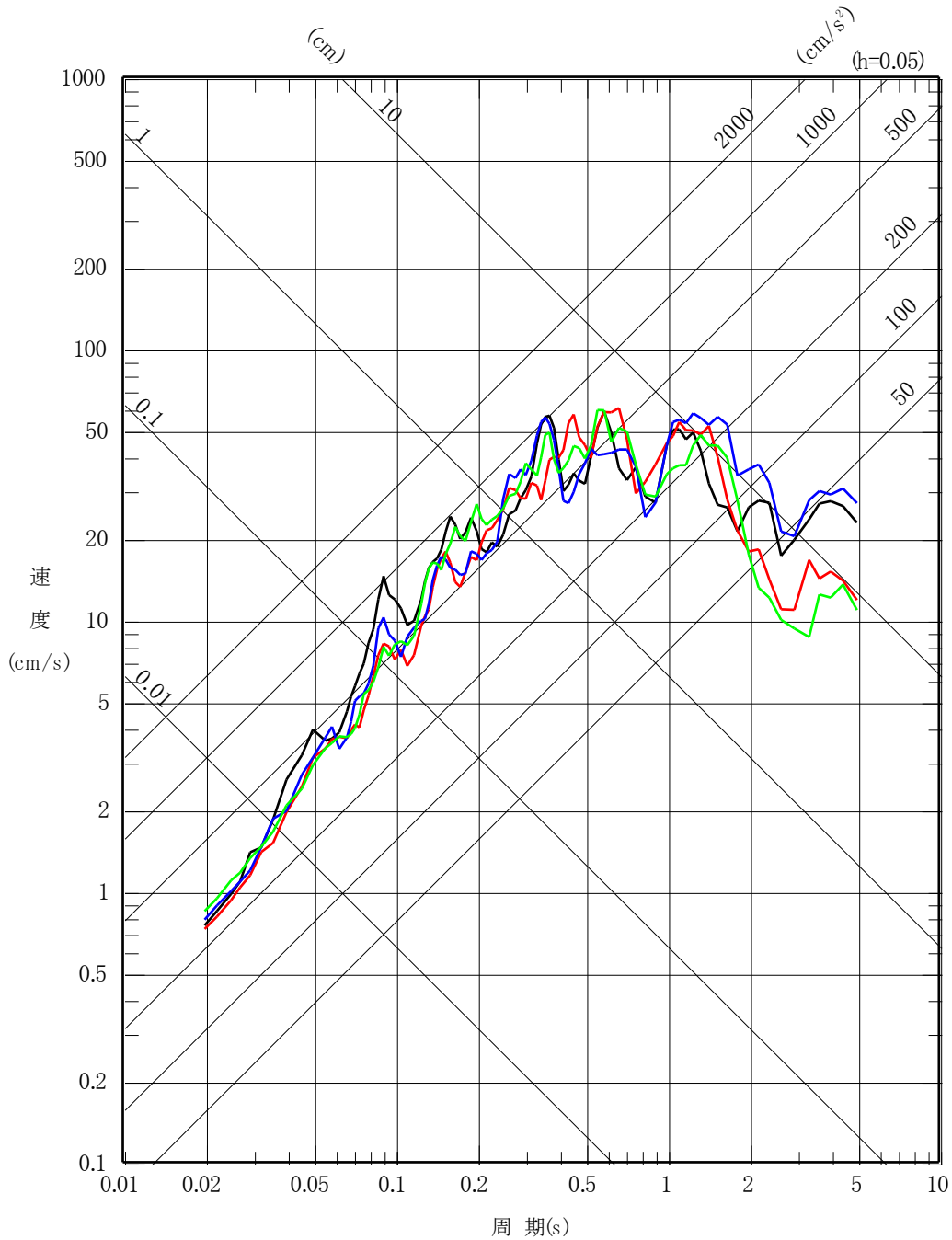


第 6.6-29 図(4) 「出戸西方断層による地震」の応答スペクトル
 (断層モデルを用いた手法)
 (短周期レベルの不確かさケース, 鉛直方向)

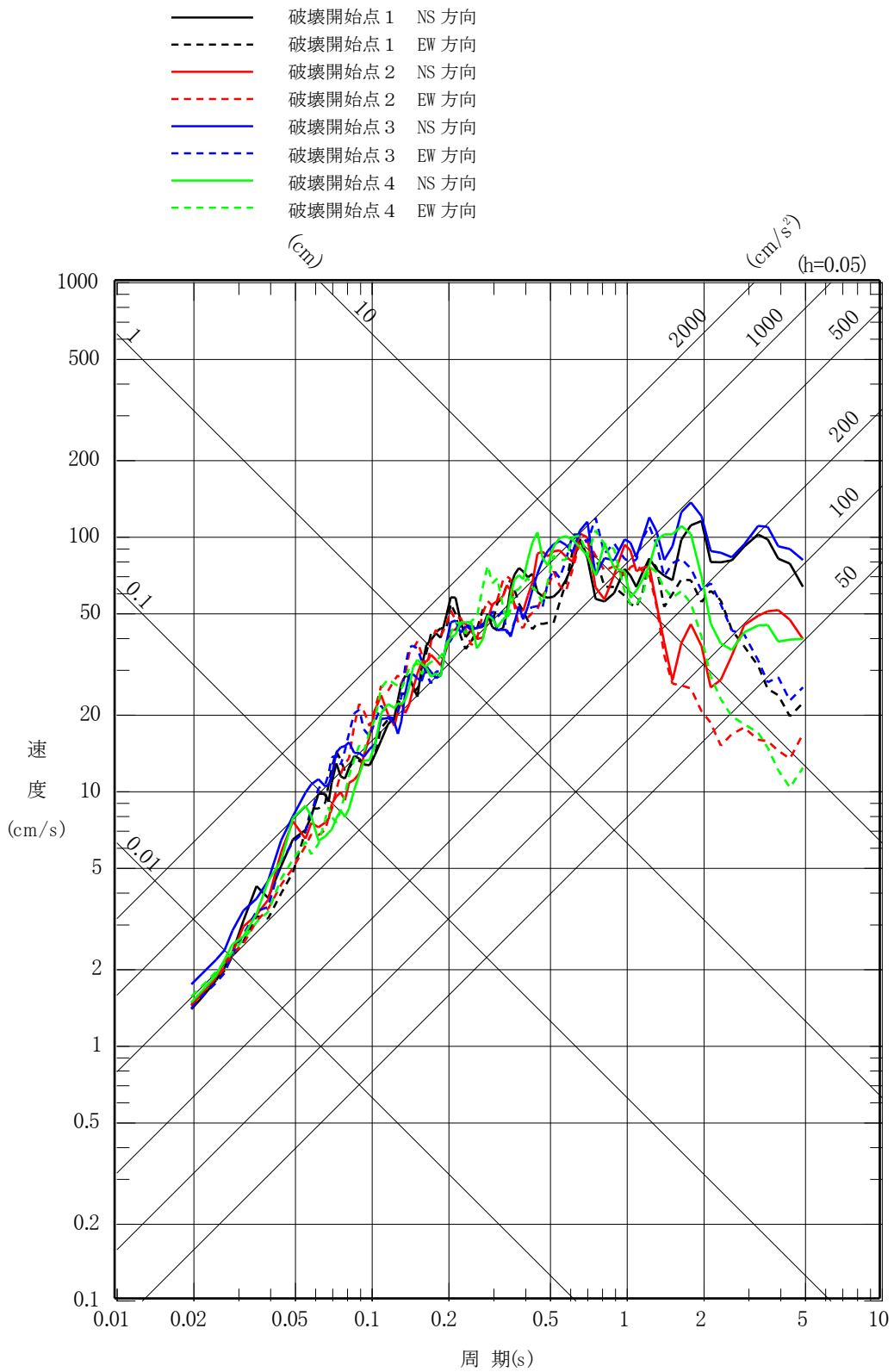


第 6.6-29 図(5) 「出戸西方断層による地震」の応答スペクトル
 (断層モデルを用いた手法)
 (断層傾斜角の不確かさケース, 水平方向)

- 破壊開始点 1 UD 方向
- 破壊開始点 2 UD 方向
- 破壊開始点 3 UD 方向
- 破壊開始点 4 UD 方向

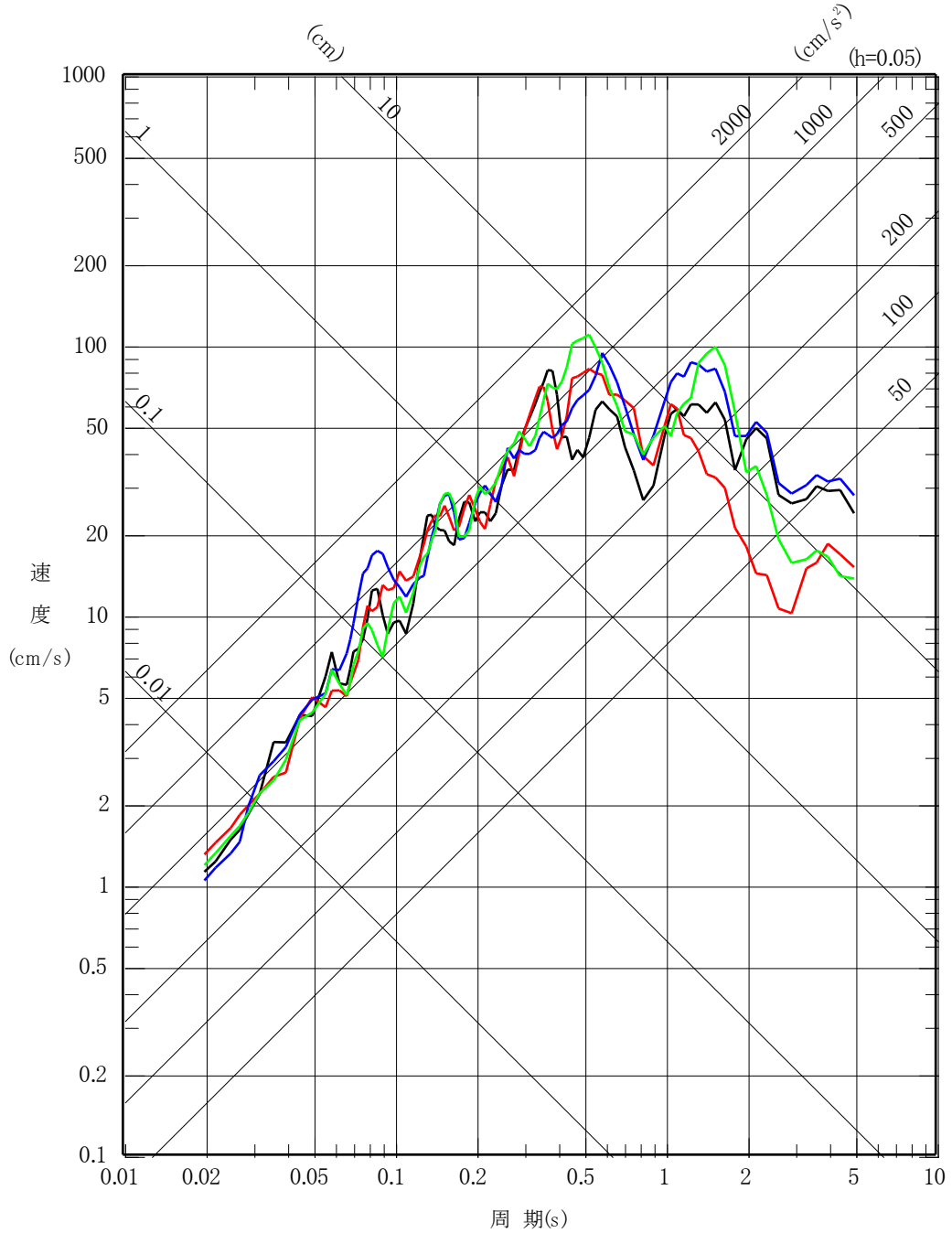


第 6.6-29 図(6) 「出戸西方断層による地震」の応答スペクトル
 (断層モデルを用いた手法)
 (断層傾斜角の不確かさケース, 鉛直方向)

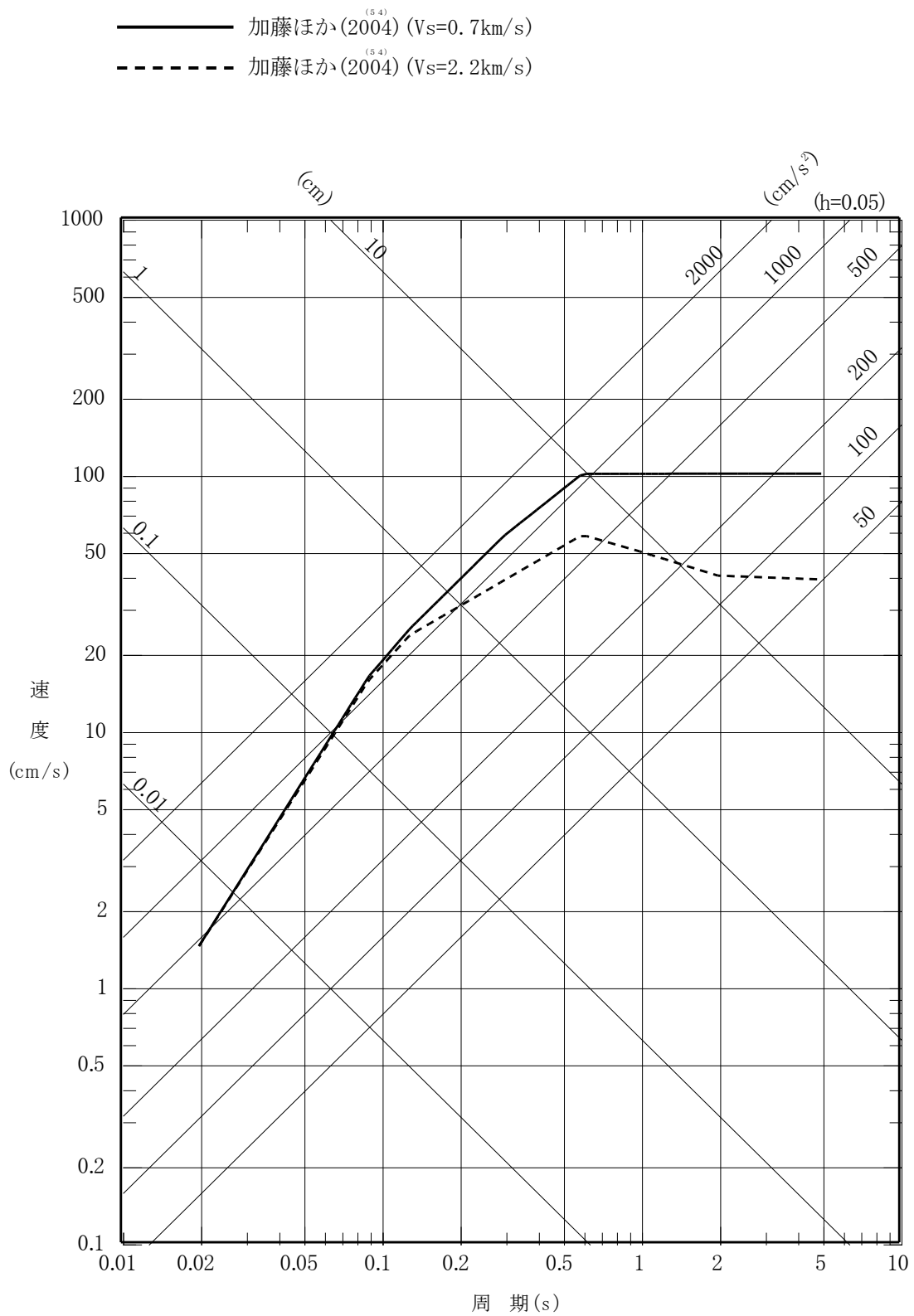


第 6.6-29 図(7) 「出戸西方断層による地震」の応答スペクトル
 (断層モデルを用いた手法) (短周期レベルと断層傾
 斜角の不確かさを重畳させたケース, 水平方向)

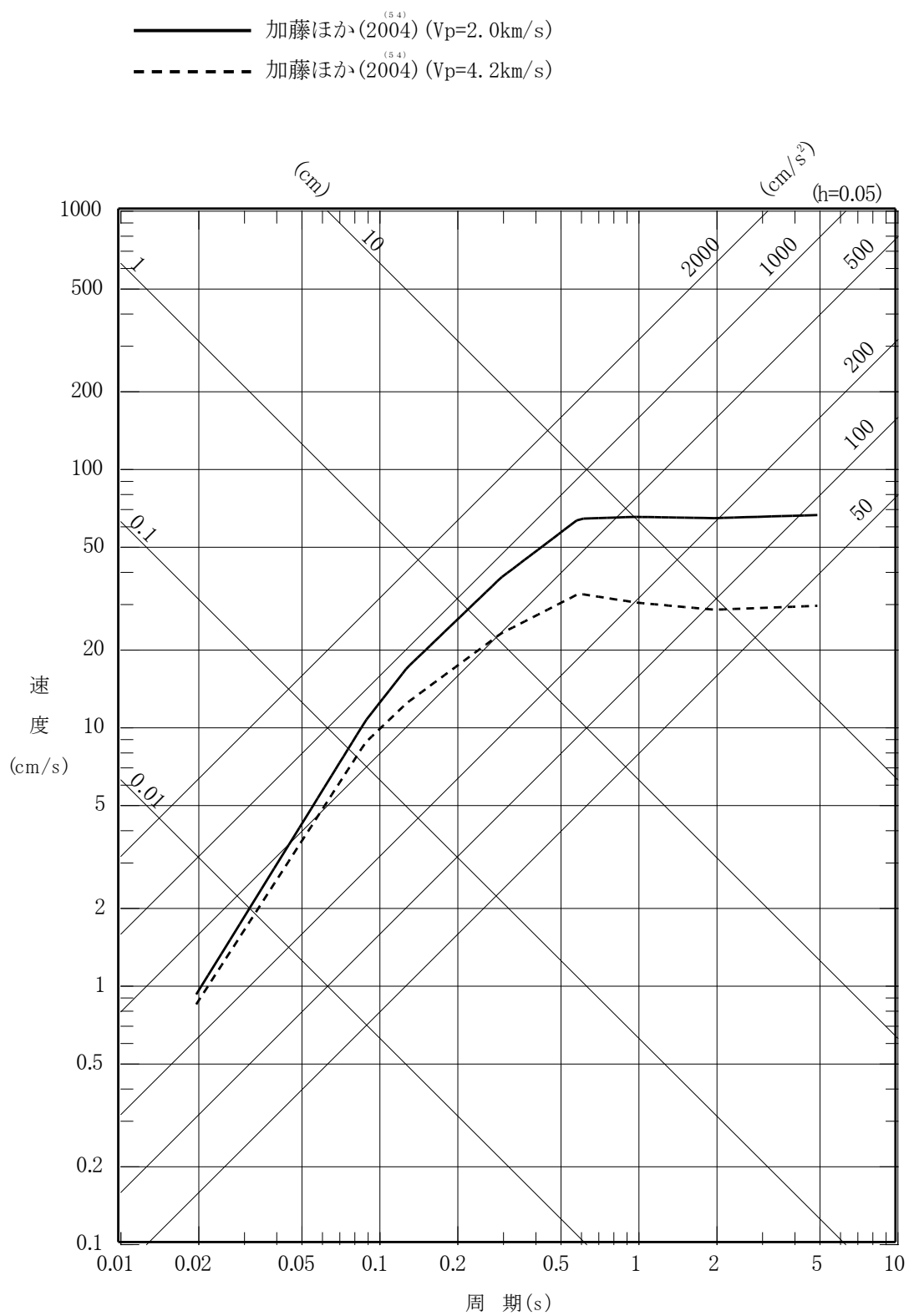
- 破壊開始点 1 UD 方向
- 破壊開始点 2 UD 方向
- 破壊開始点 3 UD 方向
- 破壊開始点 4 UD 方向



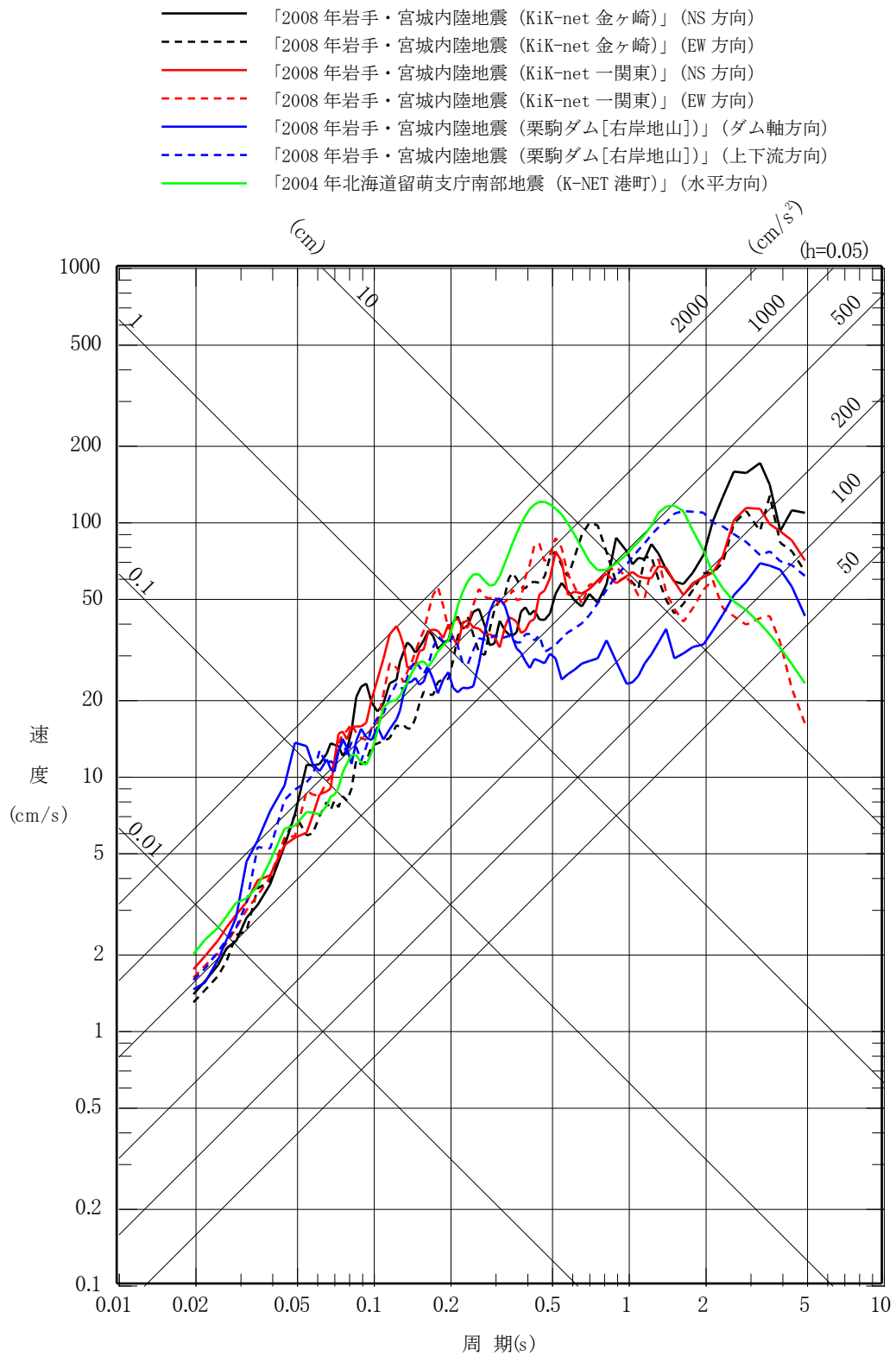
第 6.6-29 図(8) 「出戸西方断層による地震」の応答スペクトル
(断層モデルを用いた手法) (短周期レベルと断層傾
斜角の不確かさを重畳させたケース, 鉛直方向)



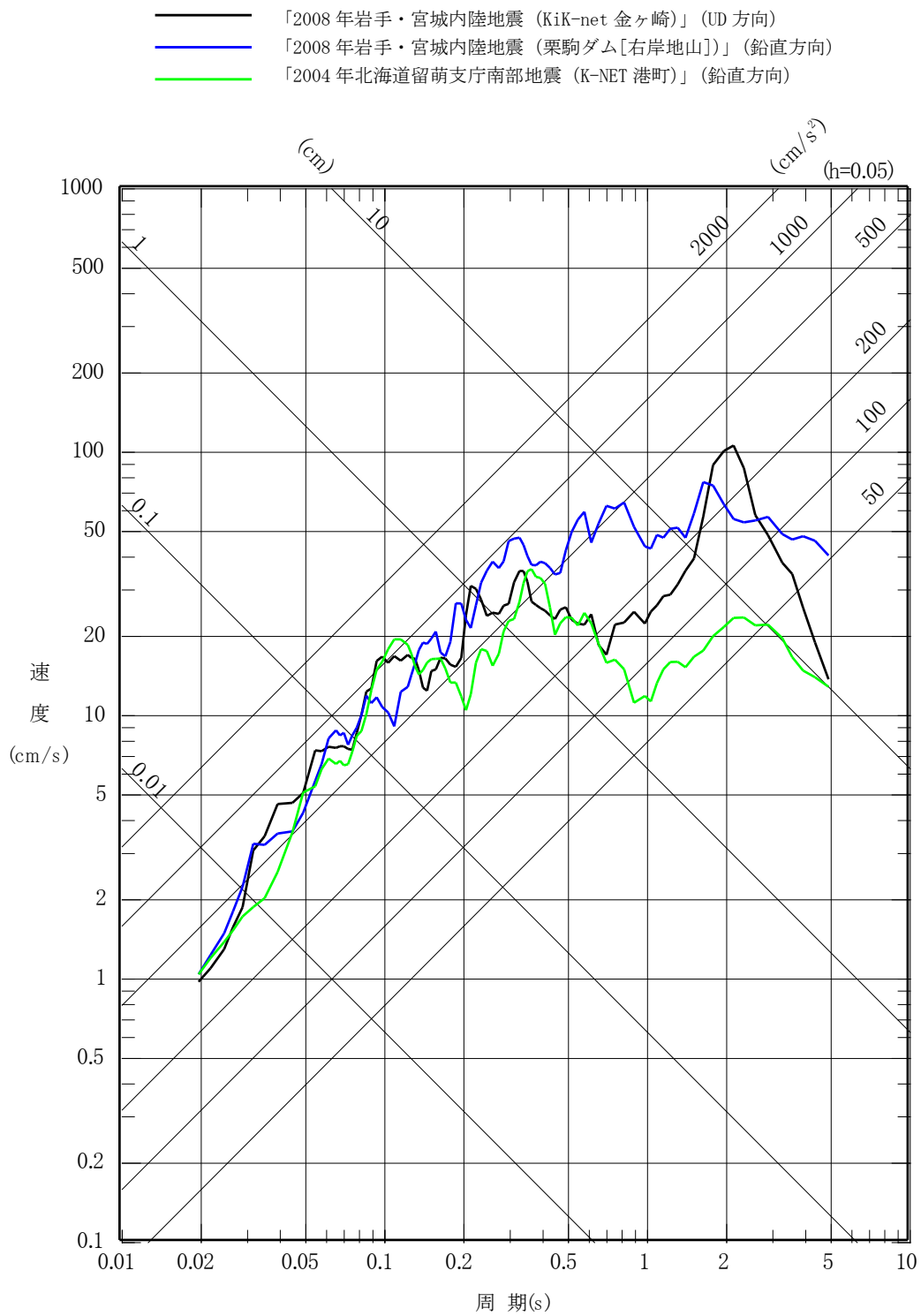
第 6.6-30 図(1) 加藤ほか⁽⁵⁴⁾による応答スペクトル (水平方向)



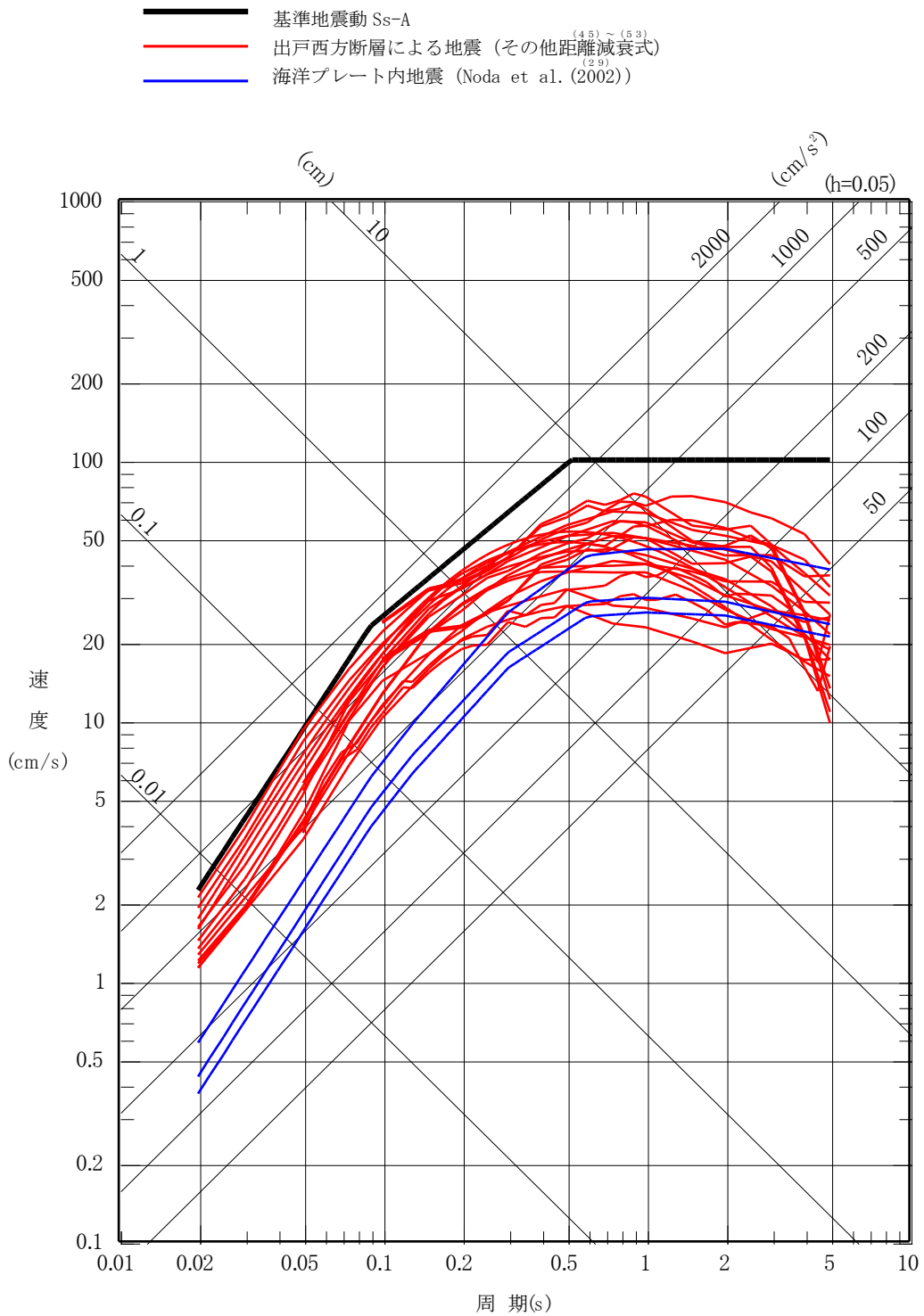
第 6.6-30 図(2) 加藤ほか⁽⁵⁴⁾ による応答スペクトル (鉛直方向)



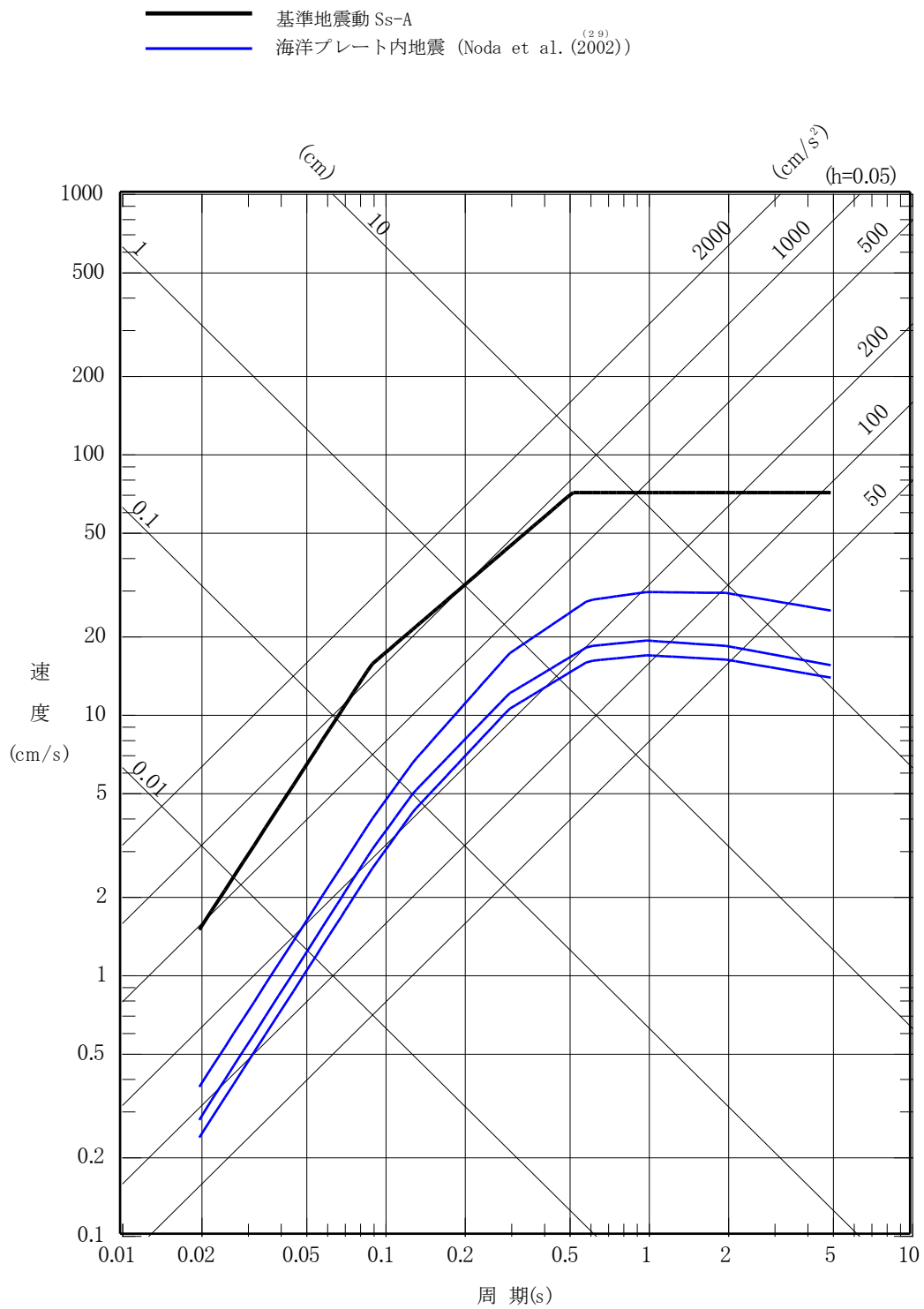
第 6.6-31 図(1) 震源を特定せず策定する地震動の応答スペクトル (水平方向)



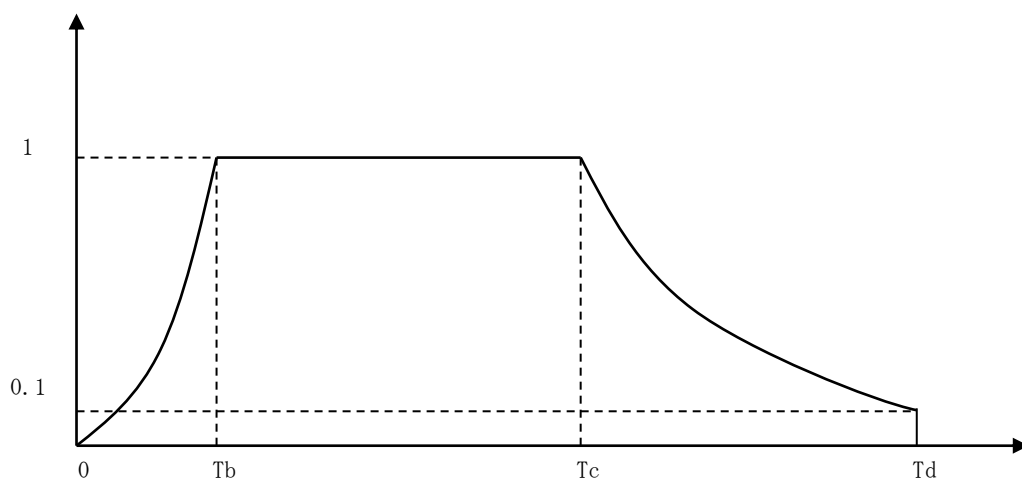
第 6.6-31 図(2) 震源を特定せず策定する地震動の応答スペクトル (鉛直方向)



第 6.6-32 図(1) 応答スペクトルに基づく地震動評価結果
 と基準地震動 S s - A の比較 (水平方向)



第 6.6-32 図(2) 応答スペクトルに基づく地震動評価結果
 と基準地震動 S s - A の比較 (鉛直方向)



(29)

※Noda et al. (2002) による。

$$T_b = 10^{0.5M - 2.93}$$

$$T_c - T_b = 10^{0.3M - 1.0}$$

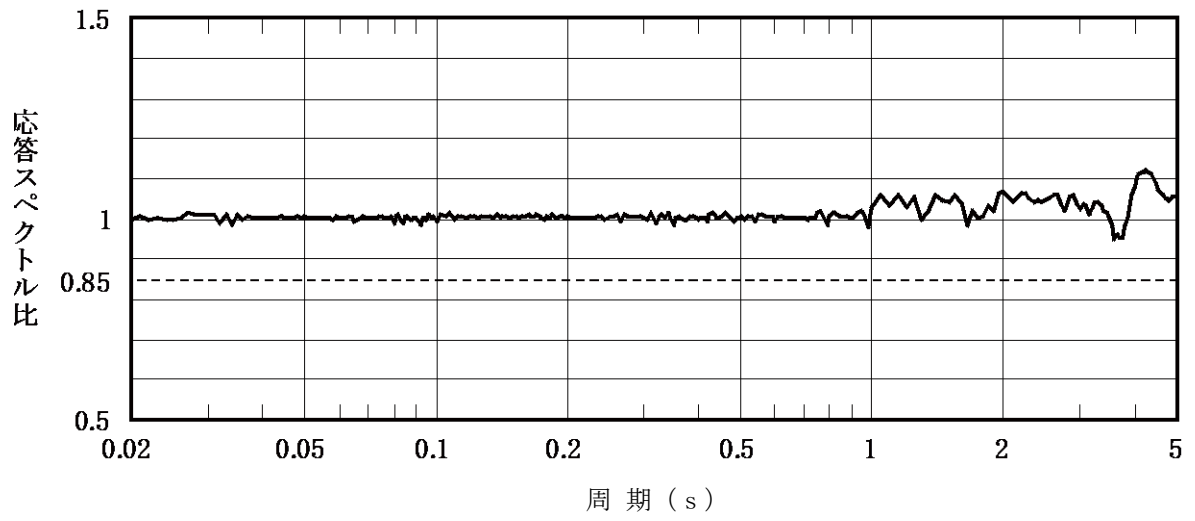
$$T_d - T_c = 10^{0.17M + 0.54 \log X_{eq} - 0.6}$$

ここで,

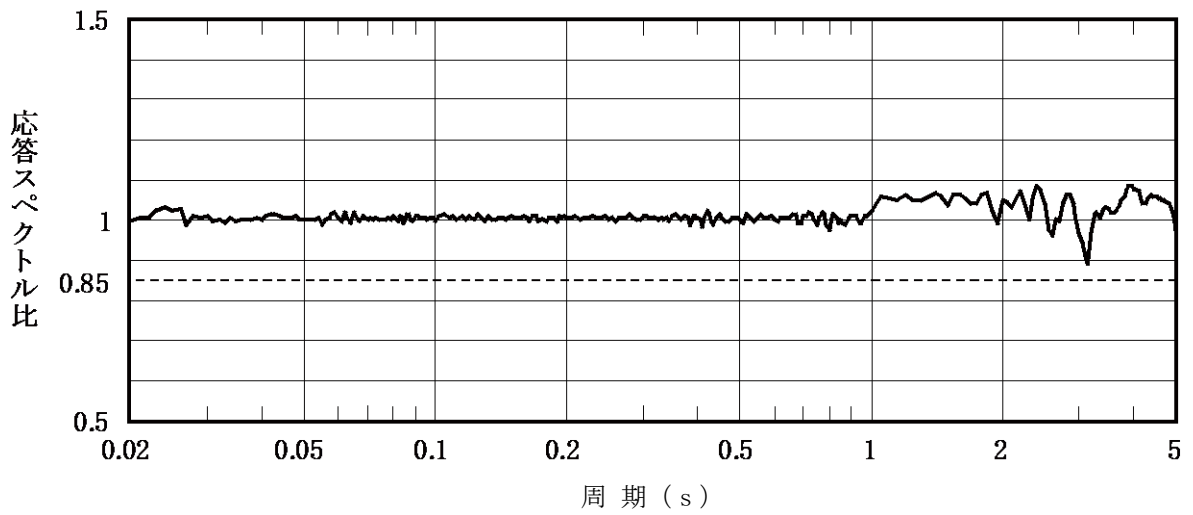
$$M = 8.3$$

$$X_{eq} = 129.3 \text{ km}$$

第 6.6-33 図 継続時間及び振幅包絡線の経時的変化

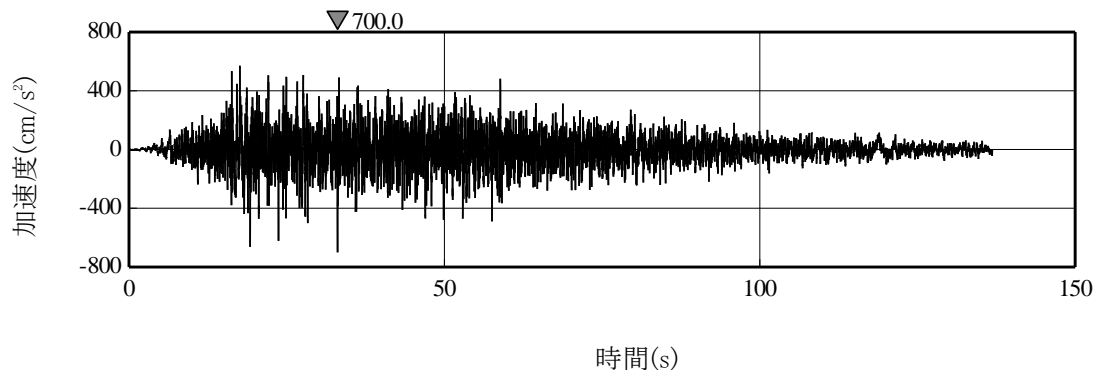


(a) $S_s - A_H$

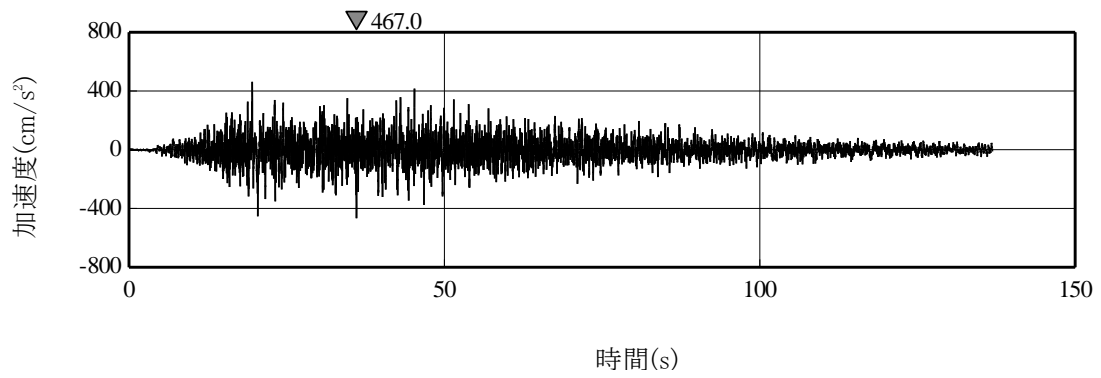


(b) $S_s - A_V$

第 6.6-34 図 設計用応答スペクトルに対する設計用模擬地震波の応答スペクトルの比



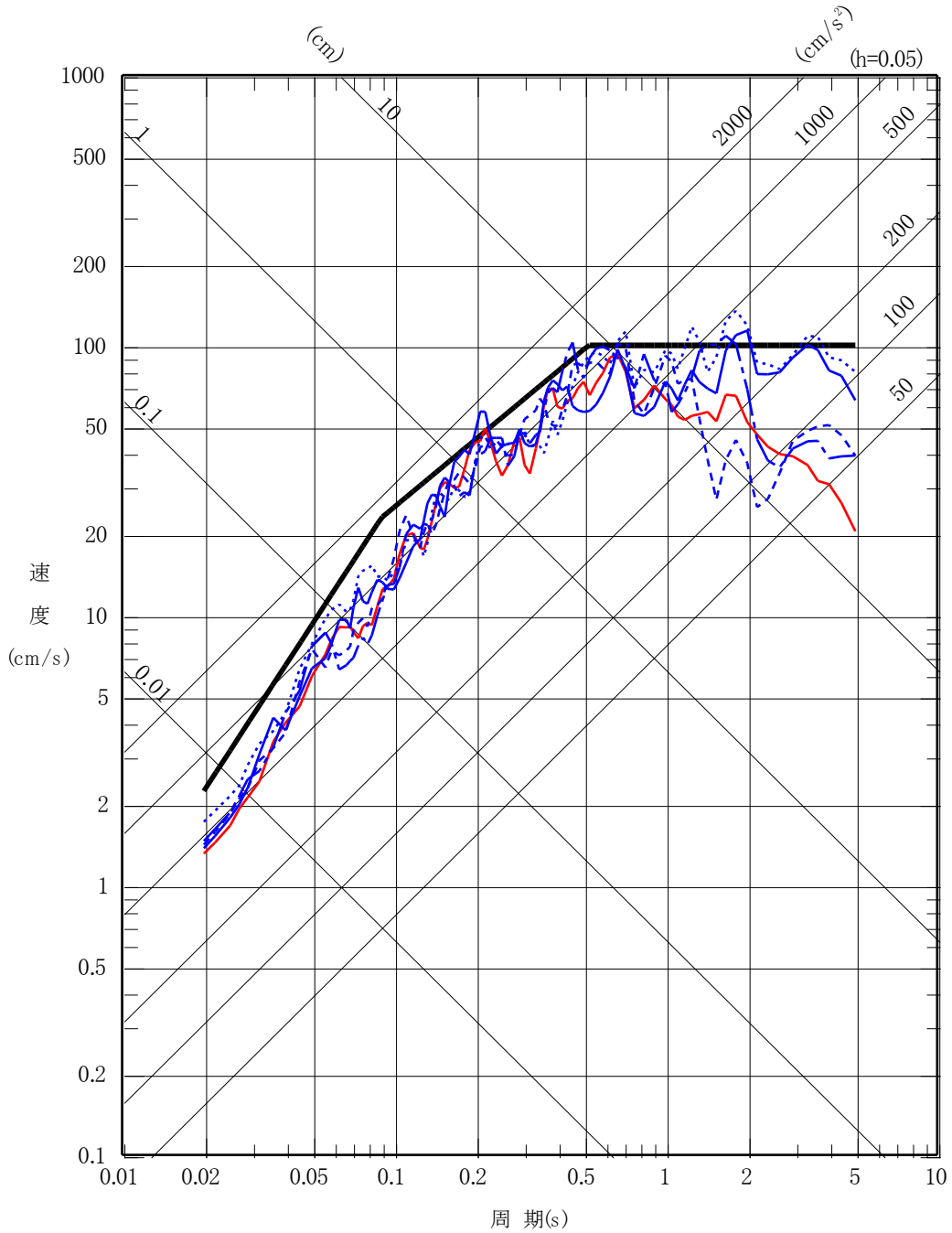
(a) $S_s - A_H$



(b) $S_s - A_V$

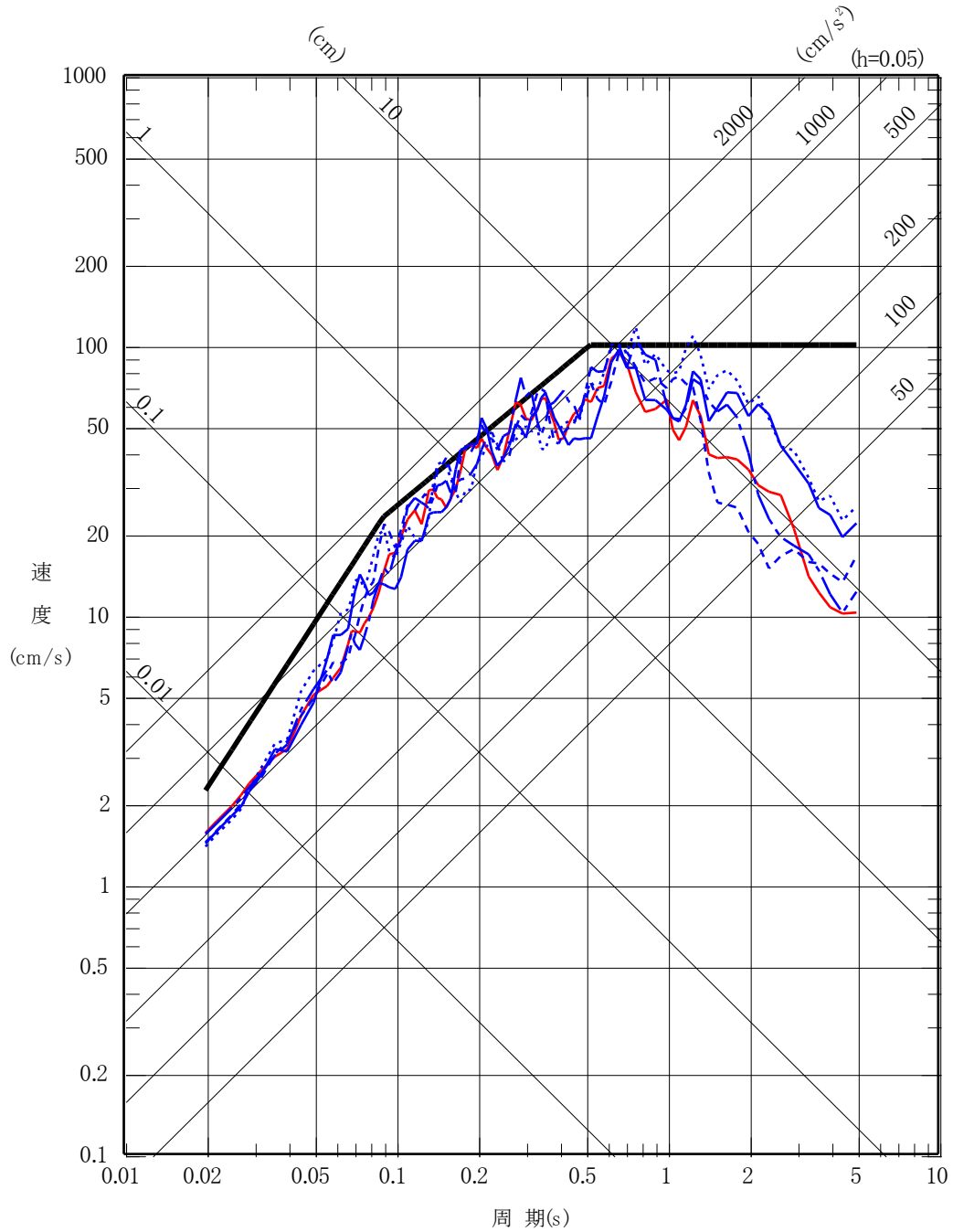
第 6.6-35 図 $S_s - A_H$, $S_s - A_V$ の設計用模擬地震波の加速度時刻歴波形

- 基準地震動 Ss-A
- 基準地震動 Ss-B1 出戸西方断層による地震 [短周期レベルの不確かさケース, 破壊開始点 2]
- 基準地震動 Ss-B2 出戸西方断層による地震 [短周期レベルと断層傾斜角の不確かさを重畳させたケース, 破壊開始点 1]
- - - 基準地震動 Ss-B3 出戸西方断層による地震 [短周期レベルと断層傾斜角の不確かさを重畳させたケース, 破壊開始点 2]
- ⋯ 基準地震動 Ss-B4 出戸西方断層による地震 [短周期レベルと断層傾斜角の不確かさを重畳させたケース, 破壊開始点 3]
- · - 基準地震動 Ss-B5 出戸西方断層による地震 [短周期レベルと断層傾斜角の不確かさを重畳させたケース, 破壊開始点 4]



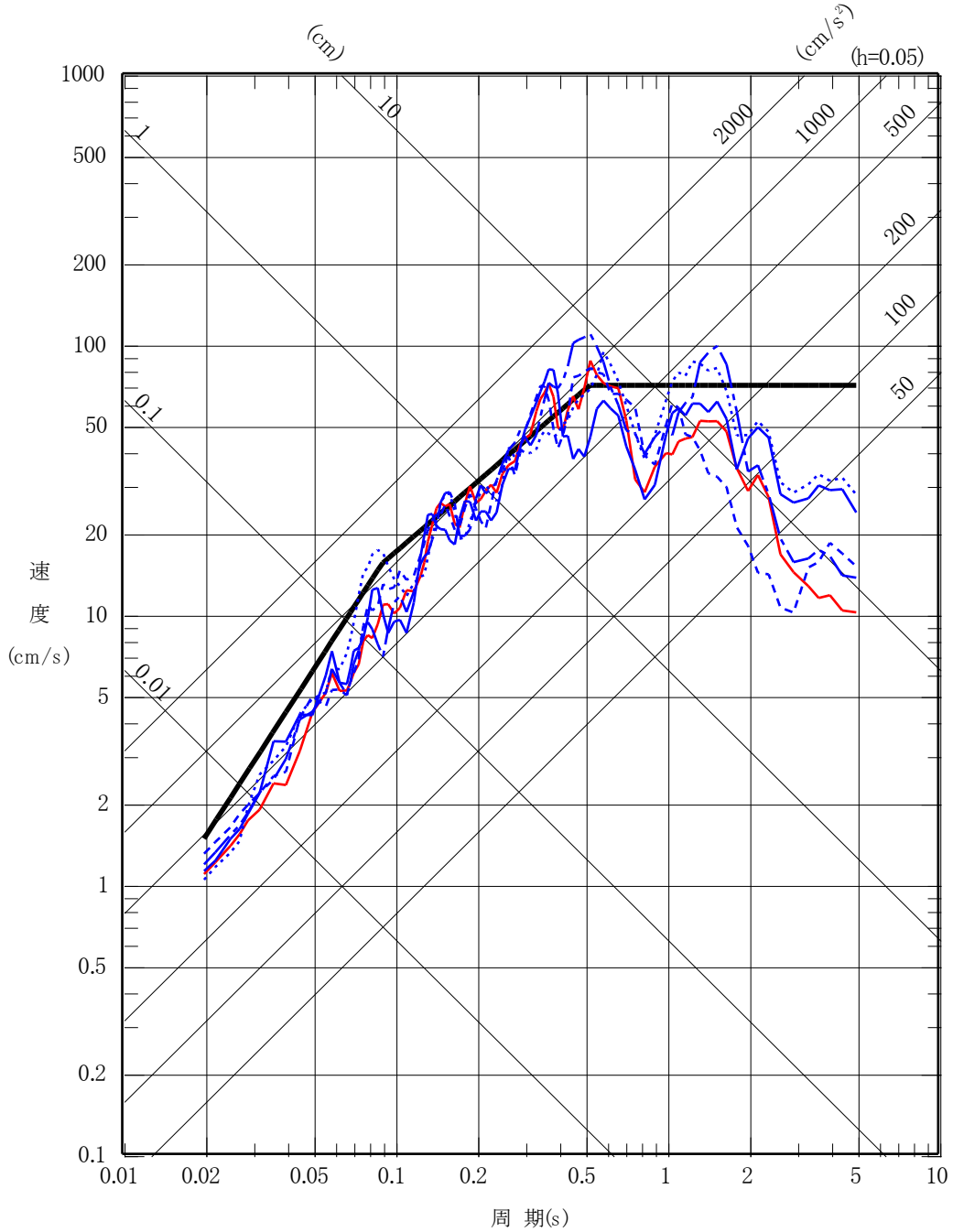
第 6.6-36 図(1) 基準地震動 S s - B (B 1 ~ B 5) と基準地震動 S s - A の比較 (N S 方向)

- 基準地震動 Ss-A
- 基準地震動 Ss-B1 出戸西方断層による地震 [短周期レベルの不確かさケース, 破壊開始点 1]
- 基準地震動 Ss-B2 出戸西方断層による地震 [短周期レベルと断層傾斜角の不確かさを重畳させたケース, 破壊開始点 1]
- - - 基準地震動 Ss-B3 出戸西方断層による地震 [短周期レベルと断層傾斜角の不確かさを重畳させたケース, 破壊開始点 2]
- ⋯ 基準地震動 Ss-B4 出戸西方断層による地震 [短周期レベルと断層傾斜角の不確かさを重畳させたケース, 破壊開始点 3]
- . - 基準地震動 Ss-B5 出戸西方断層による地震 [短周期レベルと断層傾斜角の不確かさを重畳させたケース, 破壊開始点 4]

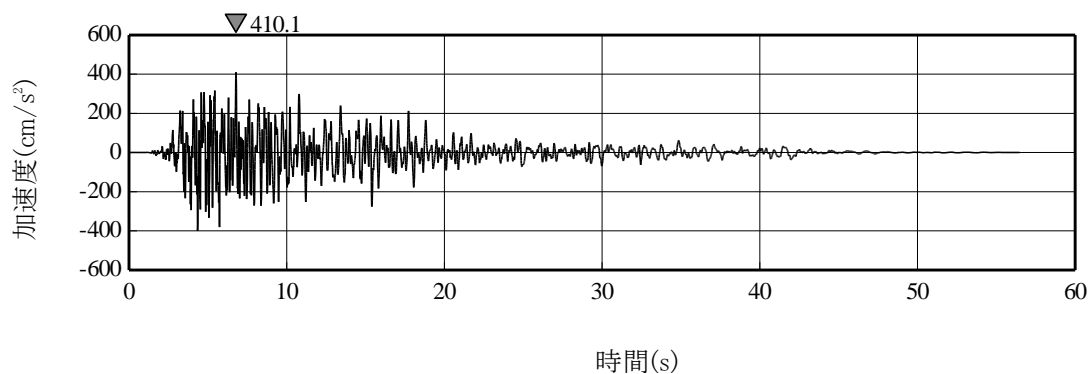


第 6.6-36 図(2) 基準地震動 S s - B (B 1 ~ B 5) と基準地震動 S s - A の比較 (E W 方向)

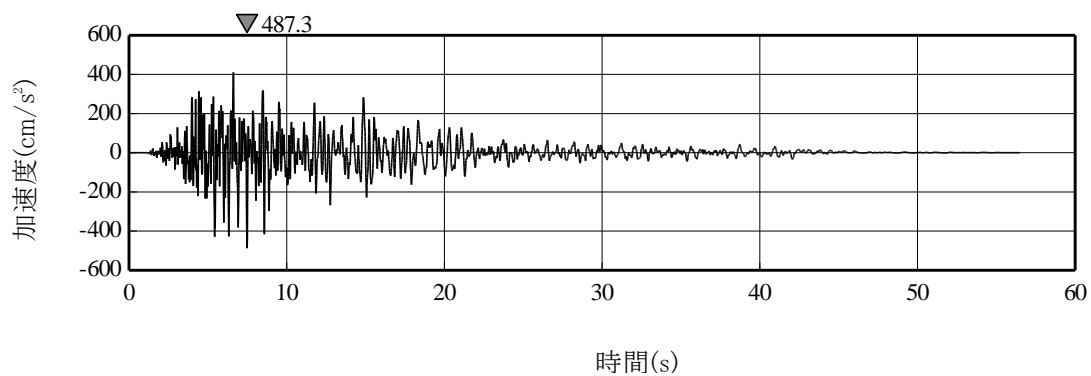
- 基準地震動 Ss-A
- 基準地震動 Ss-B1 出戸西方断層による地震 [短周期レベルの不確かさケース, 破壊開始点 2]
- 基準地震動 Ss-B2 出戸西方断層による地震 [短周期レベルと断層傾斜角の不確かさを重畳させたケース, 破壊開始点 1]
- - - 基準地震動 Ss-B3 出戸西方断層による地震 [短周期レベルと断層傾斜角の不確かさを重畳させたケース, 破壊開始点 2]
- ⋯⋯ 基準地震動 Ss-B4 出戸西方断層による地震 [短周期レベルと断層傾斜角の不確かさを重畳させたケース, 破壊開始点 3]
- · - 基準地震動 Ss-B5 出戸西方断層による地震 [短周期レベルと断層傾斜角の不確かさを重畳させたケース, 破壊開始点 4]



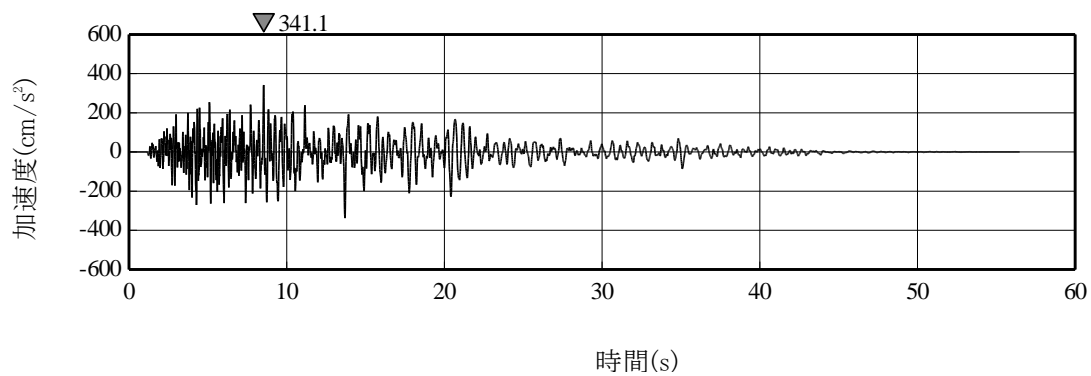
第 6.6-36 図(3) 基準地震動 S s - B (B 1 ~ B 5) と基準地震動 S s - A の比較 (UD 方向)



(a) N S 方向

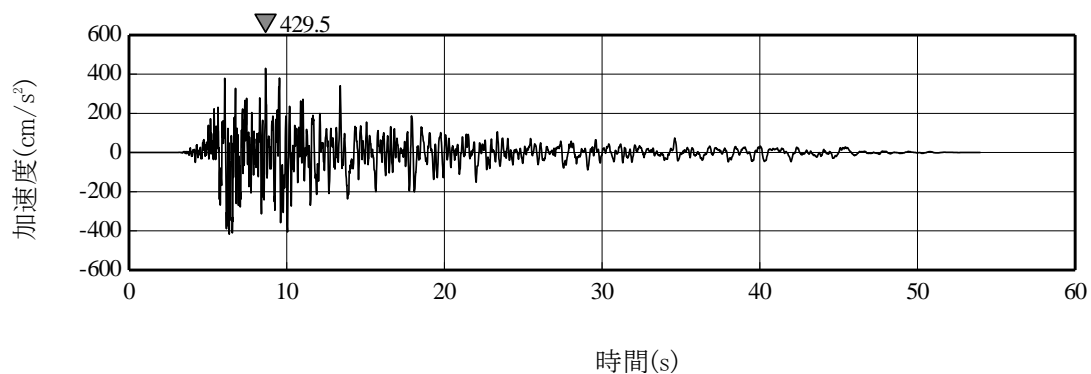


(b) E W 方向

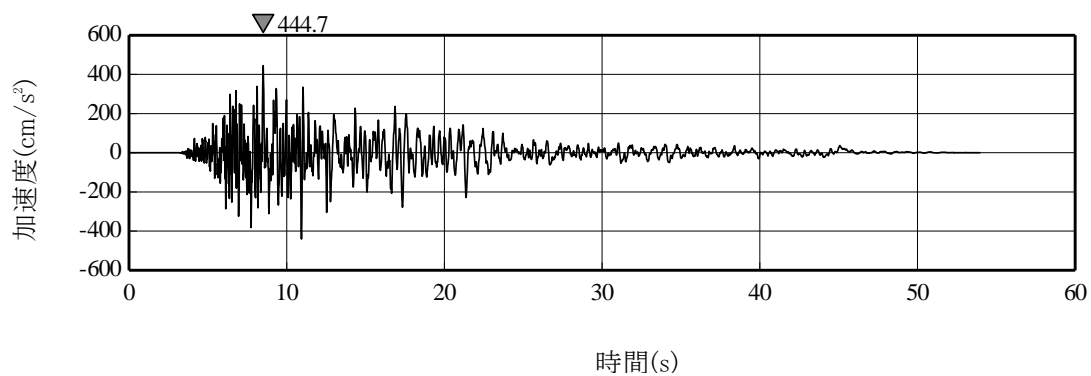


(c) U D 方向

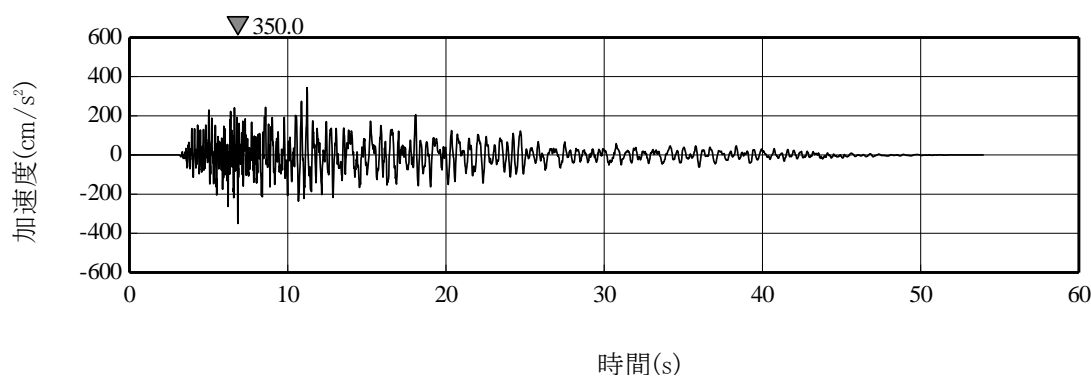
第 6.6-37 図(1) 基準地震動 S s - B 1 の加速度時刻歴波形



(a) N S 方向

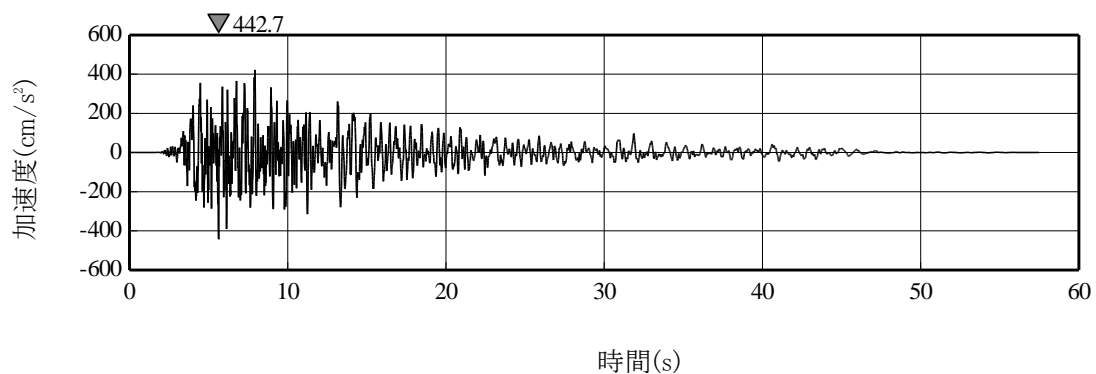


(b) E W 方向

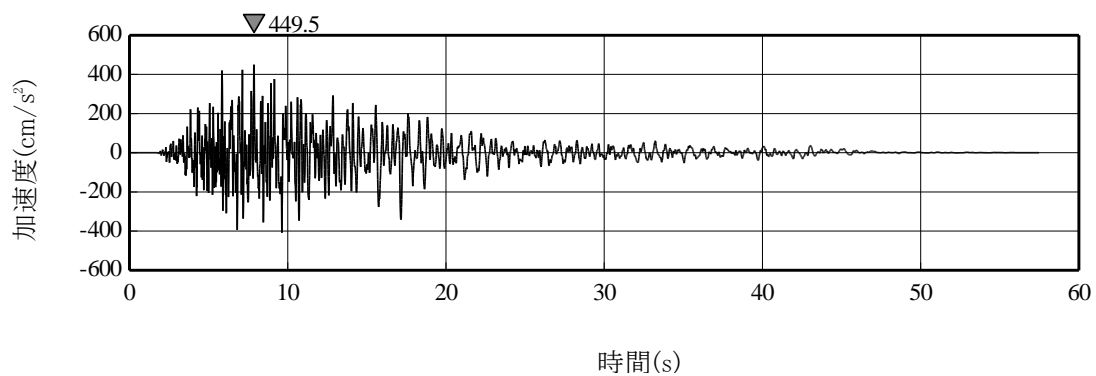


(c) U D 方向

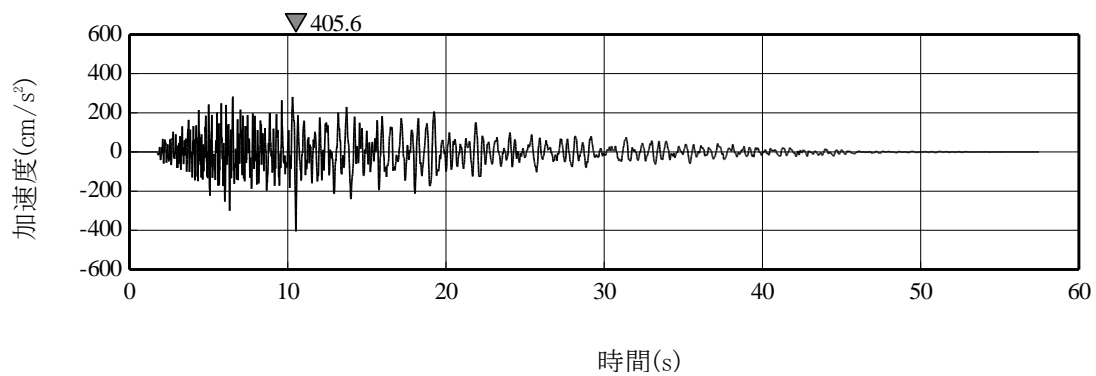
第 6.6-37 図(2) 基準地震動 S s - B 2 の加速度時刻歴波形



(a) N S 方向

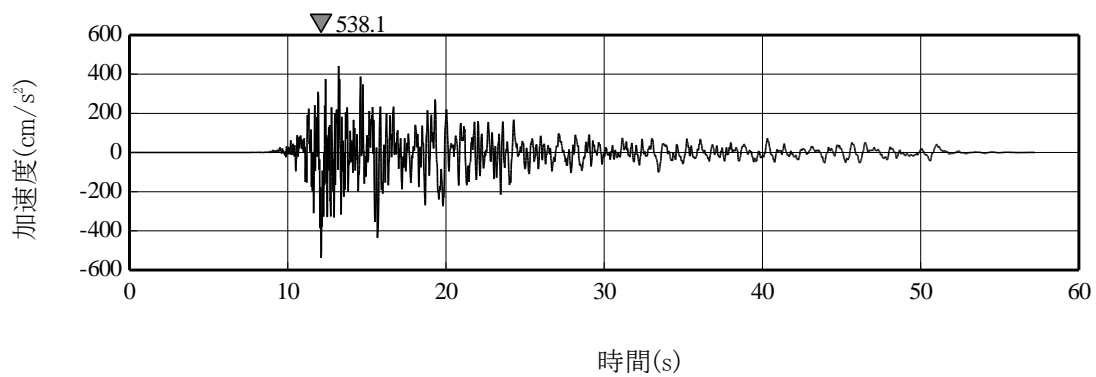


(b) E W 方向

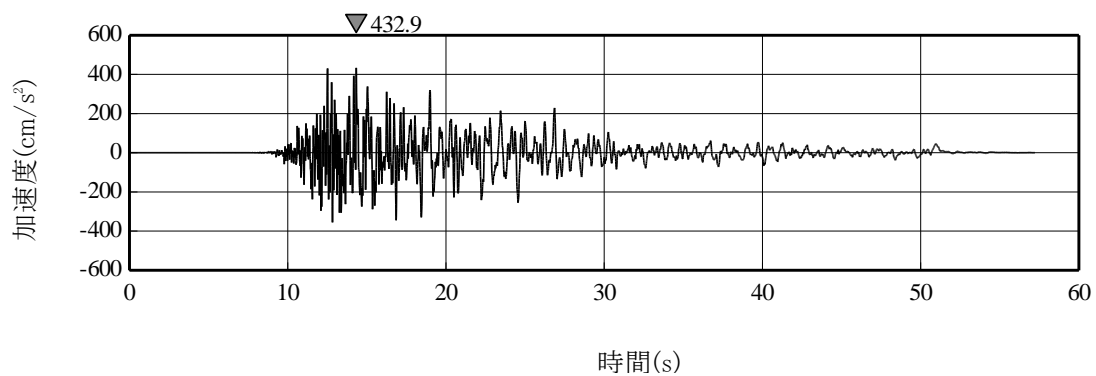


(c) U D 方向

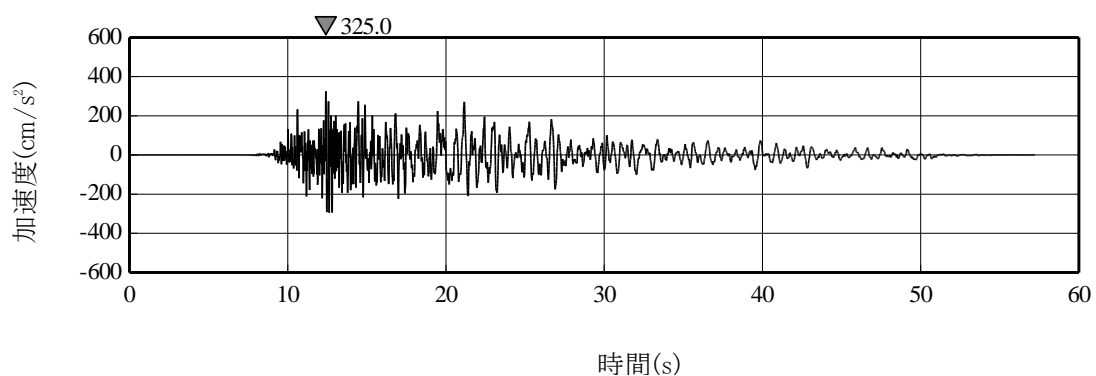
第 6.6-37 図(3) 基準地震動 S s - B 3 の加速度時刻歴波形



(a) N S 方向

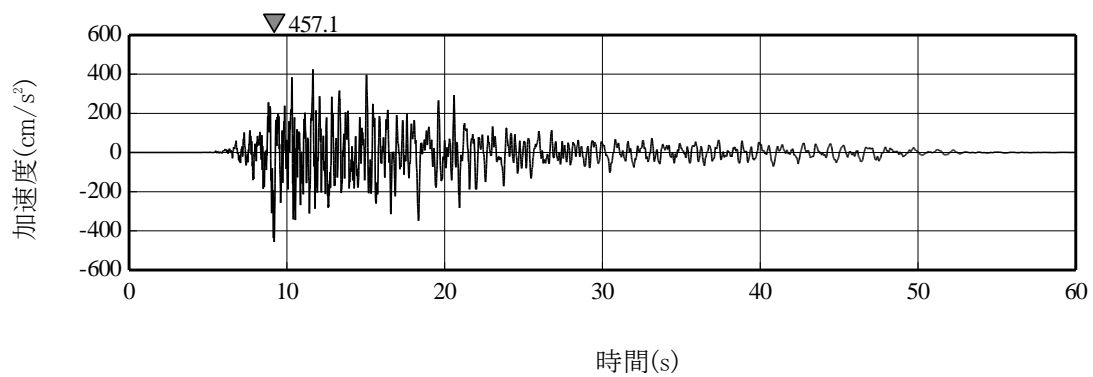


(b) E W 方向

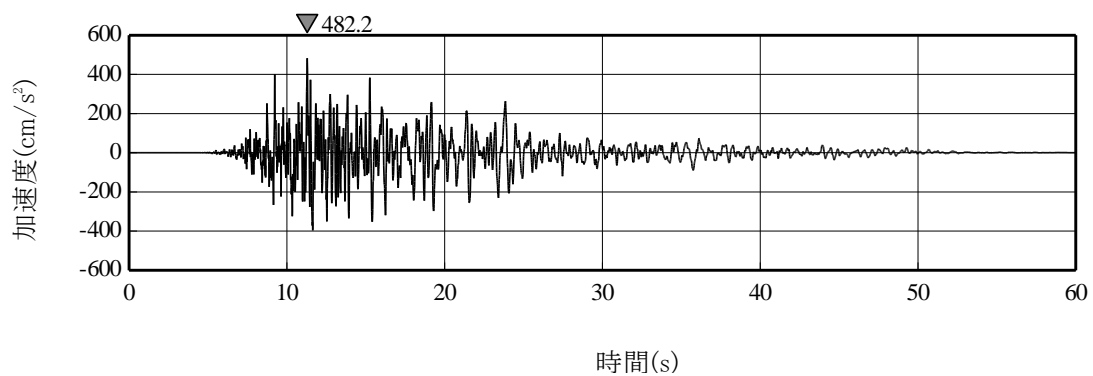


(c) U D 方向

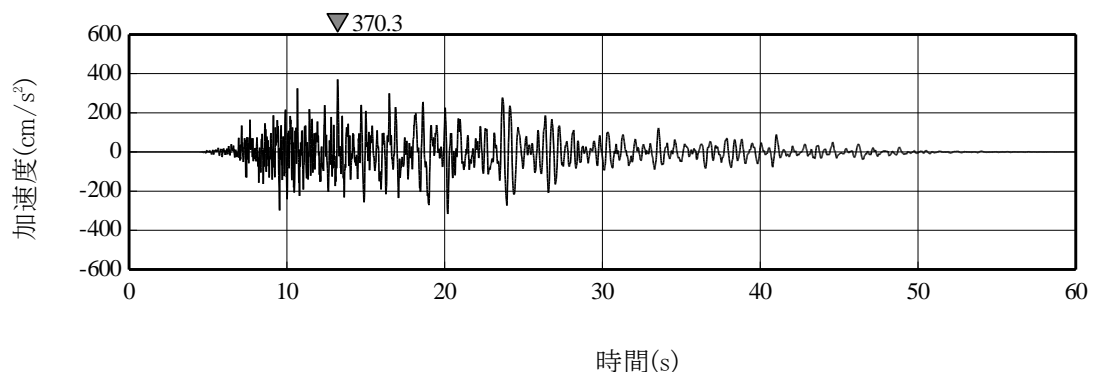
第 6.6-37 図(4) 基準地震動 S s - B 4 の加速度時刻歴波形



(a) N S 方向



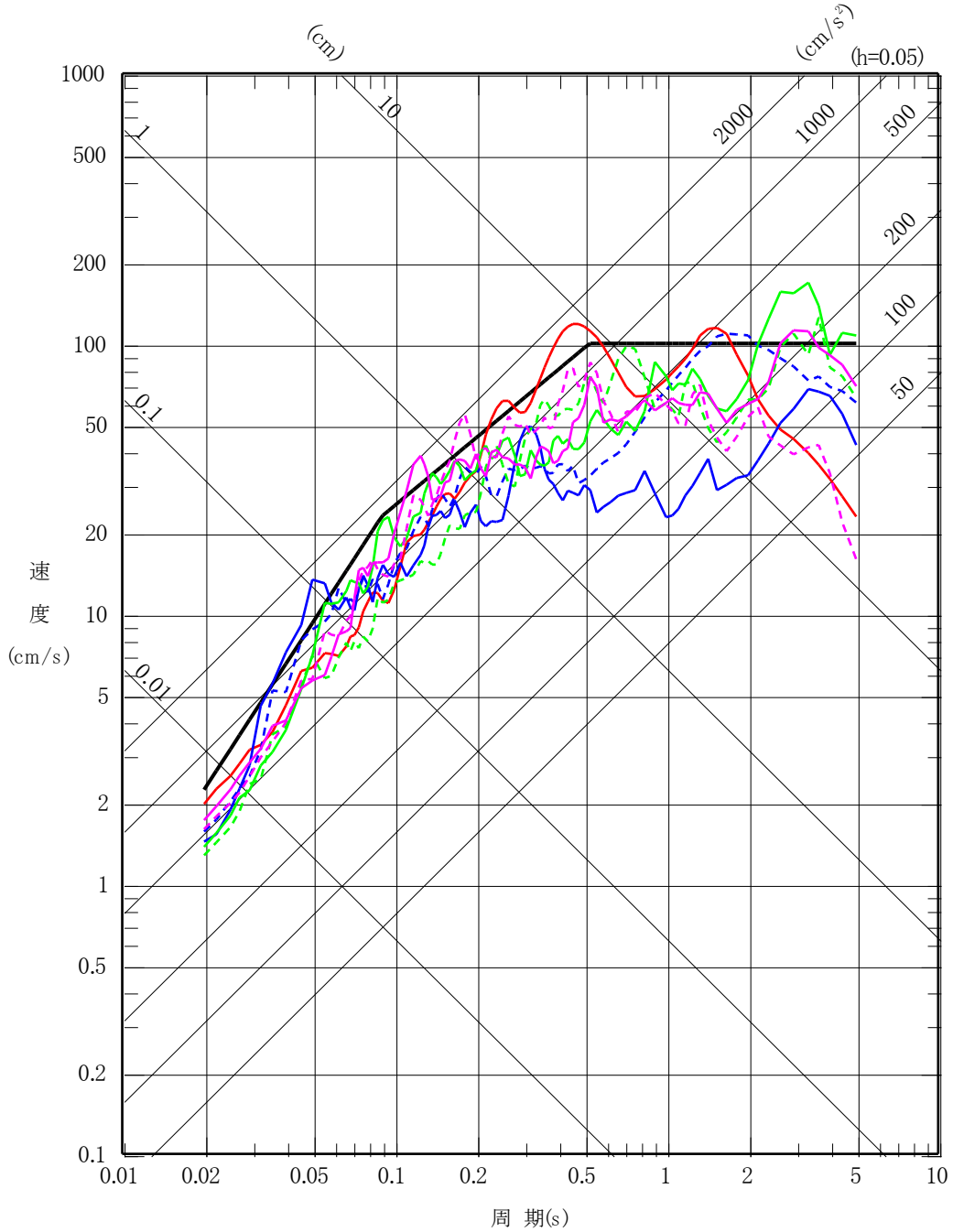
(b) E W 方向



(c) U D 方向

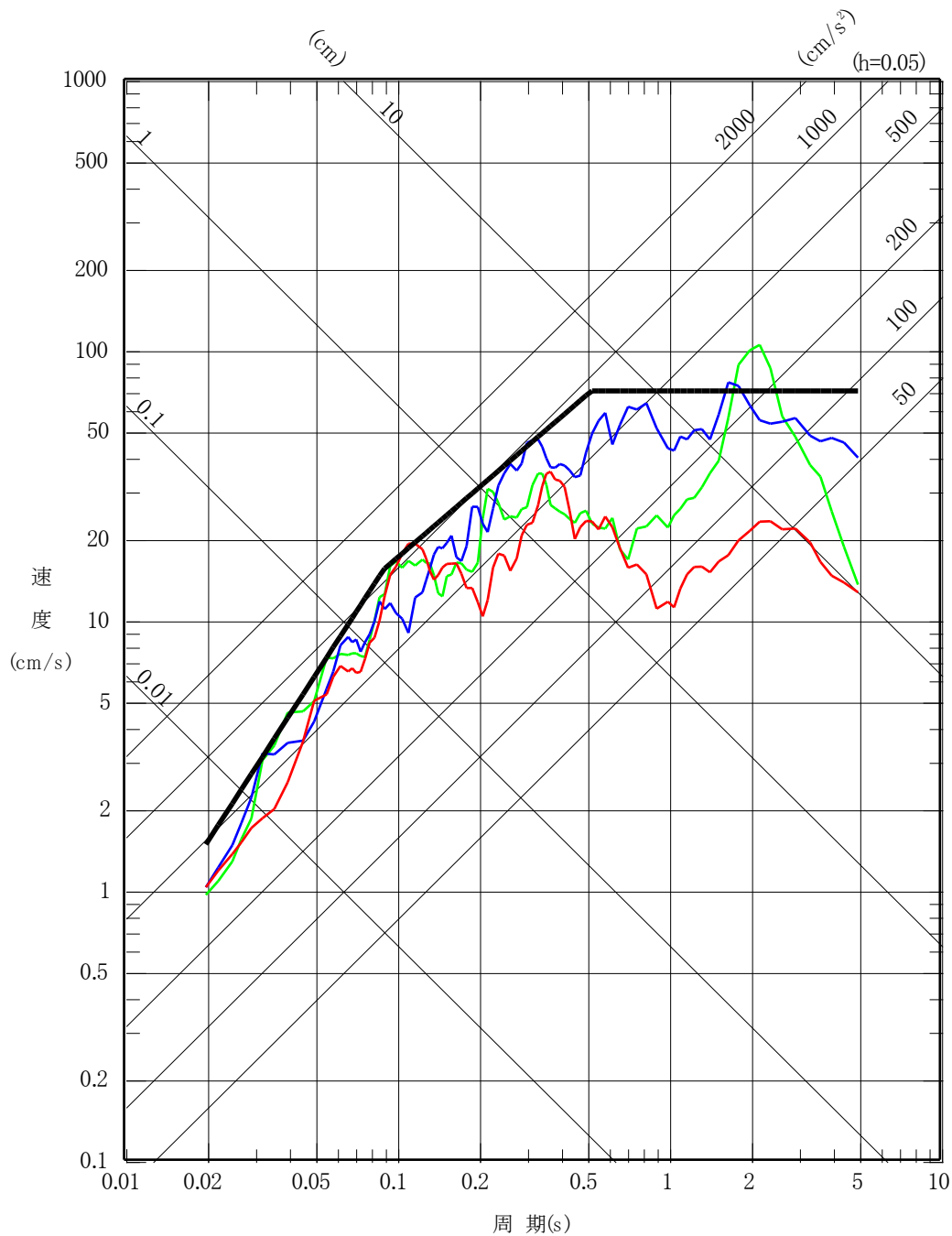
第 6.6-37 図(5) 基準地震動 S_s-B5 の加速度時刻歴波形

- 基準地震動 Ss-A
- 基準地震動 Ss-C1 2004年北海道留萌支庁南部地震 (K-NET 港町) 水平方向
- 基準地震動 Ss-C2 2008年岩手・宮城内陸地震 (栗駒ダム [右岸地山]) ダム軸方向
- - - 基準地震動 Ss-C2 2008年岩手・宮城内陸地震 (栗駒ダム [右岸地山]) 上下流方向
- 基準地震動 Ss-C3 2008年岩手・宮城内陸地震 (KiK-net 金ヶ崎) NS方向
- - - 基準地震動 Ss-C3 2008年岩手・宮城内陸地震 (KiK-net 金ヶ崎) EW方向
- 基準地震動 Ss-C4 2008年岩手・宮城内陸地震 (KiK-net 一関東) NS方向
- - - 基準地震動 Ss-C4 2008年岩手・宮城内陸地震 (KiK-net 一関東) EW方向

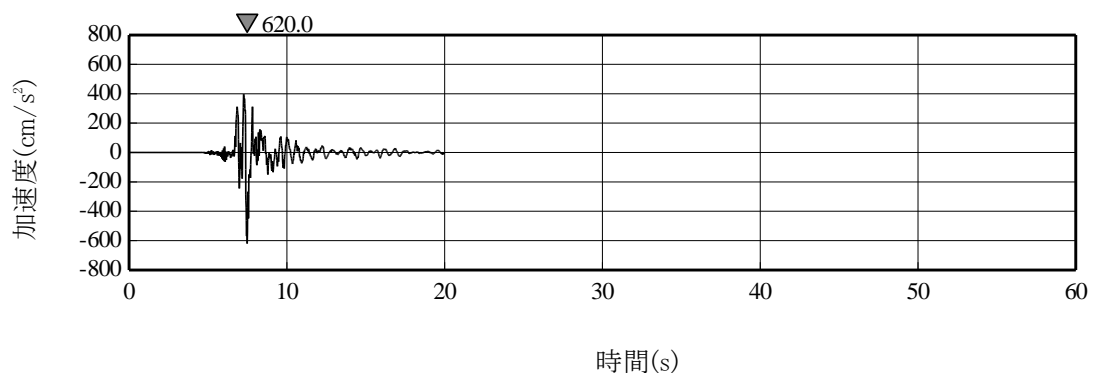


第 6.6-38 図(1) 基準地震動 S s - C (C 1 ~ C 4) と基準地震動 S s - A の比較 (水平方向)

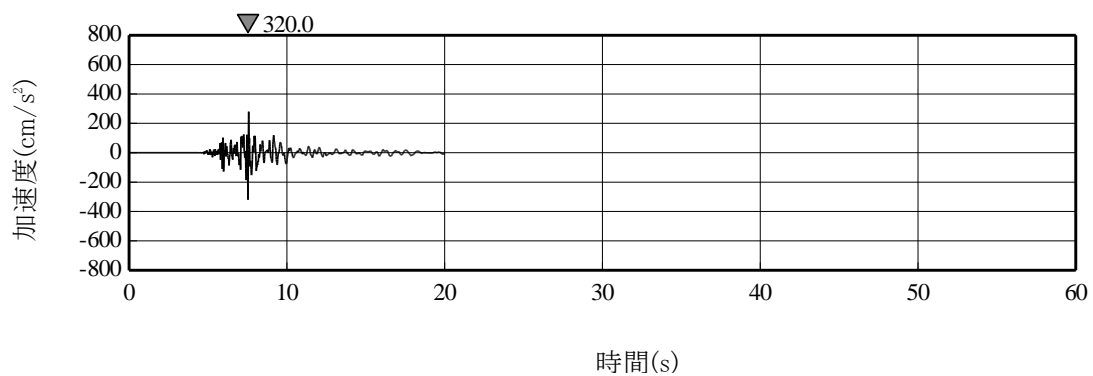
- 基準地震動 Ss-A
- 基準地震動 Ss-C1 2004年北海道留萌支庁南部地震 (K-NET 港町)
- 基準地震動 Ss-C2 2008年岩手・宮城内陸地震 (栗駒ダム [右岸地山])
- 基準地震動 Ss-C3 2008年岩手・宮城内陸地震 (KiK-net 金ヶ崎)



第 6.6-38 図(2) 基準地震動 S s - C (C 1 ~ C 3) と基準地震動 S s - A の比較 (鉛直方向)

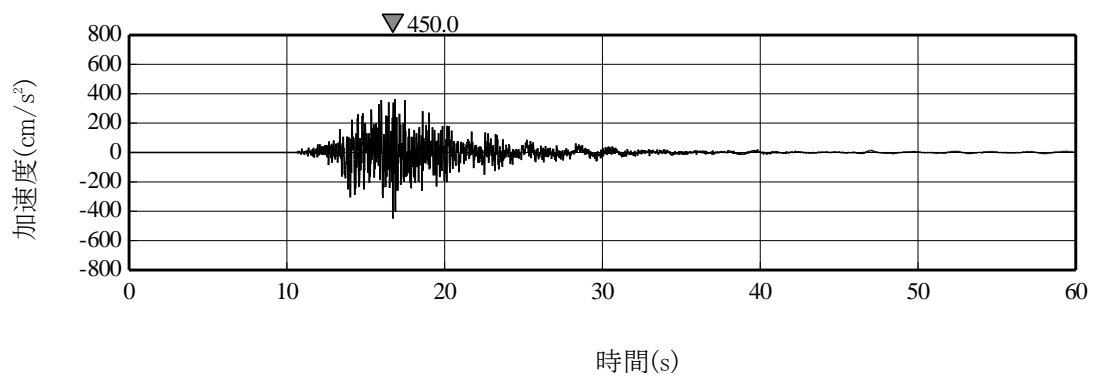


(a) 水平方向

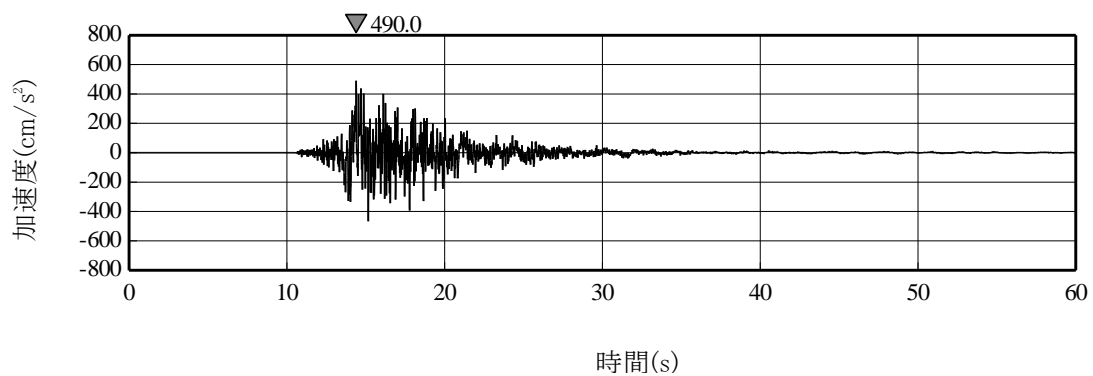


(b) 鉛直方向

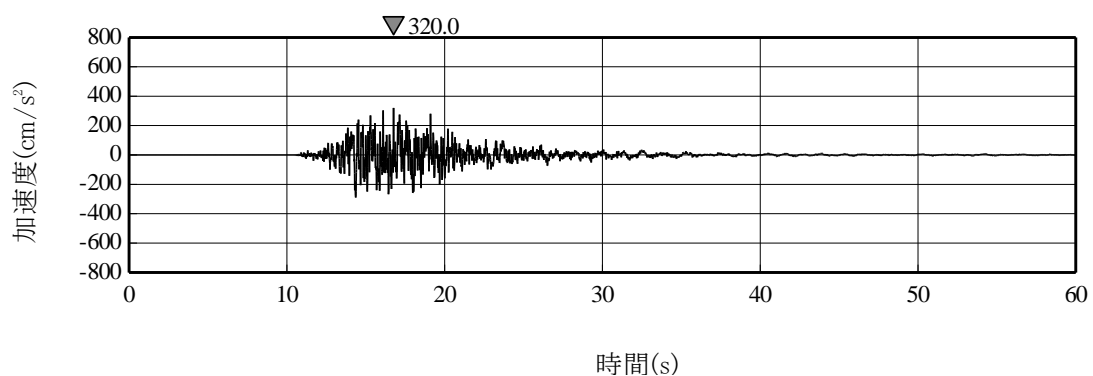
第 6.6-39 図(1) 基準地震動 S_s-C1 の加速度時刻歴波形



(a) ダム軸方向

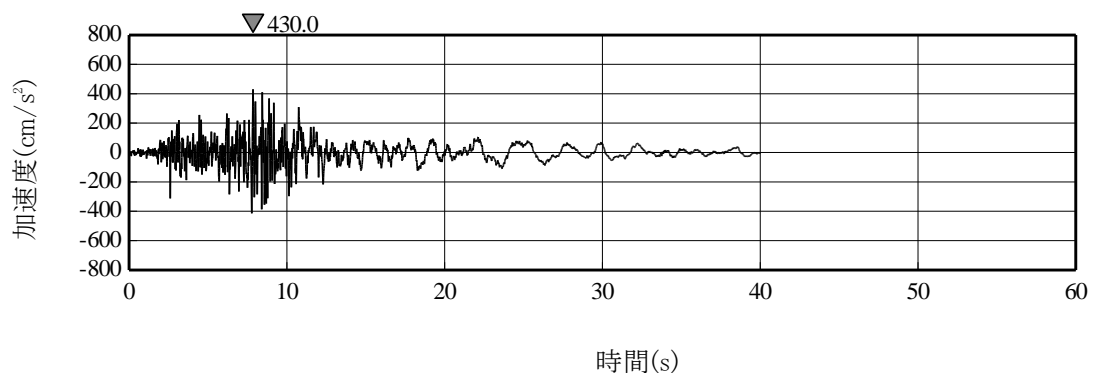


(b) 上下流方向

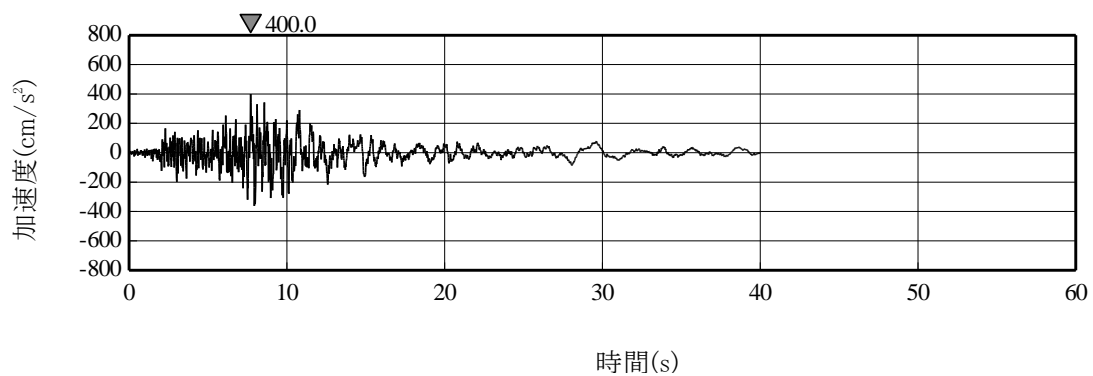


(c) 鉛直方向

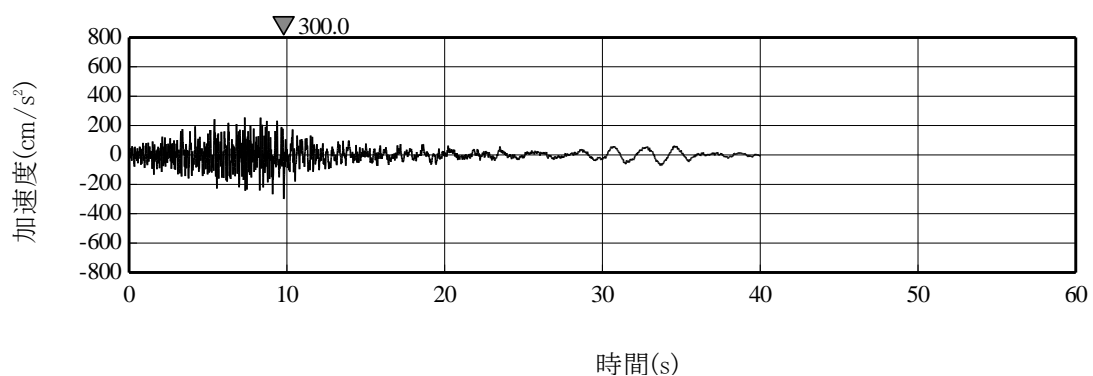
第 6.6-39 図(2) 基準地震動 S_s-C2 の加速度時刻歴波形



(a) N S 方向

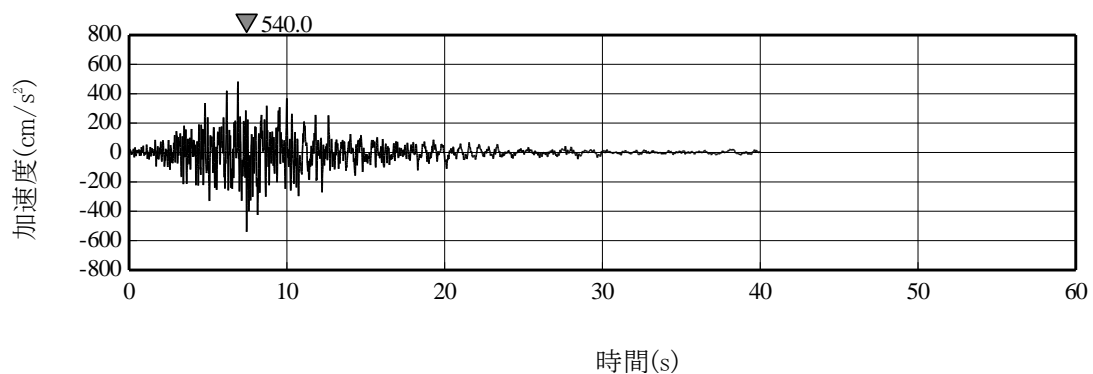


(b) E W 方向

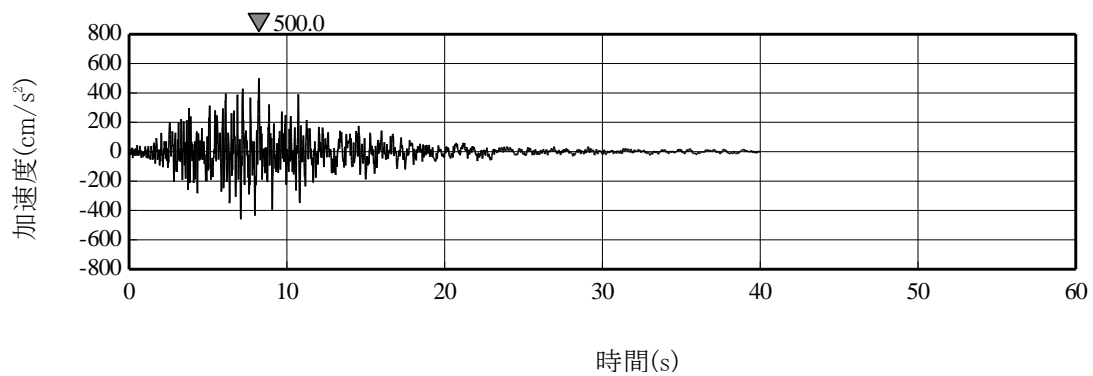


(c) U D 方向

第 6.6-39 図(3) 基準地震動 S s - C 3 の加速度時刻歴波形

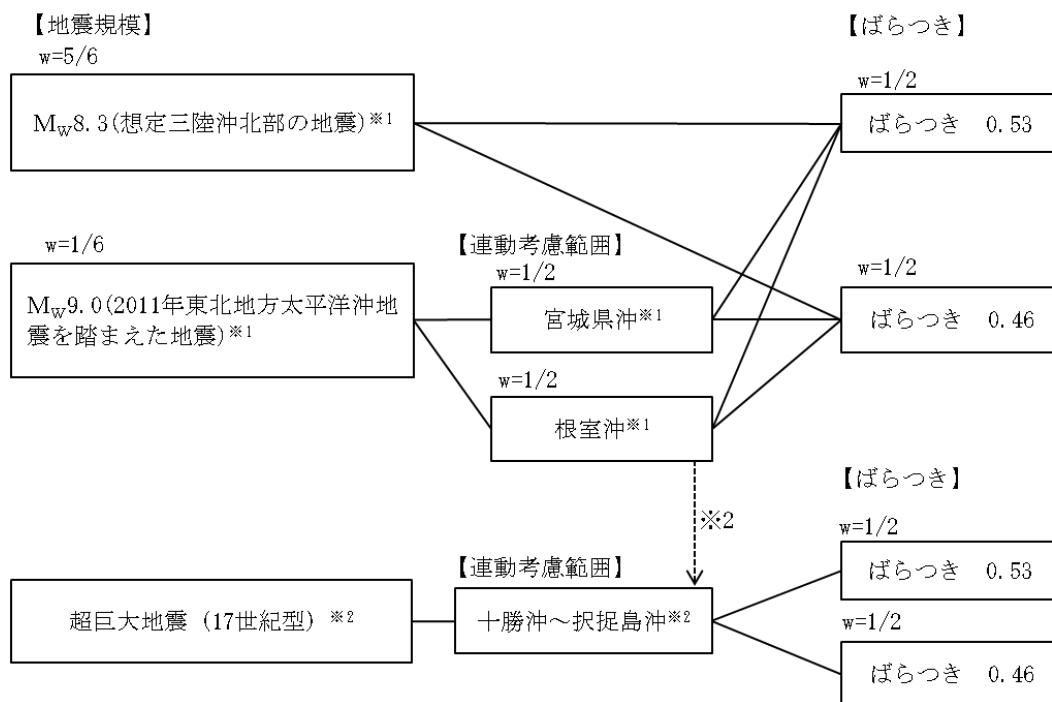


(a) N S 方向



(b) E W 方向

第 6.6-39 図(4) 基準地震動 S s - C 4 の加速度時刻歴波形



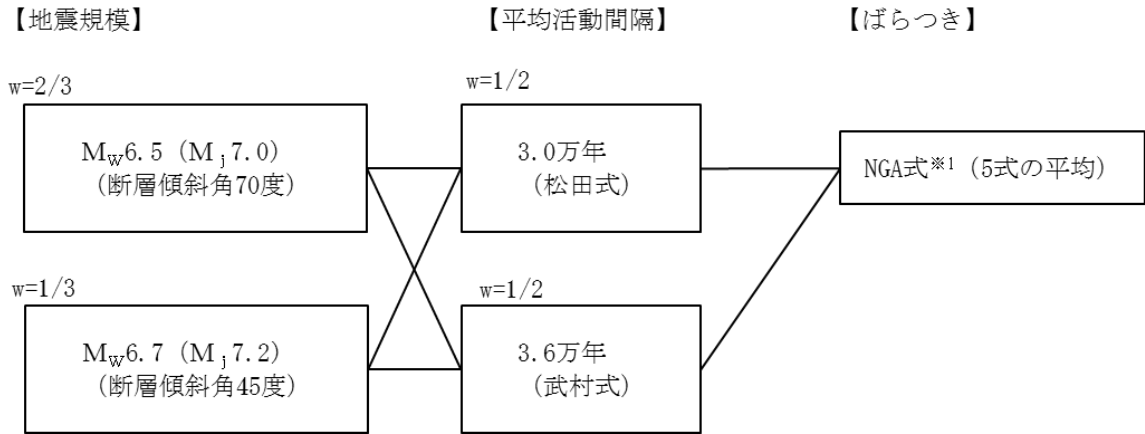
地震動評価手法：断層モデルを用いた手法による※3

※1: 想定三陸沖北部の地震の平均発生間隔は、地震調査委員会 (2004)⁽²⁷⁾ を参考に 97 年とする。2011 年東北地方太平洋沖地震を踏まえた地震の発生間隔は、地震調査委員会 (2013)⁽⁴³⁾ における確率論的評価において、三陸沖中部～茨城県沖の領域の連動型地震の平均発生間隔が 600 年とされていることから、敷地前面の三陸沖北部の領域における地震の平均発生間隔である 97 年を踏まえて、三陸沖北部の地震活動の 6 回に 1 回は三陸沖北部～宮城県沖あるいは三陸沖北部～根室沖が連動した地震が発生するものとする。したがって、三陸沖北部～宮城県沖の連動、三陸沖北部～根室沖の連動は、それぞれ約 1200 年に 1 回となる。

※2: 超巨大地震 (17 世紀型) の発生間隔は、地震調査委員会 (2017)⁽⁸⁷⁾ によれば 340 年～380 年に 1 回であるが、ここでは 300 年に 1 回 (1200 年に 4 回) とする。ただし、約 1200 年に 1 回、2011 年東北地方太平洋沖地震を踏まえた地震として十勝・根室沖と三陸沖北部が連動して動くため、十勝・根室沖を震源領域に含む超巨大地震 (17 世紀型) の 1 回として数える。このため、超巨大地震 (17 世紀型) として追加するのは、1200 年で 3 回とする。

※3: 超巨大地震 (17 世紀型) の地震動評価については、2011 年東北地方太平洋沖地震を踏まえた地震と超巨大地震 (17 世紀型) を比較すると、2011 年東北地方太平洋沖地震を踏まえた地震が Mw9.0 の規模を考慮した上で、敷地に最も近い三陸沖北部を震源領域に設定していること、そして、「超巨大地震 (17 世紀型)」の震源領域は千島海溝の北東側に延びて敷地から遠くなることから、十勝沖から根室沖を震源領域とする超巨大地震 (17 世紀型) よりも敷地への影響が大きいと考えられる。よって、超巨大地震 (17 世紀型) の地震動評価は、2011 年東北地方太平洋沖地震を踏まえた地震 (三陸沖北部～根室沖の連動) で代用する。

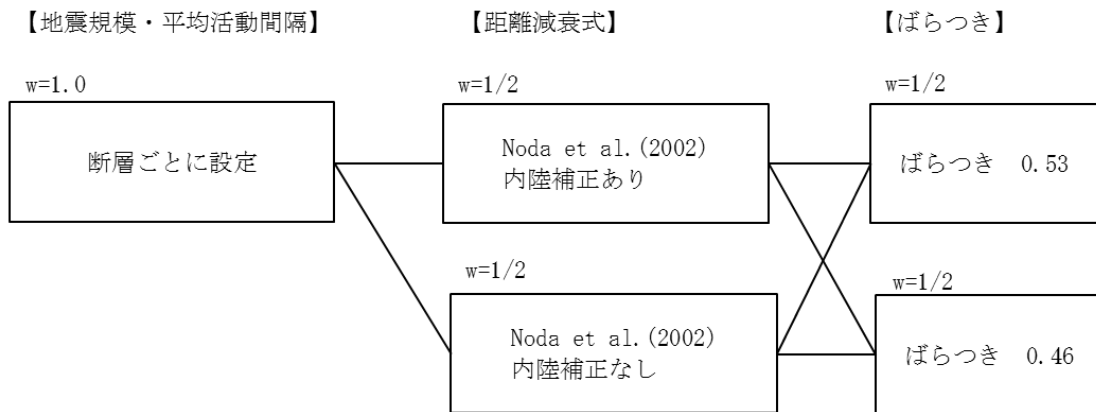
第 6.6-40 図(1) ロジックツリー (特定震源, プレート間地震)



地震動評価手法 : NGA 式*1 (5 式の平均) による

*1 : Campbell et al. (2014)^(5.1), Abrahamson et al. (2014)^(4.9), Boore et al. (2014)^(5.0),
Chiou et al. (2014)^(5.2), Idriss (2014)^(5.3)による距離減衰式

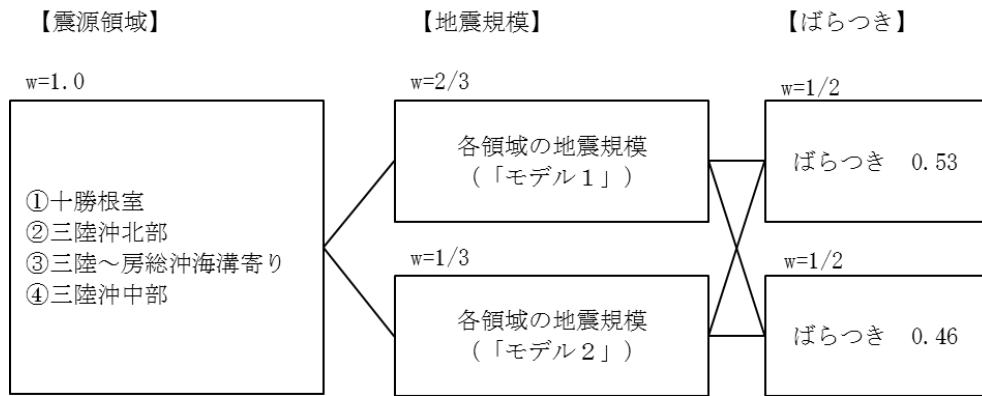
(a) 出戸西方断層



地震動評価手法 : Noda et al. (2002)^(2.9)による

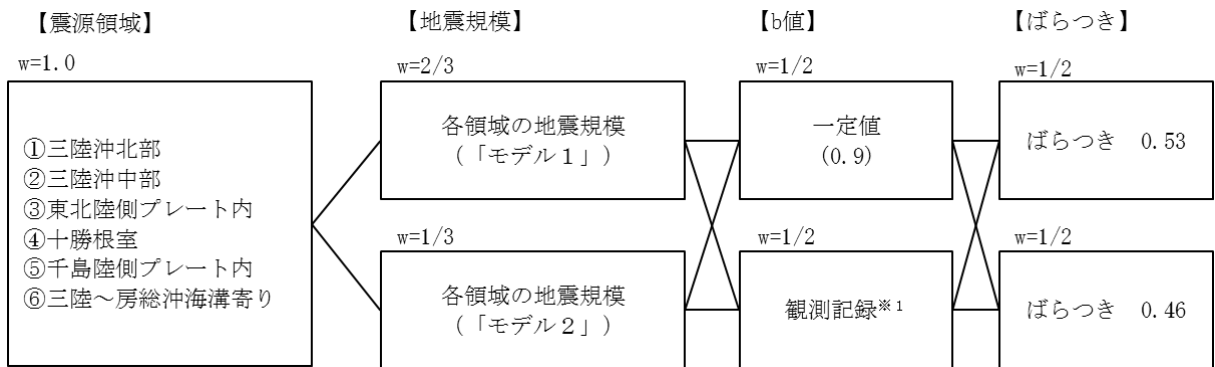
(b) 出戸西方断層以外の活断層による地震

第 6.6-40 図(2) ロジックツリー (特定震源, 内陸地殻内地震)



地震動評価手法：Noda et al. (2002)⁽²⁹⁾による

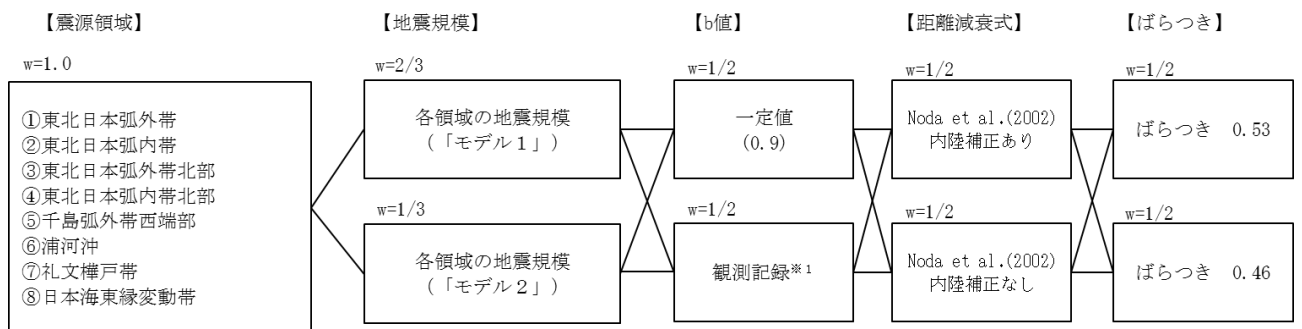
(a) プレート間地震



地震動評価手法：Noda et al. (2002)⁽²⁹⁾による

※1：敷地に近い震源領域③でのみ考慮

(b) 海洋プレート内地震

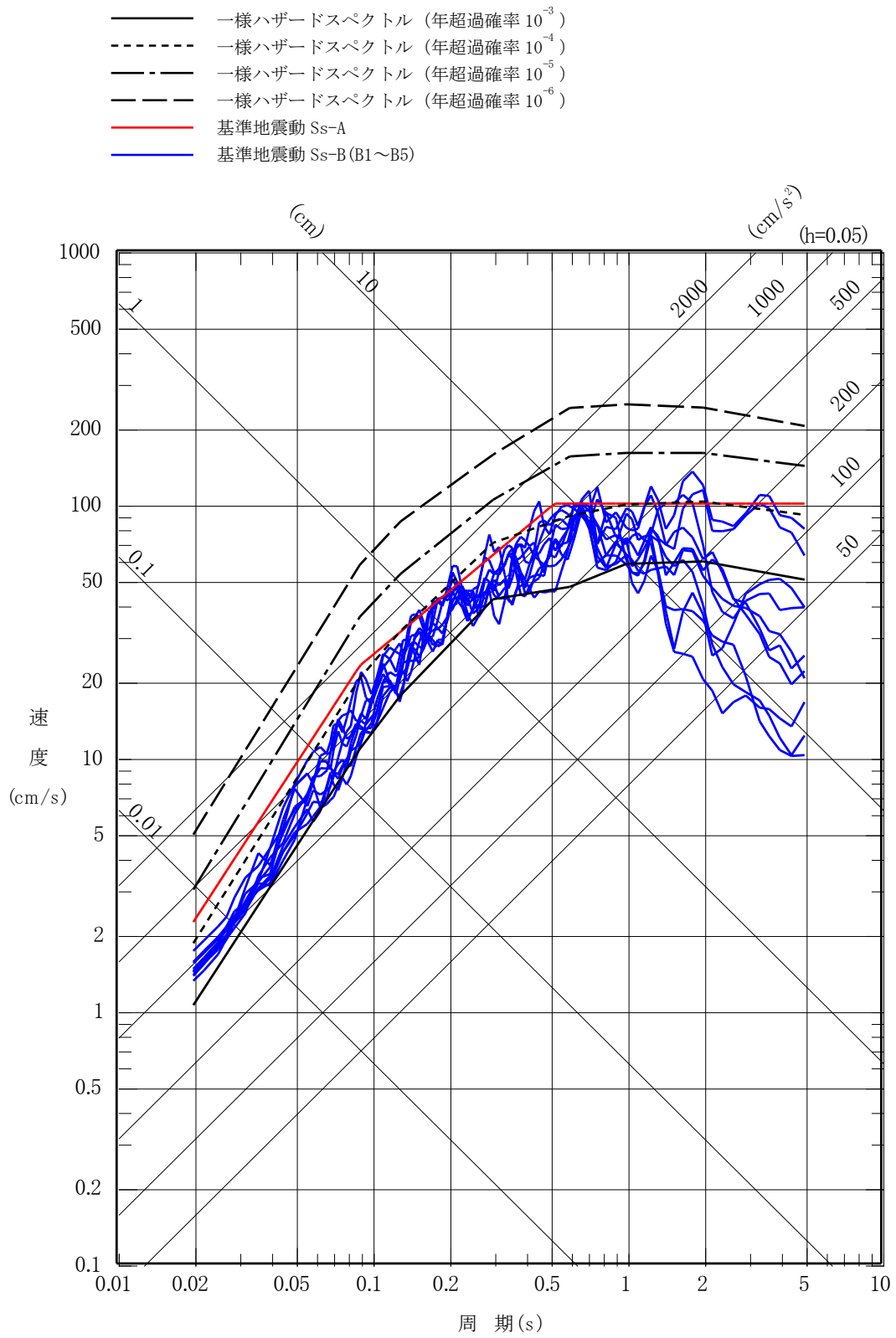


地震動評価手法：Noda et al. (2002)⁽²⁹⁾による

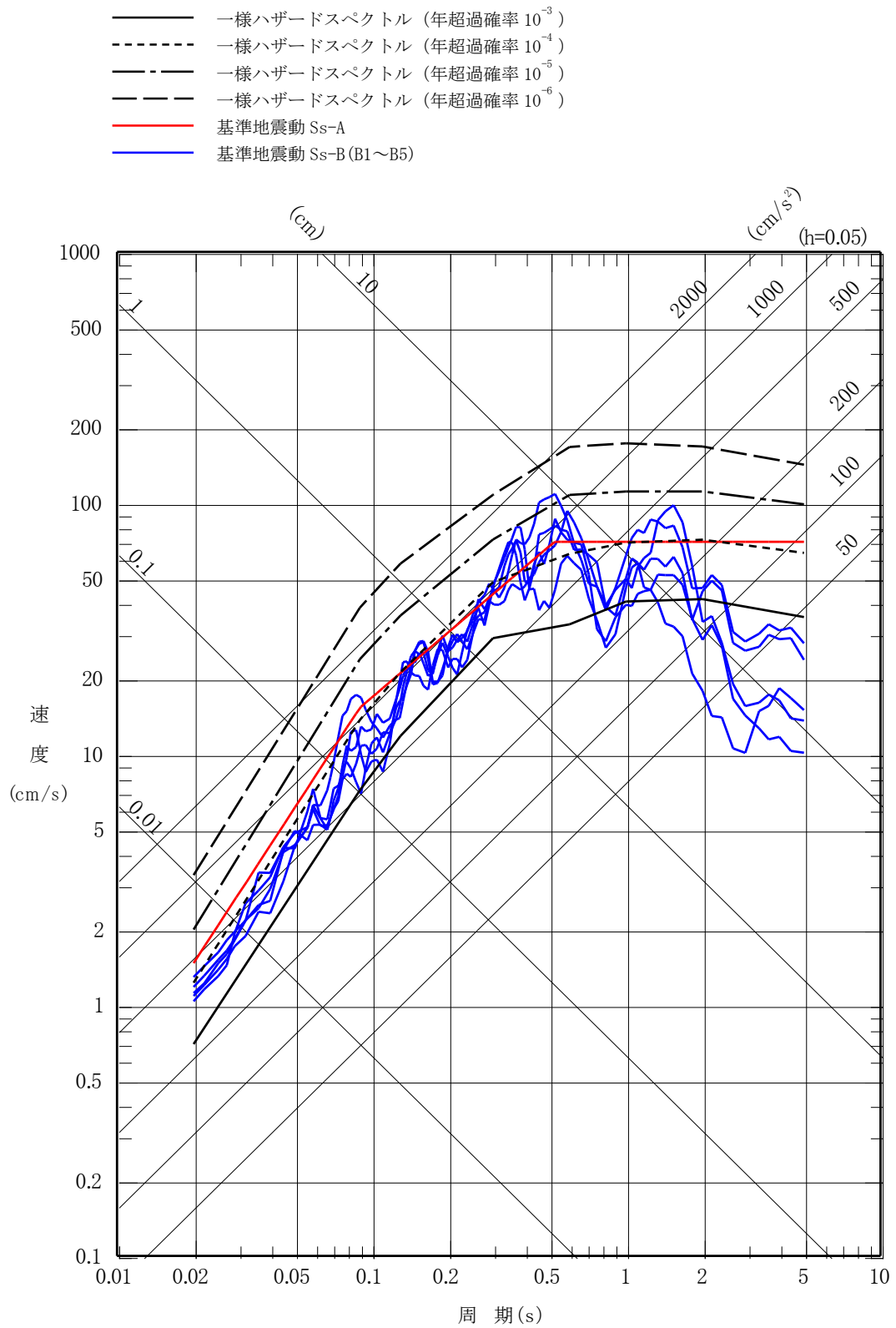
※1：敷地に近い震源領域①，②，③，④でのみ考慮

(c) 内陸地殻内地震

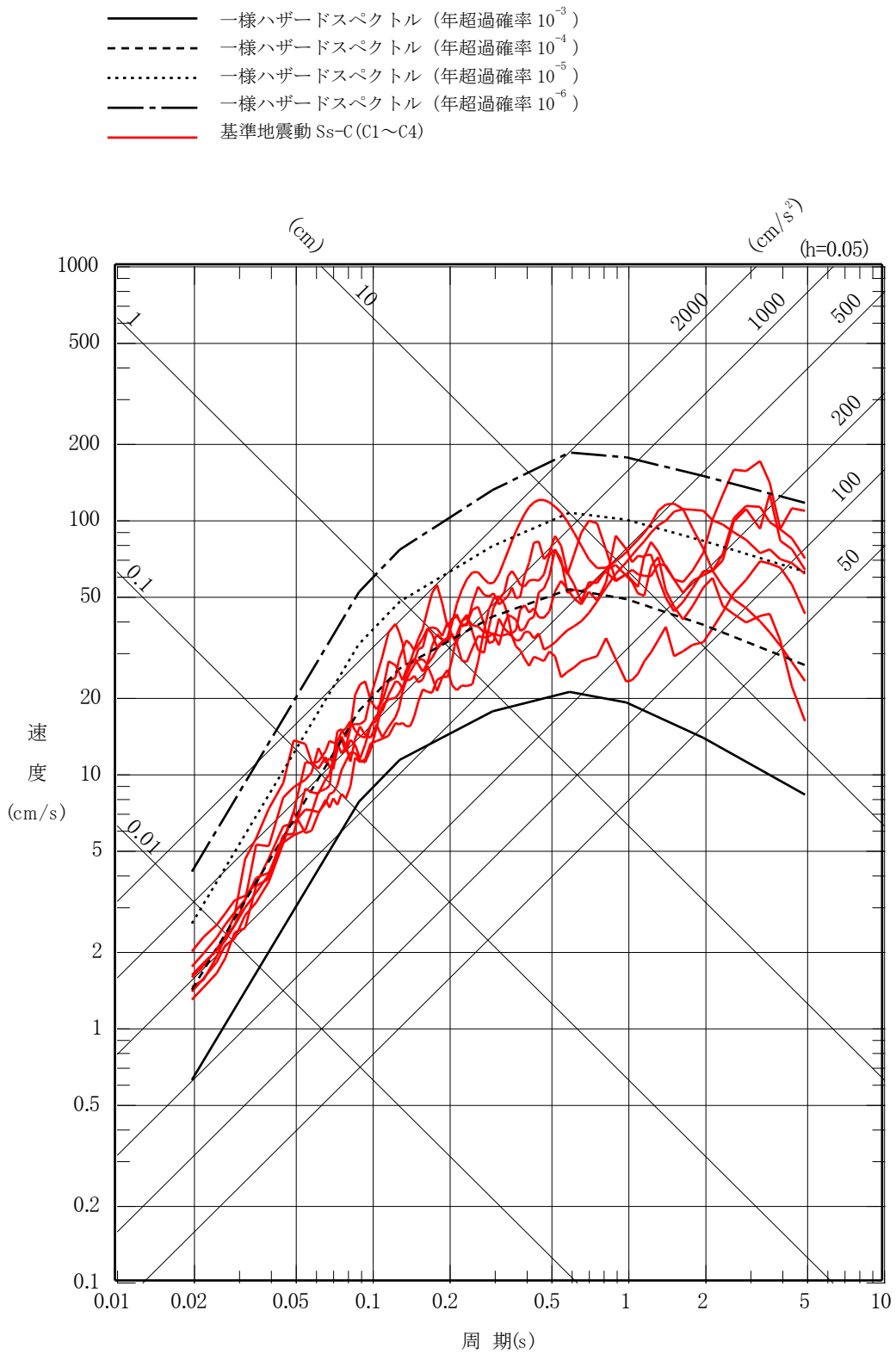
第 6.6-40 図(3) ロジックツリー (領域震源)



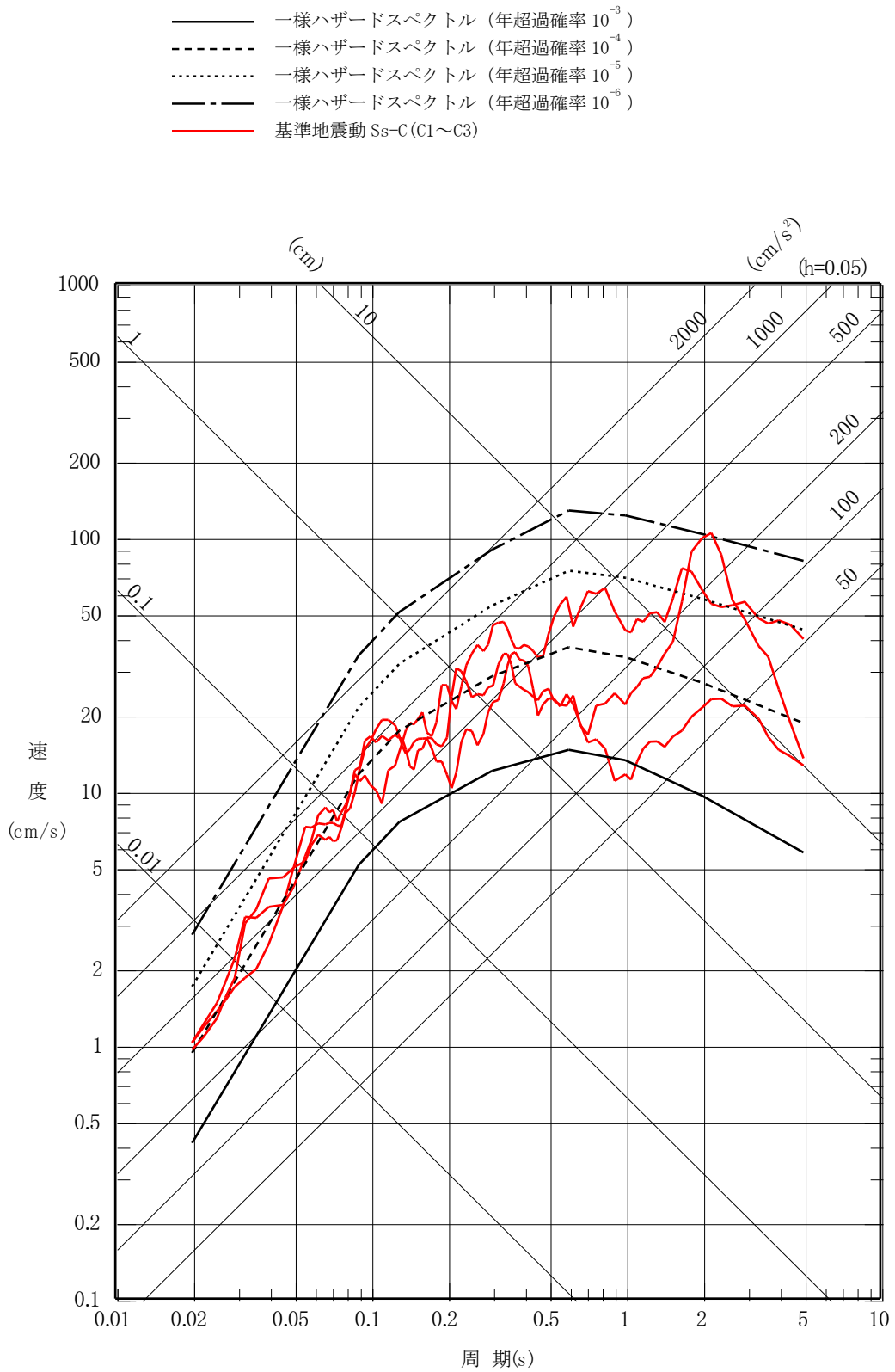
第 6.6-41 図(1) 基準地震動 S s - A 及び S s - B (B 1 ~ B 5) と一様ハザードスペクトルの比較 (水平方向)



第 6.6-41 図(2) 基準地震動 S s - A 及び S s - B (B 1 ~ B 5) と一様ハザードスペクトルの比較 (鉛直方向)

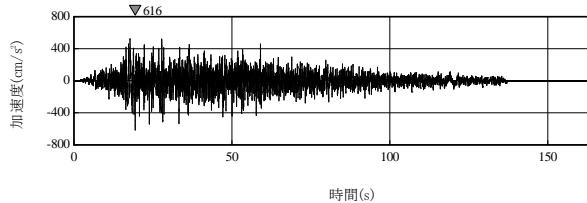


第 6.6-42 図(1) 基準地震動 S s - C (C 1 ~ C 4) と一様ハザードスペクトル (領域震源 (内陸地殻内地震)) の比較 (水平方向)

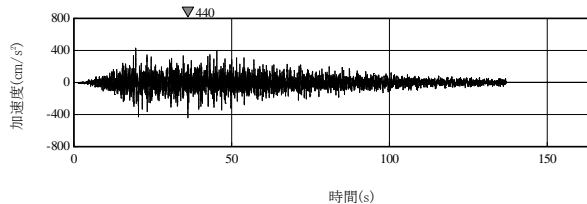


第 6.6-42 図(2) 基準地震動 S s - C (C 1 ~ C 3) と一様ハザードスペクトル (領域震源 (内陸地殻内地震)) の比較 (鉛直方向)

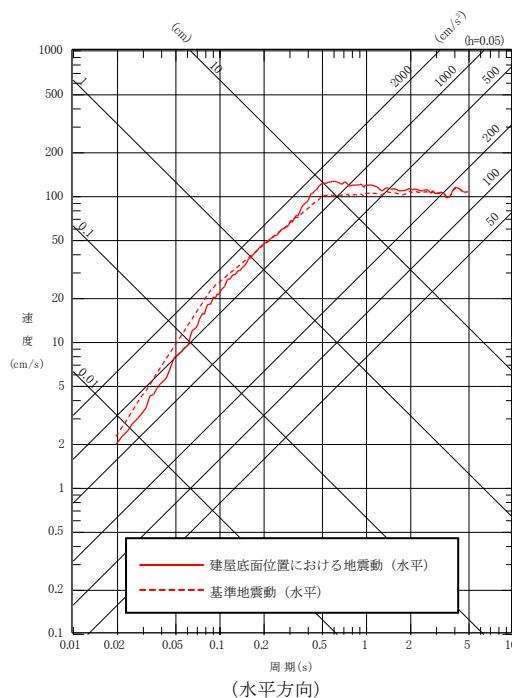
(水平方向)
最大加速度：
616cm/s²



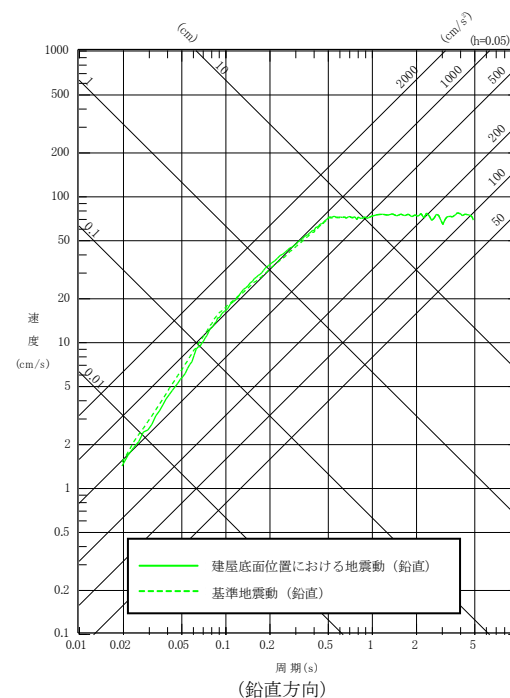
(鉛直方向)
最大加速度：
440cm/s²



(a) 加速度時刻歴波形

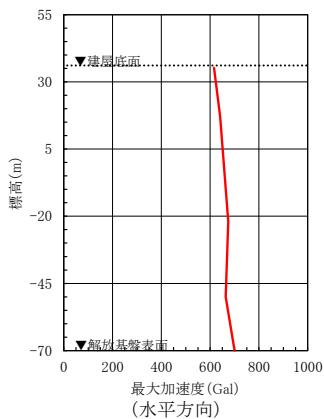


(水平方向)

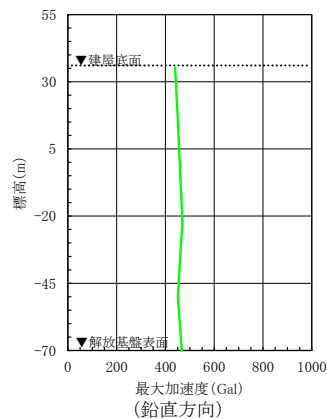


(鉛直方向)

(b) 応答スペクトル

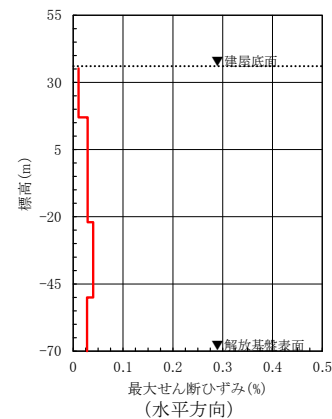


(水平方向)



(鉛直方向)

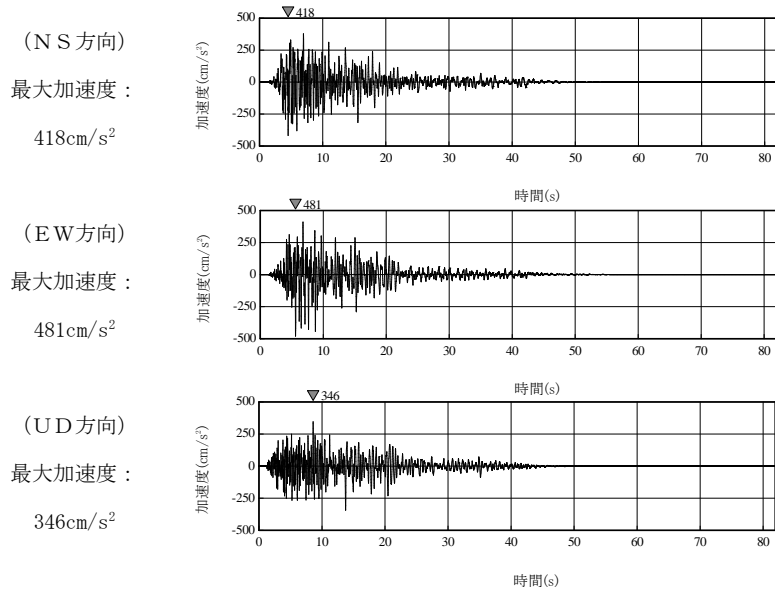
(c) 最大加速度分布



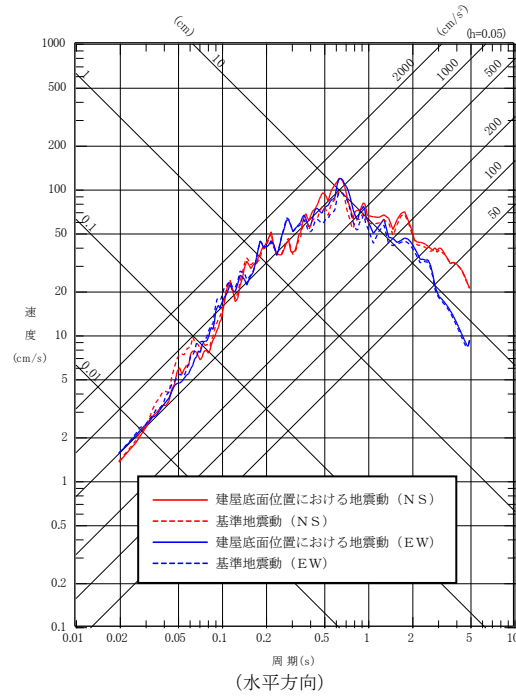
(水平方向)

(d) 最大せん断ひずみ分布

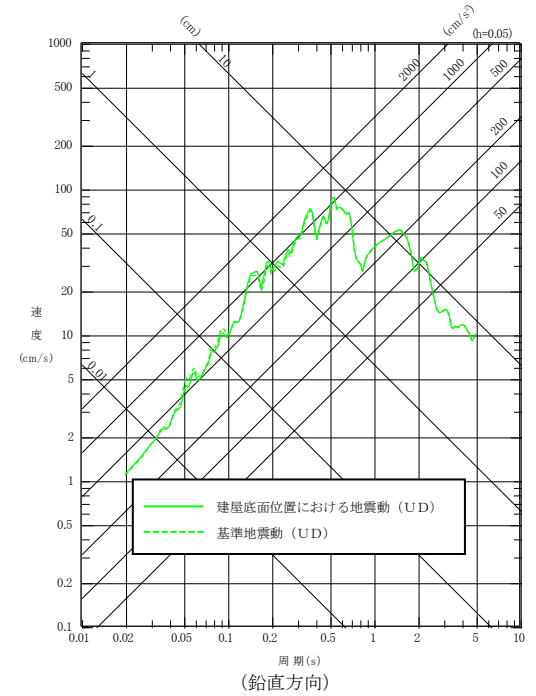
第 6.6-43 図(1) 建屋底面位置における地震動 (S s - A, 第 1 ガラス固化体貯蔵建屋：西側地盤)



(a) 加速度時刻歴波形

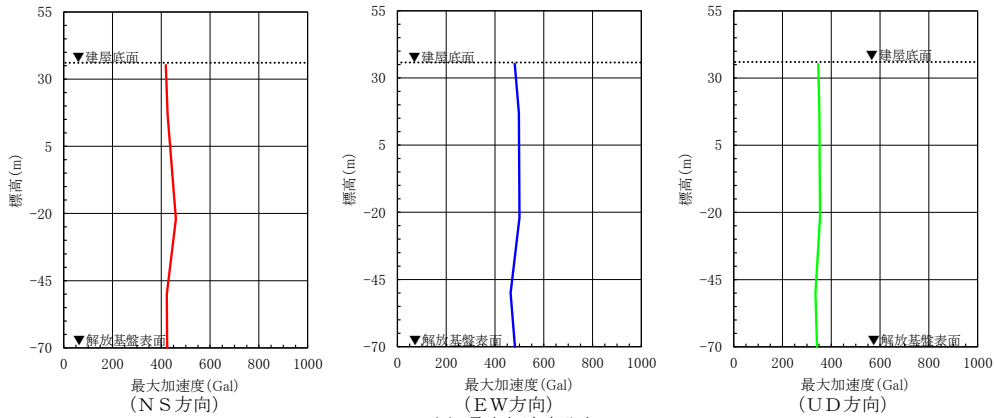


(水平方向)

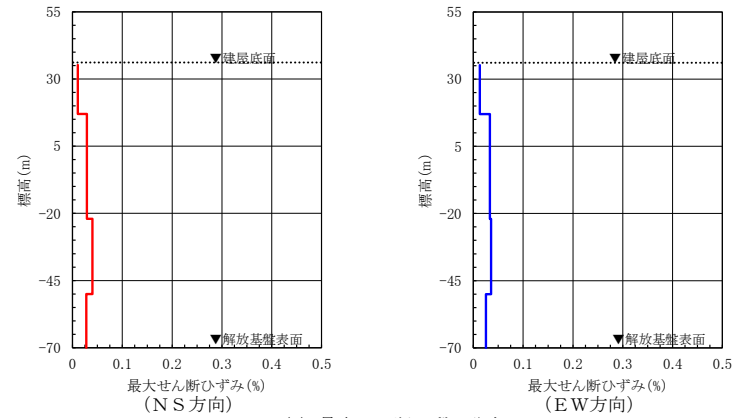


(鉛直方向)

(b) 応答スペクトル



(c) 最大加速度分布

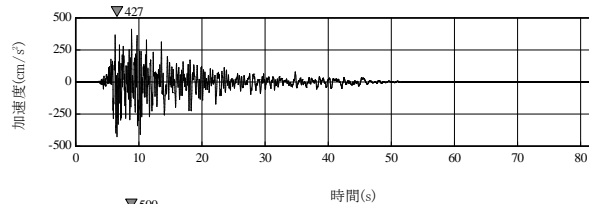


(d) 最大せん断ひずみ分布

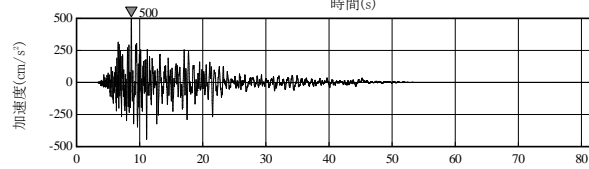
※TN (True North) を基準として策定した基準地震動S sを, PN (Plant North) を基準に変換して建屋底面位置における地震動を評価

第 6.6-43 図(2) 建屋底面位置における地震動 (S s - B 1, 第 1 ガラス固化体貯蔵建屋: 西側地盤)

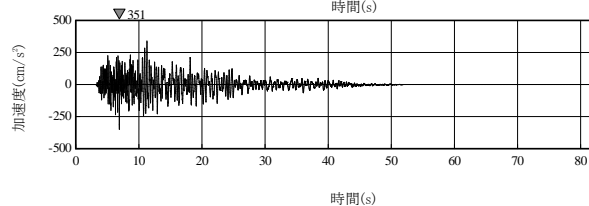
(NS方向)
最大加速度：
427cm/s²



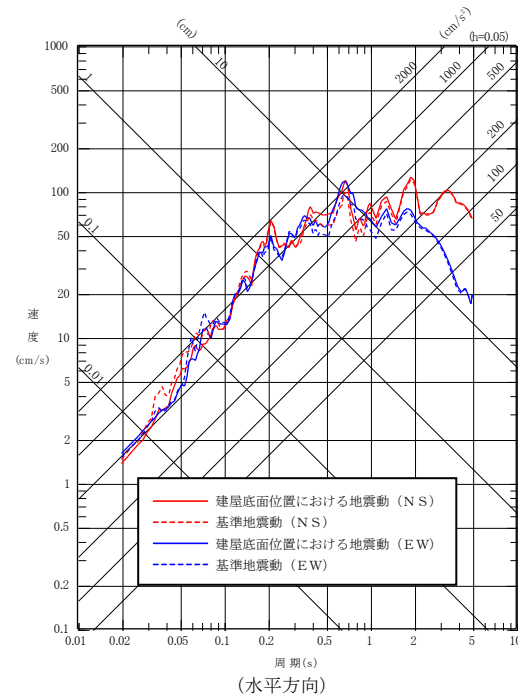
(EW方向)
最大加速度：
500cm/s²



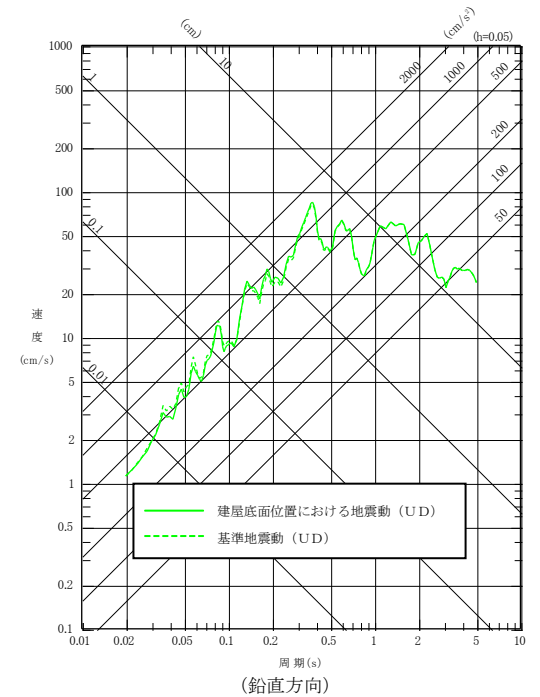
(UD方向)
最大加速度：
351cm/s²



(a) 加速度時刻歴波形

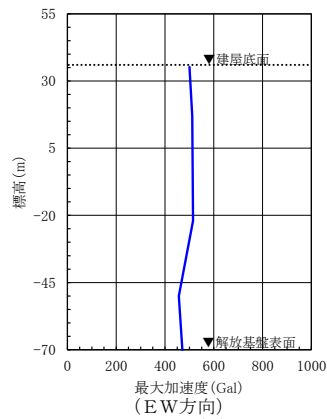
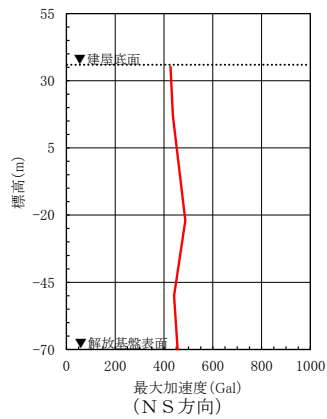


(水平方向)

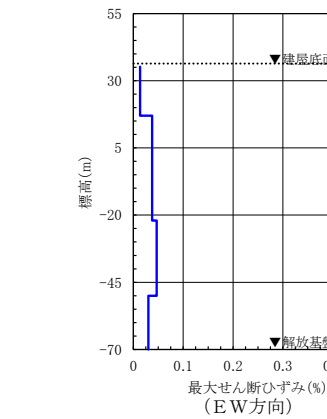
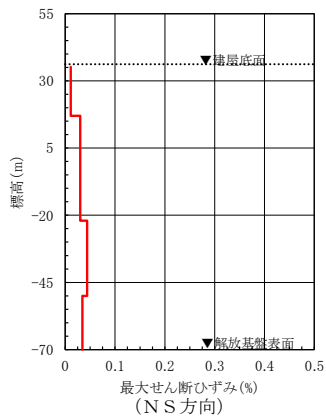
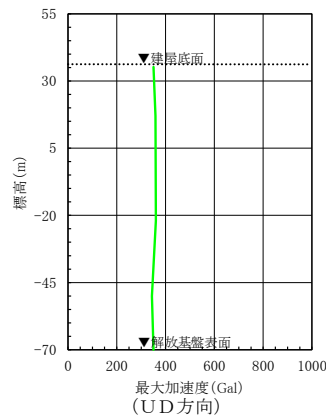


(鉛直方向)

(b) 応答スペクトル



(c) 最大加速度分布

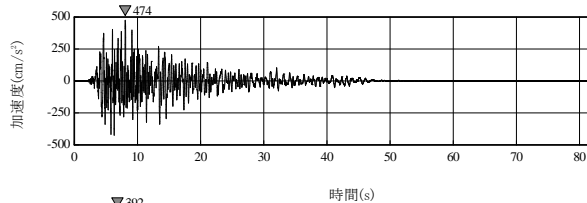


(d) 最大せん断ひずみ分布

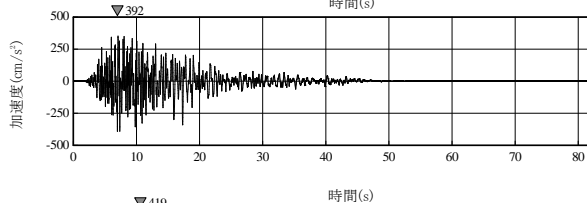
※TN (True North) を基準として策定した基準地震動 S s を, PN (Plant North) を基準に変換して建屋底面位置における地震動を評価

第 6.6-43 図(3) 建屋底面位置における地震動 (S s - B 2, 第 1 ガラス固化体貯蔵建屋: 西側地盤)

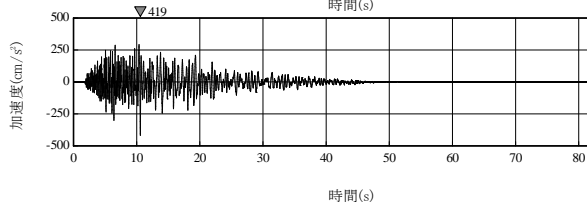
(N S方向)
最大加速度：
474cm/s²



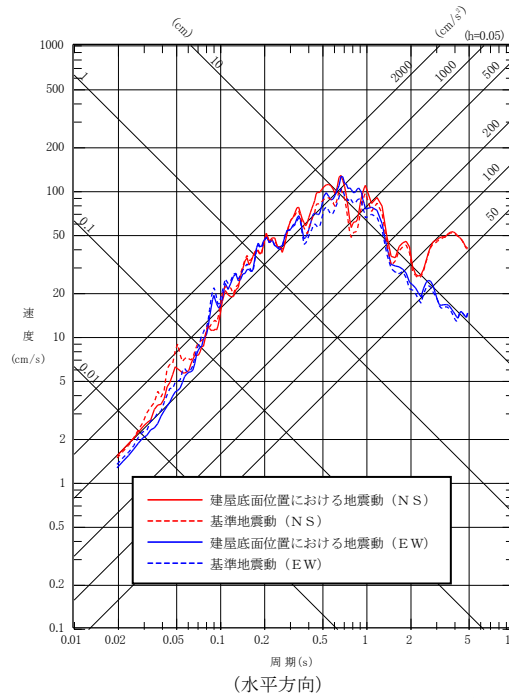
(E W方向)
最大加速度：
392cm/s²



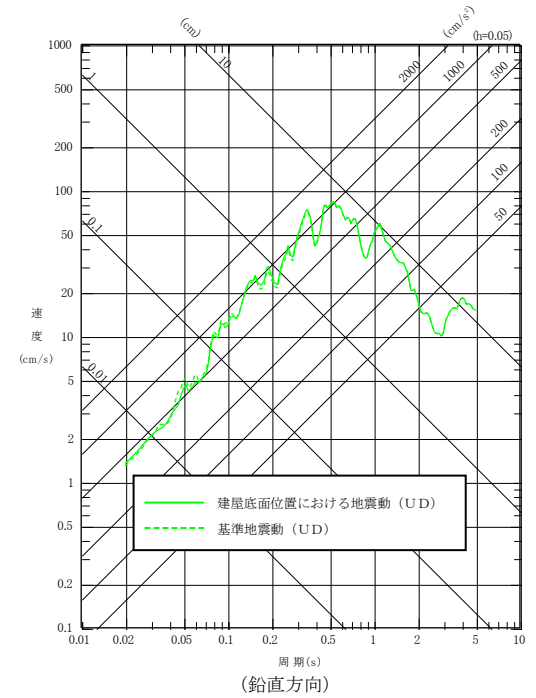
(U D方向)
最大加速度：
419cm/s²



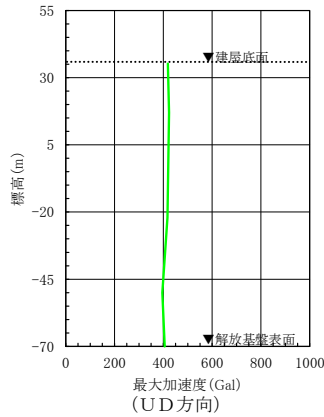
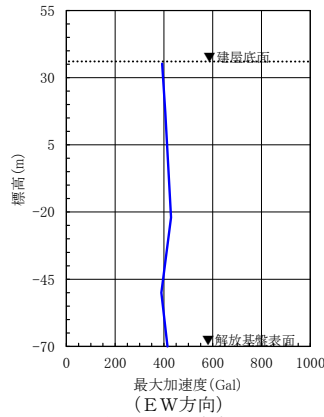
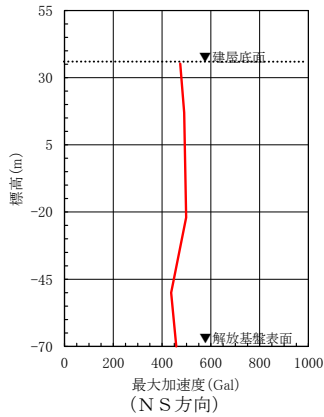
(a) 加速度時刻歴波形



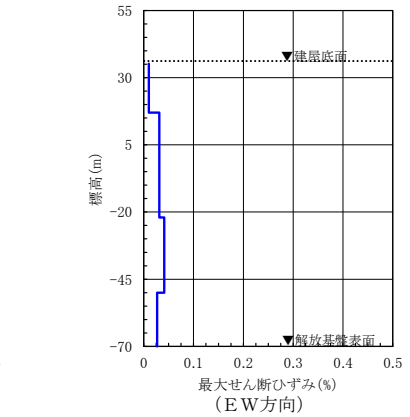
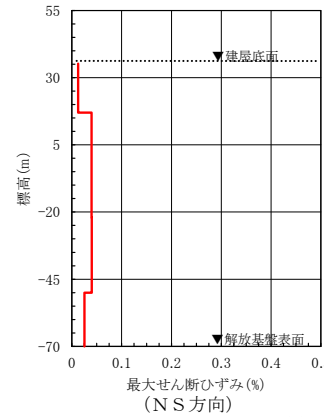
(b) 応答スペクトル



(鉛直方向)



(c) 最大加速度分布

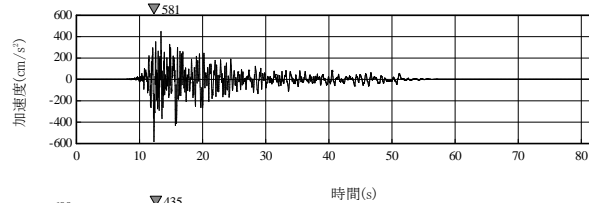


(d) 最大せん断ひずみ分布

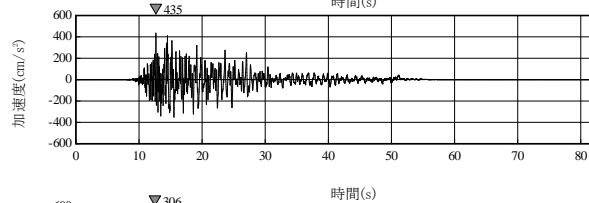
※TN (True North) を基準として策定した基準地震動S sを, PN (Plant North) を基準に変換して建屋底面位置における地震動を評価

第 6.6-43 図(4) 建屋底面位置における地震動 (S s - B 3, 第 1 ガラス固化体貯蔵建屋 : 西側地盤)

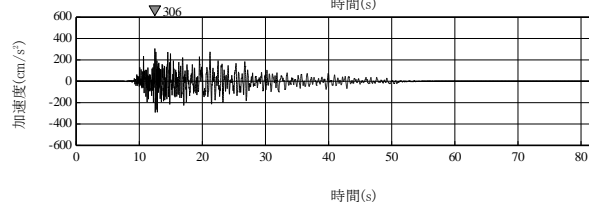
(N S 方向)
最大加速度：
581cm/s²



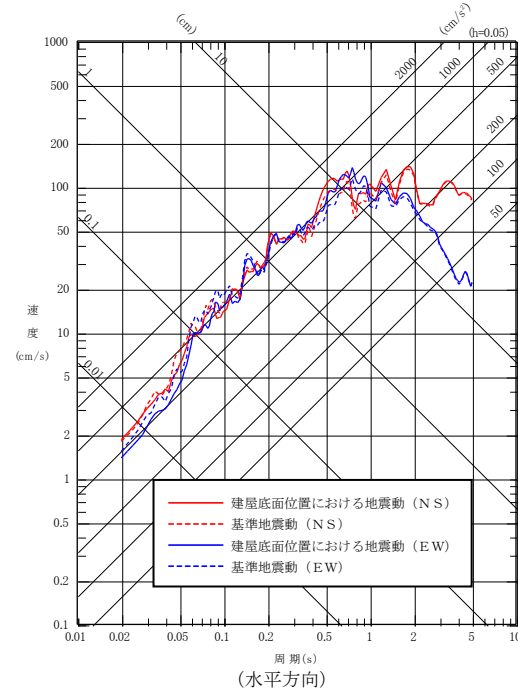
(E W 方向)
最大加速度：
435cm/s²



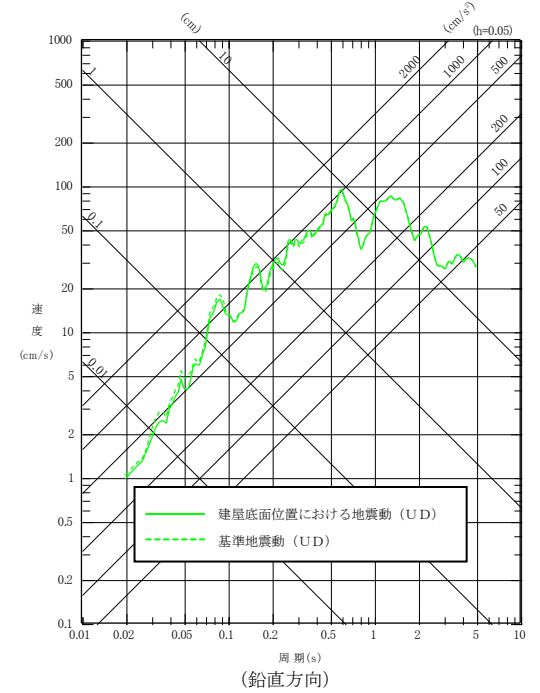
(U D 方向)
最大加速度：
306cm/s²



(a) 加速度時刻歴波形

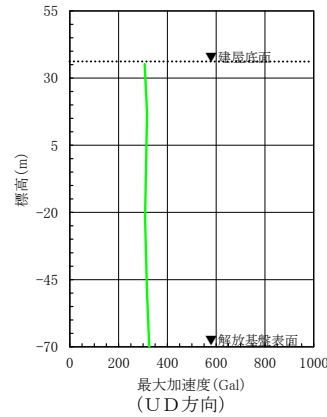
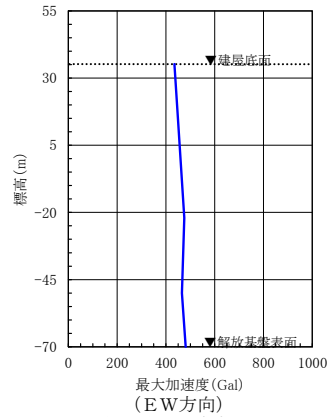
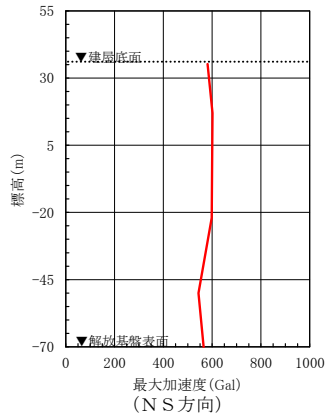


(水平方向)

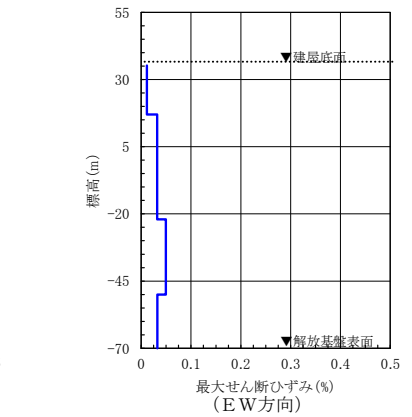
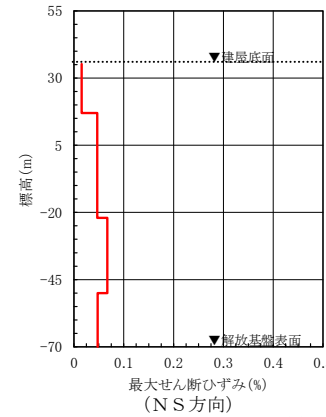


(鉛直方向)

(b) 応答スペクトル



(c) 最大加速度分布



(d) 最大せん断ひずみ分布

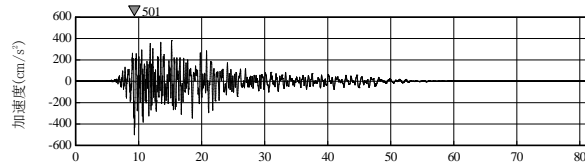
※TN (True North) を基準として策定した基準地震動S s を, PN (Plant North) を基準に変換して建屋底面位置における地震動を評価

第 6.6-43 図(5) 建屋底面位置における地震動 (S s - B 4, 第 1 ガラス固化体貯蔵建屋: 西側地盤)

(NS方向)

最大加速度：

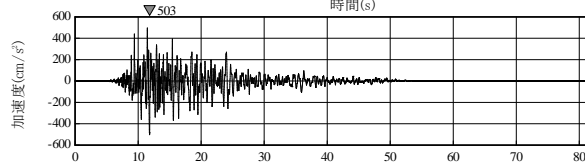
501cm/s²



(EW方向)

最大加速度：

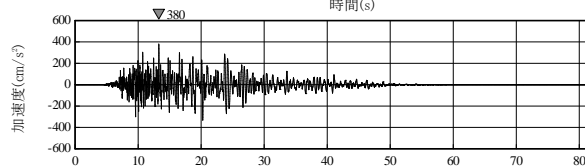
503cm/s²



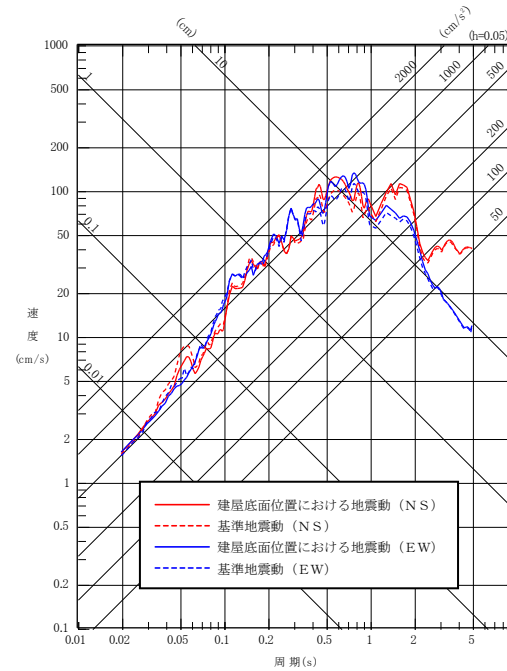
(UD方向)

最大加速度：

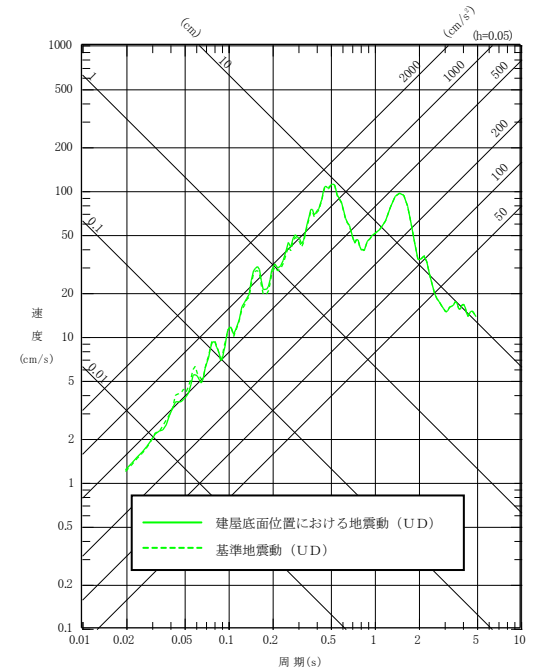
380cm/s²



(a) 加速度時刻歴波形

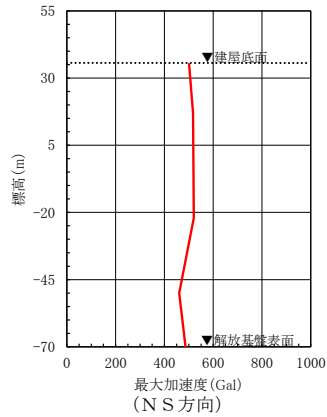


(水平方向)

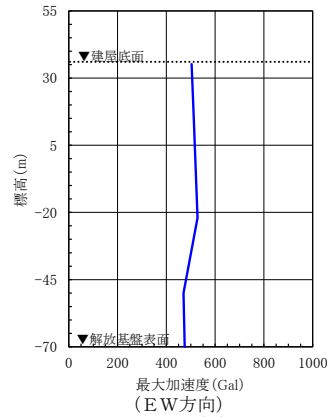


(鉛直方向)

(b) 応答スペクトル

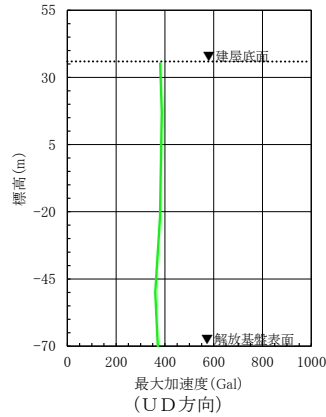


(NS方向)

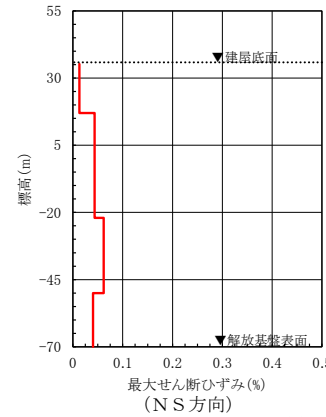


(EW方向)

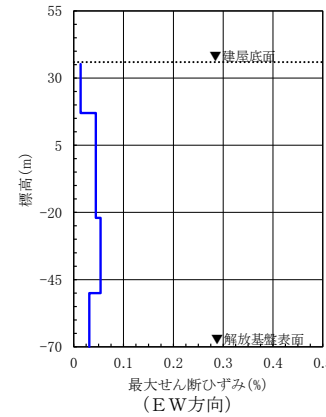
(c) 最大加速度分布



(UD方向)



(NS方向)



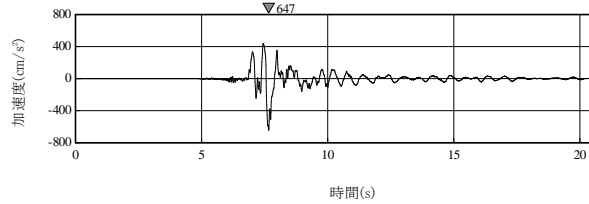
(EW方向)

(d) 最大せん断ひずみ分布

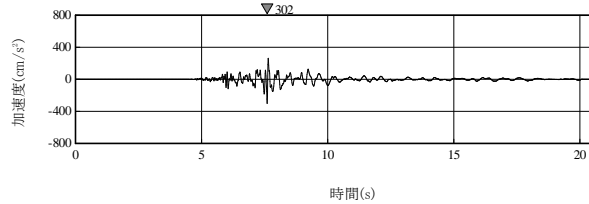
※TN (True North) を基準として策定した基準地震動S sを、PN (Plant North) を基準に変換して建屋底面位置における地震動を評価

第 6.6-43 図(6) 建屋底面位置における地震動 (S s - B 5, 第1 ガラス固化体貯蔵建屋: 西側地盤)

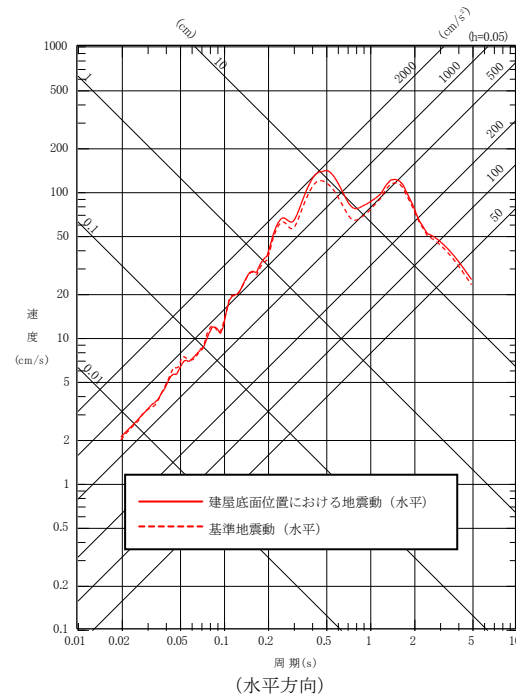
(水平方向)
最大加速度：
647cm/s²



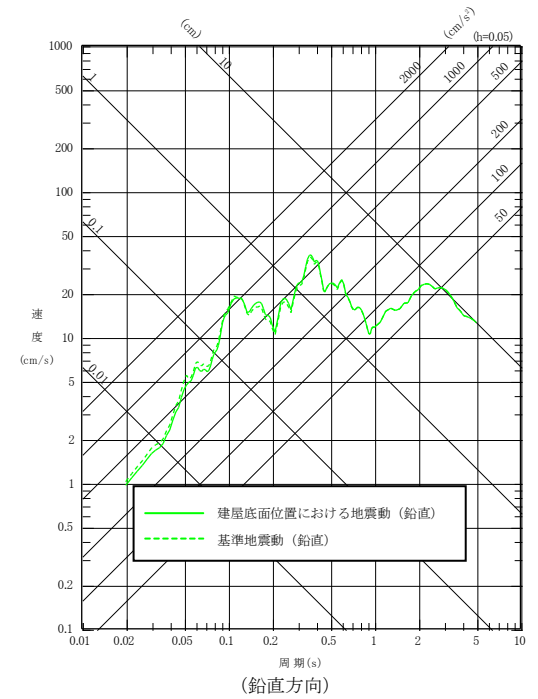
(鉛直方向)
最大加速度：
302cm/s²



(a) 加速度時刻歴波形

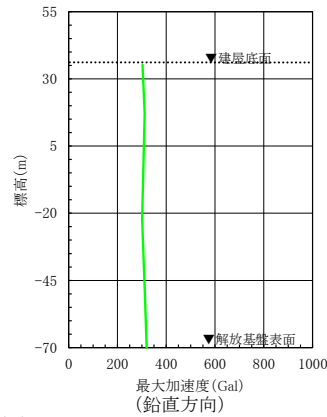
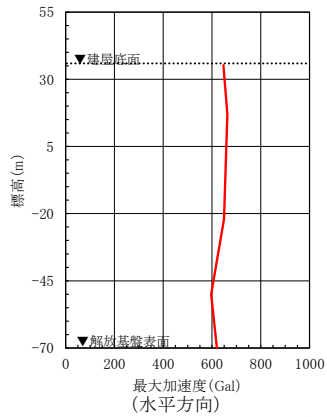


(水平方向)

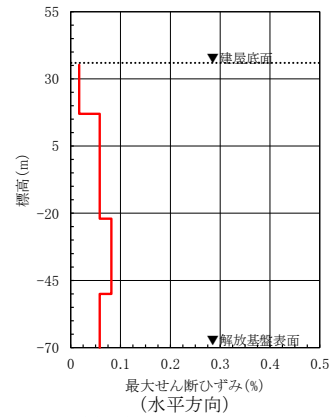


(鉛直方向)

(b) 応答スペクトル

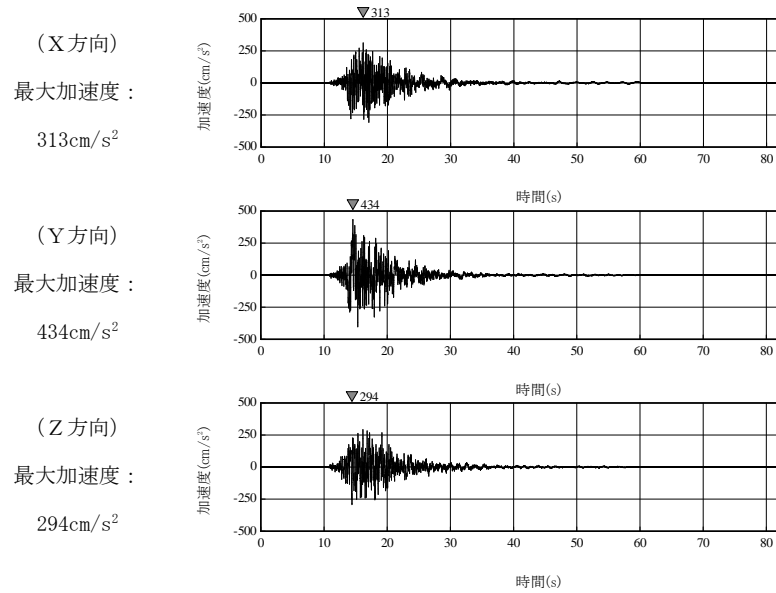


(c) 最大加速度分布

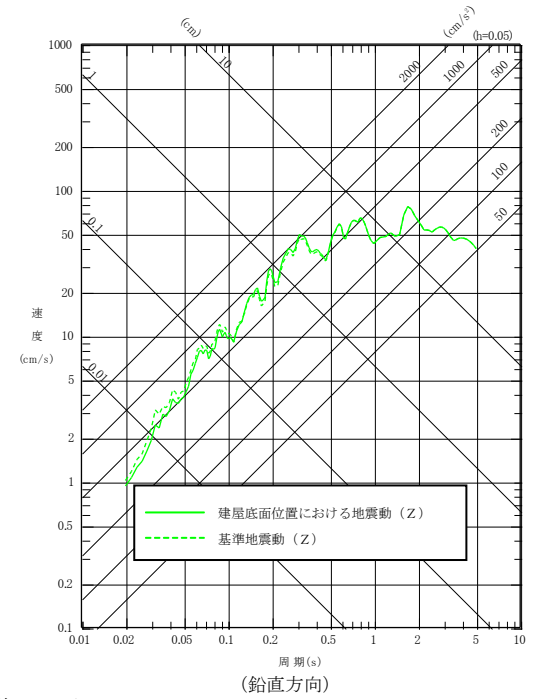
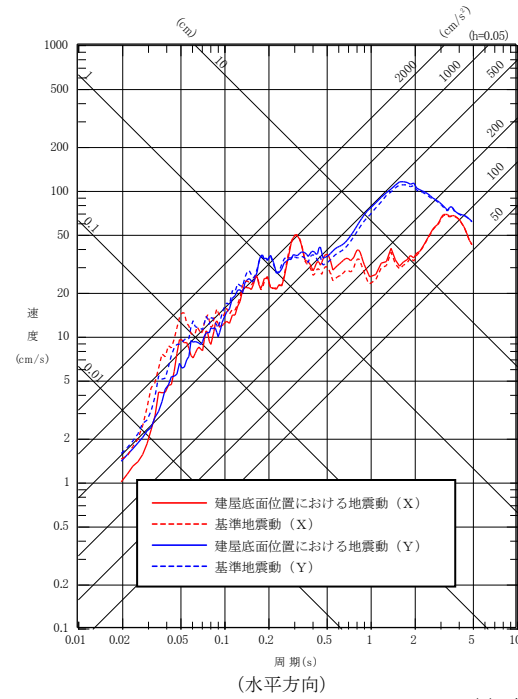


(d) 最大せん断ひずみ分布

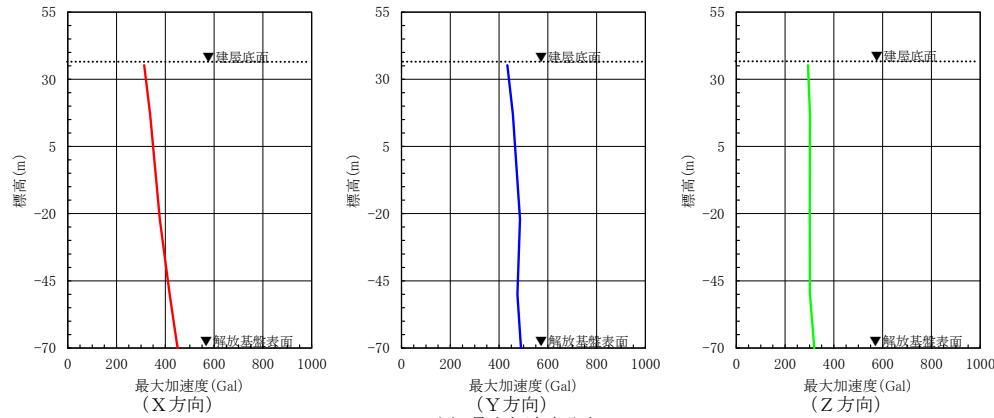
第 6.6-43 図(7) 建屋底面位置における地震動 (S s - C 1, 第 1 ガラス固化体貯蔵建屋 : 西側地盤)



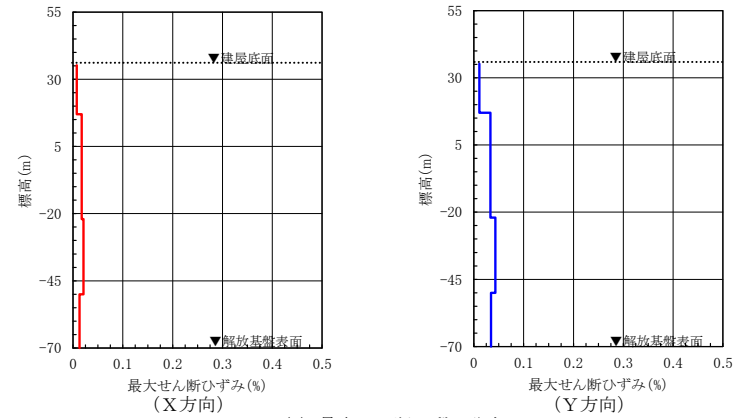
(a) 加速度時刻歴波形



(b) 応答スペクトル

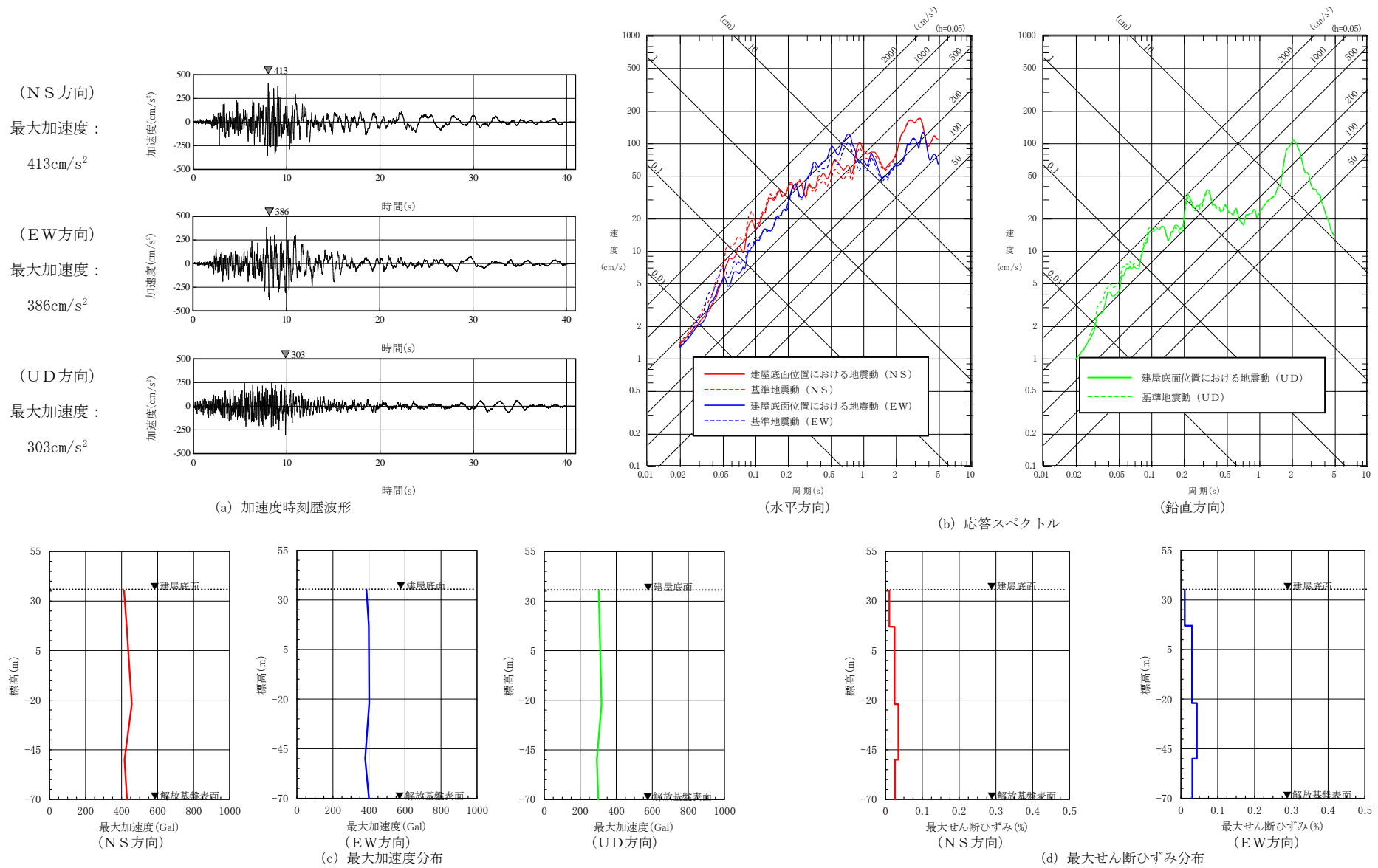


(c) 最大加速度分布



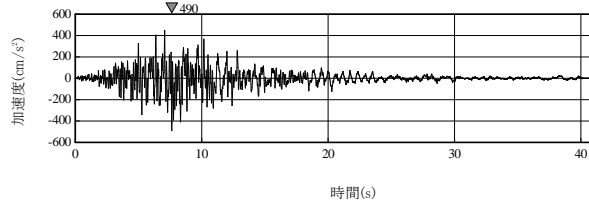
(d) 最大せん断ひずみ分布

第 6.6-43 図(8) 建屋底面位置における地震動 (S s - C 2, 第 1 ガラス固化体貯蔵建屋: 西側地盤)

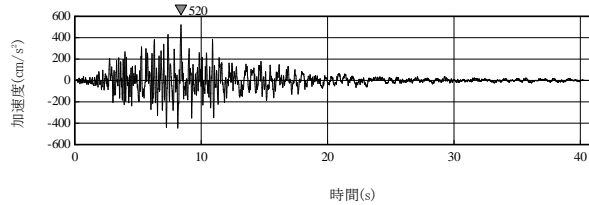


第 6.6-43 図(9) 建屋底面位置における地震動 (S s - C 3, 第 1 ガラス固化体貯蔵建屋：西側地盤)

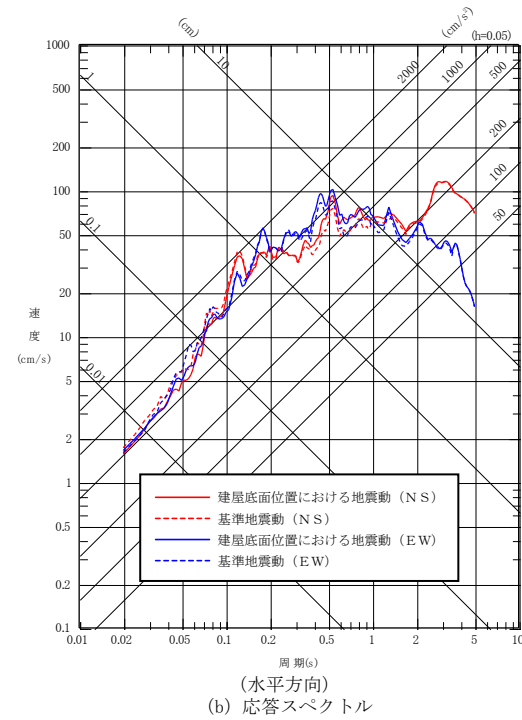
(N S 方向)
最大加速度：
490cm/s²



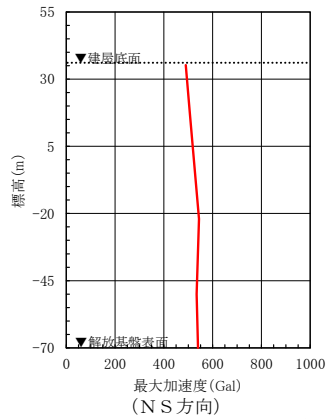
(E W 方向)
最大加速度：
520cm/s²



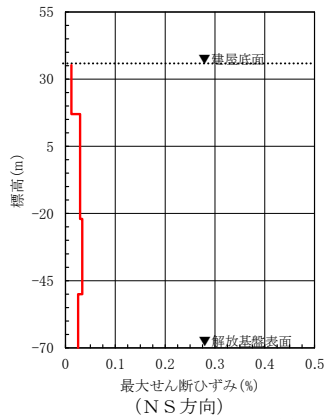
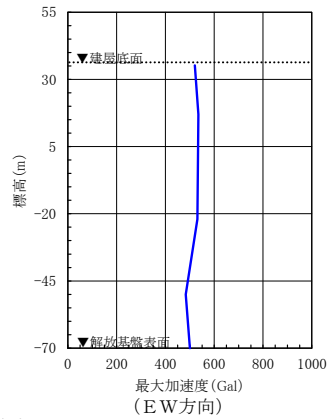
(a) 加速度時刻歴波形



(b) 応答スペクトル



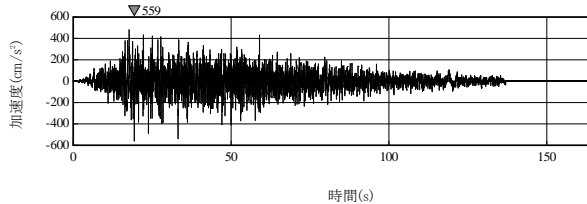
(c) 最大加速度分布



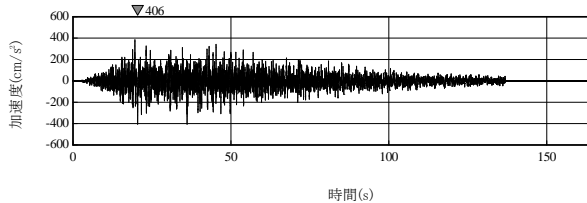
(d) 最大せん断ひずみ分布

第 6.6-43 図(10) 建屋底面位置における地震動 (S s - C 4, 第 1 ガラス固化体貯蔵建屋：西側地盤)

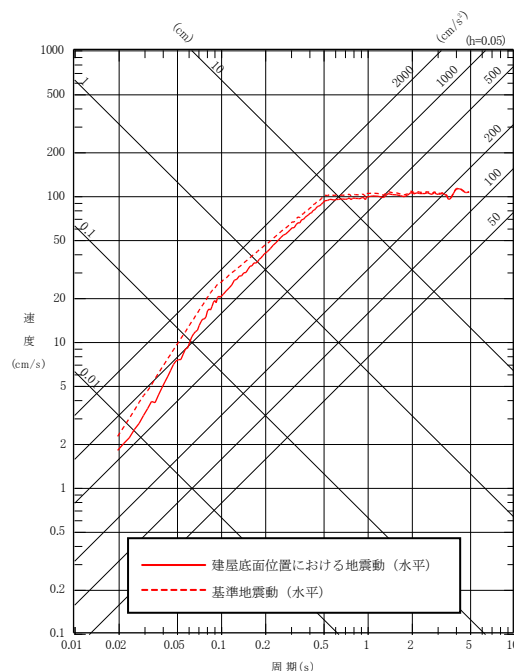
(水平方向)
最大加速度：
559cm/s²



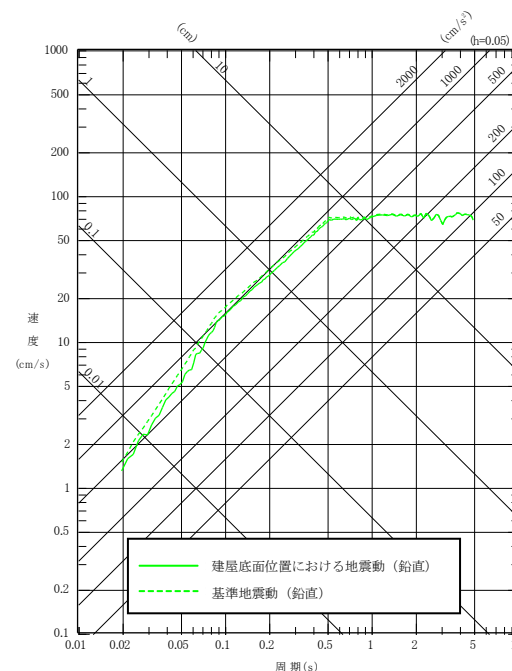
(鉛直方向)
最大加速度：
406cm/s²



(a) 加速度時刻歴波形

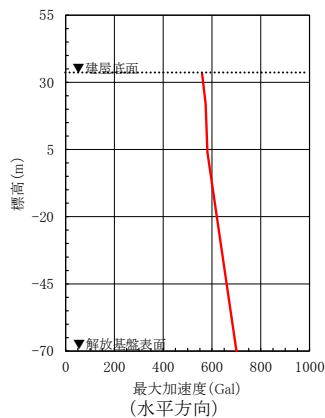


(水平方向)

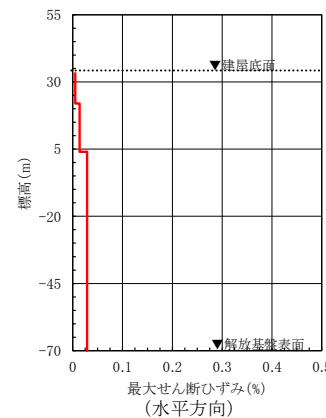
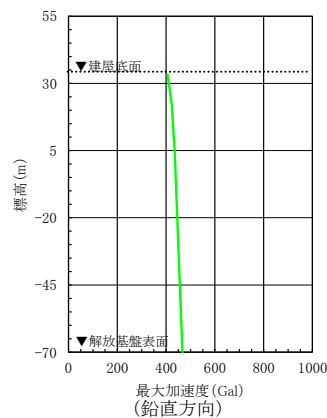


(鉛直方向)

(b) 応答スペクトル

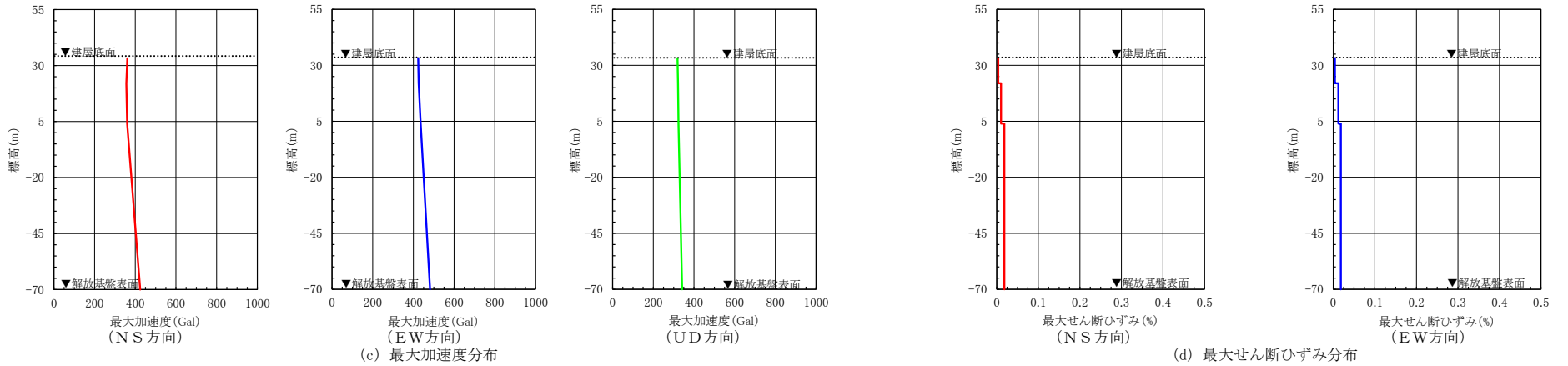
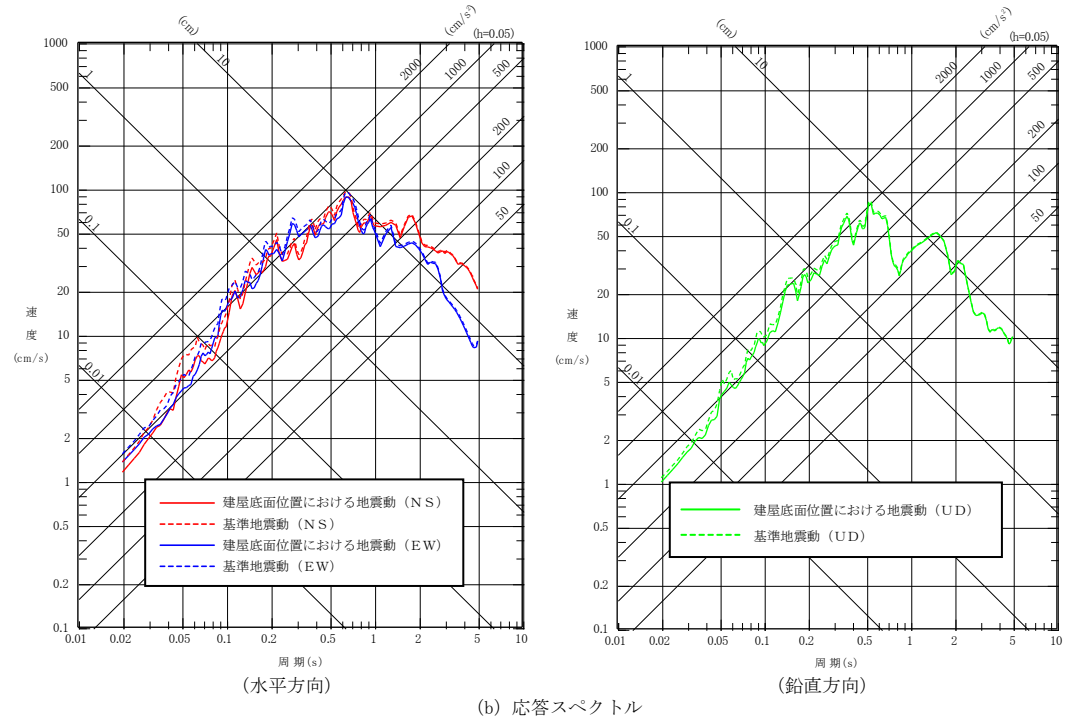
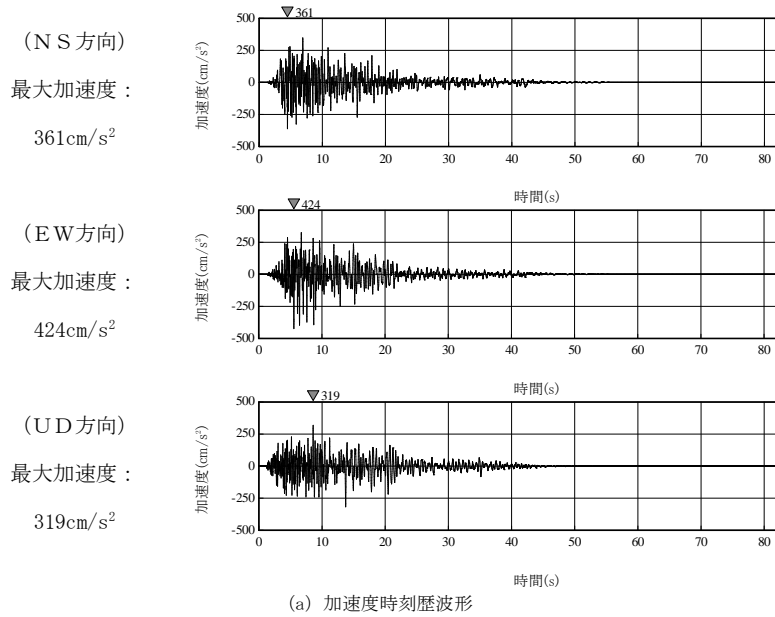


(c) 最大加速度分布



(d) 最大せん断ひずみ分布

第 6.6-43 図(II) 建屋底面位置における地震動 (S_s-A, 前処理建屋: 中央地盤)



※TN (True North) を基準として策定した標準地震動S sを、PN (Plant North) を基準に変換して建屋底面位置における地震動を評価

第 6.6-43 図(12) 建屋底面位置における地震動 (S s - B 1, 前処理建屋：中央地盤)